



Proyecto Arqueológico
L A C O R O N A

INFORME FINAL
Temporada 2010



Tomás Barrientos Q.
Marcello A. Canuto
Mary Jane Acuña

Guatemala, Marzo de 2011

Edición General: Tomás Barrientos, Marcello Canuto y Mary Jane Acuña
Traducciones: Tomás Barrientos y Mary Jane Acuña

CONTENIDO

| | |
|--|-----|
| Capítulo I | |
| Proyecto Regional Arqueológico La Corona: Antecedentes y objetivos de la Temporada 2010 | |
| <i>Marcello Canuto y Tomás Barrientos</i> | 1 |
| Capítulo II | |
| Sub-Proyecto de Reconocimiento Arqueológico Regional, Temporada 2010 | |
| <i>Carlos Roberto Chiriboga Holzheu</i> | 23 |
| Capítulo III | |
| Investigaciones en el sitio arqueológico de El Achiotal | |
| <i>Mary Jane Acuña</i> | 43 |
| 3.1 Excavaciones en la Estructura 5C-01 de El Achiotal | |
| <i>Mary Jane Acuña</i> | 47 |
| 3.2 Excavaciones en la Plataforma 4C-11 de El Achiotal | |
| <i>Caroline Paris</i> | 83 |
| 3.3 Excavaciones de sondeo en la Plaza Sur y Plaza Norte de El Achiotal | |
| <i>Carlos Gilberto Cruz</i> | 97 |
| Capítulo IV | |
| Registro de Monumentos en el sitio La Corona | |
| <i>Bruce Love</i> | 105 |
| Capítulo V | |
| Reconocimiento arqueológico y mapeo en La Corona | |
| <i>Melvin Rodrigo Guzmán Piedrasanta</i> | 127 |
| Capítulo VI | |
| Operación CR 20: Excavaciones en el Palacio de La Corona | |
| <i>Liliana Padilla</i> | 151 |
| Capítulo VI | |
| Excavaciones en la Estructura 13Q-2 | |
| 7.1 Operación CR32: Excavaciones en la Estructura 13Q-2 | |
| <i>Antolín Velásquez López</i> | 173 |
| 7.2 Operación CR32D: Excavaciones en la Estructura 13Q-2A | |
| <i>Ana Cristina Guirola</i> | 195 |
| Capítulo VIII | |
| Operaciones CR33 y CR35: Excavaciones en las Estructuras 13Q-3 y 13Q-5 | |
| <i>Yann Desailly-Chanson</i> | 211 |

| | |
|--|-----|
| Capítulo XIX | |
| Operaciones CR12, CR14 y CR15: Excavaciones en las estructuras 13R-3, 13R-4 y 13R-2 del Grupo Coronitas | |
| <i>Joanne Baron</i> | 249 |
| Capítulo X | |
| Operación CR16: Excavaciones en la Estructura 13R-10 | |
| <i>Carlos Enrique Fernández</i> | 277 |
| Capítulo XI | |
| Excavaciones en grupos residenciales de La Corona | |
| 11.1 Operación CR42: Excavaciones en el Grupo Habitacional 13R-2 | |
| <i>Jocelyne Ponce Stokvis</i> | 305 |
| 11.2 Operación CR43: Excavaciones en el Grupo Habitacional 12Q-1 | |
| <i>Andrea Rojas</i> | 317 |
| 11.3 Operación CR44: Excavaciones en el Grupo Habitacional 13P-1 | |
| <i>Jorge Pontaza</i> | 335 |
| 11.4 Operación CR41: Excavaciones en el Grupo Habitacional 13S-2 | |
| <i>Eduardo Bustamante</i> | 347 |
| Capítulo XII | |
| Análisis e inventario preliminar de los restos de fauna de La Corona | |
| <i>Diana Fridberg</i> | 361 |
| Capítulo XIII | |
| Análisis preliminar de los restos óseos humanos de La Corona | |
| <i>Erin Patterson</i> | 375 |
| Capítulo XIV | |
| Análisis preliminar de los restos paleobotánicos de La Corona | |
| <i>Clarissa Cagnato</i> | 385 |
| Capítulo XV | |
| Resultados Generales y Conclusiones de la Temporada de Campo 2010 | |
| <i>Marcello Canuto y Tomás Barrientos</i> | 403 |
| Bibliografía | 427 |

Índice de Figuras

No. Página

Capítulo I

| | |
|---|----|
| Figura 1.1 Ubicación de los sitios registrados por el proyecto PRALC hasta 2009..... | 4 |
| Figura 1.2 Posibles rutas de comunicación relacionadas a La Corona..... | 5 |
| Figura 1.3 Grupo Principal en La Cariba | 6 |
| Figura 1.4 Modelo tridimensional de las principales estructuras de El Achiotal | 7 |
| Figura 1.5 Mapa de La Corona, versión 2009 (D. Marken) | 8 |
| Figura 1.6 Mapa tridimensional de La Corona, versión 2009 (D. Marken)..... | 8 |
| Figura 1.7 Posible ubicación de la cancha de Juego de Pelota en la Plaza Principal | 10 |
| Figura 1.8 Algunos de los bloques de la Escalinata Glífica 1, Estructura 13Q-3..... | 11 |
| Figura 1.9 Reconstrucción hipotética de las estructuras 13R-2, 13R-3 (al centro) y 13R-4 | 12 |
| Figura 1.10 Zona de Estudio con límites aproximados | 17 |
| Figura 1.11 Delimitación del sitio La Corona y ubicación del Campamento del PRALC | 18 |
| Figura 1.12 Planta del Campamento del PRALC..... | 19 |

Capítulo II

| | |
|--|----|
| Figura 2.1 Localización del área de estudio en el occidente de la RBM..... | 26 |
| Figura 2.2 Identificación de áreas de bajos o propensas a inundación..... | 27 |
| Figura 2.3 TPI a 30 celdas identificando áreas > 5 m sobre la elevación promedio | 28 |
| Figura 2.4 TPI a 10 celdas identificando áreas > 5 m sobre la elevación promedio | 28 |
| Figura 2.5 Mapa mostrando sitios arqueológicos identificados hasta el 2010 | 30 |
| Figura 2.6 Mapa del sitio El Zancudero | 31 |
| Figura 2.7 Mapa del sitio La Meseta | 32 |
| Figura 2.8 Mapa del sitio Zoilo Cilis..... | 33 |
| Figura 2.9 Posible Estela en el sitio Los Perros | 34 |
| Figura 2.10 Mapa del sitio Los Perros..... | 35 |
| Figura 2.11 Mapa del sitio Laguna Adrián..... | 36 |
| Figura 2.12 Estela lisa en el sitio El Magueyal | 37 |
| Figura 2.13 Mapa del sitio El Magueyal | 38 |
| Figura 2.14 Mapa del sitio Caobita | 39 |
| Figura 2.15 Mapa del sitio Champas Quemadas | 40 |
| Figura 2.16 Mapa del sitio Isla de Pájaros..... | 41 |
| Figura 2.17 Metates o Piedras de Moler en el sitio Isla de Pájaros..... | 41 |

Capítulo III

| | |
|--|----|
| Figura 3.1 Mapa actual que muestra la ubicación de El Achiotal | 43 |
| Figura 3.2 Mapa esquemático actual de El Achiotal | 44 |

Capítulo III-I

| | |
|---|----|
| Figura 3.3 Localización de la Estructura 5C-01 | 47 |
| Figura 3.4 Distribución de túneles de excavación en la Estructura 5C-01 | 49 |
| Figura 3.5 Trinchera de saqueo S2 | 51 |
| Figura 3.6 Perfiles Este y Norte del Túnel 4 | 52 |
| Figura 3.7 Muro Oeste del Túnel 4 (Muro Este de la Subestructura Jonon)..... | 53 |
| Figura 3.8 Lado este de la Fachada Norte de la Subestructura Jonon | 54 |
| Figura 3.9 Fragmentos de estuco pertenecientes a la Subestructura Jonon..... | 55 |
| Figura 3.10 Plataforma Tábano | 56 |

| | |
|---|----|
| Figura 3.11 Excavación del Túnel 4..... | 57 |
| Figura 3.12 Fotografía del Mural 2 | 58 |
| Figura 3.13 Dibujo del Mural 2 | 58 |
| Figura 3.14 Perfil Oeste del Túnel 3..... | 59 |
| Figura 3.15 Relleno del piso Beleb en el Lote 8 del Túnel 5 | 60 |
| Figura 3.16 Perfil Este del Túnel 5 (Muro Oeste de la Subestructura Jonon)..... | 62 |
| Figura 3.17 Fotografía del Mural 4 | 61 |
| Figura 3.18 Dibujo del Mural 4 | 61 |
| Figura 3.19 Fotografía del Mural 5 | 63 |
| Figura 3.20 Fotografía del Fogón 1 | 64 |
| Figura 3.21 Perfil Oeste del Túnel 5..... | 66 |
| Figura 3.22 Fotografía del Fogón 2 | 65 |
| Figura 3.23 Perfiles Sur y Norte del Túnel 6..... | 67 |
| Figura 3.24 Fotografía del Mural 6 | 68 |
| Figura 3.25 Foto del Mascarón 1 | 69 |
| Figura 3.26 Foto del Mascarón 1 | 69 |
| Figura 3.27 Ubicación del Mascarón 1 en el Túnel 7..... | 70 |
| Figura 3.28 Fotografía del estuco pintado en la Jamba Oeste de la Subestructura Sip y su comparación con el andamio pintado en el Mural de San Bartolo | 72 |
| Figura 3.29 Perfiles y planta de la unidad ACH-1C y ACH-1C-3 | 76 |
| Figura 3.30 Perfil Oeste de las unidades ACH-1C-2, ACH-1C-4 y ACH-1C-5 | 78 |

Capítulo III-II

| | |
|--|----|
| Figura 3.31 Perfiles norte y este de la Unidad ACH-99-2A-1 | 86 |
| Figura 3.32 Fotografía de parte del perfil del nivel ACH-99-2A-1-5 | 87 |
| Figura 3.33 Fotografía de parte del perfil del nivel ACH-99-2A-1-5 | 87 |
| Figura 3.34 Planta final de ACH-99-2B-1..... | 89 |
| Figura 3.35 Perfiles de ACH-99-2B-1..... | 90 |
| Figura 3.36 Fotografía final de ACH-99-2B-2..... | 91 |
| Figura 3.37 Perfil de ACH-2B-2 | 92 |
| Figura 3.38 Perfil de trinchera de saqueo de la Estructura 4C-11c..... | 94 |
| Figura 3.39 Planta de trinchera de saqueo en la Estructura 4C-11c..... | 95 |

Capítulo III-III

| | |
|---|-----|
| Figura 3.40 Perfiles y planta de la unidad ACH-99-7 | 98 |
| Figura 3.41 Fotografías de los dos alineamientos de piedra encontrados en la unidad ACH-99-8 | 99 |
| Figura 3.42 Perfiles Este y Sur de la unidad ACH-99-8 | 100 |
| Figura 3.43 Perfil Este de la unidad ACH-99-10 | 101 |
| Figura 3.44 Perfiles Este y Sur de la unidad ACH-99-11 | 102 |
| Figura 3.45 Planta de las unidades ACH-99-8, 9 10 y 11 | 104 |
| Figura 3.46 Fotografía de las unidades ACH-99-8, 9 10 y 11..... | 104 |

Capítulo IV

| | |
|--|-----|
| Figura 4.1 Proceso de fotografía en el sitio La Corona..... | 106 |
| Figura 4.2 Proceso de fotografía en el laboratorio del Proyecto La Corona..... | 107 |
| Figura 4.3 Dibujo preliminar del Fragmento 1 de la Estela 1 de La Corona (frente)..... | 110 |
| Figura 4.4 Dibujo preliminar del Fragmento 1 de la Estela 1 de La Corona (lado izquierdo)..... | 111 |
| Figura 4.5 Dibujo preliminar del Fragmento 2 de la Estela 1 de La Corona (frente)..... | 111 |
| Figura 4.6 Dibujo preliminar del Fragmento 2 de la Estela 1 de La Corona (parte posterior)..... | 112 |
| Figura 4.7 Dibujo preliminar del Fragmento 3 de la Estela 1 de La Corona (frente)..... | 112 |
| Figura 4.8 Dibujo preliminar de la Estela 2 de La Corona (frente)..... | 113 |
| Figura 4.9 Dibujo preliminar de la Estela 2 de La Corona (laterales)..... | 114 |
| Figura 4.10 Dibujo preliminar del Altar 1 de La Corona (frente)..... | 115 |
| Figura 4.11 Dibujo preliminar del Fragmento 2 del Altar 1 de La Corona (lado a)..... | 115 |
| Figura 4.12 Dibujo preliminar del Fragmento 2 del Altar 1 de La Corona (lado b)..... | 116 |
| Figura 4.13 Dibujo preliminar de los fragmentos 1 y 3 del Altar 1 de La Corona (lateral)..... | 116 |
| Figura 4.14 Dibujo preliminar del Altar 2 de La Corona (frente)..... | 117 |
| Figura 4.15 Dibujo preliminar del Altar 2 de La Corona (laterales)..... | 118 |
| Figura 4.16 Dibujo preliminar del Altar 2 de La Corona (laterales)..... | 118 |
| Figura 4.17 Dibujo preliminar del Altar 3 de La Corona (frente)..... | 119 |
| Figura 4.18 Dibujo preliminar del Altar 3 de La Corona (laterales)..... | 119 |
| Figura 4.19 Dibujo preliminar del Altar 4 de La Corona (frente)..... | 120 |
| Figura 4.20 Dibujo preliminar del Fragmento 1a del Altar 4 de La Corona (lateral)..... | 120 |
| Figura 4.21 Dibujo preliminar del Fragmento 1b del Altar 4 de La Corona (lateral)..... | 121 |
| Figura 4.22 Dibujo preliminar del Fragmento 2a del Altar 4 de La Corona (lateral)..... | 121 |
| Figura 4.23 Dibujo preliminar del Fragmento 2b del Altar 4 de La Corona (lateral)..... | 122 |
| Figura 4.24 Dibujo preliminar del Fragmento 3 del Altar 4 de La Corona (lateral)..... | 122 |
| Figura 4.25 Dibujo preliminar del Panel 7 de La Corona..... | 123 |
| Figura 4.26 Dibujo preliminar de los Cilindros o Altares Columnares 1, 2 y 3 de La Corona..... | 123 |
| Figura 4.27 Dibujo preliminar del Fragmento 1 del Altar 1 de La Cariba..... | 124 |
| Figura 4.28 Dibujo preliminar de los fragmentos 1, 2 y 3 del Altar 1 de La Cariba..... | 124 |
| Figura 4.29 Dibujo preliminar del fragmento del Monumento 2 de La Cariba..... | 125 |

Capítulo V

| | |
|--|-----|
| Figura 5.1 Montículo del Grupo El Jobillo..... | 130 |
| Figura 5.2 Laguna “El Tesoro” alrededor de la cual se encuentra el sitio..... | 132 |
| Figura 5.3 Montículo al norte de la laguna “El Gavilan”, denominado Piedra de Yeso..... | 133 |
| Figura 5.4 Mapa del sitio La Corona mostrando curvas de nivel, versión 2010..... | 136 |
| Figura 5.5 Mapa del sitio La Corona mostrando rasgos relevantes, versión 2010..... | 137 |
| Figura 5.6 Mapa del asentamiento al sur del cibal “El Colmoyote”..... | 138 |
| Figura 5.7 Mapa del sector este del sitio La Corona..... | 139 |
| Figura 5.8 Mapa tridimensional del sitio La Corona, versión 2010..... | 140 |
| Figura 5.9 Mapa del sitio La Corona mostrando las excavaciones realizadas en 2010..... | 142 |
| Figura 5.10 Mapa de las excavaciones realizadas en las sub-operaciones 12A, 14A, 14B y 15A..... | 143 |
| Figura 5.11 Mapa de las excavaciones realizadas en las sub-operaciones 16A, B y C..... | 144 |
| Figura 5.12 Mapa de las excavaciones realizadas en la operación CR20..... | 144 |
| Figura 5.13 Mapa de las excavaciones realizadas en la sub-operación CR32D..... | 145 |

| | |
|--|-----|
| Figura 5.14 Mapa de las excavaciones realizadas en las sub-operaciones 32G y 32H ... | 145 |
| Figura 5.15 Mapa de las excavaciones realizadas en las sub-operaciones 33A y 33D ... | 146 |
| Figura 5.16 Mapa de las excavaciones realizadas en las sub-operaciones 35A y 35C ... | 146 |
| Figura 5.17 Mapa de las excavaciones realizadas en la Operación CR41 | 147 |
| Figura 5.18 Mapa de las excavaciones realizadas en la Operación CR42 | 147 |
| Figura 5.19 Mapa de las excavaciones realizadas en la Operación CR43 | 148 |
| Figura 5.20 Mapa de las excavaciones realizadas en la Operación CR44 | 148 |

Capítulo VI

| | |
|--|-----|
| Figura 6.1 Planta de la Estructura 13Q-4 | 152 |
| Figura 6.2 Mapa de las excavaciones realizadas en la operación CR20 | 152 |
| Figura 6.3 Nivelación de la excavación de saqueo en CR20A-1-1 | 154 |
| Figura 6.4 Muro cortado por saqueo y torso humano encontrado en CR20A-1 | 155 |
| Figura 6.5 Relleno bajo el piso interior de la cámara, expuesto por saqueo (CR20A-1-4)..... | 156 |
| Figura 6.6 Muro encontrado en la unidad CR20A-2 y fachada de la Superestructura 13Q-4A | 157 |
| Figura 6.7 Muro estucado y esquina de la Estructura 13Q-4A | 159 |
| Figura 6.8 Túnel de excavación dentro de la Estructura 13Q-4A (unidades CR20A-5, 6, 7 y 8)..... | 159 |
| Figura 6.9 Entrada de la Estructura 13Q-4A, excavada en la unidad CR20A-10 | 162 |
| Figura 6.10 Entrada de la Estructura 13Q-4A, excavada en la unidad CR20A-11 | 163 |
| Figura 6.11 Fragmentos de estuco modelado encontrados en la unidad CR 20A-11..... | 164 |
| Figura 6.12 Perfil sur de la unidad CR20B-1 | 166 |
| Figura 6.13 Escalinata de la subestructura “lagarto” encontrada bajo la Estructura 13Q-4A | 167 |
| Figura 6.14 Excavación de la unidad CR20P-3..... | 168 |
| Figura 6.15 Perfil sur de las unidades CR20P-2 y CR20P-3..... | 169 |

Capítulo VII-I

| | |
|---|-----|
| Figura 7.1 Modelo de la Plaza Principal, ubicando la Estructura 13Q-2 | 174 |
| Figura 7.2 Mapa de excavaciones de las sub-operaciones CR 32G y CR 32H..... | 174 |
| Figura 7.3 Foto donde se muestra el muro este del recinto de la superestructura | 177 |
| Figura 7.4 Foto donde se muestra el muro norte del recinto de la superestructura | 179 |
| Figura 7.5 Perfil Este CR 32H-1 donde se observa el muro este de la superestructura .. | 181 |
| Figura 7.6 Foto donde se muestra el muro este con su relleno interior | 183 |
| Figura 7.7 Perfil Norte de CR 32G-1 y CR 32G-4..... | 183 |
| Figura 7.8 Planta de las excavaciones de CR 32G-1, CR 32G-2, CR 32G-3, CR 32G-4 CR 32G-4A y CR 32G-4B..... | 185 |
| Figura 7.9 Foto donde se muestra la escalinata en su última fase constructiva | 188 |
| Figura 7.10 Perfil Sur de CR 32H-1 donde se observan los lotes establecidos..... | 188 |
| Figura 7.11 Foto donde se muestra la escalinata en su penúltima fase constructiva..... | 190 |
| Figura 7.12 Perfil Norte de CR 32H-2 donde se observan los lotes establecidos | 190 |
| Figura 7.13 Foto donde se muestra la escalinata y la banquetta en su penúltima fase constructiva..... | 192 |
| Figura 7.14 Perfil Este de CR 32H-3 donde se observan los lotes establecidos | 192 |
| Figura 7.15 Foto donde se muestra el piso de estuco localizado en CR 32H-3-5 y CR 32H-3A -2 | 193 |

Capítulo VII-II

| | |
|---|-----|
| Figura 7.16 Estructura 13Q-2, indicando las dos esquinas donde se realizaron las excavaciones..... | 196 |
| Figura 7.17 Distribución de unidades de excavación en la esquina suroeste de 13Q-2.. | 197 |
| Figura 7.18 Cerámica encontrada en CR32D-7-1 y CR 32D-7-2 | 198 |
| Figura 7.19 Cerámica encontrada en CR 32D-9-1-1 | 199 |
| Figura 7.20 Cerámica encontrada en CR 32D-9-2 y CR 32D-15-2 | 199 |
| Figura 7.21 Dibujos de los perfiles de CR 32D-9 y CR 32D-15..... | 200 |
| Figura 7.22 Cerámica encontrada en CR32D-14-1 | 201 |
| Figura 7.23 Dibujo de planta de CR32D-12, CR32D-14, CR32D-18 y CR32D-19 | 201 |
| Figura 7.24 Distribución de unidades de excavación en la esquina noroeste de 13Q-2.. | 202 |
| Figura 7.25 Punta de pedernal encontrada frente a la fachada de la Estructura 13Q-2... | 203 |
| Figura 7.26 Muro de la esquina noroeste de la Estructura 13Q-2 | 203 |
| Figura 7.27 Dibujo de planta de la unidad CR32D-10 | 203 |
| Figura 7.28 Perfil sur de la unidad CR32D-10..... | 203 |
| Figura 7.29 Fotografía de mano encontrada en la unidad CR 32D-13..... | 204 |
| Figura 7.30 Plataforma que cruza y se mete hacia el este donde se encuentra el muro de la estructura (unidad CR32D-13)..... | 204 |
| Figura 7.31 Planta y Perfil Sur de la unidad CR32D-13 | 205 |
| Figura 7.32 Unidad CR32D-16, donde se observa la continuación de la plataforma y el desnivel en el piso..... | 206 |
| Figura 7.33 Distribución de las fachadas de los muros que forman parte de la plataforma descubierta en las unidades CR 32D-16 y CR 32D-13 | 206 |
| Figura 7.34 Puntas de pedernal encontradas en la unidad CR32D-17 | 207 |
| Figura 7.35 Dibujo de planta de las unidades CR32D-13, CR32D-16, CR32D-20, CR32D-17, y CR32D-21 | 208 |

Capítulo VIII

| | |
|---|-----|
| Figura 8.1 Ubicación de excavaciones en las suboperaciones 33A y 33D en 2010..... | 214 |
| Figura 8.2 Banca y grada en las unidades 33A-5, 33A-6, 33A-20 y 33A-21 | 216 |
| Figura 8.3 Huesos del entierro en el lote 33A-6-6 | 217 |
| Figura 8.4 Perfil norte de las unidades 33A-5 y 33A-6..... | 219 |
| Figura 8.5 Perfil oeste de las unidades 33A-5 y 33A-6..... | 219 |
| Figura 8.6 Muro de subestructura la unidad 33A-21 | 220 |
| Figura 8.7 Corte en el relleno de la Estructura 13Q-3 (unidad 33A-20)..... | 222 |
| Figura 8.8 Perfil Sur de las unidades 33A-26, 33A-20 y 33A-6 | 222 |
| Figura 8.9 Artefactos y piezas dentales del entierro de la Estructura 13Q-3 | 223 |
| Figura 8.10 Planta de las unidades 33A-5, 33A-6, 33A-20 y 33A-21 | 224 |
| Figura 8.11 Esquina de la banca y grada, con el piso gris (33A-26 y 33A-27)..... | 226 |
| Figura 8.12 Perfil sur de la unidad 33D-1 | 227 |
| Figura 8.13 Perfil oeste de la unidad 33D-1 | 228 |
| Figura 8.14 Ubicación de excavaciones en las suboperaciones 35A y 35C en 2010 | 229 |
| Figura 8.15 Alineamiento de piedras en CR 35A-8-1 | 230 |
| Figura 8.16 Placa de piedra verde encontrada en CR 35A-8-2 | 231 |
| Figura 8.17 Planta de las unidades 33A-8, 33A-9, 33A-10 y 33A-11 | 232 |
| Figura 8.18 Grada y descanso encontrados en la unidad 35C-2..... | 234 |
| Figura 8.19 Escalinata encontrada en la unidad 35C-4 | 235 |
| Figura 8.20 Escalinata de subestructura en la unidad 35C-5..... | 236 |
| Figura 8.21 Planta de las unidades 35C-3, 35C-4, 35C-5 y 35C-6 | 237 |
| Figura 8.22 Collar de dientes encontrado en el entierro de la unidad 35C-5 | 238 |

| | |
|--|-----|
| Figura 8.23 Primera capa del entierro en el lote 33C-5-4 | 239 |
| Figura 8.24 Segunda capa del entierro en el lote 33C-5-4 | 239 |
| Figura 8.25 Objetos de concha y piedra verde del Entierro 5 | 240 |
| Figura 8.26 Perfil Norte de la unidad 35C-6 | 241 |
| Figura 8.27 Muro y banquetta de la plataforma de la superestructura de 13Q-5 | 243 |
| Figura 8.28 Esquina suroeste de la plataforma de la superestructura de 13Q-5..... | 243 |
| Figura 8.29 Muro de la plataforma en la superestructura de 13Q-5..... | 244 |
| Figura 8.30 Planta de las unidades 35C-10, 35C-11, 35C-12 y 35C-13 | 245 |
| Figura 8.31 Perfil Este de las unidades 35C-1, 35C-2, 35C-3, 35C-4, 35C-5 y 35C-6... | 247 |

Capítulo IX

| | |
|--|-----|
| Figura 9.1 Ubicación de excavaciones en las operaciones 12, 14 y 15 en 2010 | 250 |
| Figura 9.2 Perfil sur de la plataforma frente a la Estructura 13R-3..... | 253 |
| Figura 9.3 Fotografía del incensario Postclásico..... | 255 |
| Figura 9.4 Planta y perfil sur de la Unidad CR 12A-15 | 256 |
| Figura 9.5 Representación esquemática de la Unidad CR 12A-15 | 256 |
| Figura 9.6 Representación esquemática de los rasgos arquitectónicos de las unidades CR 12A-17 y CR 15A-5..... | 259 |
| Figura 9.7 Perfil sur de la Operación CR 15A | 260 |
| Figura 9.8 Fotografía de la Operación CR 15A..... | 261 |
| Figura 9.9 Perfiles de la Operación CR 14A | 265 |
| Figura 9.10 Fotografía de los restos de madera recuperados en la tumba..... | 267 |
| Figura 9.11 Planta de los artefactos de la tumba | 268 |
| Figura 9.12 Fotografía del cuenco recuperado en la tumba | 269 |
| Figura 9.13 Fotografía de la navaja de obsidiana recuperada en la tumba | 269 |
| Figura 9.14 Perfil sur de la Operación CR 14B..... | 272 |

Capítulo X

| | |
|---|-----|
| Figura 10.1 Mapa de los grupos 13R-I y 13R-II (Grupo Coronitas)..... | 277 |
| Figura 10.2 Localización de las excavaciones en las suboperaciones CR16A, CR16B y CR16C..... | 280 |
| Figura 10.3 Perfiles de la unidad CR16A-1 | 282 |
| Figura 10.4 Planta de la unidad CR16A-1..... | 283 |
| Figura 10.5 Saqueo 2 en la esquina sureste de la Estructura 13R-10..... | 285 |
| Figura 10.6 Muro y escalón de la fachada sur de la Estructura 13R-10..... | 286 |
| Figura 10.7 Vista frontal de la fachada sur de la Estructura 13R-10..... | 287 |
| Figura 10.8 Perfil Norte de las excavaciones en la fachada sur de la Estr. 13R-10 | 288 |
| Figura 10.9 Perfil Oeste de las excavaciones en la fachada sur de la Estr. 13R-10 | 289 |
| Figura 10.10 Perfil Este de las excavaciones en la fachada sur de la Estr. 13R-10 | 290 |
| Figura 10.11 Planta de las excavaciones en la fachada sur de la Estr. 13R-10 | 291 |
| Figura 10.12 Muro colapsado y apisonado en la fachada norte de la Estr. 13R-10 | 295 |
| Figura 10.13 Basurero en chultun, parte posterior de la Estructura 13R-10 | 297 |
| Figura 10.14 Perfil norte del chultun en la parte posterior de la Estructura 13R-10..... | 298 |
| Figura 10.15 Derrumbe del muro posterior (norte) de la Estructura 13R-10..... | 299 |
| Figura 10.16 Muro y piso de la fachada norte de la Estructura 13R-10..... | 300 |
| Figura 10.17 Perfil sur de la unidad CR 16B-2 | 300 |
| Figura 10.18 Depósito Primario | 301 |
| Figura 10.19 Planta del Depósito Primario | 302 |

Capítulo XI

Capítulo XI-I

| | |
|--|-----|
| Figura 11.1 Ubicación de las excavaciones en la Operación CR 42 | 305 |
| Figura 11.2 Perfiles norte, este, sur y oeste de la unidad 42A-1 | 306 |
| Figura 11.3 Perfiles oeste de la unidad 42B-1 | 307 |
| Figura 11.4 Perfiles norte, este, sur y oeste de la unidad 42B-1 | 308 |
| Figura 11.5 Perfiles norte, este, sur y oeste de la unidad 42B-2 | 309 |
| Figura 11.6 Perfiles norte, este, sur y oeste de la unidad 42B-3 | 310 |
| Figura 11.7 Detalle del muro posterior de la Estructura 13R-40..... | 310 |
| Figura 11.8 Perfiles norte, este, sur y oeste de la unidad 42B-3a | 311 |
| Figura 11.9 Depósito de cerámica y piso de estuco de la Estructura 13R-40 | 312 |
| Figura 11.10 Planta mostrando alineación de piedras de muro de la unidad 42B-4 | 312 |
| Figura 11.11 Perfiles norte, oeste, sur y este de la unidad 42B-4 | 311 |
| Figura 11.12 Perfiles norte, sur y oeste de la unidad 42B-4a | 313 |
| Figura 11.13 Perfil norte de las unidades 42B-3, 42B-3a, 42B-4 y 42B-4a..... | 313 |
| Figura 11.14 Perfil sur de las unidades 42B-3, 42B-3a, 42B-4 y 42B-4a..... | 314 |

Capítulo XI-II

| | |
|---|-----|
| Figura 11.15 Ubicación del Grupo Residencial 12Q-1 | 318 |
| Figura 11.16 Ubicación de las excavaciones en el Grupo Residencial 12Q-1 | 318 |
| Figura 11.17 Perfil este de las operaciones CR 43-1, CR 43-2 y CR 43-9 | 320 |
| Figura 11.18 Perfil oeste de la operación CR 43-2 | 322 |
| Figura 11.19 Parte de muro expuesto en la unidad CR 43-7..... | 323 |
| Figura 11.20 Parte de muro expuesto en la unidad CR 43-8..... | 323 |
| Figura 11.21 Planta de las unidades de excavación CR 43-6, CR 43-7 y CR 43-8 | 324 |
| Figura 11.22 Perfil norte de la unidad de excavación CR 43-9..... | 326 |
| Figura 11.23 Alineamiento de piedras que pueden ser gradas de la Estructura 12Q-1 ... | 326 |
| Figura 11.24 Perfil norte de la unidad de excavación CR 43-3..... | 327 |
| Figura 11.25 Muro expuesto en la unidad CR 43-3 | 328 |
| Figura 11.26 Planta del muro expuesto en las unidades CR 43-3 y CR 43-4 | 328 |
| Figura 11.27 Planta de la unidad de excavación CR 43-4..... | 329 |
| Figura 11.28 Perfil norte de las unidades de excavación en la Estructura 12Q-3 | 331 |
| Figura 11.29 Perfil norte de las unidades CR 43-3 y CR43-5..... | 332 |

Capítulo XI-III

| | |
|---|-----|
| Figura 11.30 Ubicación del Grupo Residencial 13P-1 | 335 |
| Figura 11.31 Ubicación de las excavaciones en el Grupo Residencial 13P-1..... | 336 |
| Figura 11.32 Fotografía de la unidad CR 44-1 | 337 |
| Figura 11.33 Perfiles norte, este, sur y oeste unidad CR 44-1 | 337 |
| Figura 11.34 Perfiles norte y este de la unidad CR 44-1A | 338 |
| Figura 11.35 Derrumbe de muro en la parte posterior de la Estructura 13P-3..... | 339 |
| Figura 11.36 Perfiles norte y este de la unidad CR 44-2 | 339 |
| Figura 11.37 Unidad CR 44-3 | 340 |
| Figura 11.38 Perfiles norte, este, sur y oeste unidad CR 44-3 | 341 |
| Figura 11.39 Perfiles norte, este, sur y oeste unidad CR 44-4 | 341 |
| Figura 11.40 Perfiles norte, este, sur y oeste unidad CR 44-5 | 342 |
| Figura 11.41 Empedrado en la superficie de la Estructura 13P-2 | 343 |

Capítulo XI-IV

| | |
|---|-----|
| Figura 11.42 Ubicación del Grupo Residencial 13S-2 | 347 |
| Figura 11.43 Ubicación de las excavaciones en el Grupo Residencial 13S-2 | 349 |
| Figura 11.44. Perfiles de la unidad CR 41-1 | 350 |
| Figura 11.45 Muro posterior de la Estructura 13S-2 | 351 |
| Figura 11.46 Planta de la unidad CR 41-2 | 351 |
| Figura 11.47 Perfiles de la unidad CR 41-2 | 352 |
| Figura 11.48 Perfiles de la unidad CR 41-3 | 353 |
| Figura 11.49 Perfiles de la unidad CR 41-5 y CR 41-5A | 354 |
| Figura 11.50 Planta de las unidades CR 41-3, CR 41-5 y CR 41-5A | 354 |
| Figura 11.51 Banqueta posterior de la Estructura 13S-2 | 355 |
| Figura 11.52 Banqueta posterior de la Estructura 13S-2 mostrando relleno | 356 |
| Figura 11.53 Planta del lote CR41-4-4 | 356 |
| Figura 11.54 Elevación de la banqueta posterior de la Estructura 13S-3 | 357 |
| Figura 11.55 Perfiles de la unidad CR41-4 | 357 |
| Figura 11.56 Cuerpos posteriores de la Estructura 13S-2, unidades CR41-7 y CR41-7A | 358 |
| Figura 11.57 Planta de las unidades CR41-7 y CR41-7A | 359 |
| Figura 11.58 Perfiles de la unidad CR41-6 | 360 |
| Figura 11.59 Planta de la unidad CR41-6A | 360 |

Capítulo XII

| | |
|---|-----|
| Figura 12.1 Dientes de posible cánido provenientes del lote CR 35C-6-3 (Entierro 4 de la Estructura 13Q-5) | 374 |
|---|-----|

Capítulo XIII

| | |
|--|-----|
| Figura 13.1 Huesos del Entierro 3, encontrado en la Estructura 13Q-3 | 377 |
| Figura 13.2 Mandíbula y diente del lote CR 33A-6-6 | 378 |
| Figura 13.3 Huesos del Entierro 4, encontrado en la Estructura 13Q-4 | 378 |

Capítulo XIV

| | |
|---|-----|
| Figura 14.1 Tanque de Flotación según Pearsall (2000: 45) y tanque de flotación usado en este proyecto | 388 |
| Figura 14.2 Secado de muestras | 389 |
| Figura 14.3 Método de cubeta | 390 |
| Figura 14.4 Forma de análisis de laboratorio | 392 |
| Figura 14.5 Foto de semilla de la familia <i>Asteraceae</i> | 397 |
| Figura 14.6 Foto de semilla de la familia <i>Cyperaceae</i> | 398 |

Capítulo XV

| | |
|---|-----|
| Figura 15.1 Sitios hallados en la zona de estudio PRALC | 404 |
| Figura 15.2 Áreas de altura relativa en la zona de estudio PRALC | 406 |
| Figura 15.3 Plano de El Achiotal | 407 |
| Figura 15.4 Arquitectura de mampostería temprana en El Achiotal | 408 |
| Figura 15.5 Estructura 4C-11, El Achiotal | 410 |
| Figura 15.6 Mapa tridimensional de La Corona, 2010 | 412 |
| Figura 15.7 La Corona, Plaza principal | 413 |
| Figura 15.8 La Corona, Grupo Coronitas | 414 |
| Figura 15.9 Panel 6, La Corona (dibujo por Linda Schele) | 417 |
| Figura 15.10 Fragmento de Altar 4, La Corona (dibujo por Joane Baron) | 423 |

Listado de Tablas

No. Página

| | |
|--|-----|
| Tabla 3.1 Listado de Materiales por niveles, suboperaciones ACH 2A y ACH 2B..... | 96 |
| Tabla 3.2 Descripción de niveles, suboperaciones ACH 2A y ACH 2B..... | 96 |
| Tabla 4.1 Monumentos dibujados en el sitio La Corona..... | 107 |
| Tabla 4.2 Monumentos dibujados del sitio La Cariba..... | 108 |
| Tabla 4.3 Bloques dibujados de la Escalinata Glífica 1 (CR33A) | 108 |
| Tabla 4.4 Bloques dibujados de la Escalinata Glífica 1 (CR33A), Temporada 2008 | 109 |
| Tabla 7.1 Listado de Materiales por lote, operaciones CR 32G Y CR 32H..... | 194 |
| Tabla 11.1 Listado de Materiales por nivel, Operación CR 42 | 316 |
| Tabla 12.1 Inventario preliminar de fragmentos de huesos de fauna de La Corona | 363 |
| Tabla 13.1 Restos óseos humanos recuperados en 2006 (Entierro 1 y otros lotes)..... | 380 |
| Tabla 13.2 Restos óseos humanos recuperados en 2010 (Entierro 2, CR-14A)..... | 381 |
| Tabla 13.3 Restos óseos humanos recuperados en 2010 (Entierro 3, CR-33A)..... | 383 |
| Tabla 13.4 Restos óseos humanos recuperados en 2010 (Entierro 4, CR-35C)..... | 384 |
| Tabla 14.1 Muestras recolectadas pendientes de análisis..... | 387 |
| Tabla 14.2a Conteo de restos botánicos recuperados y analizados | 393 |
| Tabla 14.2b Conteo de restos botánicos recuperados y analizados..... | 393 |
| Tabla 14.2c Conteo de restos botánicos recuperados y analizados | 394 |

CAPÍTULO I

PROYECTO REGIONAL ARQUEOLÓGICO LA CORONA: ANTECEDENTES Y OBJETIVOS DE LA TEMPORADA 2010

Marcello A. Canuto y Tomás Barrientos

Después de cuatro temporadas cortas de campo entre 2005 y 2009, se ha establecido que el sitio arqueológico La Corona constituye uno de los centros más importantes de la región noroccidental del Petén, tanto por su papel histórico, como por la diversidad de riesgos que amenazan su protección y conservación. Por lo tanto, el Proyecto Regional Arqueológico La Corona (PRALC) continuó con las investigaciones en el sitio y toda su región circundante, no solamente para recuperar más información arqueológica, sino también para colaborar con los esfuerzos para proteger y rescatar el patrimonio cultural y natural de esta zona. PRALC constituye un esfuerzo conjunto de varias personas e instituciones, especialmente la Universidad de Tulane y la Universidad del Valle de Guatemala, representadas por sus directores, el doctor Marcello A. Canuto y el Magíster Tomás Barrientos, respectivamente.

Aunque los estudios llevados antes de esta última temporada nos han proporcionado una visión incompleta y fragmentada de La Corona, han permitido visualizar innumerables cuestionamientos en relación al sitio y la región, especialmente sus relaciones espaciales y temporales. De hecho, empezando en el 2010, iniciamos una segunda etapa de investigación cuyas metas, a grandes rasgos, se esperan realizar durante los siguientes tres años.

Esta segunda fase de trabajo que inició en el 2010 tiene como metas principales 1) realizar excavaciones intensivas en La Corona y El Achiotal, incluyendo la estabilización, estudio y conservación de la arquitectura monumental; 2) llevar a cabo levantamiento topográfico, mapeo, uso de sensores remotos y excavación de los asentamientos alrededor de La Corona; 3) llevar a cabo una exploración de la región entre el La Corona y la frontera entre Guatemala y México; y 4) efectuar estudios paleo-climatológicos y ecológicos.

I. MODALIDAD DE LA INVESTIGACIÓN

Las investigaciones propuestas en este documento se circunscriben dentro de los incisos “a”, “e”, “f” y “g” del Artículo 6, Capítulo I del Reglamento para Desarrollar Proyectos de Investigación Arqueológica de la Dirección General del Patrimonio Cultural y Natural del Ministerio de Cultura y Deportes (2009:3), los cuales literalmente dicen:

- a) *Reconocimientos programáticos y sistemáticos de superficie o sub-acuáticos, con o sin recolección de materiales arqueológicos, que involucren o no pozos de sondeo.*
- e) *Investigaciones integrales a largo plazo e interdisciplinarias sobre las sociedades desaparecidas, las que requieren de excavaciones de sitios, así como de la protección, conservación y restauración de bienes muebles e inmuebles que lo ameriten.*
- f) *Investigaciones que no impliquen excavación, que conlleven el estudio de las evidencias expuestas, como son los análisis sobre arquitectura, pintura mural, epigrafía, iconografía y otros, actividades que requieren fotografía especial, dibujos, copias y otras técnicas documentales.*
- g) *Estudio de gabinete sobre bienes muebles arqueológicos depositados en museos, laboratorios, bodegas y colecciones en general.*

II. JUSTIFICACIÓN DEL PROYECTO

El estudio del sitio La Corona y la región noroccidental de Petén representa una oportunidad para mejorar nuestro entendimiento de las relaciones políticas de la cultura Maya en el período Clásico y la variabilidad de manifestaciones durante el Preclásico. A simple vista La Corona parece ser un sitio de tamaño modesto y de importancia limitada, pero sus numerosos y detallados monumentos jeroglíficos desmienten esta simple caracterización. A pesar de tener un aspecto común para un sitio del período Clásico, La Corona representa una de las fuentes más importantes de información sobre el sitio colosal de Calakmul, y los datos históricos indican que funcionó como centro secundario durante la expansión de este último. Asimismo, las investigaciones en La Corona pueden llegar a convertirse en uno de los pocos triunfos de la colaboración científica contra la depredación y saqueo desenfrenado de la zona. Además, la zona en la cual está ubicado La Corona es una de las menos investigadas del Petén, especialmente los casi 40 Km. entre este sitio y la frontera norte de Guatemala. La ubicación de varios sitios importantes en una zona desconocida justifica entonces el interés en la investigación de La

Corona y sus alrededores. Generalmente la historia de las antiguas ciudades mayas se reconstruye luego de su descubrimiento e investigación. En el caso de La Corona su importancia fue reconocida mucho antes de su propio descubrimiento, debido a la interpretación de sus monumentos saqueados. Para explicar de mejor forma la singularidad de La Corona se ofrece una exposición de la forma en que se ha desarrollado el estudio del sitio en las últimas décadas.

III. ANTECEDENTES

Las investigaciones previas en la zona de La Corona han sido pocas, aunque el sitio conocido como “Sitio Q” ha sido relevante desde hace casi cuarenta años en las discusiones referentes a la investigación del sistema político de los mayas clásicos. No se incluye la historia detallada de las investigaciones en el sitio desde el principio de la década de 1960 ya que esto ha sido incluido en los informes previos de PRALC de 2008 y 2009 (Barrientos y Canuto 2009, 2010). Sin embargo, es importante destacar que durante los cuarenta años previos al inicio del presente proyecto, han existido contribuciones de una multitud de investigadores que han permitido la existencia del PRALC hoy día.

Investigaciones Previas

El proyecto PRALC empezó investigaciones en La Corona en 2008, después de dos expediciones al sitio de La Corona en 2005 y 2006, organizadas por parte del Proyecto El Perú-Waka’, dirigido por David Freidel y Héctor Escobedo (Canuto, et. al. 2006; Canuto 2007, Acuña 2007, Marken y Guenter 2007). Las expediciones tenían como propósito investigar la correlación entre La Corona y el *Sitio Q* propuesta por Stuart (2001), lo que finalmente fue comprobado mediante el descubrimiento de un panel, ahora nombrado Panel 1. Empezando en 2008, se constituyó el Proyecto Regional Arqueológico La Corona (PRALC), dirigido por Marcello A. Canuto y Tomás Barrientos (Canuto y Barrientos 2009, Barrientos y Canuto 2010), que hasta la fecha ha llevado a cabo tres temporadas cortas y preliminares, enfocadas mayormente en establecer las bases para un estudio a largo plazo. Por lo tanto, en 2010 se continuaron algunas exploraciones generales en la arquitectura del sitio y su región circundante, y se definieron aspectos de logística para realizar estudios más amplios y detallados en el futuro. A continuación se presenta un resumen de los datos e interpretaciones más recientes correspondientes a las investigaciones previas en La Corona y su región asociada, especialmente los relacionados a la temporada de campo de 2009.

Reconocimiento

Por tratarse de una zona desconocida arqueológicamente, los estudios llevados a cabo en la región de La Corona—empezando especialmente en la temporada de 2009—han aportado una gran cantidad de datos que desde ya son claves para la interpretación del sitio y toda la zona. Poco a poco, lo que era un área en blanco en los mapas arqueológicos del Petén, se está llenando a medida que se registran nuevos sitios y asentamientos. Las entrevistas con antiguos chicleros y la población local de San Andrés, han permitido elaborar un panorama de la densidad de sitios alrededor de La Corona y hacia la frontera mexicana. Por el momento se han podido visitar algunos de estos sitios, como es el caso de Los Perros y Los Cuyos, que se encuentran en la zona de Paxban (Figura 1.1). Es posible que la densidad de sitios al norte de La Corona sea alta, si se toma en cuenta los resultados obtenidos por Ivan Sprajc en el sur Campeche (Šprajc 2002-2004, 2008), que muestran un asentamiento continuo hacia el norte de la región de El Mirador.

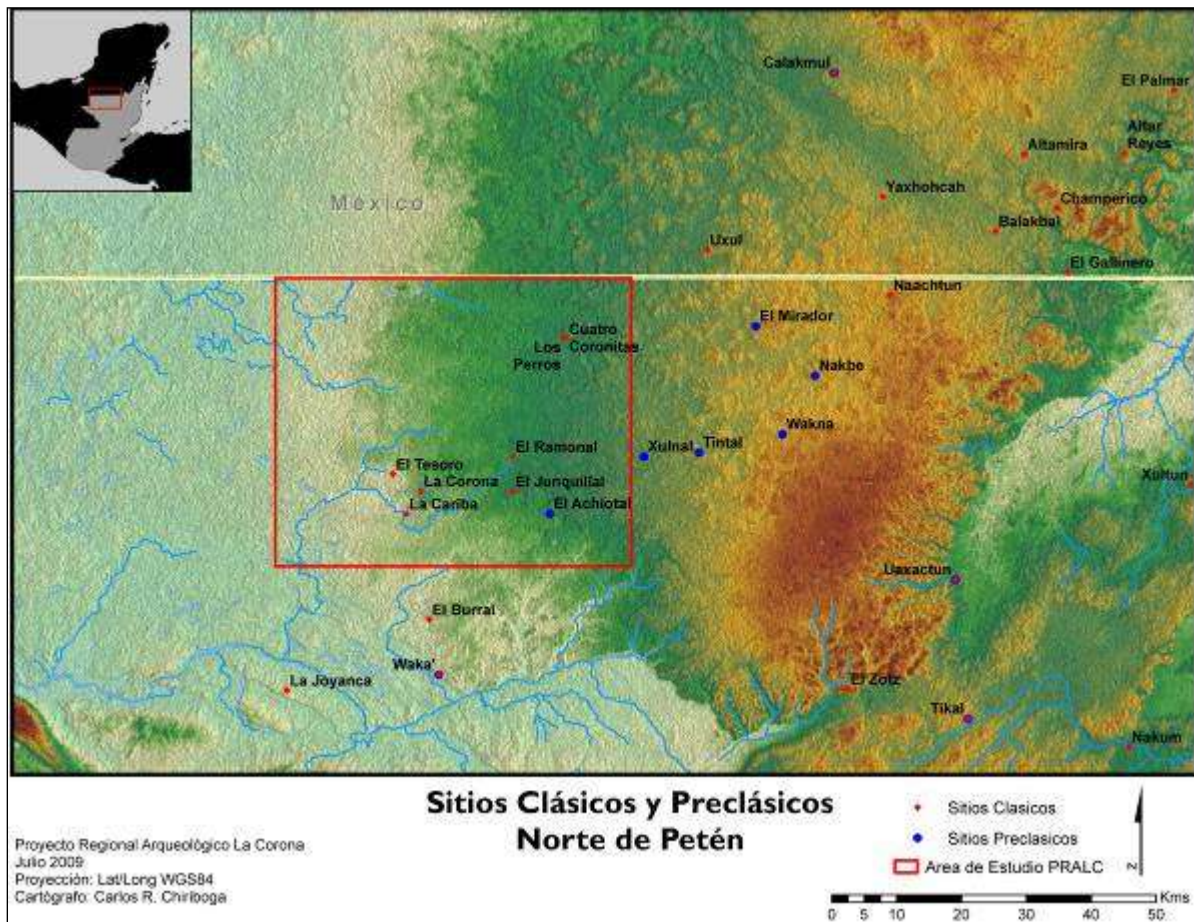


Figura 1.1 Ubicación de los sitios registrados por el proyecto PRALC hasta 2009

No obstante, aún falta establecer la presencia de un sitio mayor en esa región, que pudo conectar a La Corona con otros sitios como Uxul (Grube 2005; Grube y Paap 2006, 2007), que correspondería a la ruta hacia Calakmul (Figura 1.2). Como se mencionó, para la búsqueda de estos se tomará como base la antigua red de campamentos chicleros, y se complementará con sobrevuelos y el uso de sensores remotos, especialmente fotos satelitales.

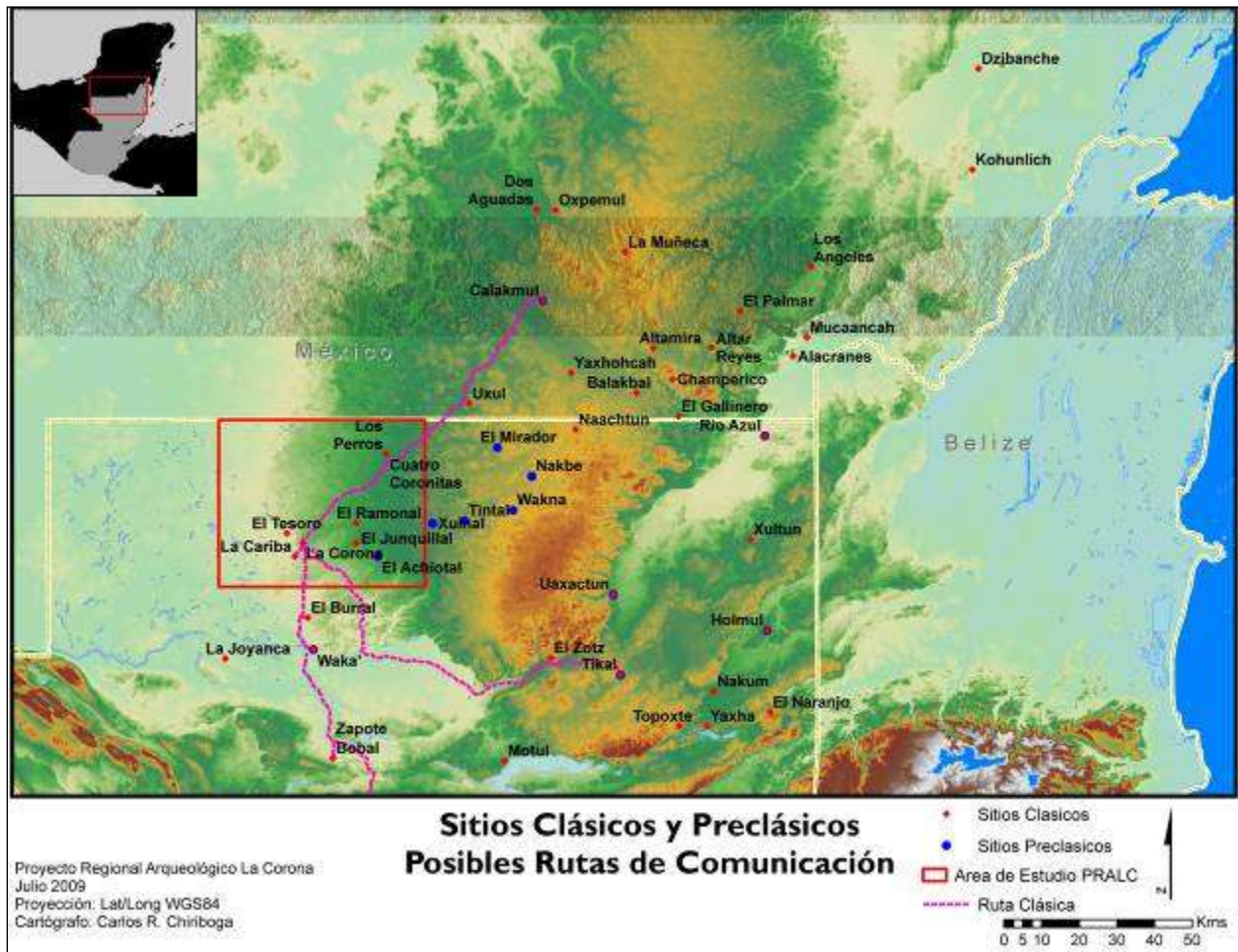


Figura 1.2 Posibles rutas de comunicación relacionadas a La Corona

Los estudios regionales llevados a cabo en 2009 se concentraron en los sitios de La Cariba y El Achiotal. La Cariba es un sitio cercano a La Corona (4 km) que consta de varios grupos de estructuras ubicados en elevaciones cársticas (Figura 1.3). El grupo principal se localiza en una de estas elevaciones, la cual fue modificada en la forma de un gran basamento, sobre el cual se colocó un grupo de estructuras formando una plaza, abierta en su lado norte. Al este se localiza la estructura principal, que se eleva unos 8 m sobre la plaza.

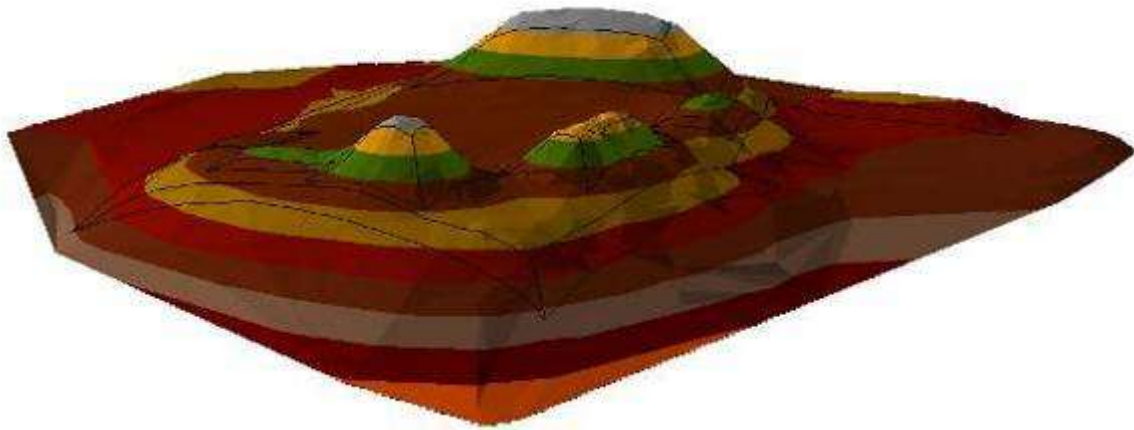


Figura 1.3 Modelo tridimensional del Grupo Principal en La Cariba

Otros sitios, El Junquillal (13kms al este de La Corona) y El Ramonal (14.5 kms al noreste de La Corona), se visitaron y registraron con GPS. Estos parecen haber sido sitios del periodo Clásico del mismo tamaño que La Cariba, posiblemente dentro de la esfera de influencia política de La Corona, que parecen haber sido sedes de familias nobles menores talvez sometidas al poder regional de La Corona. Estos centros se asemejan en escala y organización a varios sitios secundarios más cerca de La Corona, como La Cariba y El Tesoro. La presencia de estos sitios entre 15kms de distancia de La Corona da la impresión que los reyes de La Corona, aunque subordinados a la dinastía *Kaan* de Calakmul, reinaban en un territorio con sus propios sojuzgados.

El otro sitio que contó con investigaciones formales fue El Achiotal (Figura 1.4), cuyo sub-proyecto estuvo a cargo de Mary Jane Acuña. Se ha determinado que este sitio es de ocupación preclásica, por lo que será posible incorporar el área de La Corona con los procesos culturales y sociopolíticos ya definidos para esa época. Las investigaciones en El Achiotal en 2009 han permitido la elaboración del mapa del Grupo Principal y el registro de excavaciones de saqueo en las estructuras principales. Los resultados preliminares indican que sus orígenes pueden remontarse al Preclásico Medio y su ocupación principal corresponde al Preclásico Tardío. El Grupo Principal del sitio fue construido sobre una escarpa natural de roca caliza y contiene varias estructuras arregladas alrededor de una plaza alargada, orientada en un eje norte-sur. En el límite sur se encuentra la Estructura 5C-01, un edificio piramidal de 17 m de alto, y en el límite norte contiene un conjunto palaciego tipo acrópolis.

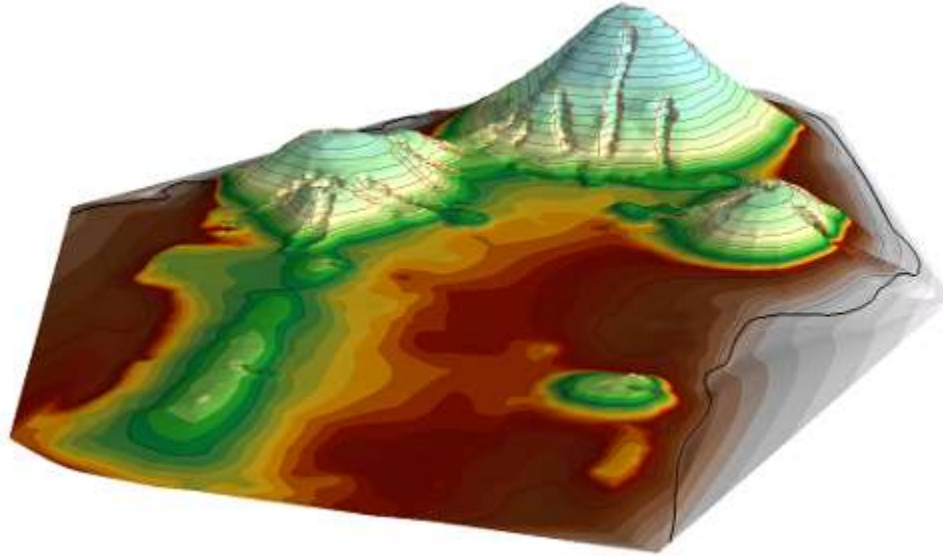


Figura 1.4 Modelo tridimensional de las principales estructuras de El Achiotal

Los estudios cronológicos se basaron en pozos de sondeo y el registro de los túneles de saqueo de la Estructura 1, donde se pueden observar numerosos pisos y subestructuras, las cuales también presentan remodelaciones arquitectónicas a lo largo del período Preclásico Tardío. Un hallazgo relevante es la presencia de un mural pintado en rojo, colocado en el muro exterior de una de las subestructuras.

Mapeo

El mapa del sitio se está realizando por Damien Marken y Rodrigo Guzmán, quienes en 2009 ya habían registrado los grupos arquitectónicos mayores usando un sistema Total Station Topcon y Sokkia. El mapeo consiste en la ubicación de cada estructura por GPS, un levantamiento topográfico del sitio, y el registro tridimensional de cada estructura. Se ha aumentado el mapa original de Graham, así como el número de estructuras monumentales del sitio. El mapa topográfico tridimensional del sitio demuestra que la ubicación de cada conjunto arquitectónico del lugar aprovecha los pocos puntos elevados del área. Es obvio entonces que La Corona fue favorecida por grandes cantidades de agua y el patrón espacial del sitio está mayormente definido por cuestiones de drenaje. En 2009 se extendió el mapa hacia el oeste del Palacio y al norte del Grupo Coronitas hasta llegar al área del campamento (Figuras 1.5, 1.6).

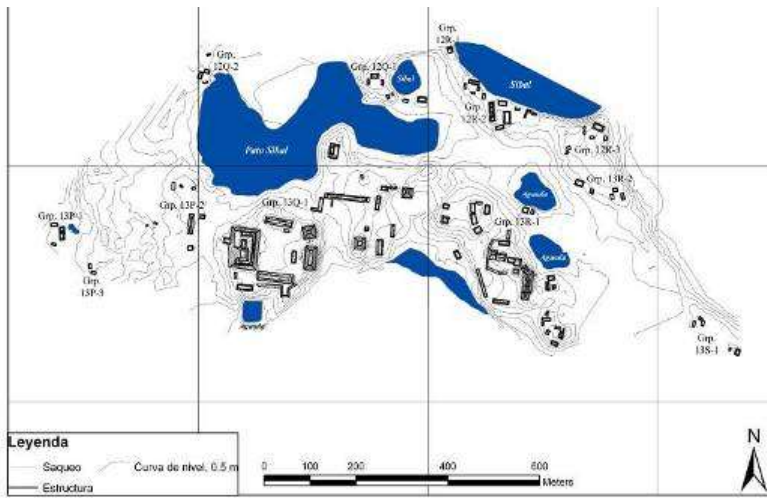


Figura 1.5 Mapa de La Corona, versión 2009 (D. Marken)

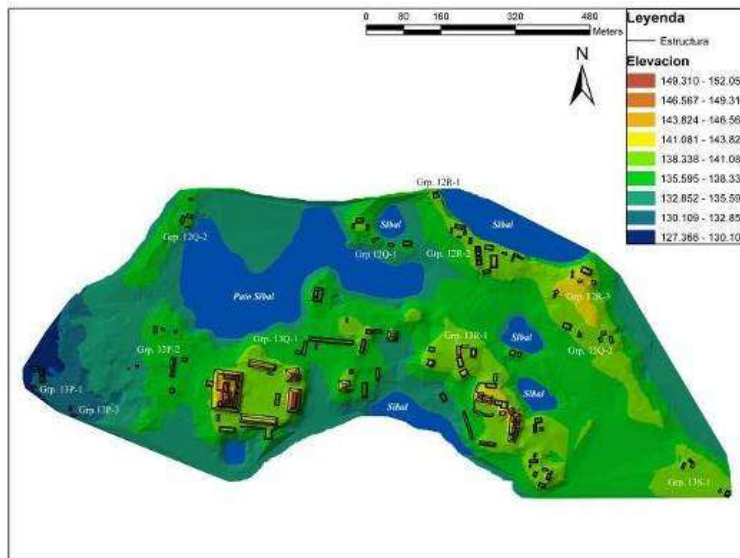


Figura 1.6 Mapa tridimensional de La Corona, versión 2009 (D. Marken)

Excavaciones de Sondeo

Las excavaciones de sondeo se realizaron mayormente en 2006, en las plazas de los grupos Principal y Coronitas, recaudando los primeros datos sistemáticos de la ocupación del sitio. Estas excavaciones revelaron que la mayoría de los patios de los distintos grupos arquitectónicos tuvieron una fase de construcción durante el Clásico Tardío (Acuña 2007). Además, varias excavaciones han dado indicios de múltiples fases de construcción en los grupos arquitectónicos principales. Estos datos sugieren secuencias constructivas de mayor antigüedad, abarcando el Clásico Temprano. Por otro lado, se ha recuperado material aun más temprano, inclusive del Preclásico, dando la impresión que la ocupación que el lugar no estaba exclusivamente vinculado a la fundación y existencia de un centro dinástico bajo el dominio de Calakmul.

Estudios arquitectónicos

Hasta el 2009 las excavaciones del sitio se han enfocado en la Plaza Principal y en el Grupo Coronitas del sitio. Estos dos grupos de plaza tienen una planificación distinta, lo que ha llevado a sugerir que tuvieron distintas funciones. La Plaza Principal tiene un diseño más regular, siendo similar a otros sitios, por lo que pudo tener un carácter más público. En cambio, Coronitas tiene un diseño bastante irregular, tal vez para actividades rituales de tipo más restringido y asociadas a deidades patronales del sitio. Hay que tomar en cuenta también que Coronitas no tiene monumentos como altares y estelas, solamente los pequeños paneles dentro de los edificios.

En la Plaza Principal, se han realizado trabajos en el Palacio—Estructura 13Q-4 (Padilla 2010), que incluyeron dos pozos estratigráficos en patios interiores y una trinchera en la fachada este en el eje del edificio, donde se expuso la escalinata de acceso, así como otros rasgos arquitectónicos. Se pudieron observar varias gradas en mal estado de conservación, así como las jambas del pasillo central de la Estructura 13Q-4AB, que funcionó como acceso principal al conjunto arquitectónico. No se encontró evidencia de la Escalinata Glífica 3, por lo que ahora se supone que pudo ubicarse en alguna de las superestructuras que se ubican sobre el basamento.

En cuanto a los pozos estratigráficos, se encontró una secuencia de 4 pisos estucados, correspondientes a varias remodelaciones. Bajo el último, se descubrió un relleno de gran

tamaño y un muro en talud que pareciera ser de contención, aunque es posible que sea parte de una estructura temprana. La cerámica recuperada en estos contextos indica que existió una versión del Palacio para el Clásico Temprano, cuyas dimensiones eran de carácter monumental.

Las excavaciones en la Estructura 13Q-2 (Guenther 2010) se enfocaron en exponer la esquina noroeste del basamento y la parte central de la superestructura. La arquitectura es de buena calidad y se encontraron repellos y piso de estuco bien conservado. Frente a la Estructura 13Q-2 se encuentra la plataforma 13Q-6 (Figura 1.7), la cual se había sugerido que formaba parte de una cancha para Juego de Pelota. No obstante la alta perturbación causada por pozos y trincheras de saqueo, las excavaciones lograron definir algunos rasgos arquitectónicos, incluyendo las esquinas noreste y noroeste, así como algunos alineamientos de piedras en la fachada este. Aunque no se ha definido por completo esta plataforma, lo expuesto hasta ahora sí sugiere la existencia de una cancha conformada por la extensión del basamento de 13Q-2 y la plataforma 13Q-6. La alta cantidad de saqueo en 13Q-6 también sugiere que allí pudo ubicarse la Escalinata Glífica 2, que contenía figuras de jugadores de pelota.

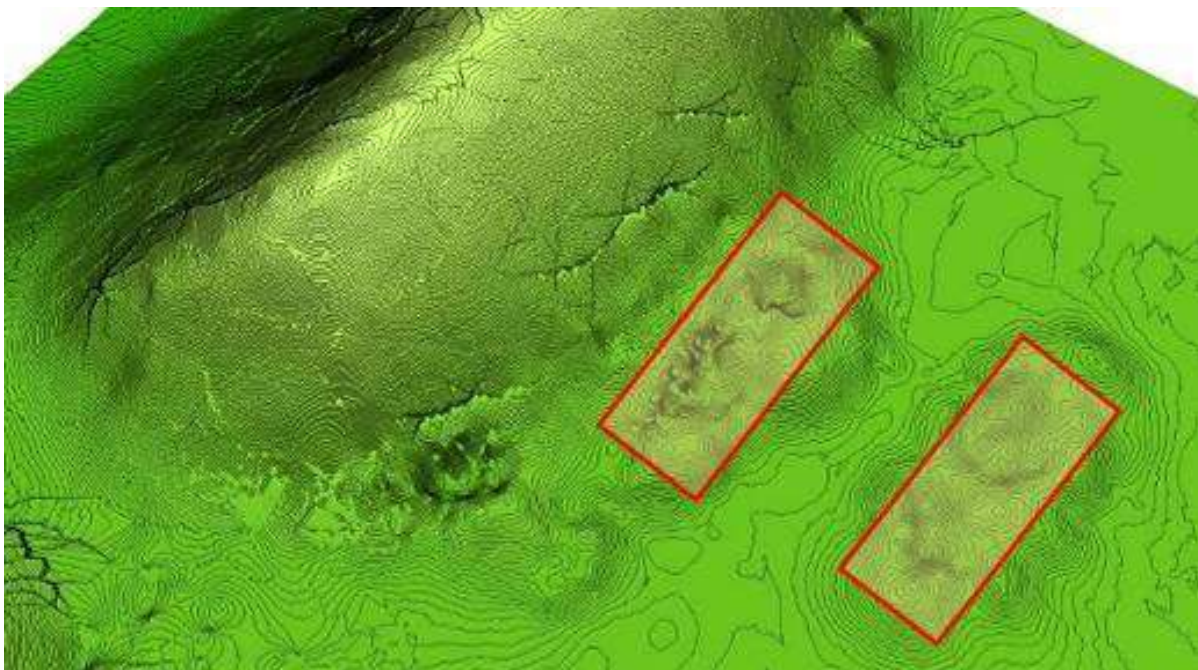


Figura 1.7 Posible ubicación de la cancha de Juego de Pelota en la Plaza Principal

Las excavaciones en la Estructura 13Q-3 (Desailly-Chanson 2010) han confirmado la presencia de la Escalinata Glífica 1, mediante el descubrimiento de varios bloques tallados con glifos *in situ*. Esta escalinata es bastante particular, ya que cada bloque es muy pequeño, conteniendo un solo glifo tallado. En total, se han recuperado 63 bloques, todos de ellos muy erosionados y la mayoría fuera de su lugar original (Figura 1.8). La lectura de algunos bloques indica que esta escalinata trataba de temas bélicos, especialmente por la presencia de títulos asociados a prisioneros.



Figura 1.8 Algunos de los bloques de la Escalinata Glífica 1, Estructura 13Q-3

En el Grupo Coronitas (Baron 2010), los trabajos se han concentrado en la Estructura 13R-3, que corresponde al templo piramidal que ocupa el lugar central en el conjunto de 5 templos (Figura 1.9). Su estado de conservación es bastante malo, debido a una gran trinchera de saqueo en su parte posterior, que fue investigada en 2008. Las excavaciones en 2009 terminaron de exponer la escalinata principal de acceso, y se definieron algunos rasgos como los cuerpos superiores y el muro lateral de escalinata. En estos trabajos se expuso parte de un mascarón estucado, que sirvió como elemento decorativo del edificio.

En la Estructura 13R-9 (Acuña 2007, 2009), la definición de la escalinata de acceso fue difícil, por el alto grado de erosión que sufrió el edificio. Además se constató que esta estructura fue sujeta a numerosas remodelaciones, más que todo en la forma de agregados sobre la escalinata. Las excavaciones en la parte superior de la estructura expusieron una ofrenda en forma de escondite, que fue sellada por un piso de estuco (Gómez 2010).

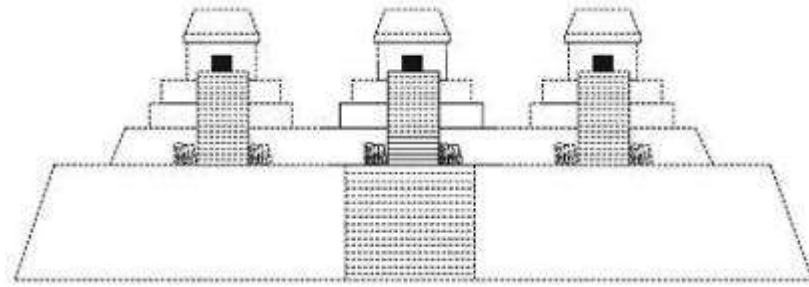


Figura 1.9 Reconstrucción hipotética de las estructuras 13R-2, 13-R-3 (al centro) y 13R-4

Registro y Ubicación de Monumentos

El registro de monumentos ha logrado reubicar todas las piezas originalmente descritas por Stuart y Graham (Graham 1997) y se han hallado algunos “cadáveres” de monumentos cortados que posiblemente corresponden a varias piezas del *Sitio Q*. Además de trabajar los textos del *corpus* original del *Sitio Q*, también se han incorporado de las nuevas piezas halladas entre 2005 y 2009. Dado que la cantidad de monumentos en La Corona era inusual para un sitio de su tamaño, se espera encontrar fragmentos faltantes y también nuevos monumentos. Desde el principio del proyecto se ha buscado evidencia para ubicar la posición original de las tres escalinatas, ya que se piensa que todas se encuentran en la Plaza Principal del sitio, en las estructuras 13Q-3, 13Q-2 y 13Q-4. Por el momento, ya se confirmó la presencia de la Escalinata 1 en la Estructura 13Q-3, y hay evidencia que indica que la Escalinata 2 se encontraba frente a la Estructura 13Q-2, en lo que pudo ser la cancha de Juego de Pelota del sitio.

Avances Epigráficos

Un avance epigráfico en La Corona de suma importancia es la interpretación del Panel 6, (Panel de Dallas), que registra la llegada de tres mujeres del reino Kan en distintas épocas de la historia de La Corona (Martin 2008). La primera de ellas llega en 520 d.C., cuando la capital pudo ubicarse en Dzibanche. La otra mujer fue hija del gobernante Yuknoom Ch’een, y llegó en 679 d.C., para contraer matrimonio con el gobernante local, K’inich ¿? Yook. Finalmente, la llegada de la tercera mujer ocurrió en 721 d.C., cuando se dedicó el monumento, y cuando el poder de Calakmul ya estaba disminuyendo. La importancia de estos eventos radica en que confirma la relación directa entre La Corona y el reino Kan y evidencia nuevamente el papel político que jugaron las mujeres nobles en este tipo de actividades diplomáticas.

Análisis Cerámico

Hasta el momento el análisis de artefactos cerámicos ha sido de manera preliminar, limitándose únicamente a la identificación de tipos diagnósticos para determinar cronología. Por esta razón los análisis preliminares se han incluido dentro de cada investigación específica. No obstante se espera que en la Temporada 2011 se cuente ya con una especialista que pueda iniciar el análisis de todos los contextos de La Corona y los demás sitios investigados.

Estudios de ecología

En 2009, se iniciaron los estudios que permitirán reconstruir las características ambientales de la región de La Corona en tiempos prehispánicos. Estas investigaciones están a cargo de Peter Douglas, candidato al doctorado en geología en la Universidad de Yale, quién procederá a aplicar métodos de investigación que no han sido utilizados en el área Maya.

La investigación de Douglas va dirigida a establecer los cambios en niveles de precipitación durante la ocupación prehispánica de La Corona y sus alrededores. Para ello, analizará lípidos (fatty acids) de las plantas encontradas en los sedimentos de sibales y otros cuerpos de agua. Estos lípidos han sido definidos como indicadores directos de aumento o disminución de lluvia. Según Douglas, el análisis de lípidos de plantas es más eficiente que el análisis de densidad de sedimentos o de proporciones de isótopos de oxígeno en las conchas de los gasterópodos, ya que estos dos tipos de análisis solamente miden fluctuaciones en el nivel de agua de lagos y lagunas, lo que no necesariamente es causado por falta de precipitación pluvial. En este caso, hay que tomar en cuenta que el aumento de vegetación a los alrededores de los cuerpos de agua (posiblemente causado por la disminución de actividad agrícola) puede absorber más cantidad de agua y por lo tanto causar un descenso en los niveles de los cuerpos de agua.

Douglas ha aplicado el análisis de lípidos a las muestras de sedimentos tomadas en Yucatán, y sus resultados preliminares no coinciden con los obtenidos a través de densidad de sedimentos y gasterópodos. Aunque ambos métodos definen épocas con poca agua, las fechas difieren en unos dos siglos, es decir, que la época con menor precipitación se define entre los años 1,200 y 1,400 d.C., y no entre 800 y 1,000 d.C., como se ha propuesto en diversas publicaciones (Hodell et al. 2007; Hodell et al. 1995).

Conclusiones preliminares

Después de estas temporadas, se puede confirmar que la región de La Corona es una zona importante en el mundo Maya Clásico. Su ubicación al norte de *Waka'* y al este de Tikal lo identifica como un punto crítico y estratégico para el intercambio y comunicación entre Calakmul y el sur del Peten. Es muy probable que para Calakmul, la existencia de un fuerte aliado en La Corona fuera imprescindible para su abastecimiento continuo de mercancías como obsidiana, jade, y basalto. Además, su ubicación cerca de varias fuentes de agua resultaría estratégica para el movimiento de grupos grandes entre Calakmul el resto de la zona maya al sur.

IV. PLANTEAMIENTO TEÓRICO Y OBJETIVOS

El alcance del proyecto plantea un estudio amplio de varios temas básicos y fundamentales en los estudios arqueológicos de la cultura Maya (para más detalle véase Barrientos y Canuto 2009, 2010). El estudio de la región ofrece la oportunidad única para:

- 1) Entender la organización política y social de los mayas del período Clásico (250-900 DC) a través de la relación entre capitales regionales y sitios secundarios.
- 2) Estudiar cómo el desarrollo y declive socio-político Maya se relacionan con su adaptación al ambiente de las Tierras Bajas Centrales.
- 3) Investigar la extensión de la civilización Maya del periodo Preclásico hacia el oeste y su relación y/o comunicación con las civilizaciones mesoamericanas contemporáneas en la región del istmo y Golfo de México.
- 4) Apoyar los esfuerzos para el rescate, protección y conservación del patrimonio cultural y natural en el Noroccidente del Petén.

De acuerdo a los planteamientos teóricos expuestos, a continuación se presentan los objetivos generales y específicos del proyecto de la Temporada de Campo 2010:

Objetivos Generales

- 1) Investigar los sitios arqueológicos del noroeste del Petén, con énfasis en el sitio La Corona y sus alrededores.
- 2) Formular modelos políticos, económicos y culturales que expliquen el paisaje político antiguo de los reinos Mayas asociados al Reino de Calakmul entre los siglos VI y VIII d.C., así como sus relaciones con otros sitios de las Tierras Bajas Mayas durante el Período Clásico.
- 3) Generar interés y estimular el desarrollo de las investigaciones arqueológicas, programas de conservación cultural y natural en el Parque Nacional Laguna del Tigre y sus alrededores.
- 4) Fortalecer las acciones de protección y conservación de la antigua ciudad de La Corona y los bienes culturales y naturales de la región de estudio.

Objetivos Específicos

- 1) Reconstruir la historia de La Corona mediante secuencias cerámicas y arquitectónicas, así como el análisis de otros artefactos.
- 2) Investigar y conservar la arquitectura monumental de La Corona
- 3) Conducir investigaciones de reconocimiento, levantamiento topográfico, mapeo y excavación del asentamiento de los alrededores de La Corona.
- 4) Explorar la región entre La Corona y la frontera entre Guatemala y México con base a recorridos sistemáticos y la aplicación de sensores remotos.
- 5) Definir una ruta terrestre que comunicaba La Corona y Calakmul, así como otros sitios importantes a lo largo de la misma.
- 6) Ampliar la historia de Calakmul y sus aliados mediante el análisis de las inscripciones de La Corona.
- 7) Investigar la extensión occidental de la civilización Maya durante el periodo Preclásico, especialmente a través de las investigaciones en el sitio El Achiotal.
- 8) Efectuar estudios paleo-climatológicos y paleo-ecológicos en La Corona.
- 9) Realizar análisis de artefactos cerámicos, líticos y óseos provenientes de la región de La Corona, para establecer secuencias cronológicas, estudios funcionales y relaciones interregionales.

V. ORGANIZACIÓN DEL PROYECTO

El PRALC propone un estudio regional de una zona del Petén poco estudiada, donde La Corona representa el sitio clásico Maya con arquitectura monumental más noroccidental de Guatemala. Aunque ya se han hecho algunos estudios de reconocimiento (Kaufman y Leal 1988; Leal y López 1993; Leal, López et al. 1988), no se han realizado investigaciones intensivas en esta zona. De hecho, al norte de La Corona hasta la frontera Guatemala-México, yacen más de 30 Km. de territorio inexplorado donde podrían estar ubicados varios sitios monumentales.

Zona de Estudio

El PRALC propone estudiar una zona que abarca la región entre Waka' y La Corona hasta la frontera norte de Guatemala, que incluye unos 50 km al oeste de la "Cuenca Mirador" (Figura 1.10). En total, la zona mediría casi 2,200 km². Aunque no se podrá realizar un estudio arqueológico exhaustivo de esta zona completa, se espera que el uso de sensores remotos permita explorar de manera "virtual" toda la región entre La Corona y la frontera norte. A continuación se describen los límites del área de estudio:

- 1) Límite occidental: nacimiento de los ríos Chocoo, Xan, y Candelaria. Los tres afluentes llevan hacia el oeste y probablemente representan rutas de comunicación entre el centro del Petén y el occidente. Se considera posible que existen sitios a lo largo de ellos.
- 2) Límite sur: entre Waka' y La Corona, justo donde nace el Río San Juan, que fluye al sur hacia el Río San Pedro Mártir.
- 3) Límite oriental: definido arbitrariamente, colindante con la región de El Mirador, aproximadamente a 6 km al oeste de Carmelita, cerca del nacimiento del Arroyo Sac Chich.

La zona de estudio, como polígono, tiene sus esquinas aproximadamente en las coordenadas N 17° 49' 04" W90° 35' 00" (punto noroeste); N 17° 49' 07" W90° 07' 00" (punto noreste); N 17° 25' 00" W90° 35' 00" (punto suroeste) y N 17° 25' 00" W90° 07' 00" (punto sureste). El área se encuentra en varias zonas distintas de la Reserva Biosfera Maya, que son: Parque Nacional Laguna del Tigre, Zona de Manejo Especial Laguna del Tigre y Corredor Biológico. En cuanto a concesiones, están Paxbán al noreste y San Andrés (AFISAP), Carmelita y La Colorada al sureste. La zona está en la jurisdicción del municipio de San Andrés, departamento de Petén y no incluye comunidades actuales, aparte asentamientos ilícitos.

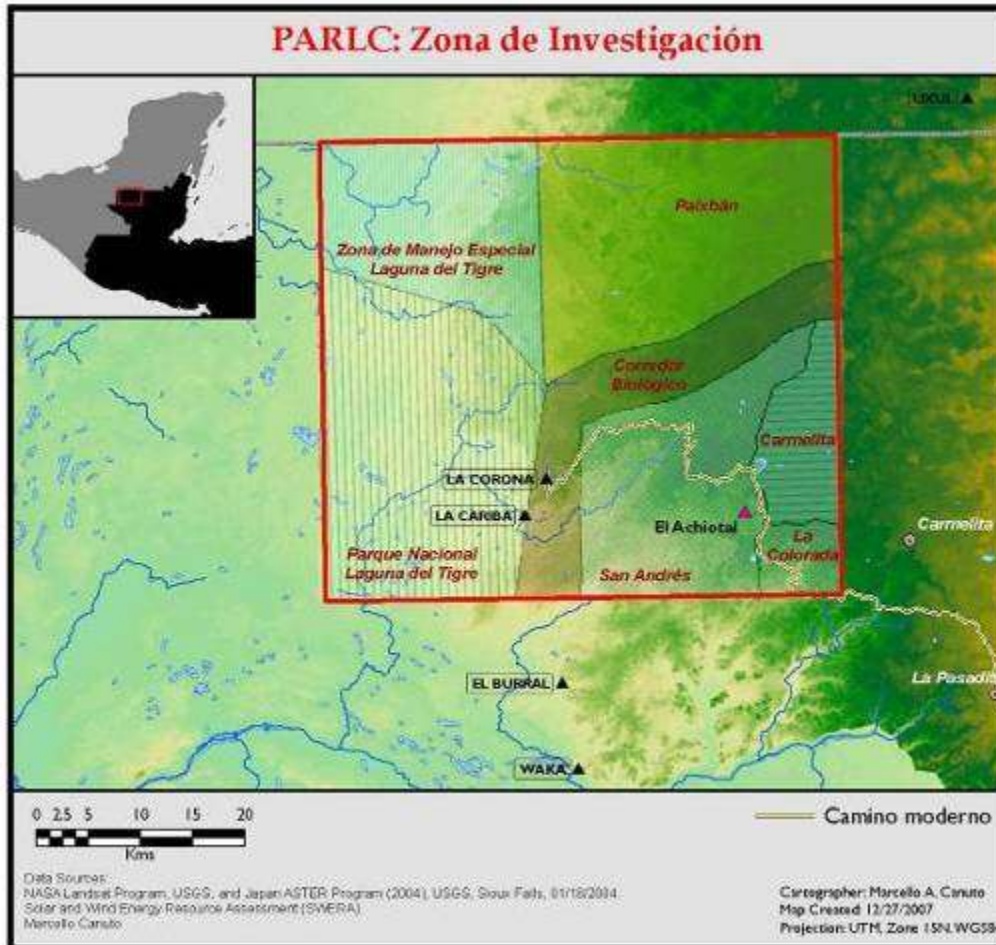


Figura 1.10 Zona de Estudio con límites aproximados

Alianza para la Protección e Investigación del Corredor Biológico PNLDT-PNMR

En el 2008, se propuso una alianza llamada Escudo Jaguar, formada por varias ONGs (WCS, Pro-Petén, Asociación Balam), entes gubernamentales (IDAEH, CONAP, DIPRONA), comunidades locales (ACOFOP, AFISAP) y proyectos arqueológicos para la protección de esta área. Consecuentemente, el proyecto propuesto aquí haría parte de un esfuerzo multilateral necesario para la conservación de los bienes culturales y naturales de la región.

Campamento La Corona

A inicios de la temporada 2010 se terminó la construcción del campamento permanente para los investigadores y trabajadores del proyecto, para lo cual se cuenta con el aval del Ministerio de Ambiente y Recursos Naturales, después de realizarse una Evaluación Ambiental Inicial (EAI).

El lugar fue escogido en 2006 cuando se hizo un reconocimiento rápido de los alrededores del sitio (Figura 1.11), ya que se encuentra cerca del camino y fuentes de agua suficientes. Este lugar está ubicado en la orilla del sibal nombrado Jabirú, que queda a menos de 500 m al este del Grupo Coronitas (cuadrante 12S).

El diseño del campamento es de bajo impacto ambiental, por lo que se han tomado medidas en cuanto al manejo de desechos, drenaje y la minimización de materiales que no son propios del lugar (lámina, malla, block, cemento). Este campamento puede servir como base para vigilantes del proyecto, así como personal del IDAEH, CONAP, Ejército de Guatemala y otras instituciones que operan en la zona. Adicionalmente, se utilizaron estaciones de CONAP en La Cariba, y de AFISAP en Buena Vista, para las investigaciones en El Achiotal y otros sitios ubicados en los alrededores de La Corona.

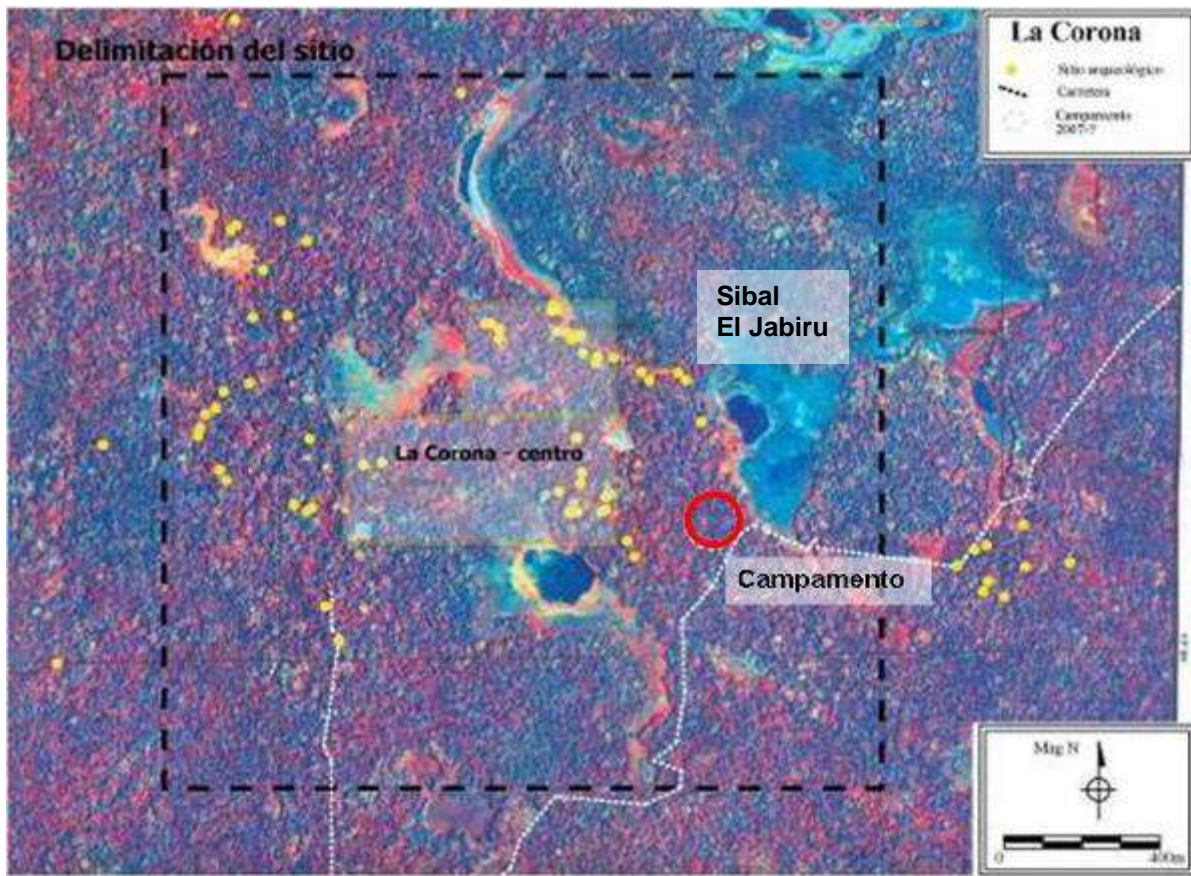


Figura 1.11 Delimitación del sitio La Corona y ubicación del Campamento del PRALC

El campamento incluye tres estructuras principales: comedor-cocina, laboratorio-bodega de materiales y oficina-bodega de equipo y herramientas (Figura 1.12). Estas consisten de estructuras con techo de lámina, paredes de block y malla metálica con cedazo. Adicionalmente se construyeron sanitarios, duchas y un área de lavandería. En cuanto al área de dormitorio, se hicieron dos ranchos de guano para albergar 32 carpas (personal operativo). Para el personal técnico y profesional se cuenta con 10 ranchos individuales para carpas y un rancho grande para visitantes.

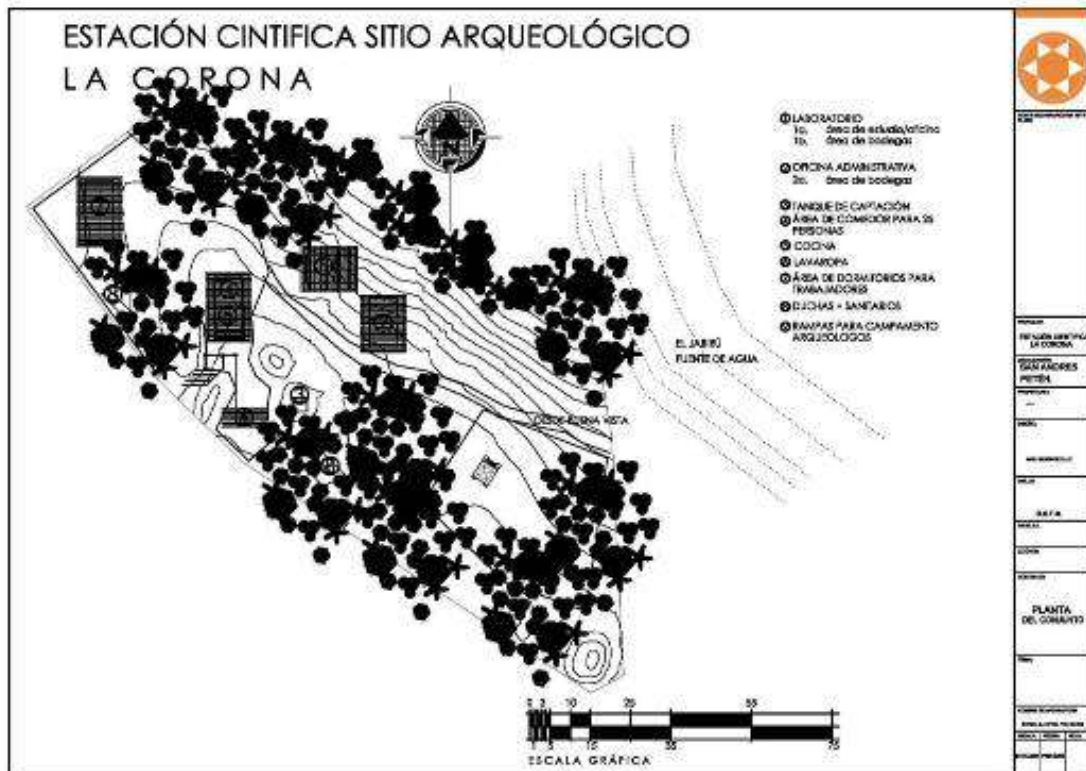


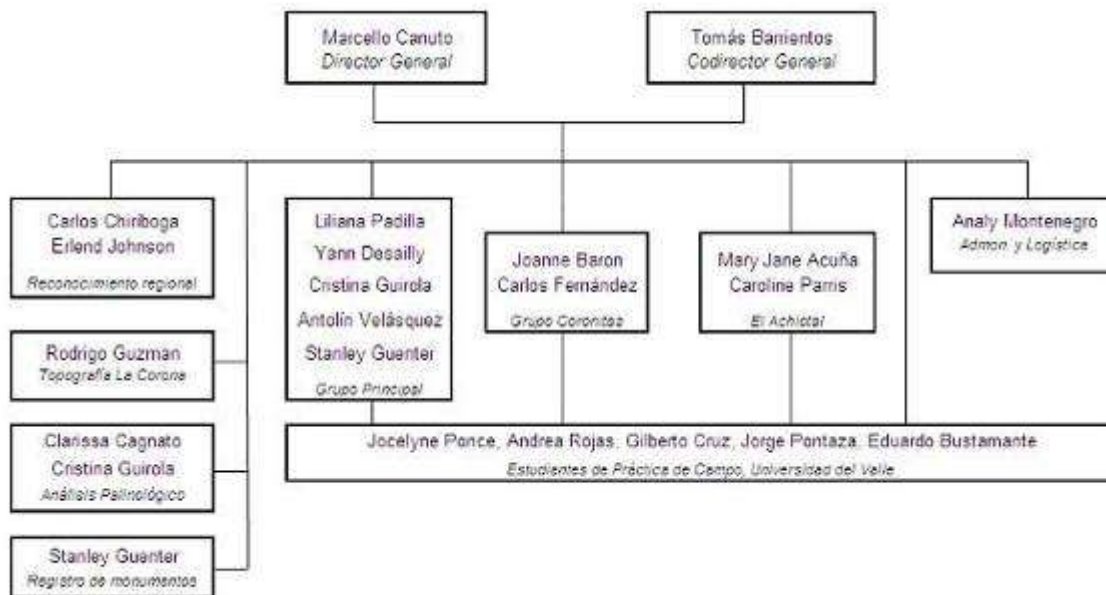
Figura 1.12 Planta del Campamento del PRALC

Personal Científico y Técnico

- Dr. Marcello A. Canuto, Universidad de Tulane
Director General del Proyecto
- Dr. *Infieri* Tomás Barrientos, Universidad del Valle de Guatemala (UVG)
Codirector General del Proyecto
- M.A. Mary Jane Acuña, Universidad de Washington de St. Louis
Directora del subproyecto en El Achiotal
- Dr. *Infieri* Yann Desailly, Universidad de Yale
Arqueólogo, Grupo Principal (Estructuras 13Q-3 y 13Q-5)
- Dr. *Infieri* Stanley Guenter, Universidad Metodista de Sur
Epigrafista de campo
- Dr. Bruce Love
Registro de Monumentos
- Licda. Liliana Padilla, Universidad de San Carlos de Guatemala (USAC)
Arqueóloga, Grupo Principal (Estructura 13Q-4, Palacio)
- Licda. *Infieri* Cristina Guirola, Universidad del Valle de Guatemala (UVG)
Arqueóloga (Estructura 13Q-2A) y auxiliar de análisis palinológico
- Lic. *Infieri* Antolín Velásquez, Universidad de San Carlos de Guatemala (USAC)
Arqueólogo, Grupo Principal (Estructura 13Q-2)
- Dra. *Infieri* Joanne Baron, Universidad de Pennsylvania
Epigrafista y Arqueóloga, Grupo Coronitas
- Lic. *Infieri* Carlos Fernández, Universidad del Valle de Guatemala (UVG)
Arqueólogo, Grupo Coronitas (Estructura 13R-9)
- Dr. *Infieri* Carlos Chiriboga, Universidad de Yale
Arqueólogo, reconocimientos regionales
- Lic. *Infieri* Rodrigo Guzmán, Universidad del Valle de Guatemala (UVG)
Mapeo de grupos residenciales en La Corona
- Licda. Caroline Parris, Universidad de Tulane
Arqueóloga auxiliar, subproyecto El Achiotal
- Lic. Erlend Johnson, Universidad de Tulane
Arqueólogo auxiliar, reconocimientos regionales

- Dra. *Inferi* Clarissa Cagnato, Universidad de Washington de St. Louis
Arqueóloga encargada de análisis palinológicos
- Jocelyne Ponce, Universidad del Valle de Guatemala (UVG)
Estudiante de práctica de campo
- Andrea Rojas, Universidad del Valle de Guatemala (UVG)
Estudiante de práctica de campo
- Gilberto Cruz, Universidad del Valle de Guatemala (UVG)
Estudiante de práctica de campo
- Jorge Pontaza, Universidad del Valle de Guatemala (UVG)
Estudiante de práctica de campo
- Eduardo Bustamante, Universidad del Valle de Guatemala (UVG)
Estudiante de práctica de campo
- Cassandra Sansregret, Universidad de Montreal
Dibujante de campo
- Licda. *Inferi* Analy Montenegro, Centro Universitario de Petén (CUDEP)
Administración y Logística

Organigrama



AGRADECIMIENTOS

Los directores y el personal del Proyecto Regional Arqueológico La Corona agradecen a todas las personas e instituciones que de una u otra manera colaboraron para el desarrollo de la Temporada de Campo 2010. Entre las instituciones merecen mención la Fundación Seaver y el Middle American Research Institute (MARI) y la Universidad del Valle de Guatemala (UVG), así como IDAEH, CONAP, MARN, WCS, Asociación B'alam, AFISAP, Mesoweb, etc. Reconocemos también la labor del personal técnico del proyecto, provenientes de las comunidades de San Andrés, Ixhuacut, Dolores, Centro Campesino, y Cruce Perdido, todas del Petén. Agradecemos también a todas las personas que nos brindaron consejos académicos, en especial la parte epigráfica, por parte de David Stuart y Simon Martin, así como el apoyo general a nuestro trabajo, por parte de David Freidel, Roan Balas, Bayron Castellanos y los miembros de APANAC. Reconocemos también a la ayuda de personas individuales que colaboraron con el manejo de la logística, como Gloria Argueta de Montenegro, Estuardo Montenegro, Gersson Tillit, Gamaliel Jiménez, Rolando Monzón y todos nuestros amigos en Flores. Dada la gran cantidad de colaboradores, nos disculpamos por omitir algún nombre, por lo que nuestro agradecimiento va de manera general a todos.

CAPÍTULO II

SUB-PROYECTO DE RECONOCIMIENTO ARQUEOLÓGICO REGIONAL: TEMPORADA 2010

Carlos Roberto Chiriboga Holzheu

Introducción

Como parte del componente regional del Proyecto Regional Arqueológico La Corona (PRALC), la temporada de campo del 2010 vio el inicio del sub-proyecto de reconocimiento arqueológico regional a lo largo del área de estudio del PRALC. Este sub-proyecto nace con el propósito de identificar el patrón del asentamiento de la zona occidental de la Reserva de la Biosfera Maya (RBM), la cual ha recibido poca atención de parte de investigadores hasta el momento. Este programa de investigación tiene como meta principal la identificación de sitios en el área de estudio del PRALC con la finalidad de elaborar un modelo de asentamiento regional que, de manera generalizada, abarque los períodos de ocupación prehispánica en la región, y específicamente se enfoque en la identificación de asentamientos de los períodos Preclásico y Clásico Temprano.

La temporada 2010 tuvo como objetivo llevar a cabo un reconocimiento preliminar del área, enfocándose en hacer un recorrido de la región para recopilar datos relacionados con la facilidad de transporte, las necesidades logísticas y el refinamiento de la metodología necesaria para llevar a cabo un proyecto de esta magnitud. Paralelamente a esto se aprovechó para llevar a cabo reconocimientos iniciales en áreas de interés así como visitar sitios reportados con anterioridad. A continuación se presentan la metodología utilizada para guiar el reconocimiento así como los resultados preliminares producto de esta primera temporada de investigaciones.

Los sensores remotos y la identificación de sitios arqueológicos

El acelerado desarrollo en tecnologías de sensores remotos durante las últimas décadas ha proporcionado nuevas y poderosas herramientas a los arqueólogos. La disponibilidad de imágenes satelitales multi-espectrales de alta resolución, como lo son los productos *IKONOS* y *QuickBird*, han permitido llevar a cabo proyectos de reconocimiento arqueológico de extensas

áreas desde una perspectiva aérea, en especial aquellas con poca o ninguna cobertura boscosa, representando un importante ahorro en tiempo y recursos para los investigadores. Sin embargo, en áreas con cobertura boscosa como lo es la RBM, estos resultados han sido difíciles de repetir.

Recientemente, William Saturno y un grupo de investigadores ha reportado el éxito alcanzado en su trabajo en el área alrededor del sitio de San Bartolo en la RBM oriental, identificando sitios por medio de la firma espectral producida en la vegetación creciendo sobre las estructuras (Saturno, et al. 2007). Aunque este representa un importante avance en la aplicación de estas tecnologías a la arqueología Maya, los resultados iniciales reportados por los investigadores no han podido repetirse en otras regiones (Garrison, et al. 2008).

A pesar del aparente éxito en el uso de imágenes satelitales de alta resolución para identificar sitios en otras áreas de la RBM, esta técnica no ha generado resultados positivos para la RBM occidental. Una posible explicación de este problema puede encontrarse en la heterogeneidad encontrada a través de la RBM. El occidente de la RBM contrasta con el área del oriente y la meseta central por medio de una serie de importantes factores. Primero, la RBM occidental presenta altos niveles de humedad a lo largo del año cuando se compara con las otras regiones. Por otro lado, el occidente de la RBM forma parte de las cuencas hidrográficas de los ríos San Pedro Mártir y Candelaria. Dentro de su recorrido hacia los ríos y su eventual desembocadura en la costa del Golfo mexicana, la hidrología de la región forma grandes extensiones de humedales permanentes y estacionales reconocido como el segundo sistema de humedales de agua dulce más grande de América.

Los factores mencionados anteriormente parecen limitar la efectividad de la técnica presentada por Saturno y otros debido a las diferencias edáficas, pedológicas y topográficas. Estas diferencias se expresan sobre la vegetación tanto por la composición de la cobertura boscosa así como en las características visibles del dosel vegetal de la región, lo cual podría afectar disipando la firma espectral que ha sido identificada en las imágenes satelitales del área de San Bartolo como características de la presencia de estructuras arqueológicas.

El análisis topográfico como herramienta

En respuesta a las dificultades encontradas en aplicar las metodologías previamente descritas, las cuales se fundamentan en la identificación de los sitios por medio de su incidencia directa sobre la vegetación actual, se intentó crear una nueva técnica para identificar áreas que presenten características favorables para el asentamiento humano. Debido a las características topográficas e hidrológicas descritas anteriormente para la RBM occidental, se decidió enfocarse inicialmente en una clasificación morfológica de la región, concentrándose en factores de drenaje de suelos, los cuales inciden directamente en la viabilidad de asentamiento humano en un área sobre otra.

La geomorfometría, definida como la ciencia enfocada en el análisis cuantitativo de la superficie terrestre (Pike, et al. 2009), provee importantes herramientas para la descripción cuantitativa de la morfología terrestre. Esta disciplina ha desarrollado una serie de índices cuantitativos los cuales sirven para describir la posición topográfica de un punto en el paisaje en relación a sus alrededores, así como para clasificar las áreas de acuerdo a su característica morfológica (valle, pendiente, cresta, etc.) (Weiss 2001). En el presente trabajo se utilizó el Índice de Posición Topográfica (*Topographic Position Index* o *TPI*) el cual funciona utilizando un algoritmo de ventana corrediza (*Moving Window Algorithm*) el cual compara la elevación de cada celda presente en un Modelo de Elevación Digital (*DEM*) con el promedio de elevación de un área específica alrededor de esa célula (Jenness 2007; Weiss 2001) De esta forma, el algoritmo presenta un índice de la elevación *relativa*, el cual compara la posición de un punto determinado en el paisaje con la topografía circundante, proporcionando como resultado un índice de prominencia topográfica.

Conjuntamente con los análisis topográficos se ha iniciado un proyecto para modelar los sistemas de drenaje dentro del área de estudio con la esperanza que este sea otro factor que explique la predilección de un área prominente sobre otra. De manera paralela se continúa trabajando en la creación de un mapa hidrológico detallado para el área de estudio.

A parte de las tecnologías mencionadas anteriormente, las cuales utilizan las bandas visibles e infrarrojas del espectro electromagnético, se han ido desarrollando otros instrumentos los cuales utilizan ondas de mayor longitud como lo son el radar. Por ejemplo se han probado sensores como el *AIRSAR* como posibles respuestas al problema causado por la cobertura boscosa en los reconocimientos aéreos en las Tierras Bajas Mayas. Sin embargo, los experimentos iniciales utilizando estas tecnologías no lograron cumplir con lo esperado. Entonces, han aparecido nuevas generaciones de sensores durante los últimos años, entre los que se pueden mencionar el *LiDAR* y *GeoSAR*, pero aun no han sido experimentados lo suficiente en nuestra región. Por otro lado, el costo económico que representa a los arqueólogos la utilización de estas nuevas tecnologías ha hecho difícil su implementación.

Metodología y Resultados

El área de estudio definida por el Proyecto Arqueológico Regional La Corona es un rectángulo de 52 km E-O por 44 km N-S, equivalente a 2,319 km² (Figura 2.1). La topografía de la región es sumamente variada, estando dominada por topografía kárstica variada en el este y una topografía bastante plana al oeste. La pendiente va de este a oeste, formando un sistema de drenaje único (Figura 2.2).

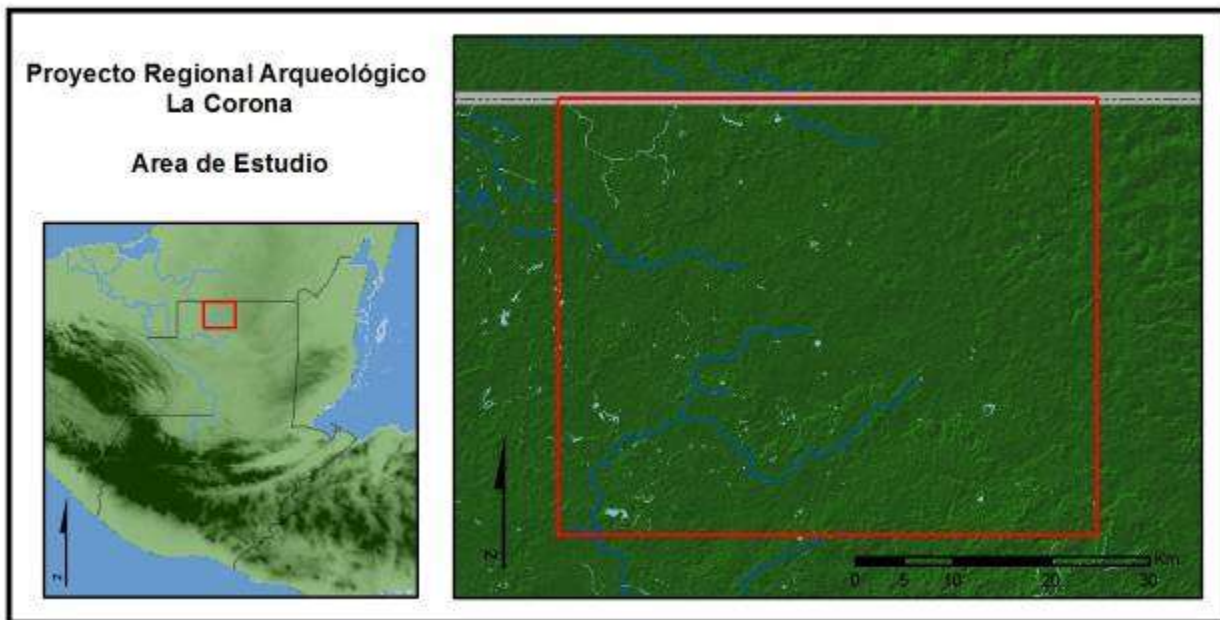


Figura 2.1 Localización del área de estudio en el occidente de la RBM
(Mapa realizado por Carlos Chiriboga)

Mediante la aplicación del algoritmo de *TPI* se logro definir las áreas bajas de la región, las cuales tienden a estar inundadas durante gran parte del año. Mediante la identificación de estas áreas, se ha calculado que equivalen a 1,270 km² del área de estudio (55%), por lo que se puede eliminar una gran parte del área que se tendría que reconocer en persona (Figura 2.3). Utilizando una ventana movediza circular de 30 celdas de radio (equivalente a un radio de 2.7 km alrededor de cada celda de un DEM SRTM de 90m) se identificaron las áreas que se encontraban a más de 5 m por encima del paisaje circundante. Esto definió un área de 302 km² (13% de toda el área de PRALC) los cuales se mantienen arriba de los niveles normales de inundaciones temporales (Figura 2.4). De igual forma se realizó un cálculo de *TPI* con una ventana de 10 celdas de radio (o sea 900 m), el cual sirvió para definir un área de 154 km² (Figura 2.5). Las áreas identificadas mediante este método son equivalentes al 6.6 % del área total comprendida por el área de estudio, reduciendo enormemente el tiempo y esfuerzo necesario para llevar a cabo el reconocimiento regional. Vale la pena mencionar que la metodología también contempla llevar a cabo reconocimiento en áreas no identificadas como propensas para asentamiento humano, con la finalidad de recoger una muestra significativa para así poder corroborar la efectividad del modelo por medio de análisis estadísticos.

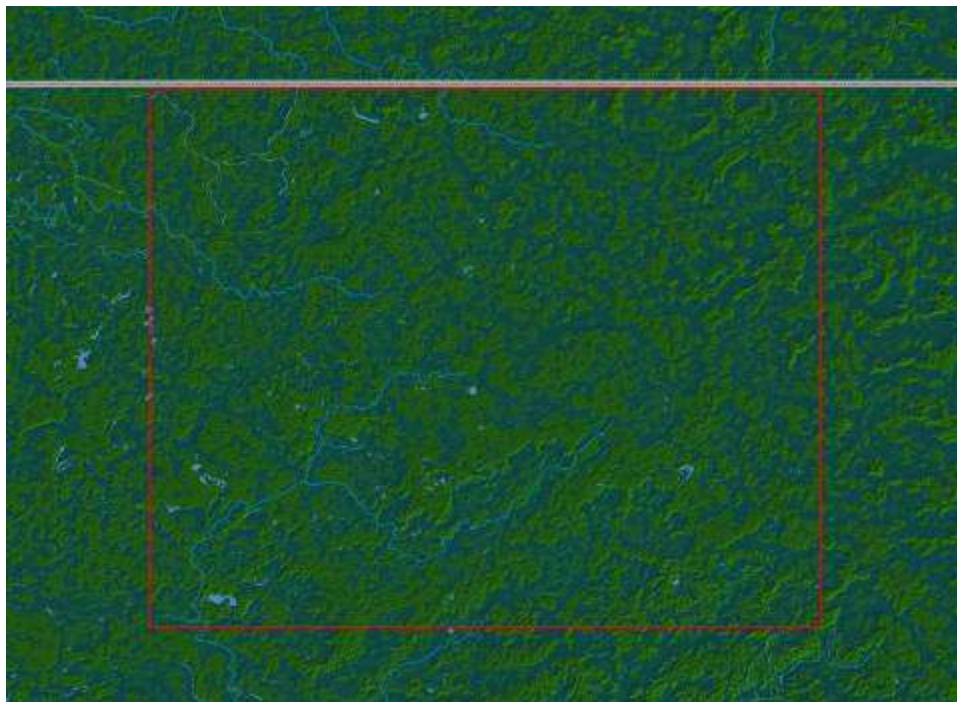


Figura 2.2 Identificación de áreas de bajos o propensas a inundación
(Mapa realizado por Carlos Chiriboga)

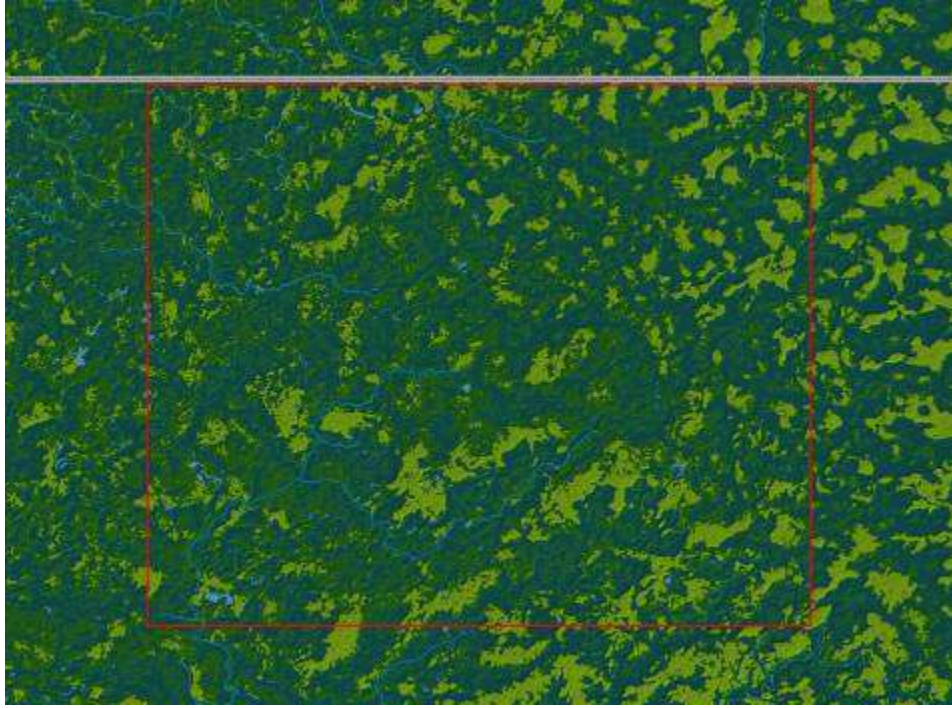


Figura 2.3 TPI a 30 celdas identificando areas mayore de 5 metros sobre la elevacion promedio
(Mapa realizado por Carlos Chiriboga)

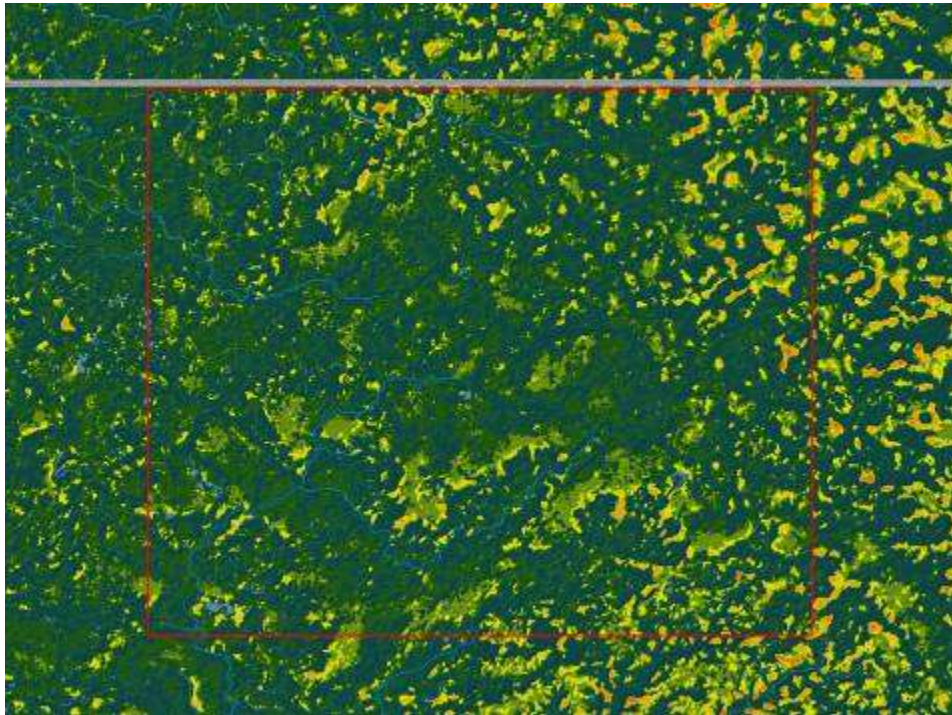


Figura 2.4 TPI a 10 celdas identificando areas >5 metros sobre la elevacion promedio
(Mapa realizado por Carlos Chiriboga)

Sitios registrados en 2010

La metodología principal utilizada durante la temporada 2010, llevada a cabo en el mes de mayo, fue de un reconocimiento arqueológico guiado por el modelo topográfico descrito anteriormente. Se movilizó a lo largo de la región de estudio en un vehículo de doble-tracción utilizando veredas forestales hasta llegar lo más cerca posible al área de interés, y de allí se prosiguió caminando hasta ella. Al llegar al área se llevaron a cabo transectos caminando por el área identificada para así identificar la presencia o ausencia de estructuras arqueológicas. Las dimensiones aproximadas de las estructuras, sus dimensiones máximas en sentido norte-sur y este-oeste, fueron obtenidas por medio de un telémetro láser *Nikon Forestry 550*, el cual provee lecturas de distancia con un error promedio de 0.1 m. Una brújula *Brunton 5006LM*, la cual fue ajustada a 2.5 grados E de declinación magnética, fue utilizada para corroborar los ángulos rectos en las esquinas, para así revisar la geometría de las áreas delimitadas. Se intentó registrar la orientación de las estructuras durante este proceso, sin embargo este se dificultó debido a factores como la cobertura vegetal y el proceso natural de deflación sufrida por los montículos, los cuales no permitieron una lectura exacta de su orientación. Por este motivo se limitó a tomar medidas de orientación en estructuras en donde se observaba algún rasgo lineal, tal como segmentos de un muro o plataforma.

Los diversos datos obtenidos mediante la utilización de brújula y telémetro láser, estación total y GPS fueron integrados en un Sistema de Información Geográfica (SIG) por medio del programa ArcGIS 9.3.1 de ESRI. La utilización de un SIG permite la visualización, así como la utilización de importantes herramientas de análisis espacial, las cuales ayudan en la interpretación final de los componentes espaciales de un sitio arqueológico. De tal forma, toda la información recabada durante la temporada de investigación 2010 fue registrada con información espacial en forma de coordenadas UTM Zona 15N utilizando el Datum WGS-84, lo cual permite su integración a un SIG. Habiendo integrado todos los datos dentro del ArcGIS, se procedió a ajustar todos los datos a un sistema de coordenadas común, en éste caso se proyectaron todas las capas geográficas a coordenadas UTM zona 15 norte utilizando el Datum WGS-84. Luego se procedió a tabular los datos necesarios dentro de cada capa de información geográfica y la creación de nuevas capas que contienen los resultados de la integración de datos de distintas fuentes (GPS, Estación Total, etc.).

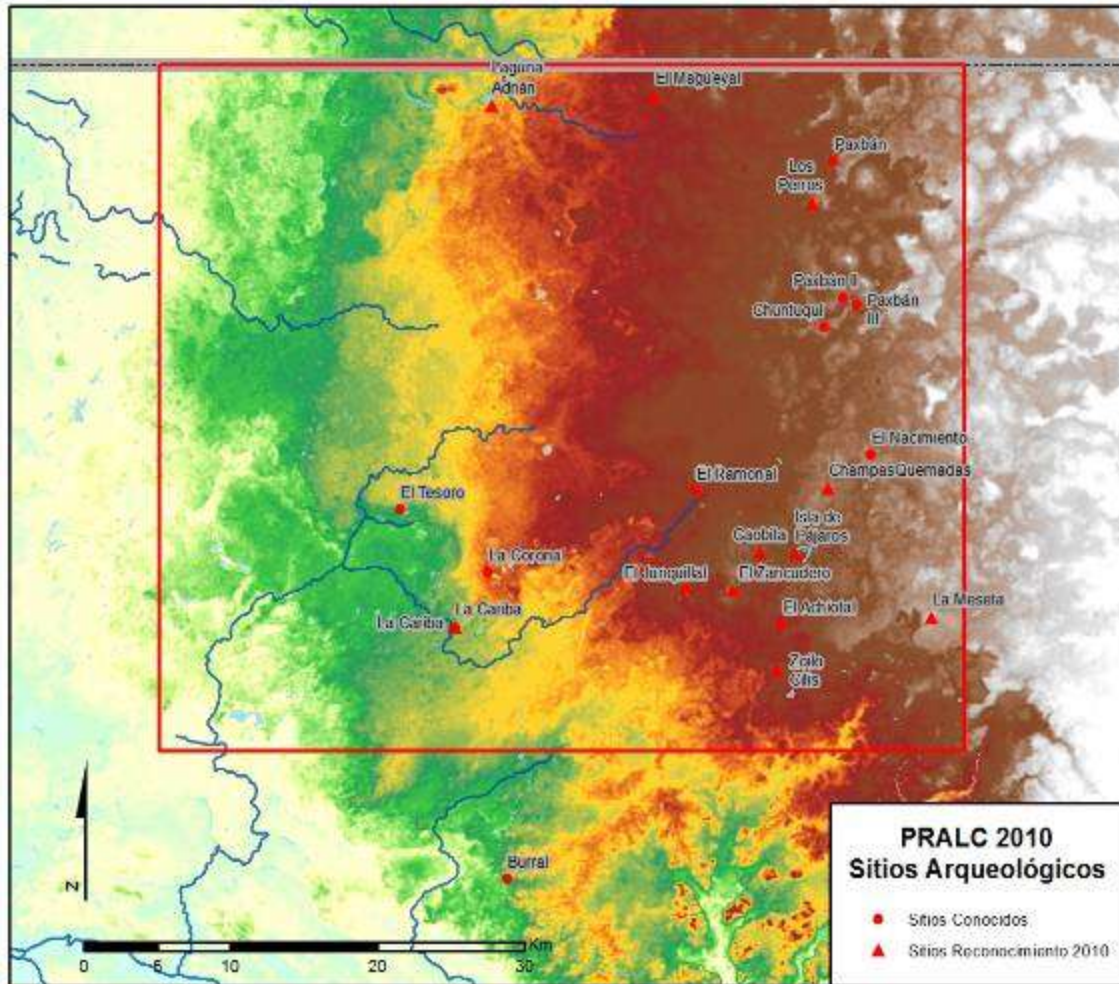


Figura 2.5 Mapa regional mostrando sitios arqueológicos identificados hasta el 2010 (Mapa realizado por Carlos Chiriboga)

Como resultado final, a continuación se presentan los mapas esquemáticos de los sitios, así como una descripción preliminar de ellos. Las estructuras de cada sitio se representan mediante líneas que corresponden a sus dimensiones aproximadas tanto en su base como en su cima. Debido al carácter preliminar de las investigaciones llevadas a cabo durante la temporada 2010, estos resultados son necesariamente breves, hecho que se complementará con el trabajo de las siguientes temporadas de investigación, durante las cuales se llevarán a cabo excavaciones limitadas por medio de pozos de sondeo y el análisis de los materiales recobrados.

PRALC-007 – El Zancudero (Figura 2.6)

Localización: 15 N 794017 1938186 UTM – WGS84

Material Recolectado: Si

Fecha: Preclásico-Clásico

Ubicado 3.8 Km. al noroeste de El Achiotal, El Zancudero está conformado por tres grupos residenciales. El Grupo 1 aparenta ser un pequeño grupo residencial compuesto por tres estructuras y el Grupo 2, de dimensiones similares al Grupo 1, consiste en dos pequeñas plataformas. Finalmente, el Grupo 3 esta formado por una plataforma y una plaza delimitada por cuatro estructuras. No se encontró ninguna evidencia de saqueo moderno. Aunque el área alta en donde se ubicaron estos grupos es de considerable extensión, no se encontraron más estructuras visibles durante el resto del reconocimiento. Los alrededores de los grupos presentan una concentración importante de canteras, algunas de estas llegando a tener hasta 30 m de diámetro y 15 m de profundidad.

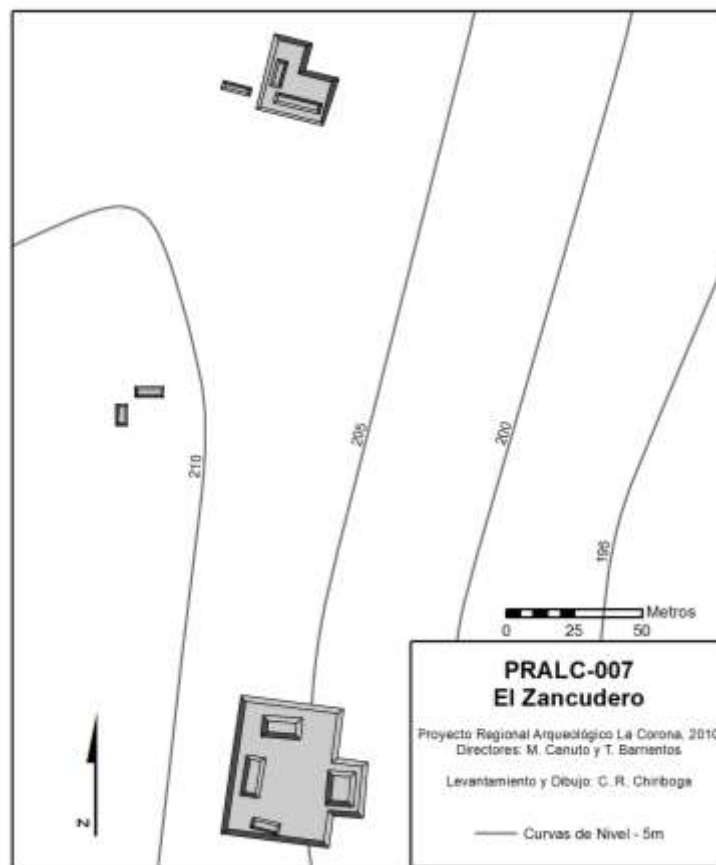


Figura 2.6 Mapa del sitio El Zancudero

PRALC-008 – La Meseta (Figura 2.7)

Localización: 15 N 794010 1938191 UTM – WGS84

Material Recolectado: No

Fecha: ¿?

Consiste de una plaza bordeada por tres estructuras ubicadas al este, sur y oeste, estando abierta al norte. Se identificaron ocho trincheras de saqueo. Debido a que no se encontró cerámica en la superficie no se puede dar una estimación de sus fechas de ocupación.

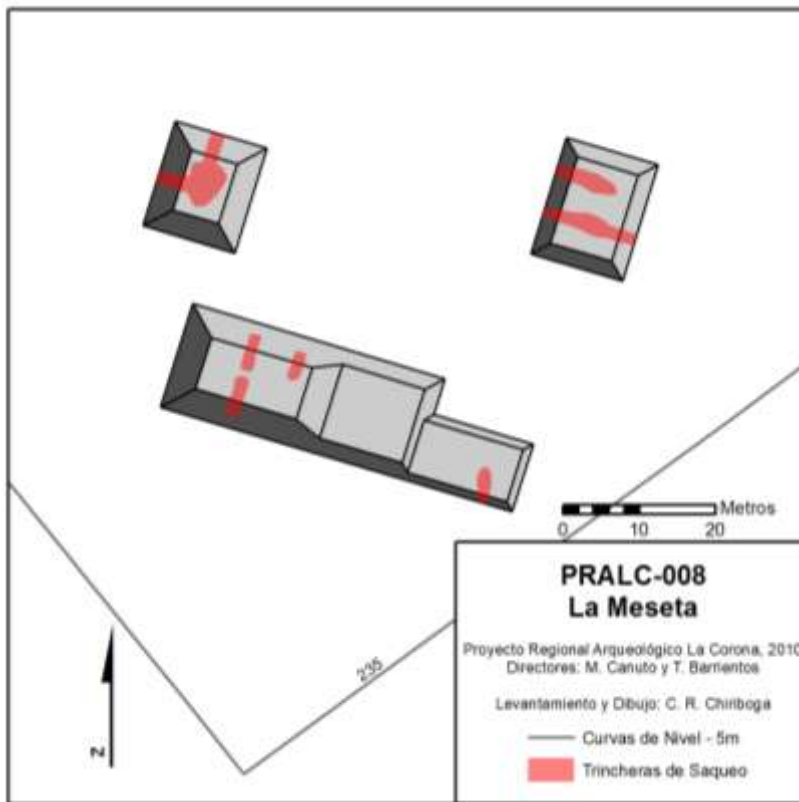


Figura 2.7 Mapa del sitio La Meseta

PRALC-009 – Zoilo Cilis (Figura 2.8)

Localización: 15 N 796955 1933095 UTM – WGS84

Material Recolectado: Si

Fecha: Clásico

Ubicado a 2.8 Km. al sur de El Achiotal. Se identificaron un total de 12 estructuras de entre 0.5 y 10 m de altura. En el extremo oeste del grupo central se encuentra la Estructura 9, la

más alta del sitio con 10 m de altura. Esta estructura mide ~30 x 30 m y presenta una plataforma en su lado este en forma de descanso. El resto de las estructuras se encuentran distribuidas de manera casi lineal siguiendo un eje N-S. Se lograron identificar secciones de terrazas a lo largo del sitio las cuales sirvieron para nivelar las plazas sobre el terreno irregular original. El material cerámico recolectado en el sitio sugiere una ocupación del sitio remontando al período Clásico.

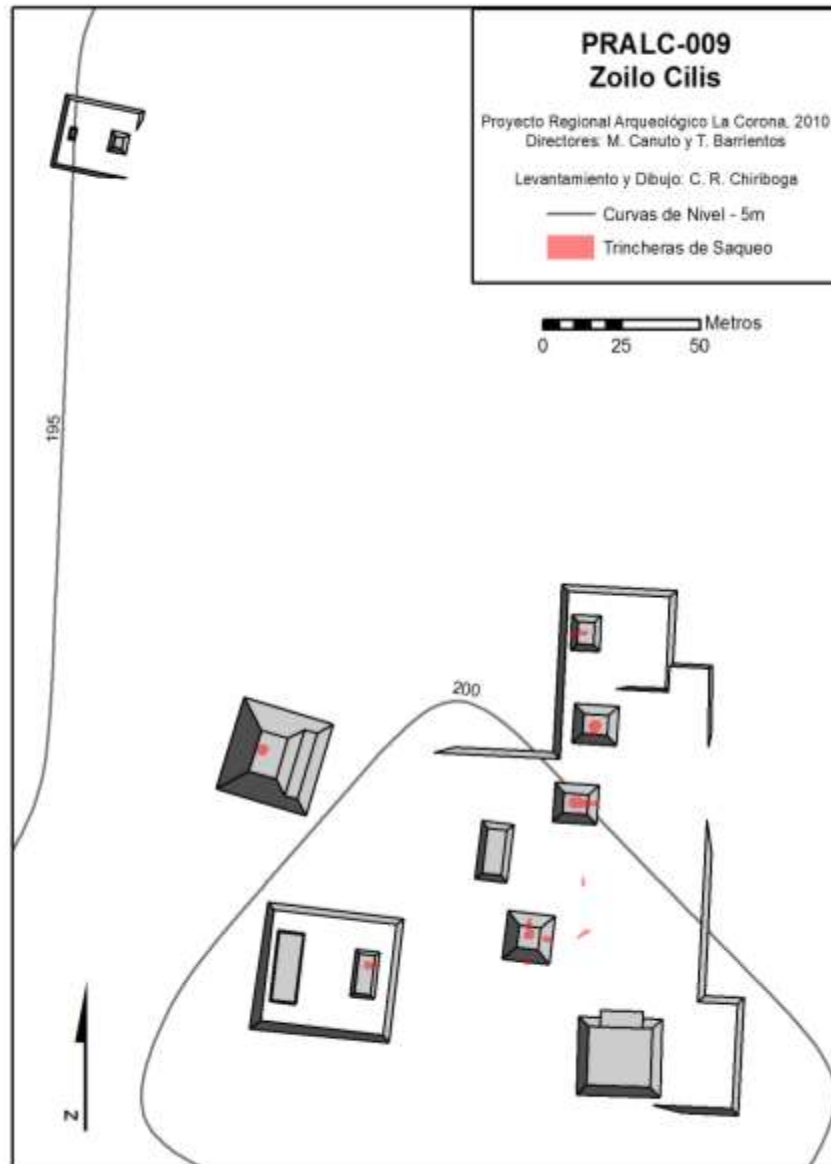


Figura 2.8 Mapa del sitio Zoilo Cilis

PRALC-012 – Los Perros/Cuatro Coronas (Figura 2.10)

Localización: 15 N 798783 1963227 UTM – WGS84

Material Recolectado: Si

Fecha: Preclásico-Clásico

Este es el sitio de mayor extensión identificado durante la temporada 2010. El sitio está conformado por dos grupos arquitectónicos los cuales se ubicaron sobre elevaciones en la topografía, las cuales fueron niveladas. El Grupo Oeste consiste en una plaza de ~ 40 m N-S x 30 m E-O, bordeada por estructuras en sus cuatro lados. Esta plaza presenta una orientación de 15 grados al este de norte. La plaza está delimitada al norte por una terraza elevada sobre la cual se encuentran 5 estructuras distribuidas alrededor de dos pequeños patios. El Grupo Este consiste de una plaza de 40 m N-S x 20 m E-O orientada 23 grados al este de norte, delimitada por estructuras en sus cuatro lados. Al igual que el Grupo Oeste, al norte se encuentra una plataforma o terraza elevada sobre el cual se encuentra un grupo de patio. Sobre esta plataforma se encuentran 5 estructuras distribuidas alrededor de un patio central de 14 m N-S x 17 m E-O. Se identificaron 17 trincheras de saqueo a lo largo del sitio. Frente a la Estructura 5, la cual delimita el extremo sur de la plaza, se encontró lo que aparenta ser una estela fragmentada, la cual salió del relleno extraído del centro de la estructura por saqueadores (Figura 2.9).



Figura 2.9 Posible Estela en el sitio Los Perros (Fotografía de Carlos Chiriboga)

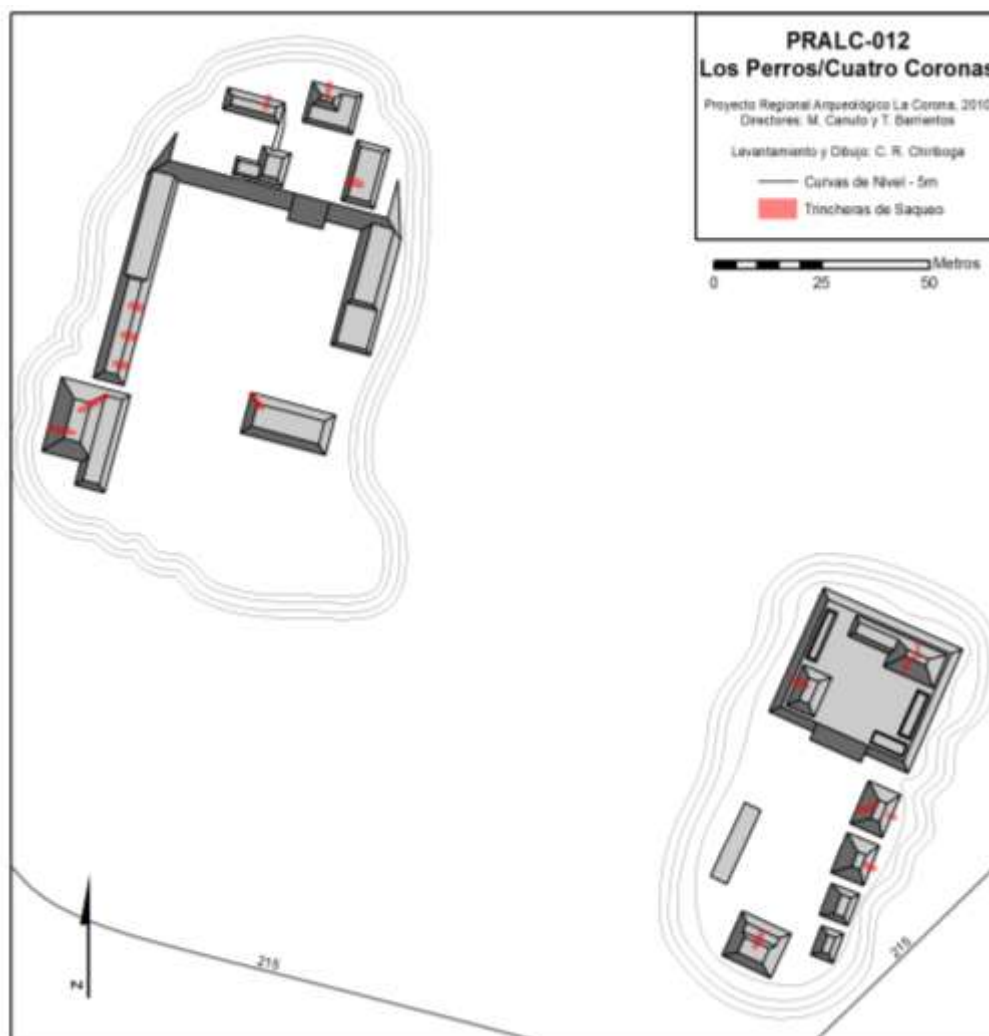


Figura 2.10 Mapa del sitio Los Perros

PRALC-013 – Laguna Adrián (Figura 2.11)

Localización: 15 N 777816 1969192 UTM – WGS84

Material Recolectado: Si

Fecha: Preclásico-Clásico

Este sitio se encuentra en la orilla este de la laguna del mismo nombre. Se lograron identificar al menos 15 estructuras, las cuales se encuentran distribuidas en tres grupos que se encuentran a lo largo de un eje suroeste-noreste, y que parece ser reflejo de la topografía local. La mayoría de los grupos arquitectónicos presentan su acceso hacia el oeste, en dirección a la Laguna Adrián. Las estructuras varían de tamaño, cuya altura oscila entre los 0.5 y 4.5 m.

El Grupo Norte consiste de seis estructuras construidas sobre dos terrazas construidas para nivelar la pendiente del sitio. El Grupo Central consiste de tres estructuras las cuales descansan sobre una plataforma de 2.5 m de altura. La estructura más alta del sitio, Estructura 7, se encuentra en el extremo sur de este grupo, elevándose 4.5 m sobre el nivel de la plataforma. Finalmente, el Grupo Sur es conformado por cuatro estructuras sobre una plataforma basal. Tres de estas estructuras tienen una orientación N-S de 46 grados al este de norte verdadero, mientras que una rompe con esta orientación estando orientada a 5 grados al este de norte verdadero. El análisis preliminar del material cerámico de superficie recolectado señala una ocupación del sitio que abarca desde el período preclásico hasta el clásico. Vale la pena mencionar que el área en donde se encuentra el sitio fue víctima de depredación por invasores muy recientemente. La mayor parte de la cobertura vegetal fue talada y quemada y se logró identificar pasto para ganado que fue introducido al área.

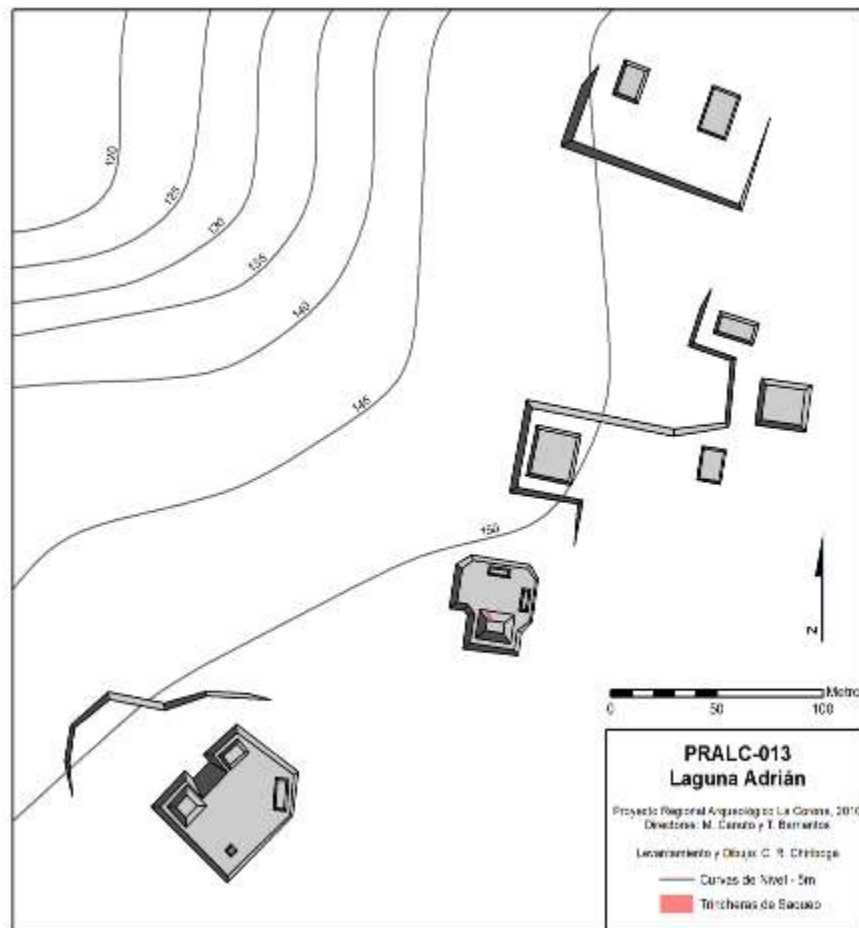


Figura 2.11 Mapa del sitio Laguna Adrián

PRALC-014 – El Magueyal (Figura 2.13)

Localización: 15 N 788443 1969992 UTM – WGS84

Material Recolectado: Si

Fecha: Preclásico-Clásico

El sitio de El Magueyal consiste en dos grupos arquitectónicos en los cuales las estructuras fueron construidas sobre terrazas que fueron adaptadas a la topografía local, la cual presenta una pendiente ligera hacia el oeste. El Grupo norte consiste de cuatro estructuras ubicadas alrededor de un patio central. Se lograron identificar diez trincheras de saqueo distribuidas en las cuatro estructuras más grandes del sitio. El Grupo Sur consiste de dos estructuras distribuidas alrededor de una plaza hundida. La estructura más alta del sitio, la Estructura 4, se encuentra en el extremo oeste de este grupo, elevándose 5.3 m sobre el nivel de la plaza. La cerámica recolectada apunta una ocupación desde el período preclásico hasta el clásico. También se logro identificar un posible estela lisa fragmentada la cual parece haber sido extraída por saqueadores en el momento de abrir una trinchera de saqueo en el lado este de la Estructura 2 (Figura 2.12).



Figura 2.12 Estela lisa en el sitio El Magueyal (Fotografía de Carlos Chiriboga)

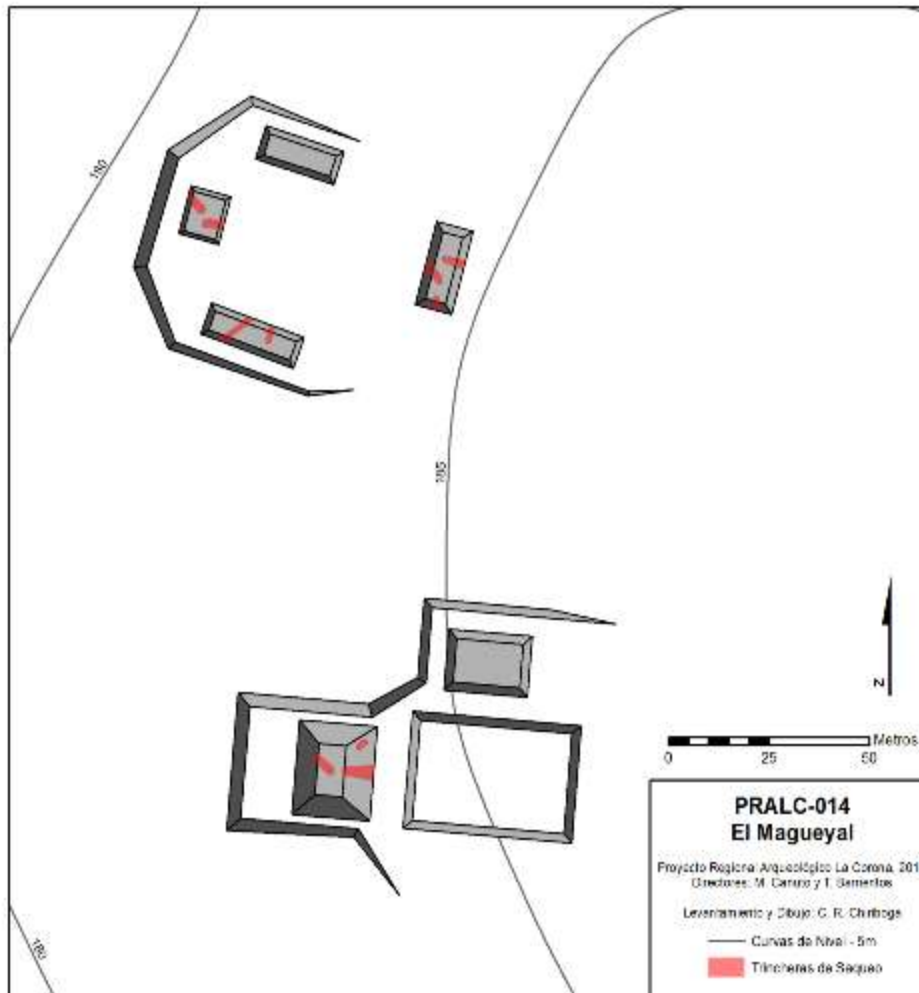


Figura 2.13 Mapa del sitio El Magueyal

PRALC-015 – Caobita (Figura 2.14)

Localización: 15 N 795711 1940648 UTM – WGS84

Material Recolectado: Si

Fecha: Preclásico-Clásico

Ubicado en la orilla norte de un sibal, este sitio aparenta ser de función residencial. Al sureste se encuentra un plataforma de forma irregular sobre la cual hay 5 estructuras de dimensiones menores, todas menores de 1 m de altura. Al noroeste se encuentra una terraza sobre la cual se encuentran dos plataformas también menores a 1 m de altura. La cerámica recolectada sugiere una historia de ocupación que abarca desde el período Preclásico hasta el período Clásico.

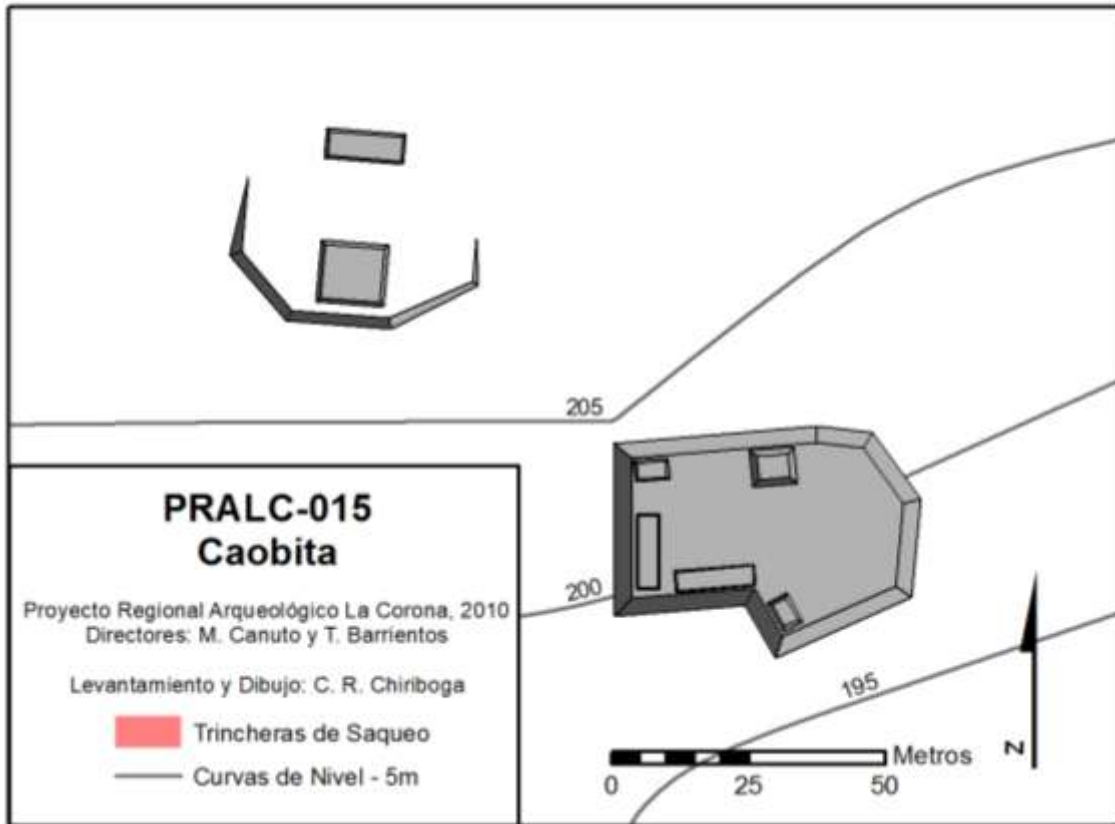


Figura 2.14 Mapa del sitio Caobita

PRALC-016 – Champas Quemadas (Figura 2.15)

Localización: 15 N 800064 1944851 UTM – WGS84

Material Recolectado: Si

Fecha: Preclásico-Clásico

Este sitio está conformado por dos grupos arquitectónicos. El Grupo Sur consiste en una plaza de 50 m N-S por 25 m E-O alrededor de la cual se encuentran 5 estructuras. La más alta de estas, la Estructura 1, tiene 3.9 m de altura y delimita la esquina sureste del sitio. Al suroeste se encuentra una plataforma de 1.5 m de altura sobre la cual se encuentran dos estructuras en forma de plataforma, la más alta de estas teniendo 1.5 m de altura. Se identificaron cuatro trincheras de saqueo. El Grupo Norte consiste de una plataforma de 50 m por 60 metros sobre la cual se encuentran tres estructuras. La más alta de estas se ubica en el extremo oeste de la plataforma.

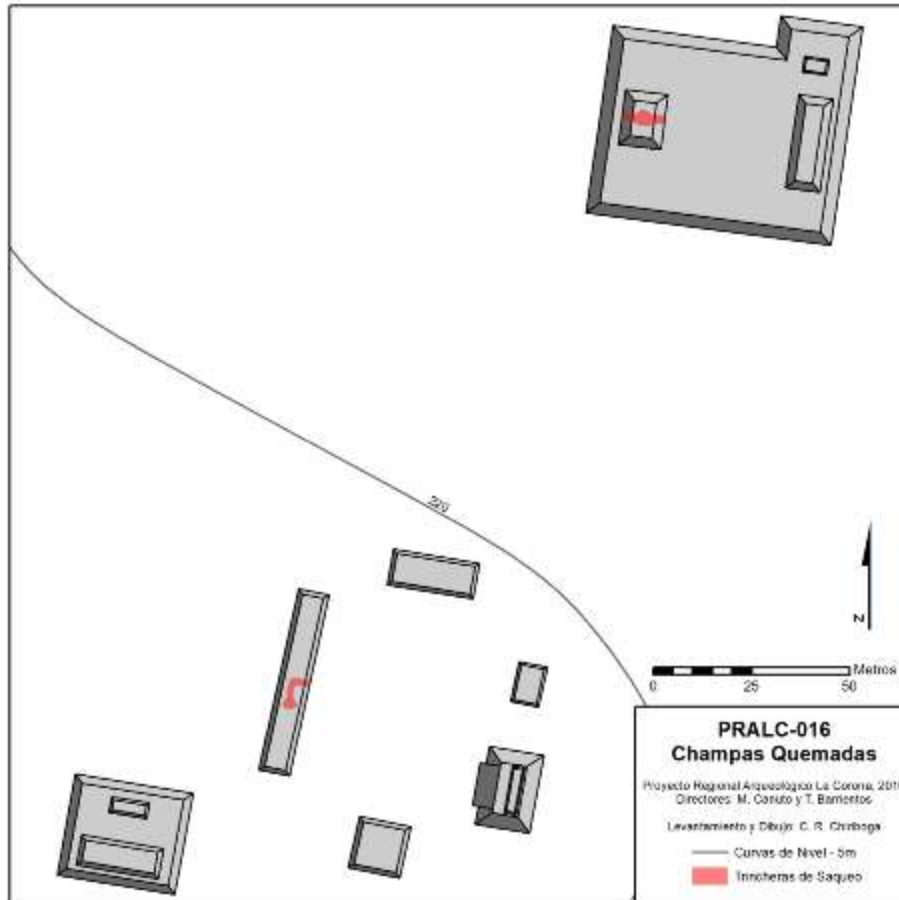


Figura 2.15 Mapa del sitio Champas Quemadas

PRALC-017 – Isla de Pájaros (Figura 2.16)

Localización: 15 N 798017 1940590 UTM – WGS84

Material Recolectado: Si

Fecha: Preclásico-Clásico

Ubicado sobre una pequeña isla en la laguna Puerto Arturo. El sitio fue construido siguiendo la topografía natural de la isla y tiene una orientación N-S. Se pudieron identificar seis distintos patios, dos de ellos presentando pequeñas estructuras. En el extremo sur se lograron identificar dos pequeñas estructuras que posiblemente sirvieron para funciones domésticas, debido a dos metates de piedra encontrados próximos a estas (Figura 2.17). Un análisis preliminar de la cerámica del sitio sugiere una ocupación del sitio desde el período Preclásico hasta el Clásico.



Figura 2.16 Mapa del sitio Isla de Pájaros



Figura 2.17 Metates o Piedras de Moler en el sitio Isla de Pájaros
(Fotografía de Carlos Chiriboga)

Conclusiones

Aunque aún de carácter preliminar, los datos presentados anteriormente comienzan a proporcionar una idea sobre el patrón de asentamiento regional en la RBM occidental. Primero, parece existir una relación directa entre áreas de alta prominencia topográfica y los sitios conocidos. Tanto los sitios previamente reportados así como los identificados este año se ubican en áreas altas del paisaje. Aunque aún hace falta llevar a cabo una revisión estadística de la relación, concentrándose en un muestreo de las áreas bajas identificadas con menor probabilidad de asentamiento, esta línea de investigación parece ser prometedora. Segundo, los sitios identificados parecen ubicarse en puntos estratégicos en los cuales se encuentran extensiones importantes de áreas elevadas en cercanía a grandes extensiones de bajos.

De los nueve sitios identificados durante esta temporada preliminar de reconocimiento, únicamente uno no presentó material cerámico característico del período Preclásico. Esto sugiere una importante ocupación preclásica en la región de la RBM occidental con características distintas a las encontradas en la meseta central ubicada inmediatamente al este y posiblemente compartiendo muchas similitudes con las ocupaciones preclásicas del suroccidente del Petén así como del sureste de Campeche.

La continuación de este proyecto de reconocimiento arqueológico a lo largo de las siguientes temporadas de investigación promete identificar aún más sitios arqueológicos en esta región poco investigada hasta el momento. Se espera que la implementación de excavaciones limitadas de pozos de sondeo y el inicio del análisis cerámico de los materiales recolectados, tanto de la superficie así como de las excavaciones, proporcionará datos importantes sobre el patrón de asentamiento en la región y ayudará a complementar un registro arqueológico cada vez más completo de la historia prehispánica de las Tierras Bajas Centrales.

CAPÍTULO III

INVESTIGACIONES EN EL SITIO ARQUEOLÓGICO EL ACHIOTAL

Mary Jane Acuña

En el noroeste de Petén existen pocos sitios explorados que datan del período Preclásico. Esto no significa que no existan, ya que los trabajos de reconocimiento del Proyecto Regional Arqueológico La Corona indican que probablemente si los hay, pero que simplemente no se han registrado ni explorado adecuadamente para establecer su período de ocupación. El Achiotal está ubicado en una región fronteriza entre la meseta cárstica del centro y norte de Petén con la región de bajos que caracteriza el noroeste de este departamento (Figura 3.1). En 2009 se inició la exploración arqueológica del sitio El Achiotal, siendo los objetivos principales la creación de un mapa topográfico y esquemático (Figura 3.2), el registro y la documentación de túneles de saqueo en la estructura principal, 5C-01, y la excavación de algunos pozos de sondeo en las plazas.

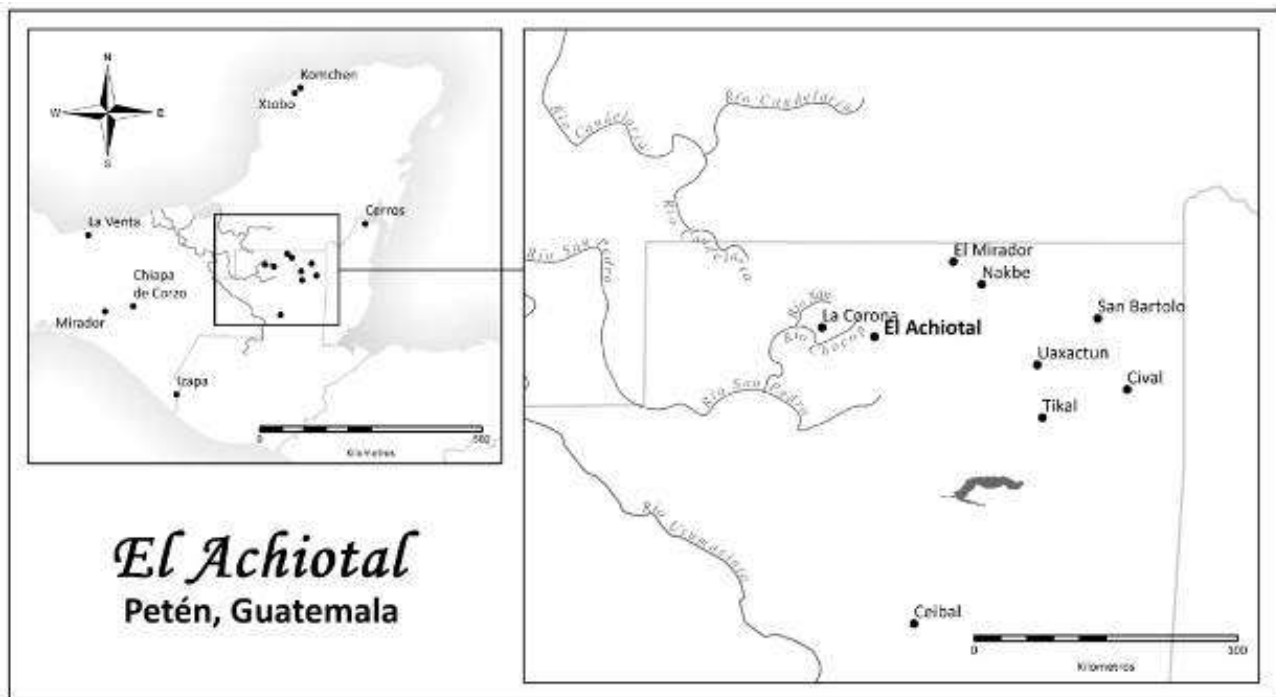


Figura 3.1 Mapa actual que muestra la ubicación de El Achiotal
(Mapa realizado por Carlos Chiriboga)

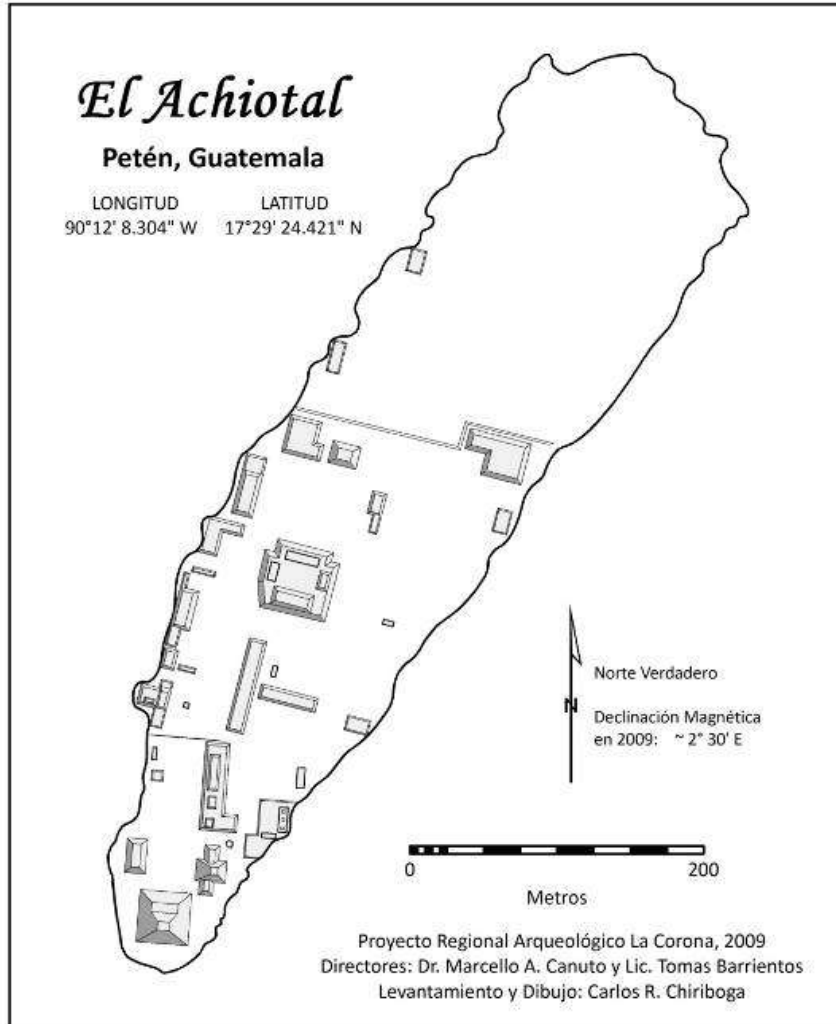


Figura 3.2 Mapa esquemático actual de El Achiotal

Los resultados de la temporada 2009 están detallados en el informe correspondiente (Acuña y Chiriboga 2010), pero vale la pena recalcar la importancia cronológica del sitio y su patrón de asentamiento. En general, el período de mayor ocupación fue el Preclásico Tardío y parte del Clásico Temprano, basado en los conjuntos cerámicos preliminarmente analizados. Además, la distribución arquitectónica y la naturaleza de los montículos indican que fue un sitio importante, con espacios públicos amplios y grandes que probablemente sirvieron para eventos ceremoniales, políticos, económicos y de intercambio, recepción de personas y celebraciones de diversas índoles, entre otras funciones. A pesar de que El Achiotal es relativamente pequeño, con solamente 28 estructuras visibles en la superficie, la iconografía sugiere que gozó del establecimiento y/o presencia de un linaje real.

Entre los objetivos generales del sub-proyecto El Achiotal se incluyen la exploración arqueológica del primer sitio Preclásico registrado oficialmente en el área oeste de la meseta kárstica central (MKC), comúnmente conocida como la “Cuenca Mirador”. Su ubicación pareciera ser estratégica en las redes de comunicación e intercambio entre los sitios de la MKC y el oeste, utilizando las vías fluviales de los ríos Chocop, Xan, San Juan y San Pedro Mártir.

La presencia de un linaje real alude a su importancia social, política y económica en la región, y la distribución de su asentamiento y sus características iconográficas indican que el sitio gozó de alguna autonomía respecto a otros sitios mayores de la MKC y el centro de Petén durante el Preclásico. Por lo tanto, una de las metas de la investigación es conocer la función que tuvo el sitio durante el período Preclásico, cuando se está desarrollando con fervor la complejidad social, política y económica de la civilización Maya.

El sitio El Achiotal se encuentra ubicado dentro de una concesión forestal, manejada por la Asociación Forestal Integrada de San Andrés Petén (AFISAP). Esta entidad colabora con el proyecto proporcionando su apoyo tanto institucional como de logística. Además, se colabora también con la contratación de personal asociado con AFISAP, de manera que se provee capacitación en la investigación arqueológica, la valoración y protección del patrimonio cultural y la importancia de los datos históricos recuperados. Por otro lado, estas personas comparten con nosotros sus conocimientos sobre el manejo forestal y la biodiversidad del área. De tal manera que la colaboración tiene beneficios mutuos.

Hasta el momento, el sub-proyecto El Achiotal ha contado con la participación de varios arqueólogos nacionales y extranjeros. Entre los investigadores nacionales se incluyen a Mary Jane Acuña, de la Universidad de San Carlos de Guatemala y la Universidad de Washington en St. Louis; a Carlos R. Chiriboga, de la Universidad del Valle de Guatemala y la Universidad de Yale; y a Gilberto Cruz, de la Universidad del Valle de Guatemala. Contamos con la participación de dos arqueólogos extranjeros, Caroline Parris de la Universidad de Tulane y Jim Elliott de la Universidad de Calgary.

CAPÍTULO III-I

EXCAVACIONES EN LA ESTRUCTURA 5C-01 DE EL ACHIOTAL

Mary Jane Acuña

Introducción

La Estructura 5C-01 se localiza en el extremo sur del sitio, a orillas del promontorio natural, conforma la pirámide principal y más grande del Grupo Sur, y del sitio en general (Figura 3.3). Los túneles de saqueo revelaron una larga ocupación que va desde inicios del Preclásico Tardío hasta el Clásico Temprano. Las primeras actividades constructivas en este edificio posiblemente se remontan al Preclásico Medio, pero aún no hay datos concretos para establecerlo, y únicamente sugerimos el Preclásico Tardío debido a que es el período con mayor actividad constructiva y la cerámica corresponde principalmente a este período. Su última etapa se ha fechado basándose en la cerámica tanto del relleno como de la superficie.

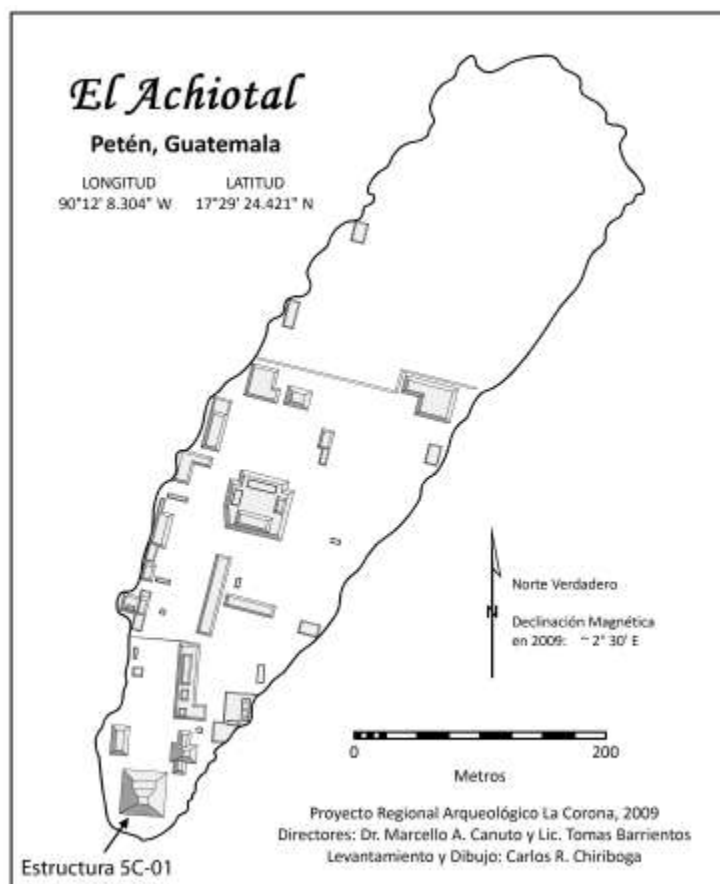


Figura 3.3 Localización de la Estructura 5C-01

Por lo tanto, la ubicación del sitio, su distribución arquitectónica o patrón de asentamiento, y la cronología tan temprana hacen de El Achiotal un sitio de mucha importancia en la región. Entre los objetivos específicos del subproyecto El Achiotal están las investigaciones en el Grupo Sur, las cuales han estado enfocadas, hasta el momento, en la excavación de la Estructura 5C-01 con la finalidad de conocer detalladamente su secuencia constructiva. Este enfoque nos permite monitorear los cambios en la organización social y política del sitio diacrónicamente.

La Temporada 2010 fue la primera temporada de excavaciones en la Estructura 5C-01. La investigación se enfocó en conocer con más detalle la subestructura Jonon, identificada en 2009 y la cual posee pintura mural (Acuña y Chiriboga 2010). Basado en la poca cerámica recuperada de los túneles de saqueo y en la iconografía del mural, este edificio se fechó preliminarmente para el Preclásico Tardío. En 2010 se buscaría la confirmación de dicho fechamiento y se indagaría en el papel que jugó la subestructura en el desarrollo del sitio. Además, se esperaba que la subestructura Jonon proveería datos relevantes a los cambios socio-políticos en el sitio durante el Preclásico, un período crítico para conocer la formación de los estados antiguos Mayas.

Metodología

La operación ACH-1 se concentra en la investigación de la Estructura 5C-01, tanto el interior como el exterior. Ésta se ha subdividido en cuatro sub-operaciones, las cuales quedan distribuidas de la siguiente manera:

1A – Exterior y Este

1B – Excavaciones en el interior, concierne túneles

1C – Exterior y Norte, concierne basamento

1D – Exterior y Norte, concierne terraza superior del basamento y fachada del templo

Se llevaron a cabo dos técnicas de excavación distintas y una de documentación, dependiendo del objetivo de la investigación particular y de su contexto. Por lo tanto, se realizaron túneles, pozos y limpieza de perfiles de saqueo.

Túneles: Debido a que la investigación se enfocó en la secuencia constructiva de la Estructura 5C-01 y buscando siempre mantener la integridad del montículo hasta donde fuera posible, se excavó por medio de túneles. Se realizó un total de cuatro túneles (Figura 3.4), iniciados desde el interior del edificio, a partir de los túneles de saqueo ya existentes que atraviesan el montículo. Los túneles midieron un promedio de 80 cm de ancho por aproximadamente lo mismo de alto; sin embargo, estas medidas variaron según lo dictaba el relleno o la arquitectura misma.

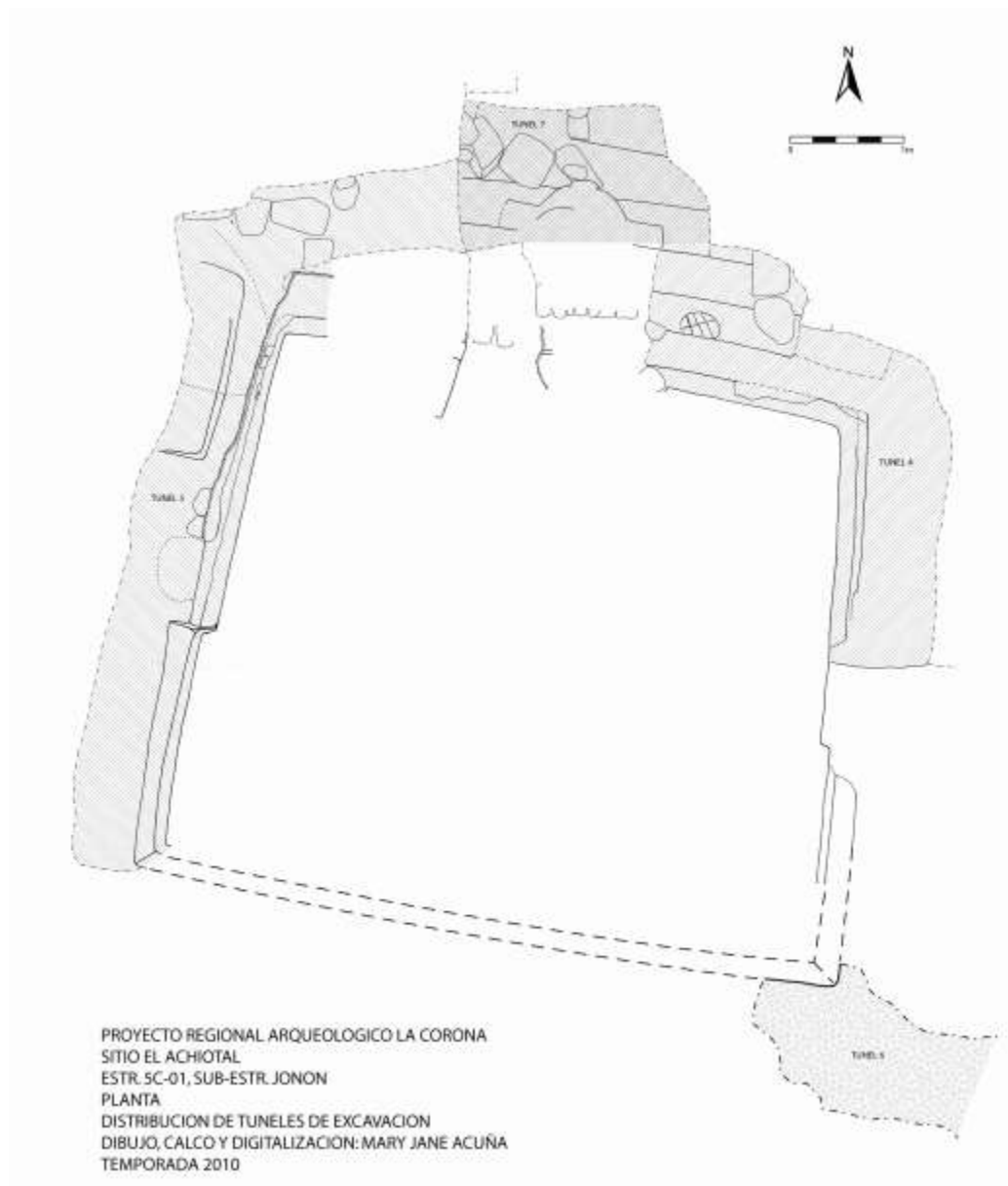


Figura 3.4 Distribución de túneles de excavación en la Estructura 5C-01

El sistema de registro o documentación en túneles fue improvisado en campo. Se utilizaron lotes horizontales por túnel, manteniendo siempre la separación por pisos cuando fuera necesario. En caso de la presencia de muros de contención, se realizó cambio de lote simplemente para mantener un control más preciso del material. El número de lote es único dentro de la sub-operación. La nomenclatura queda de la siguiente manera: ACH-1B-T#-#

- ACH Hace referencia al sitio
- 1B Hace referencia a la operación y sub-operación
- T# Indica túnel, seguido por su número correspondiente
- # Indica el número de lote.

Los túneles se excavaron siguiendo un muro o un piso que sirviera de guía y tuviera como objetivo principal la definición arquitectónica de la subestructura Jonon y la recuperación de artefactos de los rellenos.

Pozos: Se realizaron cinco excavaciones verticales en la parte exterior y frontal del edificio al nivel de la plaza. Éstos fueron pozos de 1.50 x 1 m y de 1 x 1 m, de diversas profundidades, cuyos objetivos principales fueron limpiar algo de la tierra de los saqueos y recuperar material, como también la identificación de rasgos arquitectónicos asociados con el frente de la Estructura 5C-01. A diferencia del registro en túneles por lotes, en los pozos se utilizaron niveles.

Limpeza de Saqueos: Se realizó la limpieza de la Trinchera de Saqueo 2 (S2) al frente y centro de la Estructura 5C-01 (Figura 3.5). Este proceso tuvo el objetivo de documentar e identificar los rasgos arquitectónicos visibles en los perfiles de la trinchera, la cual fue una de las más grandes y penetrantes que afectaron el edificio. Por razones de tiempo solamente se pudo limpiar la sección que corresponde al basamento, dejando la parte del templo para la próxima temporada. Esta trinchera era importante también porque conecta con el Túnel 3 (T3), el cual entra al centro del montículo y se une al T1 para salir en S6, al este de la estructura.

Se realizó la documentación parcial del S3, solamente a base de dibujos, con la finalidad de rellenar su espacio más profundo para poder investigar más a fondo los rasgos arquitectónicos exhibidos que corresponden a las últimas etapas constructivas.

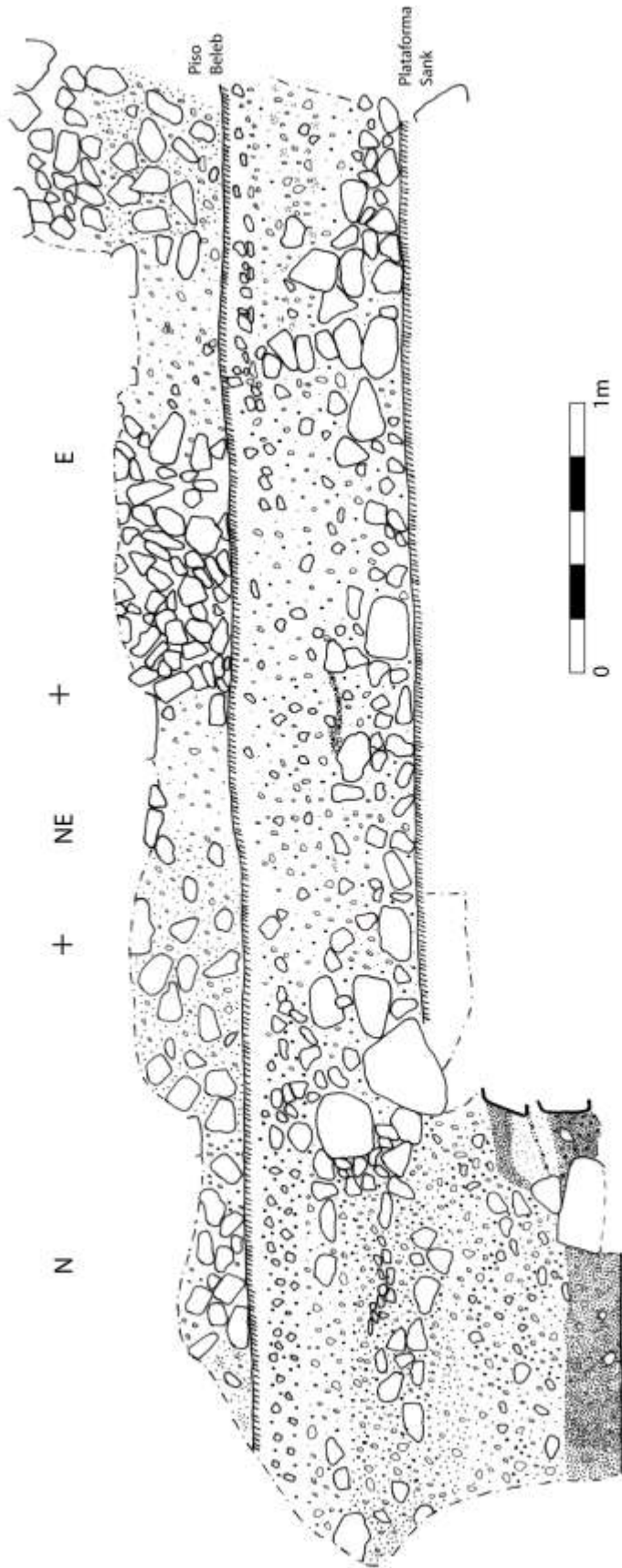


Figura 3.5 Trinchera de saqueo S2 (Fotografía por Mary Jane Acuña)

Excavación de Túneles

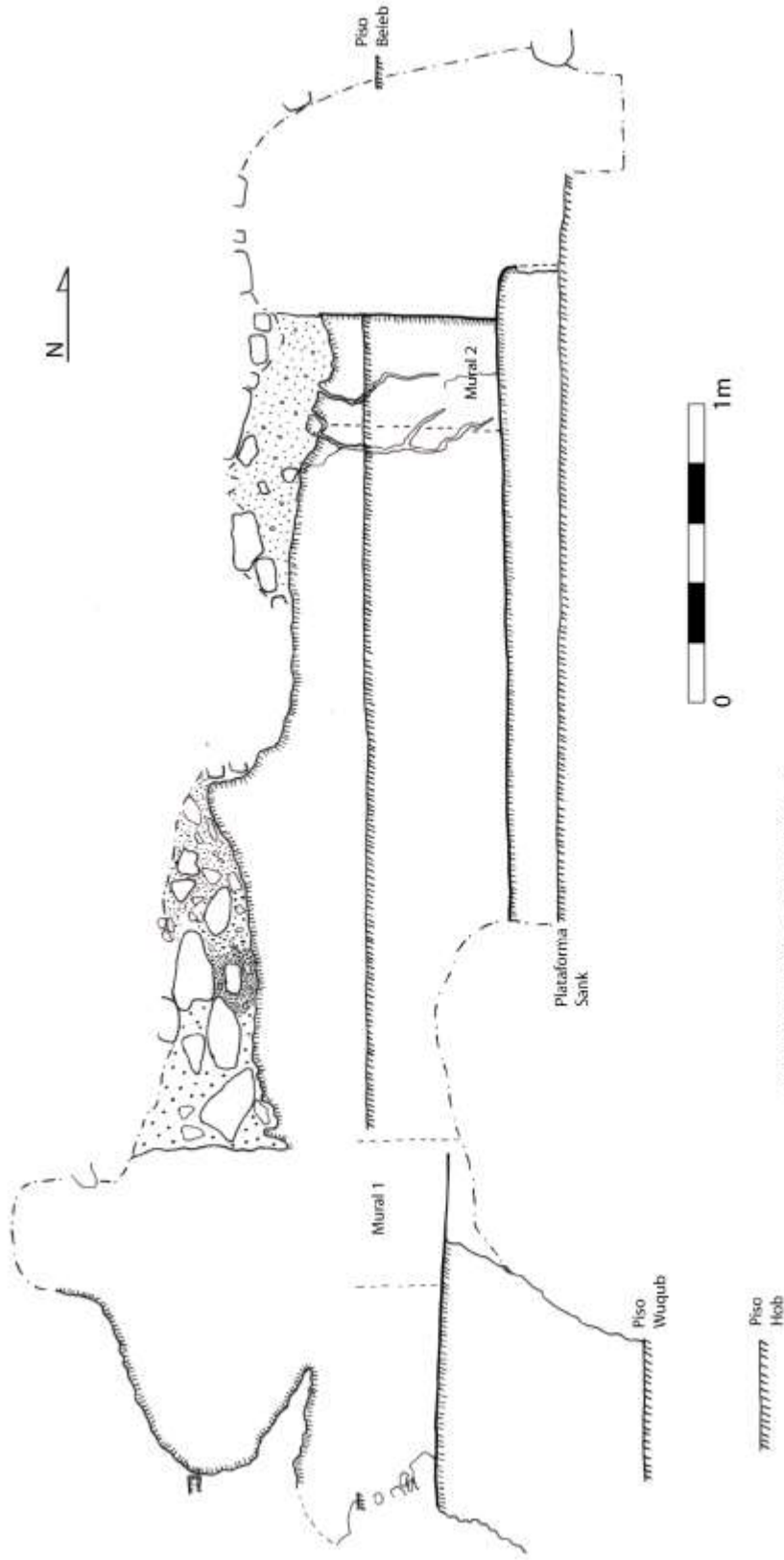
ACH-1B-T4

Las excavaciones de túneles dieron inicio con el Túnel 4 (T4). Este se inició a un costado del Mural 1, expuesto por los túneles de saqueo, y siguió el muro este de la subestructura Jonon en dirección norte (ver Figura 3.2). Se excavó por encima de la superficie de la subestructura Sank, anterior a Jonon (ver Acuña y Chiriboga 2010: Fig. 9.12), atravesando dos rellenos separados por el piso Beleb. El túnel se dividió en tres lotes. El relleno encima del piso Beleb formó el Lote 1, mientras que el de abajo a lo largo del muro este, correspondió al Lote 2 y la sección del túnel al norte de Jonon conformó el Lote 3. El túnel 4 siguió el muro este 2.20 m hasta encontrar la esquina noreste de la subestructura Jonon, dobló hacia el oeste y continuó 1.60 m hasta llegar a la esquina de la jamba este (ver Figura 3.4). Se expuso la arquitectura conservada de la subestructura Jonon, tanto de sus muros como parte de la escalinata frontal (norte), y los rellenos asociados con su enterramiento (Figuras 3.6, 3.7 y 3.8).



ESTR. 5C-01 - TUNEL 4
 PERFILES ESTE Y NORTE
 DIBUJO Y CALCO: MARY JANE ACUÑA
 TEMPORADA 2010

Figura 3.6 Perfiles Este y Norte del Túnel 4



ESTRUCTURA 5C-01 - TUNEL 4
 MURO ESTE DE SUB-ESTR. JONON / MURO OESTE DE TUNEL
 DIBUJO Y CALCO: MARY JANE ACUÑA
 TEMPORADA 2010

Figura 3.7 Muro Oeste del Túnel 4 (Muro Este de la Subestructura Jonon)

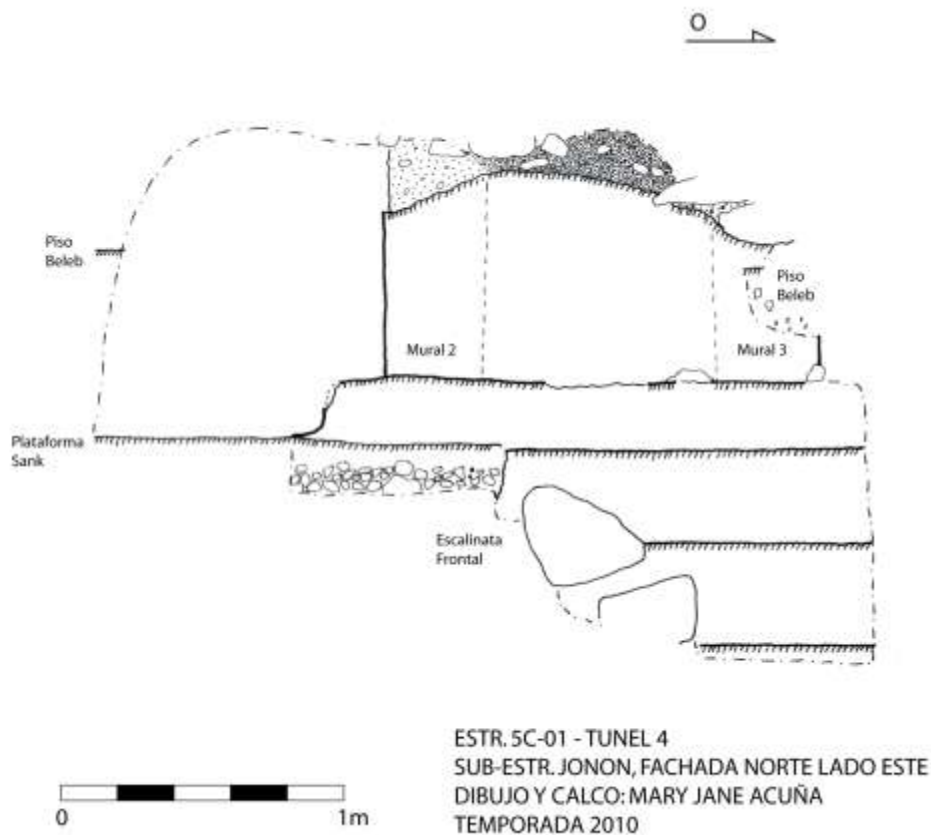


Figura 3.8 Lado este de la Fachada Norte de la Subestructura Jonon

El Lote 1 consistió en el relleno que enterró finalmente la Subestructura Jonon, localizado sobre el piso Beleb. Solamente se excavó una sección de este relleno debido a las dimensiones del túnel. Sin embargo, el relleno consistió de encajonados de piedra con tierra café bien apelmazada de aproximadamente 0.50 m de ancho, y entre ellos roca suelta. Éstos se encontraron en posición perpendicular al muro de la estructura. Las rocas que conformaron el relleno entre los muros de contención fueron relativamente uniformes y del tipo que denominan comúnmente “piedra de fuego.” Estos rellenos de piedra no contenían tierra, siendo bastante inseguros para excavar. Afortunadamente, los encajonados sirvieron para crear espacios reducidos con este tipo de relleno suelto, impidiendo el colapso mayor a la hora de excavación. En el túnel 4 solamente se identificaron dos muros de contención en la sección norte-sur, ya que el relleno del lado norte de la subestructura Jonon cambió y consistió de piedras misceláneas de diversos tamaños mezcladas con tierra amarillenta y café rojiza. En este caso, se decidió nombrar toda la sección Lote 1 dada la ausencia de materiales. Los únicos artefactos encontrados en este

lote corresponden a fragmentos pequeños de estuco pertenecientes al muro de la subestructura Jonon, los cuales fueron echados entre el relleno y sirven como evidencia de que la parte superior del edificio fue destruida cuando colocaron este relleno para la siguiente etapa constructiva (Figura 3.9).

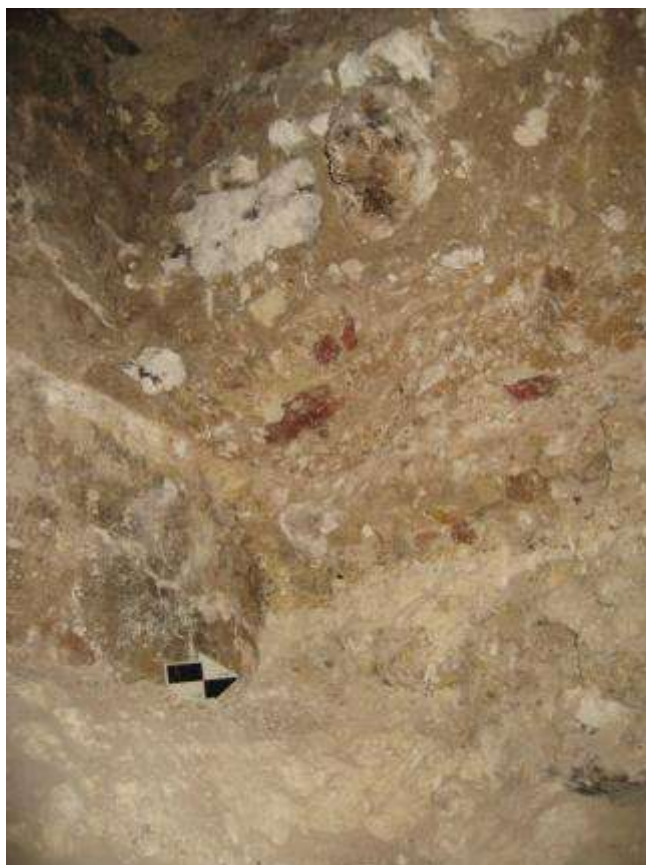


Figura 3.9 Fragmentos de estuco pertenecientes a la Subestructura Jonon
(Fotografía por Mary Jane Acuña)

Por otro lado, el Lote 2 fue bastante distinto, ya que no presentó muros de contención. Consistió de un relleno bastante homogéneo blanco-amarillento con piedras de diversos tamaños. Este relleno fue colocado para la construcción del piso Beleb, el cual evidentemente circulaba a Jonon. Solamente se recuperó un tiesto en este lote. El relleno al norte de la subestructura cambia en relación a aquel del lado este. En lugar de ser un relleno homogéneo, el Lote 3 cuenta con una variedad desde café muy oscuro a blanco amarillento. En cuanto a la composición del relleno, todas las capas contienen piedras pequeñas y medianas, contando solamente con unas cuantas grandes.

Es probable que el relleno fuera diferente en esta sección del edificio ya que es la parte que cubre la escalinata de acceso de Jonon; que como veremos más adelante, contaba con un mascarón y que juntas sus características indican que fue una estructura de mucha importancia simbólica y probablemente funcional. Además, se observó que este relleno al norte de Jonon constituía parte de una plataforma rústica sin cobertura de estuco que cubrió la escalinata de Jonon, denominada plataforma Tábano (Figura 3.10).



Figura 3.10 Plataforma Tábano (Fotografía por Mary Jane Acuña)

Lamentablemente, ésta fue evidente al finalizar la excavación. La plataforma, que se extiende hacia el norte desde Jonon, descendió con un talud sobre el segundo escalón hacia abajo desde la puerta de Jonon. En el Lote 3 se encontraron cuatro tiestos.

En cuanto a los rasgos arquitectónicos expuestos por el Túnel 4, el de mayor importancia es la subestructura Jonon misma (Figura 3.11). El Túnel 4 expuso gran parte de la arquitectura de los muros este y norte, aunque solamente unos 0.80 m de altura, ya que la parte superior del edificio fue destruida cuando construyeron la siguiente etapa, probablemente la Estructura Chen. Esta parte de la Estructura Jonon descansa sobre el extremo oeste de la Estructura Sank, y al pie de su muro tiene una pequeña grada o banqueta pintada de rojo que sigue en la fachada norte también. Sin embargo, en la fachada norte se convierte en el escalón que da acceso al interior de Jonon.



Figura 3.11 Excavación del Túnel 4 (Fotografía por Mary Jane Acuña)

El muro de Jonon presenta conservación regular con diversas fisuras y rajaduras. La conservación de esta sección basal se debe a que estuvo protegido por el relleno asociado con el piso Beleb, indicando que la destrucción de la Estructura Jonon se llevó a cabo posterior al uso de Beleb. El muro fue de color crema con la pequeña banqueta pintada de rojo. Sobre el crema hay rayones en negro conformando diversos grafitos no identificables. En la esquina noreste de Jonon se descubrió el Mural 2.

Mural 2: Ubicado exactamente a 2.40 m al norte de la orilla del Mural 1. El Mural 2 presenta el mismo estilo que el Mural 1 y está pintado parte sobre el muro este y parte sobre el norte. Se encontró incompleto debido a la destrucción del muro y basado en las volutas presentes se estima que el faltante equivale al 65% del mural. Siguiendo el estilo del Mural 1, el mural está pintado en rojo sobre el muro crema sin utilizar ningún otro color (Figura 3.12). El programa principal está enmarcado por volutas geométricas decoradas con círculos. El estudio iconográfico del motivo principal al centro aún está en proceso; sin embargo, se puede mencionar preliminarmente que se trata de un polimorfo en perfil (Figura 3.13).



Figura 3.12 Fotografía del Mural 2
(Fotografía por Mary Jane Acuña)

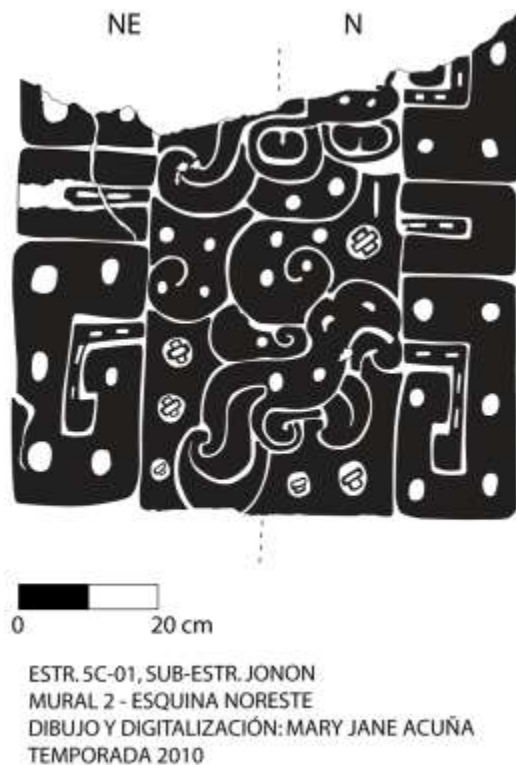


Figura 3.13 Dibujo del Mural 2

Probablemente cuenta con una mandíbula abierta y un ojo, orientados hacia el norte/oeste. La posición general sugiere que se trata solamente de la parte inferior del motivo principal, el cual fue destruido en la antigüedad hasta el nivel del piso Beleb.

ACH-1B-T5

Antes de iniciar la excavación del túnel 5, fue necesaria la expansión de la entrada al túnel de saqueo 3 que conecta la trinchera de saqueo 2 con el interior del montículo y los demás túneles. Esto se hizo por razones de seguridad, aprovechando que existía ya un segundo acceso a los túneles, y porque el túnel 5 se excavaría del lado norte de la subestructura Jonon, donde el acceso por el túnel 2 era más eficiente. La entrada al túnel 3 se encuentra sobre la terraza de la Estructura 5C-01.

El túnel 5 se inició desde el perfil oeste del túnel de saqueo 3, localizado entre la trinchera de saqueo 2 y el túnel 1 (ver Figura 3.4). Específicamente, se excavó en dirección oeste siguiendo el muro frontal o norte de la subestructura Jonon, a 0.70 m al norte de ésta. Se excavó a esta distancia de la estructura debido a la estabilidad del relleno. El objetivo de este túnel fue el de encontrar la esquina noroeste de la subestructura Jonon y posteriormente definir su muro oeste. Por lo tanto, se excavó por una distancia de 1.75 m hacia el oeste y luego se dobló hacia el sur. Utilizando la información recuperada del túnel 4, se sabía que la esquina se encontraría a 1.55/1.60 m desde la jamba. La jamba oeste había sido expuesta por los saqueadores y coincidía con el perfil oeste del túnel de saqueo 3 (Figura 3.14). La esquina se encontró y el túnel continuó hacia el sur 5 m hasta encontrar la esquina suroeste.

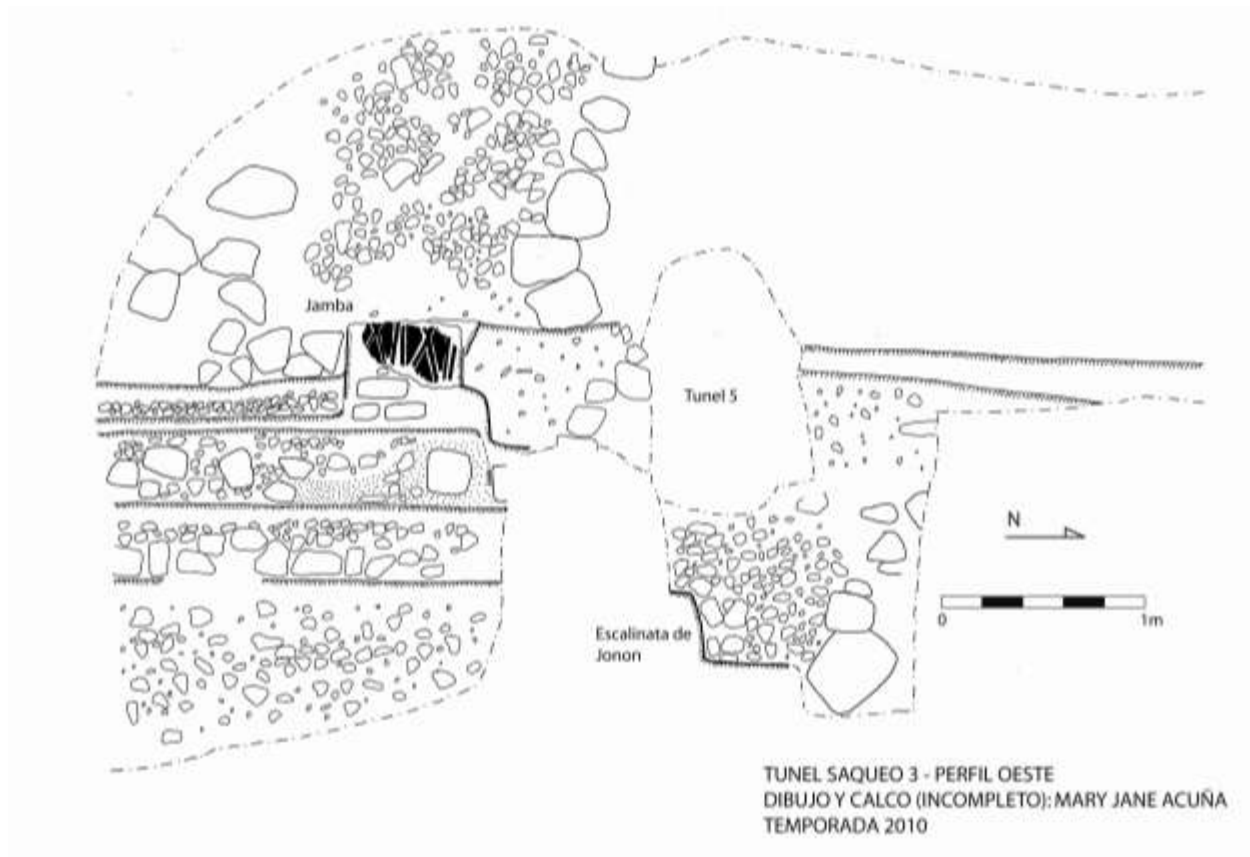


Figura 3.14 Perfil Oeste del Túnel 3

El túnel 5 se dividió en cinco lotes, consecutivos en numeración respecto a los lotes del túnel 4. El lote 4 corresponde a la excavación inicial del túnel 5 y comprende el relleno de la plataforma Tábano en donde se encontró un total de 18 tiestos erosionados pero que se pueden fechar al período Preclásico Tardío. El lote 5 está compuesto por el relleno del piso Lajeb, en donde se recuperaron únicamente tres tiestos, incluyendo un fragmento moderado de plato ubicado debajo del Fogón 1. El relleno fue de color café pálido amarillento que contenía concentraciones de piedras pequeñas. El relleno sobre el piso Lajeb formó el Lote 6, de donde se extrajo un tiesto. Este lote no contenía muchas piedras y fue más bien tierra compacta café con pedrín disperso. El Lote 7 comprende un pequeño registro frente a la esquina noroeste de la subestructura Jonon. De hecho, se diferenció únicamente por razones de control, pero corresponde en realidad al mismo relleno del Lote 5; simplemente fue una profundización en un espacio específico del lote. Finalmente, el Lote 8 comprende el relleno del piso Beleb localizado en la mitad sur del túnel, del lado sur de un muro de contención localizado a 2.0 m hacia el sur de la esquina noroeste de Jonon, hasta llegar a la esquina suroeste (Figura 3.15). Se encontraron solamente cuatro tiestos en este relleno formado por tierra de múltiples colores y piedras de pequeñas y medianas, dispersas y en concentraciones. Al tope sur del túnel, frente a la esquina suroeste de Jonon el relleno comenzó a cambiar e incluía lodo negro verdoso muy denso, húmedo, pastoso y algo ligoso.



Figura 3.15 Relleno del piso Beleb en el Lote 8 del Túnel 5 (Fotografía por Mary Jane Acuña)

Al igual que el túnel 4, la arquitectura de la subestructura Jonon expuesta por la excavación del túnel 5 estaba parcialmente conservada (Figura 3.16), justamente la porción de los muros protegidos por la construcción del piso Beleb. Se encontraron los restos de tres murales más, las contrapartes de los del lado este. El Mural 4, localizado en la esquina noroeste de la subestructura Jonon se encontró en relativamente buen estado (Figura 3.17). Se conserva solamente entre 0.80 m y 1 m del muro pintado, y la iconografía visible consiste en volutas representando la base de algo mucho más complejo que no se preserva (Figura 3.18). Estos motivos están enmarcados por las tradicionales volutas cuadradas como en los demás murales. El Mural 5 se encontró en posición opuesta al Mural 1. Es decir, sobre el centro del muro oeste donde se encuentra el punto de unión entre la subestructura Sip y la remodelación que formó la subestructura Jonon. De manera similar al lado este, el mural está pintado para cubrir la saliente del muro (Figura 3.19). Pero de manera contraria al Mural 1, del Mural 5 solo se conserva 0.20 m verticales y se encuentra en muy mal estado. Aunque se distingue de inmediato que tiene el mismo estilo y técnica, aparte de las volutas de los lados no se identifica nada del centro. En la esquina suroeste se encontró el Mural 7, del cual también solo se tiene 0.30 m verticales presentes y cuyo diseño no es identificable. Sin embargo, fue pintado usando la misma técnica y estilo. Es lamentable la limitada conservación de estos murales, pero no obstante proporcionan valiosos datos que se discutirán más adelante.

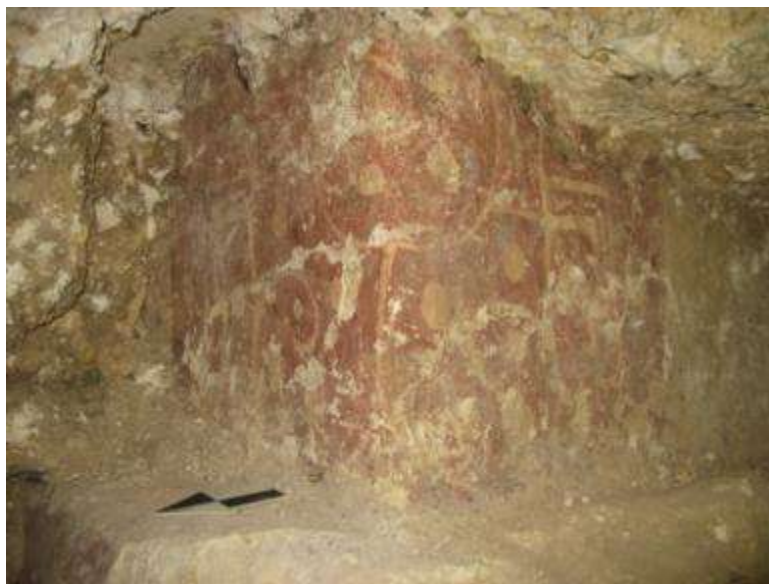


Figura 3.17 Fotografía del Mural 4
(Fotografía por Mary Jane Acuña)



Figura 3.18 Dibujo del Mural 4
(Dibujo por Mary Jane Acuña)

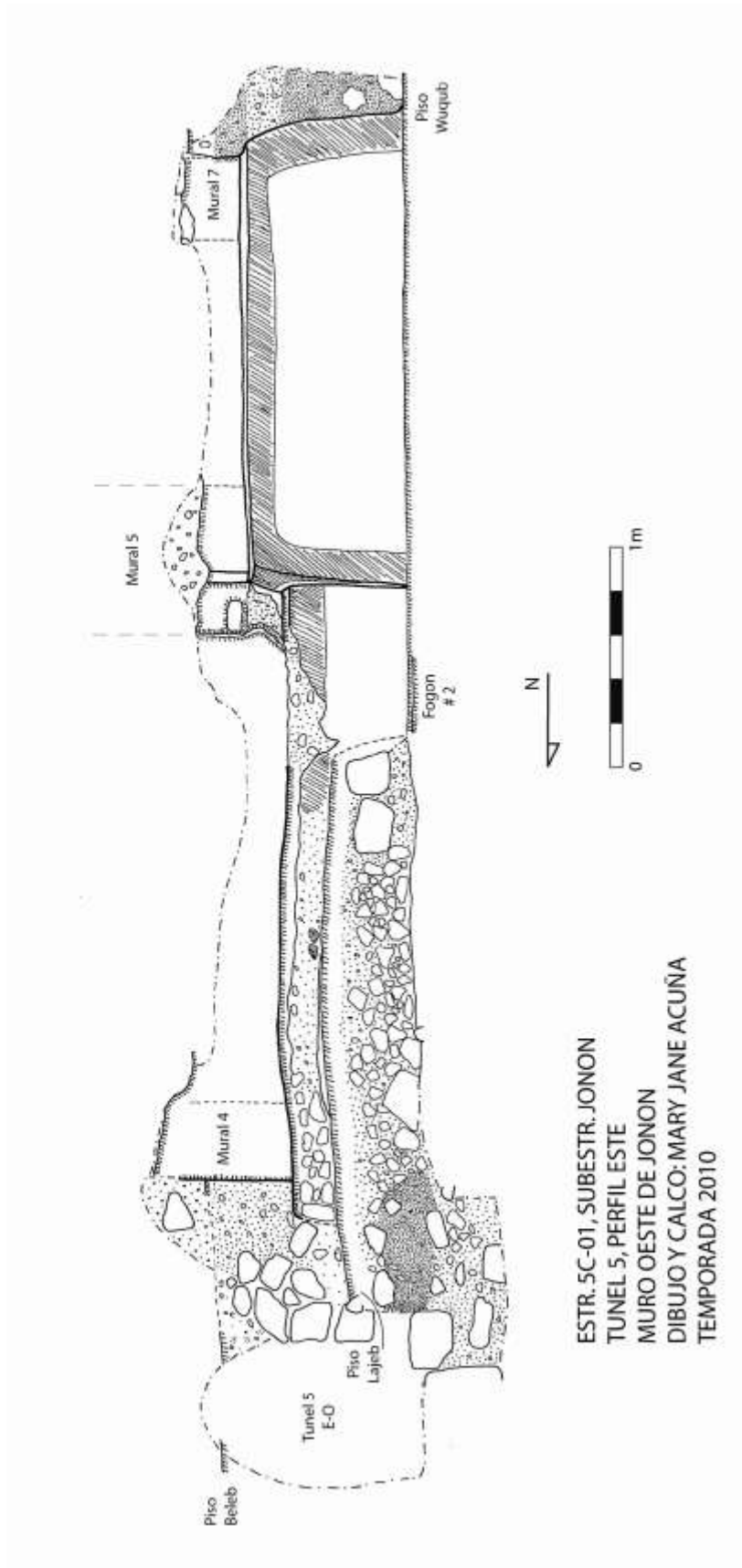


Figura 3.16 Perfil Este del Túnel 5 (Muro Oeste de la Subestructura Jonon)



Figura 3.19 Fotografía del Mural 5 (Fotografía por Mary Jane Acuña)

El estuco del muro oeste de la subestructura Jonon no se conservó de igual manera al del lado este. Acá estaba más deteriorado, aunque no tenía tantas fisuras como las del muro este. Curiosamente, no se encontró evidencia de grafitos tampoco. La mitad posterior del muro, sin embargo, si se conservó mejor y dio a conocer la arquitectura de esta sección claramente.

La subestructura Jonon tiene una banqueta pequeña a lo largo de la base del muro norte y la mitad norte del muro oeste, la cual es igual que la encontrada del lado este. Aunque menos conservada, aún se aprecian los residuos de pintura roja que la adornaban. A 2.30 m hacia el sur de la esquina se encuentra una saliente en el muro, haciendo el edificio más ancho en su parte posterior. A 1.80 m de la esquina hay un cambio en el nivel del piso, descendiendo 0.38 m al piso Wuqub. En lugar de la pequeña banqueta de 0.20 m de altura aproximadamente, hay un cambio a un talud de mayores dimensiones. El talud mide 0.88 m y descansa sobre el piso Wuqub. Es decir que del piso Lajeb se baja al piso Wuqub (ver Figura 3.16). El talud fue pintado con un marco rojo sencillo, lo cual no se aprecia del lado este, donde los saqueadores destruyeron parte del talud debajo del Mural 1.

Así como del lado este se encuentra la subestructura Sank, el lado oeste tiene el piso Lajeb, asociado con Jonon al nivel de la base de la banqueta que circula la mitad norte de la subestructura; es decir, al mismo nivel que la superficie de la plataforma Sank. Directamente al norte de la subestructura este piso no se encontró bien conservado. El piso Lajeb sirvió para dar simetría al edificio y es probable que también formó parte de alguna plataforma como Sank, la cual no es distinguible en las excavaciones del túnel. Esto se especula debido a que en la grada que desciende al piso Wuqub, se encontraron piedras alineadas que continúan hacia el oeste sugiriendo un arreglo similar al visible del lado este. De ser así, entonces la escalinata de acceso a la subestructura Jonon está enmarcada por dos plataformas de las cuales sabemos muy poco, pero que proporcionaban espacios amplios afuera y a los lados de la subestructura Jonon.

Sobre el piso Lajeb y a un costado del Mural 4, en la esquina noroeste, se encontró un fogón, denominado Fogón 1 (Figura 3.20). La ceniza se extendía 1.40 m norte sur y al menos 1 m este oeste, pero las dimensiones del túnel no permitieron verificar su diámetro total. Sin embargo, la concentración principal, la cual midió 0.02 m de grosor se limitaba a un espacio de 0.50 a 0.60 m de diámetro.



Figura 3.20 Fogón 1 (Fotografía por Mary Jane Acuña)

Dicho hallazgo fue muy afortunado ya que proveyó cantidades substanciales de carbón, los cuales se someterán al análisis de Espectrometría de Aceleración de Masas (AMS, por sus siglas en inglés) para obtener fechas absolutas. Entre el relleno debajo del fogón y debajo del piso Lajeb, se encontró un fragmento grande de plato. Su posición horizontal sugiere una colocación intencional, pero el piso no presentó evidencia de haber sido cortado para poner dicho fragmento. Por lo tanto, existe una relación entre ambos rasgos pero que no parecen ser contemporáneos; más bien, sugieren la importancia del lugar específico, posiblemente asociado con el mural pintado en la esquina noroeste de Jonon.

Debajo del piso Lajeb, en la parte noroeste de la subestructura Jonon se encontró una especie de banqueta con restos del estuco que la cubría (Figura 3.21). Probablemente corresponde a algún edificio más temprano y representa una banqueta frontal. Solamente mayor investigación permitirá entender que está representando este rasgo. A 0.70 m hacia el sur de donde termina este rasgo, termina el piso Lajeb, el cual desciende al piso Wuqub. En esta intersección y sobre el piso Wuqub se encontró el Fogón 2 (Figura 3.22), cerca del Mural 5. Más pequeño que el anterior, este fogón cubrió un espacio aproximado de 0.50 m de diámetro, pegado al muro de la subestructura Jonon. Este hallazgo permitirá realizar más análisis de fechamiento y correlacionarlos con los resultados del carbón del Fogón 1.



Figura 3.22 Fogón 2 (Fotografía por Mary Jane Acuña)

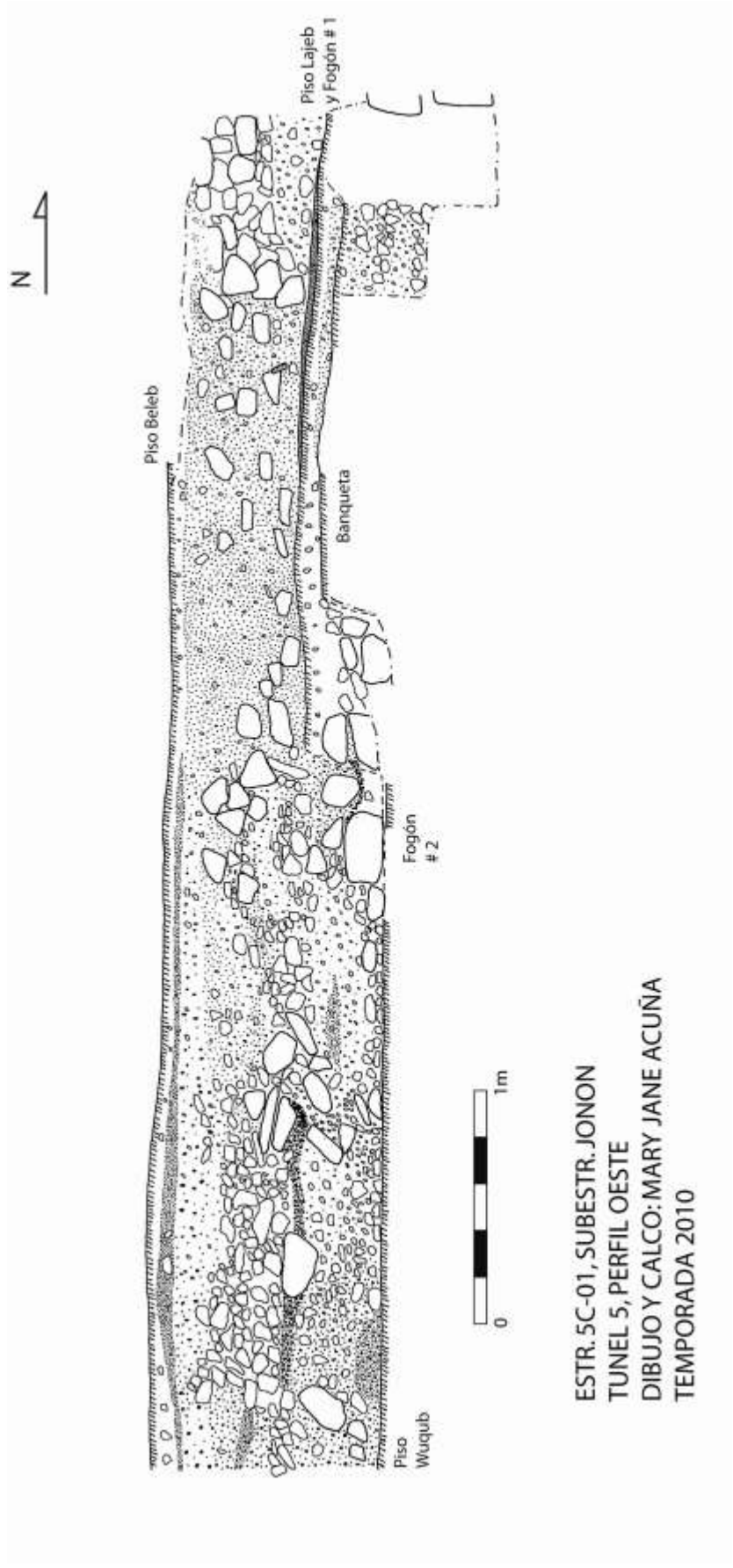


Figura 3.21 Perfil Oeste del Túnel 5

ACH-1B-T6

Durante la excavación de los túneles 4 y 5, la tierra fue cernida adentro de los túneles. Precisamente en el Túnel 1, se hizo con el propósito de rellenar la rama 1b que corre al sur, al menos hasta alcanzar el nivel del piso Wuqub. Aparte de comenzar a rellenar espacios que no serán investigados, fue oportuno también para elevar el nivel del túnel 1b para poder excavar el túnel 6. El propósito del túnel 6 fue la identificación de la esquina sureste de la subestructura Jonon (ver Figura 3.4), ya que el relleno y la ubicación de los túneles no permitía simplemente seguir el muro este de Jonon hasta encontrar su esquina. Por lo tanto, se decidió entrar por un costado en dirección hacia ella. Conociendo las dimensiones del lado oeste expuestas por el túnel 5, se sabía que el Túnel 6 sería corto. Para ello, se excavó por encima del piso Wuqub y por debajo del piso Beleb. A 1.50 m hacia el oeste se encontró la esquina de la subestructura Jonon en relativamente buen estado de conservación. Se descubrió la esquina del talud con su respectiva pintura roja enmarcándolo. No obstante, al igual que el resto del edificio, el muro acá también había sido destruido, dejando únicamente 0.30 m de muro vertical (Figura 3.23). Sobre éste, se encontró el Mural 6. Pintado en el mismo estilo y técnica, y con la pintura bien conservada no se identifican con claridad los motivos principales, solo las volutas cuadradas que los enmarcan (Figura 3.24).

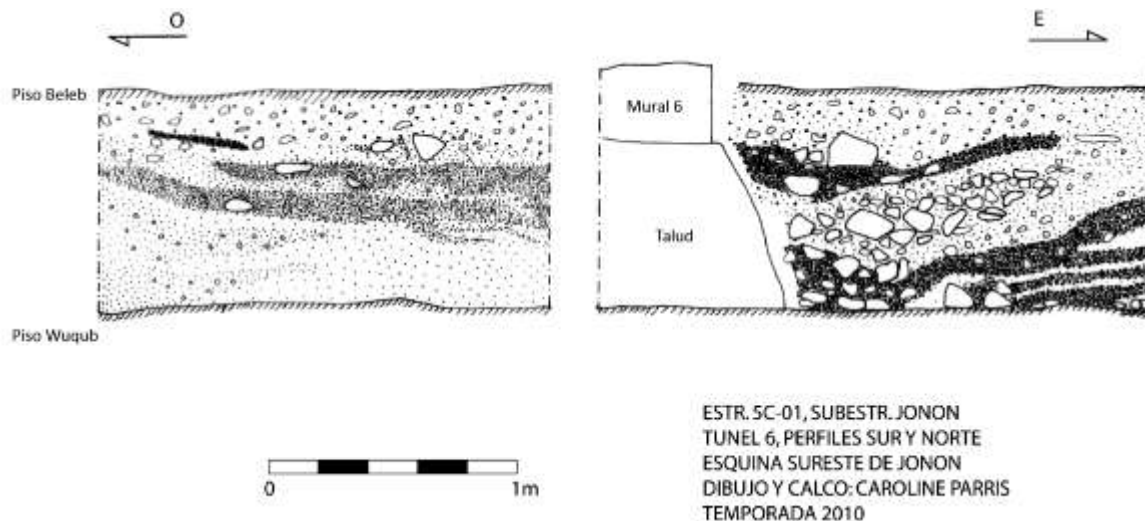


Figura 3.23 Perfiles Sur y Norte del Túnel 6



Figura 3.24 Mural 6 (Fotografía por Mary Jane Acuña)

La excavación del túnel 6 comprendió solamente el Lote 9, del cual se recuperaron 13 tiestos. El relleno expuesto por el perfil norte del túnel presenta capas de tierra blanca y negra mezclada con piedrín y piedras medianas; mientras que el relleno expuesto en el perfil sur y oeste, contiene más tierra café compacta y tierra amarillenta con piedrín más pequeño y con muy pocas piedras. La tierra del relleno parecía contener materia orgánica abundante, por lo que se tomó una muestra de suelo, la cual espera su análisis.

ACH-1B-T7

Localizado sobre la escalinata frontal de la subestructura Jonon, esta unidad se inició en el suelo del túnel 3 y frente a la entrada del túnel 5 (ver Figura 3.4). El objetivo fue encontrar la escalinata identificada en el túnel 4 y seguirla hacia el norte por medio de un túnel que descendiera sobre ella hasta llegar al nivel de piso o plaza asociado al norte del edificio. A este objetivo se suma el potencial hallazgo de un escondite al pie de la escalinata sobre el eje central. Sin embargo, luego de un metro de excavación y al momento de encontrar la escalinata los objetivos cambiaron y no se cumplió la meta original de esta unidad.

En el perfil este de la excavación, justo al nivel de la grada se encontró un rasgo compuesto de estuco modelado y pintado de rojo, el cual se identificó inmediatamente como un mascarón. Denominado Mascarón 1, éste estaría construido y tallado directamente sobre la escalinata sobre el eje central de la subestructura Jonon (Figuras 3.25 y 3.26).



Figuras 3.25 y 3.26 Mascarón 1 (Fotografías por Mary Jane Acuña)

Por lo tanto, el Túnel 7 se enfocó en la excavación del relleno para exponer el mascarón por completo, y debido a que el hallazgo se hizo con menos de una semana restante de la temporada, se dejó para la próxima la excavación hacia el piso de plaza. El Túnel 7 se amplió hacia el norte para poder luego avanzar hacia el este. Se trataba de un solo episodio constructivo, correspondiente a la plataforma Tábano, que parece haber sido intencionalmente construida para enterrar el acceso a la subestructura Jonon. El relleno está compuesto por niveles de diferentes colores de tierra mezclados entre sí, con pedrín y piedras medianas a grandes. Comprendió el Lote 10, donde se recuperaron nueve tiestos y un fragmento de carbón.

La ampliación resultó con un espacio de 2.20 m de largo (E-O), 1.20 de ancho (N-S) y 2.0 m de alto. Se expuso parte de la escalinata en ambos lados del mascarón y el túnel se unió, por medio de una pequeña ventana, con el túnel 4 (Figura 3.27). El mascarón mide 1.50 m de ancho, desde la orilla de los extremos de las orejas, los puntos más opuestos entre sí, por aproximadamente 0.70 m de altura (Figura 3.25). Esta última medida es aproximada debido a que no se terminó de exponer la parte superior debido a la inestabilidad del estuco.

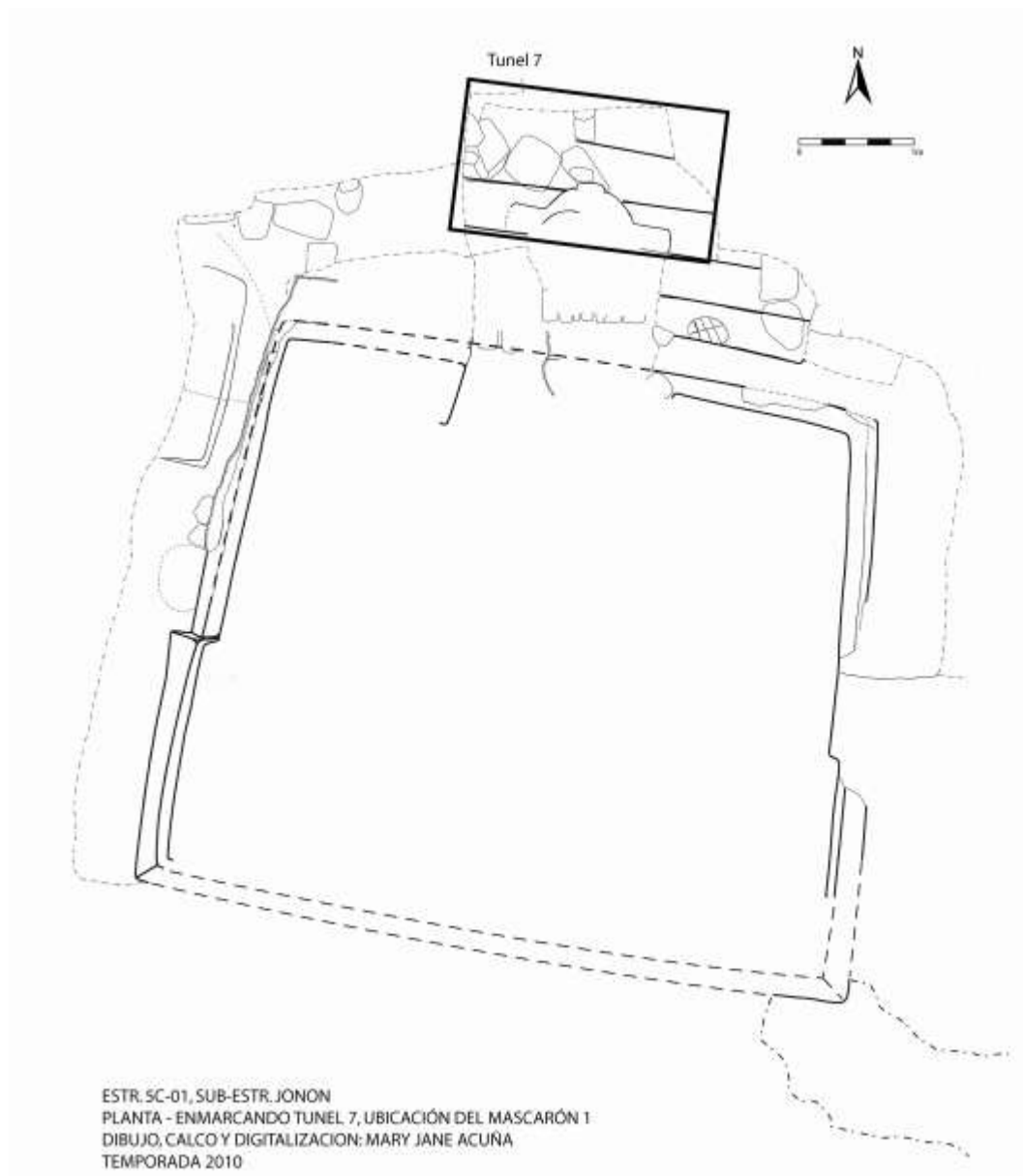


Figura 3.27 Ubicación del Mascarón 1 en el Túnel 7

Estado de Conservación – Malo. El Mascarón 1 se encontró enterrado por un relleno pesado y denso que contenía piedras de gran tamaño que habían sido colocadas, o tal vez tiradas, frente a él. Piedras medianas y pequeñas se encontraron directamente sobre partes del mascarón, desestabilizando el estuco, creando fisuras, grietas y fragmentando partes. La ausencia de un experto en la conservación y estabilización de estucos impidió la excavación adecuada de este rasgo. Por lo tanto, se expuso hasta donde fuera posible sin perjudicar la integración del mascarón, para poder hacer la primera documentación del mismo.

Descripción – Aunque el análisis iconográfico se encuentra en un estado prematuro, se pueden hacer algunos comentarios respecto a los elementos que lo conforman y a lo que el mascarón representa. Es importante observar, antes que nada, que el tamaño del mascarón es bastante inusual para el período Preclásico, como lo es también la posición en el eje central directamente sobre la escalinata.

El mascarón tiene una cinta para la cabeza (*headband*) en lo que fuera la frente. La cinta está pintada con un color crema amarillento y está decorada con elementos en negro. Estos elementos están conformados por tres círculos contiguos y verticales con una colilla. Aún no se han encontrado ejemplos comparables que ayuden en su interpretación. Los ojos se encuentran directamente debajo de la cinta, alargados y pintados de negro y crema. La nariz del mascarón es ganchuda hacia abajo y grande, semejante a la nariz de otros mascarones contemporáneos. La boca está abierta y tiene la representación de dientes, muy similar a la boca de la tortuga cuatrefoliar pintada en el muro oeste del edificio Pinturas de San Bartolo. De la parte superior y lateral de la boca salen volutas que caen a un costado de la boca abierta. Estas son volutas de aliento y aparecen representadas en otras criaturas y deidades en el arte Preclásico, como por ejemplo en las tortugas, la Deidad del Pájaro Principal (PBD, por sus siglas en Inglés), entre otros. Las orejeras se asemejan a las volutas y están decoradas con un elemento “u” de costado. Las orejeras son similares a los elementos laterales de la cabeza del personaje que representa al Dios del Maíz en el muro norte de Pinturas en San Bartolo. El elemento “u” decora mucho del arte del Preclásico y se ha interpretado como indicador de algo precioso. Las volutas de la boca y la nariz ganchuda son elementos compartidos también por la Deidad del Pájaro Principal, pero éste no tiene los dientes como los de la tortuga. Además, el PBD por lo general tiene los ojos

diferentes, como “j” de costado. Falta mucho estudio comparativo para llegar a una interpretación más segura y clara para el mascarón; sin embargo, se considera un hallazgo de suma importancia que contribuirá al corpus escultórico del Preclásico en las Tierras Bajas Mayas del sur.

La Subestructura Jonon

La subestructura Jonon fue una remodelación de la subestructura Sip, una versión más temprana. La evidencia indica que la subestructura Sip fue pequeña, de 3 m N-S por aproximadamente 4.5 m de E-O. Tuvo dos entradas, una que daba hacia el norte y la plaza principal y otra más angosta que daba hacia el sur y el patio posterior. La subestructura Sip descansa sobre el piso Wuqub, el cual se extiende hacia el sur y colinda con la parte superior del primer cuerpo de la subestructura Chub, con la cual formaba un patio. La subestructura Sip también estuvo decorada, pero según indican los restos, lo fue de una manera bastante sencilla. El túnel de saqueo 3, atravesó por medio de la puerta frontal de este edificio y rozó el estuco de la jamba oeste, exponiendo el estuco original que perteneció a la versión Sip (Figura 3.14, 3.28).

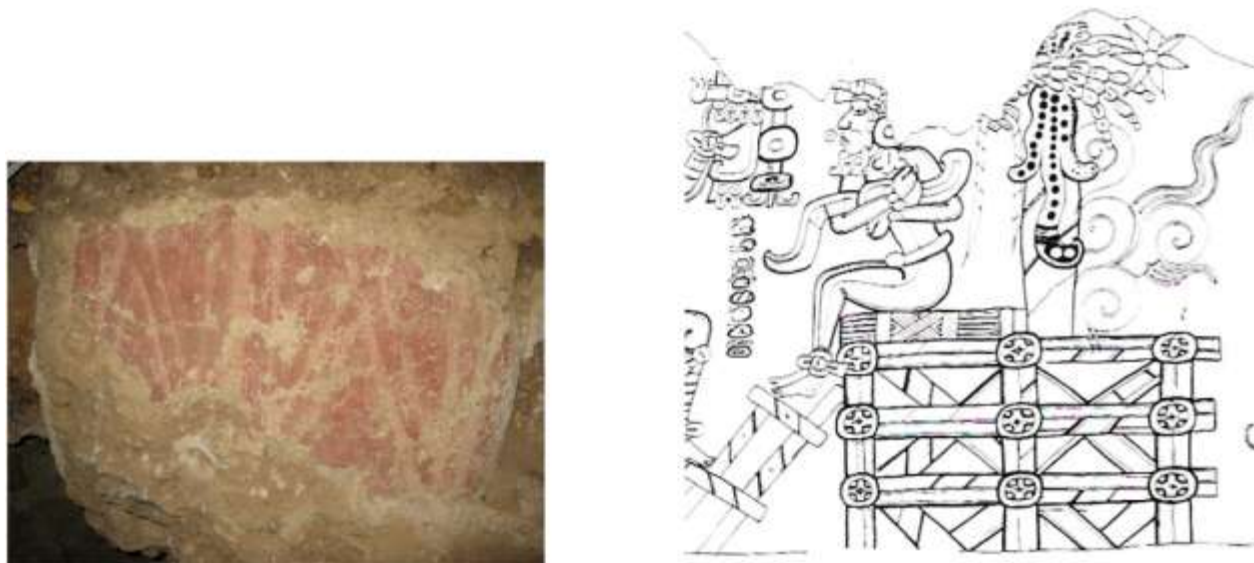


Figura 3.28 Fotografía del estuco pintado en la Jamba Oeste de la Subestructura Sip (Fotografía por Mary Jane Acuña) y su comparación con el andamio pintado en el Mural de San Bartolo (dibujo de H. Hurst publicado en Saturno 2010: Fig. 14)

La decoración es bastante geométrica, pero es probable que esté representando un andamio, similar a aquel sobre el cual está sentado el gobernante en el mural de San Bartolo (Figura 3.28). En la parte posterior del edificio quedan residuos de pintura roja sobre el muro y el talud, pero no se conservan los motivos. La jamba posterior del este también estuvo decorada, pero ésta aún no se ha excavado. Si la identificación de la decoración de la jamba oeste de Sip como un andamio es correcta, entonces indica que el concepto de entronización y linajes comenzó antes de la construcción de Jonon. Por lo tanto, la ampliación de la subestructura Sip para convertirse en Jonon alude a algún cambio en la formalización del linaje real y su engrandecimiento. Además, la expansión de este edificio hacia el sur, cierra el espacio que existía antes formado por Chub y Sip. La remodelación de Sip a Jonon incorporó la elevación del piso interior del edificio 0.15 a 0.20 m, y la demolición del muro posterior de Sip. Aunque el ancho de la estructura no cambió, la subestructura Jonon mide 4.70 m de largo, en su eje norte a sur. Esto significa que fue agrandada por 2 m en su parte posterior.

No se tiene claro todavía si el repello visible sobre los muros de la subestructura Jonon fue la misma que cubrió a Sip, o si fue cambiada. La evidencia en la jamba oeste sugiere que partes fueron recubiertas, pero el resto de los muros indica que fue un repello nuevo que fue puesto para ser decorado con nuevos motivos. Además de las pinturas esquineras, laterales y de las jambas, la subestructura Jonon tiene una serie de grafitos pintados principalmente en el muro este. De hecho, no se registró ninguno del lado oeste. Estos grafitos se extienden a lo largo del muro este por debajo del nivel del piso Beleb, el cual, incidentemente, los preservó. No se reconocen los motivos y parecen garabatos hechos con una mano de pocas habilidades artísticas. No obstante, en algunos casos parecieran replicar motivos de los murales o bien son líneas que enmarcan partes de ellos. Los grafitos recibirán mayor atención en la próxima temporada, cuando se hará un registro formal de ellos.

Las excavaciones alrededor de la subestructura Jonon proveyeron información relevante para comenzar a formalizar una interpretación sobre la función y el uso de la misma. Ahora se sabe que el edificio había sido decorado con polimorfos en perfil en sus cuatro esquinas, las jambas y las paredes laterales. Solamente el Mural 1, pintado sobre el muro este (lateral) medio, se conserva en su mayoría. Los demás, fueron destruidos en la antigüedad cuando la

subestructura Jonon fue demolida parcialmente antes de la construcción subsecuente. Es interesante notar que el Mural 1 fue conservado de esta manera mientras que los demás no. No pareciera coincidente y no se sabe qué exactamente representaban los otros seis murales, pero el Mural 1 fue importante porque identifica al edificio como un lugar asociado con la veneración ancestral. Como se ha mencionado en otras partes, el Mural 1 representa un bulto ancestral con una máscara que porta la diadema real trifoliar o *huunal* (Acuña, et al. 2010), similar a la ofrenda encontrada en el Entierro 85 de Tikal (Coe 1965:21; Martin y Grube 2008), y como aquellos ejemplos tempranos en la cultura Olmeca (Guthrie, et al. 1996:288). Esto sugiere que las subestructuras Sip y Jonon fueron espacios claves en la formación y formalización de una realeza en el sitio, quienes practicaron conceptos ideológicos que se registran primero en la cultura Olmeca, pero que fueron adoptadas posteriormente por los Mayas.

La presencia del Mascarón 1 refuerza la hipótesis manejada para la subestructura Jonon y particularmente alude a la importancia de la misma. En la mitología antigua Maya, la tortuga juega un papel principal como representante simbólico del concepto circular o semiesférico de la tierra (Taube 2010:212) y es de la caparazón de ella que renace el dios del Maíz, como se ve en el mural oeste de San Bartolo (Saturno 2009:121) y en la decoración de un plato estilo códice que se encuentra ahora en la colección del Museo de Arte de Boston (FAMSI, catálogo Kerr - K1892). Por lo tanto, su asociación con el edificio enfatiza la función simbólica del mismo y su asociación con la veneración ancestral y el culto al dios del Maíz, para la legitimación del estatus del linaje real y de poder sobrenatural de los gobernantes.

Excavación de Pozos

ACH-1C-1

Pozo de 1.50 m por 1 m localizado al pie de la trinchera de saqueo 2 en el eje central y norte de la Estructura 5C-01. Su eje longitudinal se trazó norte-sur, alineado con la orientación de la trinchera (Figura 3.29). Los objetivos de este pozo fueron dos. Primeramente, se esperaba localizar el pie de la escalinata de 5C-01. Según los rasgos arquitectónicos observados en el perfil del S2, se esperaba descender sobre el piso de la plataforma frontal del edificio, muy cerca

de donde iniciarían las gradas. La inclinación más pronunciada del montículo parte desde lo que parece ser una plataforma frente al edificio y no a partir del piso de plaza. El segundo objetivo era determinar la profundidad del saqueo mismo y verificar si habían dañado la base de la escalinata.

El Nivel 1 correspondió a la excavación de la tierra del saqueo, compuesto por poca tierra y mayormente por piedras sueltas de diversos tamaños. La tierra, de color café oscuro, se encontró principalmente cerca de la superficie. Debido a la inclinación del terreno en este lugar, el nivel también fue irregular. No obstante, se recuperaron 10 tiestos cerámicos y un fragmento de lítica.

El Nivel 2 consistió en el humus original del montículo antes del saqueo. La tierra fue café muy oscura y húmeda, conteniendo abundante material orgánico. Se encontraron 38 tiestos y un fragmento de lítica. La cerámica parece corresponder a los períodos Preclásico Tardío y Clásico Temprano, siendo este último el más abundante. Se desechó un total de 21 tiestos debido a que se consideraron no diagnósticos y demasiado pequeños.

El Nivel 3 comprendió la tierra de colapso y deposición post-abandono del sitio. La consistencia cambió respecto a los niveles anteriores, siendo más compacto. La tierra fue café y contenía escombros correspondiente a la última etapa constructiva de la Estructura 5C-01. La excavación de este nivel se detuvo con el hallazgo de una piedra caliza tallada de manera rectangular en la esquina sureste de la unidad. El cambio de nivel se hizo simplemente por control de material, no porque hubo un cambio cultural en la estratigrafía. Del Nivel 3 se recuperaron 16 tiestos y no se desechó nada. La cerámica correspondió principalmente al período Clásico Temprano, aunque se identificaron algunos fragmentos del período anterior. Por lo tanto, el Nivel 4 fue la continuación del escombros identificado en el Nivel 3. La excavación de la misma reveló lo que parece ser parte de los restos de tres escalones de una escalinata muy mal conservada (en conjunto con la excavación de la unidad ACH-1C-3). Curiosamente, las huellas son mucho más anchas que los escalones comunes, indicando por el momento tres posibilidades:

- 1) Que las gradas iniciales ascienden a una pequeña plataforma y no corresponden a la escalinata principal de la Estructura 5C-01;
- 2) Que la destrucción post-abandono ha deformado la base de la escalinata; y
- 3) Que no se trata de la escalinata propia, sino del escombros de la misma, lo cual habría que comprobar con más excavaciones en ese sector. Este fue el nivel que proporcionó mayor cantidad de material cultural, incluyendo 220 tiosos (10 de desecho), un fragmento de navaja de obsidiana y una lasca de pedernal.

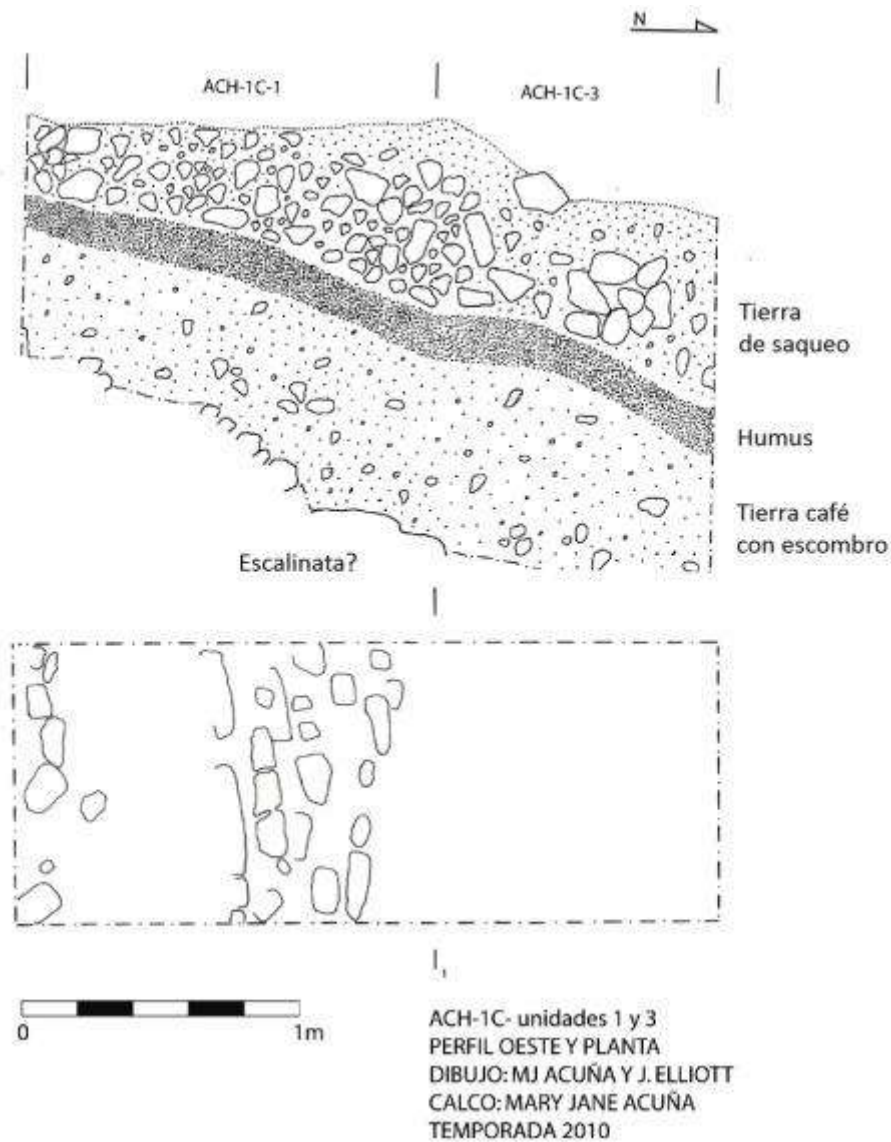


Figura 3.29 Perfiles y planta de la unidad ACH-1C-1 y ACH-1C-3

ACH-1C-2

Unidad de 1 m por 1.50 m localizado entre las trincheras de saqueo 1 y 2 de la Estructura 5C-01, casi dos metros al noroeste de la unidad ACH-1C-1. También se trazó con el eje longitudinal norte-sur (Figura 3.30). El objetivo de esta unidad fue similar al de la unidad anterior, definir algo de la arquitectura de 5C-01 y recuperar material asociado a la última etapa constructiva. Se excavaron cinco niveles.

El Nivel 1 comprendió la remoción de las piedras y tierra de los saqueos. Las características fueron las mismas que en la unidad 1. Se recuperaron solamente cinco tiestos de los cuales se desechó uno. El Nivel 2 consistió en la excavación del humus original, el cual fue de tierra café muy oscura con abundante materia orgánica. Contenía algunas piedras de escombros y 19 tiestos, una lasca de obsidiana y una de lítica.

El Nivel 3 comprendió la excavación del escombros de la estructura. La tierra fue café oscura con piedras medianas y pequeñas. La densidad de material incrementó, resultando con 96 tiestos (más 66 de desecho) y una lasca de obsidiana. Se cambió a Nivel 4 cuando la tierra cambió a ser café rojiza. Fue una capa delgada que cubría un piso estucado, el cual se encontró bastante erosionado y solamente en algunas partes del pozo, pero principalmente en el lado sur. Se recuperaron 48 tiestos y una lasca de obsidiana de este nivel.

El Nivel 5 y último, consistió en el rompimiento del piso y la excavación de su relleno. Se dejó una sección del piso cerca del perfil sur como referencia. El objetivo fue de recuperar material del relleno del piso que proporcionara información cronológica. Solamente se encontraron 25 tiestos bastante erosionados y que aún esperan ser analizados. Este nivel culminó con el hallazgo de la roca madre, la cual se encontró bastante nivelada a comparación de otras partes expuestas por pozos de sondeo en las plazas. Posiblemente esto indique la nivelación de la misma antes de la construcción de la Estructura 5C-01.

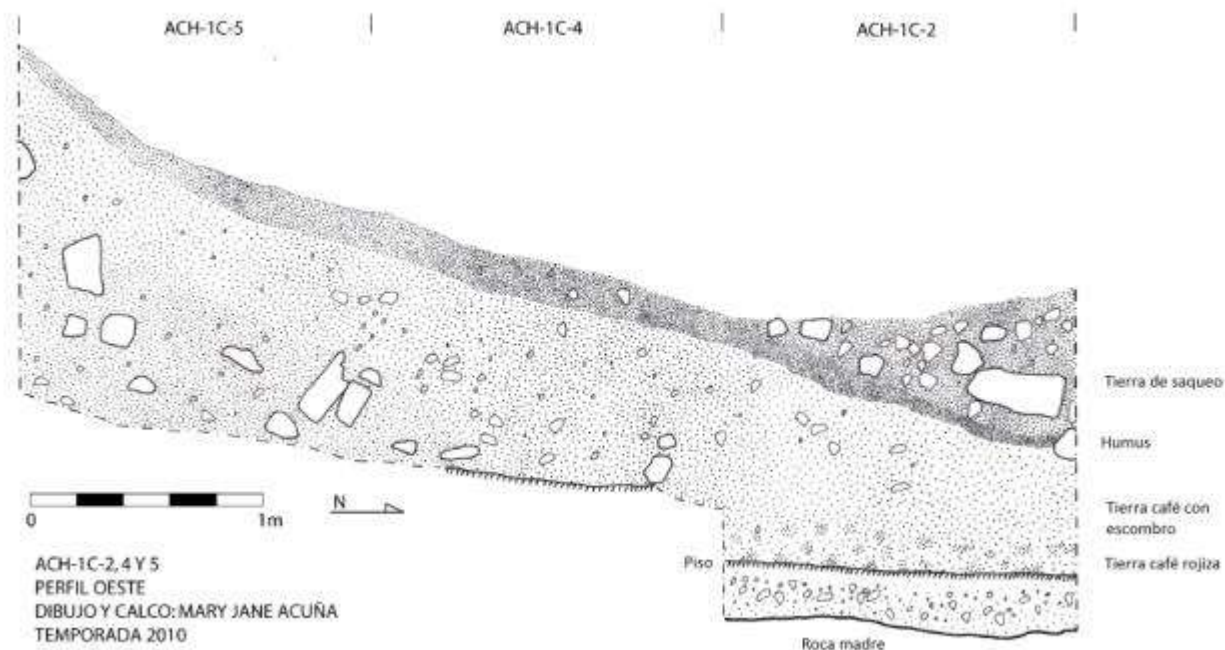


Figura 3.30 Perfil Oeste de las unidades ACH-1C-2, ACH-1C-4 y ACH-1C-5

ACH-1C-3

La unidad 3 fue un pozo de un metro cuadrado trazado directamente adyacente a la unidad 1, al norte de la misma a manera de extensión (Figura 3.29). Su objetivo principal fue exponer más el rasgo identificado en la primera unidad que se pensaba podría ser parte de la Estructura 5C-01. El primer nivel comprendió la limpieza del humus acumulado post-saqueo, una capa muy delgada de tierra café oscura que contenía únicamente 6 tiestos.

El Nivel 2 consistió en la remoción de la tierra y piedras de saqueos, siendo una capa gruesa e inestable mayormente de piedras. En este nivel se encontró solamente un tiesto, el cual no se recogió debido a su tamaño minúsculo y estado erosionado. Posteriormente, el Nivel 3 comprendió la excavación del humus original. Este se trató de tierra café muy oscura con materia orgánica, de la cual se recuperaron cuatro tiestos.

Finalmente, el Nivel 4 fue la excavación del escombros hasta llegar a los rasgos arquitectónicos identificados en la unidad 1. Se expusieron tres rasgos de piedras alineadas este-oeste a diferentes niveles sugiriendo que se podía tratar de gradas, ya descritas en con la unidad 1 anteriormente. La unidad terminó al pie del rasgo más al norte, en donde se encontró un relleno muy denso, compacto y blancuzco, muy desnivelado. Las presiones del tiempo no permitieron continuar su excavación para verificar de que se trataba, ya que no parecía un piso normal. Las nivelaciones indicaron que no se trataba del piso descubierto en la unidad 2.

ACH-1C-4

Esta unidad fue una extensión de ACH-1C-2 hacia el sur y midió 1.50 por 1.50 m. Su objetivo fue seguir hacia el sur y la Estructura 5C-01 sobre el piso identificado en la unidad 2 (Figura 3.30). Se excavó verticalmente como cualquier otro pozo. El primer nivel consistió en la excavación de humus, recuperándose solamente un tiesto. El Nivel 2 comprendió la excavación del escombros, encontrando solamente 4 tiestos. La separación entre los niveles 2 y 3 no fue muy clara en campo. No se logró diferenciar entre el escombros y lo que pareció después ser relleno constructivo. Por lo tanto, se considera arbitraria la separación. El Nivel 3 correspondió principalmente a la sección sur del pozo, a un relleno constructivo café claro y grisáceo, y compacto, que contenía piedras medianas y pequeñas. Se encontraron 84 tiestos y dos lascas de obsidiana. Se terminó la excavación de este pozo con el hallazgo de restos de un piso estucado que corresponde en nivel con el fondo de la unidad 3, indicando que podrían ser el mismo rasgo.

ACH-1C-5

Esta unidad consistió en una ampliación de la unidad 4 para verificar la presencia de relleno constructivo y la posibilidad de identificar rasgos arquitectónicos. Se trazó de 1.5 x 1 m, siguiendo la alineación de las unidades 2 y 4 (ver Figura 3.30). Lamentablemente no se identificó ningún rasgo arquitectónico. Sin embargo, se confirmó que el relleno grisáceo identificado en la unidad anterior correspondía, efectivamente, al relleno de la Estructura 5C-01 en su última etapa. La ausencia de piedras *in situ* de su arquitectura impidió la definición de la misma.

La unidad se dividió en cuatro niveles. El Nivel 1 correspondió a la limpieza de la tierra y las piedras del saqueo, en donde solamente se encontró un tiesto. El Nivel 2 comprendió el humus original. Una capa relativamente gruesa de tierra café muy oscura, la cual contenía abundante materia orgánica. Se encontró un tiesto erosionado.

El Nivel 3 consistió en el estrato de escombros post-abandono del edificio. Éste contenía piedras pequeñas y medianas mezcladas entre tierra café y, curiosamente, no se encontró ningún artefacto. El cuarto y último nivel comprendió el relleno del edificio. Un relleno café grisáceo con poca piedra y éstas de reducido tamaño. Se encontró un tiesto y un fragmento de obsidiana. A pesar de no haber podido identificar los rasgos arquitectónicos, sí fue posible ver en el perfil que el relleno grisáceo solamente se extendía de manera inclinada hasta la ubicación del piso identificado en la unidad 4, confirmando que se trata de una construcción.

Conclusiones

Las excavaciones en la Estructura 5C-01 y sus fases más tempranas durante la temporada 2010, proporcionaron valiosa información respecto a su secuencia. La definición de la subestructura Jonon confirma la importancia simbólica del edificio en cuanto a la presencia de un linaje real durante el período Preclásico Tardío. Algunos rasgos visibles en la etapa temprana de Jonon, la subestructura Sip indican que probablemente el reinado del sitio comenzó en épocas más tempranas. La disposición y naturaleza de estos edificios y su decoración aluden a prácticas ideológicas relacionadas particularmente con la veneración ancestral y la identificación de realeza, ambos dentro del ámbito mitológico de la creación. Es bien sabido que, durante el Preclásico, la realeza Maya debía justificarse por medio de criterios, entre los cuales se incluye la habilidad de recrear el mito de la creación, de establecer espacios sagrados y de utilizar la diadema real (*huunal*) (Fields y Reents-Budet 2005a). El Achiotal cumple con estos tres criterios. Estas prácticas son bien conocidas a través de las Tierras Bajas Mayas de Petén. Sin embargo, a pesar de compartir estos elementos, la representación iconográfica en El Achiotal es muy particular, desviándose de los estándares conocidos. También es sabido que estas prácticas ideológicas tienen su origen en la cultura Olmeca (Fields y Reents-Budet 2005b), cuyos rasgos se están encontrando más y más en el área Maya (ver Inomata, et al. 2009).

Por lo tanto, se continúa con la hipótesis de que El Achiotal es un sitio periférico de la meseta central y que posiblemente jugó un papel importante en cuanto a relaciones con otras regiones. A la vez, mientras el sitio se adhiere a las prácticas ideológicas, y por lo tanto políticas regionales, demuestra cierto nivel de autonomía, visto a través de su particular estilo artístico y composición iconográfica.

Las trincheras de saqueo revelan abundantes datos relacionados con etapas constructivas posteriores a Jonon, las cuales serán objeto de investigación en la próxima temporada. Éstas nos ayudarán a comprender los procesos relacionados con el desarrollo de la realeza como institución en el sitio, ya que hay indicios que aluden a cambios en la expresión iconográfica y conformación arquitectónica. Al mismo tiempo, se espera también continuar con los estudios de las etapas más tempranas para poder identificar de manera más precisa los orígenes de dicha realeza y los inicios de su desarrollo.

Debido a que las excavaciones en el exterior relacionadas con la Estructura 5C-01 y su última etapa constructiva no fueron muy productivas esta temporada, sirvieron para adquirir una idea más concreta del estado de conservación. De esta manera, se podrá crear un plan de investigación más apropiado para vislumbrar la última ocupación del edificio, tanto morfológica como funcionalmente.

EXCAVACIONES EN LA PLATAFORMA 4C-11 DE EL ACHIOTAL

Caroline A. Parris

Introducción

Las excavaciones en la sección norte del Achiotal se enfocaron en la Plataforma 4C-11, localizada al centro del Grupo Norte. La superficie de la plataforma está aproximadamente a cinco metros sobre el nivel de la plaza circundante y tiene cuatro estructuras en su cima (4C-11a, 4C-11b, 4C-11c y 4C-11d). En esta temporada 2010, las excavaciones en la Plataforma 4C-11 tuvieron como objetivo establecer su cronología e investigar preliminarmente la Estructura 4C-11c, localizada en el extremo sur de la plataforma. Las excavaciones incluyeron un pozo maestro al centro de la Plataforma 4C-11 (ACH-99-2A-1), un pozo al pie de la trinchera de saqueo del lado norte de la Estructura 4C-11c (ACH-99-2B-1), y un pozo de sondeo en la esquina noroeste de la misma estructura (ACH-99-2B-2) (Tablas 3.1 y 3.2). Además de estas excavaciones, se limpió la trinchera de saqueo en el lado norte de la Estructura 4C-11c y se realizó el dibujo de su perfil.

Sub-Operación ACH-2A

ACH-99-2A-1

La unidad ACH-99-2A-1 (Figuras 3.31, 3.32 y 3.33) se ubicó cerca del centro de la Plataforma 4C-11 y se alineó con el norte magnético. Se inició como un pozo de 2 x 2 m, sin embargo, su área se redujo conforme se profundizó para maximizar la profundidad y facilitar la excavación. Se excavaron cinco niveles siguiendo la estratigrafía natural y cultural. El Nivel 1 consistió en la capa de humus de aproximadamente 30 cm de grosor. El final de este nivel correspondió con el primero de tres pisos estucados encontrados en esta excavación. Los artefactos encontrados en este nivel comprenden materiales cerámicos y líticos. El análisis preliminar de la cerámica hecho por Acuña identificó seis tipos cerámicos, incluyendo Tinaja Rojo, Altar, Encanto Estriado, Cambio Sin Engobe, Águila Naranja y Sierra Rojo. Estos tipos cerámicos, en conjunto con una variedad de formas de vasijas, representan componentes del Preclásico Tardío, Clásico Temprano, Clásico Tardío y Clásico Terminal.

El Nivel 2 consistió en el Piso 1 y su relleno. El Piso 1 se encontró mal conservado, pero identificable a través de la unidad como un nivel de estuco gris-blanco claro. A pesar de su mala conservación, no se observaron cortes en el piso. Las secciones mejor conservadas del Piso 1 tuvieron un promedio de 10 cm de grosor. La parte superior del relleno bajo el piso consiste aproximadamente de 10% de piedras (~15cm en diámetro), 35% de piedrín (menos de 7 cm de diámetro) y tierra arenosa de color café claro con cierto contenido de barro. La parte inferior de este nivel contenía un porcentaje mayor de piedras (como 50%). Este relleno fue colocado directamente sobre el Piso 2, en donde finalizó el Nivel 2. El grosor del Nivel 2 tuvo un promedio de 50 cm. Los artefactos recuperados del Nivel 2 incluyen cerámica, lítica y dos fragmentos de estuco pintado. El análisis cerámico preliminar identificó a los tipos cerámicos Águila Naranja, Sierra Rojo, Achiot/Paila Sin Engobe y Zapote Estriado. Por asociación, estos artefactos del Nivel 2 representan una fase transicional entre el Preclásico Tardío y el Clásico Temprano.

El Nivel 3 incluyó el Piso 2 y su relleno asociado. Por intereses de tiempo y la posible profundidad final del pozo, la excavación del Nivel 3 se redujo a 3m² de la unidad de 2 x 2 m. Por lo tanto se dejó sin excavar el 1m² del suroeste de la unidad. El Piso 2 se encontró bien conservado y no demostró evidencia de cortes u otras perturbaciones. El grosor promedio del Piso 2 fue de 10-15 cm en la sección norte de la unidad y de hasta 20 cm en el perfil sur. El relleno debajo del piso consistió en una tierra arenosa café amarillenta, constituyendo aproximadamente el 30% del relleno, con inclusiones de rocas representando hasta el 70% del relleno. La mitad de las inclusiones tenían más de 7 cm de diámetro, con las piedras más grandes promediando entre 25 y 30 cm en diámetro. El grosor promedio del Nivel 3 fue de 54 cm y el relleno del Nivel 3 se encontró sobre el Piso 3, en donde culminó la excavación del mismo. Los artefactos del Nivel 3 incluyen cerámica y dos fragmentos de estuco, uno de los cuales está moldeado y muestra rastros de pintura roja y gris/negro. El material cerámico del Nivel 3 está representado por los grupos Zapote Estriado, Achiot/Paila Sin Engobe, Polvero Negro, Sierra Rojo y Caramba Rojo. Todos estos tipos son representativos del Preclásico Tardío.

El Nivel 4 incluye el Piso 3 y su relleno correspondiente. El Piso 3 se encontró bien preservado y completo a través de la unidad, ahora en forma de L. El grosor aproximado del Piso 3 fue de 20 cm y contenía piedras dentro del estuco blanco-gris, conformando el 30% del volumen del piso. El relleno del piso no existió de manera uniforme a través de la unidad. Se concentró en el metro cuadrado oeste y consistió de rocas relativamente sueltas y tierra de color blanco-gris. Este relleno en la sección oeste de la unidad y el Piso 3 en el resto de la unidad se encuentran directamente sobre un sedimento café-negro, el cual definió el final del Nivel 4. La nivelación de la plataforma y el relleno seguramente explica la discrepancia espacial del relleno debajo del Piso 3. El grosor total promedio del Nivel 4, incluyendo el Piso 3 y su relleno fue de 32 cm. Se encontró cerámica, un hueso de fauna y un fragmento de estuco. Los tipos cerámicos representados en este nivel incluyen Zapote Estriado, Achiote/Paila Sin Engobe y Sierra Rojo, característicos todos de Preclásico Tardío.

El Nivel 5 comprende el mayor volumen de la deposición cultural encontrada en esta unidad, como también el número más reducido de artefactos. El Nivel 5, que tuvo como promedio una profundidad de 5 metros, consistió en varios tipos diferentes de tierra entremezclada y las inclusiones de piedras variaron respecto a la tierra. En total, se registraron aproximadamente 11 tipos individuales de tierra dentro de este nivel. Los sedimentos pueden ser agrupados en dos categorías: sedimentos parecidos al estuco de color blanco-gris (Figura 3.32) y sedimentos arcillosos y orgánicos oscuros (Figura 3.33). Los sedimentos parecidos al estuco de color blanco-gris se encontraron en dos lugares: el primero aproximadamente 10-30 cm de grosor y 50 cm debajo de la superficie del Nivel 5; y el segundo alrededor de un metro de grueso a unos 50 cm sobre la roca madre. Ninguna de las concentraciones de este relleno constituyeron eventos individuales de construcción y representan, más bien, eventos individuales de relleno dentro de un solo episodio constructivo mayor. Los sedimentos arcillosos y orgánicos oscuros se encontraron por todo el Nivel 5 – arriba, debajo y entre las concentraciones de relleno blanco-gris. Los artefactos recuperados del Nivel 5 se limitaron a formas cerámicas del Preclásico de los grupos Juventud Rojo, Guitarra Inciso y Zapote Estriado.

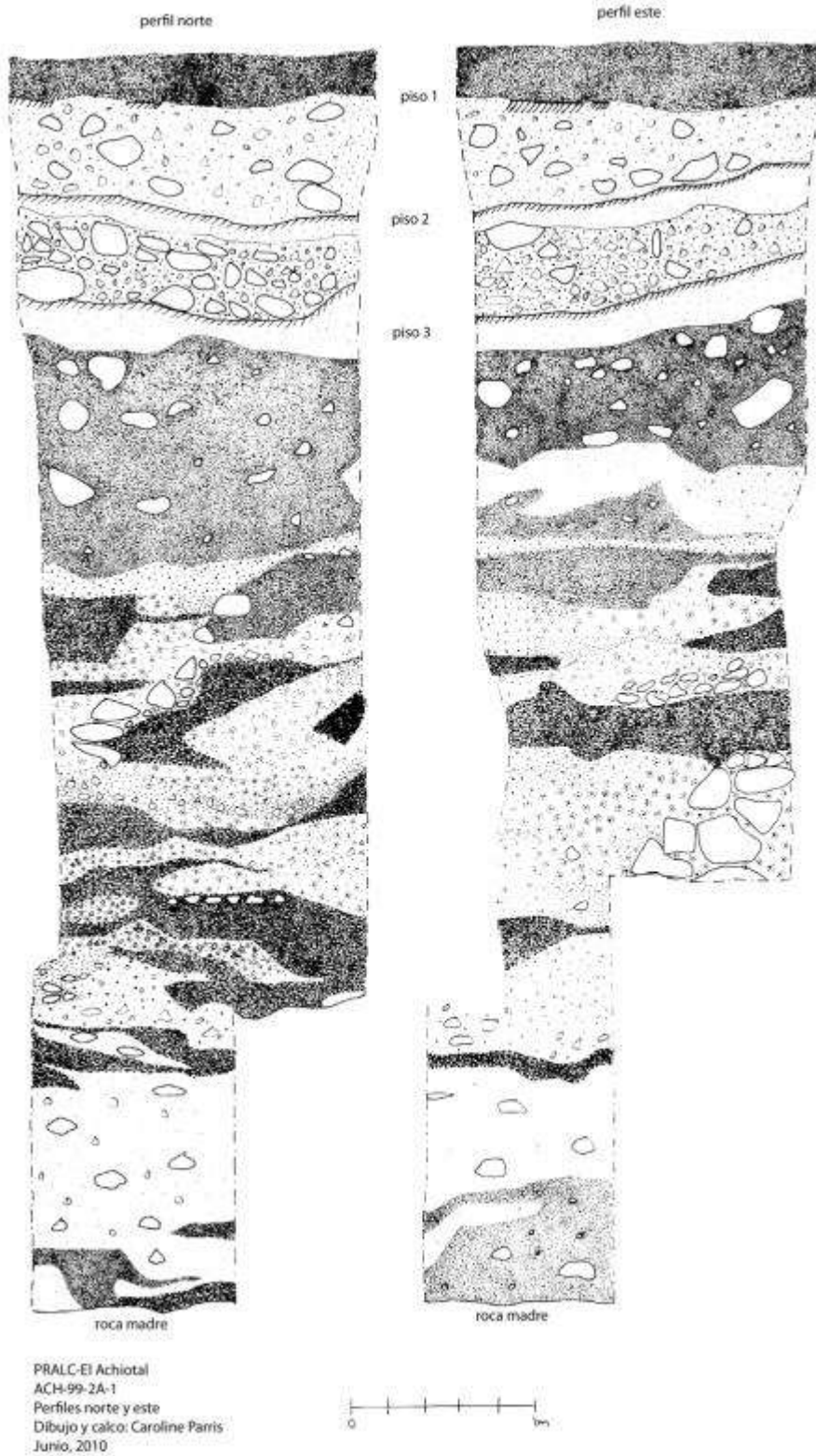


Figura 3.31 Perfiles norte y este de la unidad ACH-99-2A-1 al centro de la Plataforma 4C-11 del Achiotal



Figura 3.32 Parte del perfil del nivel ACH-99-2A-1-5 (Fotografía por Caroline Parris)



Figura 3.33 Parte del perfil del nivel ACH-99-2A-1-5 (Fotografía por Caroline Parris)

Sub-Operación ACH-2B

ACH-2B-1

Las excavaciones de la sub-operación ACH-2B se enfocaron en la Estructura 4C-11c, la mayor de las cuatro que se encuentran sobre la Plataforma 4C-11. La Unidad 1 (Figuras 3.34 y 3.35) se inició de 1 x 2 m, pero posteriormente se extendió un metro hacia el sur para formar una unidad de 1 x 3 m. La Unidad 1 se colocó al final de una trinchera de saqueo que penetra el lado norte de la Estructura 4C-11c, por lo que se orientó 22° este del norte siguiendo el eje de la trinchera de saqueo y perpendicular a la estructura. El objetivo de esta unidad fue encontrar el piso descubierto bajo el humus en ACH-99-2A-1 (Piso 1) y seguirlo hacia la estructura para localizar la última etapa constructiva del edificio.

Utilizando la unidad ACH-99-2A-1 como guía, el primer nivel consistió del material sobre el primer piso, incluyendo la tierra removida por los saqueadores al sur de la unidad y el nivel original de humus. El piso se encontró bien conservado y se extendía a través de toda la unidad, por lo cual se extendió la unidad un metro hacia la estructura para descubrir la última etapa constructiva. El Nivel 1 de la extensión correspondió al primer lote de la unidad original y consistió en la tierra removida por los saqueadores y el humus inmediatamente debajo de ésta, con un grosor promedio de 77 cm. Se encontraron dos hileras de piedras cortadas que cruzaron la unidad durante la excavación del primer nivel de la extensión. La primera hilera se localizó inmediatamente debajo de la superficie en el perfil sur de la unidad, pero su función respecto a la arquitectura de la estructura 4C-11c no se pudo determinar. La segunda hilera se encontró en la sección más al norte de la extensión inmediatamente sobre el piso. Ésta hilera de piedras cortadas está asociada con un cambio en el relleno al sur de las mismas, en donde inicia el Nivel 2. Los artefactos recuperados del Nivel 1 incluyen lítica, restos de fauna, fragmentos de concha y cerámica. Algunos de los tipos cerámicos representados en este nivel incluyen Encanto Estriado, Cambio Sin Engobe, Tinaja Rojo y Águila Naranja.

El Nivel 2 consistió en una tierra de color gris-café con aproximadamente 60% del volumen de piedras de 5-10 cm de diámetro. El Nivel 2 fue excavado hasta el piso estucado que se encontró, aunque mal conservado, al sur de la hilera de piedras. El grosor promedio del nivel

fue de 43 cm. Este nivel corresponde a la última etapa constructiva de la Estructura 4C-11c, la cual continúa utilizando el mismo piso de plaza asociado con la etapa anterior. Se encontró cerámica y algunos huesos de fauna fragmentados en el Nivel 2. Las formas y tipos cerámicos corresponden al Clásico Tardío e incluyen Encanto Estriado, Cambio Sin Engobe, Tinaja Rojo y Águila Naranja.

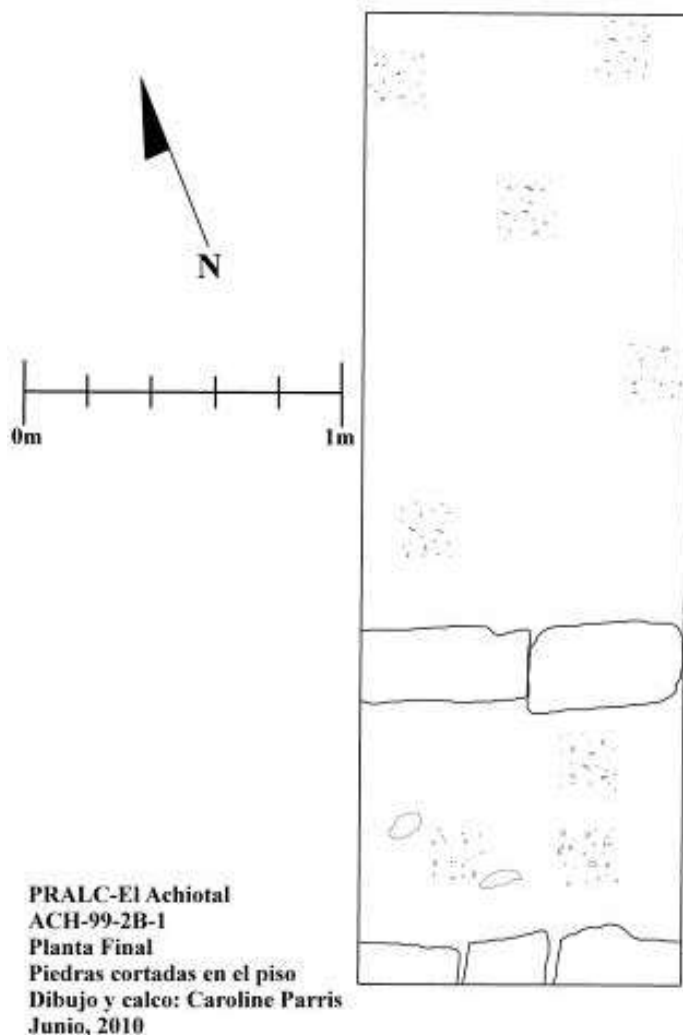
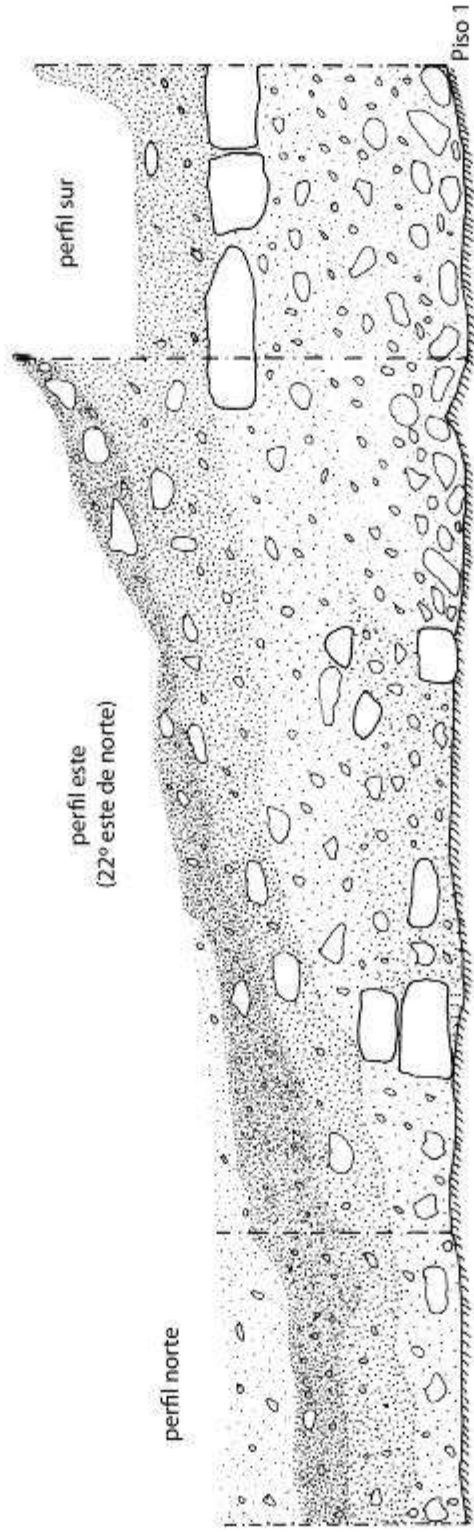


Figura 3.34 Planta final de ACH-99-2B-1



PRALC-EI Achiotal
 ACH-99-2B-1
 Perfiles norte, este, y sur
 Dibujo y calco: Caroline Parris
 Junio, 2010



Figura 3.35 Perfiles de ACH-99-2B-1

ACH-99-2B-2

Esta unidad se localizó en la esquina noroeste de la Estructura 4C-11c. Midió 1 x 2 m y estuvo orientada longitudinalmente este-oeste. En lugar de una orientación al norte magnético, se colocó 14° este del norte con el objetivo de aproximar un ángulo recto con la estructura. La excavación de esta unidad siguió los rasgos de la unidad ACH-99-2B-1, con el primer nivel consistiendo en todo el material sobre el piso de plaza. Al igual que en la unidad anterior, el piso de plaza se encontró conservado y sin evidencia de cortes. Dentro del relleno se encontraron algunas piedras cortadas, pero no se detectó ninguna transición distintiva que indicara otro contexto. Posteriormente, se observó un ligero cambio en el color del relleno a gris más claro visible en el perfil de la unidad, la cual puede corresponder a la última etapa constructiva. El piso estucado continuó por debajo de este cambio ligero sin cortes. El grosor promedio del nivel fue de 96 cm (Figuras 3.36 y 3.37). Los artefactos recuperados de esta unidad se combinaron en un solo nivel de excavación e incluyeron navajas de obsidiana, un artefacto de pedernal, huesos de fauna y cerámica. La cerámica es comparable con la de los niveles 1 y 2 de la unidad ACH-99-2B-2, principalmente con representaciones de formas y tipos de Encanto Estriado, Cambio Sin Engobe, Tinaja Rojo y Águila Naranja.



Figura 3.36 Fotografía final de ACH-99-2B-2 (Fotografía por Caroline Parris)

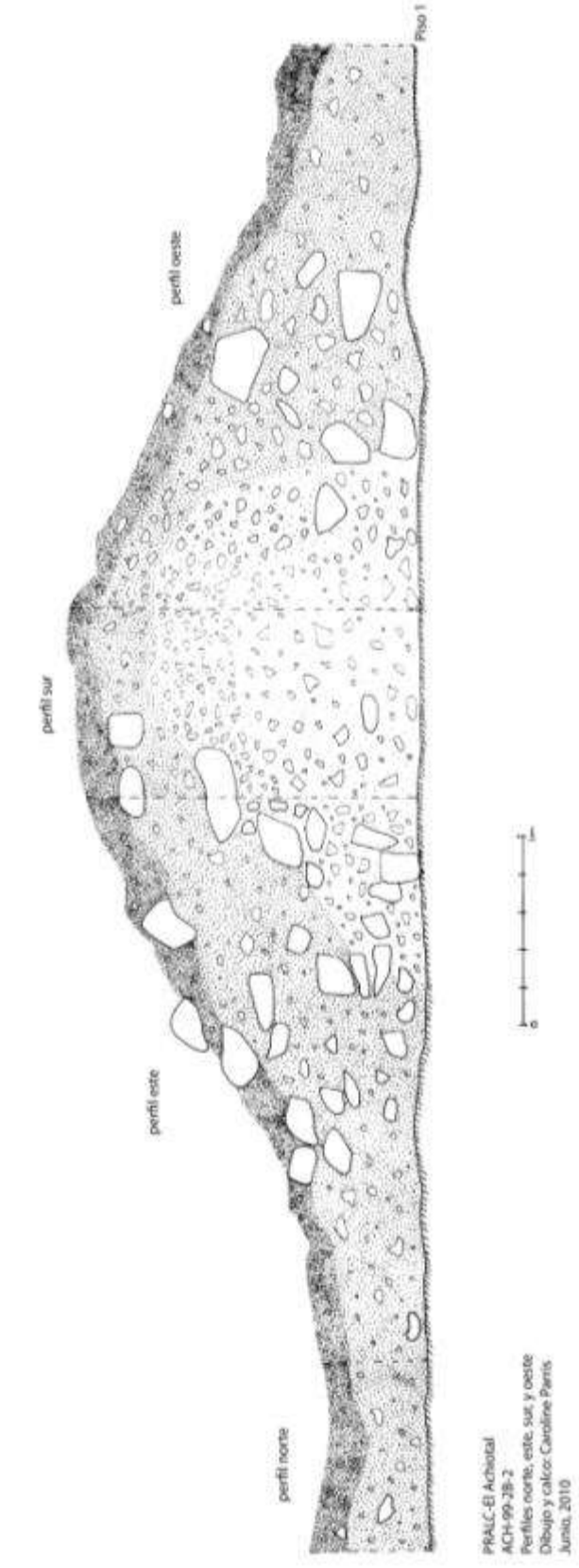


Figura 3.37 Perfil de ACH-2B-2

Limpieza de la Trinchera

Se limpió y dibujó una trinchera de saqueo localizada en el lado norte de la Estructura 4C-11c (Figuras 3.38 y 3.39), con el objetivo de comprender mejor la arquitectura y secuencia de la misma. Los materiales recuperados de la limpieza de la trinchera fueron combinados con el Nivel 1 de la Unidad ACH-99-2B-1. Estos materiales incluyeron cerámica, navajas de obsidiana, huesos de fauna y concha. El análisis preliminar de la cerámica resaltó la presencia de formas y tipos del Clásico Tardío, como por ejemplo Encanto Estriado, Cambio Sin Engobe, Tinaja Rojo y Águila Naranja. Aunque el perfil de la trinchera fue difícil de interpretar, se observó evidencia de al menos dos episodios constructivos en la forma de dos pisos estucados.

Consideraciones Finales

Las excavaciones de la Plataforma 4C-11 durante la temporada 2010 se enfocaron en establecer la cronología de la misma y en una investigación preliminar de la Estructura 4C-11c, la más grande sobre la plataforma. Estas excavaciones y análisis preliminares de artefactos revelaron que el cuerpo principal de la plataforma fue construido hacia el final del Preclásico Medio seguido por dos eventos constructivos correspondientes a los pisos estucados 2 y 3 durante el Preclásico Tardío, y uno durante la transición entre los períodos Preclásico Tardío y Clásico Temprano. Los materiales recuperados de los niveles de humus de las excavaciones indican una ocupación del Clásico Tardío o Terminal que no incluye remodelaciones a la plataforma. La investigación en la trinchera del lado norte de la Estructura 4C-11c y las dos unidades sobre su lado norte sugieren que este edificio tuvo varias fases constructivas. El evento final estuvo caracterizado por construcciones de mala calidad que cubrieron en parte el último piso de plaza, el cual no tenía evidencia de alguna remodelación al momento de la última construcción a la estructura.

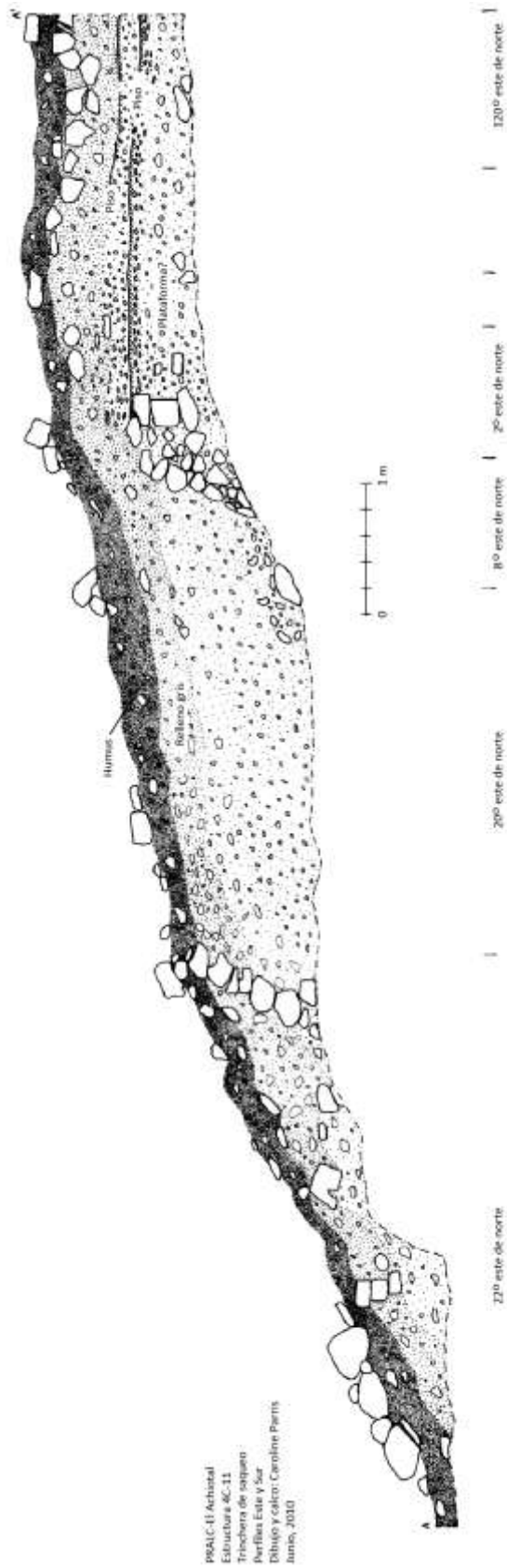


Figura 3.38 Perfil de trincheras de saqueo de la Estructura 4C-11c

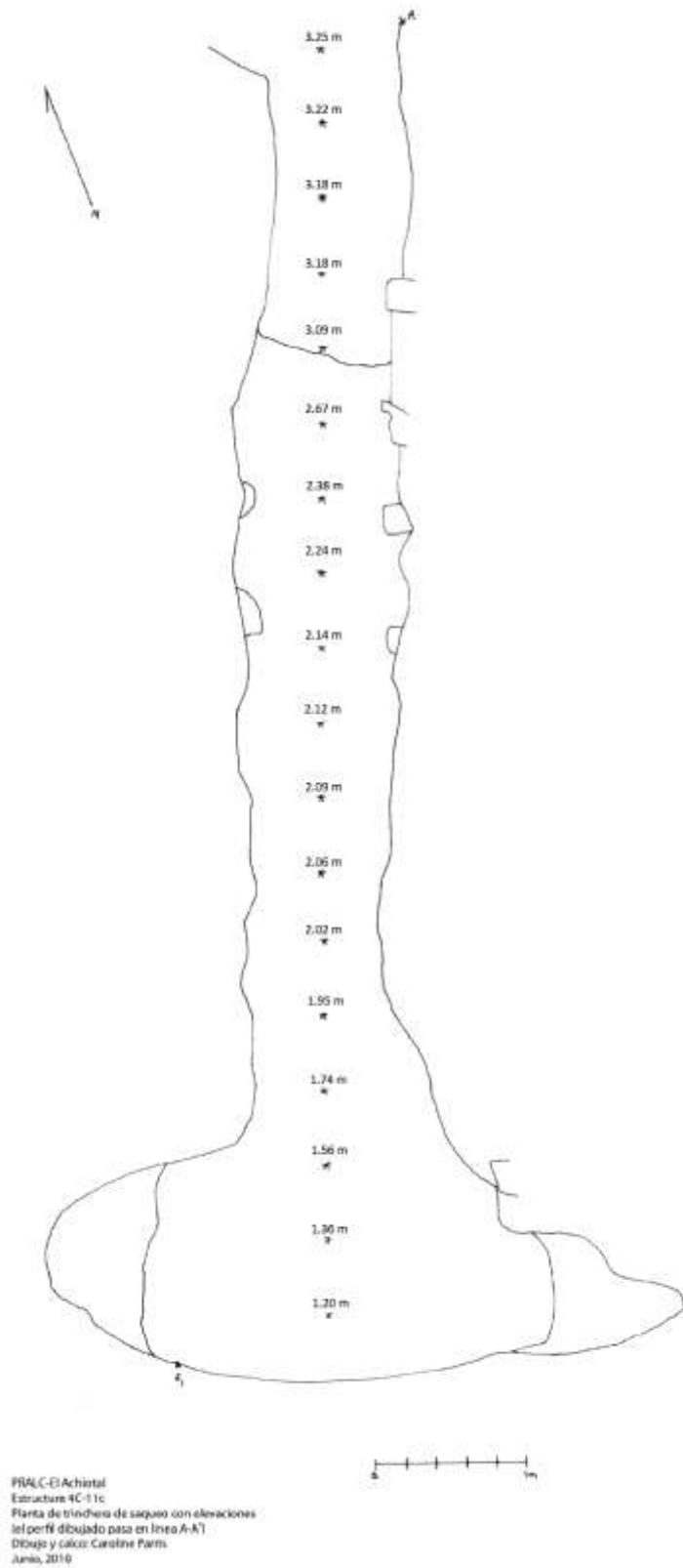


Figura 3.39 Planta de trinchera de saqueo en la Estructura 4C-11c

Tabla 3.1 Listado de Materiales por niveles, suboperaciones ACH 2A y ACH 2B

| Operacion, unidad, y nivel | C ramica | Obsidiana | L itica | Hueso Fauna | Estuco | Concha | Bot nicos microsc picos | Muestra de tierra | Obs. |
|----------------------------|-------------|-----------|-----------|-------------|----------|----------|-------------------------|-------------------|---|
| 2A-1-1 | 154 | 0 | 16 | 0 | 0 | 0 | 0 | 0 | |
| 2A-1-2 | 57 | 0 | 6 | 0 | 2 | 0 | 0 | 0 | |
| 2A-1-3 | 37 | 0 | 0 | 0 | 2 | 0 | 0 | 0 | |
| 2A-1-4 | 14 | 0 | 0 | 1 | 1 | 0 | 1 | 0 | |
| 2A-1-5 | 24 | 0 | 0 | 0 | 0 | 0 | 0 | 11 bolsas | |
| Totales | 286 | 0 | 22 | 1 | 5 | 0 | 1 | 11 | |
| 2B-1-1 | 1151 | 20 | 27 | 17 | 0 | 4 | 0 | 0 | Incluye los materiales de la limpieza de la trinchera de saqueo |
| 2B-1-2 | 47 | 0 | 0 | 2 | 0 | 0 | 0 | 0 | |
| Totales | 1198 | 20 | 27 | 19 | 0 | 4 | 0 | 0 | |
| 2B-2-1 | 367 | 3 | 1 | 4 | 0 | 0 | 0 | 0 | |
| Totales | 367 | 3 | 1 | 4 | 0 | 0 | 0 | 0 | |

Tabla 3.2 Descripci n de niveles suboperaciones ACH 2A y ACH 2B

| Sitio | Operaci n y nivel | Extensi n | Grosor aproximado de nivel en m. | Contexto |
|-------|-------------------|--|----------------------------------|--|
| ACH | 2A-1-1 | 2x2 | 0.30 | Humus |
| ACH | 2A-1-2 | 2x2 | 0.50 | Piso 1 y relleno caf  |
| ACH | 2A-1-3 | 1x2 y 1x1 | 0.54 | Piso 2 y relleno caf  amarillenta |
| ACH | 2A-1-4 | 1x2 y 1x1 | 0.32 | Piso 3 y relleno blanco-gris |
| ACH | 2A-1-5 | Al inicio: 1x2 y 1x1 Al fin: 1x1 | 5.00 | Construcci n principal de la plataforma de relleno de lodo caf  y negro y relleno de material como  stico blanco |
| ACH | 2B-1-1 | 1x3 | 0.77 | Relleno de saqueo y humus |
| ACH | 2B-1-2 | 1x3 | 0.43 | Relleno caf -gris |
| ACH | 2B-2-1 | 1x3 | 0.96 | Humus |

CAPÍTULO III-III

EXCAVACIONES DE SONDEO EN LA PLAZA SUR Y PLAZA NORTE DE EL ACHIOTAL

Carlos Gilberto Cruz

Introducción

El tercer componente de la temporada 2010 en El Achiotal fue la excavación de cinco pozos de sondeo en las plazas Sur y Norte. Estos tuvieron como objetivo principal conocer la cronología constructiva en áreas abiertas y verificar si existe alguna diferencia en cuanto a construcción y ocupación entre estas plazas, ya que la Plaza Sur posee una orientación de 4.5° Este, mientras que la Plaza Norte posee una orientación de 14.5° Este.

Metodología y descripción de excavaciones

Todas las unidades fueron orientadas al norte y para llevar un registro de las profundidades de cada nivel se colocaron varios *datum* cerca de las unidades. Las medidas fueron tomadas nivelando una pita y las lecturas se realizaban cada vez que se finalizaba un nivel. En esta temporada los diferentes estratos fueron registrados como niveles. Así mismo, al descender cada nivel se tomaron fotografías y al final de cada unidad se realizaron dibujos de algunos perfiles y la planta.

ACH-99-7

Este pozo se ubicó aproximadamente sobre el eje central de la Estructura 5C-08 del Grupo Sur y a un metro de su base. Orientado hacia el norte verdadero, sus dimensiones fueron de 1 x 1.5 m, llegando a una profundidad máxima de 1.82 m. El Nivel 1 consistió en la capa de humus, la cual contiene un grosor de 0.08 m, en donde se recolectaron 20 tiestos. El Nivel 2 correspondió a un relleno café oscuro semi-compacto con pocas piedras y en donde se recuperaron 558 tiestos. Las observaciones preliminares permiten establecer que ésta corresponde al periodo Clásico Temprano. Posteriormente se encontró el Nivel 3 que consistió en fragmentos de estuco quemado de lo que fuera un piso y un relleno café claro semi-compacto con piedras pequeñas, y se recuperaron 151 tiestos.

El Nivel 4 correspondió a otro piso mal conservado, del cual solo queda algunos fragmentos de estuco, luego continúa un relleno café claro semi-compacto con abundante piedra de regular tamaño. El material cerámico fue menor al nivel anterior, ya que solo se recuperaron 11 tiestos. En este nivel se culminó la excavación al encontrar la roca madre. Cabe destacar que en la esquina noroeste se encontró un alineamiento de piedras que posiblemente corresponda a un encajonado de rocas para nivelar la primera versión del piso.

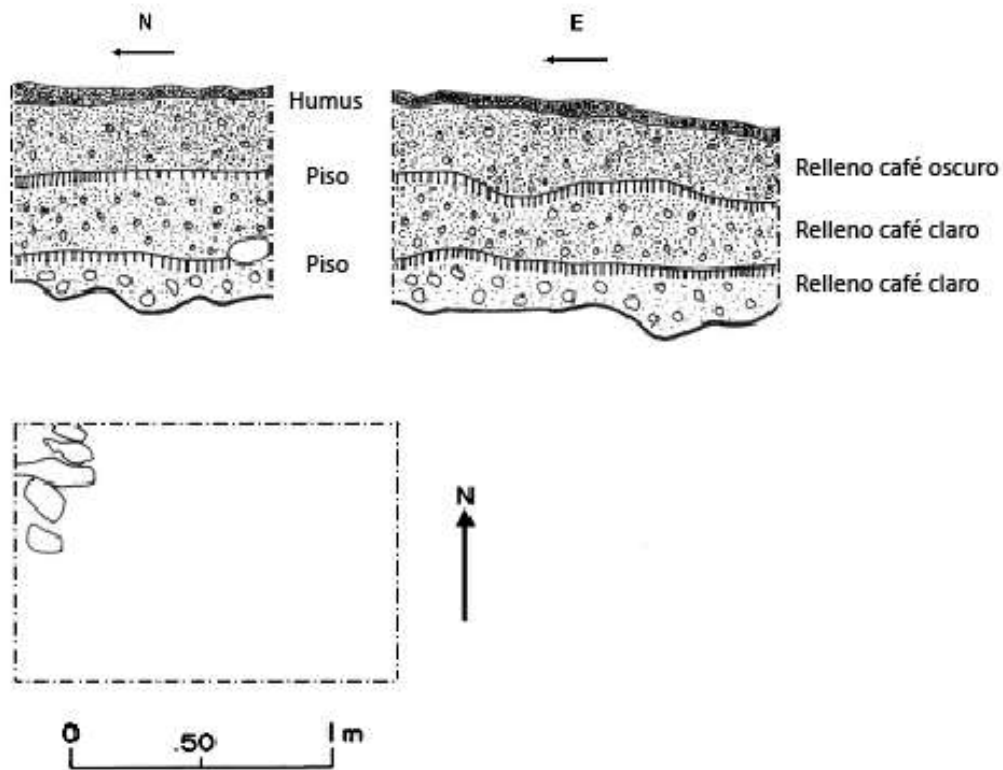


Figura 3.40 Perfiles y planta de la unidad ACH-99-7
(Dibujo y calco por Gilberto Cruz)

ACH-99-8

Este pozo se ubicó aproximadamente entre las plazas Sur y Norte, en el punto en el que el alineamiento del sitio cambia de 4.5° Norte a 14° Norte. Orientado al norte verdadero, sus dimensiones fueron de 1 x 1.5 m, llegando a una profundidad máxima de 2.23 m. El Nivel 1 consistió en la capa de humus, la cual contiene un grosor de 0.29 m, en donde se recolectaron 11 tuestos y 1 fragmento de obsidiana. El Nivel 2 correspondió a un relleno café oscuro con piedras pequeñas, y se recuperaron 13 tuestos. Al final se encontró un alineamiento de piedras con un empedrado en la parte norte del pozo, mientras que la parte sur consiste en una nivelación. Se decidió hacer un registro de 1 x 1 m en la nivelación para ver si el alineamiento correspondía a una estructura temprana. Entonces, el Nivel 3 consistió en un relleno amarillento y suelto con bastante piedra pequeña en donde se recuperaron 11 tuestos. El Nivel 4 correspondió a un relleno rojizo semi-compacto con algunas piedras de regular tamaño. En la mitad del nivel se encontró un alineamiento de piedra caliza que corre de este a oeste y pegado al perfil oeste se encontró otro alineamiento que corre de norte a sur. Se decidió descender dentro de ese alineamiento para ver si se encontraba algo. Al final se descendieron 0.23 m y dentro del alineamiento continuaba el relleno de tierra rojiza hasta llegar a un relleno café amarillento muy compacto por lo que se finalizó la excavación. Se recuperaron 8 tuestos y 2 fragmentos de obsidiana.



Figura 3.41 Alineamientos de piedra encontrados en la unidad ACH-99-8
(Fotografía por Gilberto Cruz)

ACH-99-9

Este pozo se trazó inmediatamente al oeste de la unidad ACH 99-8 para comprobar si el alineamiento de piedras encontrado al final del Nivel 2 en la unidad anterior continuaba. Sus dimensiones fueron de 1 x 1 m, llegando a una profundidad máxima 1.90 m. El Nivel 1 consistió en la capa de humus de la cual se recuperó un tiesto. El Nivel 2 correspondió a un relleno café oscuro y al final se encontró un relleno de piedras que termina en el perfil este, casi a la misma profundidad del alineamiento de piedras de la Unidad ACH 99-8. Al termina este nivel se recuperaron 50 tiestos y se decidió hacer un registro de 0.5 x 0.5 m para ver si los rellenos que continúan son los mismos que aparecen en la unidad anterior. El Nivel 3 consistió en un relleno amarillento y suelto con bastante piedra pequeña y al final se encontró el mismo alineamiento de piedra caliza encontrado en la Unidad ACH 99-8, junto con otras piedras de regular tamaño. No se encontró material cerámico, por lo que para comprobar la orientación del alineamiento de piedras se decidió trazar otro pozo.

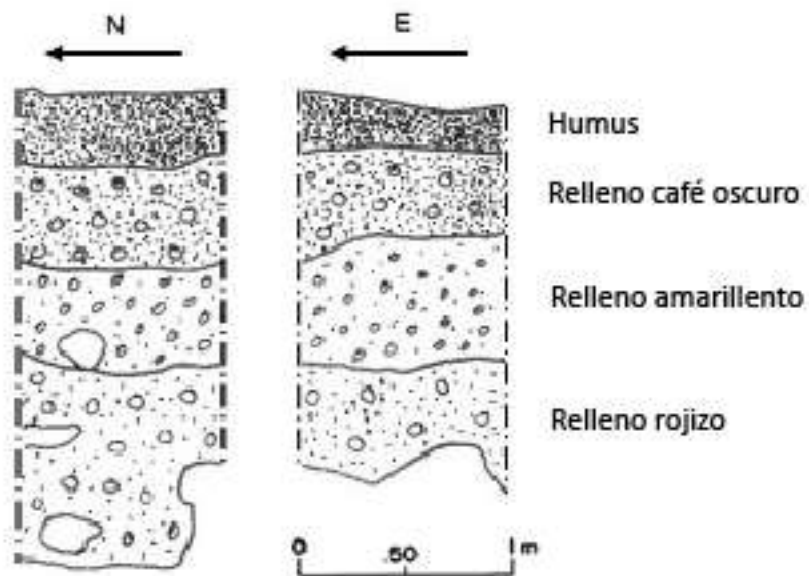


Figura 3.42 Perfiles Este y Sur de la unidad ACH-99-9
(Dibujo y calco por Gilberto Cruz)

ACH-99-10

Este pozo se trazó inmediatamente al sur y entre las unidades 99-8 y 99-9 para comprobar si el alineamiento de piedras encontrado al final del Nivel 2 continuaba, así como ver la orientación del alineamiento encontrado al final del Nivel 3. Sus dimensiones fueron: los lados norte, este y sur de 1 m y el lado oeste de 1.5 m; llegando a una profundidad máxima 2.11 m. El Nivel 1 consistió en la capa de humus de la cual se recuperaron 60 tiestos. El Nivel 2 correspondió a un relleno café oscuro semi-compacto y al final se encontró el mismo relleno de piedras que aparece en la Unidad 99-9, de donde se recuperaron 15 tiestos. Luego se hizo un registro de 0.5 x 0.5 m para comprobar el verdadera orientación del alineamiento que se encontró al final del Nivel 3 en la Unidad 99-8. El Nivel 3 consistió en un relleno amarillento y suelto, con bastante piedra pequeña. El material cerámico fue menor ya que solo se encontraron 4 tiestos. Al final del nivel se encontró el resto del alineamiento de piedras que corre de este a oeste y también el resto del otro alineamiento que corre de norte a sur. Se decidió realizar un registro dentro del área que enmarcaban los alineamientos. El Nivel 4 consistió en un relleno amarillento y suelto con bastante piedra pequeña y de regular tamaño, de donde se recuperaron solamente 5 tiestos. Cabe destacar que este relleno es distinto al encontrado en el área que enmarcaban los alineamientos en la Unidad 8.

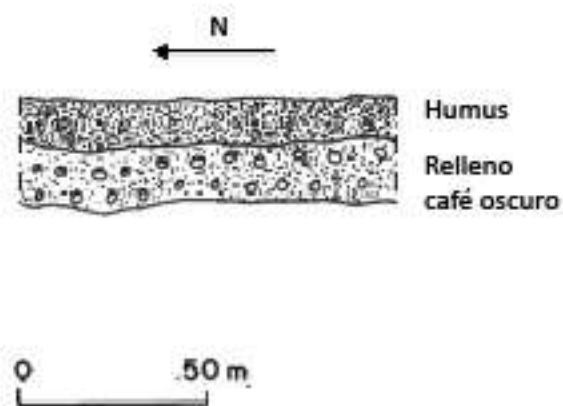


Figura 3.43 Perfil Este de la unidad ACH-99-10
(Dibujo y calco por Gilberto Cruz)

ACH-99-11

Este pozo se trazó inmediatamente al este de la Unidad 8 para comprobar si el alineamiento de piedras encontrado al final del Nivel 2 continuaba. Sus dimensiones fueron de 1 x 1 m, llegando a una profundidad máxima 1.89 m. El Nivel 1 consistió en la capa de humus de la cual se recuperaron 19 tiestos, y una punta de flecha completa elaborada en pedernal. El Nivel 2 correspondió a un relleno café oscuro semi-compacto y con piedras pequeñas. En la parte final del relleno se encontró el mismo alineamiento de piedras con un posible empedrado que aparece en la Unidad 8. Se recuperaron 14 tiestos de este nivel. Se hizo un registro de 0.5 x 1 m en la parte sur de la unidad. El Nivel 3 consistió en un relleno amarillento y suelto con bastante piedra pequeña. Al final se encontraron cinco piedras más del alineamiento registrado en la Unidad 8, recuperándose 32 tiestos. En este nivel se finalizó la excavación de esta unidad.

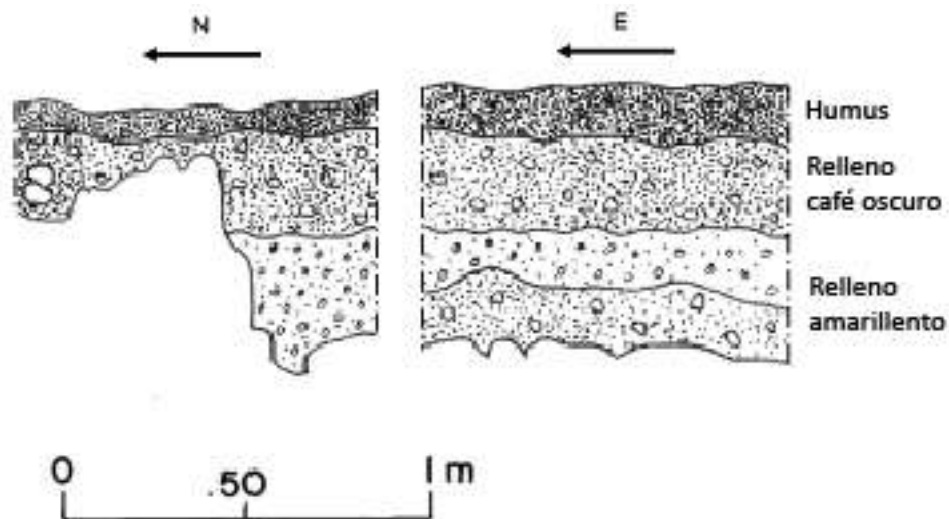


Figura 3.44 Perfiles Este y Sur de la unidad ACH-99-11
(Dibujo y calco por Gilberto Cruz)

Interpretación de las unidades

La unidad 99-7 contiene dos pisos, posiblemente tres, pero no hay mucha evidencia de esto último. Los pisos se encuentran en mal estado de conservación ya que de ambos solo se encontraron pequeños fragmentos de estuco. Cabe destacar que se encontró un fragmento de estuco quemado, que probablemente corresponde a restos del piso ubicado al final del Nivel 2, lo

que pudiera señalar alguna actividad que conllevó la quema de algunos objetos, aunque no queda más evidencia material para comprobarlo. Cada piso estaba sostenido por un relleno compuesto principalmente de tierra mezclada con piedras, en unos más abundante que en otros. En el caso del Nivel 4, el piso estuvo apoyado por un encajonado de piedra. La roca madre en El Achiotal pareciera ser muy irregular, ya que ésta se le ha encontrado a diferentes profundidades en diversas unidades a través de la plaza. La Unidad ACH-99-1, excavada en 2009, es la más cercana a esta excavación y la roca madre se encontró a una profundidad de 0.88 m, mientras que en la Unidad ACH 99-7 estaba a 1.82 m. Un análisis preliminar de la cerámica encontrada permite establecer que el piso más temprano fue construido durante el Preclásico Tardío o Preclásico Terminal. El siguiente o segundo piso posiblemente fue construido en el Preclásico Terminal o inicios del Clásico Temprano y el último relleno muestra abundante material del Clásico Temprano. La cantidad de material cerámico del Nivel 2 llamó mucho la atención ya que al finalizar la excavación de dicho nivel se habían recuperado 558 tiestos.

Las unidades ACH 99-8, 99-9, 99-10 y 99-11 deben analizarse en conjunto, ya que fueron realizadas para ver si existía alguna diferencia entre las plazas Sur y Norte. Cabe destacar que en ninguna de las unidades se encontró evidencia de algún piso, aunque posiblemente si existieron debido a la presencia de varios rellenos. El relleno de piedras encontrado al final del Nivel 2 estuvo presente en todas las unidades, lo interesante es que este relleno parecía formar una estructura ya que una parte de la Unidad ACH-99-8 poseía una nivelación de tierra en lugar del relleno de piedras. Los registros realizados permitieron comprobar que simplemente se trataba de un relleno de piedras. Por otro lado, el alineamiento de roca caliza trabajada al final del Nivel 3 es muy interesante ya que hay una parte que corre en dirección este-oeste. Sin embargo, entre las unidades 99-8, 99-9 y 99-10 se encontró otro alineamiento semicircular que pareciera encerrar algo dentro de la unidad 99-8 y la presencia de un relleno rojizo (Nivel 4) lo comprueba, ya que en los registros realizados en las otras unidades este relleno no estaba presente. Futuras excavaciones permitirán comprobar si realmente hay algo dentro de ese relleno o que quizás solo se trate de un encajonado de plaza. En cuanto al fechamiento de las unidades, estas muestran el mismo patrón que las unidades anteriores; los últimos niveles revelan material del Preclásico Tardío y Terminal, mientras que los más tardíos revelan material del Clásico Temprano. Cabe destacar el hallazgo de una punta de flecha en el Nivel 1 de la Unidad ACH-99-11.

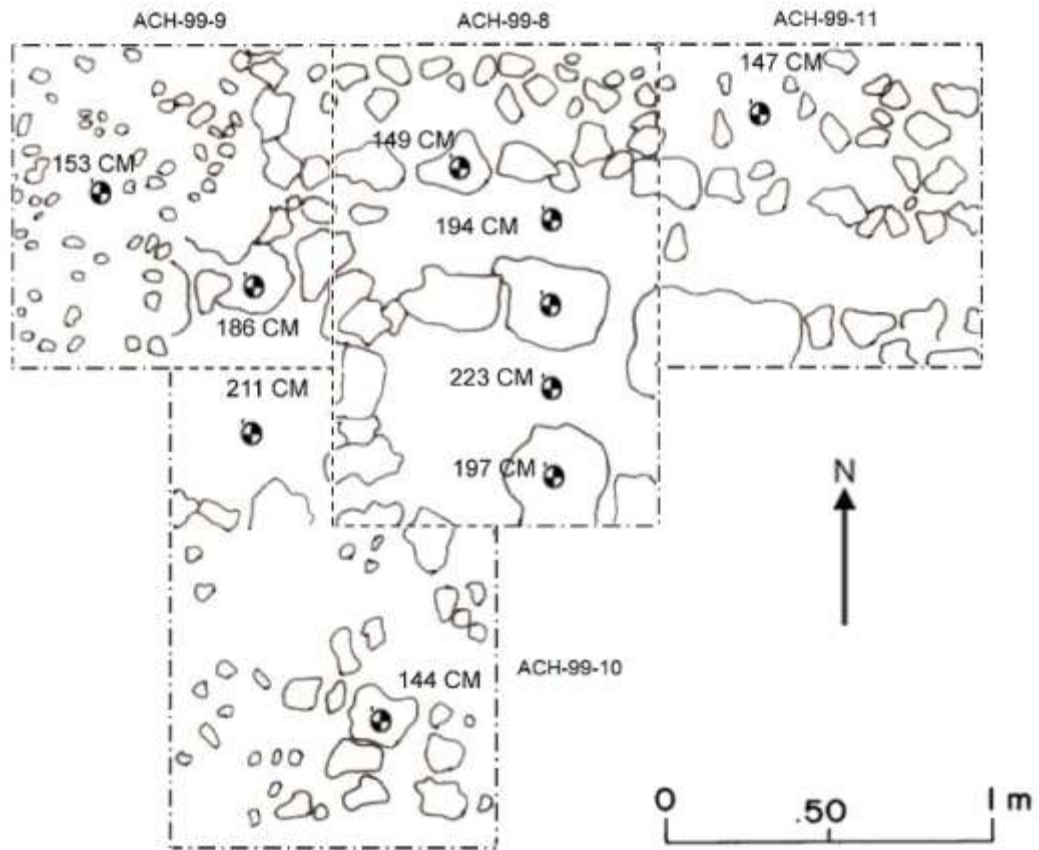


Figura 3.45 Planta de las unidades ACH-99-8, 9 10 y 11 (Dibujo y calco por Gilberto Cruz)



Figura 3.46 Unidades ACH-99-8, 9 10 y 11 (Fotografía por Gilberto Cruz)

CAPÍTULO IV

REGISTRO DE MONUMENTOS EN EL SITIO LA CORONA

Bruce Love

Las inscripciones de La Corona son esenciales no solamente para la interpretación del sitio en particular, sino para la historia cultural de las Tierras Bajas Mayas en general. En años recientes se ha hecho un progreso importante al organizar el material glífico e iconográfico de La Corona, el cual se encontraba disperso y ahora se ha creado un inventario sistemático de los monumentos conocidos (Canuto 2008, Canuto y Barrientos 2009). El propósito de este proyecto de registro de monumentos llevado a cabo en 2010 fue el fotografiar y dibujar todos los monumentos completos y fragmentos que se encuentran actualmente en el sitio y en el laboratorio ubicado en la ciudad de Guatemala.

Metodología

Todos los monumentos y fragmentos conocidos fueron fotografiados y dibujados en campo. Aunque muchos de éstos ya habían sido previamente registrados por otros investigadores, fueron nuevamente trabajados para crear un inventario más consistente. Tanto en el laboratorio como en el campo, el equipo usado fue una cámara digital *Fuji FinePix Pro 3* con un *Flash Quantum*. Todas las fotos fueron tomadas en formato *Raw* y almacenadas en una computadora portátil *MacBook Pro* usando el programa *Adobe Lightroom 3*. Para la realización de los dibujos, las imágenes fueron impresas en blanco y negro con una impresora láser y se colocaron en una mesa iluminada portátil. Se colocó papel *vellum* transparente sobre las fotos impresas y las líneas se trazaron mientras se visualizaban varias imágenes con diferentes ángulos de iluminación.

Trabajo en el sitio La Corona

El trabajo en el campo se llevó a cabo entre el 3 y 24 de abril de 2010, y los dibujos se realizaron entre el 12 y 30 del mismo mes. Los altares, estelas y otros monumentos fueron inspeccionados y colocados de la mejor forma para ser fotografiados tanto de día como de noche. Las fotografías nocturnas se tomaron entre las 5:30 y 9:30 PM, usando una estrategia básica de tomar una foto de “retrato” con luz pareja sobre la superficie del monumento y con la cámara en distintos ángulos y centrada hacia la cara del monumento. Después de tomar una foto completa satisfactoria, se tomaron fotos más cercanas para registrar detalles. Cada

bloque glífico individual fue fotografiado con diversos ángulos de luz usando la cámara y el flash remoto (Figura 4.1). La foto completa se usará para publicaciones y reportes, mientras que los detalles se han usado para ayudar a realizar los dibujos.



Figura 4.1 Fotografía de monumentos en el sitio La Corona (Foto por Joanne Baron)

Trabajo en el laboratorio

El trabajo realizado en el laboratorio ubicado en la ciudad de Guatemala se llevó a cabo entre el 24 al 31 de Marzo de 2010. La mayoría de las piezas trabajadas fueron pequeñas y portátiles, por lo que pudieron fotografiarse con la ayuda de un recipiente con arena. El recipiente poco profundo se llenó con arena cernida y se colocó en el piso del laboratorio. Cada fragmento fue colocado sobre la arena, y se niveló con la ayuda de un nivel de pita. El trípode se colocó directamente arriba de la caja con arena y la cámara se enfocó hacia abajo, de forma perpendicular al frente de cada pieza (Figura 4.2). Las fotografías se tomaron con luz tenue y con un flash remoto lateral conectado con un cable sincronizador. Cada fragmento se fotografió con luz en diferentes ángulos para resaltar detalles y así ayudar con el dibujo. El fragmento de altar de La Cariba fue demasiado grande para colocarse en el recipiente con arena, pero se fotografió de la misma forma con la ayuda de una caja más grande.



Figura 4.2 Fotografía de monumentos en el laboratorio del Proyecto La Corona

Resultados

A continuación se presenta un listado de los monumentos fotografiados y dibujados en 2010:

Tabla 4.1 Monumentos dibujados en el sitio La Corona

| Monumento | Fragmento | Lado |
|-----------|-----------|-----------------|
| Estela 1 | 1 | Frente |
| Estela 1 | 2 | Frente |
| Estela 1 | 3 | Frente |
| Estela 1 | 1 | Lado izquierdo |
| Estela 1 | 2 | Lateral |
| Estela 2 | Completo | Frente |
| Estela 2 | Completo | Todos los lados |
| Altar 1 | 1 | Parte superior |
| Altar 1 | 2 | Parte superior |
| Altar 1 | 2 | Lateral a |
| Altar 1 | 2 | Lateral b |
| Altar 1 | 3 | Lateral |
| Altar 1 | 1 | Lateral |
| Altar 2 | 1 | Parte superior |
| Altar 2 | 2 | Parte superior |
| Altar 2 | 1 | Lateral |
| Altar 2 | 2 | Lateral |

| | | |
|------------------|-----------------|----------------|
| Altar 3 | 1 | Parte superior |
| Altar 3 | 2 | Parte superior |
| Altar 3 | 1 | Lateral |
| Altar 3 | 2 | Lateral |
| Altar 4 | 1 | Parte superior |
| Altar 4 | 2 | Parte superior |
| Altar 4 | 1 | Lateral |
| Altar 4 | Fragmento nuevo | |
| Altar 4 | 2 | Lateral |
| Panel 7 | | Frente |
| Cilindro Glífico | 1 | |
| Cilindro Glífico | 2 | |
| Cilindro Glífico | 3 | |

Tabla 4.2 Monumentos dibujados del sitio La Cariba

| Fragmento | Altura en cm | Ancho en cm |
|----------------------------|---------------------|--------------------|
| Altar, fragmento principal | - | - |
| Fragmento 1 | 17 | 12 |
| Fragmento 2 | 37 | 15 |
| Fragmento 3 | 15 | 24 |
| Fragmento Monumento 1 | - | - |
| Fragmento Monumento 2 | 2- | - |

Tabla 4.3 Bloques dibujados de la Escalinata Glífica 1 (CR33A)

| Pieza | Unidad | Escalón | Glifo | Altura en cm | Ancho en cm |
|-------|--------|---------|----------------|--------------|-------------|
| 1 | 1 | 3 | 1 | 12 | 21 |
| 2 | 7 | 1 | 2 | 18 | 23 |
| 3 | 7 | 1 | 3 | 14 | 17 |
| 4 | 7 | 1 | 4 | 14 | 13 |
| 5 | 7 | 1 | 5 | 10 | 20 |
| 6 | 7 | 2 | 2 | 12 | 16 |
| 7 | 7 | 2 | 3 | 20 | 19 |
| 8 | 7 | 2 | 4 | 20 | 20 |
| 9 | 7 | 2 | 5 | 19 | 22 |
| 10 | 7 | 2 | 6 | 21 | 21 |
| 11 | 8 | 1 | 6 | 19 | 24 |
| 12 | 8 | 1 | 7 | 23 | 27 |
| 13 | 8 | 1 | 8 | 17 | 23 |
| 14 | 8 | 2 | 7 | 17 | 20 |
| 15 | 9 | 1 | 9 | 20 | 21 |
| 16 | 9 | 1 | 10 | 21 | 21 |
| 17 | 9 | 1 | 11 | 25 | 21 |
| 18 | 9 | 1 | 12 | 23 | 16 |
| 19 | 10 | 1 | 13 | 19 | 15 |
| 20 | 10 | 1 | 14 | 13 | 20 |
| 21 | 10 | 1 | 15 | 10 | 18 |
| 22 | 10 | 1 | 16 | 16 | 20 |
| 23 | 11 | 1 | 1 | 20 | 21 |
| 24 | 11 | 2 | 1 | 17 | 19 |
| 25 | 12 | LD | 1 | 18 | 22 |
| 26 | 12 | LD | 2 | 15 | 21 |
| 27 | 12 | LD | 3 (Escalón 3?) | 17 | 22 |
| 28 | 12 | LD | 4 (Escalón 4?) | 15 | 22 |
| 29 | 12 | LD | 23 | 17 | 19 |
| 30 | 12 | LD | 24 | 17 | 23 |
| 31 | 12 | LD | 25 | 20 | 20 |
| 32 | 13 | LD | 5 | 15 | 15 |
| 33 | 13 | LD | 6 | 13 | 17 |

| | | | | | |
|----|----|----|----|----|----|
| 34 | 13 | LD | 7 | 17 | 20 |
| 35 | 13 | LD | 8 | 16 | 28 |
| 36 | 14 | LD | 9 | 26 | 22 |
| 37 | 14 | LD | 10 | 25 | 18 |
| 38 | - | - | - | - | - |
| 39 | 14 | LD | 12 | 20 | 19 |
| 40 | 15 | LD | 13 | 8 | 16 |
| 41 | 17 | LD | 14 | 18 | 20 |
| 42 | 17 | LD | 15 | 18 | 22 |
| 43 | 17 | LD | 16 | 6 | 21 |
| 44 | 18 | LD | 17 | 25 | 15 |
| 45 | 18 | LD | 18 | 10 | 19 |
| 46 | 18 | LD | 19 | 6 | 8 |
| 47 | 18 | LD | 20 | - | - |
| 48 | 19 | LD | 21 | 16 | 30 |
| 49 | 19 | LD | 22 | 19 | 13 |

Tabla 4.4 Bloques dibujados de la Escalinata Glífica 1 (CR33A), Temporada 2008

| Pieza | Altura en cm | Ancho en cm |
|---------|--------------|-------------|
| 2008-1 | 25 | 23 |
| 2008-2 | 23 | 31 |
| 2008-3 | 38 | 30 |
| 2008-4 | 30 | 24 |
| 2008-5 | 23 | 22 |
| 2008-6 | 26 | 19 |
| 2008-7 | 9 | 16 |
| 2008-8 | 16 | 14 |
| 2008-9 | 18 | 21 |
| 2008-10 | 23 | 20 |
| 2008-11 | 26 | 16 |
| 2008-12 | 29 | 22 |
| 2008-13 | 22 | 15 |
| 2008-14 | 20 | 14 |

Muchos de los monumentos anteriormente listados ya han sido dibujados previamente por David Stuart. Sus dibujos, presentados en un manuscrito para un taller de la Universidad de Yale (Canuto 2008) se usaron en muchos casos como ayuda para realizar los dibujos actuales y por lo tanto se citan en las notas de campo. Otros monumentos se dibujaron por primera vez.

El descubrimiento más importante realizado durante este trabajo fue hecho por el asistente Felix Reynosa, originario de Dolores, quien descubrió un fragmento del Altar 4 mientras se limpiaba su base. Este fragmento contiene parte de la inscripción lateral y encajó perfectamente en un espacio faltante del altar. Como parte de la inscripción del fragmento se pudo identificar el nombre de una mujer acompañada del glifo emblema de Tikal (posición N4), lo que constituye información valiosa para la interpretación de la parte final de la ocupación de La Corona (ver Capítulo 14 de este informe).

El registro de monumentos realizado en 2010 dio como resultado un total de 99 nuevos dibujos y un número igual de nuevas fotografías de los monumentos de La Corona y sus alrededores. Por lo tanto, el registro fotográfico de estas piezas y sus dibujos preliminares ha permitido actualizar el inventario de monumentos del sitio, incluyendo lo encontrado durante la temporada de 2010.

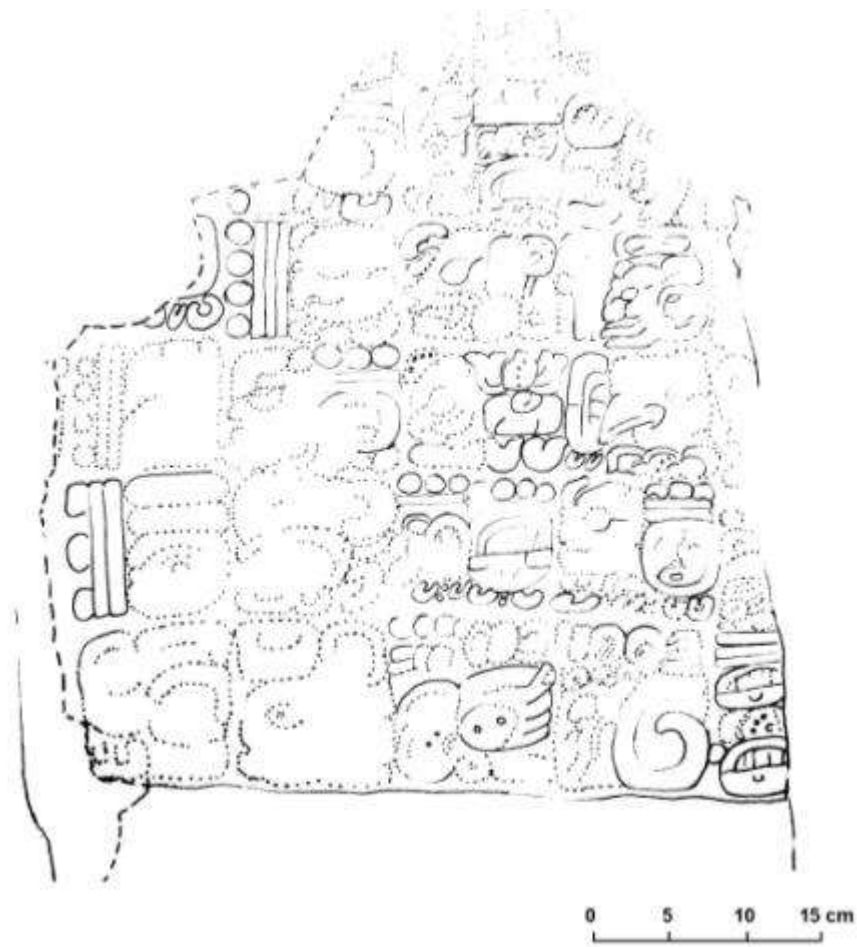


Figura 4.3 Dibujo preliminar del Fragmento 1 de la Estela 1 de La Corona (frente)
(Dibujo por Bruce Love)

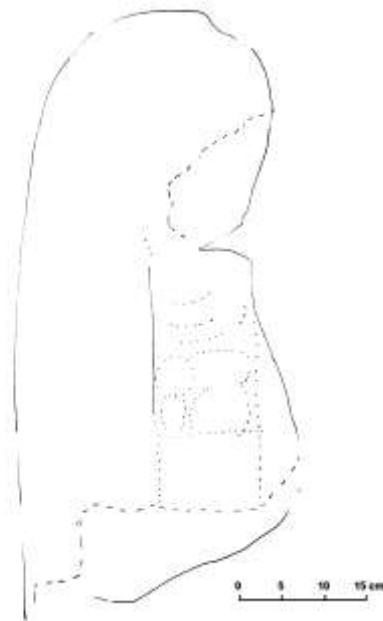


Figura 4.4 Dibujo preliminar del Fragmento 1 de la Estela 1 de La Corona, lado izquierdo (Dibujo por Bruce Love)

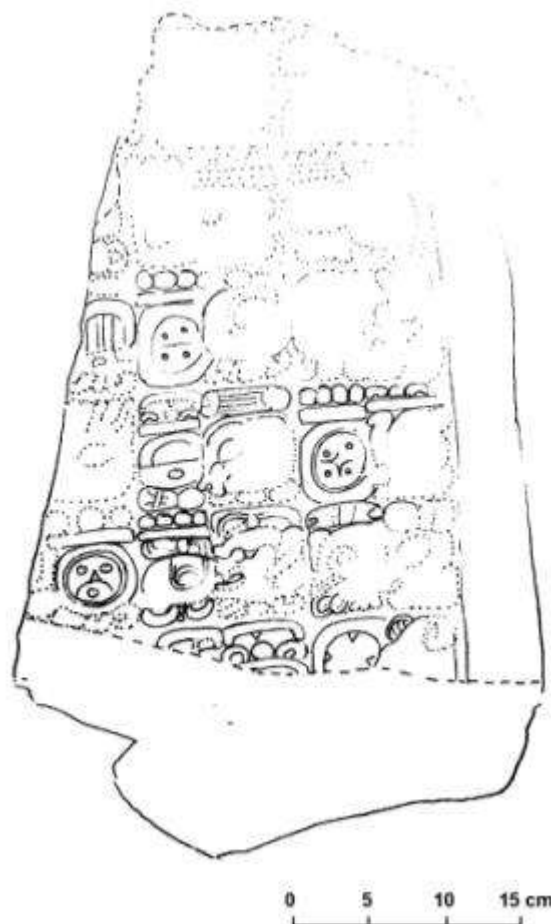


Figura 4.5 Dibujo preliminar del Fragmento 2 de la Estela 1 de La Corona (frente), (Dibujo por Bruce Love basado en dibujo de David Stuart)

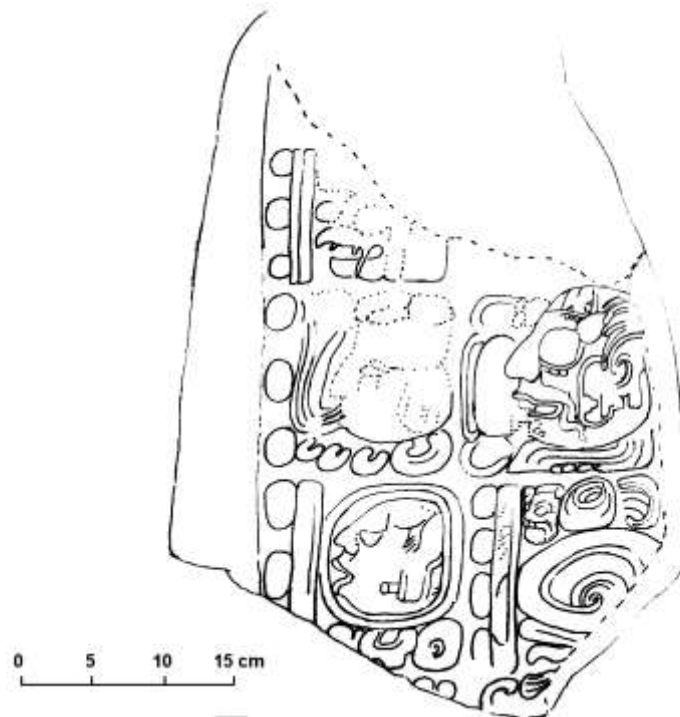


Figura 4.6 Dibujo preliminar de la parte posterior, Fragmento 2 de la Estela 1 de La Corona
(Dibujo por Bruce Love basado en dibujo de David Stuart)

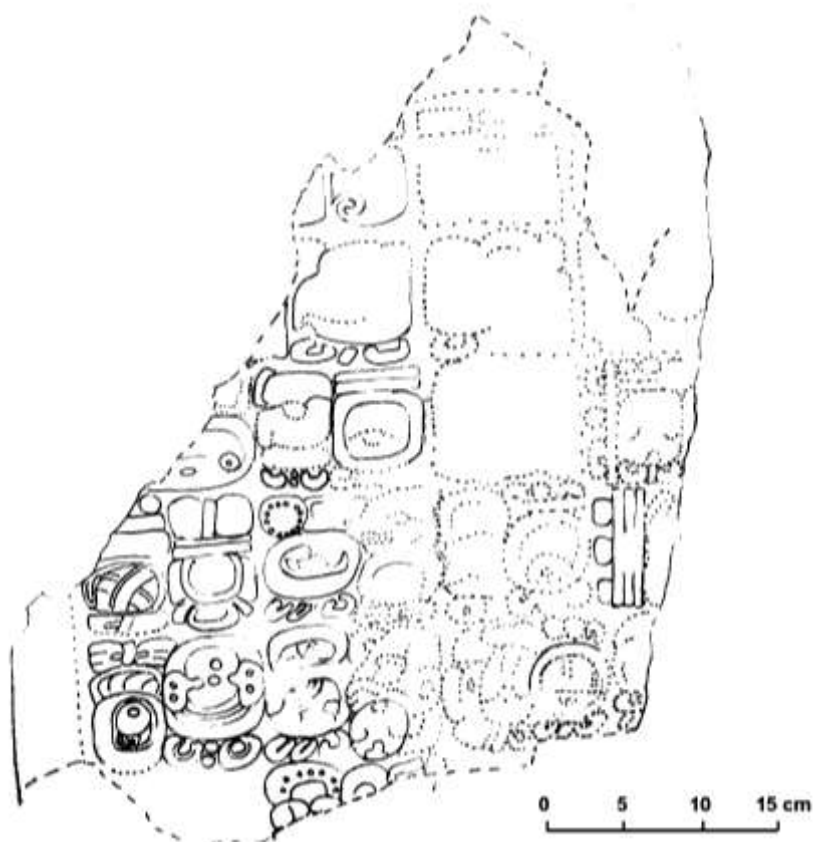


Figura 4.7 Dibujo preliminar del frente del Fragmento 3 de la Estela 1 de La Corona
(Dibujo por Bruce Love basado en dibujo de David Stuart)

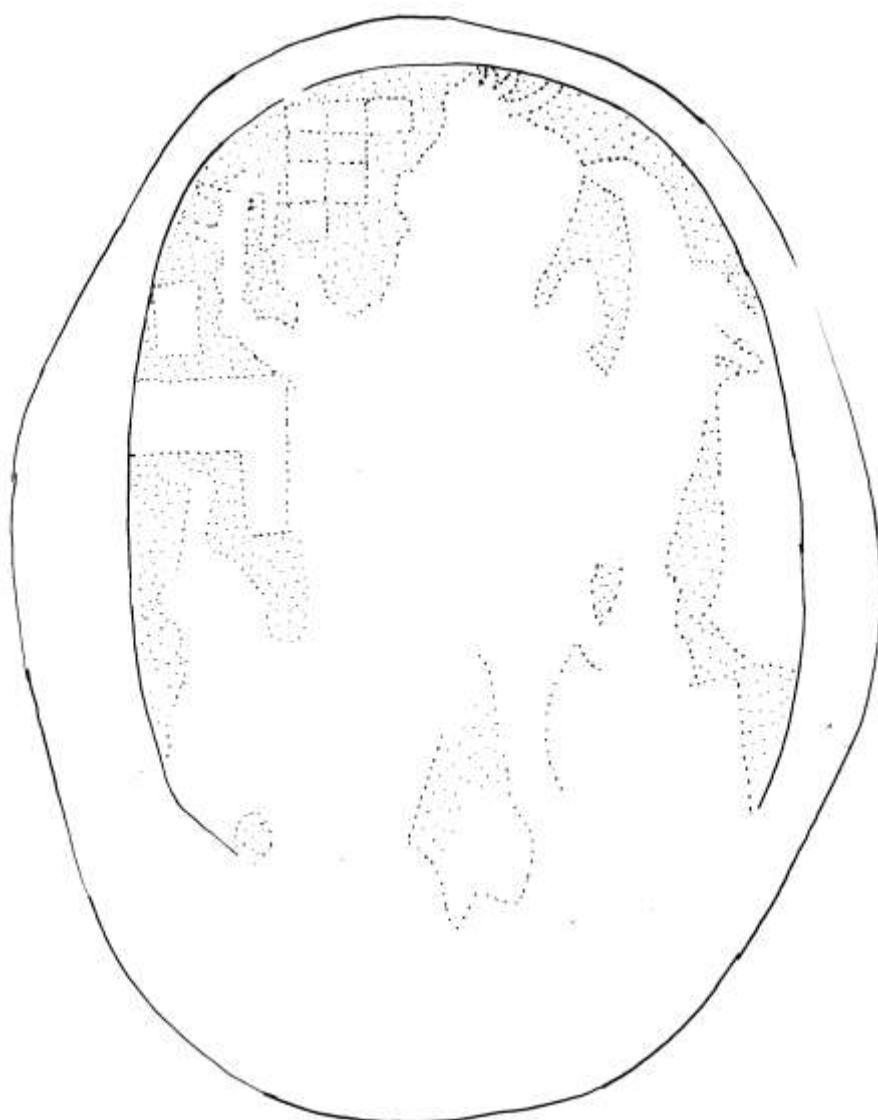


Figura 4.8 Dibujo preliminar de la Estela 2 de La Corona (frente), sin escala
(Dibujo por Bruce Love)

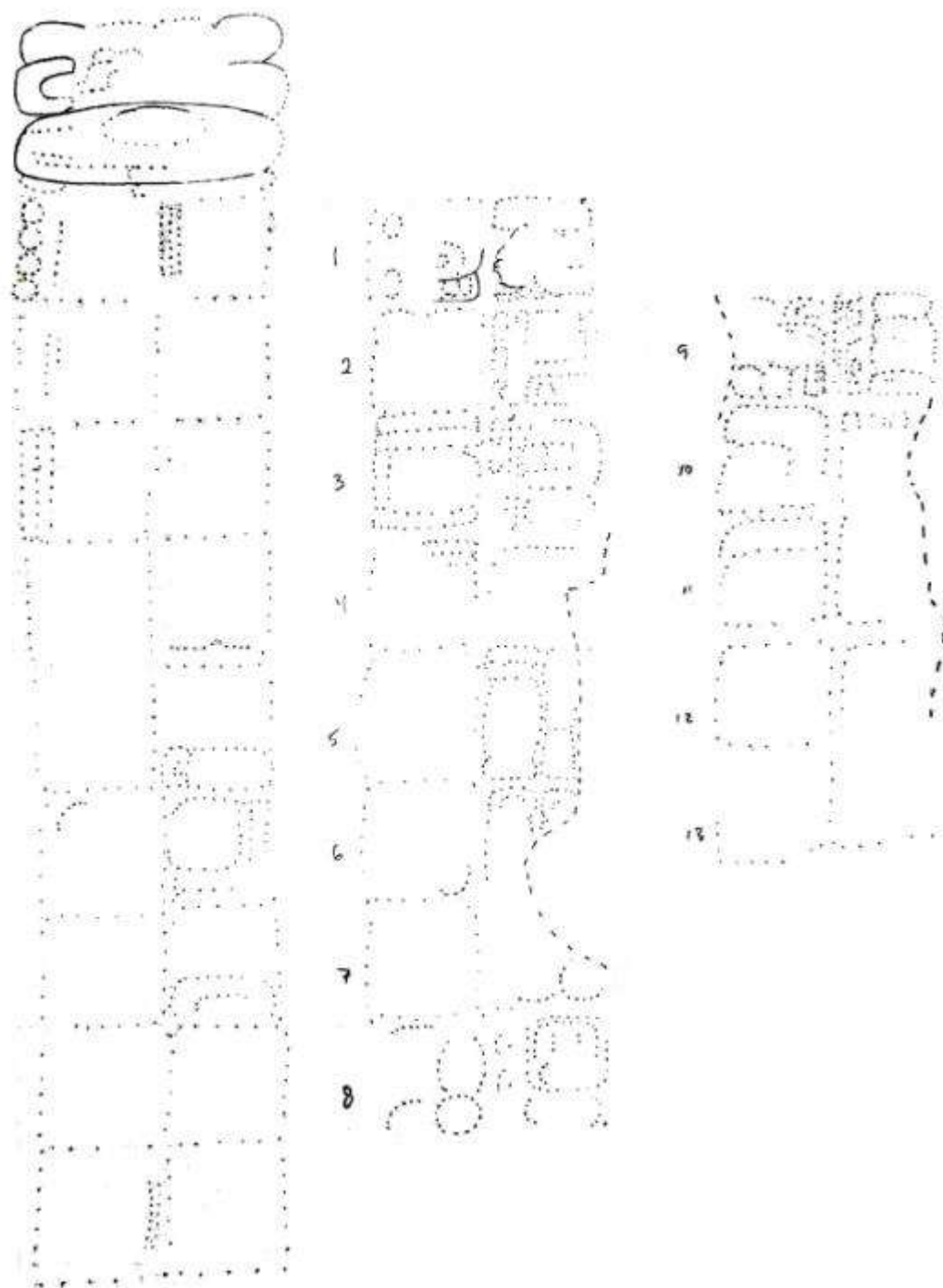


Figura 4.9 Dibujo preliminar de la Estela 2 de La Corona (laterales), sin escala
(Dibujo por Bruce Love)

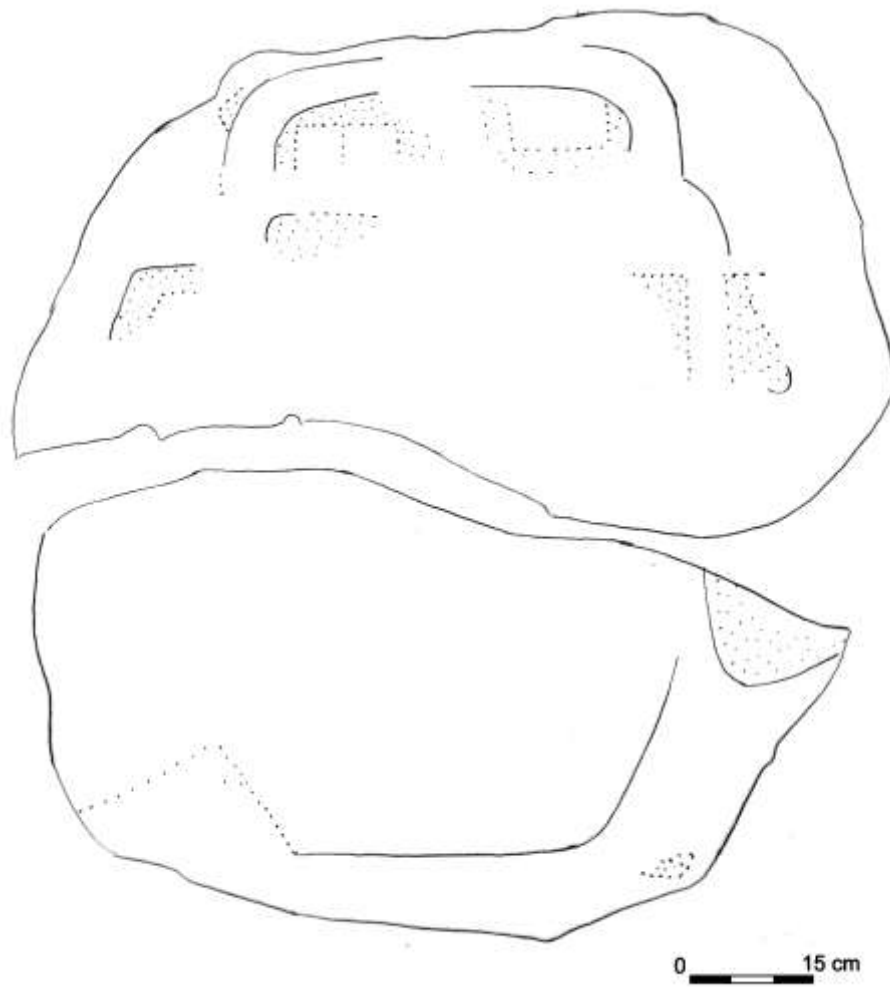


Figura 4.10 Dibujo preliminar del Altar 1 de La Corona (frente)
(Dibujo por Bruce Love)

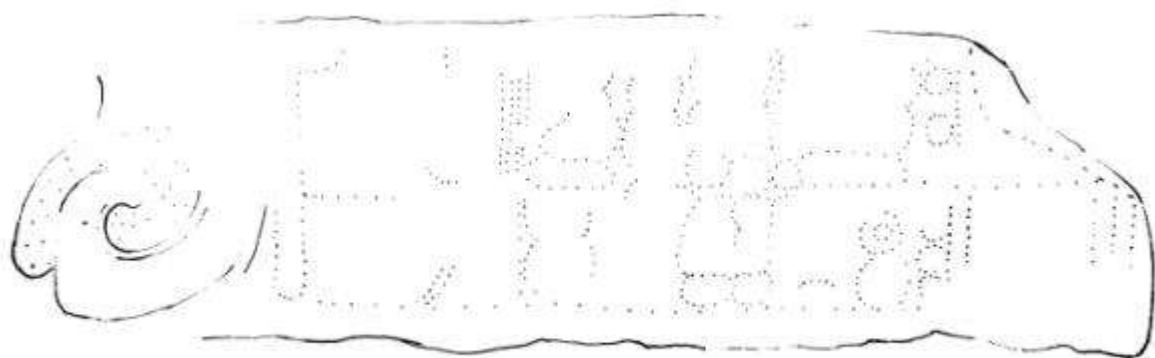


Figura 4.11 Dibujo preliminar del Fragmento 2 del Altar 1 de La Corona (lateral a),
(Dibujo por Bruce Love basado en dibujo de David Stuart, sin escala)

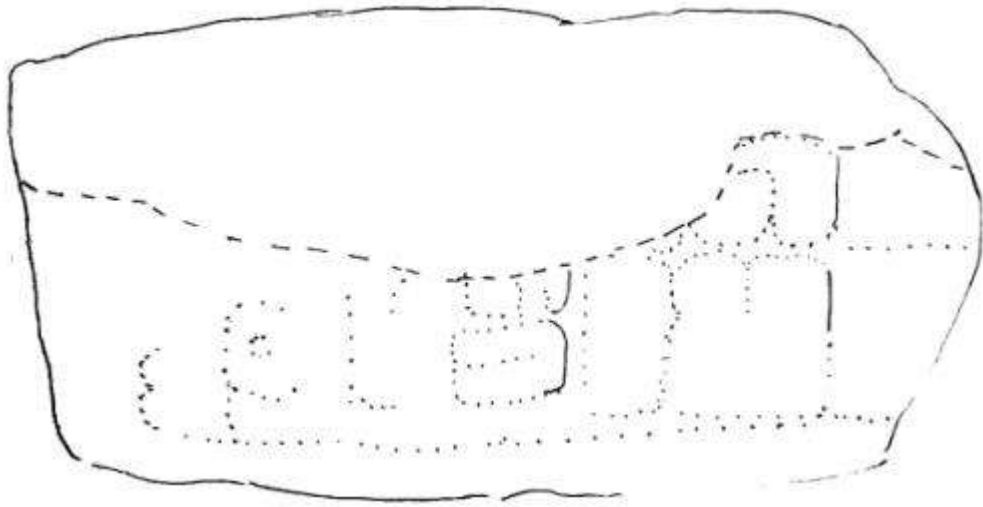


Figura 4.12 Dibujo preliminar del Fragmento 2 del Altar 1 de La Corona (lateral b)
(Dibujo por Bruce Love basado en dibujo de David Stuart, sin escala)

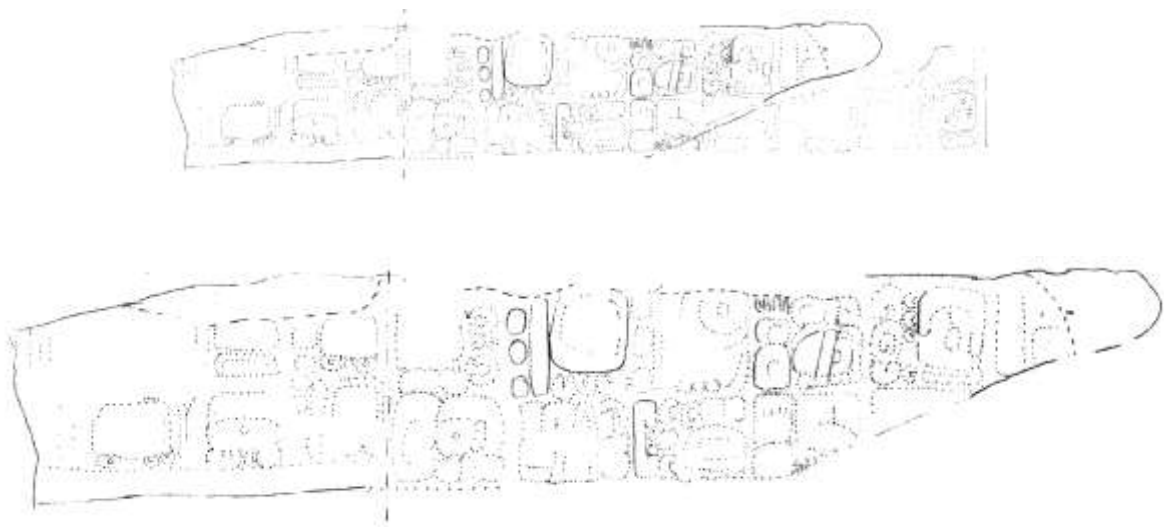


Figura 4.13 Dibujo preliminar de los fragmentos 1 y 3 del Altar 1 de La Corona (lateral)
(Dibujo por Bruce Love, sin escala).

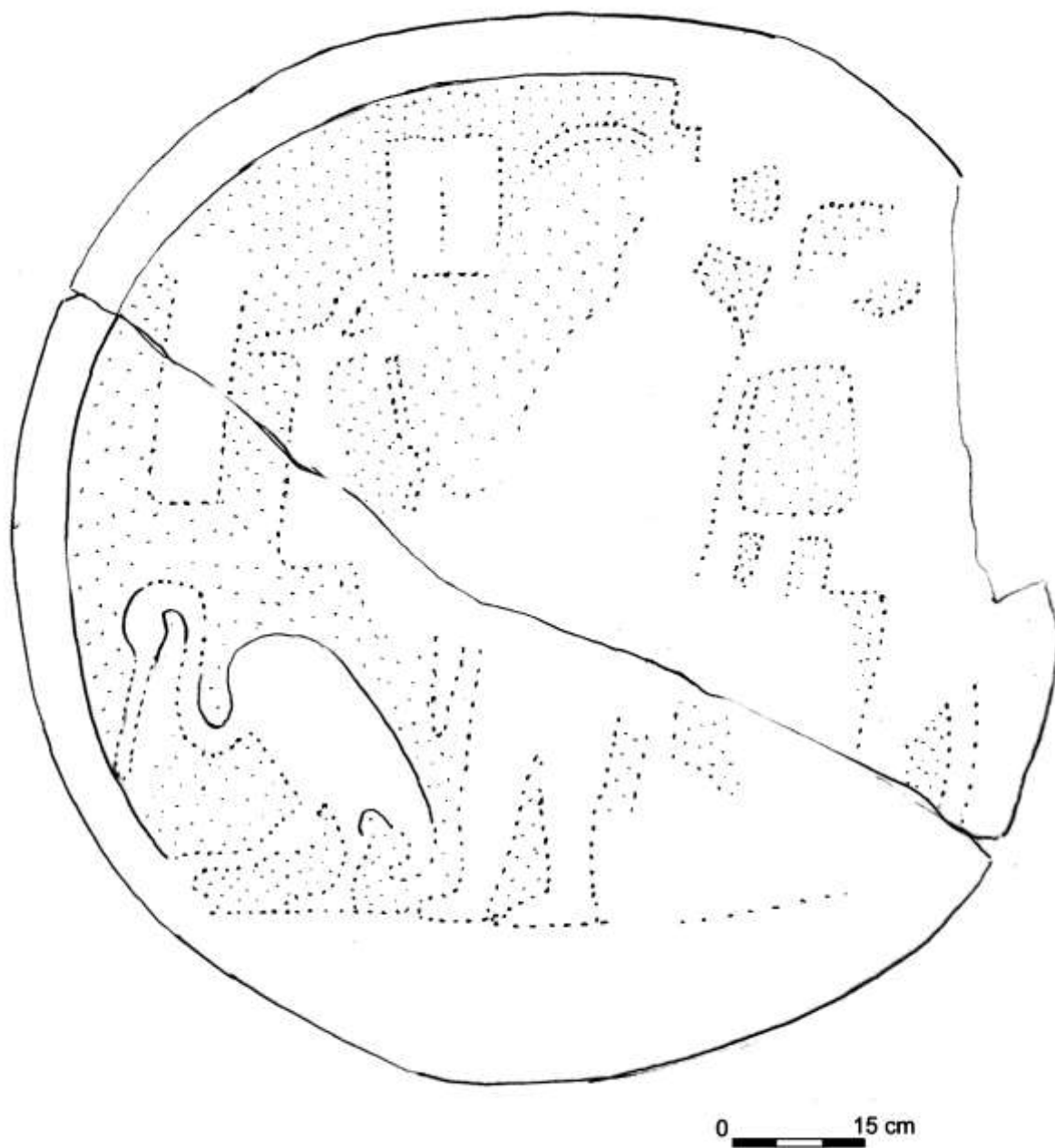


Figura 4.14 Dibujo preliminar del Altar 2 de La Corona (frente)
(Dibujo por Bruce Love)

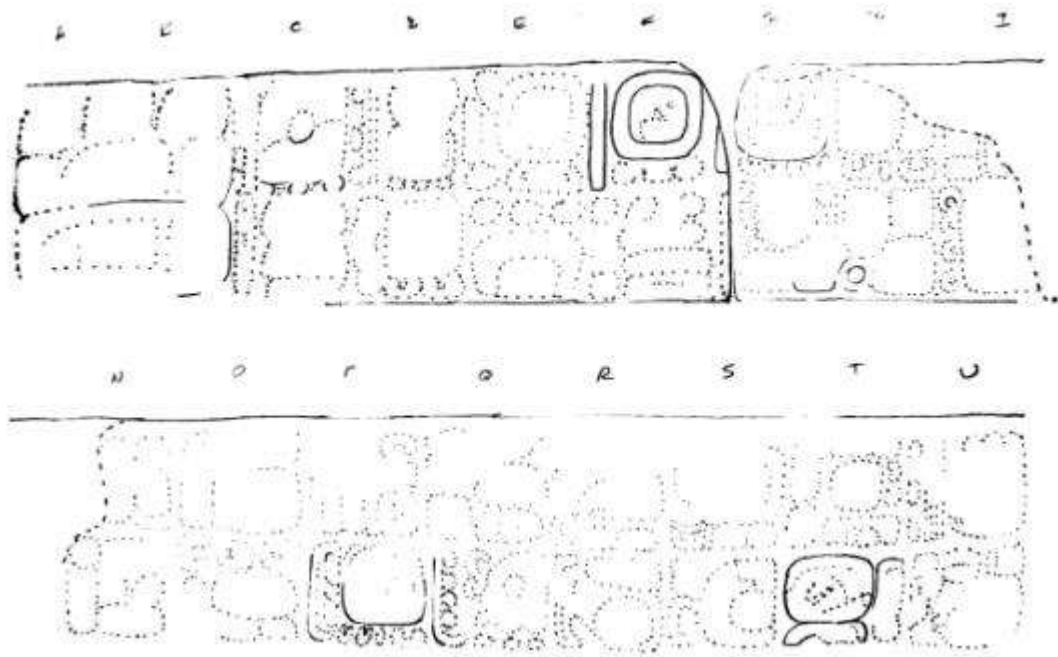


Figura 4.15 Dibujo preliminar del Altar 2 de La Corona (laterales),
(Dibujo por Bruce Love basado en dibujo de David Stuart, sin escala)

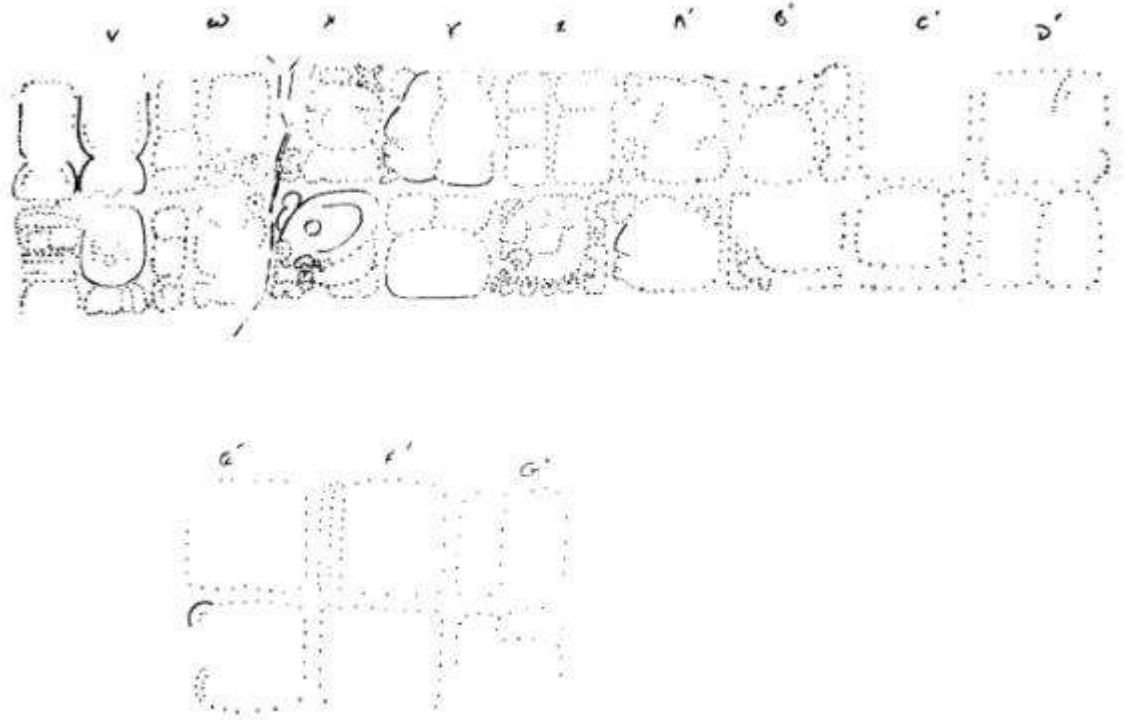


Figura 4.16 Dibujo preliminar del Altar 2 de La Corona (laterales),
(Dibujo por Bruce Love basado en dibujo de David Stuart, sin escala)

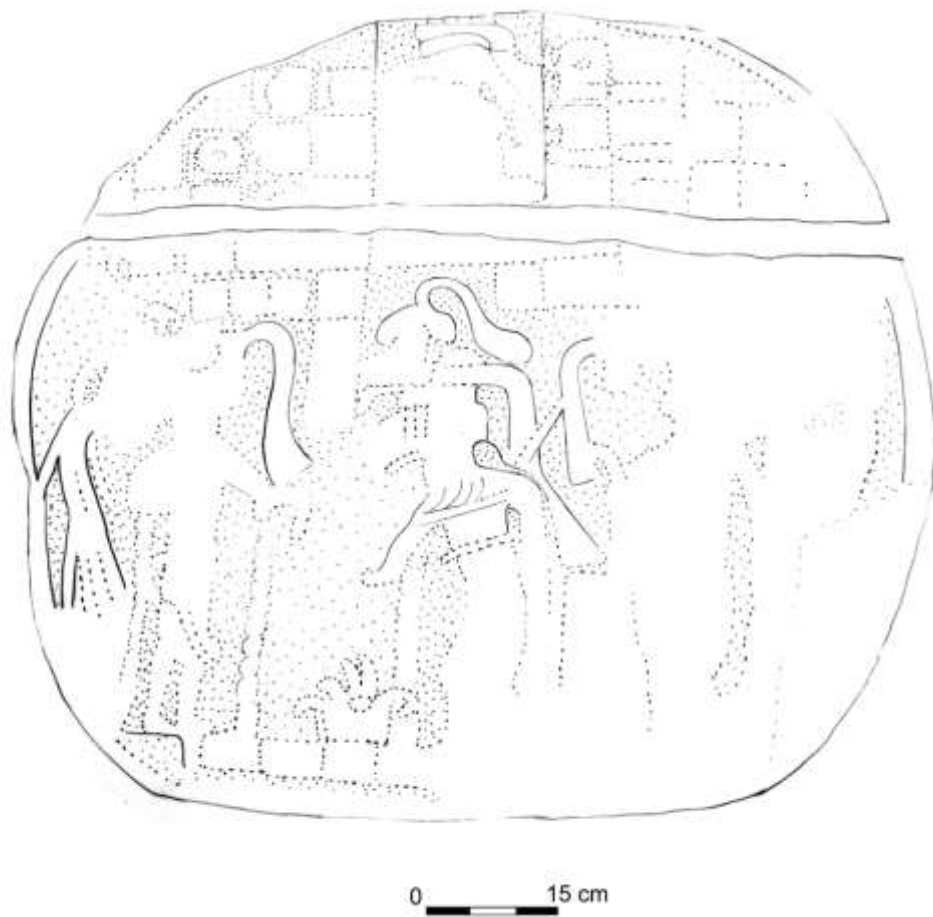


Figura 4.17 Dibujo preliminar del Altar 3 de La Corona (frente)
(Dibujo por Bruce Love)

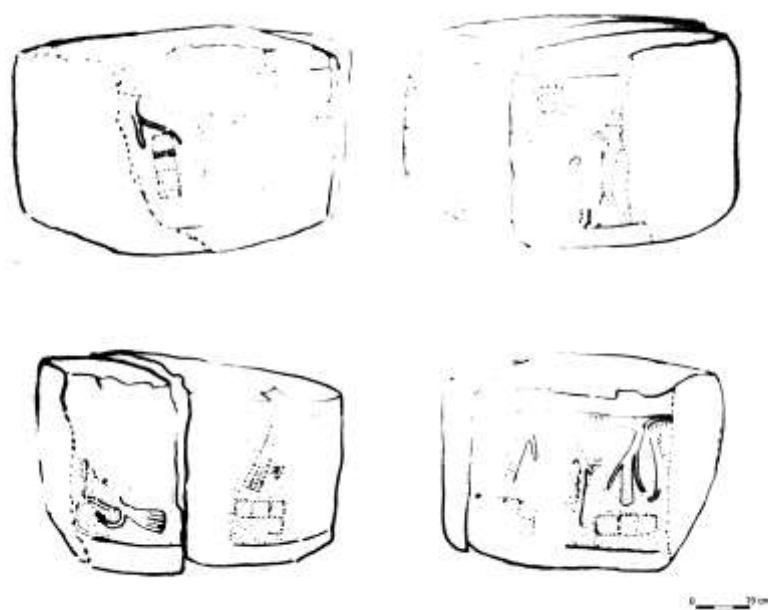


Figura 4.18 Dibujos preliminares del Altar 3 de La Corona (laterales)
(Dibujos por Bruce Love)

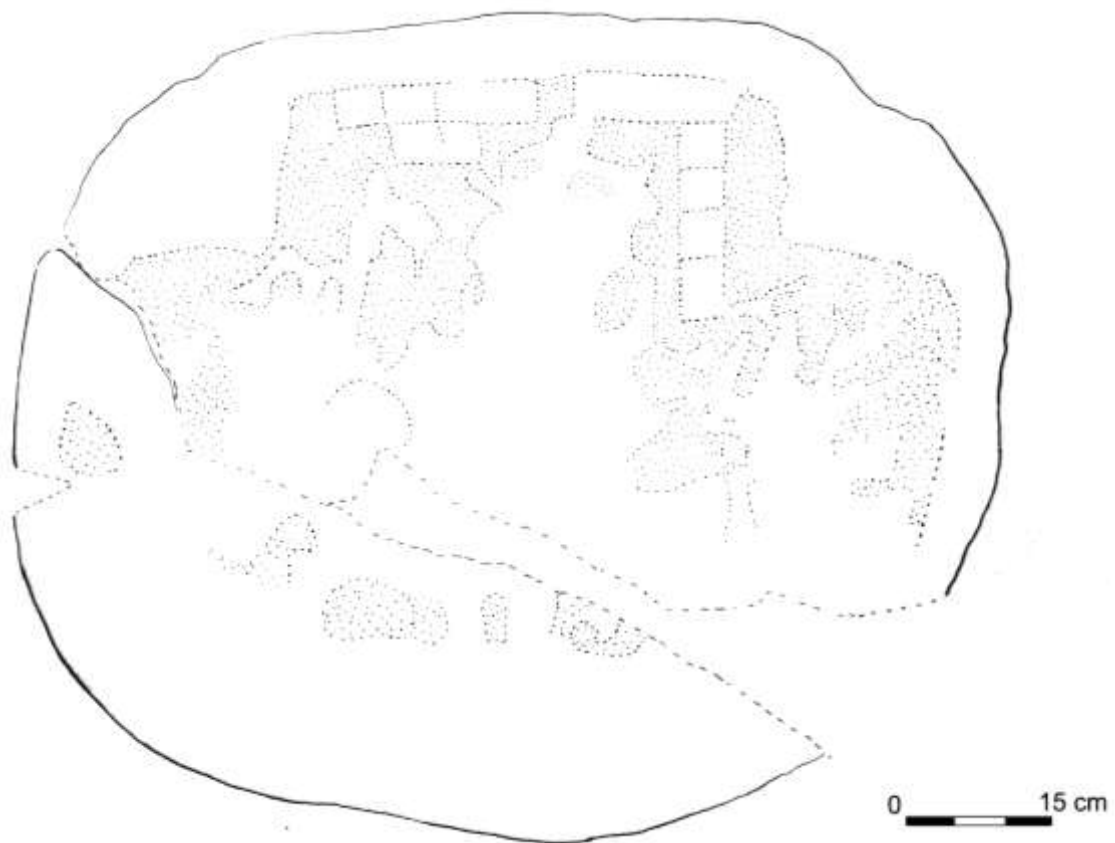


Figura 4.19 Dibujo preliminar del Altar 4 de La Corona (frente) (Dibujo por Bruce Love)

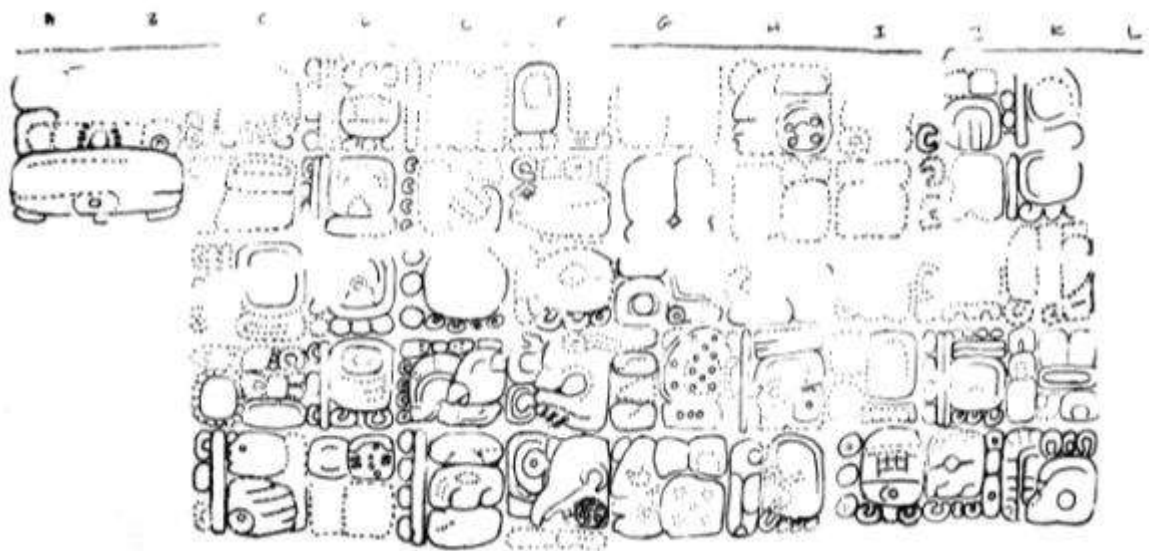


Figura 4.20 Dibujo preliminar del Fragmento 1a del Altar 4 de La Corona (lateral) (Dibujo por Bruce Love, sin escala)

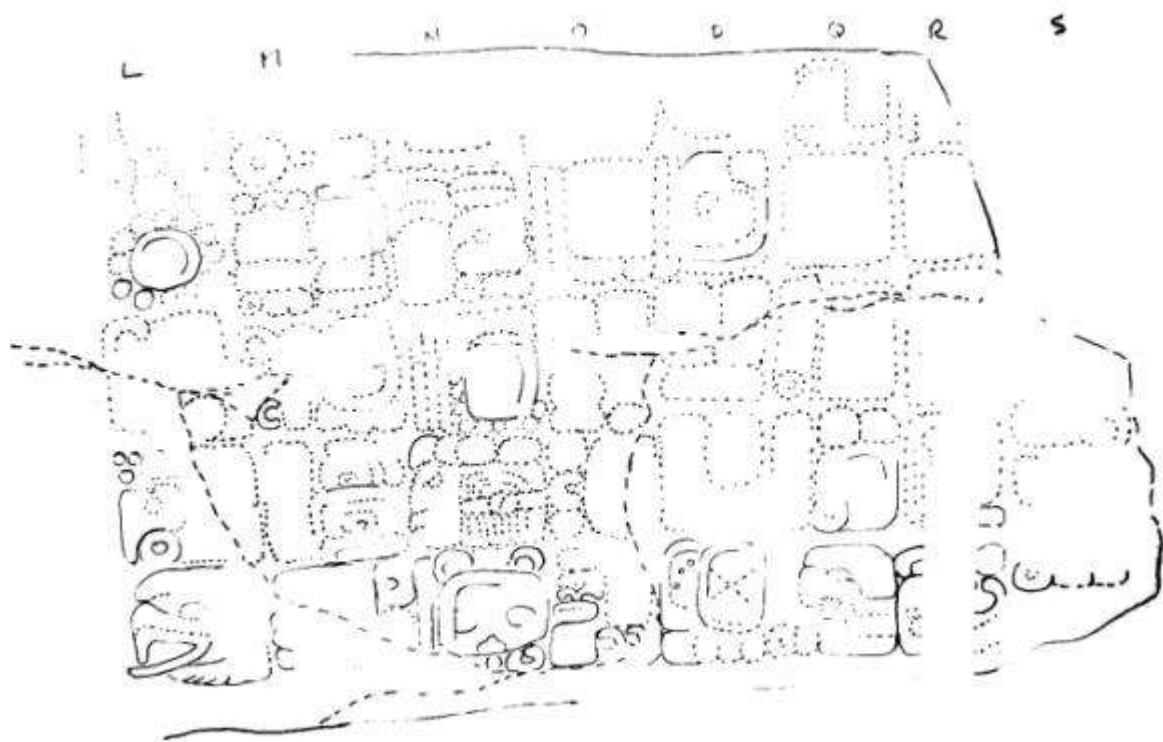


Figura 4.21 Dibujo preliminar del Fragmento 1b del Altar 4 de La Corona (lateral)
(Dibujo por Bruce Love, sin escala)

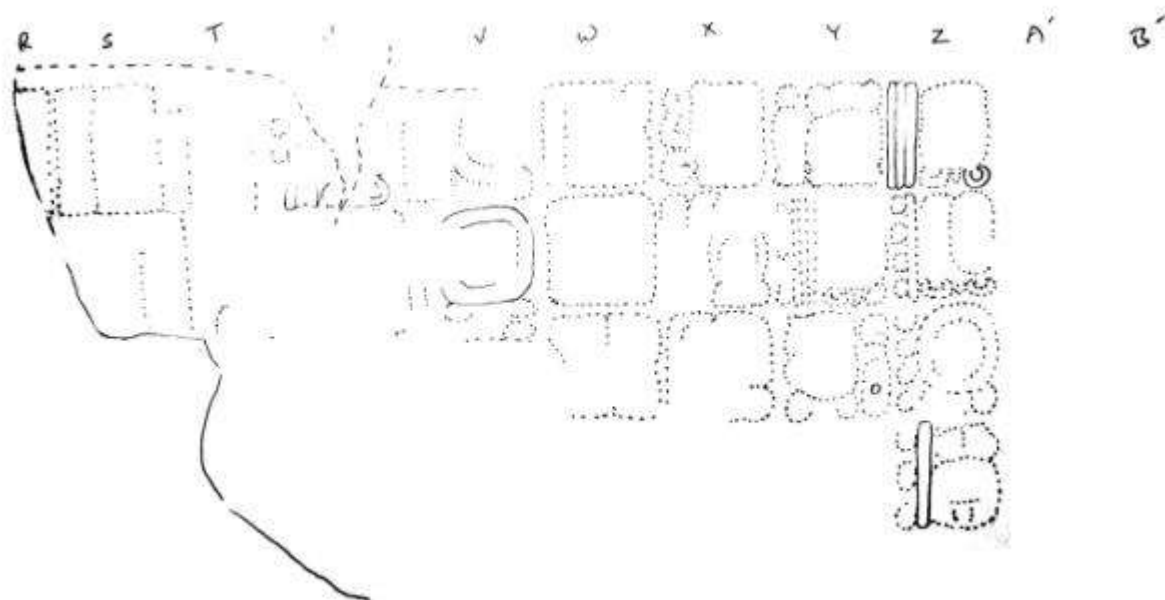


Figura 4.22 Dibujo preliminar del Fragmento 2a del Altar 4 de La Corona (lateral)
(Dibujo por Bruce Love, sin escala)

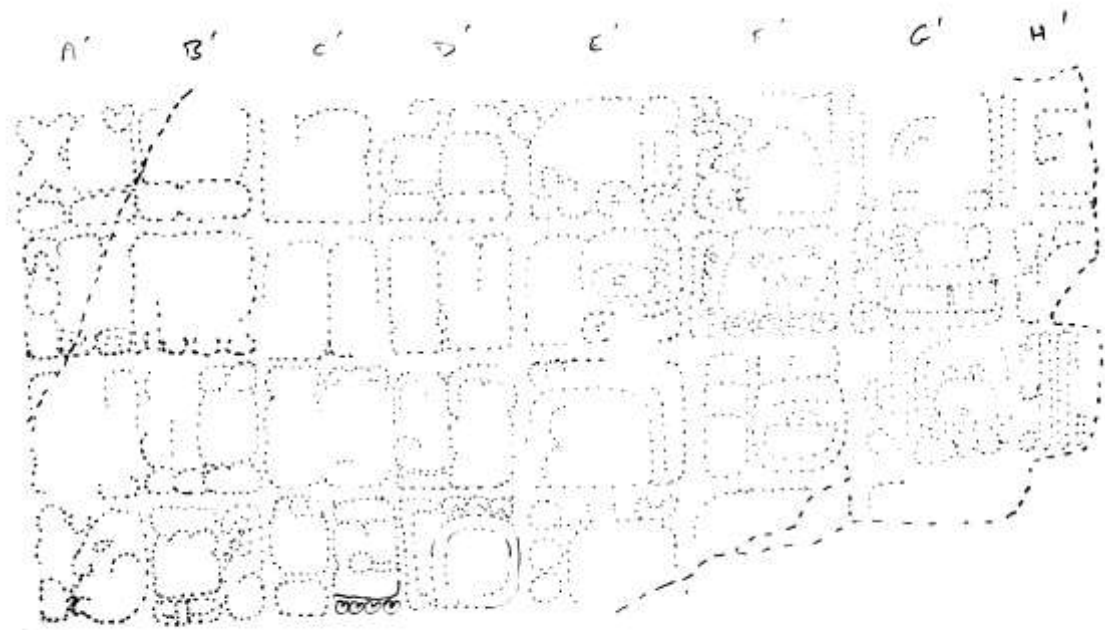


Figura 4.23 Dibujo preliminar del Fragmento 2b del Altar 4 de La Corona (lateral)
(Dibujo por Bruce Love, sin escala)

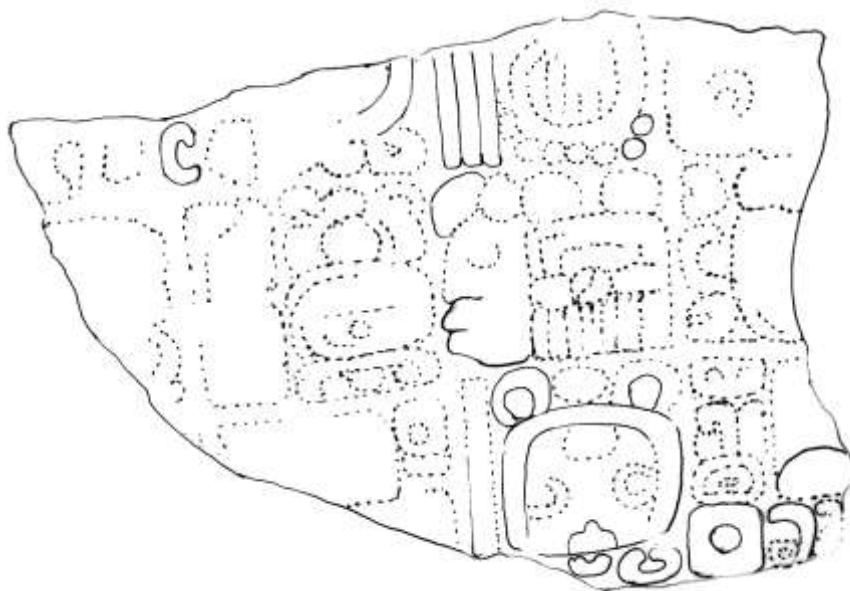


Figura 4.24 Dibujo preliminar del Fragmento 3 del Altar 4 de La Corona (lateral)
(Dibujo por Bruce Love, sin escala)

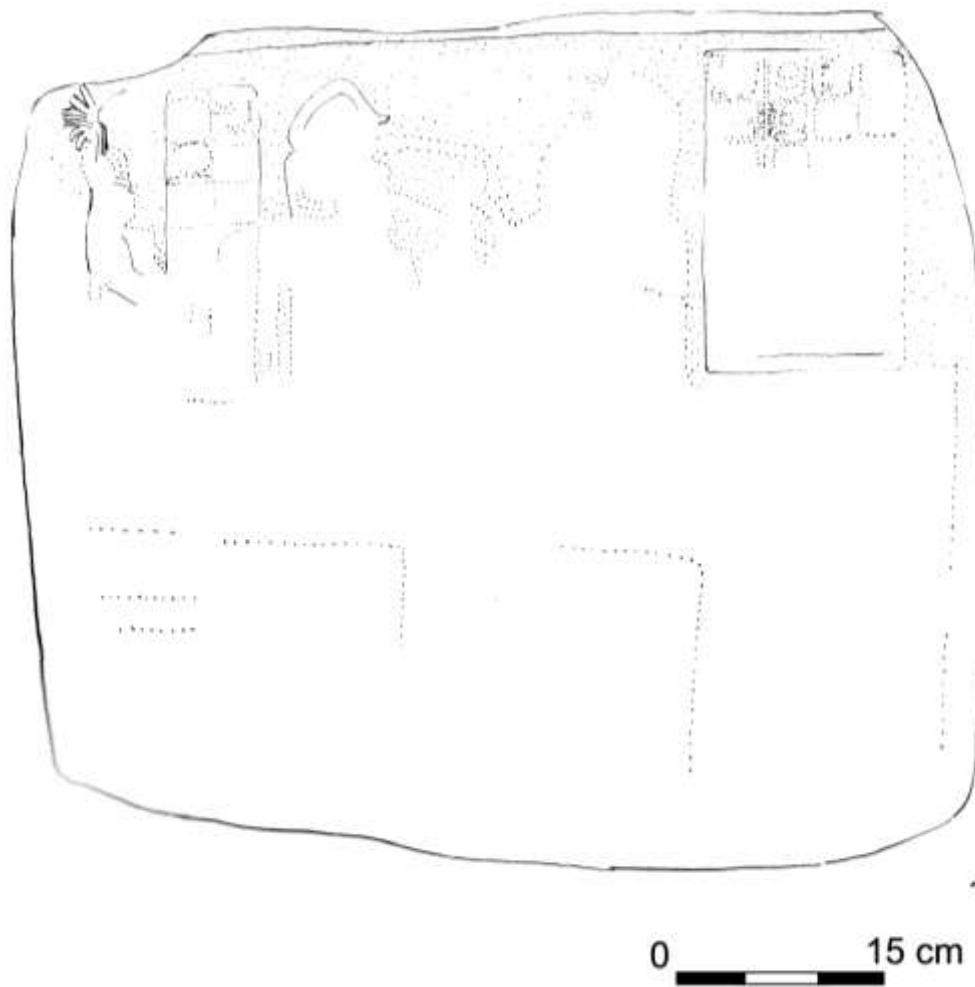


Figura 4.25 Dibujo preliminar del Panel 7 de La Corona (Dibujo por Bruce Love)

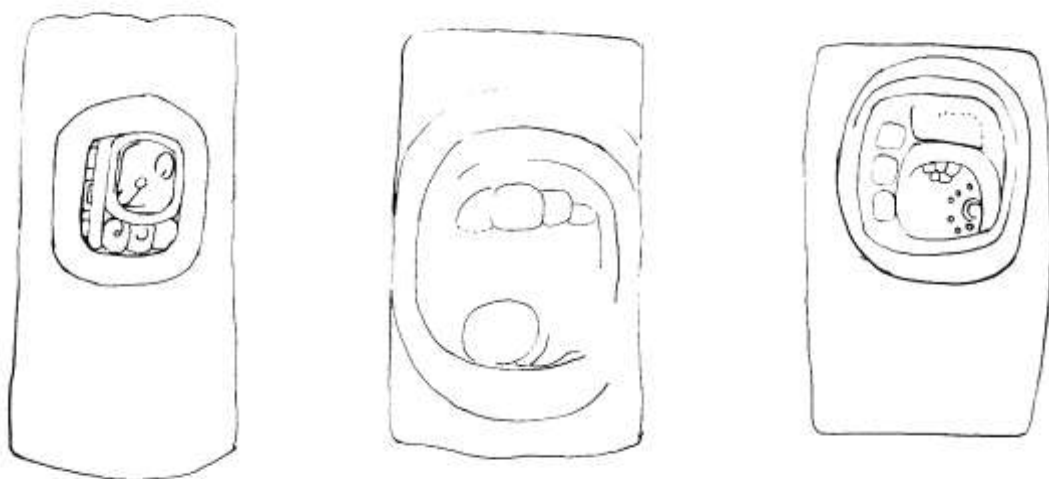


Figura 4.26 Dibujo preliminar de los Cilindros Glíficos o Altares Columnares 1, 2 y 3 de La Corona (Dibujo por Bruce Love, sin escala)

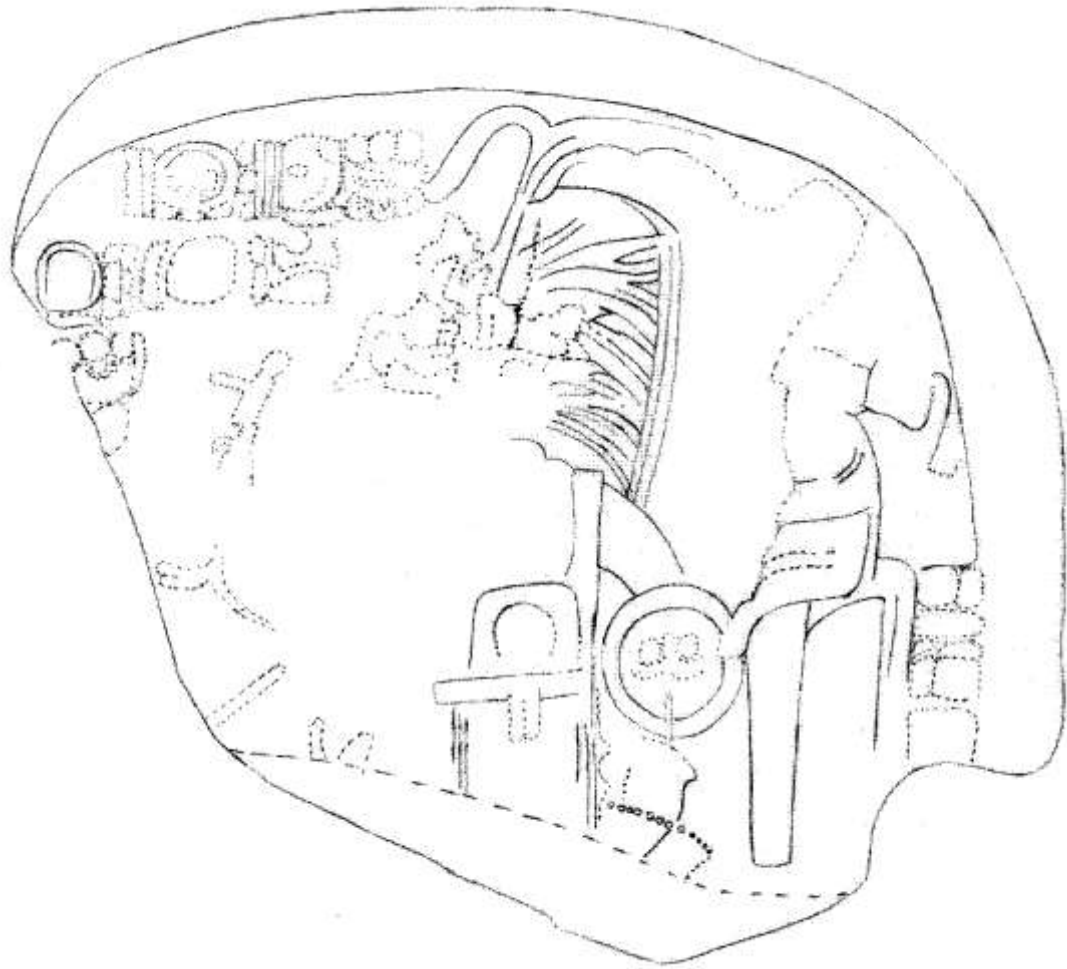


Figura 4.27 Dibujo preliminar del Fragmento 1 del Altar 1 de La Cariba
(Dibujo por Bruce Love, sin escala)

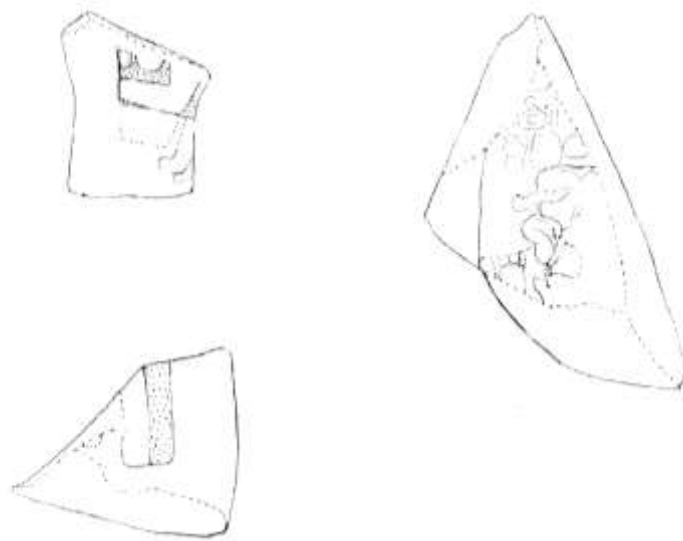


Figura 4.28 Dibujo preliminar de los fragmentos 1, 2 y 3 del Altar 1 de La Cariba
(Dibujo por Bruce Love, sin escala)

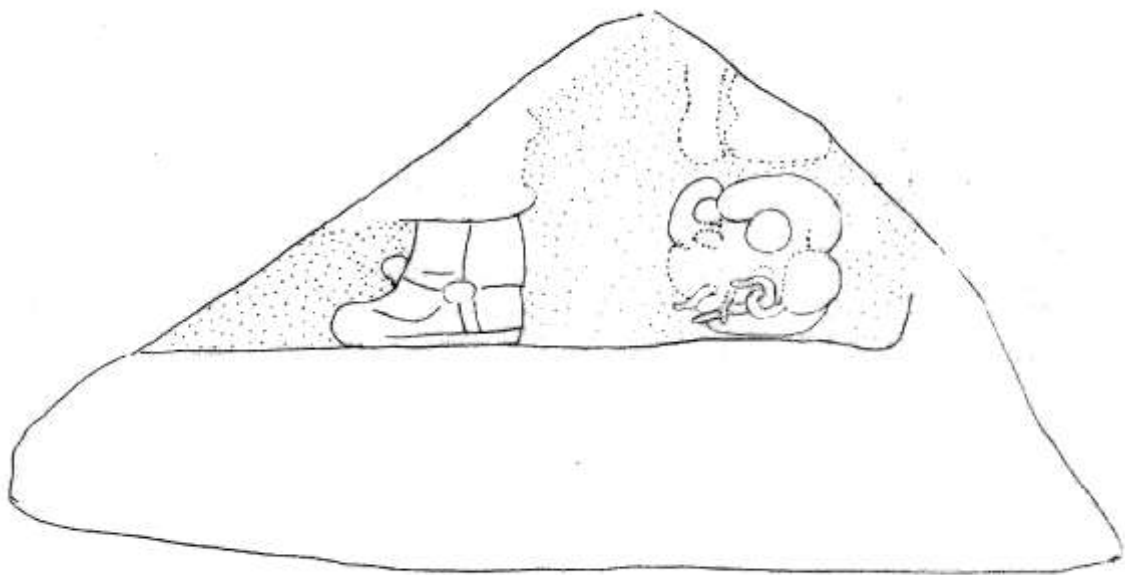


Figura 4.29 Dibujo preliminar del fragmento del Monumento 2 de La Cariba
(Dibujo por Bruce Love, sin escala)

RECONOCIMIENTO ARQUEOLÓGICO Y MAPEO EN LA CORONA

Melvin Rodrigo Guzmán Piedrasanta.

Introducción

El sitio arqueológico La Corona fue visitado por arqueólogos y exploradores antes del inicio del Proyecto Regional Arqueológico del mismo nombre. En cuanto al análisis de patrón de asentamiento destaca el mapa realizado por Ian Graham (1997). No obstante fue desde 2006 que se comenzó a realizar el mapa formal del sitio utilizando las técnicas de medición de elementos en el terreno empleadas por la Ingeniería Civil y la Geografía. El mapa inicial estuvo a cargo de Damien Marken y posteriormente se incorporaron trabajos por Carlos Chiriboga y mi persona (Marken 2007, Marken y Guenter 2007, Marken 2009, Marken 2010).

La operación de mapeo del sitio durante la temporada 2010 incluyó las siguientes actividades:

- a. Reconocimiento arqueológico en la periferia del sitio
- b. Delimitación del sibal que se encuentra al sur del epicentro del sitio
- c. Mediciones topográficas y arquitectónicas en el este del sitio
- d. Mediciones en las operaciones realizadas durante la investigación arqueológica de los grupos arquitectónicos

Por lo tanto, las actividades incluyeron una etapa de reconocimiento arqueológico, una de mapeo de rasgos naturales y culturales presentes en el terreno y mapeo de las operaciones arqueológicas.

Para realizar el mapeo durante esta temporada se utilizó la Estación Total marca Nokia, modelo SET5 10/D21866. Se utilizó la técnica estándar de la ingeniería civil para la medición de carreteras, terrenos y arquitectura. Mediante estas técnicas se logró trasladar la cota (datum) arbitraria establecida en los bancos de marca para tomar todas las alturas requeridas del sitio y ubicarlas en una coordenada específica. Posteriormente, los datos fueron referenciados geográficamente y plasmados en un plano utilizando las técnicas de la geografía moderna.

Reconocimiento arqueológico

El reconocimiento arqueológico realizado en el sitio arqueológico La Corona se dirigió a los asentamientos en los alrededores del grupo central. Durante el avance del mapeo del sitio se ha observado la forma en que éste se adaptó a las características físicas del terreno. El asentamiento se encuentra en un área de sibales, por lo que la distribución de grupos y plazas se hizo de acuerdo a las formas caprichosas que estos tienen. Además, es evidente el aprovechamiento de terrenos elevados para la construcción de grupos arquitectónicos y espacios habitables.

Los recorridos para reconocimiento arqueológico se hicieron en las zonas elevadas a orillas de los sibales en donde se podrían encontrar grupos arquitectónicos. Para realizar los recorridos se utilizaron los caminos de acceso a los distintos campamentos de la zona, los senderos de monitoreo de los recursos naturales y las brechas abiertas por las comunidades de invasores. Cuando no se disponía de estos accesos se hicieron recorridos dentro de la selva sin elaborar senderos ni dejar rastros del recorrido. En algunos casos se utilizó un instrumento de posicionamiento global GPS para encontrar coordenadas que habían sido previamente registradas por Marcello Canuto, las cuales se graficaron en un mapa satelital. La búsqueda de sitios se planificó de tal manera que en cada recorrido se pudieran observar varios grupos. Algunos de éstos habían sido observados previamente por el personal asignado al cuidado del sitio o por los guardabosques de CONAP. En otros casos, los sitios se encontraron fortuitamente mientras se buscaban otros.

A estos grupos se les dio el nombre de un rasgo natural o geográfico presente en el área para garantizar su posterior ubicación, y se escogieron nombres ya conocidos por el personal que ha laborado en la zona. Además, se tomó un punto de posicionamiento geográfico con GPS en cada uno de estos. Cuando estos grupos y estructuras se integren al mapa se les dará un código oficial de acuerdo a la nomenclatura establecida para el sitio.

Grupo de la meseta sur

Este grupo fue llamado originalmente Grupo “El Shený” durante el reconocimiento arqueológico y fue el primero en ser visitado. En la primera visita se observaron cinco montículos en un área elevada al sur del área de acampar del proyecto.

El grupo tiene una estructura de grandes dimensiones en el centro, de unos seis metros de altura aproximadamente. Para llegar a este grupo se debe tomar el camino que conduce al campamento “El Sargazo” y la plaza central del sitio La Corona. Aproximadamente a 500 metros de camino se encuentra un sendero que conduce a un nido de Guacamayas al cual los guardabosques le han denominado “Sheny”, por lo que se le dio este nombre temporal y para fines de localización.

Posteriormente se observó en el mapa satelital que este grupo se encontraba en una parte alta que no había sido explorada previamente. Al hacer una segunda visita se observó que hacia el este del primer grupo se encuentran asentadas más estructuras, de las cuales aún se desconoce la cantidad total. El área es una meseta en forma de L que apunta hacia el sur y en su extremo sur se encuentra una ladera con un alto porcentaje de inclinación que conduce hacia un bajo. En esta ladera se encontró un grupo de cuatro agujeros cilíndricos o siguanes de gran profundidad, de los cuales destaca uno perfectamente formado de ocho metros de diámetro por cuarenta de profundidad.

Grupo de la laguna curvada

Grupo de estructuras dispersas ubicadas al sur de la denominada “laguna curvada”. Se marcó un punto de ubicación geográfica en una de las estructuras con las coordenadas N17°31’/W90°22’.

Grupo del sumidero de La Culebra

Consiste en dos grupos arquitectónicos sobre plataformas elevadas. El primero se encuentra al este del cuerpo de agua denominado “sumidero de la culebra” y está compuesto por dos estructuras, una pequeña al este y otra de mayor dimensión al norte. Presenta dos trincheras de saqueo en el extremo norte de la estructura de mayor dimensión. Se marcó un punto de ubicación geográfica con las coordenadas N17°32’/W90°22’.

El segundo grupo se encuentra al oeste del primero y está compuesto por dos estructuras sobre la plataforma elevada. Una estructura es pequeña y se ubica en el extremo sur, mientras que la otra es de mayores dimensiones y se encuentra al centro de la plataforma. Se marcó un punto de ubicación geográfica con las coordenadas N17°31’/W90°23’.

Estructuras de la brecha corta fuegos

En el sendero hacia la brecha de contención de incendios elaborada por el personal del proyecto La Corona en 2008 se encuentran dos estructuras aisladas. Estas se encuentran cerca del inicio de un área deforestada en donde se cultiva maíz ilegalmente.

Grupo El Jobillo

Es un grupo de estructuras al noroeste del sitio en las cuales resalta un montículo de 6 metros de altura (Figura 5.1). Tiene un túnel de saqueo con dos túneles transversales al túnel principal y se encontró evidencia que la última etapa de saqueo había sido reciente. Para acceder a él se debe tomar el camino que conduce hacia la brecha de contención de incendios, donde se pueden observar las brechas de desmembración de terrenos de las comunidades invasoras. Se marcó un punto de ubicación geográfica con las coordenadas N17°32'/W90°23'.



Figura 5.1 Montículo del Grupo El Jobillo (Fotografía por Rodrigo Guzmán)

Grupo Las Tres Marías.

Este grupo ya había sido observado durante los reconocimientos arqueológicos anteriores y se encuentra al suroeste del sitio, justo en medio de la brecha de contención de incendios. Cuenta con tres estructuras, dos pequeñas a los lados y una grande al centro, que mide aproximadamente 6 m de alto.

Grupo El Tintal.

Se encuentra al oeste de la plaza principal del sitio. Es una plaza rectangular elevada en forma de acrópolis con cuatro estructuras en sus extremos, con la estructura de mayores dimensiones al oeste. Para llegar a este punto se puede tomar un sendero desde la “aguada real” o seguir el camino hacia el campamento “El Sargazo”. Se marcó un punto de ubicación geográfica con las coordenadas N17°31'/W90°23'.

Grupo del Camino

Este grupo se encuentra en la orilla norte del camino que conduce hacia el campamento “El Sargazo” y la Plaza Principal del sitio. Está compuesto por cinco estructuras en una plaza elevada. Al sur se encuentra la estructura más grande del grupo que mide aproximadamente 40 m de largo y 3 m de alto, y parece ser un tipo de estructuras alargadas que son comunes en el sitio. Las demás estructuras cierran la plaza y una quinta estructura se encuentra aislada hacia el este del grupo. Este grupo marca el inicio del asentamiento de una meseta que se extiende hacia el este y se marcó un punto de ubicación geográfica con las coordenadas N17°31'/W90°23'.

El Tesoro

Este es un conjunto de grupos arquitectónicos ubicados al oeste del sitio La Corona, ubicado junto a la laguna llamada “El Tesoro”, de la cual recibe su nombre (Figura 5.2). El terreno es un área elevada junto al cuerpo de agua que tiene forma de herradura. Para llegar al sitio se debe tomar el camino hacia el oeste que conduce al campamento “El Sargazo” y continuar unos 12 kilómetros. En este lugar se ha construido un nuevo campamento para monitoreo de los recursos ambientales y desplazamiento de las comunidades invasoras. Se desconoce la cantidad exacta de estructuras presentes en el área, pero se lograron observar 7 montículos. Algunos de estos presentaban trincheras de saqueo y se sabe que cerca de este punto existió un campamento de invasores.



Figura 5.2 Laguna “El Tesoro” alrededor de la cual se encuentra el sitio
(Fotografía por Rodrigo Guzmán)

La piedra de yeso

Se encuentra junto a la aguada denominada “El Gavilán”, al oeste del grupo principal del sitio. Consta de un montículo que tiene un saqueo al norte en donde se encontraron fragmentos de estuco modelado (Figura 5.3). La denominada piedra de yeso es un fragmento de piedra rectangular ubicado al norte del montículo, el cual tiene la apariencia de ser el basamento de una estela lisa. Se marcó un punto de ubicación geográfica con las coordenadas N17°34’/W90°23’

Montículo del Cedro

Se encuentra al sureste del grupo principal del sitio y de la “aguada real”. Es un grupo de montículos alineados a un montículo de mayor dimensión, el cual es alargado y tiene aproximadamente 3 m de altura y 10 m de largo. No se observaron saqueos en este montículo ni en los demás. El grupo se encuentra cerca de la orilla del camino que conduce hacia el grupo principal y se incluyó en el mapa en esta temporada bajo el código Grupo 13Q-3.



Figura 5.3 Montículo al norte de la laguna “El Gavilán”, en la esquina inferior izquierda se distingue el fragmento de piedra denominado Piedra de Yeso.
(Fotografía por Rodrigo Guzmán)

Grupo del este

Este grupo se encuentra en un área elevada al este del campamento del sitio. Se encuentra en la orilla sur del camino de acceso al campamento y aunque se desconoce la cantidad total de estructuras que conforman el grupo, se pudieron observar cuatro montículos.

Montículos del sur.

Estos montículos habían sido avistados anteriormente por los guardabosques y guardianes del sitio. Cerca del camino que conduce al campamento “El Sargazo” se encontraron una serie de montículos de los cuales resalta uno de 3 m de alto. Estos montículos están presentes en toda el área sureste del sitio y se espera poder incluirlos en el mapa próximamente.

Reconocimiento al sur del cuadrante 13Q.

El sitio arqueológico La Corona está dividido en una cuadrícula arbitraria que fue establecida por Carlos Chiriboga en 2008 para fines de clasificación geográfica. Esta cuadrícula genera cuadrantes arbitrarios de 500 x 500 metros, la cual permite clasificar los grupos que quedan dentro de estos. Aunque el grupo principal del sitio se encuentra en el norte del cuadrante 13Q, su parte sur aún no había sido reconocida arqueológicamente ni mapeada. Gran parte del extremo sureste del cuadrante está compuesto por el sibal denominado “El Colmoyote” el cual tiene asentamientos en todo su entorno. El extremo suroeste del cuadrante también tiene algunos grupos que fueron reconocidos y serán integrados al mapa en las temporadas subsiguientes.

Grupo del vértice 13P-13Q/14P-14Q.

El vértice de la cuadrícula se encuentra en un área elevada al sur de la Plaza Principal. El camino que conduce hacia el parqueo del sitio pasa por este lugar, donde se encuentran varios montículos, entre los que destaca un grupo de tres montículos rectangulares alargados orientados de sur a norte. Tienen una altura entre 0.60 y 1 m y dos de las estructuras alargadas dan la impresión de ser un patio de juego de pelota, pero no tienen las mismas dimensiones. Alrededor de este grupo también se encuentran otros montículos independientes, por lo cual se cree que es un asentamiento mayor.

Grupo del Conacaste.

Este grupo se encuentra unos 20 m al noreste del parqueo del sitio. Está compuesto por tres montículos de más de un metro de alto, de los cuales uno se encuentra al norte, otro al sur y el último al oeste. Este último presenta una trinchera de saqueo que lo atraviesa transversalmente.

Actualización del mapa general del sitio.

El proceso de mapeo con Estación Total durante la temporada 2010 incluyó tres enfoques principales: el primero fue la medición de puntos topográficos para delimitar la forma del terreno en áreas estratégicas; el segundo fue la medición de rasgos arquitectónicos presentes en el terreno; y el tercero, la medición de las unidades de excavación como apoyo a los análisis de los arqueólogos encargados de cada operación.

La información obtenida fue decodificada y plasmada en un mapa que se presenta en dos dimensiones pero que reconoce datos en tres dimensiones. Esta información se adhirió a la información obtenida desde el año 2008 para lograr un plano actualizado del sitio (Figuras 5.4 y 5.5).

Mapeo en el sur del sitio.

Sibal “El Colmoyote”.

El mapeo del sur del sitio se concentró en la orilla sur del Sibal llamado “El Colmoyote”. Este cuerpo de agua recibe este nombre por el parecido de su silueta al de las larvas de la mosca *Dermatobia Hominis* o Colmoyote como se le conoce popularmente, que causa la Miasis Furuncurosa. Al norte de este sibal se encuentran asentados los grupos más importantes del sitio, por lo que se consideró importante conocer el tipo de asentamiento que se encontraba al sur.

Para realizar el mapeo de este sector se trazó una brecha principal que sería utilizada como transecto para la medición de brechas transversales en las cuales se esperaban encontrar los rasgos culturales y topográficos. Para trazar esta brecha se utilizó un plano satelital en donde estaban marcados los caminos de acceso. Se buscaron dos puntos que partieran desde los caminos y cuya unión fuera una línea paralela a la orilla sur del sibal. Al trazar esta línea se comenzaron a hacer las mediciones desde el extremo norte y se trazaron brechas auxiliares hacia el noreste buscando alcanzar la orilla del sibal. Al final de la brecha se instalaron dos nuevos bancos de marca (CR_BM15 y CR_BM16) los cuales servirán de referencia para continuar con la medición de los cuadrantes del sur.

Asentamiento hallado.

En el reconocimiento realizado al sur del sibal “El colmoyote” se encontró una serie de montículos asentados a lo largo de la orilla. De estos montículos 17 se incluyeron en el mapa y otros quedaron pendientes (Figura 5.6). El área en donde se encuentra este asentamiento es bastante plana y se eleva un máximo de 3 metros sobre el nivel del sibal. Las partes más altas fueron aprovechadas para la construcción y las partes más bajas se presume que son susceptibles a la inundación. El asentamiento se encuentra dentro de los cuadrantes 13Q, 13R y 14R.

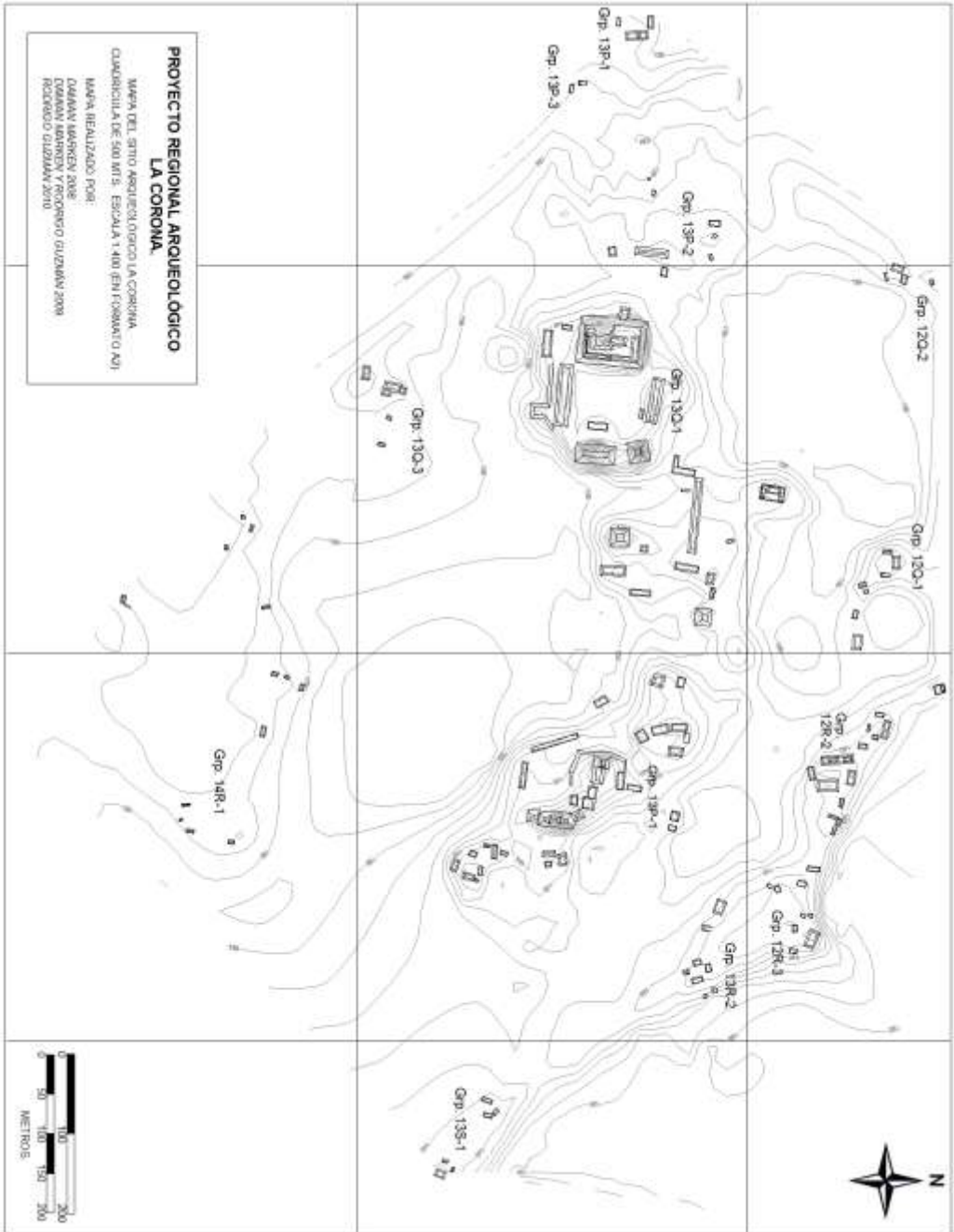


Figura 5.4 Mapa del sitio La Corona mostrando curvas de nivel, versión 2010

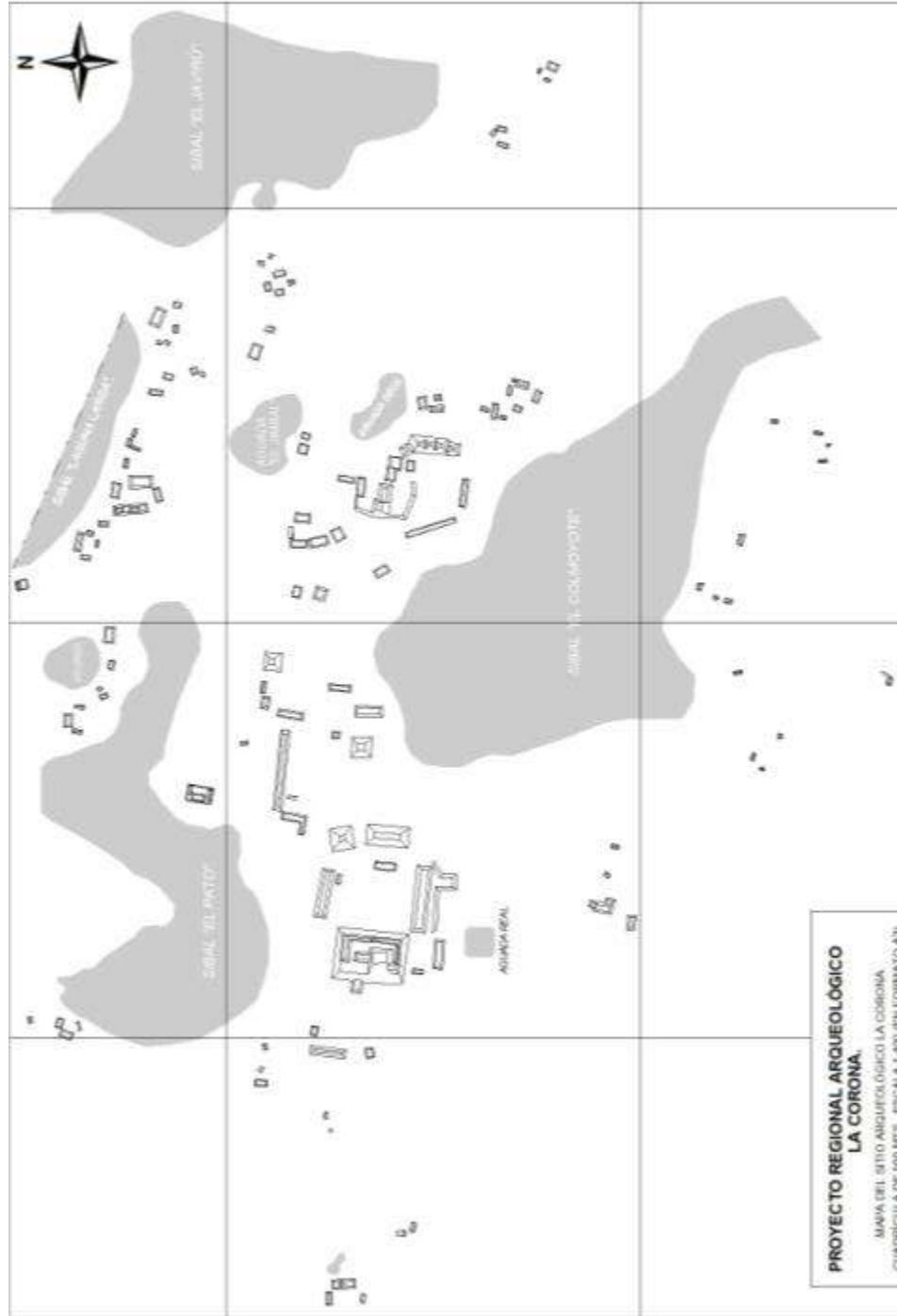


Figura 5.5 Mapa del sitio La Corona mostrando rasgos relevantes, versión 2010

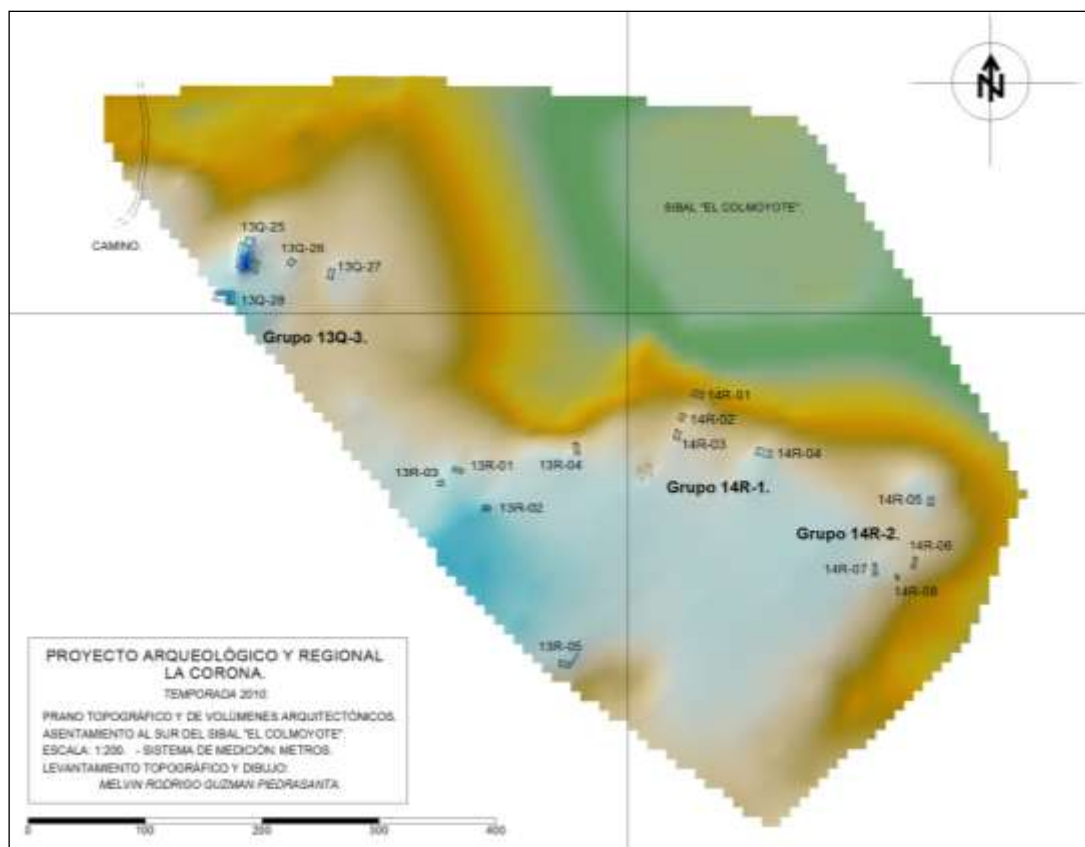


Figura 5.6 Mapa del asentamiento al sur del cibal “El Colmoyote”

Mapeo en el este del sitio.

Nuevos hallazgos.

La Operación CR42 de la temporada 2010 incluyó una exhaustiva limpieza de los montículos para su posterior investigación. Durante esta limpieza se halló un montículo que delimita la parte sur del grupo 13R-2, el cual fue medido e incluido en el mapa general del sitio. Así mismo, se encontró un montículo pequeño al norte del Grupo 13S-1 el cual se incluyó también al mapa (Figura 5.7).

En la orilla oeste del sibal “El Jabirú” se observó una formación no natural en el terreno. Aparentemente, se trata de un pequeño muelle construido por los habitantes de este sitio, el cual incluye una pequeña dársena o bahía artificial que se observa en el mapa como una saliente circular en la playa del sibal (Figura 5.7).

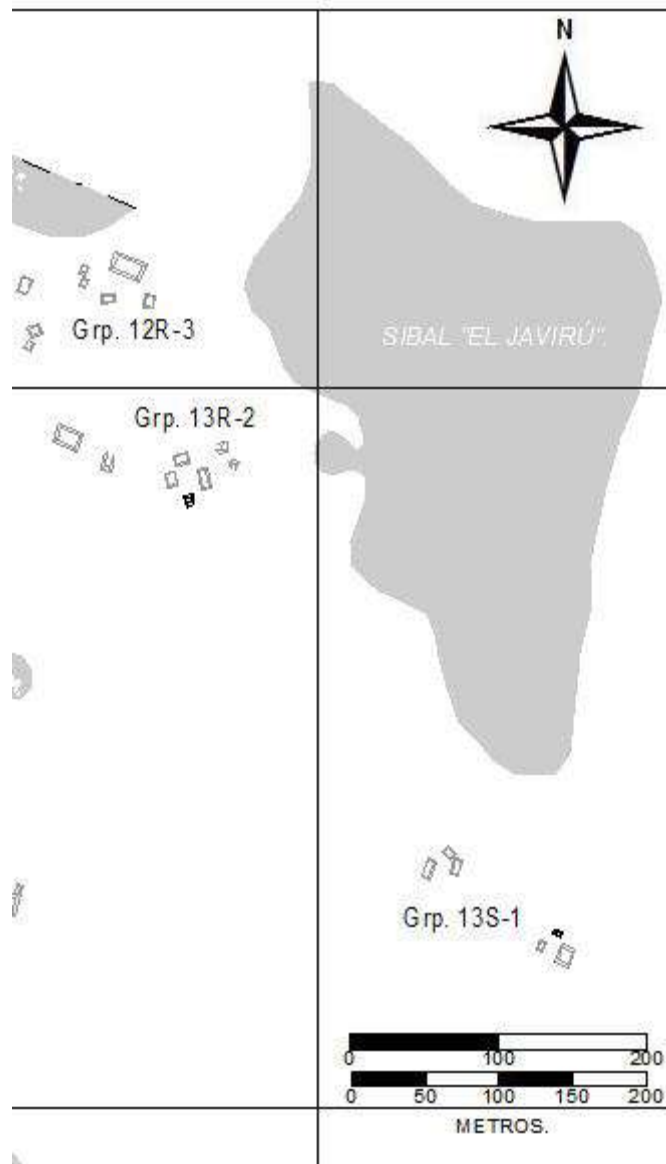


Figura 5.7 Mapa del sector este del sitio La Corona. Obsérvese la dársena o bahía artificial en el sibal El Jabirú (Mapa realizado por Rodrigo Guzmán)

Elementos geográficos y topográficos.

Durante el proceso de medición de los montículos hallados, se realizaron también mediciones de las elevaciones en el terreno alrededor de los mismos. También se aprovechó la sequía provocada por el verano para realizar las mediciones de los sibales secos. Tanto el sibal “El Jabirú” como “El Colmoyote” pudieron ser medidos en las áreas internas que para ese momento se encontraban secas. Los puntos de medición topográfica también permitieron tener una actualización de la forma de la superficie del terreno en donde se asentó el sitio.

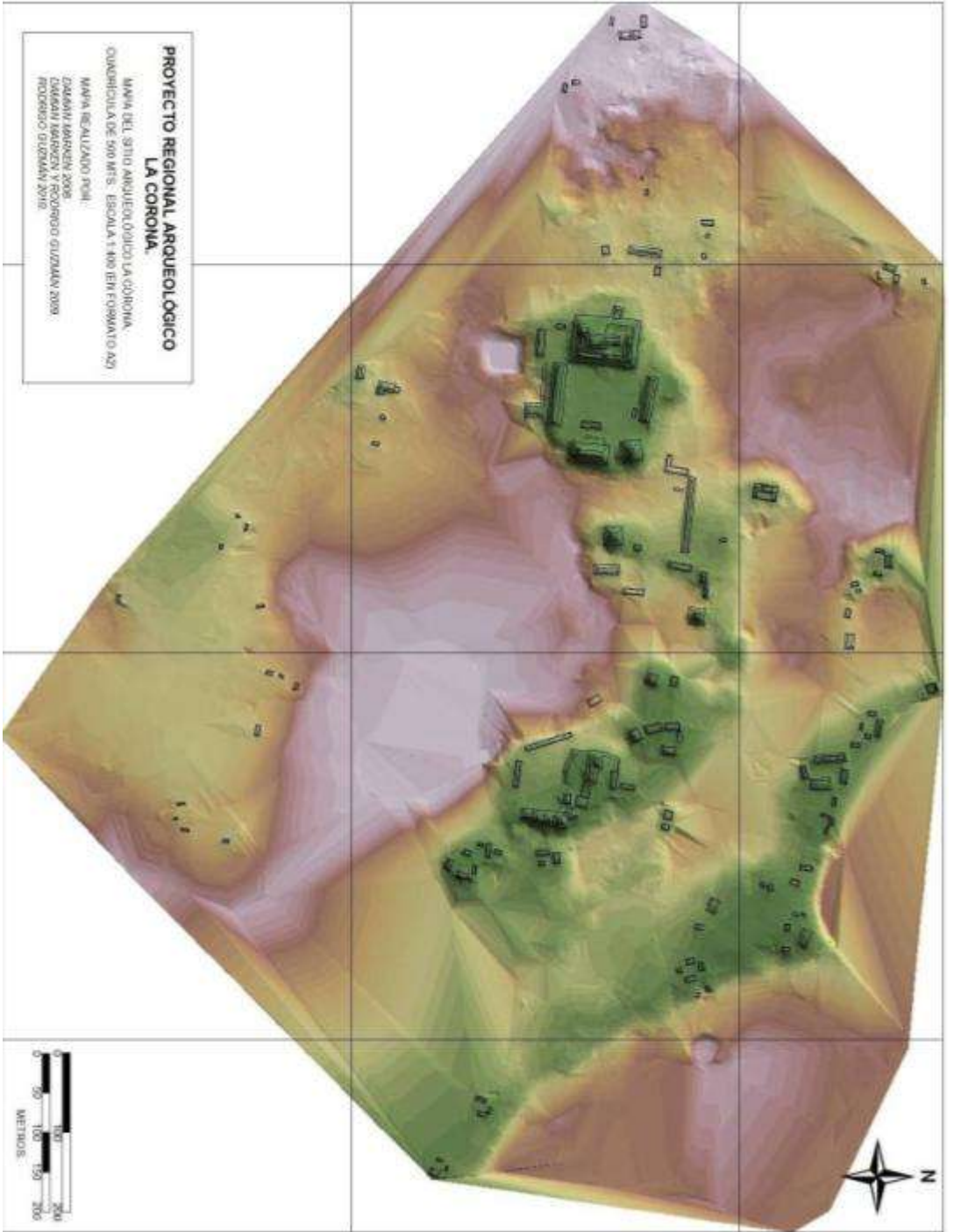


Figura 5.8 Mapa tridimensional del sitio La Corona, versión 2010

Localización de las unidades de excavación.

La parte final del proyecto de mapeo arqueológico consistió en la localización en el plano de todas las operaciones de excavación con sus respectivas unidades (Figura 5.9). Esta actividad incluyó la ubicación de cada uno de los vértices de las unidades, la ubicación de una cota móvil o “datum” y la medición de elementos arquitectónicos descubiertos durante la excavación.

| Operaciones realizadas durante la temporada de campo 2010. | | | |
|---|-------------------|-------------------|--------------------|
| Operación | Grupo | Estructura | Arqueólogo |
| 12A | 13R-1 | 13R-3 | J. Baron |
| 14A | 13R-1 | 13R-4 | J. Baron |
| 14B | 13R-1 | 13R-4 | J. Baron |
| 15A | 13R-1 | 13R-2 | J. Baron |
| 16A | 13R-1 | 13R-10 | E. Fernandez |
| 16B | 13R-1 | 13R-10 | E. Fernandez |
| 16C | 13R-1 | 133-10 | E. Fernandez |
| 20A | 13Q-1 | 13Q-4 | L. Padilla |
| 20B | 13Q-1 | 13Q-4 | L. Padilla |
| 20P | 13Q-1 | 13Q-4 | L. Padilla |
| 32D | 13Q-1 | 13Q-2 | C. Guirola |
| 32H | 13Q-1 | 13Q-2 | A. Velásquez |
| 32G | 13Q-1 | 13Q-2 | A. Velásquez |
| 33A | 13Q-1 | 13Q-3 | Y. Desaily-Chanson |
| 33D | 13Q-1 | 13Q-3 | Y. Desaily-Chanson |
| 35A | 13Q-1 | 13Q-5 | Y. Desaily-Chanson |
| 35B | 13Q-1 | 13Q-5 | Y. Desaily-Chanson |
| 41 | 13S-1 | Todo el grupo | E. Bustamante |
| 42 | 13R-2 | Todo el grupo | J. Ponce |
| 43 | 12Q-1 | Todo el grupo | A. Rojas. |
| 44 | 13P-1 | Todo el grupo | J. Pontaza. |
| 45 | Sibal “El Jabirú” | Muestra de suelo | C. Cagnato |
| 46 | Aguada Real | Muestra de suelo. | C. Cagnato |
| 47 | Sibal “El Pato”. | Muestra de suelo. | C. Cagnato. |



Figura 5.9 Mapa del sitio La Corona mostrando las excavaciones realizadas en 2010

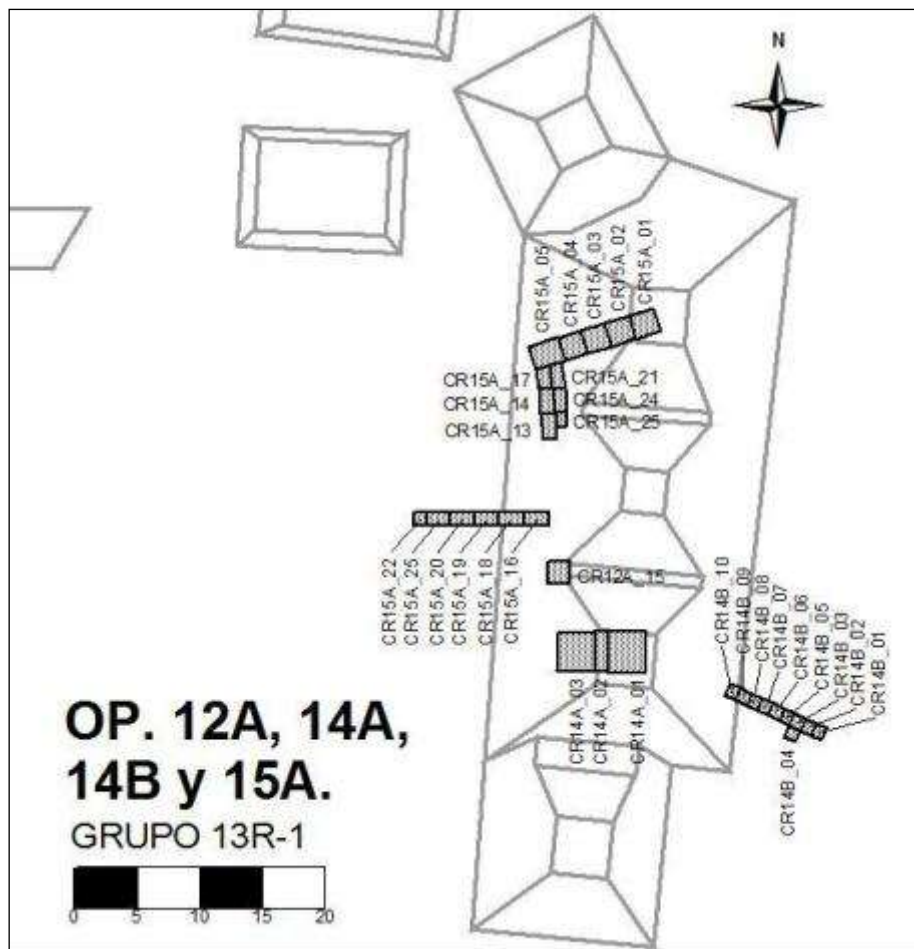


Figura 5.10 Mapa de las excavaciones realizadas en las sub-operaciones 12A, 14A, 14B y 15^a (Mapa realizado por Rodrigo Guzmán)

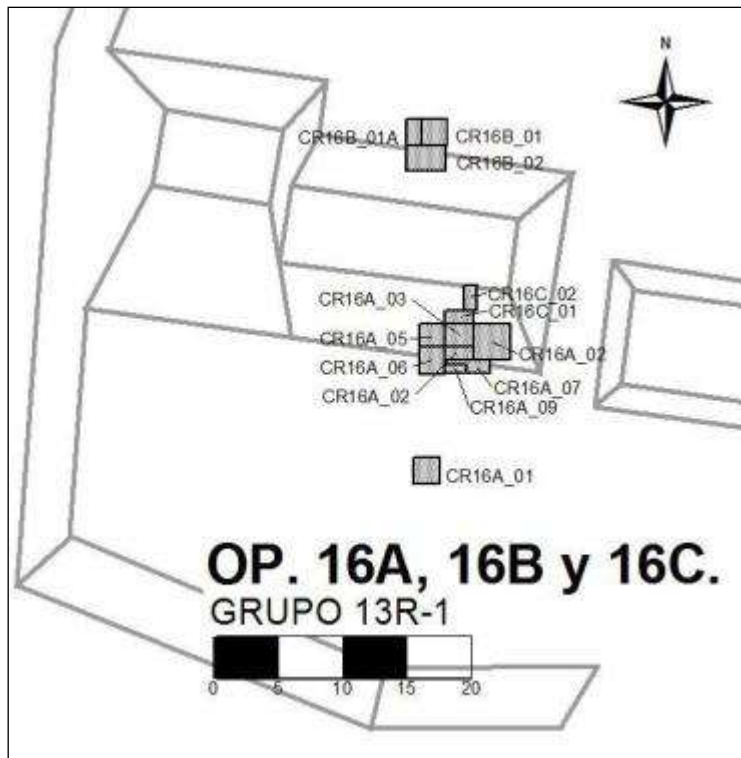


Figura 5.11 Mapa de las excavaciones realizadas en las sub-operaciones 16A, 16B y 16C (Mapa realizado por Rodrigo Guzmán)

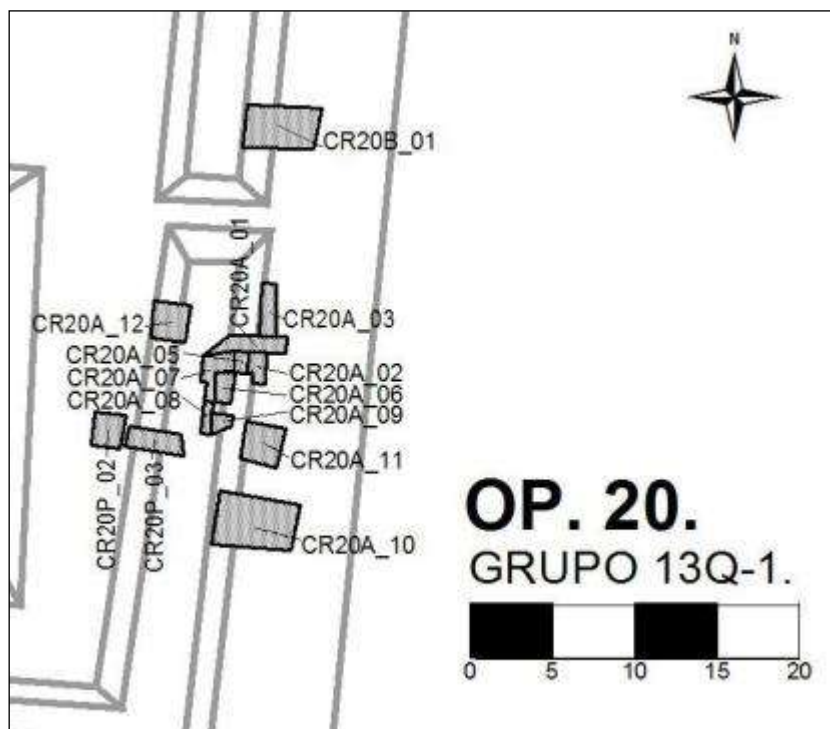


Figura 5.12 Mapa de las excavaciones realizadas en la Operación CR20 (Mapa realizado por Rodrigo Guzmán)

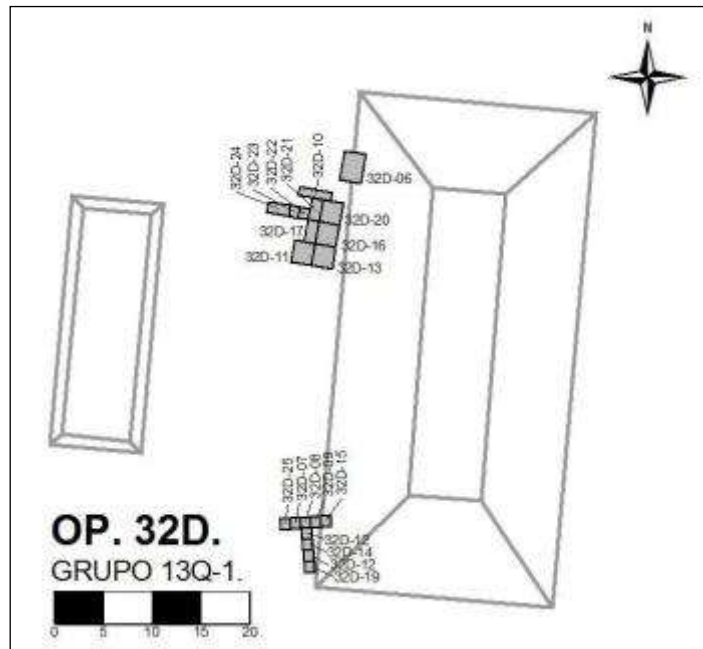


Figura 5.13 Mapa de las excavaciones realizadas en la sub-operación CR32D (Mapa realizado por Rodrigo Guzmán)

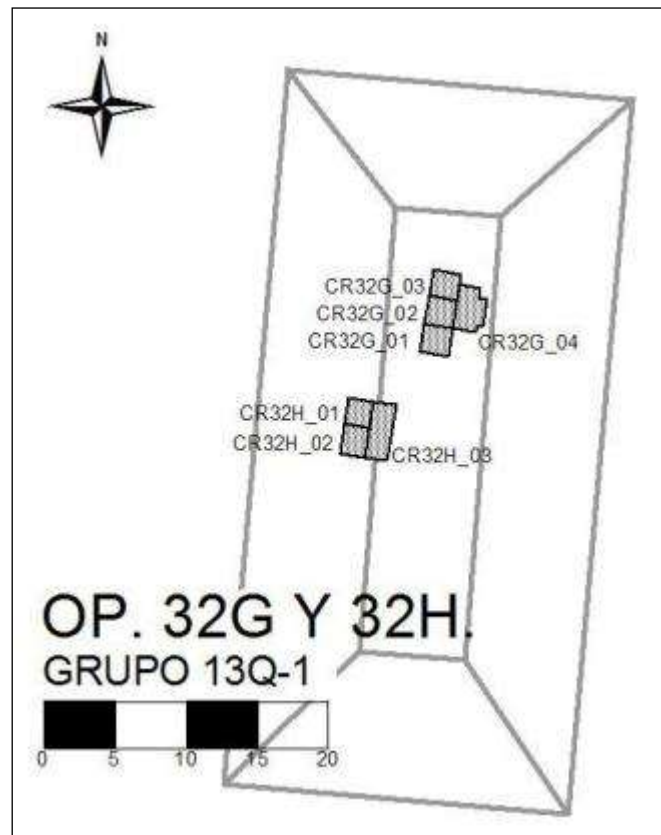


Figura 5.14 Mapa de las excavaciones realizadas en las sub-operaciones 32G y 32H (Mapa realizado por Rodrigo Guzmán)

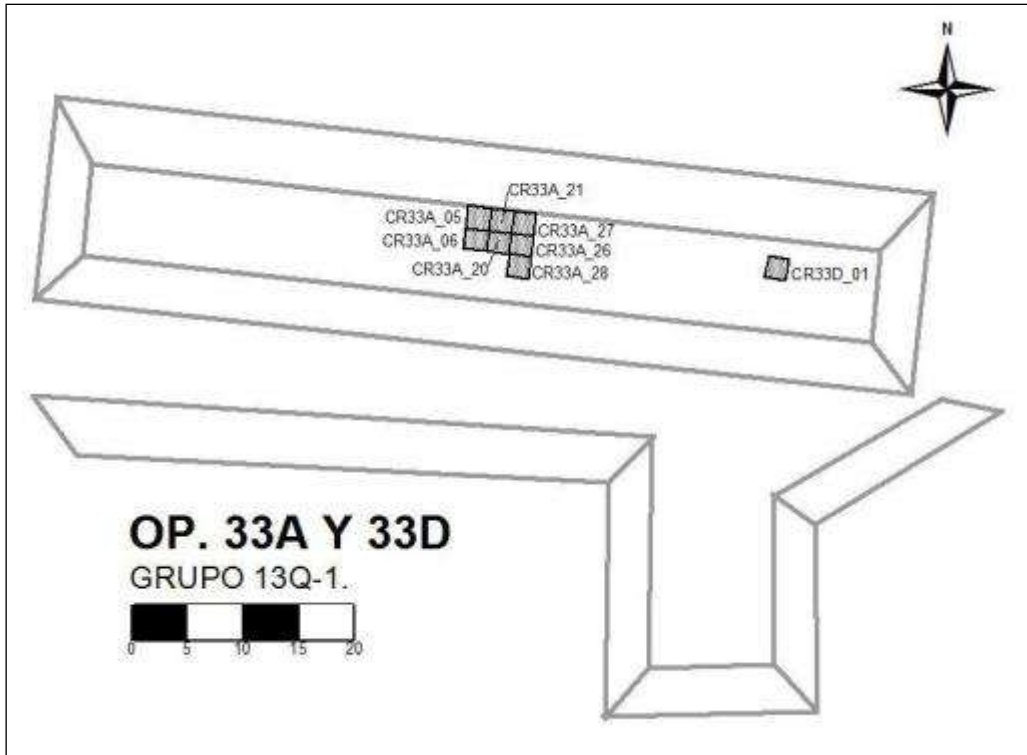


Figura 5.15 Mapa de las excavaciones realizadas en las sub-operaciones 33A y 33D (Mapa realizado por Rodrigo Guzmán)

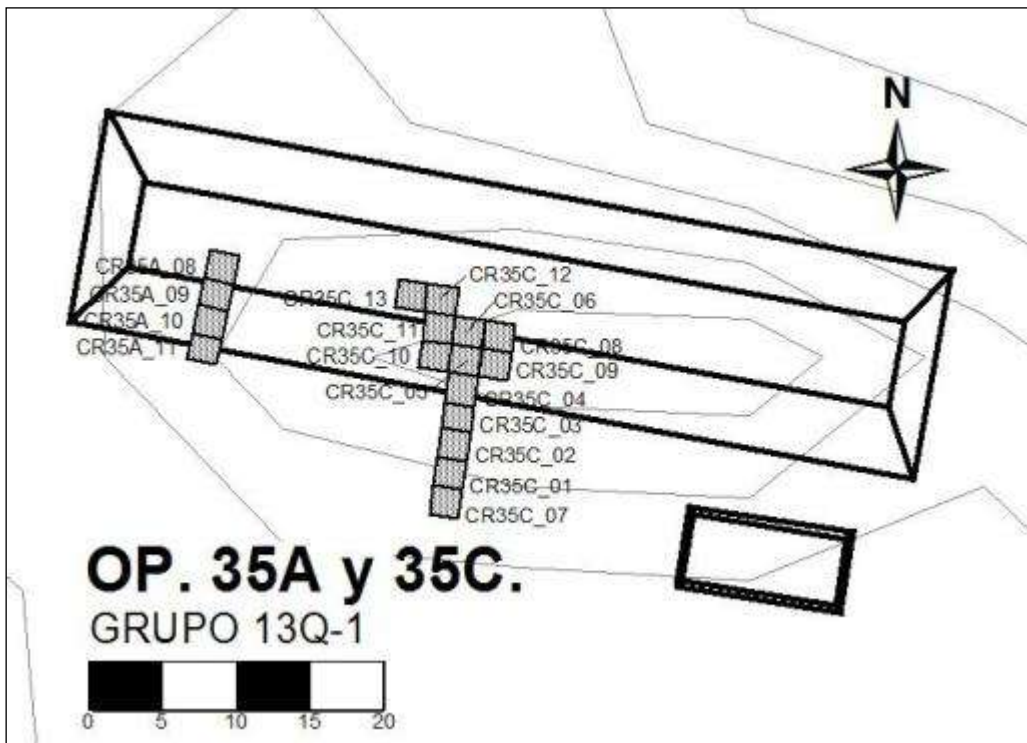


Figura 5.16 Mapa de las excavaciones realizadas en las sub-operaciones 35A y 35C (Mapa realizado por Rodrigo Guzmán)

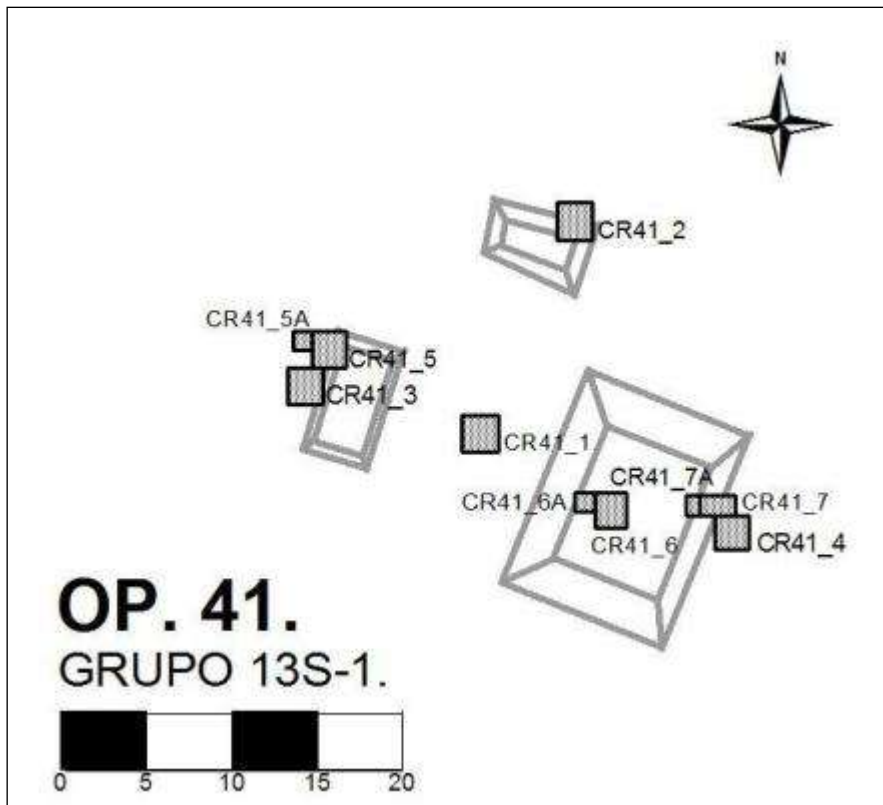


Figura 5.17 Mapa de las excavaciones realizadas en la Operación CR41 (Mapa realizado por Rodrigo Guzmán)

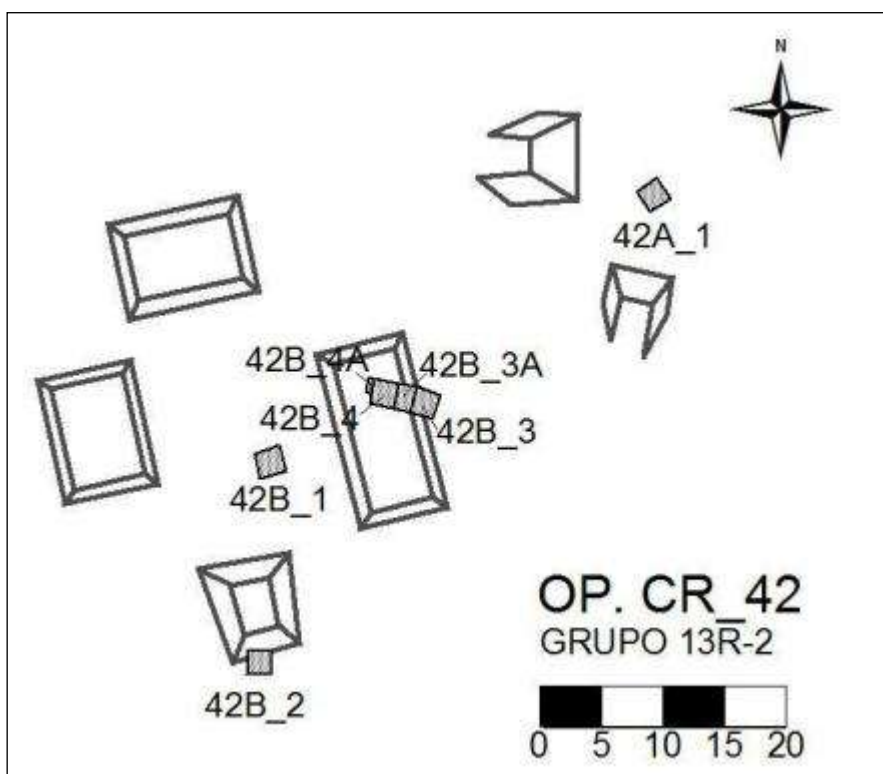


Figura 5.18 Mapa de las excavaciones realizadas en la Operación CR42 (Mapa realizado por Rodrigo Guzmán)

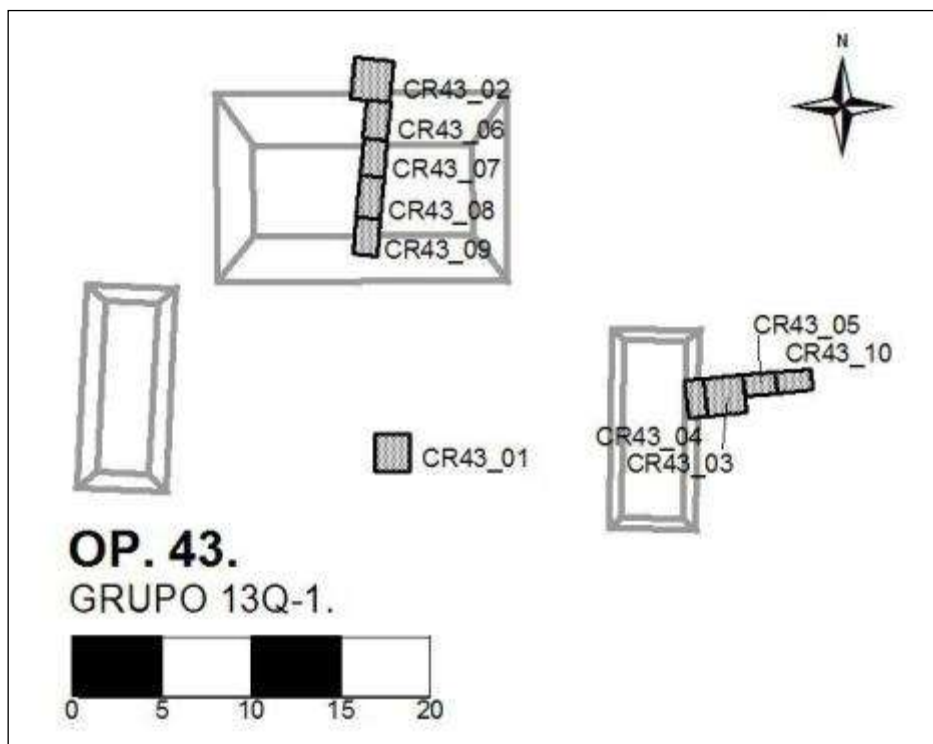


Figura 5.19 Mapa de las excavaciones realizadas en la Operación CR43
(Mapa realizado por Rodrigo Guzmán)

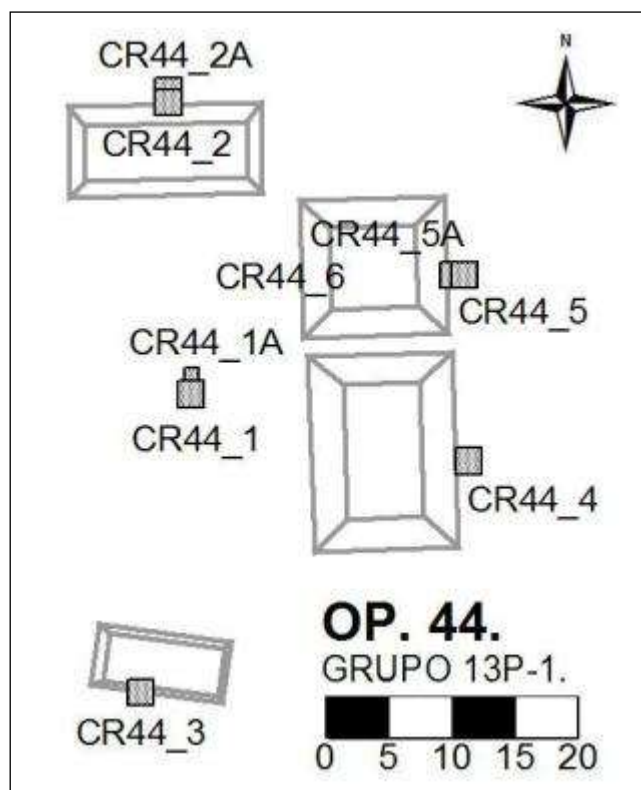


Figura 5.20 Mapa de las excavaciones realizadas en la Operación CR44
(Mapa realizado por Rodrigo Guzmán)

Prospecciones

Durante los reconocimientos arqueológicos se encontró una considerable cantidad de asentamientos. Por tal razón, se espera en las próximas temporadas realizar las mediciones respectivas para incluir en el mapa la parte sureste del sitio, que incluye el asentamiento al este del sibal “El Colmoyote” y un asentamiento ubicado sobre una meseta que corre hacia el sur del sitio. Así mismo, se esperan hacer reconocimientos arqueológicos al norte del sitio, en las orillas del norte de los sibales “Laguna Larga” y “El Jabirú”, así como el paso seco que queda entre éstos.

Consideraciones finales

El sitio arqueológico La Corona es un ejemplo claro de la adaptación de las necesidades sociales al entorno ecológico. Se asentó en el terreno elevado que queda entre los sibales, de tal manera que estas formas son las que definen la distribución arquitectónica del sitio. En los reconocimientos arqueológicos se ha observado que el asentamiento se extiende alrededor de los sibales y aún no se ha podido determinar un límite para el sitio. Las investigaciones futuras continuarán aportando datos importantes para comprender el patrón de asentamiento de este sitio ubicado en un área geográfica que condiciona su forma y quizás también su organización social.

CAPÍTULO VI

OPERACIÓN CR 20: EXCAVACIONES EN EL PALACIO DE LA CORONA

Liliana Padilla

El Palacio o Estructura 13Q-4 se encuentra en el extremo oeste de la Plaza Principal de La Corona y es el edificio de mayor dimensión y volumen en todo el sitio. Consiste principalmente de una plataforma o basamento que tiene alrededor de 75 m de norte a sur y 56 m de este a oeste, alcanzando 10 m de alto. Sobre ésta descansa una serie de superestructuras y patios internos que conforman el área residencial del palacio.

La fachada principal se ubica hacia el este, constituida por una escalinata que posiblemente abarca todo el ancho del basamento, subiendo hacia una superestructura alargada dividida en dos: 13Q-4A al sur y 13Q-4B al norte. El acceso central de las superestructuras 13Q-4A y B permite el paso a un patio estrecho, que está limitado al este por la superestructura 13Q-4E, la cual se eleva por sobre el resto de la estructura. Hacia el lado norte se encuentra la superestructura 13Q-4F, de menores dimensiones y altura, la cual se encuentra dividiendo los patios Norte y Este. Hacia el lado sur del basamento se encuentra la superestructura 13Q-4D, en la esquina sureste, que limita las superestructuras 13Q-4C y 13Q-4E (Figura 6.1) (Padilla, 2009).

Durante esta temporada de campo se continuó con las excavaciones en la fachada localizada directamente en la superestructura 13Q-4A, buscando descubrir la arquitectura de la misma. También se trató de relacionar los pisos encontrados en el interior de las superestructuras mencionadas y los encontrados en el acceso central y el patio-corredor ubicado en la parte posterior de la superestructura 13Q-4A. La nomenclatura utilizada para el control de las unidades continuó la numeración de temporadas pasadas, e incluyó el nombre del sitio, número de operación, letra de sub-operación, número de unidad y número de lote (p.e. CR-20A-1-1). Las primeras unidades se establecieron en los saqueos de la fachada, dos en la superestructura 13Q-4A y una en la superestructura 13Q-4B. Posteriormente se ubicaron dos en la parte trasera de la superestructura 13Q-4A y una al centro del patio alargado entre las superestructuras 13Q-4A y 13Q-4E (Figura 6.2).

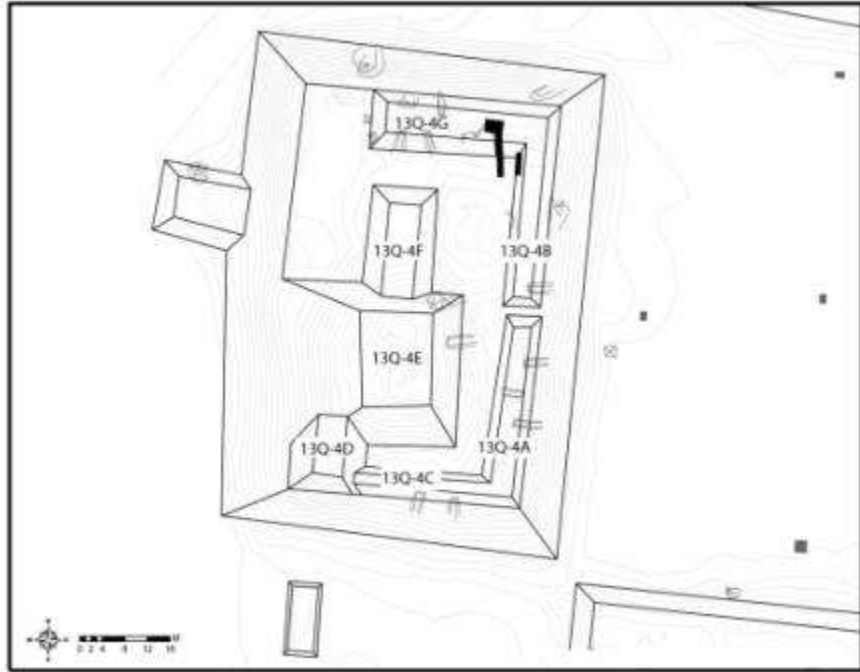


Figura 6.1 Planta de la Estructura 13Q-4 (Mapa por Damien Marken, 2009)

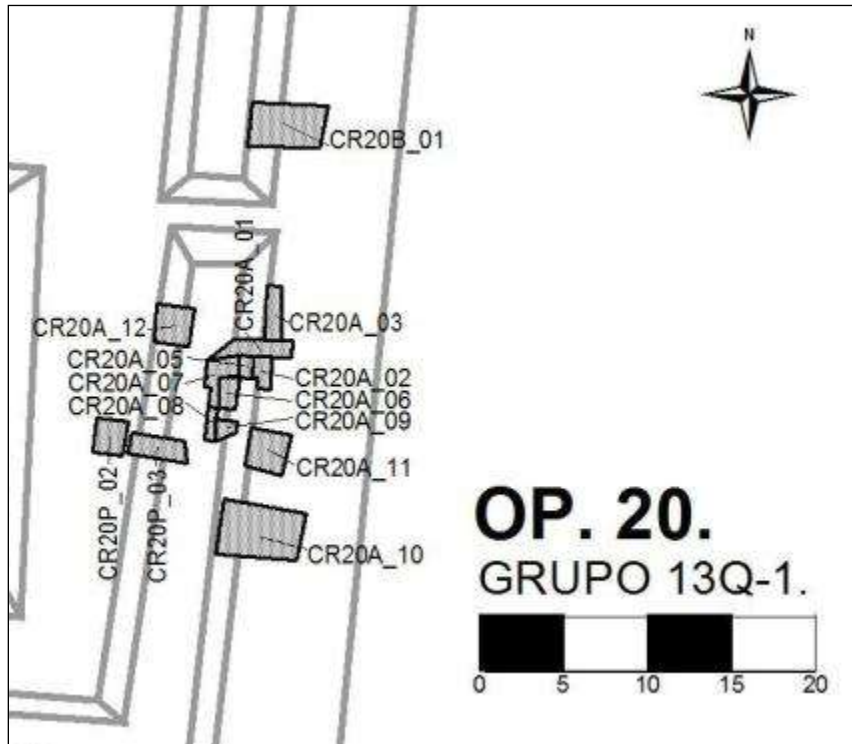


Figura 6.2 Mapa de las excavaciones realizadas en la operación CR20 en 2010 (Mapa realizado por Rodrigo Guzmán)

En las excavaciones se recuperó material cerámico y algunos fragmentos de lítica y concha, además de restos de estuco que provinieron de la decoración de la fachada y de los pisos, con algunos casos con restos de pintura roja. La obsidiana, concha, hueso y cerámica se recuperaron sistemáticamente durante las excavaciones de cada unidad.

Objetivos y Metodología

Las excavaciones realizadas en el palacio tuvieron como objetivo distinguir los elementos arquitectónicos de la fachada de la última etapa constructiva del palacio, así como determinar la existencia de cámaras y sus accesos desde la fachada hacia el patio interior del palacio. También se pretendió reconocer las diferentes etapas constructivas, los materiales utilizados en la construcción y los detalles decorativos. Específicamente se buscó registrar diferentes etapas constructivas en la parte interna y por debajo de los pisos localizados en el corredor interno entre las superestructuras 13Q-4A y 13Q-4E. Para ello se siguió la metodología creada en Copán para nombrar estos rasgos mediante nombres fácilmente reconocibles. En este caso los pisos se han nombrado en base a nombres de aves y los edificios mediante nombres de árboles locales.

Descripción de las Excavaciones

Sub-operación CR20A

Se definió en la superestructura 13Q-4A, la cual fue investigada en su fachada este para poder determinar la existencia de cuartos y accesos desde la escalinata principal.

CR20A-1

Se trazó cuadrando una excavación de saqueo ubicada hacia el norte de la superestructura 13Q-4A del palacio. El saqueo inició al frente de la fachada, justo en el inicio del basamento superior, llegando hasta la parte interna de la habitación de dicha superestructura (Figura 6.3). El lote 1 consistió en la limpieza del nivel de superficie en el interior de la trinchera, tratando de buscar el nivel de piso. Se recuperó material cerámico (70 tiestos) y un fragmento de hueso animal, además de distinguirse restos del nivel de piso que fue cortado por el saqueo.



Figura 6.3 Nivelación de la excavación de saqueo en CR20A-1-1
(Fotografía por Liliana Padilla)

El lote 2 consistió en la limpieza del perfil norte, tratando de ubicarse el muro de la fachada de la superestructura 13Q-4A. De este lote se recuperó material cerámico (19) y diez fragmentos de estuco, entre ellos tres fragmentos modelados, con detalles circulares y bandas. Al final se localizó parte del muro de la fachada, el cual se encuentra en mal estado de conservación debido a que fue atravesado por los saqueadores (Figura 6.4). Al pie se logró ubicar con mayor precisión el piso que parece haber cubierto la parte interna de la superestructura y tener dos capas de estuco. El muro de la fachada consiste en piedras de tamaño medio (40 x 25 x 10 cm) cortadas con ángulos rectos, que formaban parte del frente del muro, mientras la parte interna parece haber estado conformada por piedras sin tallar. En la parte inferior del muro, a 20 cm del nivel de piso, se observó un cambio en el patrón de las piedras, ya que se encuentran afuera de la línea vertical del muro, formando una pequeña grada o banqueta estucada. Ésta corresponde entonces a la misma moldura que ya se había registrado durante las excavaciones de la temporada 2009, en la superestructura 13Q-4B.

En el lote 3 se localizó un fragmento de estuco bastante grande (48 x 48 cm) en el perfil sur, que consiste en un fragmento de un torso humano, cuyo lado izquierdo es el que mejor se conserva (Figura 6.4). Se marca el cuello y el hombro izquierdo que baja formando el humero, el cual queda cortado por sobre la altura del codo. Tiene restos de lo que fue un collar o pectoral, el cual consiste en una banda ancha pegada al cuerpo con detalles en relieve; así como los restos de un disco y hacia el lado izquierdo lo que parece ser una concha o detalle fitomorfo. Por debajo de la cintura se ciñe una banda que sostiene el taparrabo del personaje. En sí, el fragmento se encuentra bastante deteriorado, debido a que la escultura fue elaborada con piedras de pequeñas dimensiones para formar bultos que luego se cubrieron y modelaron con estuco.



Figura 6.4 Muro cortado por saqueo y torso humano encontrado en CR20A-1
(Fotografía por Liliana Padilla)

El saqueo en cuestión tenía tres pequeños túneles en la parte inferior interna, por lo que se limpió el que se encontraba al centro (Lote 4), donde se recuperó poco material cerámico (16) y un fragmento de concha. En total se registraron dos pisos; el superior colocado directamente sobre el segundo, y éste sobre un relleno de nivelación con piedras pequeñas y tierra amarilla y por debajo un relleno de piedras de mayor dimensión mezcladas con tierra café rojiza (Figura 6.5).



Figura 6.5 Relleno bajo el piso interior de la cámara, expuesto por saqueo (CR20A-1-4)
(Fotografía por Liliana Padilla)

CR20A-2

Debido a los fragmentos de estuco encontrados en CR20A-1-2, se decidió trazar una unidad de 1 x 1 m en el área sur del saqueo. Este alcanzó 1.8 m de profundidad hasta llegar al nivel de piso que se registró al norte de éste, consistiendo en una capa gruesa de estuco que parece descansar sobre un segundo piso anterior, siendo el mismo registrado en el lote 4 de la unidad CR20A-1. Al perfilar la unidad en el perfil sur se localizó parte de una pared que aún conserva su estuco y parece ser el lado sur del umbral de un acceso a la superestructura (Figura 6.6a). El primer lote consistió en el humus en donde no se recolectó material, y el segundo consiste en escombros de los muros y techo de la superestructura de donde se recolectó material cerámico (53) y 8 fragmentos de estuco.

CR20A-3 y 4

Estas unidades se trazaron en la cara frontal de la fachada de la superestructura 13Q-4A, hacia el sur del acceso central del palacio y al norte del acceso localizado en las unidades 20A-1 y 20A-2. Su objetivo fue distinguir la arquitectura y estado de los muros, así como establecer el número de accesos. El muro alcanzó un metro de alto y fue construido de piedras trabajadas, por lo que se encontraron restos del estuco que cubrió la fachada, que se mantiene a lo largo la moldura del zócalo (Figura 6.6b).



Figura 6.6 a) Muro encontrado en la unidad CR20A-2 (izquierda)
 b) Fachada de la Superestructura 13Q-4A (derecha)
 (Fotografías por Liliana Padilla)

Se establecieron como dos unidades diferentes debido a la presencia de un árbol de Ramón que creció en lo que parece ser uno de los accesos hacia el interior de la superestructura. Ambas unidades mantuvieron el mismo patrón de lotes, el primero consistió en humus y el segundo en escombros provenientes de la parte superior del muro. Se recolectó material cerámico y pequeños fragmentos de estuco. La unidad 20A-3 alcanzó 2.6 m de norte a sur y 1 m de este a oeste y la unidad 20A-4 alcanzó 1.5 m de norte a sur y 1 m de este a oeste. Ambas llegaron a 1 m de profundidad máxima.

CR20A-5

La unidad se trazó con el fin de poder registrar la continuidad de la pared estucada de la unidad CR20A-2. El muro si continuó hacia el oeste por 1 x 1.5 m, con una profundidad máxima de 1.9 m desde la superficie. Debido a la naturaleza del suelo se decidió dejar la parte de la superficie, lo que es el humus y parte del relleno que se formó al colapsar la parte superior de la superestructura. Este colapso formó una mezcla dura y compacta de piedras y estuco.

A 10cm del margen este de la unidad se localizó una esquina en donde la pared cruza hacia el sur, y continúa estucada aunque deteriorada (Figura 6.7). Además se llegó al nivel de piso y el corte realizado por los saqueadores, donde se recuperó material cerámico escaso (9) y tres fragmentos de estuco, uno con restos de pintura de color rojo y dos con detalles modelados; las figuras consisten en fragmentos de bandas curvas y pequeñas aplicaciones de forma circular y algunas con un agujero al centro.

CR20A-6

Esta unidad permitió seguir la pared hacia el sur, por lo que midió 1.5 m de este a oeste y 2.6 m de norte a sur. La unidad se extendió paralela al muro que continúa dentro de una habitación de la superestructura, y se excavó siguiendo el nivel de piso hasta topar con una esquina interna. En este punto el muro dobla hacia el oeste, manteniendo restos de estuco y en algunos espacios pintura de color rojo. En algunas partes el piso se encontró bastante dañado por el colapso de piedras que desnivelaron el mismo.

El relleno que se encontró dentro de la habitación es bastante compacto, con excepción de los espacios en donde quedaron piedras acuñadas y formaron varios huecos dentro del espacio. El estuco de las paredes está bastante deteriorado, en algunos casos las raíces han logrado separarlo de las piedras y en otros el material de la parte superior lo cubrió compactándose, haciendo imposible distinguir la diferencia entre uno y otro. El material cerámico fue escaso (6) y los fragmentos de estuco de pequeñas dimensiones tuvieron restos de pintura de color rojo.

CR20A-7

Esta unidad se trazó paralela a la unidad CR20A-6, con el fin de encontrar la pared oeste que cierra la habitación y continuar a todo lo largo de la misma alcanzando el muro al sur de la unidad CR20A-6. La unidad tuvo 2.6 m de norte a sur y 1.5 m de este a oeste, y se continuó con el túnel teniendo 1.6 m de alto desde el nivel de piso hasta su parte superior, dejando una columna del material del relleno como soporte (Figura 6.8).



Figura 6.7 Muro estucado y esquina de la Estructura 13Q-4A
(Fotografía por Liliana Padilla)



Figura 6.8 Túnel de excavación dentro de la Estructura 13Q-4A
(unidades CR20A-5, 6, 7 y 8) (Fotografía por Liliana Padilla)

Con esta excavación se localizó el muro que cierra la habitación al oeste, alineado a la esquina noreste del muro de la unidad CR20A-5. También se registró una esquina que sobresale del muro por 40 cm, reduciendo la habitación a 1.8 m de ancho. Hacia el sur, el muro continuó sin topar con el muro este-oeste localizado en la unidad CR20A-6, y entre ambos muros se encontró un espacio de 60 cm de ancho, posiblemente permitiendo el paso a una habitación contigua. El material en general fue escaso y de pequeñas dimensiones, que incluye 16 fragmentos cerámicos cubiertos de estuco y 12 fragmentos de estuco.

CR20A-8

Se inició la excavación en el estrecho espacio formado por los muros al sur de la unidad CR20A- 7, y después de continuar por 0.9 m hacia el sur se localizó la esquina del muro este-oeste, dejando un pasadizo entre las dos habitaciones. Como el muro oeste continuó al sur, la unidad se excavó hasta encontrar una abertura realizada por saqueadores, alcanzando 2 m de norte a sur y 70 cm de este a oeste.

Se registró el nivel de piso de las unidades anteriores en las mismas condiciones, y el material cerámico fue abundante (166) en el lote 2 en donde el relleno estaba suelto. El muro se encontró cortado debido al saqueo, por lo que se pudo reconocer la arquitectura del mismo. El interior está conformado por piedras sin trabajar con formas amorfas, mientras las piedras de las caras del muro están cortadas con ángulos rectos permitiendo una superficie relativamente plana sobre la cual se colocaba el estuco.

CR20A-9

Esta unidad permitió seguir con el muro este-oeste al sur de las unidades CR20A-6 y 7, el cual continuó al este hasta llegar a un acceso de la superestructura 13Q-4A. La unidad alcanzó 2 m de este a oeste y 0.9 m de norte a sur. Los lotes consistieron en tres, siendo el primero la superficie y parte del relleno que se dejó como techo del túnel. Los siguientes están en el relleno y se marcaron al distinguirse un cambio en la densidad del mismo.

Al este de la unidad se alcanzó el umbral norte de un tercer acceso a la superestructura, por lo que en esta sección el túnel se hizo más estrecho y bajo (altura máxima de 1.4m) que en el resto de las unidades, ya que ésta se localiza justo debajo de un árbol de Ramón. El piso se encontró bastante dañado y los muros perdieron el estuco que les cubría; sin embargo las piedras se encontraron en su lugar y se ven bastante trabajadas y colocadas estratégicamente dentro de la arquitectura de las habitaciones.

CR20A-10

Esta unidad se encuentra localizada a 16m al sur del acceso principal al palacio (Figura 6.2) y su objetivo fue cuadrar y limpiar un saqueo en donde se localizaría una de las entradas a las habitaciones de la superestructura 13Q-4A. Por lo tanto se trazó de 6.2 m de este a oeste y de 3.1 m de norte a sur, alcanzando una profundidad máxima de 2 m.

La unidad se inició limpiando la superficie en donde se localizó el nivel de piso que inicia con una grada que parece ser el descanso de la escalinata, localizado durante la temporada 2009 en el área del acceso principal al palacio (Padilla 2010). A 3.4 m de distancia desde la grada se localizó una segunda grada que permite el acceso a la habitación y un nuevo nivel de piso. Esta grada consiste en piedras cortadas en forma rectangular, una sobre la otra y al frente una piedra de 20 x 30 cm de unos 5 cm de grosor, colocadas de canto con la cara frontal bastante lisa (Figura 6.9). El muro alcanzó un máximo de 1.25 m de alto del nivel de piso hasta donde se conserva desnivelado hacia el frente.

El lote 1 consistió en la liberación de un metro del perfil norte removiendo el escombros y los elementos naturales que se habían acumulado después del saqueo. Se localizó la parte inferior del umbral norte del acceso, llegando al nivel de piso de la parte interna de la habitación y del piso que se encuentra como descanso frente a la superestructura. El material cerámico consiste en 69 fragmentos, un fragmento lítico y un fragmento de estuco modelado.

En el lote 2 se amplió el perfil sur por un espacio de un metro, manteniendo el nivel de pisos interno y externo, y la parte inferior del muro que formó el lado sur del umbral. El material cerámico fue abundante (446), se recolectaron ocho fragmentos de hueso, cinco fragmentos de lítica y un fragmento de concha.

En esta unidad se pudo observar con claridad cómo eran los accesos a las habitaciones de la superestructura 13Q-4A, ya que se encontraron los muros que formaron el umbral y la grada de acceso. De igual forma se observó que la arquitectura con la que fue construido es pobre, ya que las piedras no se amarran entre si y carecen de mezcla o aglutinante. La entrada tiene 1.8 m de abertura, cada muro de 90 cm de ancho y la grada 20 cm de contrahuella (Figura 6.9). El piso se encuentra bastante bien conservado con excepción de la parte que alteraron los saqueadores, donde bien pudo existir algún panel con inscripciones.



Figura 6.9 Entrada de la Estructura 13Q-4A, excavada en la unidad CR20A-10
(Fotografía por Liliana Padilla)

CR20A-11

La unidad se trazó en la fachada de la superestructura 13Q-4A, en el punto donde topó la unidad CR20A-9, que corresponde al tercer acceso del edificio. La excavación alcanzó 2.6 m de norte a sur y 2.3 m de este a oeste, con una profundidad máxima de 2.6 m. Se localizó el umbral de la entrada y la grada de acceso al nivel de piso interno, que incluyen las piedras lisas de la grada y los arranques de los muros (Figura 6.10).

Esta sección no ha sido saqueada por lo que la esquina y grada estaban completos y conservados, sin embargo hay un árbol de Ramón de grandes dimensiones justo por encima de la entrada. La arquitectura es más clara y se observan con facilidad 10 diferentes niveles de pisos. Además se determinó que este umbral es más amplio que el de la unidad 20A-10, teniendo 2.2 m de ancho. Al pie de la grada se encontró un agujero en el piso, por lo que se cuadró y se bajó hasta alcanzar 1.5 m de profundidad dentro del relleno de color rojizo encontrado en los registros de la unidad CR20P-3. En la unidad se recuperaron cinco fragmentos de estuco modelado, siendo detalles que decoraron la parte superior del acceso en la fachada del palacio (Figura 6.11). Los fragmentos son de grandes dimensiones aún amarrados a las piedras que conformaron los muros, y en uno de los casos se trata de parte del umbral ya que forma parte de la esquina de la entrada.



Figura 6.10 Entrada de la Estructura 13Q-4A, excavada en la unidad CR20A-11
(Fotografía por Liliana Padilla)



Figura 6.11 Fragmentos de estuco modelado encontrados en la unidad CR 20A-11
(Fotografía por Liliana Padilla)

CR20A-12

La unidad se trazó en el lado interno de la superestructura 13Q-4A, a 5 m al sur del acceso principal. Su finalidad fue localizar un acceso que permitiera el paso de las habitaciones al corredor del patio central interno del palacio. Durante la excavación se localizó el lado externo del muro oeste y el nivel del piso Guacamaya, definido durante las excavaciones de 2009.

Adosado al muro se encontró un elemento arquitectónico que no se pudo reconocer. En su parte superior parece tratarse de una columna construida posterior a la construcción de muro. Las piedras trabajadas se encontraron colocadas de forma ordenada y con restos del estuco que les cubrió. A 70 cm de profundidad cambió el patrón para ser una especie de relleno de piedras amorfas y sin amarre.

Hacia el oeste, a 1.05 m de distancia del muro se localizó lo que parece ser parte de una banqueta o de otro muro paralelo. Tiene 1.1 m de alto por 2.5 m de largo y 0.84 m de ancho, debido a que sobresale del perfil del pozo. Se desconoce su dimensión o propósito en la arquitectura de la estructura.

Sub-operación CR20B

Se definió en la Estructura 13Q-4B, aunque en esta temporada solo se realizó una unidad de excavación.

CR20B-1

Esta unidad se trazó de acuerdo al espacio que comprende un saqueo ubicado hacia el sur de la superestructura 13Q-4B del palacio. El saqueo inició justo en el borde del basamento superior en la fachada, llegando hasta la parte interna de la habitación de dicha superestructura. En el perfil norte se pudo distinguir la parte norte del umbral de un acceso.

El lote 1 consistió en la limpieza del nivel de superficie en el interior de la trinchera, tratando de buscar el nivel de piso. Se recuperó material cerámico (20) y restos del piso que fue cortado por los saqueadores. La limpieza del perfil norte se inició con el lote 2, que consistió en la remoción de tierra y relleno en la parte interna de la habitación detrás del muro de la fachada, donde se recuperó algo de material cerámico (20). El lote 3 se definió en la parte frontal del mismo muro, con poco material cerámico (12). Finalmente, el lote 4 consistió en la limpieza del perfil sur, removiendo la tierra de la superficie y recolectándose poco material cerámico (16) y cuatro fragmentos de estuco (Figura 6.13).

Sub-operación CR20P

Esta sub-operación se inició en 2009 y se ubica en el patio interno del Palacio, atrás de las Estructuras 13Q-4A y 13Q-4B. Las unidades realizadas tuvieron como objetivo el estudio estratigráfico del palacio, mediante la identificación de pisos y subestructuras.

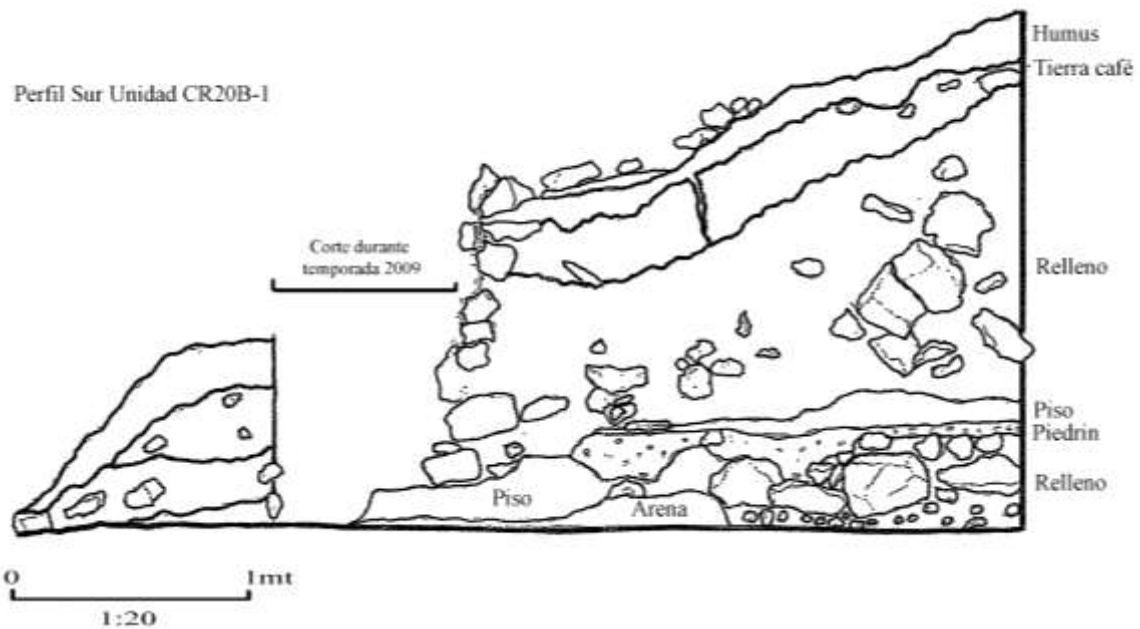


Figura 6.12 Perfil sur de la unidad CR20B-1
(Dibujo y calco por Liliana Padilla, 2010)

CR20P-2

Esta unidad de 2 x 2 m se inició durante la temporada 2009, y se colocó a 12 m al sur del centro del patio y del acceso central de la Estructura 13Q-4AB. La distancia de la Estructura 13Q-4A es de 4.35 m.

Durante la excavación de 2009 se localizó una banqueta en el perfil oeste del pozo, la que corresponde a la Estructura 14Q-4E, y se alcanzó el nivel del piso guacamaya. Haciendo un registro al norte del pozo se bajó el nivel de piso hasta registrar los pisos Tucán, Colibrí y Halcón. Se registraron 7 lotes y 8 niveles de 20cm cada uno. Durante la temporada 2010 se reabrió la unidad, ampliándola 0.5 m al este y bajando todo el nivel hasta encontrar el relleno del piso Halcón. De aquí, se continuó con la nomenclatura del año 2009 llegando hasta el lote 11 y el nivel 21. Por debajo del piso Halcón se localizó un relleno de piedras de diversas dimensiones mezcladas con tierra de color rojizo, que manchó las mismas. El relleno fue bastante compacto, con capas desordenadas de lo que parece ser una especie de mezcla de cal con pedrín.

En el perfil este del pozo, justo por debajo del piso Halcón, se registró lo que parece ser el escalón superior de una escalinata. Se continuó bajando el nivel en el resto de la unidad encontrando al final cinco escalones bastante altos que parecen formar parte de la superestructura 13Q-4A, en una fase más temprana que fue denominada “Lagarto” (Figura 6.13). Se localizaron las esquinas norte de las gradas que conforman la escalinata, justo en el perfil. Las gradas se encuentran estucadas y estaban pintadas de color rojo, son bastante anchas y altas alcanzando hasta 48 cm de alto (contrahuella) y 60 cm de ancho (huella). En el caso del cuarto escalón, de arriba hacia abajo, parece tratarse de una banqueta o terraza que continua hacia el norte y que se utilizó como una grada más, ya que no se pudo ubicar su esquina norte como los demás escalones. El relleno que cubre la escalinata es el mismo mencionado anteriormente, y se pudieron observar varias capas desordenadas de mezcla de cal con piedrín y tierra de color rojizo en varias secciones, amarrando las piedras de gran tamaño entre sí, con el fin de hacerlo más sólido.



Figura 6.12 Escalinata de la subestructura “Lagarto” encontrada bajo la Estructura 13Q-4^a (Fotografía por Liliana Padilla)

CR20P-3

Esta unidad se trazó con el fin de reconocer los diferentes rasgos que pudieron encontrarse en el patio o corredor interno entre las superestructuras 13Q-4A y 13Q-4E, además de seguir la escalinata encontrada en CR20P-2. Midió 1 m de norte a sur y 5.96 m de este a oeste, uniendo las unidades CR20A-8 y CR20P-2 por medio del saqueo.

La unidad se inició hacia el oeste, justo donde termina la unidad CR20P-2, buscando la huella de la primer grada de la escalinata. La huella tiene 50 cm de ancho y luego parece estar cortada, dejando expuesto el relleno de la estructura en un espacio de 1 x 0.54 m. El relleno consistió en piedras de diferentes dimensiones revueltas con tierra de color rojizo, sin orden aparente. Se hizo un registro bajando 50 cm en el nivel del relleno, descubriendo un muro de contención interno que lo hace más estable. El muro fue formado con piedras de tamaño medio colocadas en forma levemente en talud. Construido sobre este muro hay una pequeña banqueta que marca el límite de un piso que viene desde la superestructura 13Q-4A. Este piso, denominado “Chachalaca”, se encuentra por encima de los encontrados anteriormente en este corredor (Figura 6.15).



Figura 6.14 Excavación de la unidad CR20P-3 (Fotografía por Liliana Padilla)

En el área cerca del muro oeste de la superestructura 13Q-4A el piso se encontró quebrado, dejando expuesto el relleno que parece ser el mismo encontrado en el primer registro. Debido a lo pequeño del espacio y las dimensiones del registro, se bajó solamente un nivel, exponiendo piedras de tamaño medio y tierra rojiza. Por otro lado, los perfiles de esta unidad expusieron escombros provenientes de la parte superior de la superestructura 13Q-4A y los dejados por los saqueadores, además de restos del muro destruido.

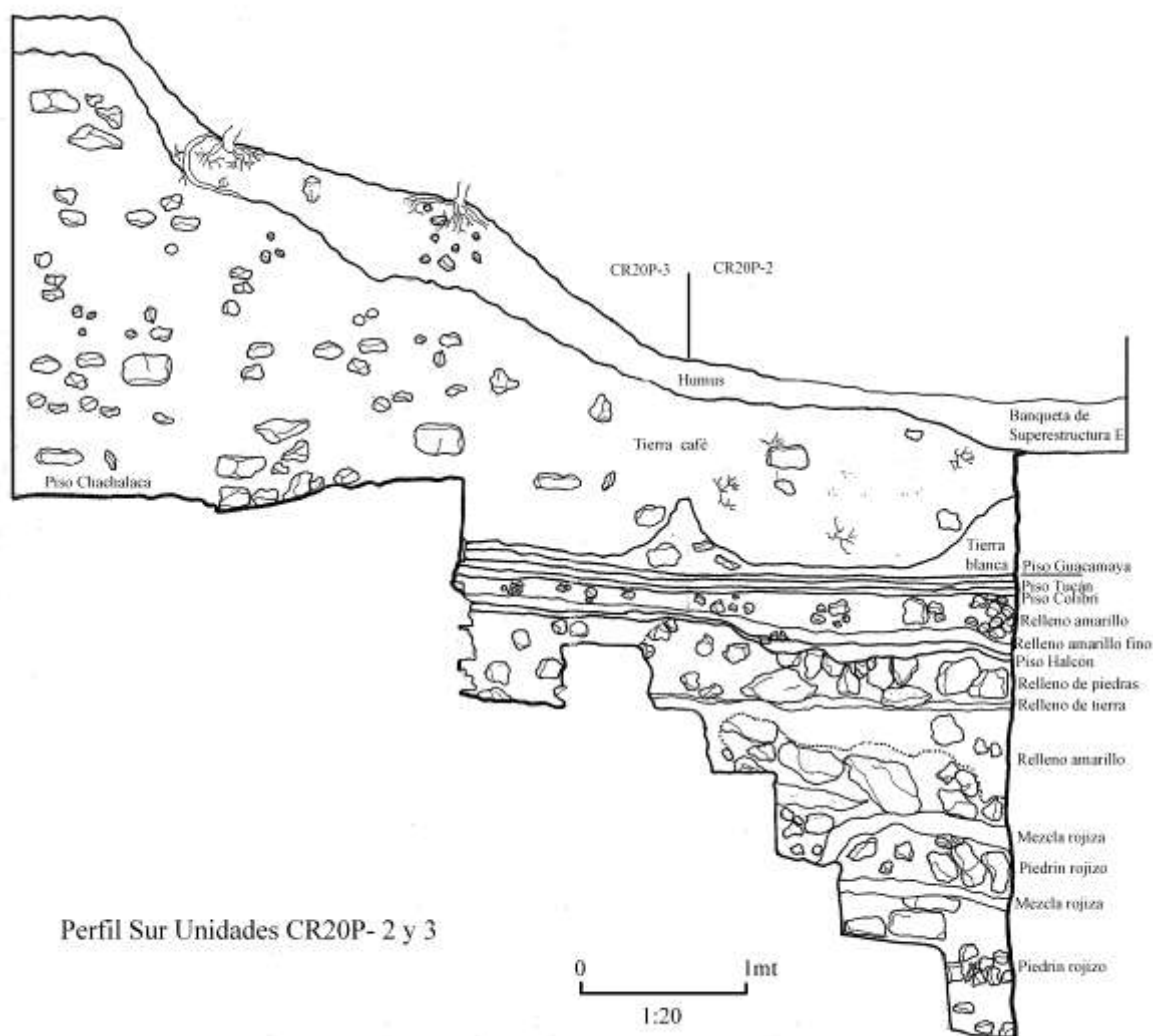


Figura 6.15 Perfil sur de las unidades CR20P-2 y CR20P-3
(Dibujo y calco por Liliana Padilla, 2010)

Conclusiones

Las excavaciones de la temporada 2010 permitieron reconocer con mayor precisión la arquitectura del palacio y parte de una etapa constructiva previa localizada por debajo del nivel del patio interior. Esta etapa está representada por la escalinata del basamento Lagarto, el cual posiblemente se relacione al basamento Escobo encontrado en 2009 por debajo de la escalinata central de la fachada.

El palacio consiste en un basamento de grandes dimensiones sobre el cual se construyeron las superestructuras. En su fachada principal ubicada en el lado este, se ha localizado una escalinata central que lleva hasta un descanso que parece haber estado a todo lo ancho de la parte superior del basamento. La escalinata conduce hacia un acceso principal que permite el paso hasta un patio o corredor interno principal, así como a las demás superestructuras y a otros patios. En la parte superior de esta fachada hay dos superestructuras alargadas, 13Q-4A y 13Q-4B, una a cada lado del acceso principal. Según la evidencia recabada, este acceso central tiene un ancho de 1.5 m y fue el único que permitía la comunicación directa entre el interior del palacio y el nivel de plaza.

Las excavaciones de 2010 han confirmado la existencia de cinco accesos en cada una de las dos superestructuras de la fachada este, las cuales permiten el paso hacia el interior de cuartos a lo largo de las mismas. De los cinco accesos, el central es de mayor dimensión que el resto, alcanzando 2.2 m de ancho mientras los demás tienen 1.8 m. Es probable que cada acceso diera paso a una cámara, y parecen que estuvieron comunicadas por estrechos pasadizos. Hasta el momento solo se tiene evidencia de un acceso desde las habitaciones hacia la parte interna del palacio, el cual se ubica en la parte central de la superestructura 13Q-4B. Los pasadizos entre las habitaciones y el acceso hacia la parte interna permitirían que los habitantes del palacio se movilizaran entre las habitaciones sin exponerse a la parte externa.

En su parte externa, las superestructuras se encontraban repelladas con estuco pintado de color rojo (al menos en secciones) y decoradas con estuco modelado. Entre los detalles de las decoraciones se reconocen figuras humanas, posiblemente animales, detalles

geométricos y lo que parecen ser fragmentos de glifos; como el glifo *Witz*, dada la presencia de detalles de puntos, círculos y curvas. En la parte posterior de la superestructura 13Q-4A se recolectaron algunos fragmentos de estuco modelado en las excavaciones realizadas al pie del muro, los cuales parecen haber formado parte de una cornisa.

Debajo del piso Halcón, entre las superestructuras 13Q-4A y 13Q-4E, se encontró una escalinata estucada que corresponde a una etapa constructiva más temprana. Esta etapa fue modificada y cubierta para ser utilizada como relleno para la remodelación del palacio y la construcción final de la superestructura 13Q-4E. No obstante, esta escalinata parece formar parte de un basamento propio de la superestructura 13Q-4A, por lo que puede tratarse de una sola estructura a la cual se le canceló su escalinata oeste. Asimismo, esto indicaría que la superestructura 13Q-4A mantuvo la misma fachada sin sufrir modificaciones arquitectónicas mayores a lo largo de un período extenso. Por el momento el basamento de 13Q-4A se ha denominado Lagarto, pero falta determinar si constituye el mismo edificio que constituyó la fachada este en la última etapa constructiva.

En lo que se refiere a los pisos registrados en el palacio, las excavaciones de 2009 y 2010 los han relacionado a diferentes etapas constructivas, remodelaciones y reapasonamientos aislados. Por ello se ha encontrado una serie de diferencias entre una unidad y la otra, y entre pisos internos y externos. Los pisos Guacamaya, Tucán, Colibrí y Halcón se han podido amarrar en el corredor del acceso principal y el patio interior ubicado al oeste de la superestructura 13Q-4A.

Por otro lado, se ha reconocido la presencia de por lo menos dos pisos dentro de las habitaciones de la Estructura 13Q-4A, los cuales se encuentran bastante dañados debido al colapso del techo y a su compactación con la mezcla de cal de las paredes y techo. De los dos nuevos pisos, el más tardío se denominó Chachalaca e inmediatamente abajo se definió el piso Pijuy. El piso que se encuentra por debajo de éstos parece ser Rascón, que se definió en 2009 como el mismo que conforma el descanso entre la escalinata y los accesos a las superestructuras de la fachada este.

Al parecer el palacio mantuvo la misma distribución espacial en lo que respecta a la ubicación de las superestructuras, durante las diferentes etapas constructivas. Hasta el momento no se ha podido relacionar con exactitud el nivel de plaza con el área interna del palacio, ya que las excavaciones alcanzaron 2.82 m por debajo del piso Guacamaya. En 2009 se registraron 5 m de diferencia entre el nivel del piso de plaza (Golondrina) y el Guacamaya, por lo que resta bastante en cuanto a excavaciones estratigráficas.

También se ha confirmado que la última etapa constructiva de la Estructura 13Q-4E fue posterior a la Estructura 13Q-4A, ya que la presencia de 13Q-4E limita el patio interno a un corredor que conduce hacia la superestructura 13Q-4C, ubicada al sur del palacio.

Finalmente, la arquitectura registrada en el palacio es bastante pobre, ya que las piedras utilizadas para su construcción no fueron totalmente trabajadas y no se utilizó ningún tipo de mezcla para amarrarlas y hacer los muros más sólidos. Sin embargo la decoración debe haber sido excepcional, ya que los pequeños detalles recolectados demuestran que el trabajo al modelar el estuco de la fachada se hizo con delicadeza y esfuerzo, además de la presencia de decoración en rojo y posiblemente otros colores.

OPERACIÓN CR32: EXCAVACIONES EN LA ESTRUCTURA 13Q-2

Antolín Velásquez López

Introducción

La Plaza Principal del sitio La Corona está integrada por cinco estructuras monumentales, al norte 13Q-5, al noreste 13Q-1, al este 13Q-2, al sur 13Q-3 y al oeste 13Q-4, formando una plaza cerrada donde se localizan varios monumentos esculpidos. La Estructura 13Q-2 es uno de los edificios más grandes y altos del sitio, con aproximadamente 53 m en eje norte/sur, 23 m en eje este/oeste y 10 m de altura, con la fachada principal orientada hacia el oeste (Figura 7.1). Por sus dimensiones y su ubicación, su función posiblemente fue de tipo ritual. En esta estructura se localizan dos trincheras de saqueo, la más grande es en forma de “L” comenzando de la esquina sureste y terminado en la parte central sur de la cima; y la otra se localiza en la esquina noroeste de la estructura.

Antecedentes

Con el objetivo de comprobar la existencia de la Escalinata Glífica 2, las investigaciones en la Estructura 13Q-2 comenzaron en la temporada 2008. Se abrieron dos excavaciones en la plataforma adosada en el lado oeste (Estructura 13Q-2A), definiendo las sub-operaciones 32A y 32B. Con estas excavaciones iniciales se pudieron apreciar los rasgos de las estructuras 13Q-2A y 13Q-6, que son estructuras alargadas, bajas y están de forma paralela, con orientación norte-sur, pudiendo haber formado un Juego de Pelota (Guenter 2008:106). En la temporada 2009 se realizó la Operación CR32 en la cima de la Estructura 13Q-2 con el objetivo de revelar la planta de la superestructura y proporcionar indicios sobre la función original de esta estructura. Los hallazgos indican que la superestructura de 13Q-2 parece consistir de un solo cuarto largo, con acceso probablemente por tres o quizá cinco puertas al oeste (*Ibid.* 98).

En la temporada 2010, con el objetivo principal de establecer la cronología y función de la Estructura 13Q-2, se realizó la documentación de la trinchera de saqueo sur y excavaciones en las sub-operaciones CR-32G en la parte norte y CR-32H en la parte central de la fachada principal de la superestructura (Figura 7.2).

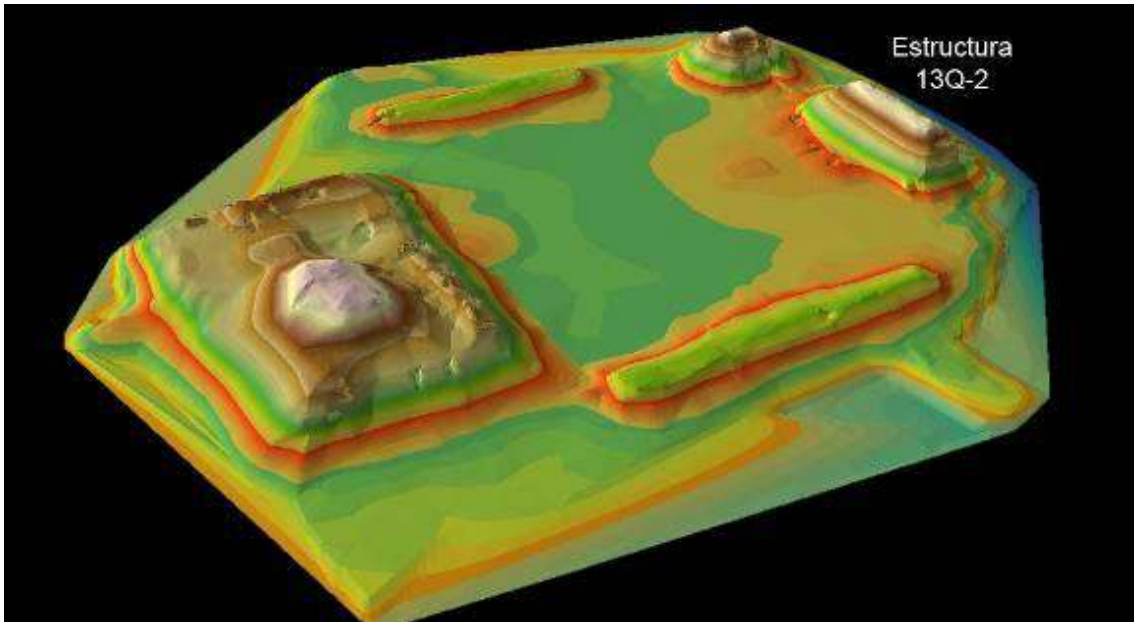


Figura 7.1. Plaza Principal, ubicando la Estructura 13Q-2
(Modelo tridimensional realizado por Marcello Canuto)

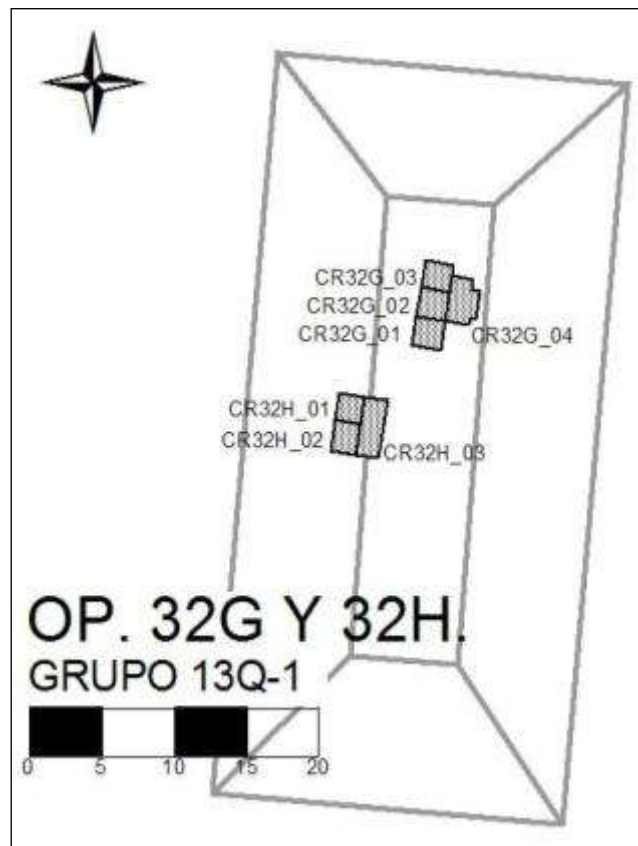


Figura 7.2 Mapa de las excavaciones realizadas en las suboperaciones CR32G y CR32H
(Mapa realizado por Rodrigo Guzmán)

Metodología de excavación

En las excavaciones intensivas y extensivas se utilizó el método estratigráfico natural, donde cualquier cambio en las características del suelo es importante y es indicativa de acción o de manipulación humana. Esto significa que los cambios en el color, consistencia, inclusiones, etc. entre cualquier lote dado en suelo significará la diferencia entre una acción humana y la otra. Estos cambios de suelo definen cada lote o la unidad más pequeña en la cual el expediente arqueológico puede ser dividido. Se registraron absolutamente todas las cualidades de cada contexto como el tamaño, grosor, elevación, color, composición en los cuadernos de campo, fichas de lote y seguido del resto de los procedimientos de grabación como dibujos de plantas y perfiles y fotografías digitales.

Documentación de la Trinchera de Saqueo Sur

La documentación y registro de la trinchera de saqueo ubicada el sur de la Estructura 13Q-2 fue realizada con los objetivos siguientes:

1. Definir rasgos arquitectónicos de la Estructura 13Q-2
2. Establecer las técnicas constructivas en la Estructura 13Q-2
3. Buscar evidencia de subestructuras

Descripción de la excavación

Se excavó el relleno expuesto por los saqueadores, y se limpiaron y dibujaron los perfiles de la trinchera, la cual tiene aproximadamente 8 m de largo en eje norte/sur, 3 m de ancho en eje este/oeste, y 2.50 m de altura. Esta trinchera de saqueo tuvo forma de “L” e inicia en la esquina sureste haciendo una curva hasta la parte central-sur de la cima de la estructura, penetrando el colapso de la parte superior de la estructura y su relleno constructivo. Se utilizó la siguiente nomenclatura: CR = La Corona, seguido por LS para la Trinchera de Saqueo Sur y 1 para el número de lote.

Descripción estratigráfica y lotes

Se inició con la limpieza de la vegetación y la remoción del relleno de los saqueadores (CR LS-1), que incluyó pedrín de varios tamaños y de forma irregular, así como algunos bloques mezclados con tierra blanca, tierra café claro y tierra negra de

textura arenosa y de consistencia suelta. Este estrato se observó en toda el área de la trinchera y no se siguió excavando al notar que el relleno estaba duro y compacto. Por lo tanto, este saqueo no mostró ningún rasgo arquitectónico importante más que un relleno de una fase constructiva anterior de la estructura y no se extrajo ningún tipo de material arqueológico.

Suboperación CR 32G

La excavación de esa suboperación tuvo los siguientes objetivos:

1. Conocer los rasgos arquitectónicos de la Superestructura 13Q-2
2. Establecer las dimensiones arquitectónicas de la Superestructura 13Q-2
3. Establecer la cronología para 13Q-2

Unidad CR 32G-1

La unidad de excavación CR 32G-1 corresponde un pozo de 2 m en eje norte/sur y 2 m en eje este/oeste, y se colocó en la parte norte de la cima de la estructura 13Q-2. En su excavación se usó la técnica de excavación de estratigrafía natural.

El lote 1 (CR 32G-1-1), correspondió al depósito natural de materia orgánica (humus) compuesta por una capa de tierra de color negra y restos orgánicos como hojas y raíces de árboles, caracoles y pequeños insectos; de textura arenosa, consistencia suelta y suave para la excavación. Este estrato se localizó a una profundidad del *datum* de 0.40 m en el lado oeste y 0.14 m en el lado este, con un grosor entre 0.08 m y 0.10 m. Se localizó en toda el área de la unidad, y de este lote no se extrajo material cerámico y lítico. Inmediatamente abajo del humus se definió el lote 2 (CR 32G-1-2), formado por tierra color café clara y piedras de caliza de diferentes tamaños y formas. Las piedras forman un 30 % del lote y la tierra fue de consistencia arenosa y de textura floja, posiblemente como resultado de la erosión de la estructura. Este lote tuvo una profundidad del *datum* de 0.14 m en el lado este, 0.14 m en el lado oeste, y presentó un grosor de 0.20 m en el lado oeste y 0.12 m en el lado este, observándose en toda el área de excavación. Se extrajo únicamente tres tiestos cerámicos. El lote 3 (CR 32G-1-3) fue determinado por un muro construido con bloques de piedra caliza cortadas de diferentes dimensiones, puestas en cursos regulares de oeste a este. Dado que los bloques están bastante erosionados, podría evidenciar la presencia de materiales reciclados y

construcciones rápidas. Además los bloques fueron recubiertos con estuco, ya que en algunas partes de este muro todavía se observan los fragmentos de una capa de estuco de color blanco de aproximadamente 1 cm de grosor. El muro se localizó en el lado este de la excavación, dispuesto de norte a sur en toda la unidad (Figura 7.3). El muro se localizó a una profundidad del *datum* de 0.30 m.



Figura 7.3. Foto tomada del norte donde se muestra el muro que delimita la parte este del recinto de la superestructura de 13Q-2 (CR 32G-1-3). (Foto por Antolín Velásquez)

En la parte oeste de la excavación (fuera del muro) y a una profundidad de 0.70 m en el lado oeste y 0.40 m en el lado este se definió el lote 4 (CR 32G-1-4). Se excavó dentro de un estrato de tierra color blanco de consistencia arenosa y de textura floja, mezclada con piedrín en un 40%. También se encontraron piedras planas y largas de aproximadamente 0.50 m de largo x 0.30 m de ancho y 0.30 m de grosor, las cuales seguramente se utilizaron originalmente para la construcción de un techo de piedra para la cámara de la superestructura. Por lo tanto este lote parece ser el colapso de la estructura, y tuvo un grosor en la parte oeste de 1 m y 0.10 m en la parte este. Se extrajeron nueve tiestos cerámicos.

El lote 5 (CR 32G-1-5) se localizó en la parte central de la excavación y está formado por el fragmento de un piso de estuco, de superficie plana y lisa colocado deliberadamente como la superficie más baja de un cuarto. El piso presentó 4 cm de grosor, tuvo una consistencia dura y compacta, y se localizó a una profundidad del *datum* de 1.72 m. En resumen, en esta excavación se estableció una fase constructiva determinada por un piso de estuco (lote 5) que sirvió de base a un recinto delimitado al este por un muro que va de norte a sur (lote 3). Estos rasgos fueron cubiertos por el colapso del techo (lote 4), la erosión de la estructura (lote 2) y la capa de restos orgánicos (lote 1).

Unidad CR 32G-2

Corresponde a un pozo de 2 m en eje norte/sur y 2 m en eje este/oeste, ubicado en el extremo norte de la cima de la Estructura 13Q-2, inmediatamente al lado norte de la unidad CR 32G-1. Fue excavada mediante la técnica de excavación de estratigrafía natural. Como en el caso de la unidad 32G-1, el lote 1 (CR 32G-2-1) correspondió al humus tierra de color negro, localizándose a una profundidad del *datum* de 0.40 m en el lado oeste, 0.12 m en el lado este, y con un grosor entre 0.08 m y 0.10 m en toda el área de la unidad. Se extrajeron 50 tiestos cerámicos. Inmediatamente debajo se definió el lote 2 (CR 32G-2-2), formado por tierra color café clara suelta y suave, con un 35% de piedras de caliza de diferentes tamaños y formas. Este estrato que puede ser el resultado de la erosión de la estructura se localizó a una profundidad del *datum* de 0.12 m en el lado este y 0.40 m en el lado oeste, y un grosor de 0.20 m en el lado oeste y 0.12 m en el lado este en toda el área de excavación. De este lote no se extrajo ningún material arqueológico. Al remover este contexto se localizó el lote 3 (CR 32G-2-3), determinado por la cara oeste interior del muro que delimita la superestructura en el lado este, y que ya se había ubicado en CR 32G-1. El muro se localizó en el lado este de la excavación, dispuesto de norte a sur mostrando, con una altura de 0.60 m y una longitud de 1.20 m hacia el norte. Su profundidad desde el *datum* fue de 0.74 m.

Al igual que en CR 32G-1 en la parte oeste de la excavación se definió el lote 4 (CR 32G-2-4) a una profundidad de 0.70 m en el lado oeste y 0.40 m en el lado este. Corresponde a la tierra color blanco mezclada con piedrín y piedras planas y largas que colapsaron del techo. De este lote se extrajeron 33 tiestos cerámicos.

El lote 5 (CR 32G-2-5) se localizó en la parte central de la excavación, a una profundidad del *datum* de 1.72 m y consiste en fragmentos de piso estucado, de superficie plana, lisa, dura y compacta, que mide 4 cm de grosor. En la parte norte de la excavación, a una profundidad de 1 m se localizó el lote 6 (CR 32G-2-6), constituido por un muro de bloques de piedra caliza cortadas, erosionadas y de diferentes dimensiones, puestas en cursos regulares de 0.90 m norte a sur. Este muro es el que delimita la superestructura en el lado norte (Figura 7.4). La cara interna sur de este muro mide 0.50 m este/oeste y fue recubierto con estuco, ya que en algunas partes se observaron fragmentos de un estuco color blanco de 1 cm de grosor. Este muro también pudo delimitar un posible acceso por el lado norte, ya que este muro no continúa hacia el oeste de la excavación.

En esta excavación se establecieron los siguientes rasgos de esta fase constructiva: un piso de estuco en el lote 5, el muro este en el lote 3 y el muro que delimita la parte norte del recinto. Todos estuvieron, cubiertos por el colapso en el lote 4, la erosión de la estructura en el lote 2 y la capa de restos orgánicos en el lote 1.



Figura 7.4. Foto tomada del sur donde se muestra el muro que delimita la parte norte del recinto de la superestructura de 13Q-2, lote CR 32G-2-6). (Foto por Antolín Velásquez)

Unidad CR 32G-3

La unidad de excavación CR 32G-3 corresponde de un pozo de 2 m en eje norte/sur y 2 m en eje este/oeste, el cual se colocó en la parte norte de la cima de la estructura 13Q-2, inmediatamente al lado sur de la unidad CR 32G-1. Se excavó mediante estratigrafía natural.

Como en el caso de CR 32G-1, los lotes establecidos son los mismos. El lote 1 (CR 32G-3-1) correspondió al humus, ubicado a una profundidad del *datum* de 0.40 m en el lado oeste, 0.12 m en el lado este y un grosor entre 0.08 m y 0.10 m en toda el área de la unidad. No se extrajo material cerámico y lítico. El lote 2 (CR 32G-3-2) está formado por la tierra color café clara suelta y suave con piedras, y se localiza a una profundidad del *datum* de 0.70 m en el lado este, 0.30 m en el lado oeste, y un grosor de 0.20 m en el lado oeste y 0.10 m en el lado este, en toda el área de excavación. Al remover este contexto se localizó el lote 3 (CR 32G-3-3), determinado por el muro este de la superestructura, ya mencionado en CR 32G-1 y CR 32G-2. El muro está dispuesto de norte a sur, mostrando los 0.60 m de la cara oeste interior y extendiéndose por toda la excavación a una profundidad del *datum* de 0.40 m.

En la parte oeste de la excavación, a una profundidad de 0.60 m en el lado oeste y 0.30 m en el lado este, se encontró el lote 4 (CR 32G-3-4), consistente en tierra color blanco mezclada con piedrín, siempre con piedras planas y largas. El lote 5 (CR 32G-3-5), se localizó en la parte sur de la excavación, a una profundidad del *datum* de 1.72 m. Al igual que las unidades anteriores, consistió de fragmentos de piso estucado, de superficie plana, dura y compacta, con 4 cm de grosor.

En resumen, esta excavación continuó descubriendo la fase constructiva determinada por el piso de estuco (lote 5) que sirvió de base a un recinto delimitado al este por un muro que va de norte a sur (lote 3). Estos rasgos fueron cubiertos por el colapso del techo y los muros (lote 4) y la erosión de la estructura (lote 2), así como la capa de humus (lote 1) (Figura 7.5).

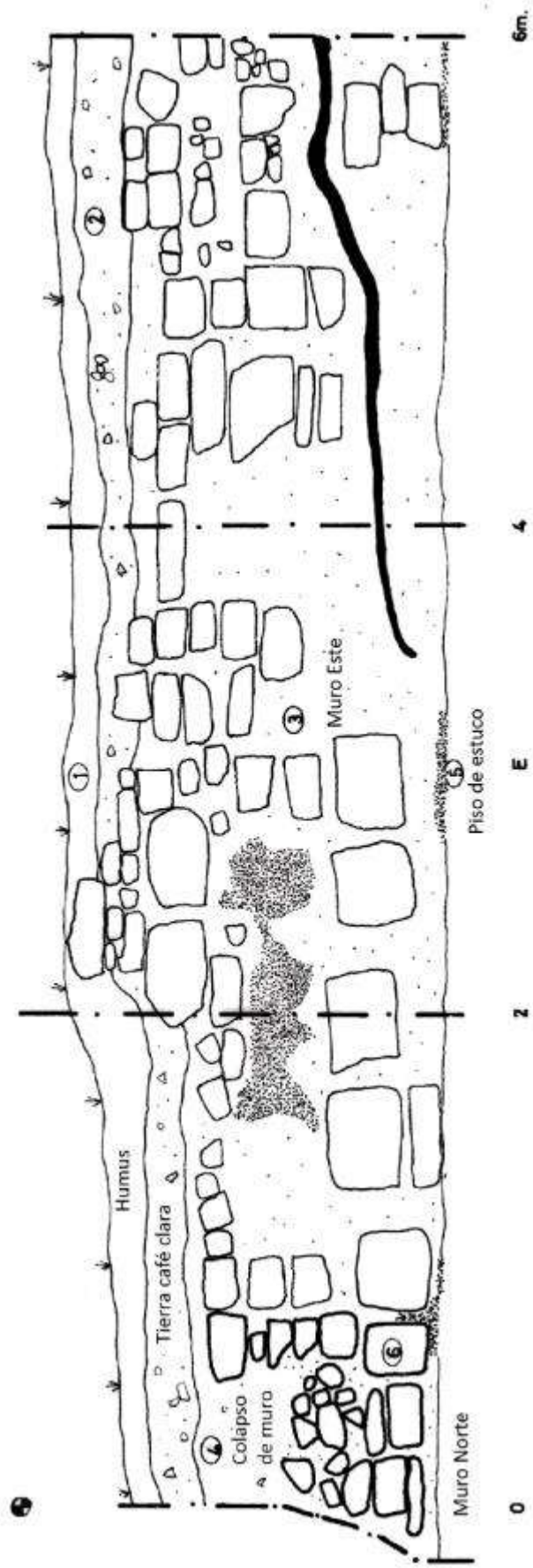


Figura 7.5. Perfil Este de las unidades CR 32G-1, CR 32G-2 y CR 32G-3, donde se observa el muro que delimita el recinto en el lado este de la superestructura. (Dibujo y calco por Antolín Velásquez)

Corresponde a un pozo de 2 m en eje norte/sur y 2 m en eje este/oeste, colocado en la parte norte de la cima de la Estructura 13Q-2, inmediatamente a lado este de la unidad CR 32G-1.

El lote 1 (CR 32G-4-1) correspondió a la capa de humus, localizándose a una profundidad del *datum* de 0.16 m en el lado oeste y 0.80 m en el lado este, con un grosor de 0.10 m en toda el área de la unidad. De este lote no se extrajo material cerámico y lítico. El lote 2 (CR 32G-1-2) se definió nuevamente por la tierra color café clara con piedras de caliza de diferentes tamaños y formas, a una profundidad del *datum* de 0.14 m en el lado este y 0.14 m en el lado oeste, con un grosor de 0.20 m en el lado oeste y 0.12 m en el lado este. Se extrajo catorce tuestos cerámicos y un fragmento de obsidiana.

El lote 3 (CR 32G-1-3) también fue determinado por el muro este de la superestructura (Figura 7.6), cuya cara este muestra que fue recubierta con una capa de estuco color blanco de 1 cm de grosor. El muro cubrió todo el lado este de la excavación, en dirección norte a sur y a una profundidad del *datum* de 1.20 m. En el lado oeste de la excavación se estableció el lote 4 (CR 32G-4-4), consistente en tierra blanca con piedrín, a una profundidad del *datum* de 0.38 m en el lado este y 1 m en el lado oeste, con un grosor de 0.74 m en el lado oeste y 0.50 m en el lado este. El lote 5 (CR 32G-4-5) se ubicó en la parte central de la excavación, en la forma de un fragmento de piso de estuco, que representa la superficie más baja de la estructura. Tuvo 4 cm de grosor y fue encontrado a una profundidad de *datum* de 1.66 m.

En esta excavación se estableció una fase constructiva determinada por el piso de estuco del lote 5, que sirvió de base exterior del recinto. Como en las unidades anteriores, los cuatro lotes restantes corresponde al colapso de la estructura (lote 4) y los procesos de erosión de la estructura (lotes 1 y 2) (Figura 7.7).



Figura 7.6. Foto tomada del norte donde se muestra el muro este con su relleno interior.
(Foto por Antolín Velásquez)

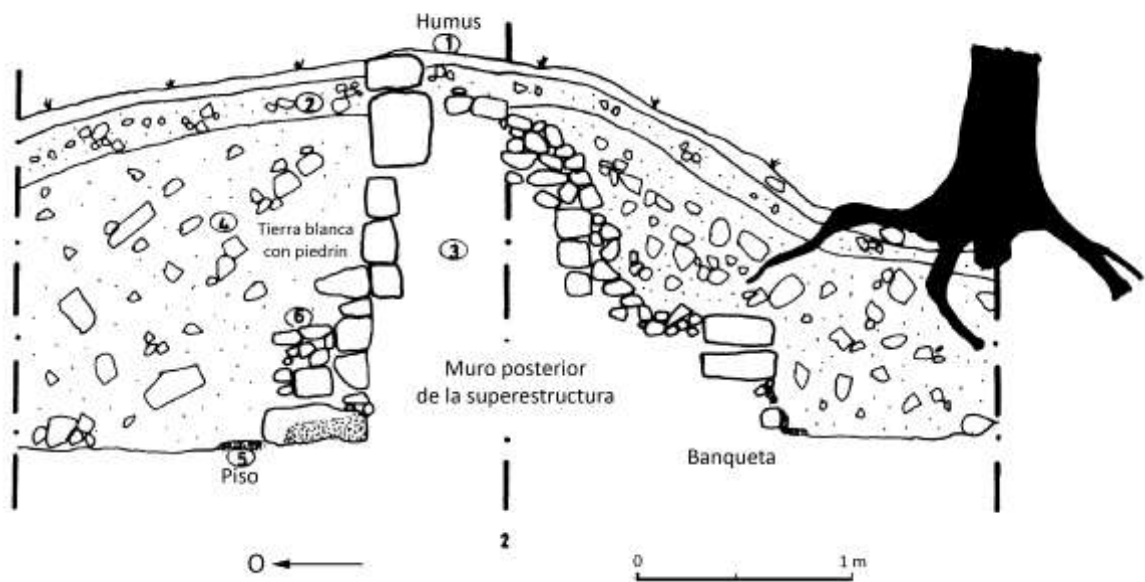


Figura 7.7. Perfil Norte de CR 32G-1 y CR 32G-4 donde se observan los lotes establecidos en esta excavación. (Dibujo y calco por Antolín Velásquez)

Unidades CR 32G-4A y CR 32G-4B

Las unidades de excavación CR 32G-4A y CR 32G-4B corresponden a unidades de 0.50 m en eje norte/sur y 2 m en eje este/oeste, colocadas en la parte norte de la cima de la Estructura 13Q-2, inmediatamente a lado norte y sur de la unidad CR 32G-4, respectivamente.

La descripción de los lotes es válida para ambas unidades CR 32G-4A y CR 32G-4B, donde el lote 1 correspondió a la capa de humus, localizándose a una altura del *datum* de 0.16 m en el lado oeste y 0.80 m en el lado este, con un grosor de 0.10 m en toda el área de la unidad. De este lote no se extrajo material cerámico y lítico. El lote 2, formado por tierra color café clara y piedras de diferentes tamaños y formas, se encontró a una profundidad del *datum* de 0.20 m en el lado este y 0.80 m en el lado oeste, con un grosor de 0.10 m en toda el área de excavación. El lote 3 incluye la otra parte del muro este localizado en CR 32G-4 el cual se dispone de norte a sur y a una profundidad del *datum* de 1.20 m (Figura 7.8). El lote 4 correspondió a la tierra blanca con piedrín, localizándose a una profundidad del *datum* de 0.38 m en el lado este y 1 m en el lado oeste, presentando un grosor de 0.70 m en el lado oeste y 0.50 m en el lado este. De CR 32G-4B-4 se extrajeron siete tiestos cerámicos, mientras CR 32G-4A-4 no extrajo material arqueológico. Finalmente, el lote 5 consistió en los pequeños fragmentos del piso de estuco localizados en CR 32G-4, ubicados a una profundidad de 1.66 m.

Interpretación general de la sub-operación CR32G

Las excavaciones realizadas en el lado norte de la cima de la Estructura 13Q-2; CR 32G-1, CR 32G-2, CR 32G-3, CR 32G-4, CR 32G-4A y CR 32G-4B han brindado interesantes datos que comprueban la existencia de una superestructura. Este edificio corresponde a la última fase constructiva, tal como lo establecen los fragmentos de un piso de estuco (lote 5) que sirvió como base de la superestructura. Esta estructura fue delimitada al este por un muro que corre de norte a sur (lote 3), construido con bloques de diferentes tamaños. El muro se logró exponer por 5.20 m de largo, presentando 1.70 m de ancho y 1.30 de alto en la parte oeste y 0.45 m en la parte este, ya que presenta una banqueta de ese lado (ver Figura 7.7).

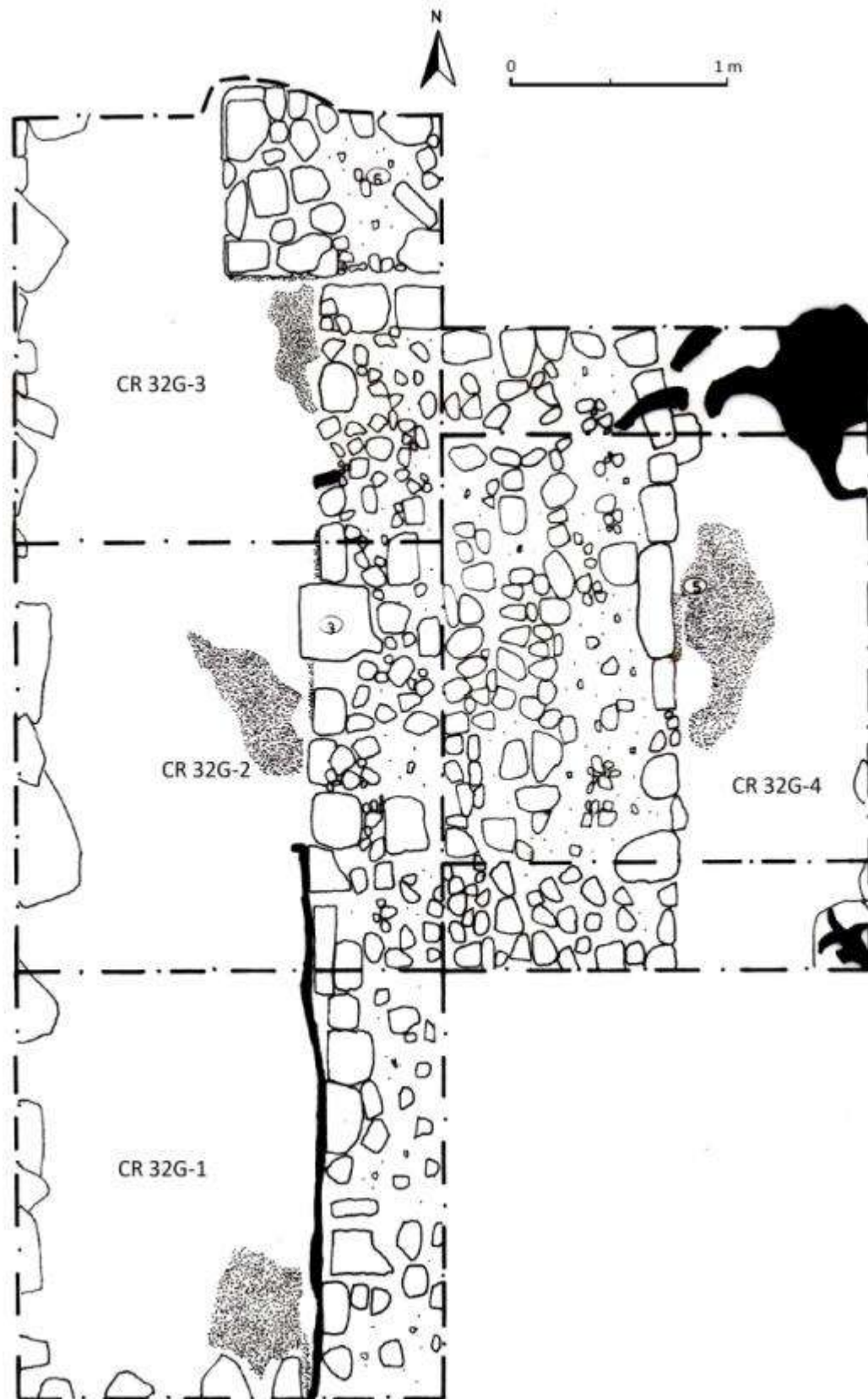


Figura 7.8. Planta de las excavaciones de CR 32G-1, CR 32G-2, CR 32G-3, CR 32G-4 CR 32G-4A y CR 32G-4B, donde se observan los rasgos arquitectónicos asociados al muro este de la superestructura de 13Q-2. (Dibujo y calco por Antolín Velásquez)

Con la evidencia recabada, se puede proponer que un muro de estas dimensiones sostuvo: 1) un techo de piedra que estuvo construido por las piedras alargadas tipo lajas encontradas en el Lote 4; o 2) algún tipo de crestería que se desplomó hacia el lado este (parte trasera de la estructura), arrancando una parte del muro. Esto lo sugiere el hecho que la parte más alta y mejor conservada del muro está en la parte oeste, mientras que la parte este es la más baja, donde se observan piedras de gran tamaño que forman una especie de banqueta en esta parte posterior de la estructura.

Al norte, la superestructura estuvo delimitada por un muro lateral norte que corre de este a oeste (lote 6) por 0.90 m. Este muro también fue construido con bloques de diferentes dimensiones, y se observó claramente que no continúa hacia el oeste. Por lo tanto parece delimitar un acceso por el lado norte justamente enfrente donde se localiza la cara sur de la Estructura 13Q-1.

Los bloques con que fueron construidos los muros de la superestructura fueron recubiertos con una capa de estuco de color blanco de 1 cm de grueso. Las diferentes dimensiones de los bloques encontrados en los muros y los delgados pisos de estuco pueden evidenciar la presencia de materiales reciclados y construcciones rápidas para esta última fase constructiva. Finalmente, aunque las excavaciones no alcanzaron a determinar las dimensiones exactas del recinto interior, si fue posible evaluar el tamaño de la arquitectura expuesta. Si se toma en cuenta esto, combinado con la excepcional ubicación de esta estructura, es posible pensar que esta fuera la construcción ritual más grande de la Plaza Principal y de todo el sitio.

Suboperación CR 32H

La excavación de la suboperación CR32H fue realizada en base a los objetivos siguientes:

1. Establecer la existencia de una escalinata jeroglífica o la escalinata central que permitiera el acceso a la superestructura.
2. Establecer las dimensiones de la escalinata frontal de la Estructura 13Q-2.
3. Establecer la cronología de la Estructura 13Q-2.

Unidad CR 32H-1

Corresponde a una unidad de 2 m en eje norte/sur y 2 m en eje este/oeste, colocada en la parte central de la fachada principal (Este) de la Estructura 13Q-2. Se trabajó con la técnica de excavación de estratigrafía natural, utilizando la siguiente nomenclatura, CR = La Corona, seguido por 32 para la operación arqueológica, H para la suboperación, 1 para el número de unidad, y 1 para número de lote.

El lote 1 (CR 32H-1-1) correspondió el depósito natural de materia orgánica (humus), que está compuesta por tierra de color negro y restos orgánicos como hojas y raíces de árboles, caracoles y pequeños insectos; es de textura arenosa, consistencia suelta y bastante suave para la excavación. Se localizó a una profundidad del *datum* de 0.00 m en el lado oeste y 0.90 m en el lado este, con un grosor aproximado de 0.10 m en toda el área de la unidad. De este lote se extrajeron nueve tiestos cerámicos y el material lítico se limitó a dos piedras trabajadas.

El lote 2 (CR 32H-1-2) fue formado por tierra color café clara con piedras de caliza de diferentes tamaños y formas, de textura arenosa y de consistencia suelta y suave. Por sus características, este lote puede ser la erosión de la estructura. Se localizó a una profundidad del *datum* de 0.10 m en el lado oeste y 1 m en el lado este, presentando un grosor de 10 cm en toda el área de excavación. De este lote se extrajeron únicamente tres tiestos cerámicos.

El lote 3 (CR 32H-1-3) fue formado por un alineamiento de bloques de caliza de varios tamaños que forman dos escalones, los cuales se encontraron dentro de una matriz de tierra café clara, de textura arenosa y de consistencia suelta y suave. El primer escalón se localizó en la parte este de la excavación, a la profundidad de 0.74 m y mide 1 m en eje este/oeste (ancho) y 0.40 m de alto. El segundo se encontró en la parte central de la excavación a 1.20 m de profundidad, midiendo 0.70 m en eje este/oeste (ancho) y se levantó únicamente 0.20 m del nivel de la excavación (Figura 7.9).

De esta excavación se estableció una fase constructiva determinada por la escalinata del Lote 3, cubierta por la erosión de la estructura (lote 2) y una capa restos orgánicos (lote 1) (Figura 7.10).



Figura 7.9. Foto tomada del oeste donde se muestra la escalinata en su última fase constructiva que de acceso a la superestructura el lote 3 (CR 32H-1-3). (Foto por Antolín Velásquez)

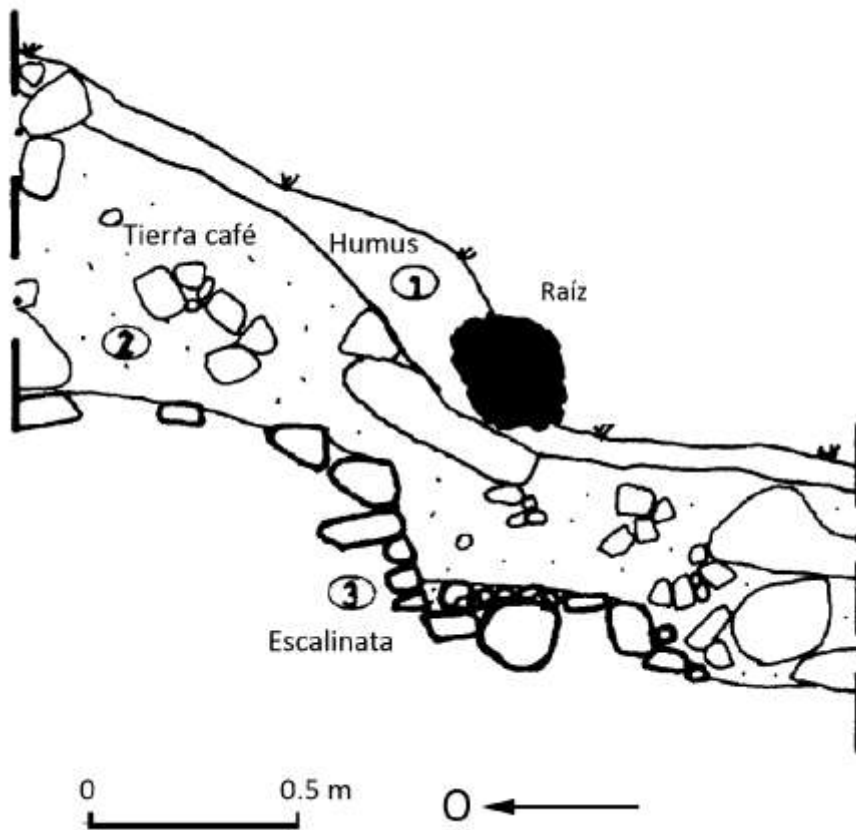


Figura 7.10. Perfil Sur de CR 32H-1 donde se observan los lotes establecidos en esta excavación. (Dibujo y calco por Antolín Velásquez)

Unidad CR 32H-2

La unidad de excavación CR 32H-2 corresponde a un pozo de 2 m en eje norte/sur por 2 m en eje este/oeste, colocado en la parte central de la fachada principal (este) de la Estructura 13Q-2, precisamente al norte de CR 32H-1.

El lote 1 (CR 32H-2-1) correspondió al depósito natural de materia orgánica (humus), a una profundidad del *datum* de 0.00 m en el lado oeste y 0.70 m en el lado este, con un grosor aproximado de 10 cm en toda el área de la unidad. El lote 2 (CR 32H-2-2) consistió de la tierra color café clara con piedras de caliza de diferentes tamaños y formas, y se localizó a una profundidad del *datum* de 0.80 m en el lado este y 0.40 m en el lado oeste, presentando un grosor aproximado de 0.20 m en toda el área de excavación. De este lote se extrajeron ciento tres tiestos cerámicos.

El lote 3 (CR 32H-2-3) estuvo formado por piedras y bloques cortados de caliza de diferentes tamaños y formas, dentro una matriz de tierra café clara, de textura arenosa y de consistencia suelta y suave. Sin embargo no fue posible comprobar la presencia los escalones ubicados en CR 32H-1-3. Este lote se situó a una profundidad de 0.30 m en el lado este y 1 m al lado oeste, con un grosor aproximado de 0.50 m.

El lote 4 (CR 32H-2-4) estuvo compuesto por un relleno de piedrín mezclado con poca tierra de color café oscura, textura arenosa y consistencia dura y compacta. De este lote se extrajeron 64 tiestos cerámicos, presentando un grosor máximo de 0.54 m. Debajo de este relleno, se definió el lote 5 (CR 32H-2-5), correspondiente a seis gradas de mampostería de bloques rectangulares y cubiertos por una capa de estuco muy fino, sólido y compacto, orientadas de norte a sur. Estas gradas dan acceso a la parte alta de una sub estructura que no se pudo exponer. Las dimensiones de estos escalones son 0.20 m de ancho (huella) y 0.20 m de alto (contra-huella). La sexta grada se localiza a 1.80 m de profundidad (Figura 7.11).

De esta excavación se estableció una penúltima fase constructiva determinada por la escalinata del lote 5, la cual fue cubierta por un relleno constructivo (lote 4) y que sirvió de soporte y nivelación para la colocación de la última fase constructiva asociada al lote 3. Todo esto fue cubierto por la erosión de la estructura (lote 2) y más recientemente por la capa de humus (Figura 7.12).



Figura 7.11. Foto tomada del oeste donde se muestra la escalinata en su penúltima fase constructiva lote 5 (CR 32H-2-5). (Foto por Antolín Velásquez)

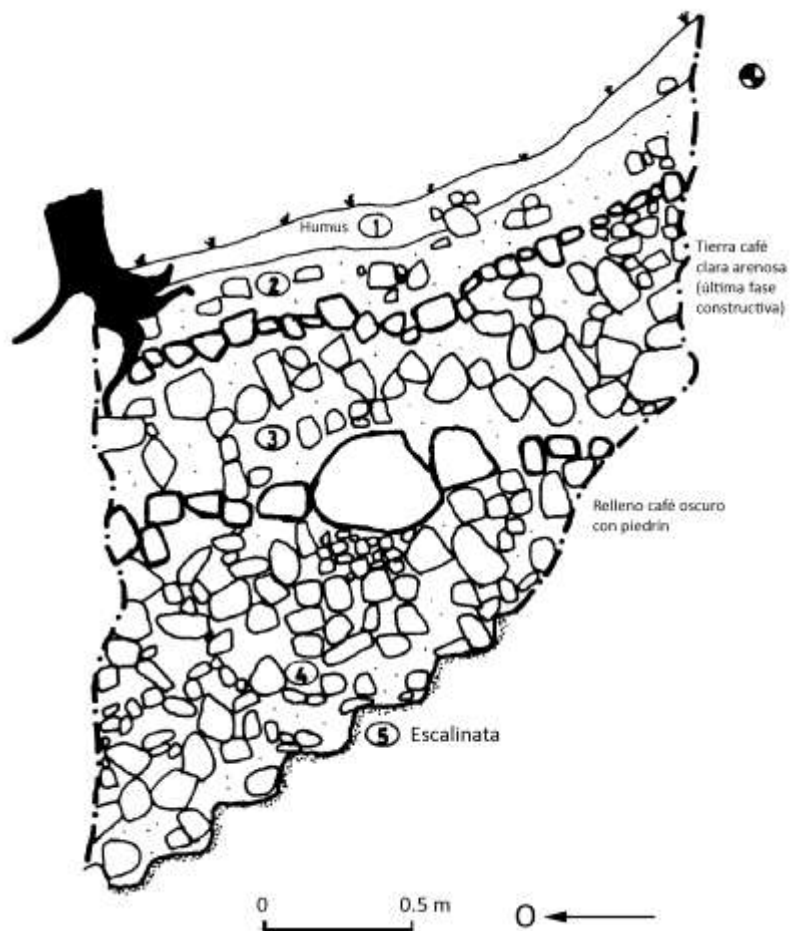


Figura 7.12. Perfil Norte de CR 32H-2 donde se observan los lotes establecidos en esta excavación. (Dibujo y calco por Antolín Velásquez)

Unidad CR 32H-3

Corresponde a un pozo de 2 m en eje norte/sur y 2 m en eje este/oeste, colocado en el centro de la fachada principal de la Estructura 13Q-2, al parte este de CR 32H-2. El lote 1 (CR 32H-3-1), correspondió al humus, localizándose a una profundidad del datum a 1.40 m en el lado oeste y 0.54 m en el lado este, con un grosor aproximadamente de 0.10 m. El lote 2 (CR 32H-3-2) fue nuevamente la tierra color café clara con piedras de caliza de diferentes tamaños y formas, a una profundidad del datum de 1.50 m en el lado oeste y 0.60 m en el lado este, con un grosor de 0.06 m en el lado oeste y 0.80 m en el lado este en toda el área de excavación. De este lote se extrajo únicamente cuatro tiestos cerámicos. En la esquina noroeste se localizó un fragmento de un piso estucado de superficie burda y muy erosionado, al cual se le denominó lote 3 (CR 32H-3-3). El lote cubrió un área de 0.40 x 0.10 m, a una profundidad de 1.46 m, y el piso presentó un grosor de 4 cm. El lote 4 (CR 32H-3-4), consistió de en una mezcla de tierra color café clara y pedrín de caliza, de textura arenosa y consistencia dura y compacta, el que seguramente sirvió como relleno de nivelación para la colocación del piso de CR 32H-3-3. Este relleno se localizó a la profundidad de 1.54 m y presentó un grosor de 0.54 m en toda la excavación.

El lote 5 (CR 32H-3-5) comprendió entonces un fino piso de estuco de superficie plana y lisa, localizado a una profundidad de 1.86 m y con 0.04 m de grosor. El lote 6 (CR 32H-3-6), corresponde a un relleno constructivo de pedrín de caliza color blanco, en un 99%, combinado con tierra color café oscura de textura fina y consistencia dura. Este lote se puede interpretar como un relleno de nivelación necesario para poder colocar una nueva estructura. Se localizó a una profundidad del datum de 2.90 m, con un grosor de 1 m y se observó en toda la excavación. De este lote se extrajeron únicamente 17 tiestos cerámicos. El lote final fue el 7 (CR 32H-3-7), formado por una grada de 20 cm de ancho (huella) y 20 cm de alto (contra-huella), localizada a 2.90 m de profundidad. También se descubrió parte de una banqueta de 0.40 m de alto, de mampostería de bloques rectangulares y cubiertos por una capa de estuco muy fino, sólido y compacto. Ambos rasgos estuvieron orientados de norte a sur, y dan acceso a la parte alta de la subestructura (Figura 7.13). En esta excavación se estableció entonces la continuación de la penúltima fase constructiva determinada por la escalinata y una banqueta, cubierta por un relleno constructivo, el que sirvió de soporte y nivelación para la colocación del último piso de estuco (Figura 7.14).



Figura 7.13. Foto tomada del oeste donde se muestra la escalinata y la banqueta en su penúltima fase constructiva el lote 7 (CR 32-H-3-7). (Foto por Antolín Velásquez)

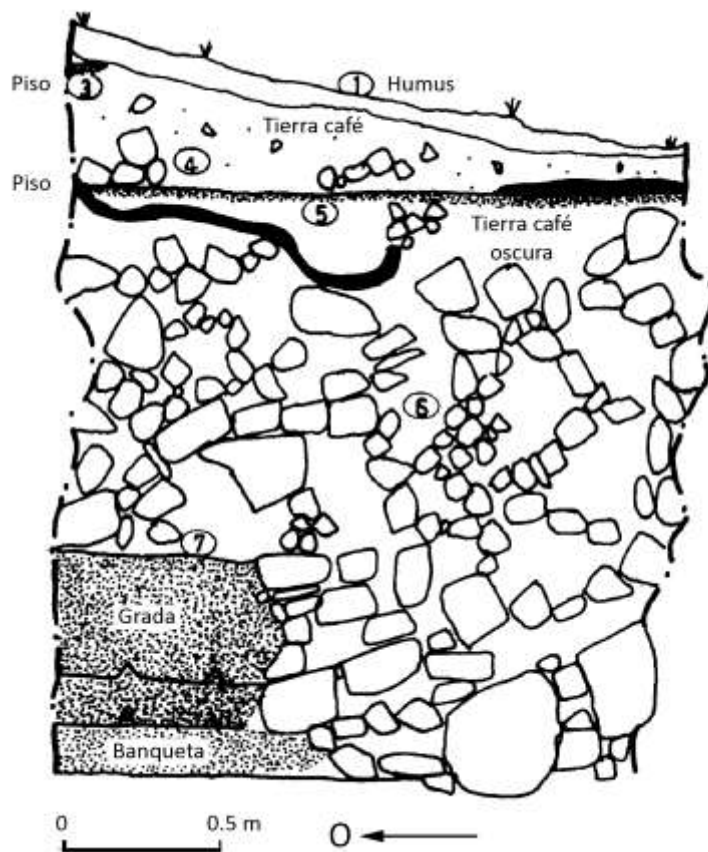


Figura 7.14. Perfil Este de CR 32-H-3 donde se observan los lotes establecidos en esta excavación. (Dibujo y calco por Antolín Velásquez)

Unidad CR 32H-3A

La unidad de excavación CR 32H-3A corresponde a una unidad de 2 m en eje norte/sur y 2 m en eje este/oeste colocada en el centro de la fachada principal (Este) de la Estructura 13Q-2, exactamente en la parte este de CR 32H-1. El lote 1 (CR 32H-3A-1) correspondió a un suelo de color café oscuro a grisáceo de textura arenosa, consistencia suelta y suave, mezclada con gran cantidad de piedras pequeñas. Este estrato pareciera ser el relleno de una excavación anterior, y se localizó a una profundidad del datum de 1.86 m y presentó un grosor de 0.90 m. El lote terminó al encontrar el piso localizado en CR 32-H-3-5, aquí denominado lote 2 (CR 32H-3A-2). Aunque el piso se extendió casi por toda la excavación, sigue sin encontrarse con algún otro rasgo arquitectónico, lo cual indica que continúa hacia la parte sur de la estructura (Figura 7.15). Al terminar esta unidad se estableció la existencia de la fase constructiva anterior, determinada por un piso de estuco (lote 2) que fue cubierto únicamente por un relleno alterado por excavaciones anteriores (lote 1).



Figura 7.15. Foto tomada del oeste donde se muestra el piso de estuco localizado en CR 32-H-3 lote 5 y en CR 32-H-3A lote 2. (Foto por Antolín Velásquez)

Interpretación

Con las excavaciones realizadas en el centro de la fachada principal de la Estructura 13Q-2 se pudieron establecer dos fases constructivas. La más tardía puede indicar que efectivamente en el centro de la estructura existió una escalinata central que permitió el acceso a la superestructura.

Sin embargo esta escalinata se presentó muy deteriorada y se observó únicamente en ciertas partes de la estructura como el lote CR 32H-1-3. Anteponiendo los dibujos de los perfiles, es muy posible que los lotes CR 32H-3-3 y CR 32H-3-5 formen parte de esa escalinata, ya que éstos fueron colocados a una altura similar a la del escalón 1 de CR 32H-1-3 (0.40 m). Los escalones fueron recubiertos con una capa de estuco que oculta los pobres materiales de construcción usados. Por otro lado, la penúltima fase se estableció por medio del relleno constructivo identificado en el lote 4 de CR 32H-2 y el lote 6 de CR 32H-3. Este fue utilizado para cubrir la subestructura formada por las seis gradas estucadas y la banquetta del lote CR 32H-3-7. Finalmente, es importante señalar que para las excavaciones realizadas en esta temporada de campo, todavía no se cuenta con un diagnóstico del material cerámico o lítico que otorgue un fechamiento tentativo para saber cuándo fue construida y ocupada esta importante estructura.

Tabla 7.1.

Inventario por lote de los materiales extraídos de las operaciones CR 32G Y CR 32H

| LOTE | BOLSAS/CERAMICA | CANTIDAD | BOLSAS/LITICA | CONTEO | TOTAL/BOLSAS |
|------------|-----------------|----------|---------------|--------|--------------|
| CR 32G1-2 | 1 | 3 | 0 | 0 | 1 |
| CR 32G1-4 | 1 | 9 | 0 | 0 | 1 |
| CR 32G2-1 | 1 | 50 | 0 | 0 | 1 |
| CR 32G2-4 | 1 | 33 | 0 | 0 | 1 |
| CR 32G3-4 | 1 | 4 | 0 | 0 | 1 |
| CR 32G4-2 | 1 | 14 | 1 | 1 | 2 |
| CR 32G4-4 | 1 | 2 | 1 | 1 | 2 |
| CR 32G4B-4 | 1 | 7 | 0 | 0 | 1 |
| CR 32H1-1 | 1 | 9 | 1 | 2 | 2 |
| CR 32H1-2 | 1 | 16 | 0 | 0 | 1 |
| CR 32H2-2 | 1 | 103 | 0 | 0 | 1 |
| CR 32H2-4 | 1 | 64 | 0 | 0 | 1 |
| CR 32H3-2 | 1 | 4 | 0 | 0 | 1 |
| CR 32H3-4 | 1 | 12 | 0 | 0 | 1 |
| CR 32H3-6 | 1 | 17 | 0 | 0 | 1 |

OPERACIÓN CR32D: EXCAVACIONES EN LA ESTRUCTURA 13Q-2A

Ana Cristina Guirola

Antecedentes

La estructura 13Q-2, o estructura A-2 (en mapas anteriores) es de los edificios más grandes y altos del sitio La Corona, y se localiza en el límite este de la Plaza Principal. Aparentemente solamente contiene un pozo de saqueo en la esquina sureste de la estructura. También se cree que por su ubicación, quizá fue un templo o edificio tipo ritual, siendo el más grande de su tipo en la Plaza Principal y de todo el sitio (Guenter, 2009: 97).

Durante la temporada 2008 se realizó la operación CR 32B al pie de la Estructura 13Q-2, encontrándose un piso estucado a 1.22 m de profundidad, el cual se cree que representa una ocupación del Clásico Terminal, donde quizá se llevaron a cabo ceremonias rituales (*Ibid.*, 105). En 2009 se continuaron las excavaciones al pie de la Estructura 13Q-2 del lado oeste y también en su cima. En el proceso de limpieza de la cima, se encontró un incensario casi completo probablemente fechado para el Postclásico Tardío, lo cual indica que quizá se dio una re-visitación o peregrinaje al sitio durante esa época. Al pie del lado oeste se llevaron a cabo 5 unidades de excavación, encontrándose en las unidades 32D-2 y 32D-5 un muro con alineación este-oeste.

Temporada 2010

Durante la temporada 2010 se continuó con la investigación de la base de la Estructura 13Q-2, poniéndole más énfasis en definir su plataforma adosada, 13Q-2A. Eso significó dejar por el momento las investigaciones en la Estructura 13Q-6; ya que se cree que entendiendo mejor 13Q-2A, se podrá tener una mejor comprensión de las demás al excavarlas en futuras temporadas. Para la temporada 2010 se continuó con la nomenclatura utilizada durante la temporada 2009, donde se excavó el lado oeste de la Estructura 13Q-2 en su parte noroeste. En esta oportunidad también se excavó la esquina suroeste de la estructura, para poder definir también de ese lado sus últimas fases constructivas y recuperar material cerámico y/o lítico que serían de ayuda para fechas y funciones de la estructura.

Por ello, el presente trabajo se divide en dos partes. La primera será centrada en las excavaciones realizadas en la parte suroeste de la Estructura 13Q-2A, y la segunda, en la parte noroeste de la misma estructura, la cual presenta más información y también es la continuación de las excavaciones que realizó Stanley Guenter en la temporada pasada.

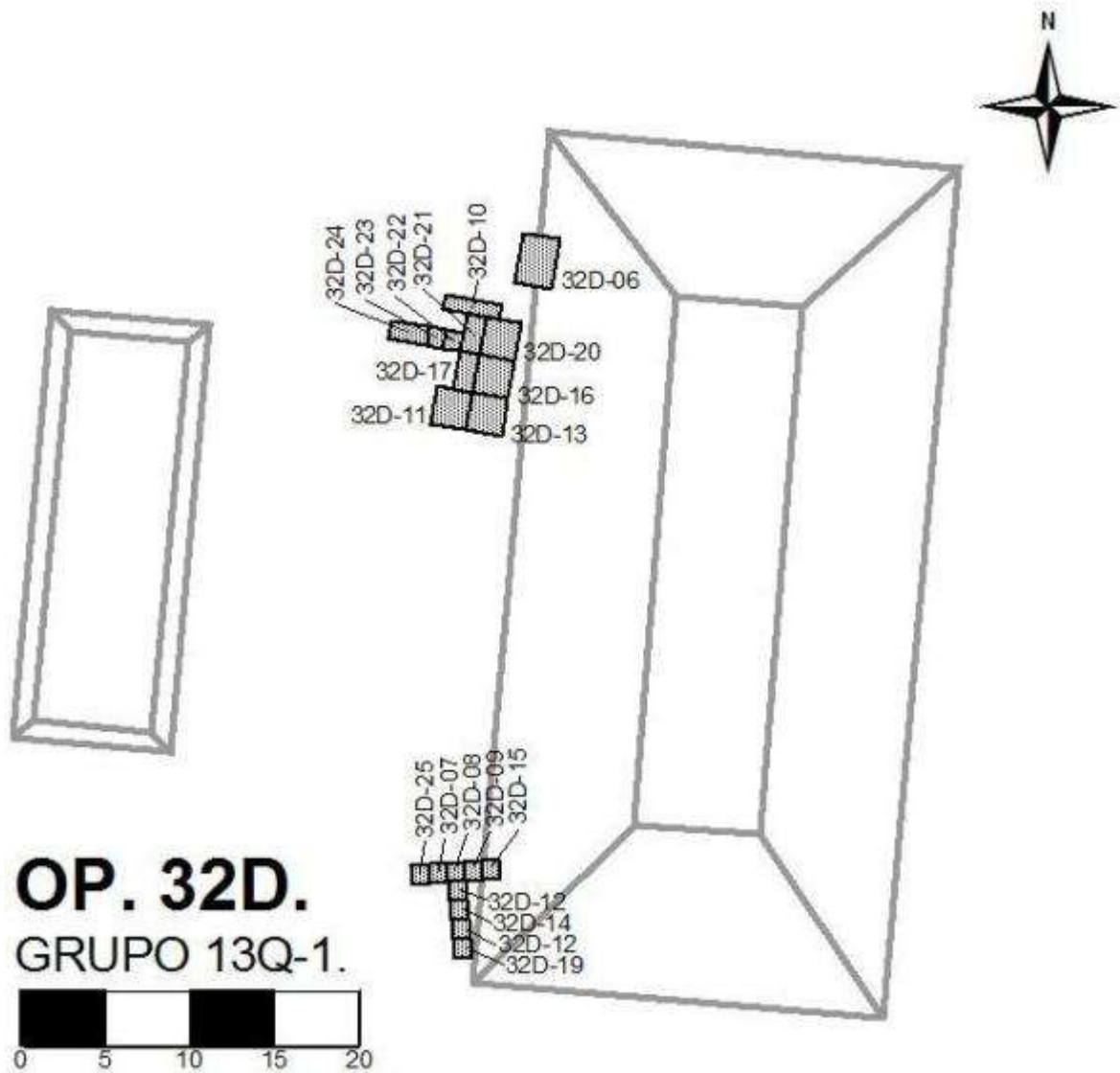


Figura 7.16 Estructura 13Q-2, indicando las dos esquinas donde se realizaron las excavaciones (Mapa realizado por Rodrigo Guzmán)

Esquina Suroeste de 13Q-2

Este grupo de excavaciones estuvo conformado por 9 unidades, en las cuales se trató seguir el muro de la estructura y encontrar la esquina suroeste. Todas las unidades se hicieron con una dimensión de 1 x 1 m.

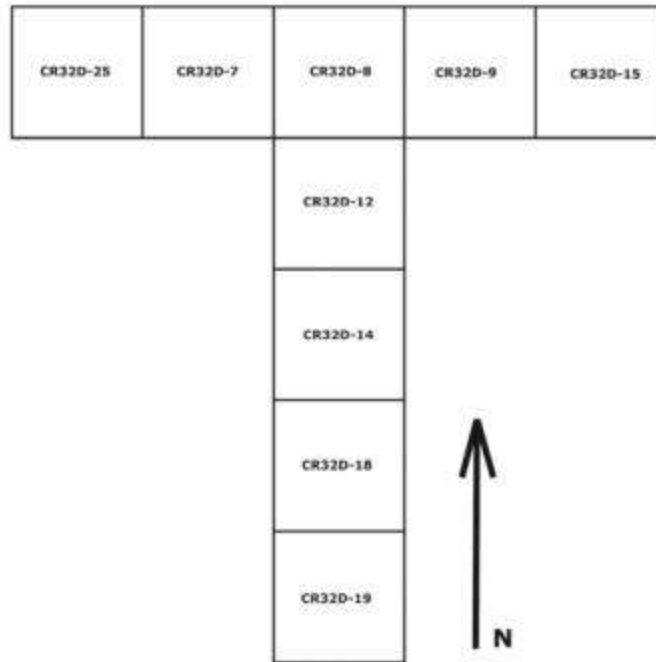


Figura 7.17 Distribución de unidades de excavación en la esquina suroeste de 13Q-2

CR 32D-25

Fue la primera excavación que se realizó de este grupo, la cual bajó a una profundidad máxima de 1.10 m. Con esta unidad se pudo encontrar el piso que va hacia la plaza, aunque es probable que esté un poco más abajo o en mal estado. Se encontró cerámica en todos los niveles.

CR 32D-7

Esta unidad se hizo directamente al este de la unidad CR 32D-25, para seguir descubriendo el muro de la estructura. En esta unidad también se descubrió el piso y se recuperó cerámica en los primeros niveles, llegando hasta una profundidad máxima de 1.16 m. La cerámica de esta unidad fue fechada para el Clásico Tardío (Raúl Ortiz, com. pers.), ya que los tipos cerámicos presentados son: Sierra Rojo que es del Preclásico (solamente es un fragmento); Palmar Policromo, Encanto Estriado y Tinaja Rojo.



Figura 7.18 Cerámica encontrada en CR 32D-7-1 (izquierda) y CR 32D-7-2 (derecha)
(Fotografía por Cristina Guirola)

CR 32D-8

Ubicada al este de 32D-7, se bajó una profundidad máxima de 1.75m. Aquí se siguió el piso y se encontró una probable banqueta de la estructura, ya que es una hilada de piedras que van de norte a sur y debajo tiene relleno. Se encontró cerámica solamente en el primer nivel.

CR 32D-9

Se bajó a una profundidad máxima de 1.36 m. En esta unidad, al igual que en CR 32D-8 se encontró lo que probablemente es una banqueta o parte del muro de la estructura (aunque no se puede asegurar ya que está parte no presentó rasgos contundentes para demostrar que en realidad era el muro de la estructura). Además se encontró cerámica en todos los niveles de la excavación, fechada para el Clásico Tardío (Raúl Ortiz, com. pers.) por contener tipos como Palmar Policromo, Cambio sin Engobe, Tinaja Rojo e Infierno Negro (Figura 7.20).

CR32D-15

Está unidad se encuentra al este de la unidad CR 32D-9, la cual se hizo para poder determinar si la hilera de piedras que se encontró en las otras unidades era parte de la fachada de la estructura. Al excavar la unidad se encontró relleno de la estructura, lo cual indicó que ya estaba adentro del muro (Figura 7.21).



Figura 7.19 Cerámica encontrada en CR 32D-9-1-1 (Fotografía por Cristina Guirola)



Figura 7.20 Cerámica encontrada en CR 32D-9-2 y CR 32D-15-2 (Fotografía por Cristina Guirola)

CR32D-12, CR32D-14, CR32D-18 y CR32D-19

En estas unidades continúa la hilera de piedras que viene de la unidad CR32D-8, pero también se observa como derrumbe de la estructura. También se llegó hasta el probable piso que va hacia la plaza y en todas las unidades se encontró cerámica y lítica. Con la unidad CR32D-19 se terminó de excavar el área suroeste de la estructura, con lo que se espera que en futuras temporadas se pueda ampliar las excavaciones y tener una mejor idea de cómo está constituida esta área. La cerámica que se encontró en la unidad CR32D-14 fue fechada para el Clásico Tardío (Raúl Ortiz com. pers.) dada la presencia de tipos cerámicos como: Palmar Policromo, Encanto Estriado sin engobe, Infierno Negro y Subín Rojo (Figura 7.22).

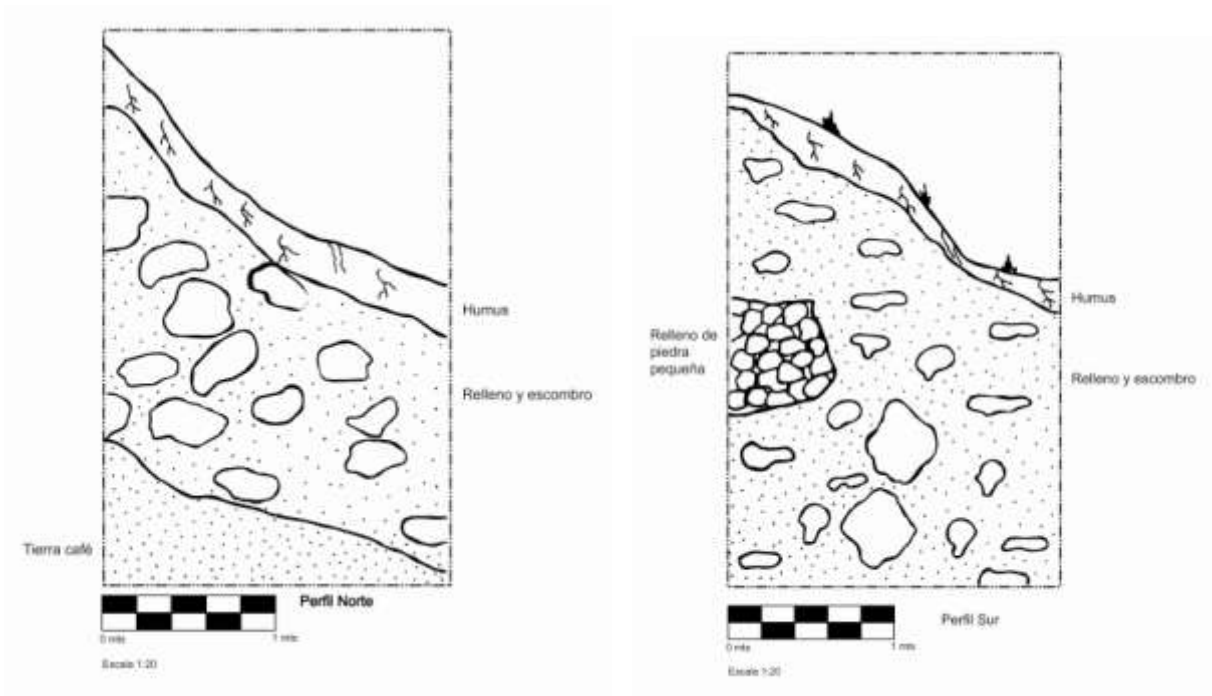
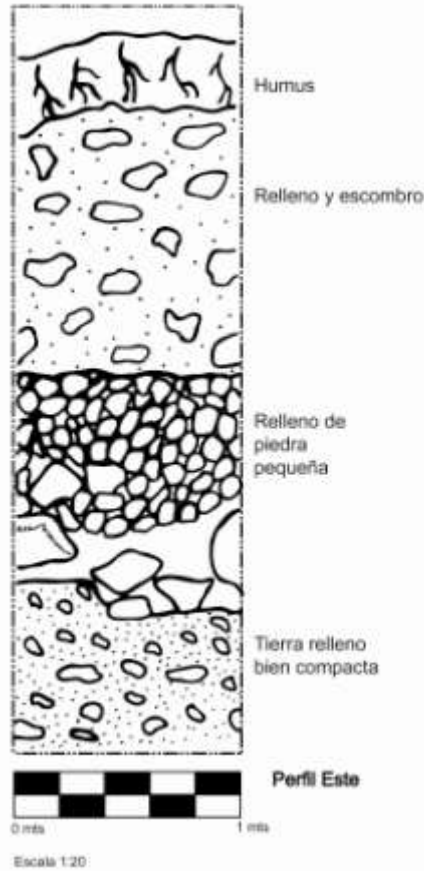


Figura 7.21 Dibujos de perfil de CR 32D-9 y CR 32D-15 (Dibujo y calco por Cristina Guirola)



Figura 7.22 Cerámica encontrada en CR32D-14-1 (Fotografía por Cristina Guirola)

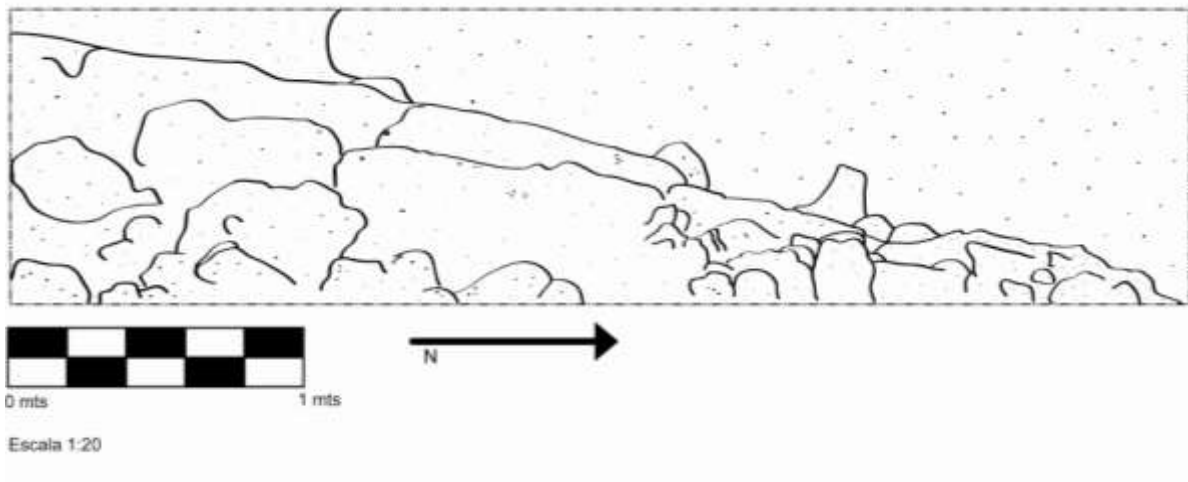


Figura 7.23 Dibujo de planta de CR32D-12, CR32D-14, CR32D-18 y CR32D-19 (Dibujo y calco por Cristina Guirola)

Esquina Noroeste de 13Q-2

Esté grupo de excavaciones estuvo conformado por 11 unidades, en las cuales se retomó las excavaciones que había realizado Stanley Guenter en la temporada pasada, y poder encontrar más pistas acerca de la función de la estructura, y su situación arquitectónica en sus últimas fases constructivas. Aún queda determinar los tipos cerámicos que fueron encontrados en estas unidades.

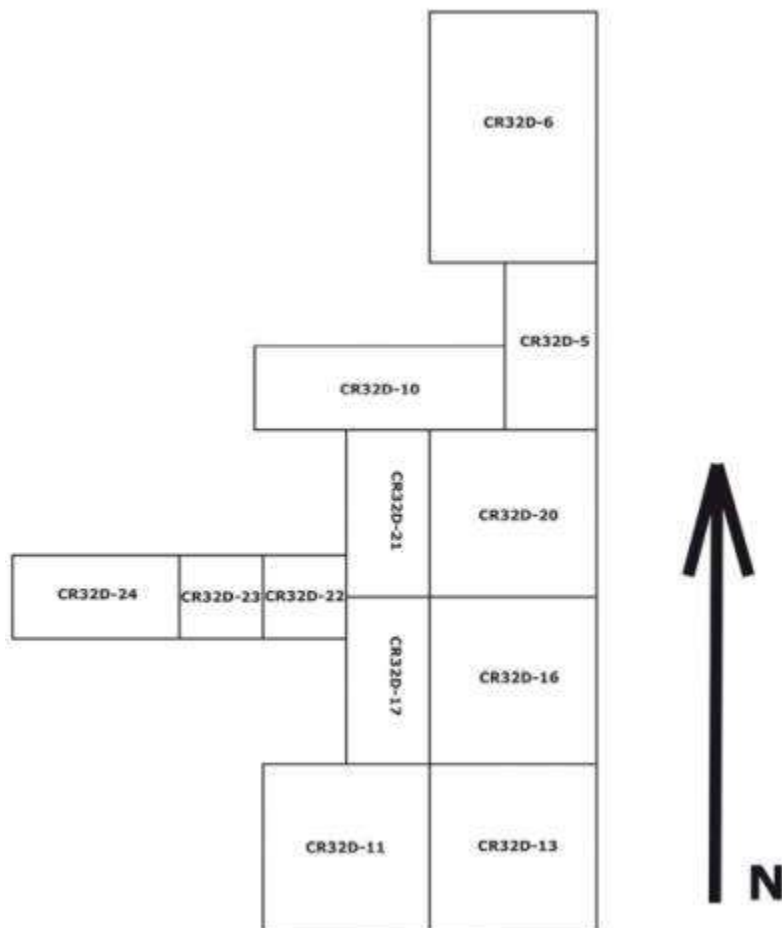


Figura 7.24 Distribución de unidades de excavación en la esquina noroeste de 13Q-2

CR32D-6

Esta unidad es de 3 x 2 m. Se encontró el muro de la estructura del lado este de la unidad; también se encontró el piso (con poco estuco), y la esquina norte de dicho muro. Esta unidad ya había sido estudiada en temporadas pasadas, pero en esta oportunidad se llegó hasta el piso. Se encontró cerámica y una punta de pedernal.



Figura 7.25 (izquierda) Punta de pedernal encontrada frente a la fachada de la Estructura 13Q-2
 Figura 7.26 (derecha) Muro de la esquina noroeste de la Estructura 13Q-2
 (Fotografías por Cristina Guirola)

CR32D-10

En esta unidad se continuó exponiendo una hilera de piedras que venían del lado oeste de la unidad CR32D-5, la cual probablemente puede ser parte de una plataforma, cuyo fondo está conformado solo por un relleno de piedras grandes. La unidad se hizo de 3 x 1 m y se encontraron varios restos cerámicos.

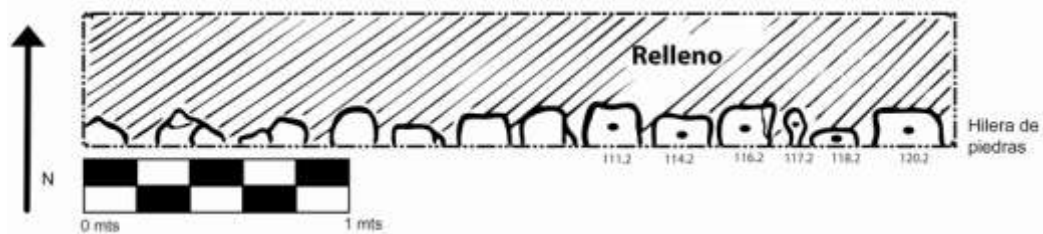


Figura 7.27 Dibujo de planta de la unidad CR32D-10 (Dibujo y calco por Cristina Guirola)

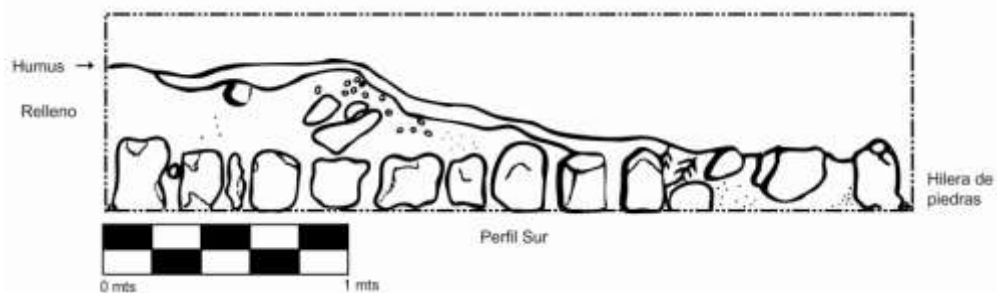


Figura 7.28 Perfil sur de la unidad CR32D-10 (Dibujo y calco por Cristina Guirola)

CR32D-11

Esta unidad de 2 x 2 m no se excavó a su totalidad, ya que fue definida durante la temporada pasada, por lo que se decidió extenderla al este para buscar evidencia del muro.

CR32D-13

En esta unidad de 2 x 2 m se encontró un muro de plataforma con una fachada que va hacia el oeste, y se mete hacia el muro de la estructura. Además de eso, se llegó a un piso del lado oeste de la unidad. Se encontró cerámica, obsidiana, una mano y lítica.



Figura 7.29 (izquierda) Fotografía de mano encontrada en la unidad CR 32D-13

Figura 7.30 (derecha) Plataforma que cruza y se mete hacia el este donde se encuentra el muro de la estructura (unidad CR32D-13) (Fotografías por Cristina Guirola)

CR32D-16

En esta unidad de 2 x 2 m se le dio continuidad al muro que se encontró en la unidad CR 32D-13 y se llegó al piso. Además, se encontró un pequeño desnivel en el piso, que quizá se deba a la deterioración del suelo (Figura 7.31).

CR 32D-17

Esta unidad de 2 x 1 m sirvió para descubrir de mejor manera lo encontrado en CR32D-16, y así descubrir de mejor modo el muro de la plataforma. Se encontró cerámica, un fragmento de obsidiana, lítica, un fragmento de figurilla y dos puntas de pedernal.

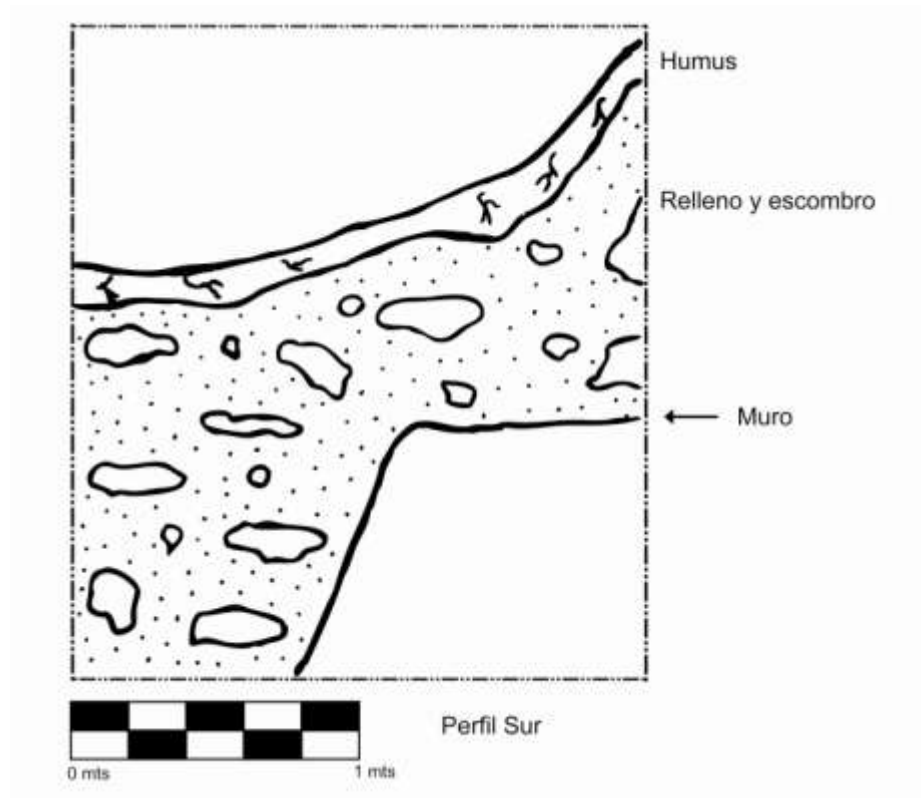
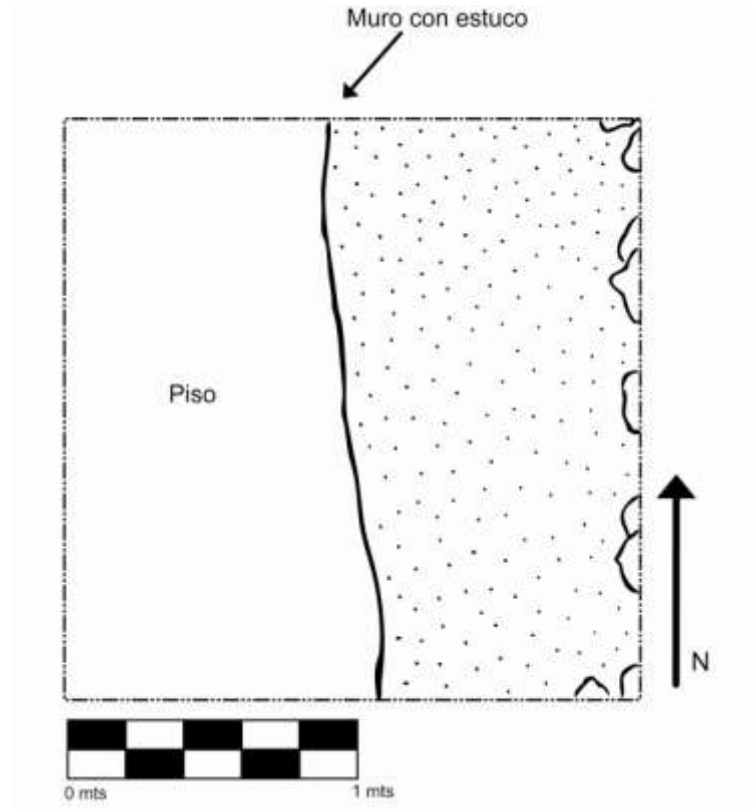


Figura 7.31 Planta y Perfil Sur de la unidad CR32D-13 (Dibujo y calco por Cristina Guirola)



Figura 7.32 Unidad CR32D-16, donde se observa la continuación de la plataforma y el desnivel en el piso (Fotografías por Cristina Guirola)



Figura 7.33 Distribución de las fachadas de los muros que forman parte de la plataforma descubierta en las unidades CR 32D-16 y CR 32D-13 (Fotografías por Cristina Guirola)



Figura 7.34 Puntas de pedernal encontradas en la unidad CR32D-17
(Fotografía por Cristina Guirola)

CR 32D-20

En esta unidad de 2 x 2 m se encontró un muro con fachada viendo hacia el oeste y luego cruza hacia el norte, hasta llegar a un piso. Se pudo recuperar varios fragmentos de cerámica, obsidiana y un fragmento de figurilla.

CR 32D-21

Se siguió la continuidad del muro que venía de la unidad CR 32D-20 hasta llegar al piso. Esta unidad se hizo de 1 x 2 m.

CR 32D-22, CR 32D-23 y CR 32D-24

Estas unidades se realizaron para ver la continuidad del muro que se encontró desde la unidad CR 32D-20. Las unidades CR 32D-22 y CR 32D-23 se hicieron de 1 x 1 m, y la unidad CR 32D-24 se hizo de 1 x 2 m. En dichas unidades se pudo seguir la continuidad del muro hasta llegar a un punto en que ya no se pudo identificar, quizá por la deterioración del mismo. De igual forma también se descubrió el piso que quizá se dirige hasta la plaza. En las tres unidades se pudo recuperar varios fragmentos cerámicos.

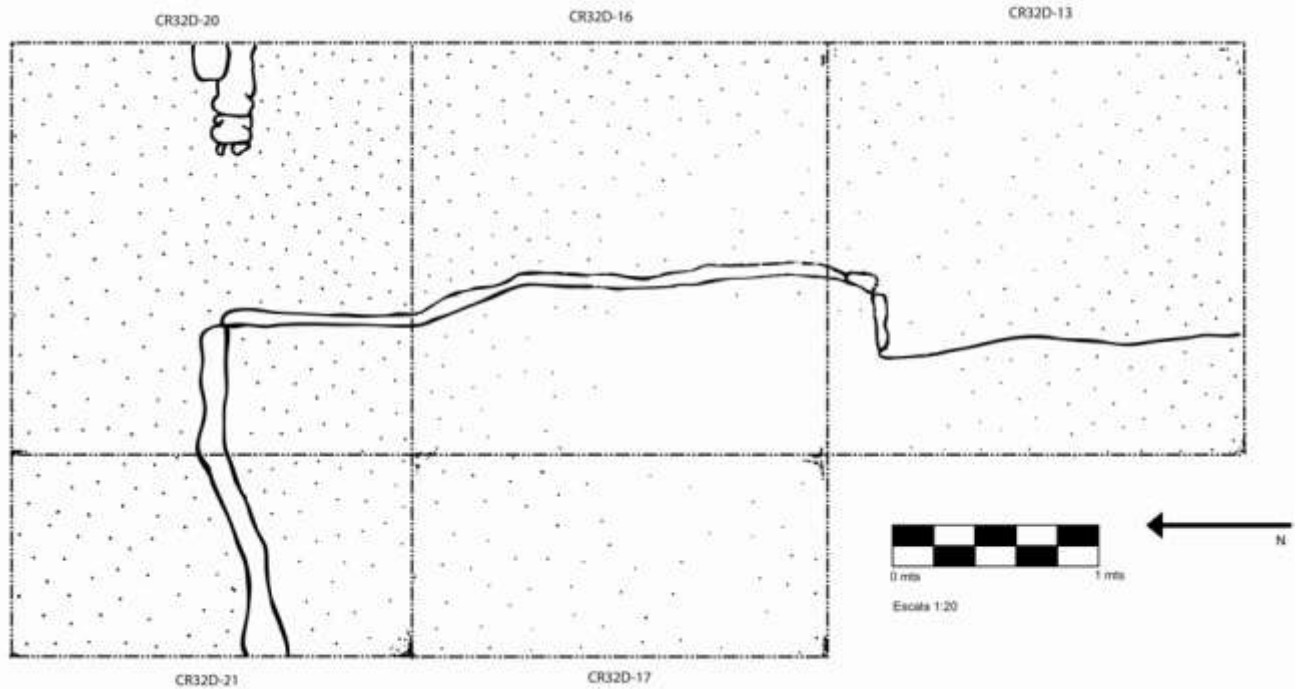


Figura 7.35 Dibujo de planta de las unidades CR32D-13, CR32D-16, CR32D-20, CR32D-17, y CR32D-21. (Dibujo y calco por Cristina Guirola)

Conclusiones

Las excavaciones realizadas en las esquinas noroeste y suroeste de la Estructura 13Q-2 nos pudieron dar más información en cuanto al uso que probablemente pudo tener este edificio para el Clásico Tardío.

En el caso de la esquina noroeste fue posible hacer varias unidades, en las cuales se encontró una cantidad considerable de material cerámico, además de puntas de pedernal que probablemente fueron utilizadas en rituales, si realmente el edificio tuvo dicha función. En esta sección se encontró bien delimitada la esquina de la estructura, una plataforma y el piso que quizá se dirige hasta la plaza, lo cual no se pudo confirmar adecuadamente ya que en las últimas excavaciones, CR32D-23 y CR32D-24, se empezó a deteriorar en conjunto con la plataforma a medida que se dirige hacia el oeste. Esto quizá se deba al simple paso del tiempo, pero también por los saqueos que se dieron en el área.

Por otro lado, en la esquina suroeste se empezó con unidades que fueran de oeste a este para localizar el muro, con lo cual se pudo encontrar una hilera de piedras en la unidad CR32D-8, y con ello se realizaron dos unidades más hacia el este para poder determinar si realmente era una pared o no. Lamentablemente esto no se pudo confirmar, ya que esta parte de la estructura está muy deteriorada para poder confirmar si la hilera de piedras que se encontró desde la unidad CR32D-8 hasta la unidad CR32D-19, que va de norte a sur, es realmente un muro.

Al parecer el posible muro y el piso que se encontraron en esta parte pertenecen a la última etapa constructiva de esta área. Es aquí donde será necesaria más investigación en futuras temporadas, ya que no se pudo determinar muy bien como estaba distribuido el muro de la estructura y tampoco se pudo identificar su esquina.

Se espera que en futuras temporadas se puedan extender las excavaciones realizadas en estas esquinas y moverse hacia la plaza y hacia la parte media del muro oeste para identificar la escalinata. Con ello, se podrá ir recopilando más información de esta estructura, y tener una mejor idea de la función que tuvo durante el Clásico Tardío y cómo estaba relacionada con las Estructuras 13Q-2A y 13Q-6.

CAPÍTULO VIII

OPERACIONES CR33 Y CR35: EXCAVACIONES EN LAS ESTRUCTURAS 13Q-3 Y 13Q-5

Yann Desailly-Chanson

Introducción

En 2010 se llevó a cabo la tercera temporada de excavación del Proyecto Regional Arqueológico La Corona, y las investigaciones nuevamente incluyeron a las Estructuras 13Q-3 y 13Q-5. Estos estudios dieron resultados importantes, ya que se pudo comprobar que tales plataformas sostuvieron varias estructuras menores, y que tuvieron una secuencia arquitectónica bien definida. También se descubrieron entierros en ambas estructuras, aunque no se puede considerar todavía que hayan tenido una función funeraria. Por lo tanto actualmente se propone que las dos Estructuras 13Q-3 y 13Q-5 sirvieron como centro de autoridad política y administrativa en el sitio de La Corona, aunque todavía queda pendiente determinar cuales fueron las funciones específicas que hayan tenido a través del tiempo.

Los descubrimientos llevados a cabo por los demás miembros del proyecto han ayudado a entender de mejor forma el desarrollo de estas estructuras en relación a la historia del sitio. Primero, se ha comprobado arqueológicamente que la región fue habitada en tiempos preclásicos, aunque el centro político de La Corona fue construido inicialmente en el Clásico Temprano (Acuña, 2005; Acuña, 2008; Acuña, 2009; Acuña, P.C. 2010). Sin embargo, la mayoría de edificios en La Corona corresponden al Clásico Tardío, lo que parece corresponder a la expansión de la hegemonía de Calakmul durante los siglos sexto y séptimo d.C. Además, hubo cambios políticos dramáticos durante el siglo octavo, tal como lo demuestra la inscripción del Altar 4, que contiene una referencia a una mujer de Tikal (Love, este informe). La lectura de dicha inscripción, dada por Stuart y Guenter nos dice que una mujer de Tikal llegó al sitio entre los años 791 y 802 d.C. (Guenter, 2010), indicando que después de varias derrotas militares de Calakmul en 695 y 732 d.C., el reino de Tikal extendió su autoridad política hasta el sitio de Sak Nikte', ya sea a través de una alianza matrimonial o por medio de conquista militar.

De hecho, hay un declive en las inscripciones de La Corona después de esas fechas y ninguna menciona a Calakmul después de la segunda mitad del siglo octavo. Este evento se correlaciona con los eventos registrados en Waka' y Narajo, que también son derrotados por Tikal en 743 y 746 d.C., respectivamente. Por lo tanto, se puede especular que la Plaza Principal de La Corona, que contiene dicho altar y las estructuras 13Q-3 y 13Q-5 pudo haber sido remodelada durante el establecimiento de un nuevo orden político a finales del siglo VIII d.C., aunque fue de corta duración, ya que la construcción y erección de monumentos paró de forma definitiva al inicio del siglo IX d.C. y décadas después el sitio se abandonó definitivamente (Guenther, 2009).

Antecedentes

Las excavaciones llevadas a cabo en la Estructura 13Q-3 en 2009 revelaron la presencia de una escalinata glífica en la parte central de su fachada frontal, que ve directamente a la plaza. Este fue un programa arquitectónico significativo porque la escalinata, compuesta de gradas y terrazas, mide de siete a diez metros de ancho e incluyó más de 59 bloques glíficos.

En 2008 se habían identificado diez bloques glíficos entre el escombros de actividades de saqueo y 24 bloques fueron encontrados *in situ* en 2009, aunque algunos pudieron haber sido movidos por agentes naturales. En ese mismo año también se identificaron otros 25 bloques entre el escombros del edificio. Dado que la estructura fue dañada en esta sección por actividades de saqueo, no se sabe exactamente el número de escalones y cuántos bloques glíficos existieron originalmente. Sin embargo, después de descubrir algunos bloques en su lugar original se puede proponer que existieron por lo menos dos escalones con glifos. Después de un análisis detallado de los escalones 1 y 2, parece que las huellas de las gradas fueron hechas de bloques de piedra estucados y solamente las contrahuellas contuvieron glifos, dado que así son más visibles y menos sujetas a desgaste. Además, la identificación de fragmentos de estuco en las unidades de excavación ubicadas en la escalinata sugiere que otros bloques se colocaron en esas áreas. No obstante, las técnicas de construcción usadas en este edificio todavía no son claras, ya

que el tipo de piedra usado fue de menor calidad que la mayoría de monumentos en el sitio y los bloques fueron colocados directamente sobre el relleno sin un soporte apropiado. Esto indica que la escalinata fue parte de una remodelación rápida que ahorró trabajo y recursos, pero que resultó deteriorándose rápidamente con el paso del tiempo, y más recientemente, con la actividad de saqueo. Toda la cerámica recuperada en contexto con la escalinata se ha fechado para el Clásico Tardío.

De manera similar a 13Q-3, en 2009 se estableció que la Estructura 13Q-5 contenía una escalinata central que miraba hacia la plaza. Mide 14 m de ancho y combina escalones con descansos de diferentes medidas. Se identificó uno o dos escalones en la unidad contigua a la plaza, y cinco escalones más hacia arriba, así como dos descansos anchos en la parte superior. El último descanso lleva hacia una plataforma de piedra que no pudo definirse dada la perturbación causada por varias raíces de árbol. Toda la cerámica fue fechada para el Clásico Tardío y no se pudo identificar ningún bloque con glifos, indicando que fue una escalinata sencilla o que los saqueadores se llevaron los que pudieron existir.

Objetivos

En ambas estructuras se definieron objetivos similares. Primero, se decidió buscar la existencia de superestructuras centrales que pudieran estar relacionadas con las escalinatas ya definidas. Por lo tanto se definieron cuadrículas de unidades de 2 x 2 m para realizar excavaciones extensivas, pero también se colocaron pozos para conocer la estratigrafía y secuencia constructiva hasta llegar a nivel del piso de plaza. De esta manera se podrá entender la función de ambos edificios y proponer una cronología.

Metodología

Se contó con cuatro equipos de dos trabajadores (excavador y ayudante) para excavar las Estructuras 13Q-3 y 13Q-5, asignándose dos equipos para cada una. En cuanto a la Estructura 13Q-3, se trabajó mayormente la Sub-operación A, ubicada en la

escalinata central y plataforma, mientras que la Sub-operación D se definió en el lado este de la estructura. Para la Estructura 13Q-5, se trabajó únicamente en la Sub-operación C, ubicada en la escalinata central y su plataforma, aunque se hicieron algunos trabajos en la Sub-operación A, ubicada en el lado oeste de la estructura. Algunas unidades excavadas en 2009 fueron reabiertas y se mantuvo la misma correlación de números de unidades para cada suboperación.

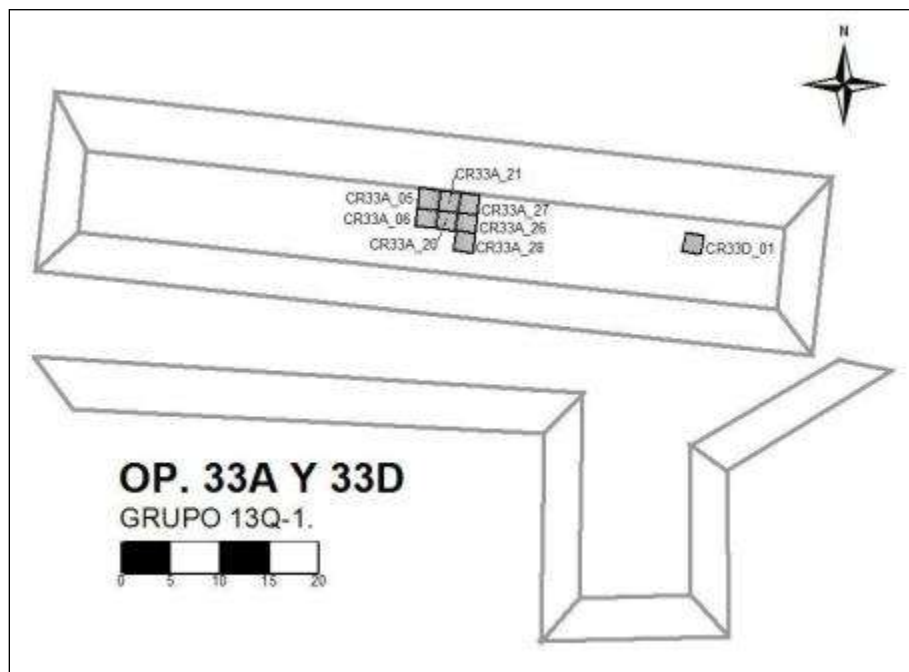


Figura 8.1 Ubicación de excavaciones en las suboperaciones 33A y 33D en 2010
(Mapa realizado por Rodrigo Guzmán)

Operación CR33

La Estructura 13Q-3 es una plataforma baja de forma rectangular, orientada en un eje este-oeste y mide 72 m de largo y 3.7 m de alto. Como se describió anteriormente, las excavaciones de esta estructura se han dividido en cuatro sub-operaciones: A, B, C y D. El centro de la estructura corresponde a la sub-operación 33A, mientras que un pozo de saqueo inmediatamente al este del centro fue denominado 33B. El extremo oriental de la estructura fue definido como 33D y el extremo oeste corresponde a 33C. Para la sub-operación 33A se trazó una cuadrícula de pozos de 2 x 2 m, y se reabrieron las unidades 33A-5 y 33A-6 de años anteriores.

Además se excavaron otras cinco unidades, de las cuales 33A-20 y 33A-21 se colocaron al este de las ya mencionadas y las unidades 33A-26 y 33A-27 se ubicaron directamente al este de las anteriores. La unidad 33A-28 se colocó al sur de 33A-26. En la sub-operación D se abrió una sola unidad. Toda la cerámica recuperada de estas unidades fue fechada para el Clásico Tardío, incluyendo tipos como Encanto Estriado, Tinaja Rojo, Polvero Negro, Saxche y Máquina Café (Acuña, com. pers. 2010).

Sub-operación CR33A: Escalinata de la Estructura 13Q-3

CR33A-6

Se decidió investigar una posible superestructura central, ubicada en la cima de la Estructura 13Q-3. Para ello se reabrieron algunas de las unidades definidas en 2009, incluyendo la unidad 33A-6, así como dos nuevas unidades hacia el este: 33A-20 y 33A-26. Después de remover el humus de estas tres unidades (Lote 1), se notó la presencia de un alineamiento de piedras que estaban colocadas sobre un piso gris, y que corrían de oeste a este. También se identificaron dos esquinas, por lo que fue necesario limpiar este rasgo (Lote 2). Fue entonces que se definió la presencia de un escalón que subía hasta una banca, los cuales ven hacia la plaza en dirección norte. El lado oeste de dicha grada estaba desalineado, aunque los bloques de este rasgo estaban perfectamente alineados y conservados en las unidades 33A-20 y 33A-26 (Figura 8.2). Tanto la banca como la grada midieron 5.45 m de largo, y el escalón tuvo 30 cm de ancho y 20 cm de alto. La banca tuvo un ancho de 1.7 m de ancho y 1.7 m de ancho, si se incluye el muro posterior, así como una altura de 40 cm. Se recuperaron 92 tiestos cerámicos en el segundo lote de esta unidad.

La excavación continuó hacia abajo hasta que el relleno fue más denso y con piedras de tamaño mediano, y la matriz de suelo fue levemente ocre. Se encontraron pocos tiestos pero aparecieron algunos artefactos peculiares, como una cuenta de jade que apareció en la esquina noreste de la unidad, a 1.56 m de profundidad. También se recuperó una pieza de concha que representa la cabeza de un pez, la cual estaba en la esquina sureste y a 1.98 m de profundidad.



Figura 8.2 Banca y grada expuestos en las unidades 33A-5, 33A-6, 33A-20 y 33A-21 (Fotografía por Yann Dessailly-Chanson)

Como no se encontró ningún contexto asociado a estos artefactos, se siguió la excavación hasta que aparecieron tres piedras alineadas en el límite norte de la unidad, siempre a 1.98 m bajo la superficie (Lote 5). Las piedras de este alineamiento midieron, de oeste a este, 12 cm, 20 cm y 18 cm, y todas con un ancho de 30 cm. Sin removerlas, se excavó más abajo en toda la unidad, hasta que se encontró un poco de carbón a los 2.1 m, así como un par de huesos muy pequeños que midieron 2.17 cm y 2.22 cm y que se encontraban en el centro de la unidad. Hacia la esquina suroeste, se encontró una capa con 110 tiosos cerámicos (Lote 4), lo cual fue sorprendente dada la poca cantidad de cerámica encontrada anteriormente en los niveles superiores. Este depósito incluyó un fragmento de plato policromo fechado para el Clásico Tardío. Finalmente el lote 6 se definió en lo que quedó de la unidad, ya que se sospechó que las tres piedras podían pertenecer a un entierro cercano. Por lo tanto, se investigaron ambos lados del rasgo de piedras, adentrándose un poco en la unidad 33A-5, donde el relleno fue distinto, de color blanco y de consistencia fina. Por lo tanto se decidió abrir la unidad 33A-5 para entender estos rasgos.

Al terminar la unidad 33A-5 se siguió excavando el lote 6, donde se descubrió el Hueso # 1 dentro de la esquina noreste de la unidad 33A-6, cerca de la unidad 33A-20. Se llegó a una profundidad de 2.42 m y se recuperó un diente y una mandíbula con diente (Hueso # 2) a 20 y 40 cm al norte del Hueso # 1. Los huesos #3 y #5 se localizaron en el lado sur de la unidad 33A-6, a una profundidad de 2.45 m y 2.7 m respectivamente (Figura 8.3). El Hueso # 4 se encontró en la esquina suroeste de la unidad, a 0.7 m de profundidad. En conclusión, los pocos restos óseos pertenecen a uno o varios individuos, (Figuras 8.4 y 8.5) aunque la ausencia de contexto ha hecho difícil su interpretación, por lo que se decidió abrir las unidades 33A-20 y 33A-21. En estas dos unidades aparecieron rasgos que complementaron las evidencias recuperadas en 33A-6, aunque se excavó un pozo de 2 x 1 dentro de la esquina suroeste para entender de mejor forma el relleno. En ese estrato (Lote 7) se expusieron los restos de un muro, que se cree es parte de los restos arquitectónicos de la parte inferior del muro excavado en 33A-5 y que son parte del edificio previo. Se recuperaron 40 tiosos cerámicos.



Figura 8.3 Huesos del entierro en el lote 33A-6-6
(Fotografía por Yann Dessailly-Chanson)

CR33A-5

Se removió la capa delgada de humus (Lote 1) hasta llegar al alineamiento de piedras que está orientado este-oeste (Lote 2). Este rasgo se identificó como el límite norte de una posible plataforma, la cual también se expuso en la unidad 33A-21. El alineamiento de piedras descansaba sobre un piso gris que ya se había encontrado en la unidad 33A-6, bajo la banca y la grada lateral. Se excavó entonces el relleno, que fue idéntico al encontrado en la unidad 33A-6, compuesto de relleno ocre con piedras de mediano tamaño. Se recuperaron 56 tiestos, dos fragmentos de hueso, una navaja rota de obsidiana y un fragmento de mano de moler. Posteriormente se llegó a un piso blanco de 9 cm de grosor, que fue colocado exactamente sobre las tres piedras alineadas (2.08 m). Se supuso entonces que esta fue una capa que protegía a un entierro, aunque al romper el piso blanco se encontró un relleno con tierra suelta y rocas medianas, que tuvo un espesor de 40 cm. El piso blanco fue interpretado entonces como parte de una etapa anterior del edificio, por lo que se decidió parar la excavación en esa parte de la estructura y continuar con la unidad 33A-6. No obstante, la excavación de la unidad 33A-5 permitió descubrir un posible muro hacia el este (Lote 7) y hacia el sur una línea de piedras que corre de este a oeste (Lote 8). Se cree que ambos alineamientos indican la existencia de una construcción previa, siendo la línea que corre de este a oeste el muro posterior de la subestructura, y el muro este pudo ser el muro de la superestructura

CR 33A-21

Dada la presencia del piso blanco y los dos muros en la unidad 33A-5, se decidió excavar esta unidad de 2 x 2 m. Primero se limpió el humus (Lote 1) y se descubrió la línea de piedras este-oeste (Lote 2), la cual se une con el rasgo encontrado en 33A-5, indicando así que este es el borde externo de una plataforma asociada a la última fase constructiva (Figura 8.6). El rasgo estaba colocado sobre una matriz de suelo café oscuro, donde se recuperaron 34 tiestos directamente sobre el piso de estuco (Lote 3). Se prosiguió excavando bajo el piso, donde se encontró el relleno color ocre claro, que contenía una capa densa de piedras medianas. En este relleno se recuperaron 205 tiestos, un fragmento de estuco con pigmento rojo y una pequeña cuenta de jade, la cual pudo provenir del área donde se localizó posteriormente la unidad 33A-20.

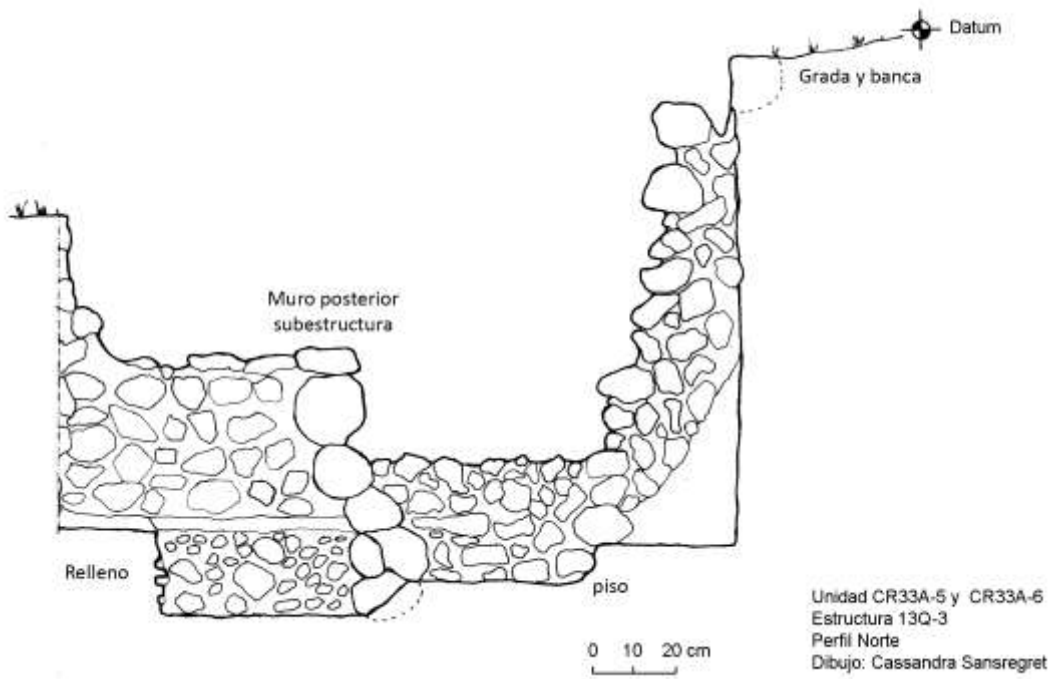


Figura 8.4 Perfil norte de las unidades 33A-5 y 33A-6
(Dibujo por Cassandra Sansregret, Calco por Luis Luin)

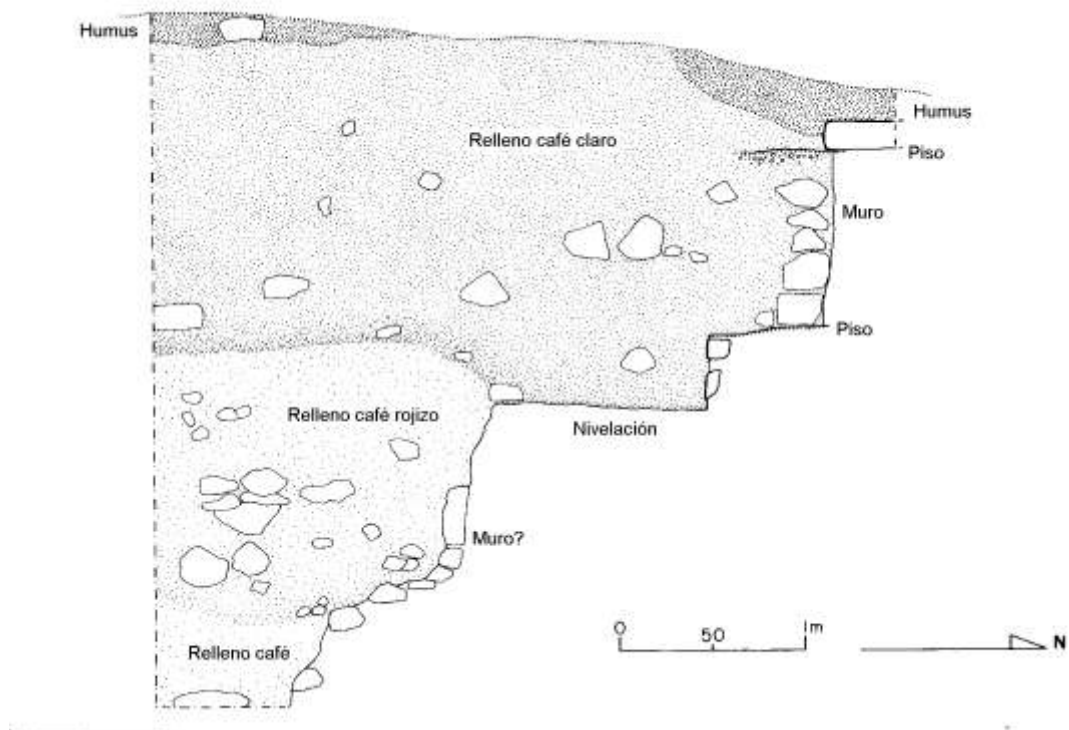


Figura 8.5 Perfil oeste de las unidades 33A-5 y 33A-6
(Dibujo por Clarissa Cagnato, Calco por Luis Luin)



Figura 8.6 Muro de subestructura la unidad 33A-21
(Fotografía por Yann Dessailly-Chanson)

Se llegó entonces al piso blanco (Lote 5) a una profundidad de 2.23 m, donde la profundidad, contexto y otros materiales encajaron perfectamente con el piso encontrado en el lote CR 33A-5-6. Finalmente, se llegó a los restos arquitectónicos relacionados con lo ya descrito en la unidad 33A-5, compuestos por un muro de bloques grandes localizado al oeste de la unidad 33A-21 (Lote 7) y un alineamiento que corre de oeste al sur (Lote 8). Como se mencionó anteriormente, se cree que el muro oeste fue parte de la superestructura previa, mientras que el muro al sur pudo ser el muro posterior de ese mismo edificio. De cualquier forma, estos rasgos pertenecen a una versión antigua de la Estructura 13Q-3, aunque es posible que no sea la más antigua, por lo que puede haber una o más versiones arquitectónicas bajo los estratos ya definidos.

CR 33A-20

Después de encontrar todos esos rasgos en las unidades anteriores, fue necesario abrir una nueva unidad para entender mejor el contexto asociado a los mismos y en general a toda la Estructura 13Q-3. Se removió entonces la capa de humus (Lote 1) y se descubrió la banca y su grada lateral en la parte sur de la unidad (Lote 2). Se excavó más hacia el norte de la unidad para exponer áreas importantes del piso gris (Lote 3), el cual se encontró a 64 cm de profundidad. El color, material y profundidad del piso fue consistente con los fragmentos encontrados en las unidades 33A-6 y 33A-26.

Se excavó entonces bajo el piso y se encontró una perla en la esquina noreste del pozo, a una profundidad de 88 cm bajo la superficie. La perla tiene un agujero barrenado, para ser usado como parte de un collar o brazalete. Posteriormente se recuperó otra cuenta de jade dentro de la esquina noroeste del pozo, a 1.09 m de profundidad. Ambos artefactos estaban bastante cerca el uno del otro, y su contexto es interesante, porque a pesar de estar bajo el piso, no se asociaron a algún contexto que pudiera explicar su posición. Se especula también que la perla y la cuenta de jade pudieran estar asociadas a las otras dos cuentas de jade encontradas en las unidades 33A-6 y 33A-21.

Se tuvo entonces que excavar más profundo para comprender mejor el contexto, hasta que finalmente se observó la existencia de dos rellenos diferentes y contiguos (Canuto, com. pers. 2010). Uno de estos es el de color ocre, localizado en las esquinas norte y sureste de la unidad, y compuesto por una capa densa de piedras medianas (Lote 4). Su color y material asociado coincide perfectamente con el relleno ocre encontrado en las unidades 33A-5 y 33A-6. El otro relleno fue de color café oscuro y muy suelto (Lote 5), y se localizó mayormente en la parte norte de la unidad, empezando directamente al frente de la grada lateral que esta adosada a la banca. Ambos rellenos fueron tan diferentes que se propuso que este último corresponde a un rasgo intrusivo tardío. Este posible “corte” también pudo haber sido hecho después de haberse completado la última fase arquitectónica (Figura 8.7).



Figura 8.7 Corte en el relleno de la Estructura 13Q-3 (unidad 33A-20)
(Fotografía por Yann Dessailly-Chanson)

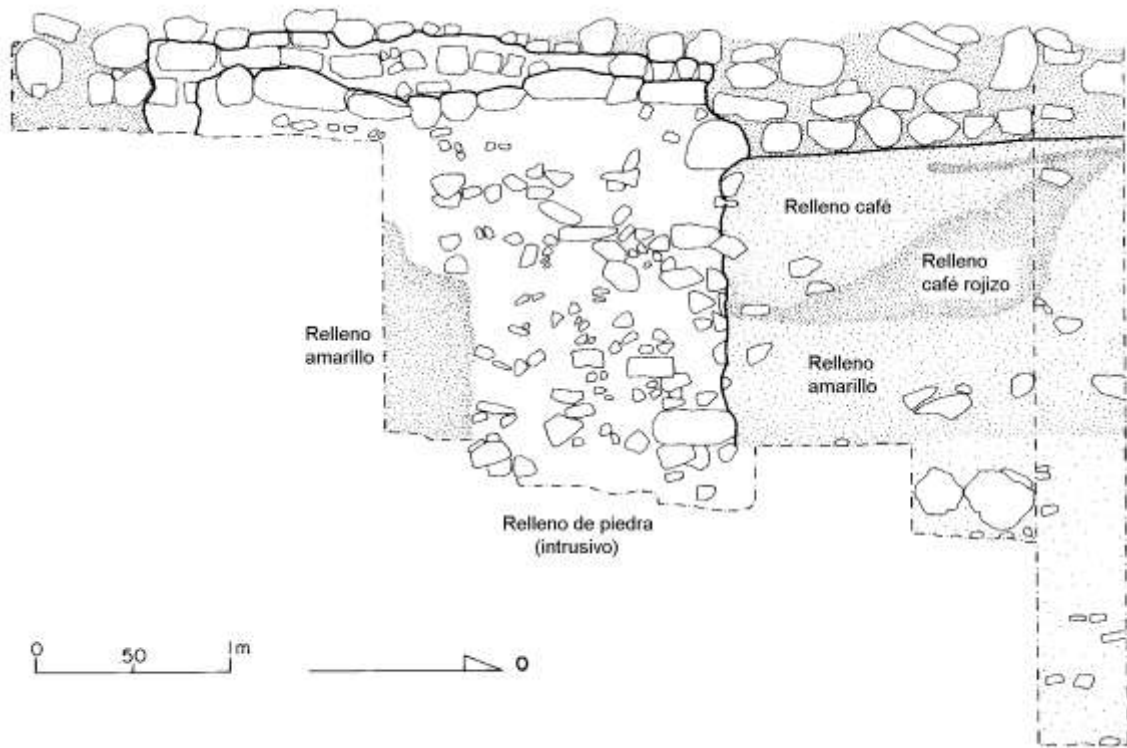


Figura 8.8 Perfil Sur de las unidades 33A-26, 33A-20 y 33A-6
(Dibujo por Stanley Guenter, calco por Luis Luin)

En el relleno café oscuro (Lote 5) se encontraron 254 tiestos cerámicos de diversos tipos y calidades, así como huesos humanos largos, 8 dientes y varias cuentas de piedra verde, amatista púrpura y concha de color naranja (*Spondylus*). También se encontraron algunos caracoles y un objeto de concha en forma de medio círculo que pudo representar a un glifo *witz'* (Figura 8.9). Estos artefactos sin duda representan objetos importados de las Tierras Altas y las costas del Pacífico y Atlántico, que seguramente fueron parte de algún collar o brazalete, aunque algunas pudieron ser parte de un pectoral.



Figura 8.9 Artefactos y piezas dentales del entierro de la Estructura 13Q-3
(Fotografía por Yann Dessailly-Chanson)

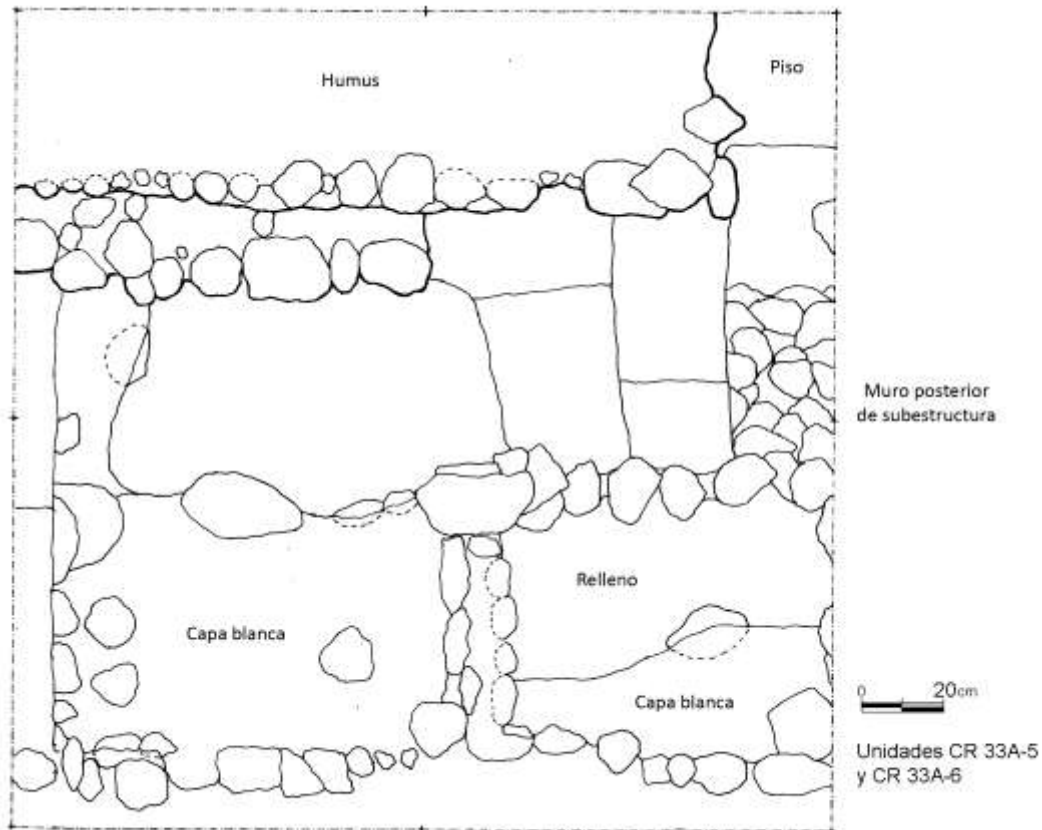


Figura 8.10 Planta de las excavaciones de las unidades 33A-5, 33A-6, 33A-20 y 33A-21 (Dibujo por Clarissa Cagnato, calco por Luis Luin)

El contexto de estos materiales es difícil de interpretar porque se encontraron a casi dos metros de profundidad, además que el final de la temporada no permitió terminar las excavaciones en esta unidad. Aunque será necesario continuar con esta unidad en 2011, se pueden proponer dos interpretaciones con respecto a lo encontrado en 2010.

La primera es que se trata de una persona de estatus elitista, que pudo o no pertenecer a la familia real, y que posiblemente fue sacrificado y enterrado de manera intrusiva dentro de la última fase arquitectónica de la Estructura 13Q-3. El estatus del individuo se asume en base al tipo de material encontrado alrededor y por la buena calidad de los dientes asociados, de los cuales dos de ellos presentaron modificación dental en la forma de incrustaciones y uno tenía una incrustación de concha *spondylus*. En cuanto a esta incrustación de concha, llama la atención que el agujero es bastante grande y cubre casi todo el diente, por lo que es posible que haya sido realizado *post*

mortem (Canuto, com. pers. 2010). Aunque todavía no se puede deducir todavía el motivo de este entierro, hay que tomar en cuenta que la escalinata de esta estructura contenía glifos que hacen alusión a prisioneros (Guenter, 2009), por lo que podría tratarse de un prisionero sacrificado después de una victoria militar. De esta manera, la estructura que inicialmente fue dedicada a asuntos políticos y administrativos, pudo convertirse en un monumento conmemorativo a una victoria militar.

La segunda hipótesis es que los huesos y artefactos corresponden a un entierro previamente perturbado por diversas causas, pero principalmente por el agujero que corresponde al relleno café oscuro. Esto sería el resultado de un pozo intrusivo realizado por personas que desconocían la presencia del entierro en esa localidad, especialmente si se considera que la fecha de dicho pozo corresponde al final de la ocupación del sitio, es decir, alrededor de 791 d.C, cuando las alianzas políticas cambiaron hacia Tikal. De hecho la referencia a la mujer de Tikal se encuentra en el Altar 4, el cual fue colocado frente a la escalinata central de la Estructura 13Q-3.

En conclusión, las dos hipótesis son igualmente probables, aunque no excluyen alguna interpretación alternativa. Por ejemplo, puede ser que los restos pertenezcan a más de un individuo, pero esto se sabrá hasta que se pueda determinar sexo y/o edad de los mismos. Los artefactos asociados tampoco pueden ayudar a una determinación de género, porque los ornamentos de jade y concha fueron usados tanto por mujeres como por hombres. Sin embargo, hay que notar que el uso de amatista es bastante raro.

CR 33A-26

En esta unidad se removió la capa delgada de humus (Lote 1) para revelar la banca y su grada lateral (Lote 2). Se pudo encontrar también el piso gris en buen estado de conservación en el lado norte de la unidad (Lote 3), a una profundidad de 43 a 46 cm (Figura 8.11). Su color, composición y nivel encajaron perfectamente con los otros restos del piso en las unidades 33A-6 y 33A-20. Se recuperaron ocho tiestos fechados para el Clásico Tardío y la unidad se terminó en el nivel bajo el piso, que consistió de un relleno café oscuro amarillento mezclado con pequeñas piedras (Lote 4).

CR 33A-27

Se decidió extender la excavación 0.5 m hacia el norte de la unidad 33A-20, para continuar exponiendo el piso gris. Se removió entonces el humus (Lote 1) hasta llegar directamente al relleno, por lo que no se pudo encontrar el piso en cuestión. Parece ser entonces que el piso se desintegró en esta parte de la estructura ya sea por acción natural o por algún rasgo intrusivo. El relleno fue idéntico al de la unidad anterior, con color café oscuro amarillento y pequeñas piedras.



Figura 8.11 Esquina de la banca y grada, con el piso gris expuesto (33A-26 y 33A-27)
(Fotografía por Yann Dessailly-Chanson)

Sub-operación CR33D: Sección Oriental de la Estructura 13Q-3

Se decidió investigar la secuencia arquitectónica interna de la estructura en su extremo oriental, para lo cual se colocó una unidad de 2 x 1 m (CR 33D-1). Después de remover el humus (Lote 1) se encontró un estrato de suelo café oscuro mezclado con piedras medianas, por lo que se definió un nuevo lote (Lote 2) que seguramente es relleno constructivo y dentro del cual se encontraron 116 tiestos. El tercer lote se definió a los 1.5 m de profundidad, ya que el color del relleno cambió drásticamente de café oscuro a ocre,

mezclado con piedras medianas. Aquí se recuperaron 190 tiestos. Aunque no se encontró ningún piso asociado a este cambio en el relleno, se encontró un muro en el lado sur de la unidad (Lote 4), cuyo contexto pareciera no estar asociado a ambos rellenos. El muro se dejó y se llegó al nivel del piso de plaza (Lote 5) a una profundidad de 3.39 m. El muro llegó también hasta este nivel, teniendo una altura total de 1.8 m. Sin embargo, se encuentra viendo hacia el norte y está inclinado hacia el sur, por lo que no parece ser la fachada norte de la última fase arquitectónica de la estructura. Por lo tanto seguramente se trata de los restos de una fase arquitectónica más temprana, aunque no corresponde directamente con el muro sur de la fase más temprana localizada en el lote 7 de la unidad 33A-7. Esto indicaría que la Estructura 13Q-3 comprendió originalmente varios edificios pequeños que en algún momento fueron unificados por la estructura larga ahora visible.

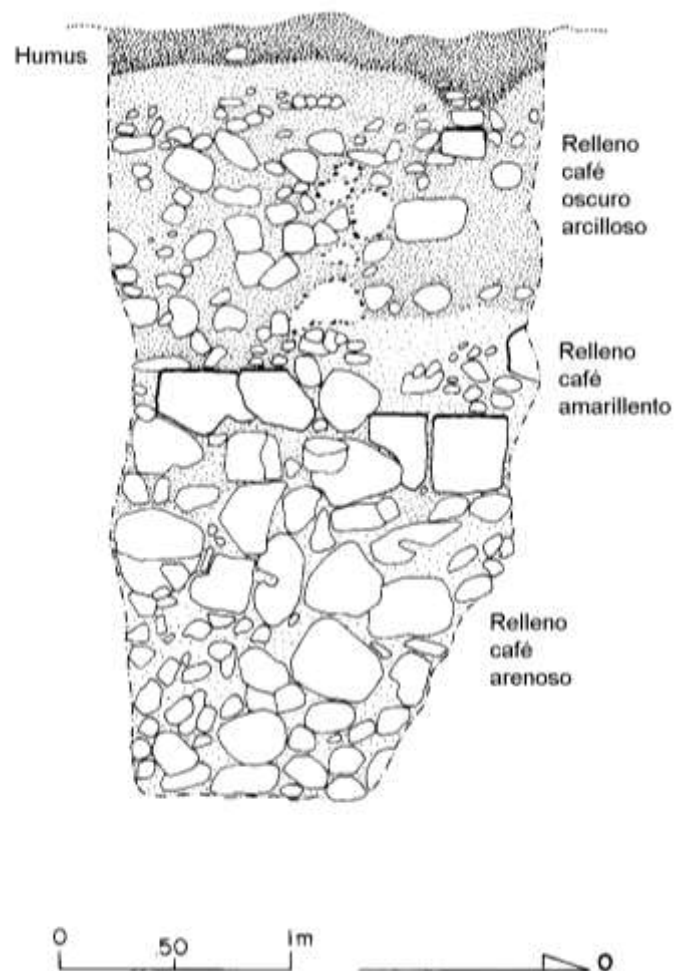


Figura 8.12 Perfil sur de la unidad 33D-1 (Dibujo por Stanley Guenter, calco Luis Luin)

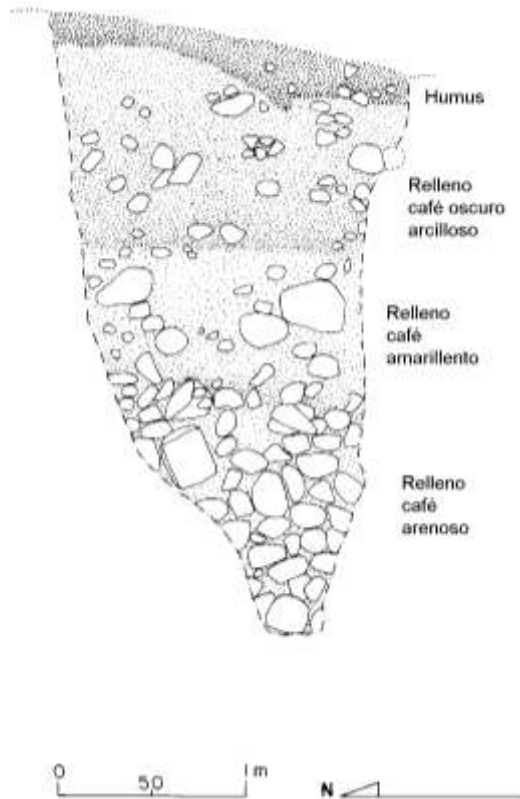


Figura 8.13 Perfil oeste, unidad 33D-1 (Dibujo por Stanley Guenter, calco Luis Luin)

Conclusiones sobre la operación CR33 y la Estructura 13Q-3

En base a un cuidadoso análisis de los estratos encontrados en la Estructura 13Q-3 se puede proponer que existen por lo menos cinco etapas constructivas definidas arqueológicamente. La primera se relaciona al muro sur encontrado en la unidad 33D-1 y la siguiente pudiera ser la subestructura bajo el piso blanco encontrada en 33A-5. Sin embargo, todavía no se ha podido determinar si esta corresponde a la expuesta en 33D-1.

La segunda etapa sería entonces la correspondiente al piso plano y los muros asociados, que se expusieron en la unidad 33A-5. La tercera se relaciona al piso rojo encontrado en la unidad 33A-6, lo que sugiere una extensión del edificio hacia su parte posterior. La cuarta etapa es la que se asocia al relleno amarillento encontrado en el lado oeste de las unidades 33A-6 y 33A-6, lo que sugiere una ampliación vertical del edificio. La quinta y última etapa corresponde al pozo intrusivo encontrado en 33A-20, que está directamente asociado con un entierro y cuya matriz es un suelo café oscuro que se distingue claramente del relleno original de color ocre.

Operación CR35

La Estructura 13Q-5 es una plataforma baja de forma rectangular, cuya orientación sigue un eje este-oeste. Mide 62 m de largo y 3.7 m de alto. Las investigaciones se han llevado a cabo bajo la operación CR35, la cual ha sido dividida en cuatro sub-operaciones: A, B, C y D.

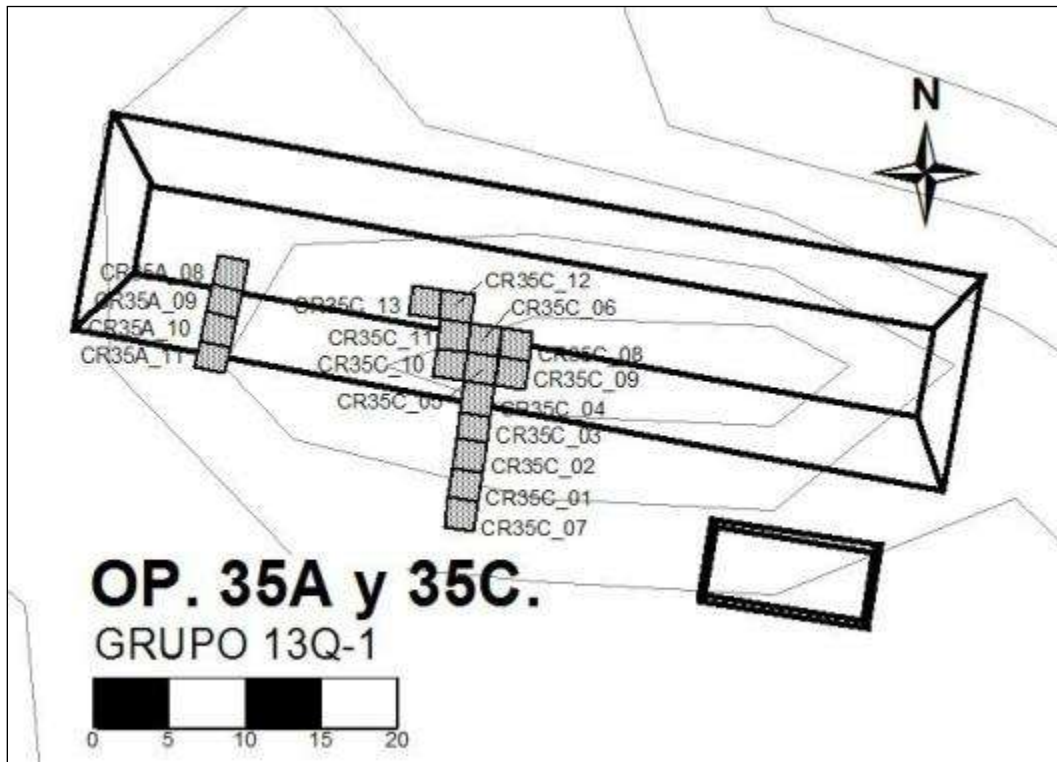


Figura 8.14 Ubicación de excavaciones en las suboperaciones 35A y 35C en 2010
(Mapa realizado por Rodrigo Guzmán)

El extremo oeste de la estructura corresponde a la sub-operación A, mientras que el extremo este define la sub-operación D. La sub-operación B se definió en una trinchera de saqueo localizada en la parte posterior central de la estructura y la sub-operación C corresponde al frente y parte central de la plataforma. En 2010 se llevaron a cabo excavaciones en las sub-operaciones A y C, y toda la cerámica recuperada se fechó para el Clásico Tardío, ya que predominaron los tipos Encanto Estriado, Tinaja Rojo, Polvero Negro, Saxche y Maquina Café (Acuña, com. pers. 2010).

Sub-operación CR35A: Escalinata de la Estructura 13Q-5

En la temporada 2010 se decidió investigar la fase arquitectónica final en la parte oriental de la estructura, por lo que se colocó una unidad de 2 x 2 m (CR 35A-8) Se inició removiendo la capa de humus (Lote 1), mostrando algunos fragmentos de piso dentro de la parte noroccidental de la unidad. También se expuso un alineamiento de piedras que corren de oeste a este en la parte sur de la unidad (Figura 8.15).



Figura 8.15 Alineamiento de piedras en CR 35A-8-1 (Foto por Yann Dessailly-Chanson)

Ambos rasgos sugirieron la existencia de un rasgo arquitectónico en esta parte de la estructura (Lote 2), el cual parece estar relacionado con el último escalón de la escalinata central que asciende a la plataforma. Frente al alineamiento de piedras y en la esquina sureste del pozo, se encontró una placa de piedra verde, con un agujero en uno de sus extremos (Figura 8.16). Este es el tipo de placas o “hachas” que se usaban como ornamentos, los cuales colgaban de los cinturones de gobernantes.



Figura 8.16 Placa de piedra verde encontrada en CR 35A-8-2
(Fotografía por Yann Dessailly-Chanson)

Se decidió entonces abrir tres unidades más (35A-9, 35A-10 y 35A-11) al sur de la unidad 35A-8 y hacia la plaza, cuyo objetivo fue entender el rasgo arquitectónico y el contexto de la placa de piedra verde. En estas unidades se removió el humus (Lote 1), exponiendo una serie de escalones y descansos (Lote 2).

En la unidad 35A-11 se encontraron tres escalones, otros tres en la unidad 35A-10 y uno en la unidad 35A-9. Estos rasgos comprobaron que la última fase arquitectónica de la estructura contaba con una pequeña escalinata hacia el oeste, constituida entonces de ocho escalones (Figura 8.17). Por lo tanto es razonable creer que una escalinata similar puede ubicarse en el lado este de la plataforma.

Finalmente, se recuperó un diente humano en la esquina noreste de la unidad 35A-9, a 1.43 m al norte de donde se encontró la placa de piedra verde, aunque no se pudo comprobar si ambos artefactos estaban relacionados. En total se recuperaron 92 tiestos en el lote 35A-8-2, 107 tiestos en 35A-9-2, 31 tiestos en 35A-10-2 y 52 tiestos en 35A-11-2, todos fechados para el Clásico Tardío (Acuña, 2010).

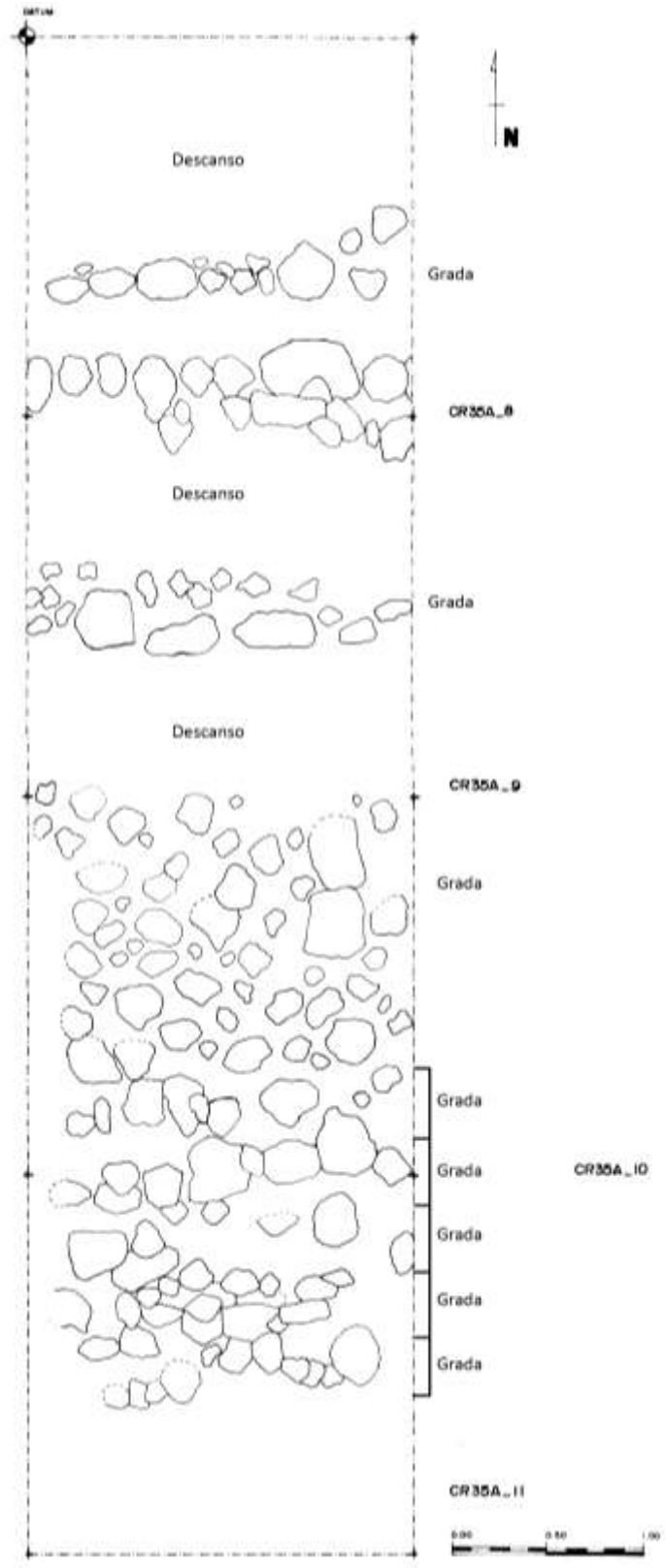


Figura 8.17 Planta de las unidades 33A-8, 33A-9, 33A-10 y 33A-11 (Dibujo y calco por Cassandra Sansregret)

Sub-operación CR35C: Escalinata de la Estructura 13Q-5

En esta temporada también se llevaron a cabo varias excavaciones en la escalinata central de la estructura, con el objeto de recuperar datos acerca de la profundidad en que se encuentra el piso de plaza, así como la presencia de subestructuras y la posible presencia de escalinatas anteriores, ofrendas, escondites o entierros. También se quería comprobar la existencia de una superestructura en la cima de 13Q-5. Durante las excavaciones se pudo observar la presencia de dos bloques de piedra ubicados en la superficie de la estructura, los cuales estaban extremadamente erosionados pero pudieron tener algún glifo e incluso el retrato de un jugador de pelota. Como no se llegó a un consenso sobre la posibilidad que hayan sido originalmente tallados, no se consideró necesario ampliar esta información.

CR35C-1

Se reabrió esa unidad de 2 x 1 m, la cual fue iniciada en 2009. En este pozo no se había encontrado el piso de la estructura, dada la presencia de una excavación de saqueo, por lo que se encontró un relleno con piedras medianas en toda la unidad. Sin embargo, a diferencia de 2009, en esta temporada se pudo exponer un escalón en la parte sur de la unidad, así como algunas áreas con piso conservado (Lote 2). Sin embargo esto no fue suficiente para reconstruir por completo la parte basal de la estructura durante la última etapa constructiva. Las dos gradas expuestas en la unidad 35C-2 estaban muy arriba, por lo que era obvio que faltaban escalones en la unidad 35C-1. Por ello se abrió una extensión de 2 x 0.5 m, 3 m al oeste de la unidad 35C-1, en un área que no había sido perturbada por saqueos y donde se notaba superficialmente que los alineamientos de piedra estaban bien conservados. Al remover el humus (Lote 1) se encontraron tres escalones hechos con bloques sueltos y espaciados regularmente, los que encajaron perfectamente con los ya mencionados en las unidades 35C-1 y 35C-2.

CR35C-3

Esta unidad de 2 x 2 m también se reabrió en 2010, llegando a descubrir una grada y su descanso (Lote 2), los cuales fueron colocados sobre el piso de estuco (Lote 3). El piso fue construido con un relleno denso hecho mayormente con piedras de tamaño

mediano (Lote 4), que tuvo un espesor de 1.68 m y bajo el cual se encontró el piso de plaza (Figura 8.18). De este último relleno se recuperaron 115 tiestos. En conclusión se puede afirmar que en esta unidad solamente se encontró una etapa constructiva, ya que la profundidad del piso de plaza es consistente con el piso de plaza encontrado en la unidad CR35C-1. Esta estratigrafía contradice la evidencia de pisos múltiples encontrados dentro del extremo occidental de la estructura durante la temporada 2008, por lo que es posible que originalmente hayan existido varias estructuras pequeñas que eventualmente se fusionaron para crear la plataforma larga del Clásico Tardío.



Figura 8.18 Grada y descanso encontrados en la unidad 35C-2
(Fotografía por Yann Dessailly-Chanson)

CR35C-4

Consiste en un pozo de 2 x 2 m que fue reabierto en esta temporada 2010. La unidad se excavó de norte a sur, exponiendo un escalón, un descanso y otro escalón. Estos rasgos presentaron áreas con repello de estuco y corresponden a la última fase arquitectónica (Lote 2). Cuando se siguió excavando hacia abajo se descubrieron cuatro escalones angostos y bajos, así como un piso de estuco bien conservado en la parte sur de la unidad. Todos los escalones fueron construidos con gran cuidado y estaban perfectamente preservados (Figura 8.19). La calidad y conservación de esta escalinata también contrasta con las gradas sueltas descritas anteriormente.



Figura 8.19 Escalinata encontrada en 35C-4 (Foto por Yann Dessailly-Chanson)

Entonces, había que corroborar si estas gradas fueron parte de la última etapa constructiva o de una anterior. Por lo tanto se constató que los cuatro escalones no coincidían con los alineamientos en la superficie de la estructura, indicando así que no eran parte de la misma etapa. Por otro lado, los dos escalones altos si se correlacionaron bien con la última fase constructiva. Con esto se concluyó que efectivamente esos cuatro escalones forman parte de una escalinata anterior asociada a una subestructura. Sin embargo, parece que cuando se construyó la última fase de 13Q-5, ésta incorporó estos dos últimos escalones para acceder a la plataforma superior (Figura 8.21).

CR35C-5 y CR35C-6

Esta también fue una unidad de 2 x 2 m que se reabrió en 2010, y que estaba cubierta por grandes raíces de un árbol cercano. Estas raíces dislocaron un alineamiento de piedras localizado en la parte sur de la unidad, el cual había sido interpretado como la grada final de la escalinata central de la última etapa constructiva de 13Q-5. Al cortarse las raíces y removerse el humus (Lote 1) se expuso la grada, que fue definida como Lote 2. Bajo este nivel se encontró un relleno color café oscuro mezclado con piedras medianas y pequeñas (Lote 3), que contenía algunos fragmentos de estuco. De estos

fragmentos uno fue interesante, porque presentaba pintura roja y dos elementos decorativos modelados. Por lo tanto se cree que este es un fragmento de revestimiento de la fachada de una etapa anterior del edificio, el cual pudo haber estado pintado de rojo. En este lote también se encontraron algunas navajas de obsidiana y 38 tiestos. Bajo el relleno se excavó de norte a sur, encontrándose otro relleno, un alineamiento de piedras (Lote 7) y un piso estucado (Lote 6). Estos elementos estaban contiguos pero bastante debajo de la escalinata encontrada en la unidad 35C-4, por lo que se interpretó como los restos de una etapa mucho más antigua (Figura 8.20). Sin embargo ha sido difícil determinar el contexto del piso de estuco que se localiza frente al alineamiento de piedras, porque no está claro si es parte de la misma fase o es un agregado posterior.



Figura 8.20 Escalinata de subestructura en la unidad 35C-5
(Fotografía por Yann Dessailly-Chanson)

Dado que el piso estaba muy cerca de la escalinata de la unidad 35C-4, se decidió excavar el relleno, y pronto aparecieron dos dientes no humanos que mostraban agujeros, como si fueran parte de un collar (Figura 8.22). El análisis posterior de estos dientes mostró que son de un canino, posiblemente perro (ver Capítulo 12, en este informe). La excavación continuó recuperando más restos óseos y fragmentos grandes de dos platos utilitarios. Por lo tanto se concluyó que se trataba de un entierro (Lote 4) y fue necesario abrir la unidad 35C-6 para ampliar el área de trabajo.

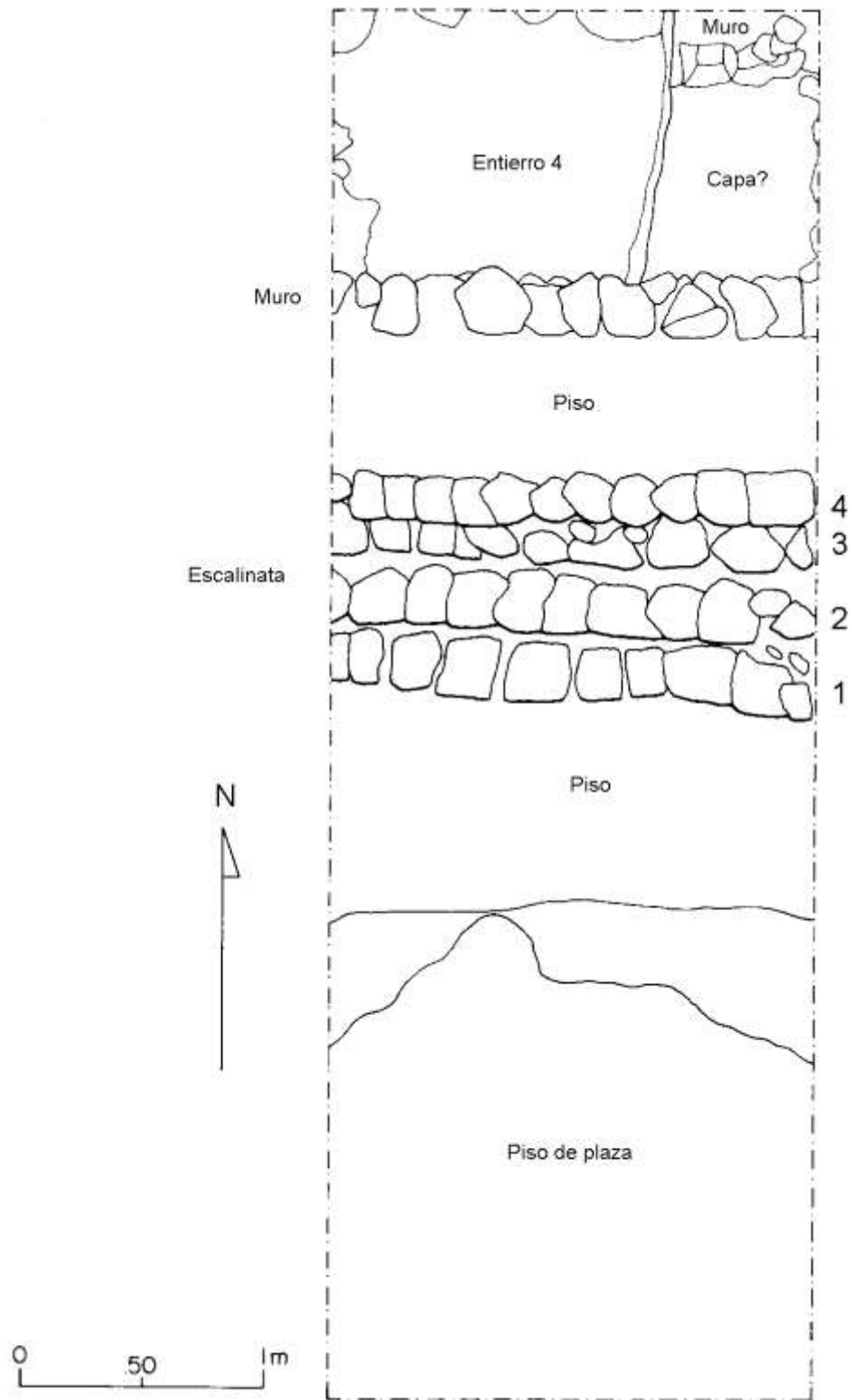


Figura 8.21 Planta de las unidades 35C-3, 35C-4, 35C-5 y 35C-6
(Dibujo por Clarissa Cagnato, calco por Luis Luin)



Figura 8.22 Collar de dientes encontrado en el entierro de la unidad 35C-5
(Fotografía por Yann Dessailly-Chanson)

En la unidad 35C-6 se removió el humus (Lote 1) y se encontraron parches de estuco pertenecientes al piso (Lote 2). Al excavar el relleno (Lote 3) se recuperaron 72 tiestos y otros nueve dientes de canino perforados (ver Capítulo 14, en este informe). Al llegar al nivel del entierro se constató que este no se extendía hasta la unidad 35C-6, pero de todas formas la extensión ayudó a contar con más espacio de trabajo.

Entonces se procedió a excavar el entierro y se recuperaron muy pocos huesos, posiblemente el 5% de todo el esqueleto (ver Capítulo 13 en este informe), por lo que no se pudo constatar cuál era su orientación, sexo o edad (Figuras 8.23 y 8.24). No se recuperó la mandíbula pero sí algunos de los dientes. Una tercera vasija se encontró al norte de la unidad, y corresponde a un Encanto Estriado. El entierro también contuvo varias cuentas de jade y amatista, así como pequeñas conchas y caracoles (Figura 8.25). También se recuperó una navaja de obsidiana en el lado noreste de la unidad.

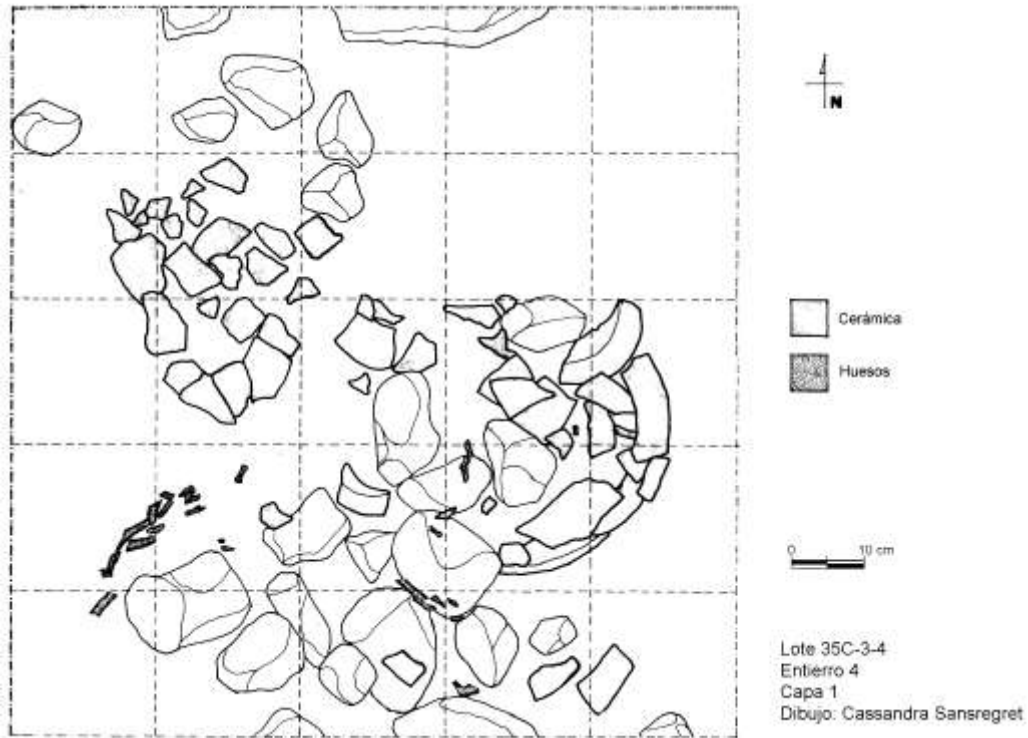


Figura 8.23 Primera capa del entierro en el lote 33C-5-4
(Dibujo: Cassandra Sansregret, calco por Luis Luin)

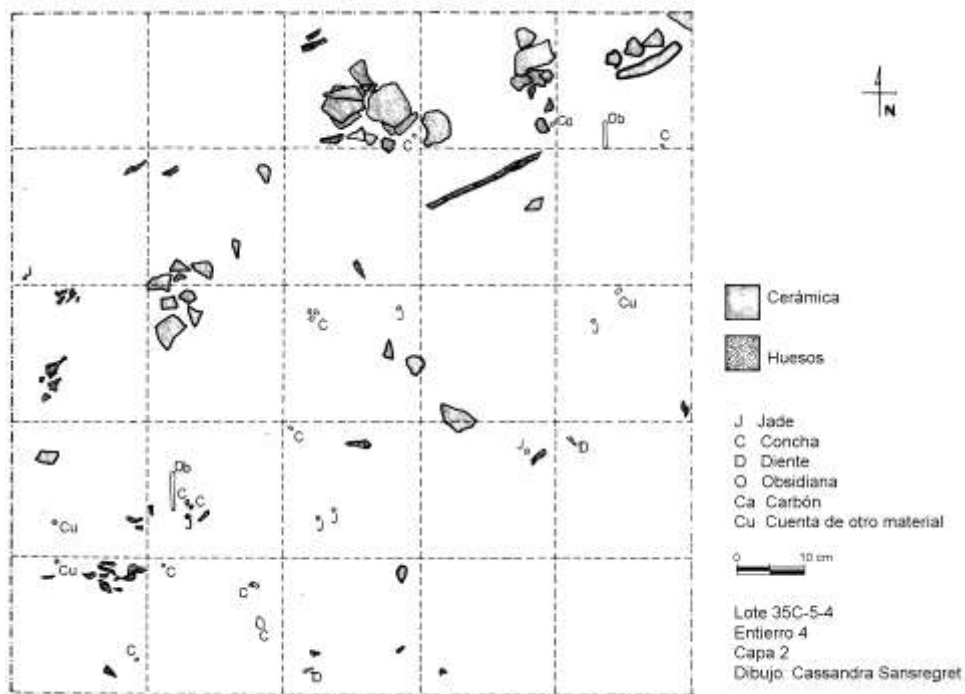


Figura 8.24 Segunda capa del entierro en el lote 33C-5-4
(Dibujo: Cassandra Sansregret, calco por Luis Luin)



Figura 8.25 Objetos de concha y piedra verde del entierro de las unidades 35C-5 y 35C-6 (Fotografía por Yann Dessailly-Chanson)

Es posible que el entierro haya sido un rasgo intruso, dado que la matriz de suelo presentó un color ocre en la parte oeste y sureste, mientras que fue café oscuro al norte y noreste. Este último parece ser de diferente composición, ya que fue más suelto y lleno de piedras pequeñas y medianas (Figura 8.26). Además, es posible que el piso haya sido cortado en la parte sureste de la unidad. Finalmente, al este del entierro se pudieron observar dos líneas verticales de piedras (¿muros de contención?), que sobresalen de un relleno o “mezcla” de color ocre (Lote 5). Dado que esta mezcla se encontró adyacente a los dos platos utilitarios, es posible que empiece en ese punto y que se extienda hacia el este, donde se encuentran los muros de piedra. Esto abre la posibilidad de encontrar otro entierro hacia esa dirección o que indiquen los límites del entierro intruso.

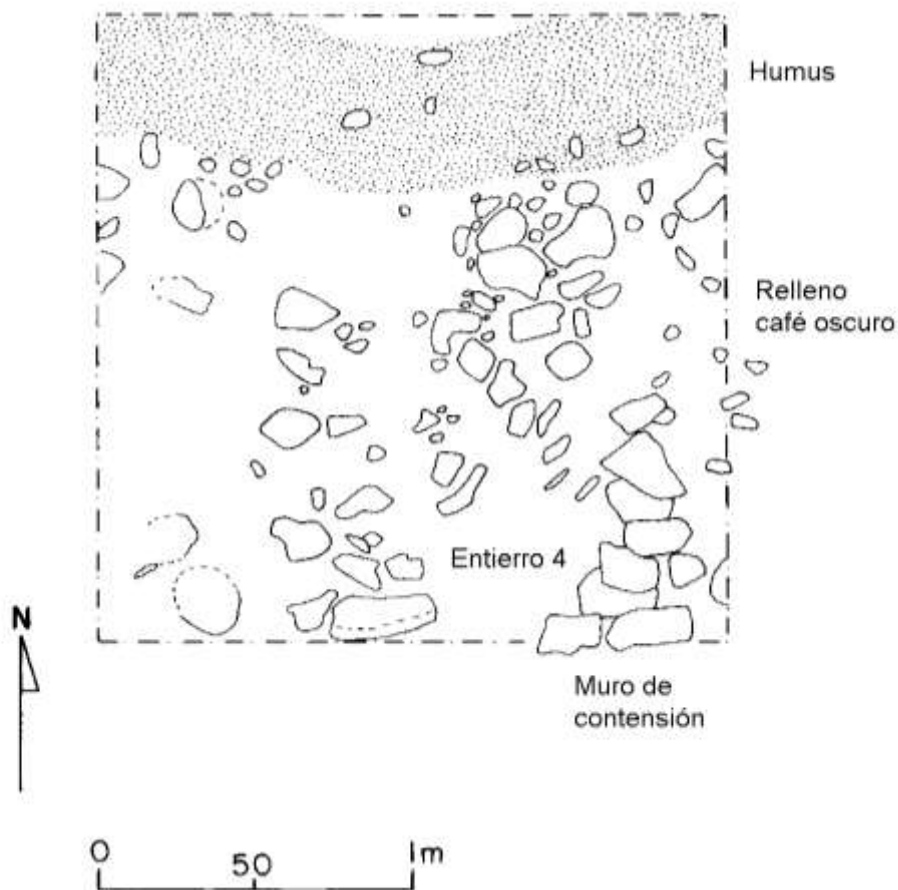


Figura 8.26 Perfil Norte de la unidad 35C-6
(Dibujo por Clarissa Cagnato, calco por Luis Luin)

CR35C-8

Se abrió esta nueva unidad al este de 35C-6, para determinar si la plataforma de 13Q-5 sostenía una superestructura. Después de remover el humus (Lote 1) se observó que la parte norte del pozo estaba cubierto con escombros, además que las raíces del árbol habían perturbado los restos de piso estucado (Lote 2). Sin embargo se expuso un pequeño muro que corre de norte a sur (Lote 3) y que formó parte de una plataforma. Además, se encontró otro muro pequeño al este, cuya fachada oriental estaba estucada. Por el momento no está claro si ambos muros sostenían la plataforma o si el muro pequeño corresponde a una grada o banqueta. Adicionalmente se recuperaron fragmentos de estuco negro en la esquina noreste de la unidad, y la coloración posiblemente fue

causada por quema. En cuanto a la cerámica, se recuperaron 48 tiestos en el lote 35C-8-2 y 44 tiestos en el lote 3, todos pertenecientes al Clásico Tardío (Acuña, com. pers. 2010).

CR35C-9

Esta unidad fue ubicada al sur de la unidad 35C-8 y su objetivo fue seguir los dos muros expuestos. Después de remover el humus (Lote 1) se encontraron restos del piso estucado (Lote 2) y ambos muros, los cuales siguieron la misma orientación norte-sur. En esta excavación se pudo constatar que los muros se unen directamente con la última grada de la escalinata central de la estructura, formando así la esquina sureste de una plataforma (Figura 8.27). Se recuperaron 15 y 28 tiestos de los lotes 35C-9-2 y 35C-9-3, respectivamente.

CR35C-10

Esta unidad se colocó al oeste de la unidad 35C-5, para seguir exponiendo el último escalón perteneciente a la última fase arquitectónica y su unión con la esquina suroeste de la plataforma. Al removerse el humus (Lote 1) no se encontró el piso, pero sí un fragmento de estuco pintado de rojo. Sin embargo sí se encontró el muro que formaba la esquina suroeste de la plataforma (Lote 2) (Figura 8.28). Con esto se pudo comprobar que la Estructura 13Q-5 contaba con una superestructura perecedera colocada sobre esta plataforma, la cual mide 3.20 m de largo y 5.5 m de ancho, aunque no se encontró algún muro que la delimitara en su lado oeste. Se recuperó un total de 12 tiestos en el lote 35C-10-2.

CR35C-11

Esta unidad consistió de un pozo de 2 x 2 ubicado al oeste de 35C-6 y al norte de 35C-10. Su objetivo fue seguir el muro oeste de la plataforma para encontrar su esquina noroeste. Al removerse el humus (Lote 1) no se encontró nada del piso estucado, aunque sí se expuso la esquina de la plataforma (Lote 2), así como un rasgo interesante, ya que dicha esquina se une con un alineamiento de piedras que se encuentra a un nivel más bajo, posiblemente creando una pequeña grada o banqueta de esta construcción o de una anterior (Barrientos, com. pers. 2010) (Figura 8.29).



Figura 8.27 Muro y banqueta de la plataforma de la superestructura de 13Q-5
(Fotografía por Yann Dessailly-Chanson)



Figura 8.28 Esquina suroeste de la plataforma de la superestructura de 13Q-5
(Fotografía por Yann Dessailly-Chanson)

CR35C-12

Esta unidad se abrió al norte de 35C-11, para entender mejor la relación entre la plataforma y otras posibles construcciones previas. Por lo tanto se removió la capa de humus (Lote 1) para exponer la grada o banqueta encontrada en la unidad anterior. La pequeña grada dio acceso a otro alineamiento de cuatro bloques de piedra finamente acabados (Lote 2) y muy bien conservados (Figura 8.29). Al final se concluyó que el rasgo de 35C-11 si es un escalón que subía a una banca (Barrientos, com. pers. 2010), de la cual solamente queda el alineamiento de los cuatro bloques (Lote 3), posiblemente por acción natural, como lo sugiere la presencia de dos grandes árboles en esta parte.



Figura 8.29 Muro de la plataforma en la superestructura de 13Q-5
(Fotografía por Yann Dessailly-Chanson)

CR35C-13

Esta fue la última unidad abierta en 2010 y se ubicó directamente al oeste de 35C-12. Al remover el humus (Lote 1) se encontró una sección pequeña de la pequeña grada (Lote 2), pero lo más relevante es que el alineamiento de cuatro bloques (posible banca) continúa hacia el oeste con otros dos bloques finamente trabajados (Lote 3). Sin embargo, como se mencionó antes, la acción de las raíces de los árboles destruyó lo que resta de la banca. No obstante, la evidencia si sugiere que la banca y el pequeño escalón son anteriores a la plataforma, la cual representa entonces la última modificación de la superestructura.

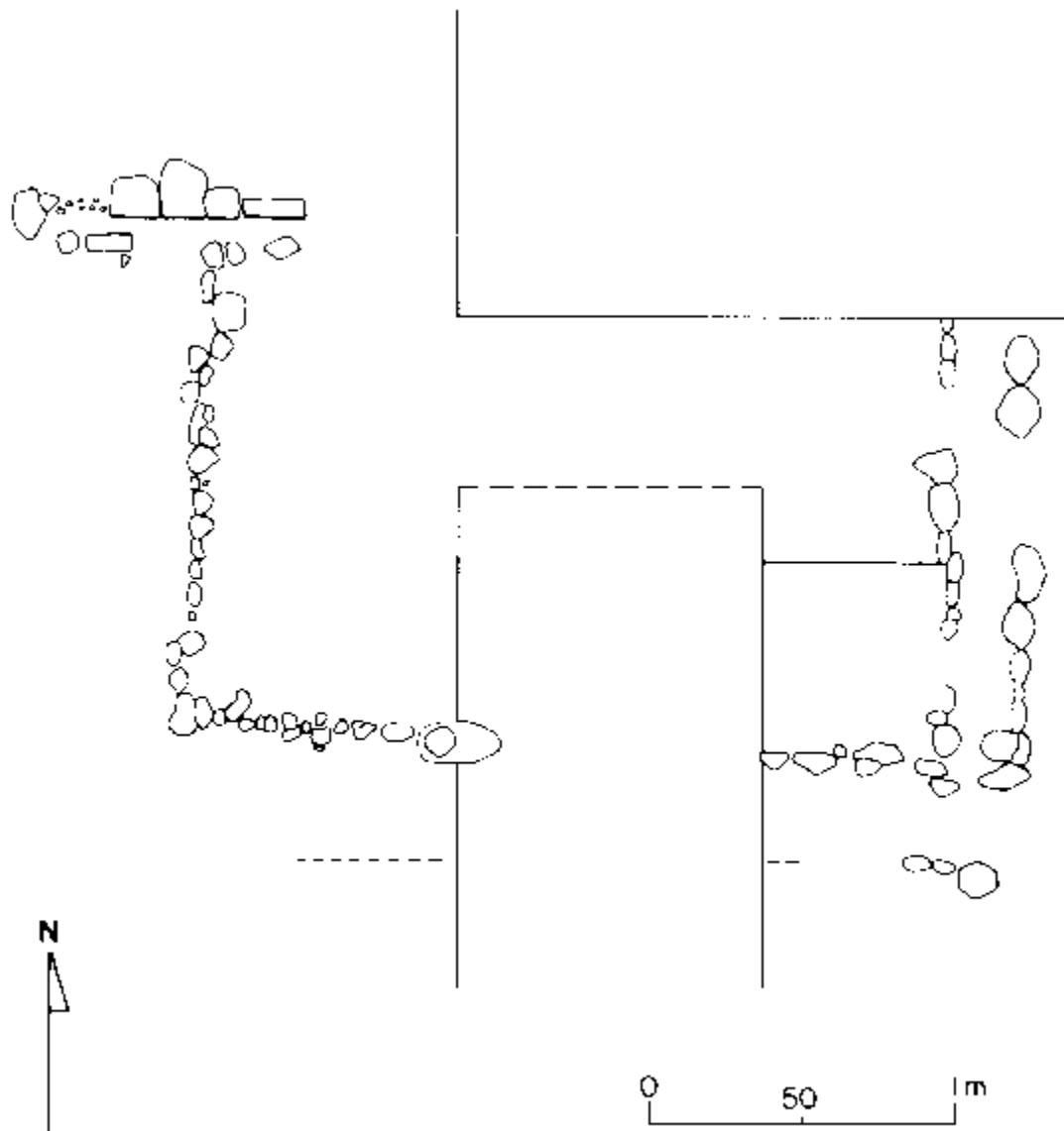


Figura 8.30 Planta de las unidades 35C-10, 35C-11, 35C-12 y 35C-13
 Plataforma de la superestructura de 13Q-5
 (Dibujo por Cassandra Sansregret, Calco por Luis Luin)

Conclusiones sobre la operación CR35 y la Estructura 13Q-5

En conclusión, después de examinar la estratigrafía de la Estructura 13Q-5, se propone que existieron por lo menos seis episodios constructivos (Figura 8.31):

- La primera se relaciona a los numerosos pisos revelados por la sub-operación 35A durante la temporada de 2008. De estos, solamente el piso de plaza ha sido encontrado en otro lugar, que sería en la unidad 35C-3. Por lo tanto la secuencia de la sub-operación 35A puede significar más de una fase, pero eso no pudo probarse.
- La segunda etapa se relaciona tanto al relleno y alineamiento de piedras encontrado en la unidad 35C-5.
- La tercera y cuarta se evidencian por las dos escalinatas superimpuestas.
- La quinta esta asociada a la construcción de la plataforma como adosamiento a una banca ya existente, tal como se observó en la unidad 35C-11.
- La sexta y última correspondería al corte intrusivo asociado al entierro en la unidad 35C-5, pero este contexto todavía debe estudiarse.

Conclusiones Generales

Las excavaciones llevadas a cabo en 2010 comprobaron que las estructuras 13Q-3 y 13Q-5 no fueron construidas en un solo episodio. Al contrario, parece que al principio consistieron en varias estructuras pequeñas que se unificaron posteriormente en una sola plataforma, la cual también fue agrandada paulatinamente. Las escalinatas fueron modificadas y en el caso de 13Q-3 se le agregaron bloques con glifos tallados. También se encontró evidencia de decoraciones con estuco modelado y pintura roja. En cuanto a su función, se sugiere que estas dos estructuras sirvieron como centro de poder político y administrativo del sitio de Sak Nikte' (Canuto, com. pers. 2010), aunque su función pudo haber sido múltiple o evolucionado a través del tiempo. La presencia de por lo menos un entierro en cada estructura podría sugerir una función funeraria, aunque este cambio de uso bien puede relacionarse a cambios políticos sucedidos al final de la ocupación del sitio, que se asocia con la llegada de una mujer de Tikal alrededor de 791 d.C. En este caso, la creación de un nuevo orden político pudo reflejarse en la remodelación de estas y otras estructuras en el sitio, y la implementación de nuevas actividades ceremoniales, como lo serían los entierros intrusivos.



Figura 8.31 Perfil Este de las unidades 35C-1, 35C-2, 35C-3, 35C-4, 35C-5 y 35C-6

(Dibujo por Clarissa Cagnato, calco por Luis Luin)

CAPÍTULO IX

OPERACIONES CR12, CR14 Y CR15: EXCAVACIONES EN LAS ESTRUCTURAS 13R-3, 13R-4 Y 13R-2 DEL GRUPO CORONITAS

Joanne Baron

Introducción

El Grupo Coronitas se define como la serie de templos que se encuentran en el cuadrante 13R del sitio La Corona, y constituyen un alineamiento de cinco templos piramidales arreglados en un eje norte-sur. Los templos en los extremos norte y sur (13R-1 y 13R-5 respectivamente) son los de menores dimensiones, ya que se elevan unos 5 m, mientras que los tres de en medio son más grandes, elevándose unos 8 m sobre la base de la plataforma que los sostiene. En este grupo arquitectónico se han llevado excavaciones desde 2006, como resultado del descubrimiento de un panel glífico *in situ* en el Templo 13R-5, en el año de 2005.

Gran parte del trabajo llevado a cabo en el Grupo Coronitas, incluyendo esta temporada 2010, ha sido orientado para responder interrogantes que han surgido desde el descubrimiento del Panel 1. Su inscripción trata de muchos temas relevantes a la historia política y actividad ritual en La Corona, especialmente porque el tema principal de este texto es la dedicación de un templo en honor a la deidad nombrada como *Wak Mih Nal K'uh* que significa “el dios del lugar seis nada” (Guenter 2005). El panel también se refiere a la dedicación de otros tres templos dedicados a los dioses *Yax Ajaw* “Primer Señor,” *Chak Wayib Chaak* “Gran Templo Chaak” y *K'an Chaak* “Chaak Amarillo” (Guenter 2005). Por lo tanto, uno de los objetivos principales de los trabajos en Coronitas ha sido determinar si estos tres templos corresponden a las Estructuras 13R-2, 13R-3 y 13R-4 (los tres templos centrales del grupo), y si fuera así, qué datos arqueológicos nos pueden proporcionar sobre la veneración de deidades en La Corona.

Las excavaciones durante la temporada 2010 se llevaron a cabo como parte de cuatro sub-operaciones. La sub-operación CR12A continuó las excavaciones realizadas en 2008 y 2009 en la plataforma que sostiene a los tres templos centrales (13R-2, 13R-3 y 13R-4). La sub-operación CR14A se definió en la limpieza de la trinchera de saqueo masiva en la Estructura 13R-4 y la excavación de un pozo en la base de dicha trinchera, ubicada en el eje central de la

estructura. La sub-operación CR14B consistió de una trinchera de 1 x 9 m en la parte posterior de la Estructura 13R-4, con el objeto de explorar las terrazas posteriores del templo y la búsqueda de desechos provenientes de ceremonias asociadas a los templos. Finalmente, la sub-operación CR15A comprendió la limpieza de la trinchera de saqueo en la Estructura 13R-2 y la exploración general de la arquitectura de dicho edificio.

Dado que hasta la fecha se han encontrado distintos rasgos arquitectónicos, se adoptó la metodología usada en el Palacio 13Q-4 para nombrar pisos y plataformas con términos de fácil referencia (nombres de pájaros y árboles locales). Este sistema fue creado durante las excavaciones en Copán y ha servido para evitar traslapes de términos y para diferenciar los rasgos entre edificios o grupos. En este caso, los pisos y plataformas del Grupo 13R-I se han identificado preliminarmente con nombres de verduras, y se establecerán nombres más apropiados cuando se definan de mejor forma.

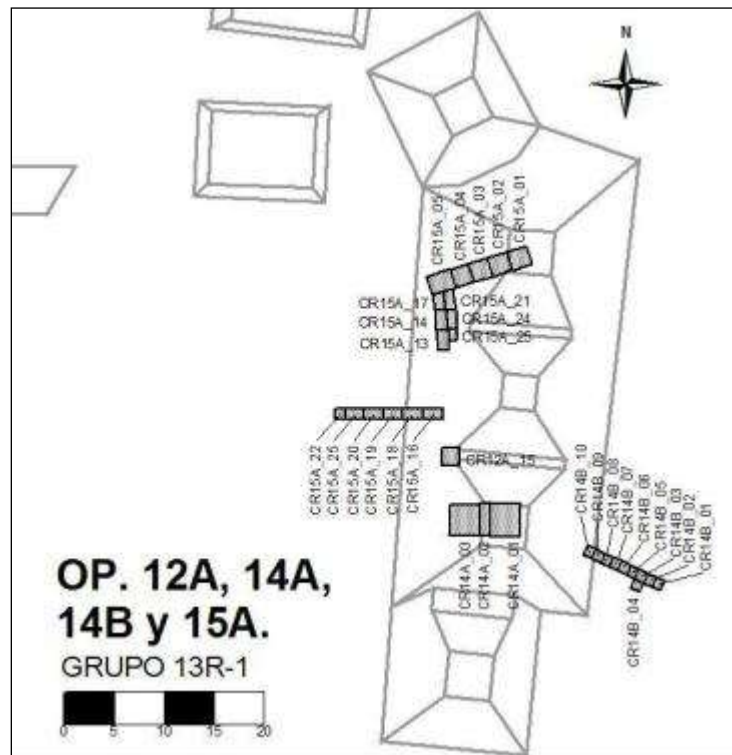


Figura 9.1 Ubicación de excavaciones en las operaciones CR12, CR14 y CR15 en 2010
(Mapa elaborado por Rodrigo Guzmán)

Operación CR12A

Antecedentes

La operación CR12A se inició en 2008 con una serie de unidades orientadas a buscar la escalinata de la Estructura 13R-3 (Baron 2009). Durante ese año se descubrió una superficie estucada muy mal conservada, ubicada en la base de la estructura, junto a un escalón también en mal estado de conservación. No obstante, se descubrió otro escalón mejor conservado más arriba. Las excavaciones en 2009 continuaron explorando estos rasgos (Baron 2010), hasta que se pudo comprobar que la Estructura 13R-3 tuvo su propia escalinata que desciende hasta el basamento que sostiene las tres estructuras centrales 13R-2, 13R-3 y 13R-4. Los primeros cinco escalones que ascienden hacia la superestructura de 13R-3 se encontraron bien conservados, pero los que se encuentran más arriba estaban casi destruidos por completo. En 2009 también se exploró el basamento en sus fachadas norte y sur, y su superficie parece que continúa bajo las estructuras 13R-2 y 13R-4. Además, se encontró restos de decoración de estuco modelado en los laterales de la escalinata de 13R-3, inmediatamente sobre el piso del basamento.

Objetivos para la temporada 2010

Uno de los objetivos de esta temporada fue continuar explorando el piso del basamento para ver la forma en que se articula con la arquitectura de 13R-2 y 13R-4. En otras palabras, confirmar que estas estructuras comparten un mismo basamento. Además, era necesario seguir investigando la escalinata del basamento mismo, para determinar su configuración. Como ya se había determinado que existían pisos anteriores bajo el primer piso, otro objetivo fue entender la secuencia de pisos y la forma en que se relacionan a las tres estructuras.

Metodología

La excavación de las unidades de la operación CR12A se llevó a cabo en tres áreas a lo largo del basamento. Una trinchera de 11 x 1 m se excavó a través del centro del basamento para buscar su escalinata, y comprendió las unidades 12A-16, 12A-18, 12A-19, 12A-20, 12A-22 y 12A-23. Otra área de excavación fue una serie de unidades que siguieron las excavaciones de 2009 en la parte norte del basamento, bajo la Estructura 13R-2. Estas unidades fueron 12A-13, 12A-14, 12A-17, 12A-21, 12A-24 y 12A-25. Finalmente, un pozo de 2 x 2 m, 12A-15, fue

excavado al sur de las unidades abiertas en 2009 para encontrar la articulación del basamento con la Estructura 13R-4. Hay que notar que debido a un error de conteo se había omitido el número 12 en el conteo correlativo de unidades, por lo que las unidades excavadas en 2009 terminan con 12A-11 y las de 2010 empiezan con 12A-13. Por lo tanto, la unidad 12A-12 no existe.

Excavaciones

La trinchera ubicada en el eje central del basamento reveló el perfil de la escalinata (Figura 9.2). Sin embargo, al igual que en 2008, la base de la plataforma se encontró en muy mal estado de conservación, seguramente como resultado de la acción de las raíces un árbol grande que creció en ese sector, así como la subsecuente quema de dicho árbol, que ennegreció el suelo y por lo tanto dificultó la interpretación de los cambios de estratos. Sin embargo, se pudo distinguir la presencia de los restos de un piso de estuco denominado “pepino” en las unidades 12A-22 y 12A-23. Este piso estaba colocado sobre un relleno blanco, el cual había sido interpretado erróneamente como roca madre en las excavaciones de la unidad 12A-1 en 2008.

Sobre el piso “pepino” se descubrió un escalón de un bloque de altura, el cual fue bastante inusual porque no se encontró en el mismo ángulo que los siguientes escalones y los demás rasgos de las estructuras cercanas. La grada se encontró rotada en dirección opuesta a las agujas del reloj, y aunque su posición puede explicarse como resultado de la acción de las raíces del árbol, no se trata de bloques desordenados sino de todo un alineamiento de tres bloques viendo hacia la misma orientación. En el caso de la unidad 12A-20, ubicada hacia el este, la escalinata si fue completamente destruida por una raíz quemada. En la unidad 12A-23 tampoco se pudo localizar algún rasgo arquitectónico en el nivel de la escalinata, aunque bajo la raíz se descubrió otro piso, denominado “papa.” Es posible que “papa” y “pepino” puedan ser el mismo piso, el cual fue colocado levemente inclinado hacia arriba y bajo la escalinata. Al este de las raíces se encontró un piso a un nivel más alto, el cual se denominó “cebolla.” Este piso ya había sido identificado en 2008 dentro de la unidad 12A-1, aunque se encontraba en una condición mucho más deteriorada. En esta temporada fue posible seguir el piso “cebolla” hasta 3.4 m hacia el este, a través de las unidades 12A-20, 12A-19 y 12A-18. Entonces, se comprobó que “cebolla” forma la superficie un descanso en la escalinata del basamento.

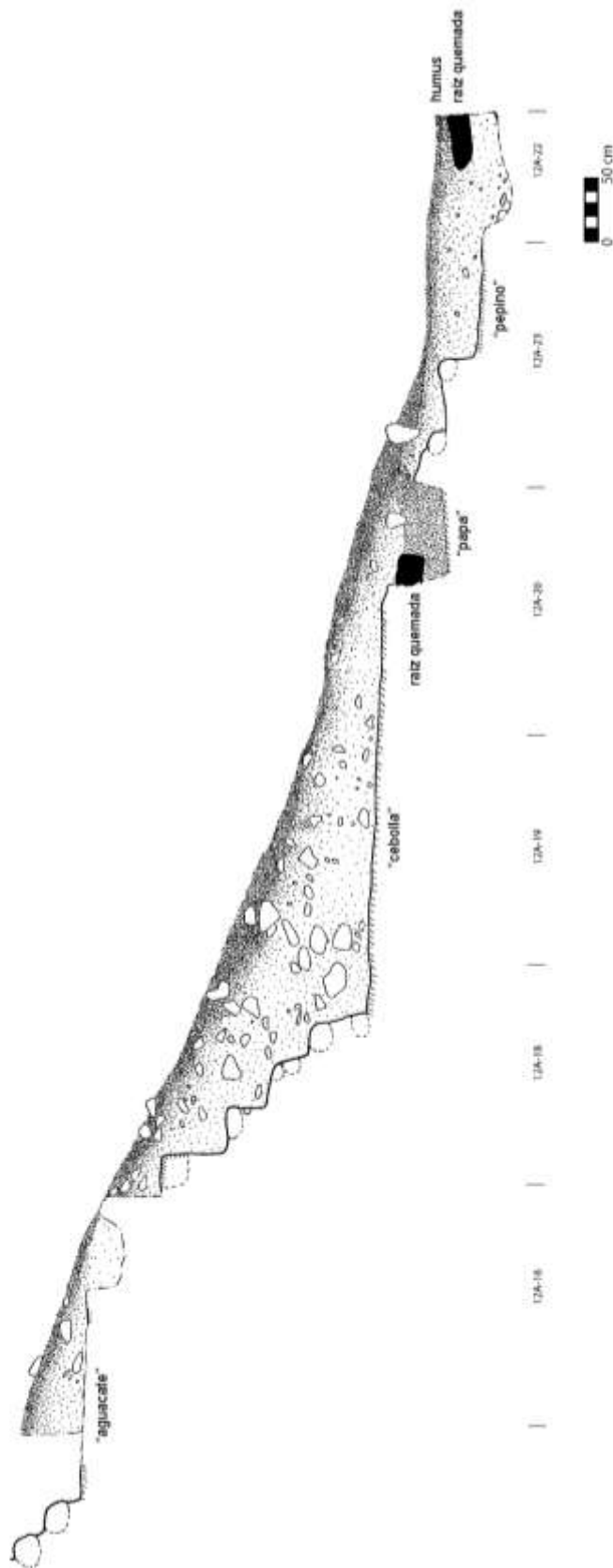


Figura 9.2 Perfil sur de la plataforma frente a la Estructura 13R-3
(Dibujo y calco por Joanne Baron)

En la unidad 12A-18 se descubrieron cuatro escalones intactos que inician a partir del piso “cebolla”, aunque no se encontraron bien conservados, con excepción del más alto, que todavía tenía su repello de estuco. Estas gradas no estaban bien niveladas en cuanto a la altura de sus bloques, ya que el primero y cuarto midieron 50 cm de alto y el segundo y tercero 30 y 40 cm respectivamente. Es probable que hubiera originalmente al menos un escalón más arriba de los encontrados, ya que la parte más occidental de la unidad 12A-16 estaba muy mal conservada. Sin embargo, más hacia el este se encontraron pequeños restos de un piso estucado, denominado “aguacate”, el cual es el mismo que se excavó extensamente en 2009 y forma la cima del basamento sobre el cual se construyeron los tres templos.

Antes de continuar describiendo las excavaciones de las unidades en la sub-operación 12A, es importante notar un interesante descubrimiento que fue realizado en la esquina suroeste de la unidad 12A-18, justamente bajo la superficie. En este punto se recuperó un incensario postclásico completo y casi intacto (Figura 9.3), el cual se encontraba caído y su boca estaba viendo hacia el oeste. En la unidad 12A-19, bajo dicha vasija, se encontró un cuchillo de pedernal en forma de hoja de laurel, el cual pudo haber estado originalmente dentro del incensario. Un incensario idéntico fue descubierto en 2009 en la cima de la Estructura 13Q-2, el cual todavía estaba de pie (Guenter 2010). Es posible entonces que ambos incensarios fueron colocados en esos lugares por peregrinos que llegaron a La Corona durante el período Postclásico. Para esta época la arquitectura del basamento ya había colapsado y estaba en ruinas, y será interesante ver si hay más de estos objetos en otras estructuras del sitio, o si se restringieron solamente a los templos.

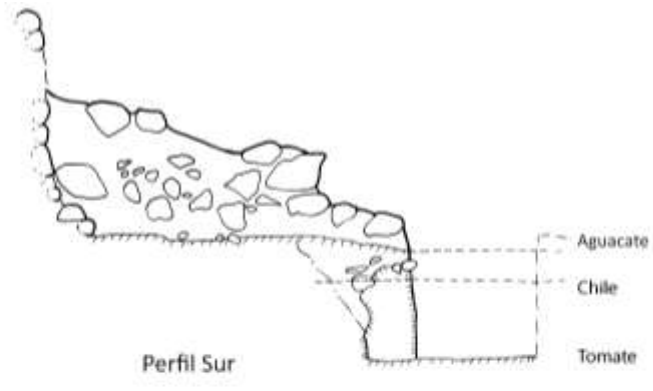
La unidad 12A-15 se colocó hacia el sur, sobre la cima del basamento, junto a las unidades excavadas en 2009: 12A-10, 12C-10, 12C-8 y 12C-12. En la temporada anterior se había descubierto un muro que corría de este a oeste, y esta unidad se abrió para explorar si este muro formaba el límite de la escalinata de la Estructura 13R-4. Desafortunadamente esta interrogante permanece sin resolver, pero la unidad produjo importante información de varios rasgos arquitectónicos interesantes (Figura 9.4).



Figura 9.3 Fotografía del incensario Postclásico (Fotografía por Joanne Baron)

Primero, ahora se sabe que el muro descubierto en 2009 fue construido sobre el piso “aguacate”, identificado más al norte. Entonces, la excavación de 12A-15 se inició siguiendo el muro y el piso “aguacate” hacia el oeste, y se descubrió que el muro termina en una esquina y cruza hacia el sur. No obstante, las excavaciones siguieron el piso “aguacate” bajo el muro, descubriendo que bajo el muro existía una versión del mismo rasgo pero más ancho y con su recubrimiento de estuco intacto. Este muro temprano contenía una esquina redondeada bien estucada, y se adosa a otro muro con orientación este-oeste en su lado sur y a otro muro con orientación norte-sur en su extremo norte (Figura 9.4). Para seguir estos rasgos hasta su origen fue necesario romper otro piso estucado, el cual fue denominado “chile”. El piso “chile” no estuvo asociado a ningún rasgo arquitectónico y bajo éste se encontró un tercer piso denominado “tomate”.

El muro con dirección norte-sur que fue descubierto en la parte norte de la unidad 12A-15 se siguió en la unidad 12A-10 (originalmente abierta en 2009), aunque no se encontró su final y no se pudo continuar la excavación para no destruir la decoración de estuco modelado de la escalinata de 13R-3, descubierta en 2009.



Perfil Sur



Planta

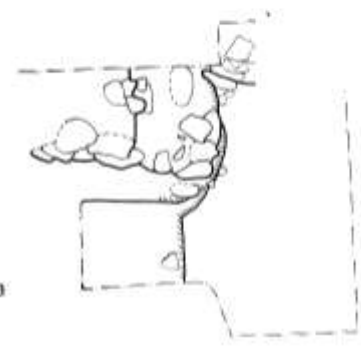


Figura 9.4 Planta y perfil sur de la Unidad CR 12A-15 (Dibujo y calco por Joanne Baron)

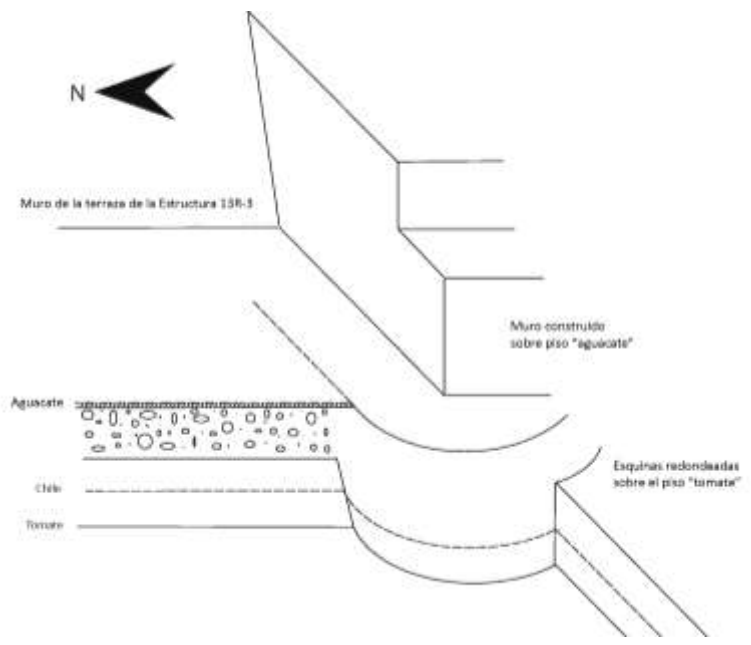


Figura 9.5 Representación esquemática de la Unidad CR 12A-15 (Dibujo por Joanne Baron)

Los pisos “aguacate,” “chile,” y “tomate” fueron expuestos más hacia el norte y a lo largo de la superficie del basamento. Esto se logró mediante varias unidades que siguieron la orientación del basamento hacia el norte, las cuales también expusieron otros rasgos interesantes. La unidad 12A-13 se colocó directamente al norte de la unidad 12A-11 (abierta en 2009), para seguir la trinchera hacia esa dirección. En esta unidad no se encontró el piso “aguacate”, a pesar que sí se había expuesto en la unidad 12A-11. Por otro lado, la unidad 12A-13 se excavó en dos niveles, ya que se descubrieron restos de un piso en la mitad norte, así como un alineamiento de piedras que corren de norte a sur sobre el piso. Como el piso no apareció en la mitad sur del pozo, se siguió excavando hasta encontrar otro piso. Las profundidades de cada piso permitieron identificarlos como “chile” y “tomate.” En cuanto al alineamiento de piedras encontradas en 12A-13, se siguió a través de las unidades 12A-14 y 12A-17, indicando que pudieron formar un escalón de una hilada de piedras. Es interesante que la superficie de este alineamiento corresponda al mismo nivel que el piso “aguacate”, por lo que es posible que la grada fuera contemporánea. Sin embargo, hay razones para pensar que ese escalón no corresponda a la época del piso “chile” y que haya sido posterior al piso “aguacate”, el cual pudo haber sido cortado (ver más adelante). Las unidades 12A-21, 12A-24 y 12A-25 se excavaron al este de las unidades 12A-17, 12A-14 y 12A-13, respectivamente, permitieron observar que el alineamiento se adosaba a algún tipo de terraza baja que corría de norte a sur por todas las unidades 12A-21, 12A-24 y 12A-25. El extremo sur de esta terraza no pudo descubrirse en esta temporada, pero su extremo norte fue descubierto en la Operación CR15A (ver abajo).

Operación CR15A

Anteriormente no se había llevado a cabo ninguna excavación en la Estructura 13R-2. Por lo tanto se definió la Operación CR15A para la limpieza y exploración de la trinchera de saqueo ubicada en el centro de la estructura, así como el estudio de los rasgos arquitectónicos expuestos.

Objetivos para la temporada 2010

La gran trinchera de saqueo de la Estructura 13R-2 comienza en la base del edificio en su lado oeste, pasa por la cima y continúa hacia abajo por el lado este hasta llegar nuevamente a la

base. Parece que la trinchera fue originalmente un túnel cercano a la superficie y que colapsó después de estar expuesto a la intemperie. Por lo tanto el objetivo en esta temporada fue recopilar la mayor cantidad de información posible de los perfiles de la trinchera y después rellenarla para estabilizar la estructura. Las restricciones de tiempo no permitieron registrar apropiadamente los dos lados de la estructura, por lo que se priorizó el lado oeste por ser la fachada, y se espera que la parte posterior (lado este) se trabaje en la próxima temporada.

Metodología

La Operación CR15A se excavó como una trinchera de 2 x 10 m dividida en cinco unidades de 2 x 2 m. En la parte alta de la estructura, la trinchera de excavación tuvo la misma orientación que la de saqueo, aunque más hacia el oeste y hacia abajo la trinchera de saqueo se curva hacia el norte. Sin embargo aquí la excavación continuó siguiendo la cuadrícula y el resultado fue que en las unidades 15A-4 y 15A-5 se excavaron más contextos no saqueados. Aunque la excavación se inició en la parte alta de la trinchera, las excavaciones se describirán a partir de las unidades más bajas y su relación con los rasgos encontrados en la Operación 12A, como lo es la terraza ya mencionada.

Excavación

La unidad 15A-5 es la más occidental de la trinchera y contuvo una gran variedad de rasgos arquitectónicos asociados con el muro de la terraza que se expuso en las unidades 12A-21, 12A-24 y 12A-25. En esta unidad el muro de la terraza cruza hacia el este y hacia la escalinata de la Estructura 13R-2 (descrita más adelante). Hacia el oeste de esta esquina se encuentra otro muro de aproximadamente 60 cm de ancho, el cual se extiende por 1 m hacia el oeste, donde se fusiona con la orilla de la escalinata frente al muro de la terraza. Este muro ancho cruza hacia el norte, siguiendo la orientación del escalón (Figura 9.6) y continúa por más de un metro hacia el norte, hasta que llega a un punto en que fue destruido por el saqueo. El muro de la terraza, después de haber cruzado hacia el este, sigue hasta la unidad 15A-4 (Figura 9.7), que tuvo una estratigrafía más clara y donde fue posible entender mejor la secuencia constructiva. En esa unidad la escalinata del templo se eleva sobre el piso “aguacate” y después de excavar un pequeño registro en la base se encontró el piso “chile”, aunque el piso “tomate” ya no apareció después. Por lo tanto, el punto más al norte donde aparece este último piso es la unidad 12A-13.

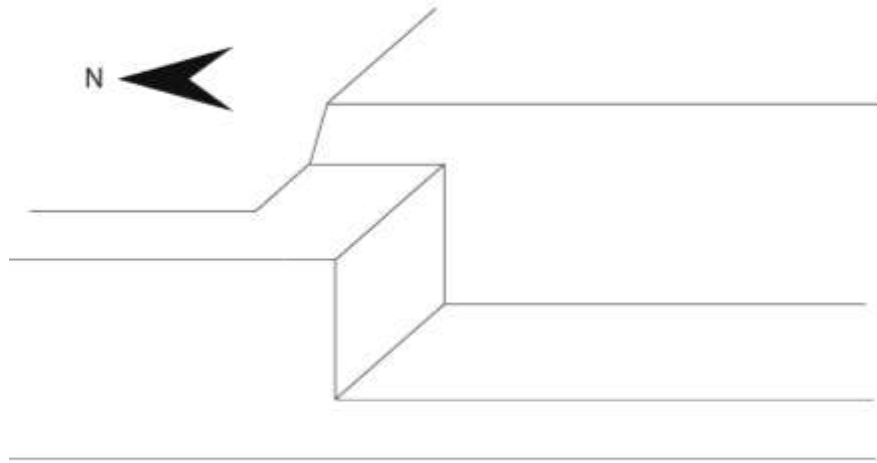


Figura 9.6 Representación esquemática de los rasgos arquitectónicos de las unidades CR 12A-17 y CR 15A-5 (Dibujo por Joanne Baron)

Sobre “aguacate” se encontró una capa de mezcla de estuco, la cual comienza desde la segunda grada de 13R-2 hasta descender gradualmente hacia el oeste, volviéndose más delgada hasta desaparecer a 1.4 m de la primera grada de la escalinata. Para distinguir este rasgo, la capa de mezcla fue nombrada “piña”. Sobre las gradas y la capa de mezcla se construyó un pequeño muro de terraza, que se extiende hacia el oeste por 0.8 m. Posteriormente se construyó un segundo muro de terraza al oeste del anterior, el cual fue expuesto en la unidad 15A-5 y su esquina y continuación en las unidades de la Operación CR12A. Por lo tanto, las dos terrazas fueron construidas después de “aguacate”, aunque la grada relacionada a la última terraza parece que baja hasta el nivel del piso anterior “chile.”

En la unidad 15A-4 aparecieron fases todavía más tardías, ya que sobre la mezcla “piña” se encontró otra capa de mezcla que fue colocada en la esquina formada por la terraza y la escalinata de 13R-2, justamente sobre la superficie de la tercera grada. Esta mezcla, denominada “naranja,” se encontró muy fragmentada y no estuvo asociada con cualquier otro rasgo arquitectónico, ya que estaba 18 cm más alta que “piña.” Finalmente, se encontró una capa de grava, denominada “papaya”, la cual fue colocada sobre todas estas capas de mezcla y tuvo un ancho de unos 20 cm. Esta capa se fusiona con la contrahuella de la quinta grada y también se extendió hacia el oeste en toda la unidad, justo sobre el nivel de las terrazas que también se extienden al oeste.

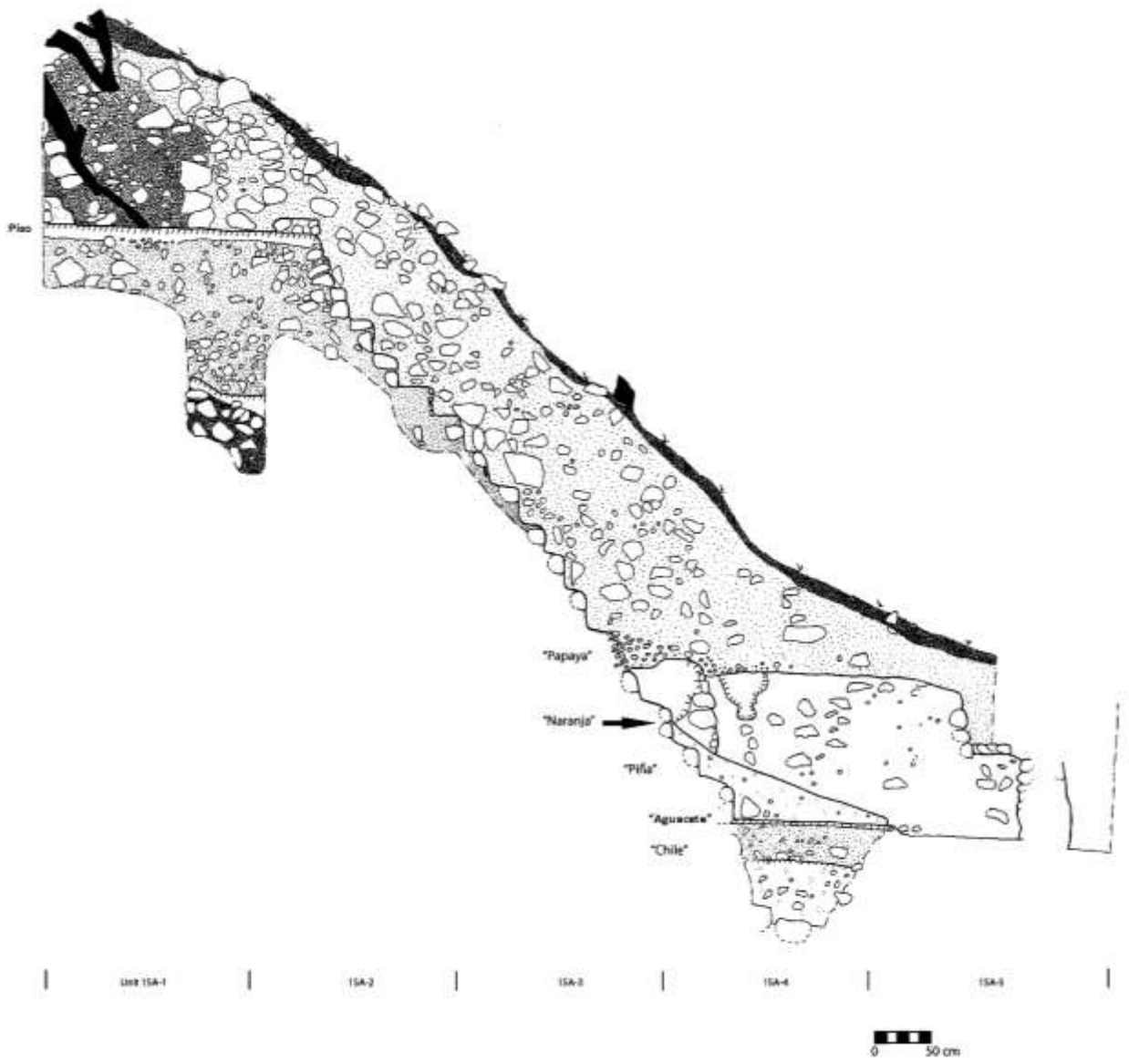


Figura 9.7 Perfil sur de la Operación CR 15A (Dibujo y calco por Joanne Baron)



Figura 9.8 Fotografía de la Operación CR 15A (Fotografía por Joanne Baron)

Resumiendo, la unidad 15A-4 presentó varios episodios constructivos representados por distintas capas de construcción y pisos. El más antiguo es representado por el piso “chile,” seguido por el piso “aguacate”, que está asociado con la construcción de la escalinata de 13R-2. Sobre “aguacate” se colocó la mezcla “piña”, la cual está asociada con las dos versiones de las terrazas que se extienden al oeste de la escalinata y se construyeron sobre “piña” y cortaron una porción de “aguacate”. Finalmente los dos estratos “naranja” y “papaya” se colocaron sobre “piña” pero no se han encontrado rasgos arquitectónicos que estén asociados a esta última modificación.

La unidad 15A-3 no fue tan complicada como las unidades más bajas, ya que los únicos rasgos encontrados fueron los escalones de 13R-2, los cuales se expusieron solamente en la parte sur de la unidad, ya que la otra mitad fue destruida por el saqueo. La escalinata contuvo un total de 16 gradas que ascienden hasta el piso de la plataforma, ubicado en la unidad 15A-2. Este piso continuó 2.25 m hacia el este, en la unidad 15A-1, donde se expuso una banca de 20 cm de alto, la cual descansa sobre el piso. El piso y la banca fueron identificados en los lados norte y sur de la trinchera, aunque los saqueadores la cortaron por el centro a través de un pasaje angosto de 0.7 m de ancho. Sin embargo, el saqueo solamente continuó hacia abajo a unos 0.6 m bajo el nivel del piso. Sobre el piso fue difícil discernir la arquitectura de la superestructura, ya que solamente se pudo observar la presencia de piedras grandes en el perfil sur, posiblemente como resultado del colapso de muros. Dado que la excavación no continuó hacia el este de la banca, no está claro si esta representa la parte posterior del cuarto o si el muro posterior está presente atrás de la banca. De cualquier forma la presencia de restos de bajareque en la unidad 15A-1 pueden indicar que parte de los muros de esta superestructura fueron perecederos.

En la base de la trinchera de saqueo y bajo el nivel de piso se encontraron varias piedras sueltas dentro de una matriz de suelo también suelto. Esto propició la excavación de un pequeño registro, ya que era posible que indicara la presencia de una ofrenda o escondite. A una profundidad de 1.40m bajo el nivel del primer piso se encontró otro piso que presentaba evidencia de haber sido cortado. Desafortunadamente, solo se recuperó carbón de dicho rasgo, y bajo el piso más temprano se encontró un relleno de suelo oscuro, posiblemente representando la fase constructiva más antigua del edificio.

Operación CR14A

Anteriormente no se había realizado ninguna excavación previa en la Estructura 13R-4, la cual se encontró severamente saqueada. El saqueo consiste de una trinchera ancha en el lado oeste del edificio y que corre a través de su eje central, la cual destruyó cualquier superestructura que haya existido y también es posible que haya destruido por completo la escalinata frontal. Por lo tanto, la Operación CR14A tuvo como propósito la limpieza y perfilación de la trinchera de saqueo, así como la excavación de un pozo de 2 x 2 m en el centro de la estructura.

Objetivos de la Temporada 2010

De manera similar a otras operaciones colocadas en trincheras de saqueo, el objetivo principal de esta fue originalmente la obtención de la mayor cantidad de información posible, para después rellenar la trinchera para estabilizar el edificio. Dado que la trinchera fue muy ancha y ya no quedaba ningún resto de la arquitectura de la superestructura, fue posible colocar el pozo para conocer la estratigrafía y cronología de la estructura. Sin embargo, se descubrieron varios rasgos inesperados en este pozo, por lo que se decidió no rellenarlo, para así facilitar la continuación de las investigaciones en la siguiente temporada.

Metodología

La Operación CR14A fue excavada mediante tres unidades. La unidad 14A-1 fue la principal, ya que inició como una excavación de 3 x 3 m donde se perfilaron los lados de la trinchera de saqueo. Aunque la unidad fue grande, la mayoría del material ya había sido removido por los saqueadores. La parte más profunda de la trinchera de saqueo se encontraba a un nivel de 3 m bajo la superficie de la cima de la estructura, y la excavación se redujo a 2 x 2 m de ancho a medida que se hacía más profunda. La excavación se tornó complicada a partir de este punto, ya que el relleno estaba suelto y el área del pozo tuvo que ampliarse.

Al oeste de 14A-1 se limpió el perfil de la trinchera de saqueo para buscar más rasgos arquitectónicos, pero al final dicha limpieza tuvo que dividirse en dos secciones: la unidad 14A-2 de 1 m de ancho y la unidad 14A-3, de 3 m de ancho. De estas dos, solamente se excavó el perfil norte de la trinchera.

Excavación

Durante la limpieza inicial de los perfiles se notaron varios rasgos (Figura 9.9). El más claro fue un piso grueso de estuco ubicado a 1.5 m de profundidad desde la superficie de la estructura. El relleno sobre el piso fue amarillo pálido, mientras que abajo de este fue gris oscuro. Este piso estuvo bien definido en el perfil norte y en el perfil este fue visible en los primeros 80 cm hacia el norte, desapareciendo en la parte sur. Por lo tanto en el perfil sur solo se pudieron observar algunas partes, y aunque el piso no estuviera presente, el cambio de relleno era evidente en toda la unidad 14A-1. Además, en el perfil sur se observó un área con un relleno sólido blanco y amarillo, que seguramente fue parte de un muro o algún otro rasgo que no se pudo confirmar. La elevación absoluta de este piso es de solo 50 cm más bajo el piso temprano identificado en 15A-1 (ver arriba) por lo que podría corresponde a la misma época constructiva.

Tanto en el perfil norte como en el perfil sur de la unidad 14A-1, este piso termina en una terraza inclinada que desciende hacia el frente. En el perfil sur de la unidad 14A-3, se observó otra terraza en el lado oeste, la cual posiblemente corresponde a una fase posterior, ya que las alturas de los dos muros de las terrazas se traslapan. Si este segundo muro es más tardío, entonces el piso de la superestructura ya no se conserva y pudo haber existido al nivel de la superficie actual del edificio. Estas condiciones son similares a las observadas en la Estructura 13R-3 cuando se excavó en 2009 (Baron 2010). Entonces, el piso de la superestructura y su muro asociado estaban levemente bajo la superficie pero fueron destruidos por la erosión y el saqueo. Además, la existencia del piso también es sugerida por la elevación absoluta de los pisos de la fase final en 13R-2 y 13R-3, que es casi la misma que la superficie actual de la cima de 13R-4. Por lo tanto, si existió tal piso, fue al mismo nivel que los pisos de las otras dos superestructuras.

Posteriormente a esta limpieza de saqueo se colocó un pozo de 2 x 2 m al fondo de la trinchera, como parte de la unidad 14A-1. El relleno en este pozo fue extremadamente suelto en algunas partes y se encontraron varios vacíos. Por esta razón se removieron piedras grandes, lo que dificultó mantener el área de los 4 metros cuadrados a medida que profundizaba la excavación. En este momento se asumió que este relleno suelto era producto de la técnica constructiva, pero ahora es claro que fue producido por el colapso de una excavación de saqueo, posiblemente de hace varias décadas (ver abajo).

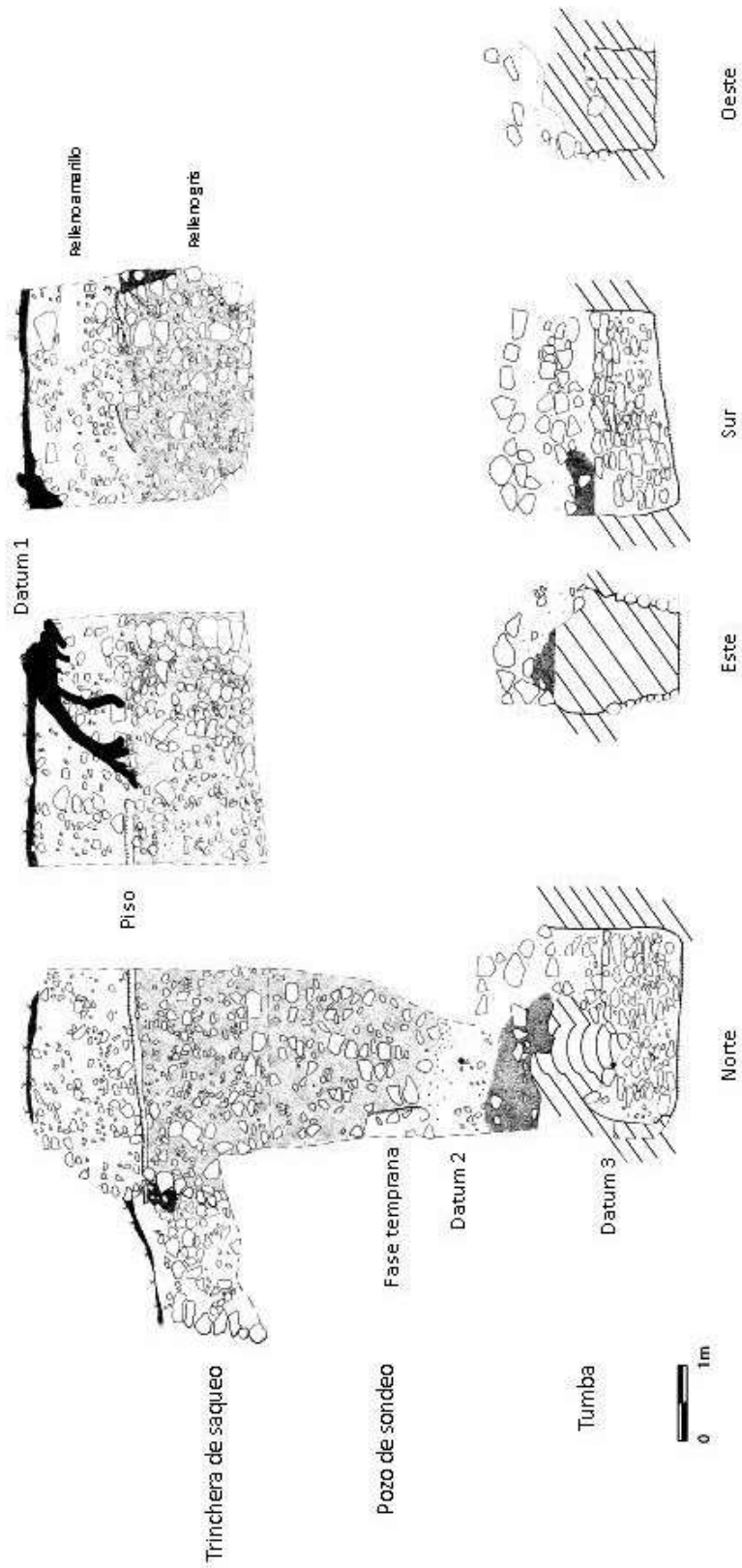


Figura 9.9 Perfiles de la Operación CR 14^a
(Dibujo y calco por Joanne Baron)

El primer rasgo que se notó en esta excavación fue la esquina sureste de la terraza, ubicada en la esquina noroeste del pozo. Dado que solamente se observaba una pequeña parte de la terraza, no se pudo explorar por completo. Sin embargo, al medir la elevación absoluta de la terraza se notó que corresponde bastante bien con la elevación del muro redondeado construido sobre el piso “tomate” en la unidad 12A-15 (veer arriba), por lo que es posible que ambos representen la misma etapa del basamento.

Bajo esta esquina de la terraza se encontró una capa de mezcla en el perfil norte de la unidad, pero este rasgo no estaba presente más al sur, por lo que parece haber sido cortado durante el episodio de saqueo. Esta mezcla puede corresponder a otra terraza posterior de esta estructura temprana, aunque ha desaparecido cualquier evidencia de repello en la misma.

Más abajo se encontró otra capa de mezcla no muy bien nivelada, la cual pudo verse en todos los perfiles de la unidad. Este rasgo seguramente fue roto por los saqueadores, pero dada la irregularidad del estrato no se pudo identificar alguna evidencia de perturbación. Al continuar la excavación bajo esta capa se identificó un relleno café muy oscuro, así como una cámara cavada dentro de la roca madre, con muros de mampostería. Este rasgo se identificó como una tumba, por lo que la capa de mezcla fungió como algún tipo de techo o cubierta para la misma.

El piso de la cámara tuvo una profundidad de 9.5 m bajo la superficie de la cima de la estructura y la roca madre estaba a 7.5 m de profundidad. Además, la cámara midió 2.8 de este a oeste y 1 m de norte a sur. En sus lados norte y sur contenía muros de mampostería de 4.5 m de altura y en el lado norte se pudo observar un corte circular sobre el muro, de unos 50 cm de diámetro, el cual pudo ser usado para salir de la cámara después de colocar las ofrendas y sellar el techo. Por toda la cámara se encontraron fragmentos grandes de madera bien conservada, siendo la mayoría palos de 5 a 10 cm de diámetro y con una longitud de hasta 50 cm de largo (Figura 9.10). Desafortunadamente, los análisis de radiocarbono demostraron que estos fragmentos son modernos, indicando así que la tumba fue saqueada en algún momento. Ya que los muros y el piso de la tumba se encontraron intactos, se piensa que los saqueadores entraron desde arriba, posiblemente donde se ubicó la excavación pero a través de un pozo más angosto.



Figura 9.10 Fotografía de los restos de madera recuperados en la tumba
(Fotografía por Joanne Baron)

El esqueleto encontrado en la tumba estaba en muy mala condición y bastante fragmentado. Los huesos recuperados consistieron de fragmentos de cráneo, huesos de manos y pies, huesos largos, algunos fragmentos de costilla y otros no identificados (ver Capítulo 13 de este informe). Aunque la mayoría de los huesos estaban bastante limpios, en un área de la tumba los huesos estaban cubiertos de residuos orgánicos, lo que puede ser material original o resultado de la actividad de saqueo. Estos residuos fueron recolectados pero no han sido analizados. Se estima que los huesos forman parte de un 15% del esqueleto del individuo, y están tan fragmentados que ha sido difícil identificar el sexo o edad (ver Capítulo 13 de este informe). Además, los huesos no se encontraron en posición anatómica, sino dispersos por toda la tumba. En el caso de los huesos craneales y de mano, mostraron restos de pintura roja, indicando así que la tumba fue abierta en algún momento posterior a la muerte del individuo. Los análisis de radiocarbono dieron a la tumba una fecha calibrada de 560 d.C. con un rango sigma de 540-600 d.C.

Dentro de la tumba se encontró el esqueleto de un tacuazín o zarigüeya, y otro esqueleto del mismo tipo de animal se encontró dentro de la capa de mezcla ubicada sobre la tumba. Se sabe que los tacuazines son animales que les gusta vivir en agujeros, por lo que el pozo de saqueo pudo haber sido un lugar ideal para su nido o madriguera. Esto indicaría también que los tacuazines pudieron perturbar los huesos de la tumba, seguramente después de que fue saqueada. Las ofrendas funerarias de la tumba estaban esparcidas como consecuencia del saqueo (Figura 9.11). No obstante se recuperó un cuenco grande de color rojo y sin decoración (Figura 9.12), el cual estaba casi completo con excepción de un pequeño fragmento que no fue encontrado. Los fragmentos del cuenco estaban dispersos y es interesante que se encontraran tiestos del mismo tipo de vasija mezclados con el relleno colapsado de la tumba, así como otros tiestos que provinieron del relleno mismo. Por lo tanto no hay que descartar que este cuenco pudo haber caído desde arriba de la tumba, posiblemente como parte de la capa de mezcla y que pudo ser parte de un escondite u ofrenda de algún tipo. El análisis de la tierra encontrada dentro del cuenco no resultó en la identificación de alguna ofrenda orgánica.

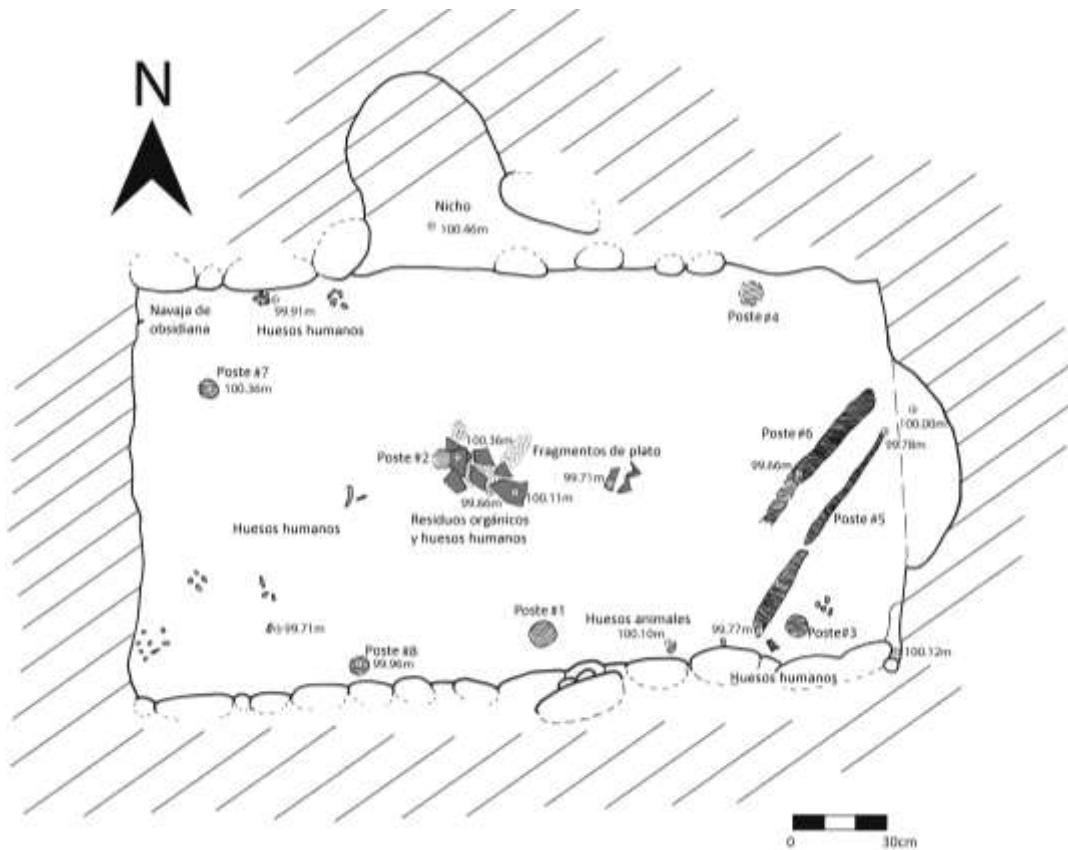


Figura 9.11 Planta de los artefactos de la tumba (Dibujo y calco por Joanne Baron)



Figura 9.12 Fotografía del cuenco recuperado en la tumba (Fotografía por Joanne Baron)

El otro artefacto recuperado de la tumba fue una pequeña navaja de obsidiana (Figura 9.13). Su superficie fue analizada con fenoltaleína química forense (prueba de Kastle-Meyer), para identificar residuos de sangre y los resultados fueron positivos, aunque bastante ambiguos. Por lo tanto, es posible que este artefacto haya sido usado como perforador para sangrado. Finalmente, se puede concluir que la tumba está asociada a una fase constructiva importante, pero el hecho que fue saqueada no permite saber que tipo de ofrendas tuvo.



Figura 9.13 Fotografía de la navaja de obsidiana recuperada en la tumba (Foto por J. Baron)

Operación CR14B

Antecedentes

La Operación CR14B se ubicó en la parte posterior de la Estructura 13R-4 y consistió en una trinchera de 1 x 9 m. La única otra excavación en la parte este del Grupo Coronitas había sido un pozo de prueba colocado en 2006 por Mary Jane Acuña (Canuto et al. 2006). Este pozo se llegó hasta la roca madre, a aproximadamente 65 cm de la superficie, y la cerámica recuperada perteneció a varias fases.

Objetivos de la Temporada 2010

El propósito de la excavación atrás de la Estructura 13R-3 fue localizar algún basurero que pudiera estar asociado con la actividad del templo. Dado que las superestructuras de todos los templos de este grupo han sido destruidas casi por completo por la actividad de saqueo, no se cuenta con ningún contexto de piso. Por lo tanto, se espera que la presencia de algún basurero ayude a identificar los tipos de actividades que se llevaban a cabo en estos templos. Desafortunadamente, aunque se hayan recuperado tiestos cerámicos en todas las unidades excavadas, no representan cantidades lo suficientemente grandes para considerarse basureros. Sin embargo, esta excavación ayudó a clarificar la secuencia de rellenos constructivos en la parte posterior de la estructura, y se espera entonces que excavaciones futuras puedan recuperar desechos de actividades asociadas al templo.

Metodología

La excavación inició como un pozo de 1 x 1 m, ubicado en una depresión ubicada atrás de los templos de Coronitas. Posteriormente se continuó hacia el oeste con otras unidades de 1 x 1 m, subiendo hasta la parte superior de la Estructura 13R-4. No todas las unidades se excavaron hasta la roca madre, sino solamente se excavaron hasta la superficie de algún relleno bien definido, con el objeto de identificar residuos o contextos asociados a los rellenos (Figura 9.13).

Excavación

En la primera unidad, 14B-1, solamente se encontraron dos capas de relleno que correspondieron a los lotes 1 y 2: humus y el suelo café oscuro con algunas piedras. La roca madre se encontró a una profundidad de 70 cm.

La siguiente unidad 14B-2 presentó cuatro capas de relleno, incluyendo las 2 ya definidas para la unidad 14B-1. Bajo el estrato café oscuro se encontró un relleno grisáceo con partículas de piedra caliza (lote 3) y más abajo otro relleno gris oscuro, el cual estaba directamente sobre la roca madre. Los dos últimos rellenos parecieron ser constructivos y contuvieron más cerámica que los dos primeros. Estos cuatro estratos fueron identificados como lotes 1, 2, 3 y 4 en el resto de unidades de la trinchera. En la unidad 14B-3 se descubrió un muro de mampostería rústica que corre de norte a sur y que se ubica sobre el relleno gris (Lote 3). Para explorar este muro se colocó la unidad 14B-4 al sur de la unidad 14B-3 y se encontró que sigue por lo menos por otro metro en esta dirección. Sin embargo no se pudo determinar la función de este rasgo.

De las unidades 14B-5 a 14B-9, se excavaron alternadamente, ya que unas llegaron hasta el relleno gris del lote 3 y otras a la roca madre. Tanto la roca madre como el relleno gris presentaron una inclinación hacia arriba, y no se identificó algún rasgo arquitectónico en todas las unidades. En la unidad más alta, 14B-9, se encontró poco del relleno gris oscuro sobre la roca madre, indicando así una nivelación artificial. Sin embargo, aunque esto se observó en el perfil de la unidad, este relleno no se distinguió durante la excavación, por lo que los materiales asociados se recolectaron como parte del lote 3.

Aunque la unidad 14B-10 se iba a excavar originalmente hasta la roca madre, se descubrió que en el extremo oeste del pozo el relleno gris (lote 3) estaba cubierto con estuco. Es posible entonces que este repello corresponda al inicio de la arquitectura formal en la parte posterior de 13R-4. Sin embargo, por limitantes de tiempo la excavación fue suspendida en este punto y se espera en el futuro poder continuar la excavación de la trinchera hacia el oeste, con el objeto de encontrar la arquitectura formal de las terrazas posteriores de la estructura. Es posible entonces que haya basureros bajo dichas terrazas.

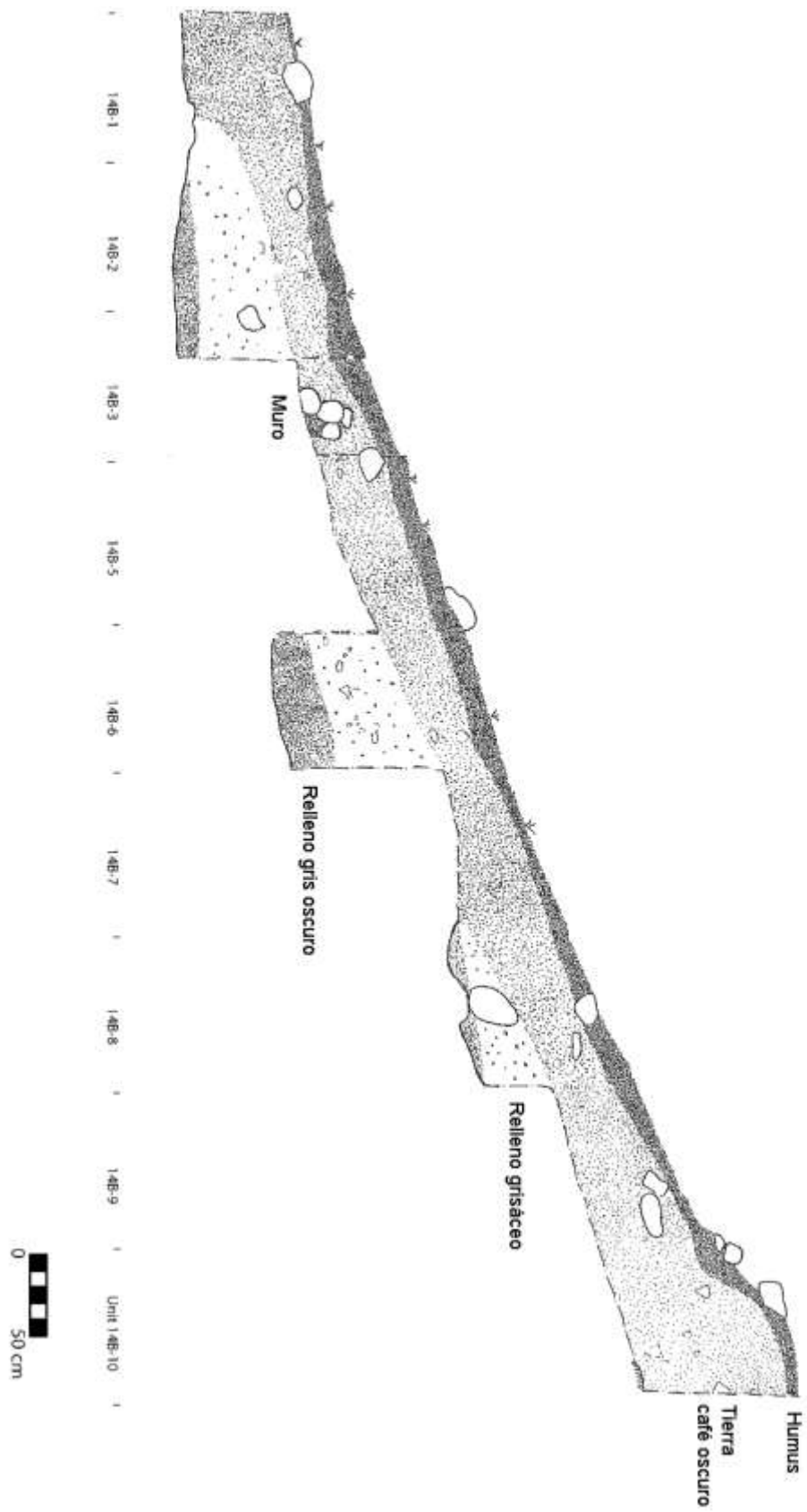


Figura 9.14 Perfil sur de la Operación CR 14B (Dibujo y calco por Joanne Baron)

Interpretación

Las excavaciones en el basamento que sostiene las Estructuras 13R-2, 13R-3 y 13R-4 revelaron por lo menos tres episodios constructivos, representados por tres pisos, que en orden del más antiguo al más reciente son “tomate,” “chile” y “aguacate.”

El piso “tomate” solamente se identificó bajo las Estructuras 13R-3 y 13R-4 y no continuó al límite norte bajo la Estructura 13R-2. La arquitectura construida sobre “tomate” consistió del muro con esquina redondeada encontrado en la unidad 12A-15 y probablemente la esquina de una terraza temprana encontrada en el pozo 14A-1. Se requiere más exploración para definir esta arquitectura temprana, por lo que todavía no hay información cronológica al respecto. Sin embargo, parece que esta fase del basamento fue totalmente diferente a la construcción posterior que la cubrió.

Los pisos “chile” y “aguacate” han sido identificados bajo las tres estructuras. Por lo tanto, es probable que “chile” represente la primera fase del basamento cuando las tres estructuras formaron un conjunto, lo que en ese momento significó una gran inversión en mano de obra en comparación a la fase “tomate”. Esta ampliación no solo se expandió la construcción al norte sino también incluyó la edificación de los tres templos. Además, la presencia de una tumba asociada a este evento constructivo indica que este enterramiento está directamente asociado con la expansión del edificio y la creación del grupo de templos. Es entonces posible que se encuentren tumbas similares bajo los otros edificios, ya que la excavación de la Estructura 13R-5 en 2006 indicó que ese edificio también contenía una cripta excavada dentro de la roca madre, aunque su contenido fue removido por saqueadores (Canuto et al. 2006).

Al examinar los pisos de las superestructuras de estos tres edificios, se encontró que 13R-2 y 13R-3 tienen dos pisos obvios en sus perfiles, mientras que 13R-4 solo tiene uno. Sin embargo, otros rasgos arquitectónicos indican que 13R-4 tuvo otro piso más alto, el cual ha desaparecido. Se sabe también que los pisos tardíos de la superestructuras de 13R-2 y 13R-3 corresponden a la época del piso “aguacate” y por lo tanto es posible que el ahora desaparecido piso de la superestructura de 13R-4 también. Esto indicaría que el primer piso de las superestructuras correspondería a la fase del piso “chile”.

La cerámica asociada a la fase tardía de las estructuras 13R-2 y 13R-4 está un poco mezclada, con características de los períodos Clásico Temprano y Tardío. Aunque se ha hecho poca exploración de la fase temprana de 13R-2, la cerámica recuperada bajo el piso también indica mezcla de ambos períodos. Sin embargo el pozo realizado en 13R-4 recuperó material cerámico en los niveles profundos que llegan hasta la roca madre, el cual muestra mezcla de características de los períodos Clásico y Preclásico. La cerámica más tardía de estos niveles corresponde a la transición del Clásico Temprano al Clásico Tardío, posiblemente de los siglos 5 y 6 d.C. Es posible entonces que esta construcción temprana corresponda a las fechas del piso “chile”, es decir el siglo 6 d.C.

La inscripción del Panel 1 recuperado en la Estructura 13R-5 indica que por lo menos una fase de estas estructuras corresponde a la fecha de 658 d.C. El evento que mejor puede asociarse a esta fecha sería la plataforma del piso “aguacate”, así como los pisos tardíos de las superestructuras.

Después de los eventos constructivos asociados a “aguacate” se dieron otras modificaciones arquitectónicas en las estructuras. En 13R-2 se colocaron varias capas de mezcla sobre la parte baja de la escalinata central del templo, seguramente para apoyar la construcción de algún tipo de terraza entre las Estructuras 13R-2 y 13R-3. No obstante, no se encontró ninguna construcción entre ambos templos, indicando que la simetría del complejo ya no fue una prioridad. El análisis de la cerámica proveniente de estas capas de mezcla no fue nada concluyente, por lo que será necesario seguir explorando esta posible terraza adicional en la siguiente temporada de campo.

Durante la temporada 2009 se notó la existencia de muros que fueron agregados al sur de la escalinata de 13R-3, para poder apoyar la decoración de estuco modelado (Baron 2010). En el lado norte de la misma escalinata se encontró evidencia de decoración similar, aunque ahora parece que fue colocada sobre la terraza descubierta en las excavaciones de esta temporada 2010. Por lo tanto parece que la decoración de estuco también corresponde a esta fase de agregados que son posteriores al piso “aguacate”.

Aunque estas modificaciones tardías representan el final de la construcción formal de la plataforma, la actividad ritual parece haber continuado hasta el período Postclásico, tal como lo indicó la presencia de una ofrenda colocada frente al basamento, la cual consistió de un incensario y un cuchillo de pedernal. Por lo tanto esta plataforma representa una fascinante combinación de uso y modificaciones que probablemente se remonta al Clásico Temprano –sino antes– y que continúa hasta el período Postclásico.

OPERACIÓN CR16: EXCAVACIONES EN LA ESTRUCTURA 13R-10

Carlos Enrique Fernández Aguilar

Introducción

La Estructura 13R-10 forma parte del Grupo 13R-II, el cual se ubica al oeste del Grupo 13R-I también conocido como “Las Coronitas”. Esta estructura forma un conjunto arquitectónico junto con la Estructura 13R-9. La Estructura 13R-9 es de forma piramidal y adosada por el lado este se encuentra la Estructura 13R-10, la cual se puede describir como una plataforma basal de dos cuerpos, alargada en su eje oeste-este, de aproximadamente 19 m de ancho y 40 m de largo. Su altura actual desde el nivel del suelo es de 9.59 m con una orientación que dista entre 5 y 10 grados de estar totalmente orientada a los puntos cardinales.

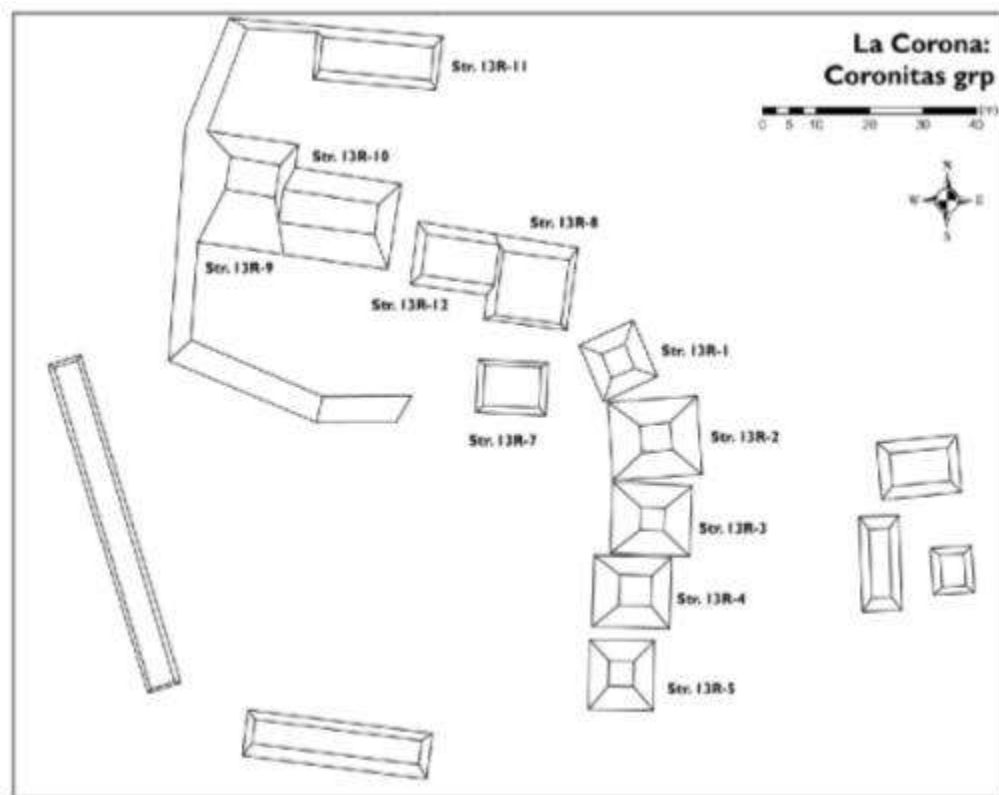


Figura 10.1 Mapa de los Grupos 13R-I y 13R-II (Mapa por Damien Marken)

Antecedentes

Las primeras investigaciones en el Grupo 13R-II se realizaron en el año de 2006, como parte de un reconocimiento del sitio realizado por el Proyecto Arqueológico El Perú-Waka'. Esta primera investigación se limitó a un pozo de sondeo ubicado entre las Estructuras 13R-9 y 13R-11, dirigido por Mary Jane Acuña, en el cual se descubrió un lote importante de cerámica conformado por 651 tiestos, fechado para el Clásico Tardío (Acuña 2007, 2009). Además de dicha investigación se realizaron actividades de mapeo en las cuales se descubrió el Panel 7 de la Corona en la plaza al norte de la Estructura 13R-12, y una concentración de 1,506 tiestos en la superficie, cercanos a una trinchera de saqueo en la Estructura 13R-9 (Marken y Guenter 2007). De estos tiestos una buena parte presentaron decoración polícroma, acabados de superficie muy finos, y algunos presentaron inscripciones las cuales detallaban algunos nombres de personajes de la élite local (Acuña 2007).

En la temporada del año 2008 nuevamente Mary Jane Acuña dirigió las excavaciones en el área, concentrándose en la limpieza de la trinchera de saqueo de la Estructura 13R-9, para determinar la procedencia de la concentración de cerámica en la superficie descubierta en el 2006 (Acuña 2009). Durante el año 2009 nuevamente se llevaron a cabo excavaciones en la Estructura 13R-9, esta vez conducidas por Érika Gómez, las cuales se centraron en la parte sur de la estructura, el espacio de plaza frente a ésta y la plataforma sobre la cual se asienta (Gómez 2010).

A pesar que la Estructura 13R-10 no fue investigada anteriormente, ésta es una de las más saqueadas del sitio. Se han identificado al menos 3 grandes saqueos en esta estructura, localizados todos en la fachada sur de la misma, que según la disposición y ubicación de la estructura es probable que haya sido su fachada principal o de acceso. La magnitud del saqueo es tal que podría haber removido buena parte de la fachada sur pues se encuentra gran cantidad de material removido, sobre todo bloques muy bien tallados que seguramente fueron la cara de la fachada y posiblemente parte de una escalinata.

Objetivos y Metodología

Luego de una prospección del área junto con los directores, se fijaron los objetivos de esta investigación. Debido a que esta fue la primera investigación en la Estructura 13R-10, el objetivo principal fue el de recolectar la mayor cantidad posible de información relacionada a esta estructura, la cual proporcionaría los primeros indicios de la naturaleza de la misma, y relacionarla con la información obtenida en las investigaciones anteriores, una interpretación del Grupo 13R-II.

Por lo tanto se buscó establecer la profundidad del piso de plaza frente a la fachada sur de la estructura, e identificar rasgos arquitectónicos en la fachada sur y norte, así como en la parte superior de la estructura.

El área donde se ubica la estructura se encontraba cubierta por maleza, arbustos y hojas secas, por lo que durante unos días se trabajó en mejorar este aspecto, buscando principalmente tener una mejor visibilidad de la estructura y sus alrededores. Esto permitió encontrar el lugar adecuado para la ubicación de las unidades, mantener un aspecto de limpieza en las excavaciones, y disminuir la acumulación de hojas y otros desechos orgánicos a fin de evitar tener un encuentro desagradable con algún animal que pudiera usar esto como refugio, serpientes principalmente.

Luego se procedió a medir el montículo, utilizando cinta métrica y brújula, para tener idea de la forma y dimensión del conjunto arquitectónico que conforman las estructuras 13R-9 y 13R-10. Hecho esto se ubicaron y trazaron las unidades. Se trazó una unidad en el área de plaza frente a la fachada sur de la estructura, desde la cual se trazó una línea orientada directamente al norte que cruzó la estructura hasta la fachada norte, en donde también se ubicó una unidad siguiendo este trazo.

En la fachada sur la situación varió debido a la presencia de los saqueos. Se logró identificar un área intermedia entre los dos saqueos más grandes la cual se encontraba mejor conservada, por lo cual se decidió que fuera esta el área de ubicación de las unidades de la fachada sur.

La composición de la nomenclatura utilizada para identificar las excavaciones en el área fue la siguiente: Operación, Sub-operación, unidad, nivel y lote. En la mayoría de unidades se siguieron lotes culturales o naturales. La operación fue CR16; sub-operación A (plaza y fachada sur), sub-operación B (fachada norte), y sub-operación C (parte superior estructura).

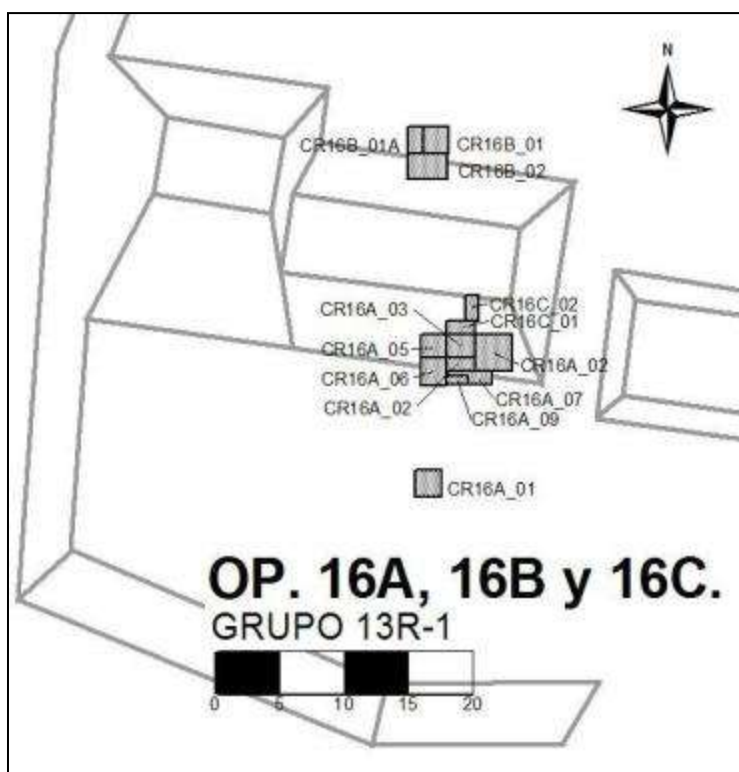


Figura 10.2 Localización de las excavaciones en las suboperaciones CR16A, CR16B y CR16C (Mapa por Rodrigo Guzmán)

Descripción de las Excavaciones

CR16A-1

El objetivo principal de esta excavación fue el encontrar el nivel de plaza frente a la fachada sur de la Estructura 13R-10. La excavación por ser la primera en el área se condujo siguiendo niveles arbitrarios de 20 cm. de los cuales se excavaron 4, llegando a una profundidad máxima de 81 cm (Figura 10.3).

En el primer nivel se removió una capa superficial de tierra café oscuro con raíces y material orgánico, su grosor varió entre los 2 y 7 cm, este es el lote 1. Debajo de este lote se localizó el estrato de Humus (lote 2), estrato natural resultante de la descomposición de organismos vegetales y animales. Este lote fue intermedio entre el nivel 1 y 2 y presentó fragmentos pequeños de caliza. Su grosor fue de unos 4 a 16 cm.

Continuando el nivel 2 se descubrió un piso a una profundidad de 30 cm. debajo de la superficie. Este es un piso de estuco el cual se encontró muy mal conservado, con una superficie bastante irregular, y únicamente se apreciaron algunos fragmentos del estucado original. Sobre el piso se encontró una buena cantidad de cerámica distribuida en toda la superficie. En el relleno bajo el piso (lote 3) no se encontró mucha cerámica, ya que presenta una mayor cantidad de piedra caliza de mayor tamaño. El grosor del piso y su relleno varia, donde la parte norte va de 4 a 8 cm, mientras en la parte sur de la unidad llega hasta unos 25 cm, debido al desnivel natural del terreno hacia el sur.

Por último se llegó a roca madre (lote 4), la cual se encontró debajo del relleno del piso a una profundidad de 60 cm y corresponde al estrato de roca caliza característico de las Tierras Bajas de Peten. Este lote no presentó material cultural y fue estéril.

El rasgo más importante que se identificó en esta excavación fue el piso de estuco mal conservado, al cual se le llamó “Pulga” y tuvo una profundidad de 30 cm. Entonces, sumando los 9.59 m. que actualmente tiene la estructura, esta se elevaba como mínimo casi 10 m desde la superficie. El lote con mayor presencia de cerámica fue CR16A-1-2-2, en el cual se recuperaron 206 fragmentos de cerámica, una figurilla, 5 fragmentos de obsidiana y herramientas de pedernal. Todo este material se encontró relacionado al piso, de hecho debajo de éste y en su relleno ya no se encontró mayor cantidad de material, únicamente 4 fragmentos.

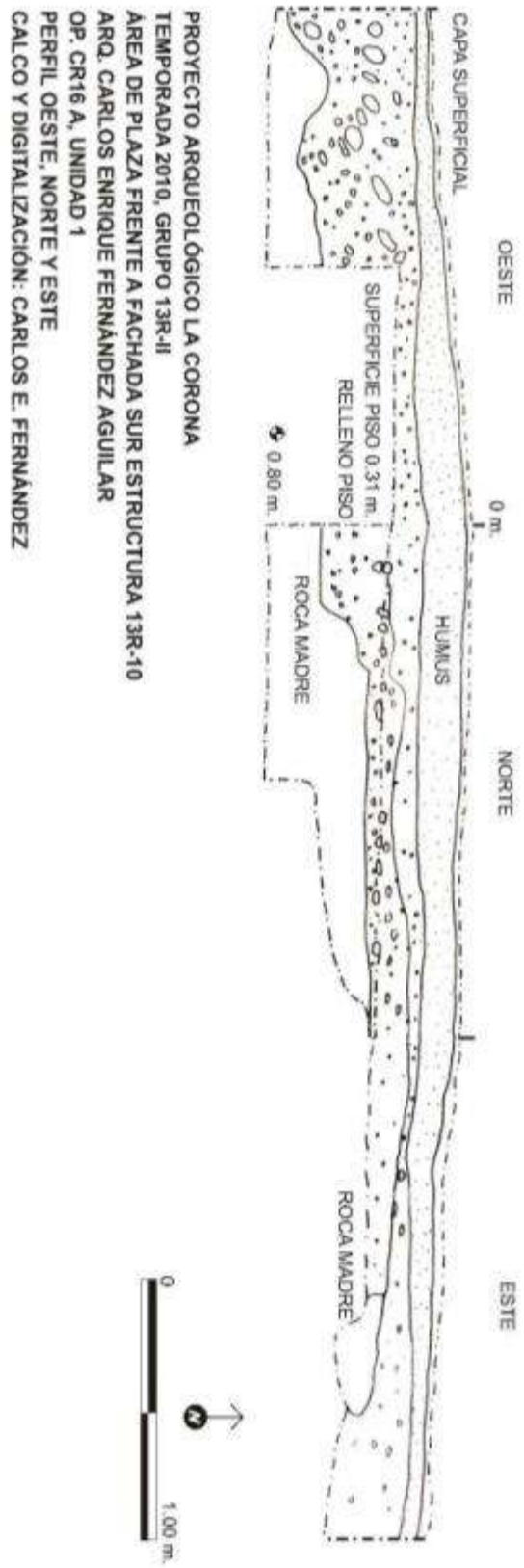


Figura 10.3 Perfiles de la unidad CR16A-1

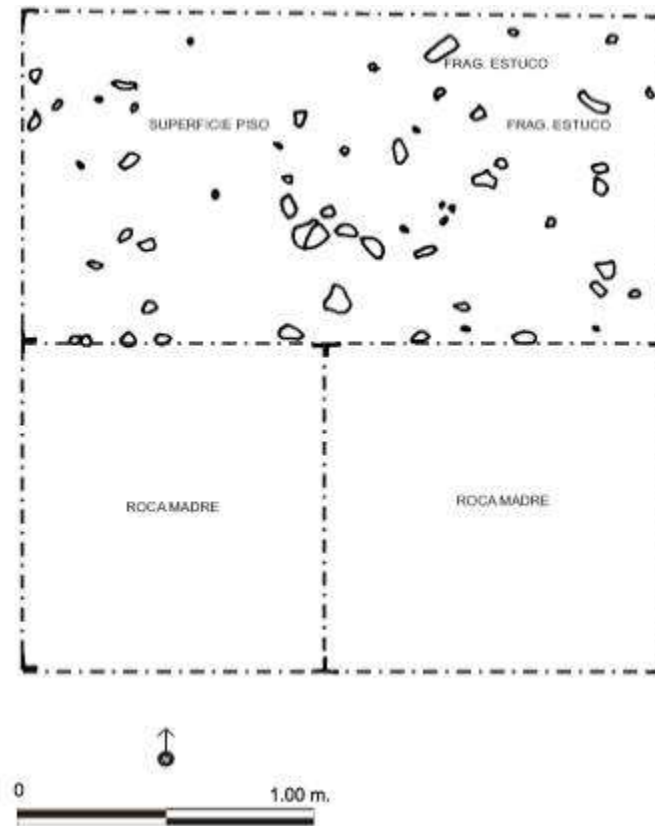


Figura 10.4 Planta de la unidad CR16A-1 (Dibujo y calco por C. Fernández)

Suboperaciones CR 16A y CR16B: Fachada sur de la Estructura 13R-10

Las excavaciones en la fachada sur de la Estructura 13R-10 agruparon las suboperaciones A y C, con las unidades CR16A-2, 16A-3, 16A-4, 16A-5, 16A-6, 16A-7, 16A-8, y 16A-9; así como las unidades CR16C-1 y 16C-2, respectivamente (ver Figura 10.2). Este grupo de unidades se extendió desde un saqueo en la esquina sur-este (saqueo 1) hasta llegar al inicio de otro saqueo unos metros al oeste (saqueo 2), estableciendo el área de excavación principalmente en el área intermedia entre los saqueos 1 y 2, la cual se encontraba un poco mejor conservada, aunque no intacta. El objetivo principal de estas excavaciones fue identificar rasgos arquitectónicos de la estructura. Para tal fin se trazaron todas estas unidades tomando como puntos de referencia el saqueo 1 y 2, por el hecho que se podían observar algunos rasgos de la arquitectura descubiertos por los saqueadores. En la excavación de cada una de estas unidades se siguieron los estratos naturales o culturales, con excepción de la unidad CR16A-9 en la cual se siguieron niveles arbitrarios de 20 cm.

En toda el área se distinguieron tres estratos, el primero compuesto de material orgánico sobre la estructura (capa de humus), que conformó el Lote 1. Le siguió un estrato formado por piedras de escombros y una mezcla de tierra y materiales usados en la construcción de la estructura, pues la coloración de este estrato es más clara. Se le catalogó lote 2 y se piensa que podría ser el relleno de la segunda fase de esta estructura. El tercer lote identificado correspondió al material de saqueo que se componía de tierra y piedra, seguramente removidas del relleno de la estructura, y bloques de piedra labrada. Conforme se llevaban a cabo las excavaciones en cada una de las unidades iban apareciendo indicios de distintos rasgos arquitectónicos de la fachada sur de la Estructura 13R-10.

Como ya se mencionó existían algunos rasgos arquitectónicos visibles en los saqueos, el primero fue una alineación de piedras en el saqueo de la esquina sur-este, la cual corría este-oeste en el límite superior de la estructura. El otro rasgo que se observó fue una piedra rectangular que parecía formar parte de un muro que corría este-oeste y el cual fue destruido por el saqueo 2. Luego de iniciar las excavaciones se descubrieron estos rasgos en mayor detalle, así como otros más. Además, los rasgos arquitectónicos identificados se pueden dividir de acuerdo a su ubicación: los de la parte inferior de la estructura y los de la parte superior.

CR 16A: Parte inferior

El primer rasgo descubierto por las excavaciones fue lo que parece ser una balaustrada, descubierto por la excavación de las unidades CR16A-2 y CR16A-4. Esta tiene una altura de 46 cm y sus lados miden 86 cm de frente y 1 m de fondo. El rasgo fue construido con piedras talladas de forma rectangular colocadas de canto una sobre otra, y cada piedra tenía en promedio dimensiones de 10 cm de altura de lomo, 35 cm de largo y 25 cm de fondo. Esta balaustrada descansa sobre lo que podría ser un escalón, el cual conecta con una alineación de piedras colocadas de canto, que corre hacia el este hasta el límite del saqueo. Al oeste se identificó lo que parece ser un escalón, el cual iría relacionado con la balaustrada. Sin embargo, esta relación no es tan evidente, ya que dicho escalón está compuesto por dos hileras de piedras rectangulares y corre en dirección este-oeste hasta desaparecer bajo el relleno, por lo que podría pertenecer a una fase anterior.

En el límite del saqueo 2, dentro del área de la unidad CR16A-5, se localizó lo que parecía ser un muro. Al removerse el escombros se constató que se trataba de un muro que corría en dirección este-oeste, aunque no se sabe su extensión total pues fue cortado por el saqueo 2 (Figura 10.5).



Figura 10.5 Saqueo 2 en la esquina sureste de la Estructura 13R-10
(Fotografía por Carlos E. Fernández)

También se identificó una esquina de muro, la cual podría ser la que limitaba el área donde se ubicarían las escalinatas, pues esta se encuentra más o menos con la misma orientación que una alineación de piedras rectangulares al norte, la cual corre norte-sur y baja por la estructura desde la parte superior, lo que podría delimitar el área de escalones (Figura 10.6). Este muro fue construido utilizando bloques rectangulares de unos 10 cm de altura de lomo, 30-50 cm de largo y 25 cm de fondo, colocados de canto uno sobre otro. Se utilizó un relleno de mortero y piedrín a manera de rellenar espacios entre los bloques y para aportar mayor estabilidad al conjunto.



Figura 10.6 Muro y escalón de la fachada sur de la Estructura 13R-10
(Fotografías por Carlos E. Fernández)

CR 16C: Parte superior

Antes de excavar, en la parte superior de la estructura era visible una alineación de piedras que corría este-oeste desde la esquina sur-este de la estructura, justamente por encima del saqueo 1. Por tal motivo se trazó la unidad CR16A-3, con la cual se logró determinar que esta alineación hacia esquina para luego tomar dirección norte, por lo que se decidió excavar en esa dirección. Entonces se ubicó la unidad CR16C-1 sobre la parte superior de la estructura, y esta excavación confirmó que este muro continuaba más hacia el norte, para luego terminar en otra esquina ya sobre la estructura. Esto no fue lo único que reveló esta unidad, pues al oeste este muro encontraba su equivalente. Por lo tanto se descubrió otro pequeño muro con la misma alineación norte-sur, lo cual indica que en esta parte se encontró un acceso a la estructura.

Entre estos dos muros se identificó un piso de estuco fragmentado pero muy bien conservado, por lo que es probable que esto fuera un acceso a la estructura. Entonces se buscó proyectar la excavación hacia el norte con la unidad CR16C-2, descubriendo otra sección del piso de estuco y parte del muro este del acceso, el cual salía de los límites de la excavación ocultándose bajo el escombro y tierra. Este piso al cual se le llamó piso “garrapata”, se encontraba también en un buen estado de conservación, y como era de esperar, fragmentado por la caída de piedras de desplome de la estructura, incluso su superficie era cóncava. Que se haya conservado tan bien puede ser indicador que estuvo cubierto por algún tipo de estructura, tal vez un techo de guano, pues no se identificaron bloques de bóveda.

Este hallazgo da indicios de la existencia de un acceso a la parte superior de la estructura, sin embargo no se encontró evidencia clara de escalinatas. No obstante, esta ausencia de escalinata se puede explicar como un efecto del saqueo intenso que sufrió esta estructura. El material de saqueo se encuentra disperso por todo el frente de la fachada sur, elevando el nivel del suelo alrededor de 1 a 2 m.



Figura 10.7 Vista frontal de la fachada sur de la Estructura 13R-10
(Fotografía por Carlos E. Fernández)

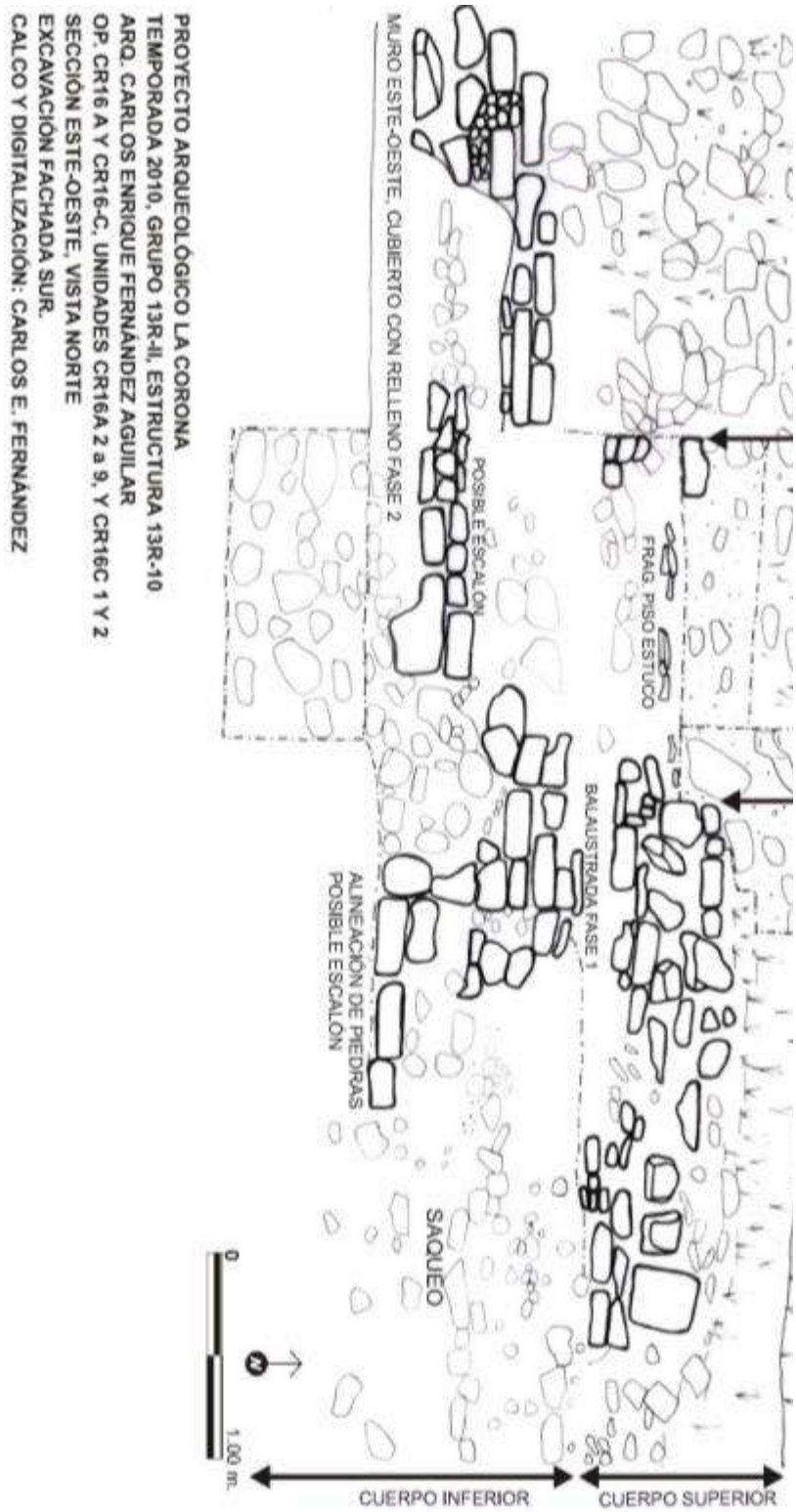
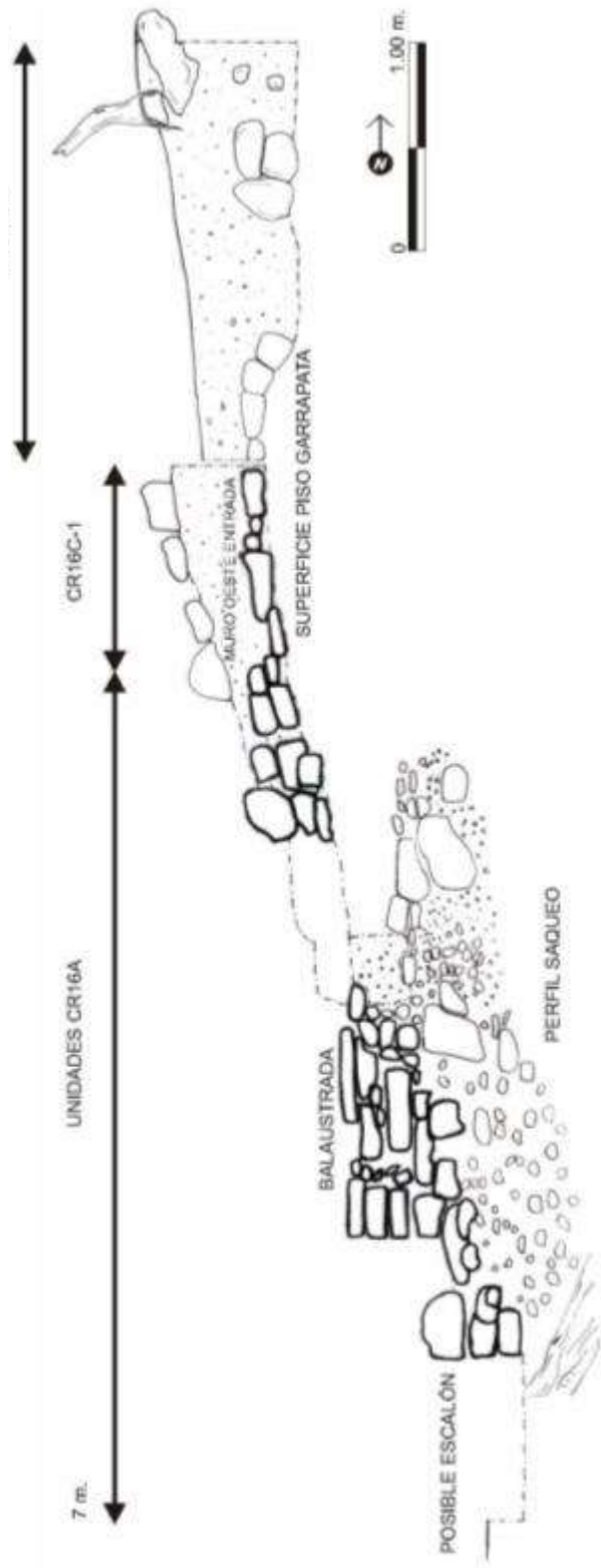


Figura 10.8 Perfil Norte de de las excavaciones en la fachada sur de la Estructura 13R-10



PROYECTO ARQUEOLÓGICO LA CORONA
 TEMPORADA 2010, GRUPO 13R-II, ESTRUCTURA 13R-10
 ARQ. CARLOS ENRIQUE FERNÁNDEZ AGUILAR
 OP. CR16A Y CR16C, UNIDADES CR16A 2 a 8 Y CR16C 1 y 2
 SECCIÓN NORTE-SUR, VISTA OESTE
 EXCAVACIÓN FACHADA SUR.
 CALCO Y DIGITALIZACIÓN: CARLOS E. FERNÁNDEZ

Figura 10.9 Perfil Oeste de las excavaciones en la fachada sur de la Estructura 13R-10

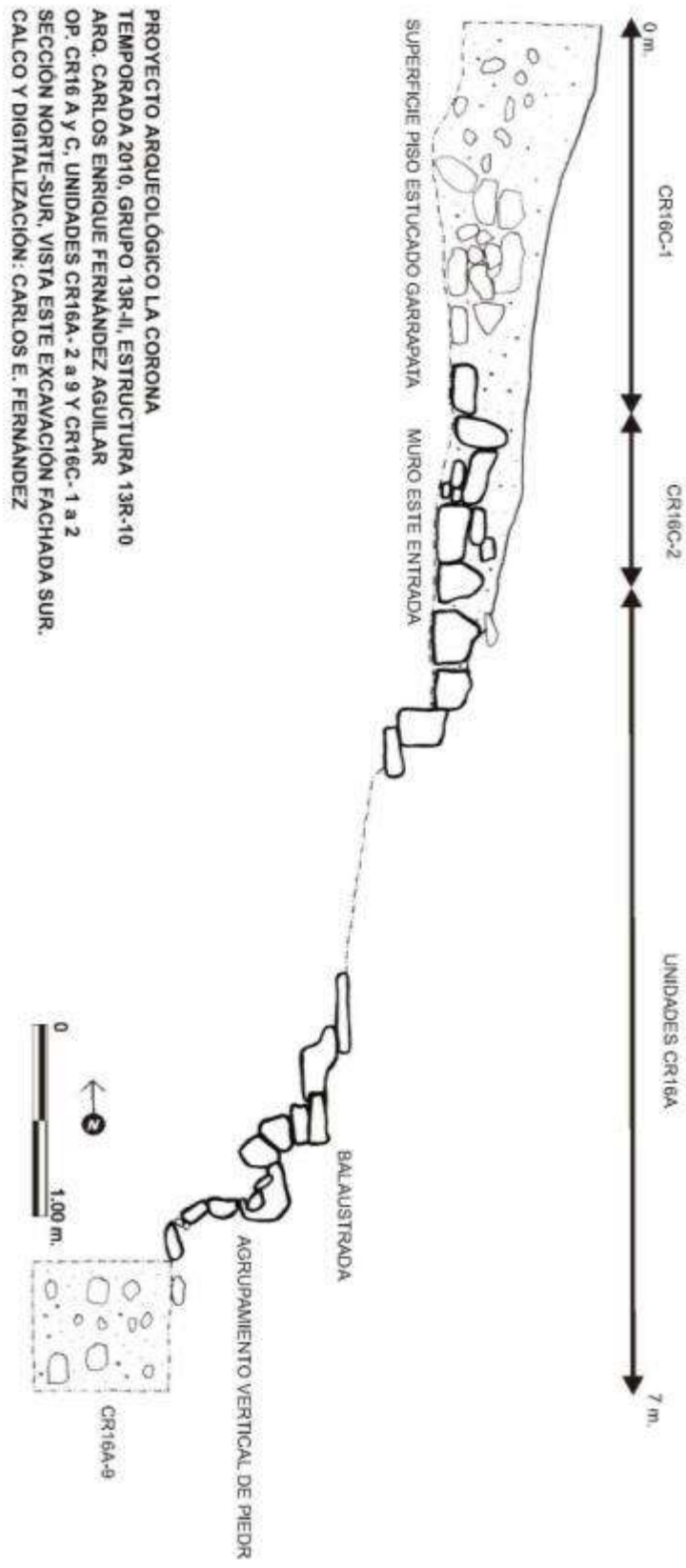


Figura 10.10 Perfil Este de las excavaciones en la fachada sur de la Estructura 13R-10

PROYECTO ARQUEOLÓGICO LA CORONA
TEMPORADA 2010, GRUPO 13R-II, ESTRUCTURA 13R-10
ARQ. CARLOS ENRIQUE FERNÁNDEZ AGUILAR
OP. CR16 A y C, UNIDADES CR16A- 2 a 9 Y CR16C- 1 a 2
PLANTA RASGOS ARQUITECTÓNICOS EXCAVACIÓN FACHADA SUR.
CALCO Y DIGITALIZACIÓN: CARLOS E. FERNÁNDEZ

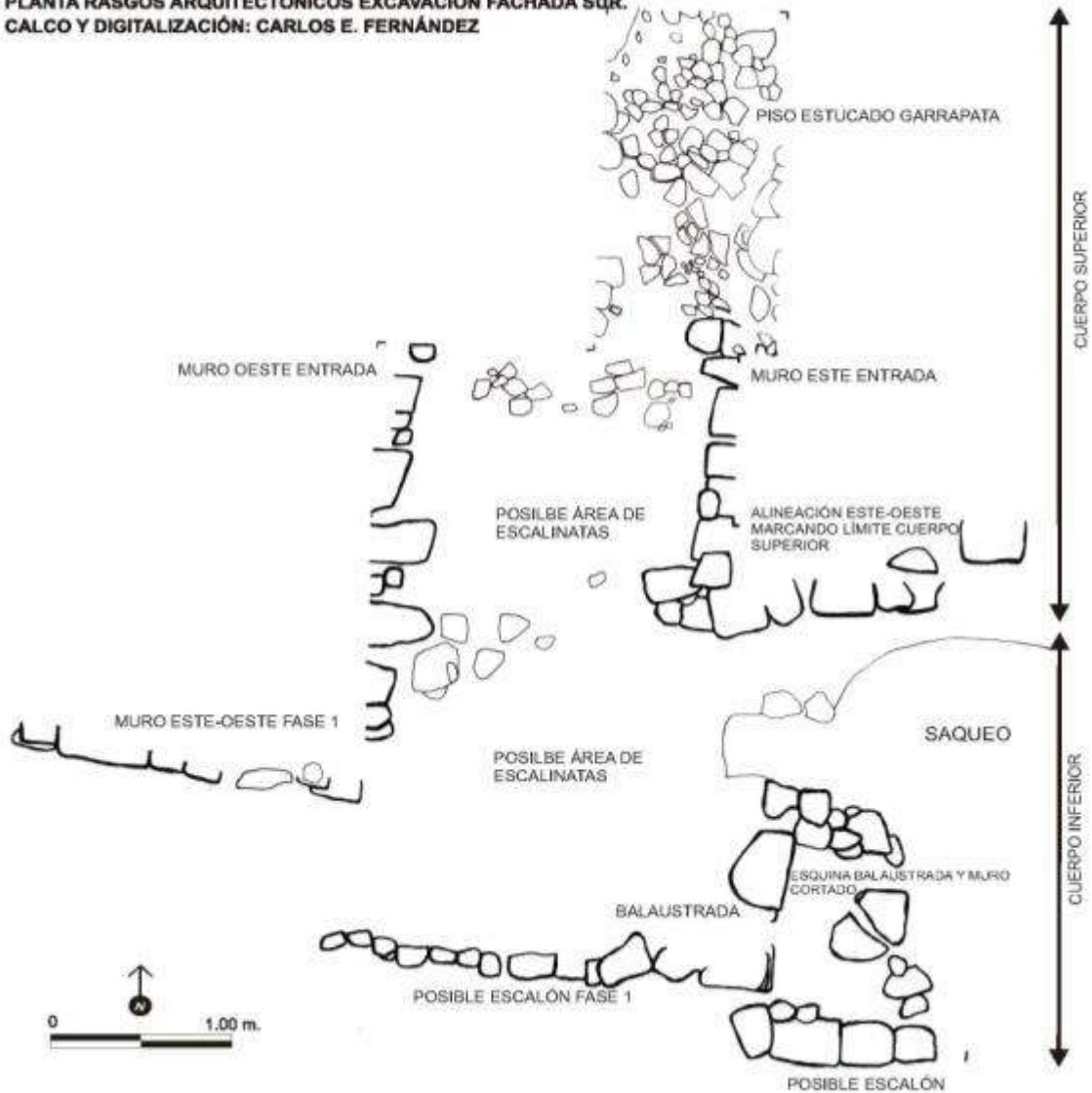


Figura 10.11 Planta de las excavaciones en la fachada sur
 de la Estructura 13R-10

Otro hecho que llamó mucho la atención fue la gran cantidad de bloques de caliza rectangulares muy bien labrados que conformaban este material de saqueo; los cuales en

promedio median 40 cm de largo por 25 cm de alto, y tenían un grosor de 20 cm. Es probable entonces que los bloques formaran la fachada sur de esta estructura y su o sus escalinatas de acceso. No se logró localizar ningún bloque idéntico *in situ*, sin embargo estos bloques son similares a los que conforman los muros o distintas alineaciones de piedra de la estructura, principalmente los encontrados en la parte superior.

Interpretaciones

Es muy posible que la actividad de saqueo haya removido la parte visible de la fachada sur de la Estructura 13R-10, principalmente en su parte inferior, en la cual los rasgos arquitectónicos descubiertos todos presentan daños por el saqueo, haciendo difícil denominar alguno con total certeza. Además, en la mayoría de éstos se debió retirar gran cantidad de escombros y relleno para descubrirlos, lo que podría indicar que estos pueden pertenecer a una fase constructiva anterior; sin embargo esto hay que confirmarlo en futuras excavaciones.

En la parte superior de la estructura la situación es diferente ya que se encontró la arquitectura mucho mejor conservada, lo cual permitió establecer que existe un acceso hacia la estructura y un piso muy bien conservado.

Por lo tanto los rasgos arquitectónicos descubiertos se podrían dividir por otro criterio más: los de la parte superior pertenecerían a la última fase de la estructura, mientras tanto los descubiertos en la parte inferior a una fase anterior.

En una futura excavación se podrá confirmar o descartar esta hipótesis, para lo cual habría que intentar buscar el punto en que se conecta esta estructura en el piso de plaza, el cual se debe ubicar debajo del material de saqueo. De esta manera se puede comprobar si quedan aún algunos rasgos arquitectónicos mejor conservados de la última fase, principalmente los restos de alguna escalinata que pueda relacionarse al acceso de la parte superior.

Suboperación CR 16B: Excavaciones en la fachada norte de la Estructura 13R-10

El área norte de esta estructura se puede denominar como un patio, encajado entre las estructuras 13R-9 y 13R-10 al sur, y la Estructura 13R-11 al norte. Esto define el patio como un área restringida, cuyo único acceso es por el lado este, ya que por el lado oeste el terreno presenta una depresión.

El objetivo principal de la suboperación CR 16B fue identificar el nivel del piso en este patio, así como conocer la arquitectura de la fachada norte de la Estructura 13R-10. También se buscaba encontrar restos del tipo de actividad que se llevó a cabo en esta estructura, por el hecho de estar cercano al sitio en el cual se encontró en el año 2006 una gran concentración de fragmentos de cerámica elite. Por lo tanto se creó un área de excavación de 12 m² por medio de cuatro unidades colindantes: CR16B-1, CR16B-1A, CR16B-2 y CR16B-2A (ver Figura 10.2).

Unidad CR16B-1

Esta unidad fue la primera de este grupo de unidades, la cual se ubicó siguiendo una línea norte-sur proyectada desde la esquina noroeste de la unidad CR16A-1, la cual se ubicó al pie de la fachada norte de la Estructura 13R-10. A continuación se describen con detalle los diferentes niveles y lotes excavados:

Lote CR16B-1-1-1: Lo primero que se removió fue una capa de tierra negra con raíces superficiales, y fue una capa delgada de un grosor máximo de 9 cm. El material cultural se limitó a 11 fragmentos de cerámica.

Lote CR16B-1-2-2: Debajo del lote 1 se localizó una mezcla de tierra negra (humus) con piedra caliza, donde la cerámica aumentó considerablemente a 259 fragmentos, incluyendo una buena cantidad de fragmentos de tipos finos con engobe rojo y restos de pintura blanca. También se recuperó un fragmento de un vaso con decoración de lo que parece ser parte de la espalda baja de un personaje sentado. Otro tipo de cerámica encontrado fueron fragmentos de piezas grandes con estriaciones, posiblemente de uso utilitario. Además se recuperaron 2 fragmentos de obsidiana, 12 fragmentos de hueso de animal, una punta de pedernal y lascas, y lo que parece ser una orejera.

Lote CR16B-1-3-2: El suelo siguió siendo el mismo, con la misma composición de tierra negra y piedra caliza, aunque en este lote se observó mayor presencia de piedra caliza de mayor tamaño, las cuales podrían ser parte del desplome de la estructura, ya que también se encontraron algunos fragmentos de estuco. Al final de este lote la tierra disminuyó considerablemente revelando una superficie cubierta en su mayor parte por piedras de desplome. La cerámica disminuyó a 160 fragmentos, los cuales presentaron las mismas características del nivel anterior. También se recuperó obsidiana, una figurilla, lascas de pedernal y fragmentos de hueso de animal.

Lote CR16B-1-4-3: La excavación se centró en un área con poca presencia de piedra en un área de 1 x 1 m, en la esquina noreste de la unidad. Conforme se profundizó en la excavación, se apreció que la composición del suelo ahora se componía de gran cantidad de piedra mezclada con mortero de color claro. Llama la atención que se encontró cerámica y fragmentos de estuco entre las piedras, totalmente cubiertos de mezcla de mortero, por lo que se pensó que se trataba del relleno de una plataforma de nivelación o simplemente piedras de colapso de la estructura. La excavación se extendió al oeste para emparejar el nivel del suelo en la parte norte del pozo. Al final de este estrato de piedras o relleno se encontró una superficie que podría ser un apisonado, pues no se encontró señales de que se tratara de un piso estucado, aunque se notó la ausencia de piedras (Figura 10.12). El material cultural recuperado en este nivel lo conformaron 193 fragmentos de cerámica, 2 figurillas, 12 fragmentos de estuco y un fragmento de hueso.

Lote CR16B-1-5-4: En esta parte la excavación nuevamente se redujo a un área de 1 x 1 m, descubriendo un apisonado conformado por un material bastante fino, el cual fue una mezcla de piedra caliza pequeña o pedrín y tierra de color grisáceo bastante suave y no muy compacto. Dentro de este relleno se encontró una buena cantidad de cerámica mezclada, aunque disminuyó a 140 fragmentos, así como 2 fragmentos de obsidiana y de hueso. A los pocos centímetros de haber iniciado la excavación de esta superficie se encontró el primer indicio del estrato natural de piedra caliza o roca madre, aunque no presentó el mismo nivel, encontrándose más profundo en algunos sectores. También se

apreció en el perfil oeste que la superficie de la roca madre no presentaba la misma coloración blanca, sino presentaba un material grisáceo muy parecido al estrato superior. Por lo tanto se realizó un registro, comprobándose que este estrato se prolongaba por debajo de la superficie de la roca madre, y más importante aún, era el único punto del cual se sacaba cerámica. Entonces se pensó que podría tratarse de algún basurero y se decidió colocar una unidad de extensión al oeste.



Figura 10.12 Muro colapsado y apisonado en la fachada norte de la Estructura 13R-10
(Fotografía por Carlos E. Fernández)

Unidad CR16B-1A

Esta unidad extendió 1 m al oeste la unidad CR16B-1, con el objetivo de saber en concreto si lo descubierto en la unidad anterior se trataba de un basurero o algún otro rasgo. Como se conocían los estratos del suelo, se llevó la excavación siguiendo estos lotes ya identificados.

Inicialmente se retiró la capa superficial de hojas secas, raíces y tierra negra, la cual no aportó ningún material. Seguidamente se encontró el estrato correspondiente al lote 2,

el cual es una mezcla de tierra con piedra caliza pequeña. Este estrato terminó cuando aparecieron las rocas más grandes, las cuales podrían ser el desplome de la estructura (lote 3), ya que incorpora las piedras calizas grandes con mezcla de mortero, cerámica y fragmentos de estuco, muchos con restos de pintura roja. Debajo de este estrato se localizó el apisonado sobre la capa de roca madre, aunque en esta unidad era más delgado. Hacia la parte oeste el apisonado casi no existía, y parece que se unía con el inicio del basurero. Al terminar este nivel, se pudo apreciar que el basurero formaba una excavación circular en la superficie de la roca madre (Figura 10.13).

Basurero en *chultun*:

El basurero ya mencionado se encontró a 1.45 m de profundidad y se proyectó 2.53 m más, es decir, hasta llegar a una profundidad total de 3.98 m desde la superficie. Para su excavación se utilizaron lotes arbitrarios de 20 cm para dividir el material y facilitar su análisis, ya que este fue abundante. En total se excavaron 12 niveles de 20 cm, y se determinó que este fue un *chultun* relleno totalmente con desechos de las actividades llevadas a cabo en esta estructura y grupo. El *chultun* se encontraba sellado por un estrato grisáceo, que parece ser el mismo tipo de material que llenó su interior (Figura 10.14). También se pudo apreciar que el material no fue depositado con cuidado o con algún arreglo, sino se trataba de material de desecho.

Cada uno de los niveles excavados presentó abundante cerámica, recuperándose un total de 6,614 fragmentos de cerámica. Muchos presentaron decoración policroma con diseños y otros con decoración en inciso muy fino, lo cual indica que perteneció a grupos élite del sitio. Según un estudio preliminar de la cerámica hecho por Mary Jane Acuña, toda esta pertenece al periodo Clásico Tardío. Cronológicamente este basurero será de mucha ayuda para el fechamiento del Grupo 13R-II, así como para el análisis cerámico por contener gran cantidad de material.



Figura 10.13 Basurero en chultun, parte posterior de la Estructura 13R-10
(Fotografía por Carlos E. Fernández)

El material cultural recuperado no se limita a cerámica, ya que se recuperaron figurillas y ocarinas muy bien modeladas, fragmentos de navajas de obsidiana, gran cantidad de huesos de animales, estuco, artefactos y lascas de pedernal, conchas de moluscos y artefactos de hueso en forma de agujas o sangradores. Por lo tanto no cabe duda que este basurero refleja que este fue un lugar con mucha actividad, y el grupo ocupante no fue de los estratos bajos de la sociedad pues se ve en el registro arqueológico la gran variedad de bienes a los cuales tuvieron acceso. Según un análisis preliminar de los huesos (ver Capítulo 14 en este informe) se ha revelado una gran variedad de especies como venado cola blanca, tortuga y perro, algunos con señales de cortes y de haber sido quemados, indicando así que existía un consumo alto de carnes de distintas especies.

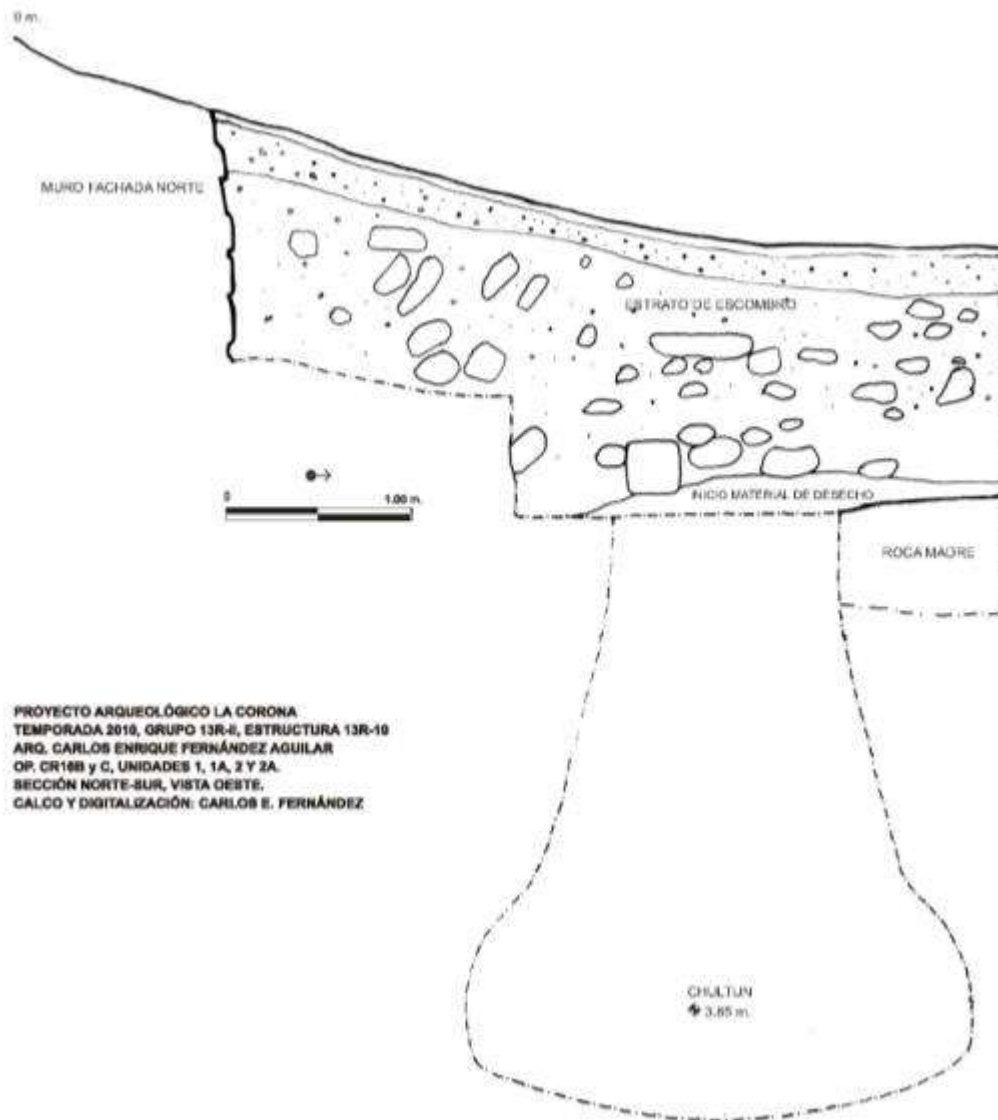


Figura 10.14 Perfil norte del chultun en la parte posterior de la Estructura 13R-10

Unidad CR16B-2 y 2A

La primera de estas unidades fue CR16B-2, de 2 x 1 m y ubicada al oeste de la unidad CR16B-1. Su objetivo fue buscar una mayor aproximación a un alineamiento de piedras que parecía marcar el inicio de la superestructura, tratando de descubrir algún rasgo arquitectónico de la fachada norte de la Estructura 13R-10.

Los primeros estratos coincidieron con las excavaciones anteriores, siendo estos el estrato superficial (Lote 1), seguido por la mezcla de tierra negra (humus) con fragmentos pequeños de caliza (Lote 2). Algo importante es que se logró establecer que el estrato de roca (Lote 3) que se pensaba podría haber sido relleno de alguna plataforma, correspondió al desplome de piedra de la fachada norte de la estructura, ya que se encontró una capa mucho más definida de derrumbe (Figura 10.15). Luego de terminado el Lote 2, se apreció en la parte sur de la unidad una alineación de bloques de piedra, la cual coincidía con la línea vista en superficie, por lo que la parte superior de este muro que se desplomó y provocó el estrato de escombros al frente de la fachada norte. Al retirar el escombros que conforma el Lote 3 (CR16B-2-3) la unidad abarcó 1 m² de CR16B-1, quedando un área total de 3 x 1 m. Esta parte se había conservado pensando que se trataba del relleno de la plataforma, pero al comprobarse lo contrario se retiró.



Figura 10.15 Derrumbe del muro posterior (norte) de la Estructura 13R-10
(Fotografía por Carlos E. Fernández)



Figura 10.16 Muro y piso de la fachada norte de la Estructura 13R-10
(Fotografía por Carlos E. Fernández)

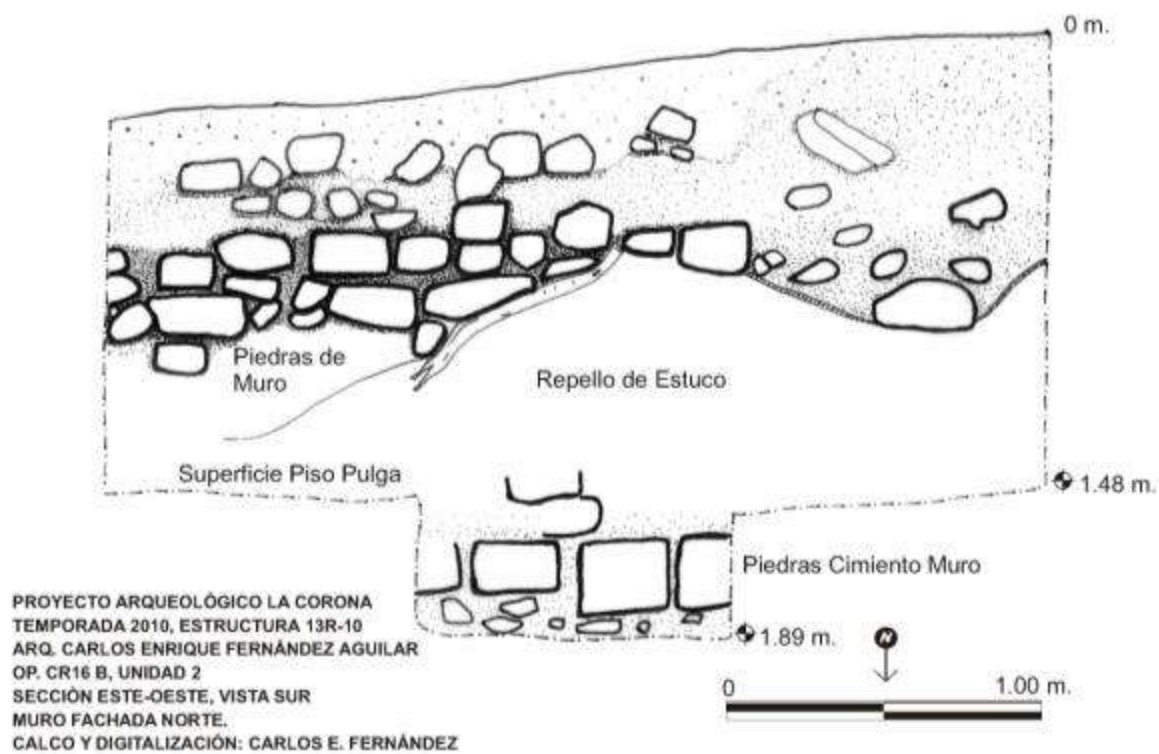
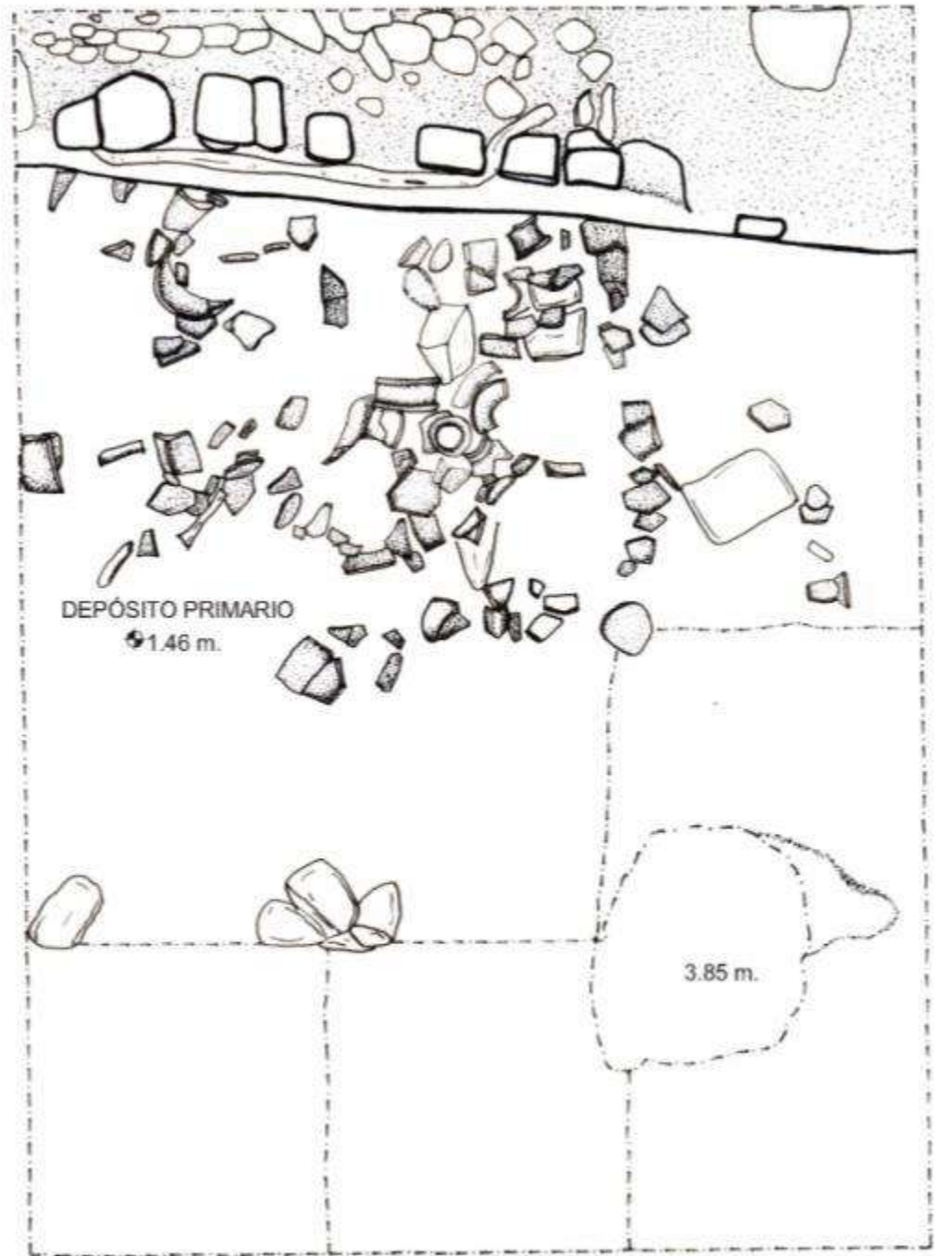


Figura 10.17 Perfil sur de la unidad CR 16B-2

Mientras se retiraba el escombros más se iba descubriendo del muro. Al llegar al final del escombros se descubrió una superficie compacta y de color café claro a unos 1.38 m de profundidad, por lo que se decidió iniciar un nuevo lote (CR16B-2-3A). Al descubrirse esta superficie más cerca del muro, aumentó la cantidad de material cultural, en especial cerámica y huesos de animales. Por lo tanto, al concluir el lote fue claro que se trataba de un depósito primario de actividad, es decir desechos arrojados en este lugar después de haber sido usados. Por este motivo se decidió ubicar la unidad CR16B-2A, que amplió la excavación 1 m hacia el oeste buscando descubrir por completo este depósito. Se siguieron los estratos ya establecidos hasta que se llegó al nivel de la superficie compacta identificada en las unidades anteriores. A partir de este punto la excavación se manejó como una sola unidad, abarcando por completo el área de las unidades CR16B-2 y CR16B-2A a partir del lote CR16B-2-3A, el cual descubrió el depósito primario a una profundidad de 1.30 m (Figuras 10.18 y 10.19).



Figura 10.18 Depósito Primario (Fotografía por Carlos E. Fernández)



PROYECTO ARQUEOLÓGICO LA CORONA
TEMPORADA 2010, GRUPO 13R-II, ESTRUCTURA 13R-10
ARQ. CARLOS ENRIQUE FERNÁNDEZ AGUILAR
OP. CR16B, UNIDADES 1, 1A, 2 Y 2A.
PLANTA DEPÓSITO PRIMARIO
CALCO Y DIGITALIZACIÓN: CARLOS E. FERNÁNDEZ

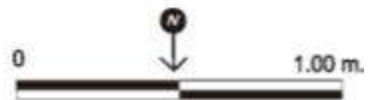


Figura 10.19 Planta del Depósito Primario

Para descubrir por completo este depósito se hizo necesario realizar otra ampliación de 1 m hacia el oeste (CR16B-2- lote de extensión) el cual por razones de tiempo abarcó un solo nivel hasta llegar al depósito primario.

CR16B-2-Depósito primario

Este depósito se identificó primero en la unidad CR16B-2 y luego en CR16B-2A, las cuales se unieron y fue totalmente descubierto por CR16B-2-lote de extensión. Al final, el lote del depósito primario se convirtió en una excavación de 3 x 3 m.

En este depósito se recuperó una gran variedad de material, donde la cerámica fue abundante. Se identificó principalmente cerámica utilitaria correspondiente a piezas grandes, como cantaros, jarrones, tinajas y platos. Según Stanley Gunter, existe presencia de cerámica naranja fino lo que ubicaría este depósito como un ejemplo de las últimas actividades en el sitio en el clásico terminal (Stanley Gunter, comunicación personal), aunque solo con el estudio de la cerámica se podrá fechar este depósito.

También es importante mencionar la gran cantidad de huesos de fauna que se encontró, principalmente de venado, según un análisis posterior (ver Capítulo 14 de este informe). Clarissa Cagnato analizó muestras de tierra de este depósito y del basurero en el *chultun* en busca de restos de alimentos, por lo que aportará datos interesantes acerca de la dieta de quienes habitaron este sector (ver Capítulo 12 de este informe). Además se identificaron restos de concha nácar y de caracol. La obsidiana también estuvo presente, determinándose que esta procedía del Chayal, y también se localizaron varias herramientas de pedernal, fragmentos de figurillas y ocarinas, y un fragmento de monumento, posiblemente de un panel, sin embargo no presentaba talla alguna.

Conclusiones

Las excavaciones en la Estructura 13R-10 produjeron interesantes hallazgos acerca de la arquitectura, y uso que se le dio a esta estructura:

En la fachada sur, debido a lo intenso del saqueo, es probable que su fachada haya sido removida casi en su totalidad, dejando únicamente parte del relleno de la estructura y rasgos arquitectónicos de una fase anterior, los cuales en futuras excavaciones deberán ser expuestos en mayor grado. La parte superior de la fachada sur parece ser el área donde ésta aún se conservó, pues se identificó lo que parece ser una entrada, pero no se identificó ninguna escalinata de acceso. Únicamente se expuso un piso interior y exterior, el cual podría ser de un corredor que rodeara la superestructura, algo que también hay que confirmar o descartar con futuras excavaciones. La continuación de las excavaciones en el área debería centrarse en profundizar más en el área excavada, especialmente la remoción del escombros de saqueo para ver si bajo de este se encuentra la base de la estructura.

En las excavaciones de la fachada norte se revelaron también rasgos arquitectónicos, como lo fue un muro estucado que marca el inicio de la plataforma basal que compuso esta estructura. Al pié de dicho muro se descubrió un depósito de cerámica y otros materiales, que dan indicios de una actividad intensa en esta estructura. Dependiendo del estudio de este material se podrá esclarecer si se trata de actividades domésticas, rituales o ambas.

Otro descubrimiento de gran importancia fue el chultun que se usó como basurero, el cual se encontró totalmente lleno de todo tipo de material cultural, ratificando que en este sector la actividad fue constante. Con la gran cantidad de material aportado por este basurero se podrá establecer qué tipo de actividad se llevó a cabo en la estructura y el Grupo 13R-II, ya que hasta el momento el material no ha sido analizado en detalle. Sin embargo el hecho que exista una gran variedad de material cultural indica que la disponibilidad de recursos para quienes usaron o habitaron esta estructura no fue limitada, es decir, pertenecían a un grupo de la élite social o religiosa de Sak Nikte'.

Falta aún recolectar una mayor cantidad de información para determinar si el área del Grupo 13R-II fue de uso doméstico o ritual, por lo que bien pudo tratarse de la residencia de un grupo élite o más bien un complejo de adoración de alguna deidad.

OPERACIÓN CR42: EXCAVACIONES EN EL GRUPO HABITACIONAL 13R-2*Jocelyne Ponce Stokvis***Introducción**

El objetivo general de realizar estas excavaciones fue obtener información acerca de la ocupación de los grupos habitacionales del sitio. Por otro lado, también se buscó hacer comparaciones con los otros grupos habitacionales del sitio. Los objetivos específicos eran llevar a cabo pozos de sondeo en las plazas de ambos complejos para poder llegar a conocer más acerca de la función y ocupación del Grupo 13R-2. De igual manera, se pretendía hacer pozos de sondeo detrás de las estructuras con el objetivo de buscar basureros y obtener más datos de la cronología y de posibles rasgos arquitectónicos superficiales. Como parte de la metodología se realizaron unidades de excavación de 2 x 2 m orientados al norte, a excepción de tres pozos trazados en la Estructura 13R-44, que fueron orientados conforme a la orientación de la misma. Los pozos fueron trazados en el centro de ambas plazas y detrás de las Estructuras 13R-40 y 13R-44 (Figura 11.1). Por otro lado, es importante mencionar que se excavó en niveles arbitrarios de 20 cm.

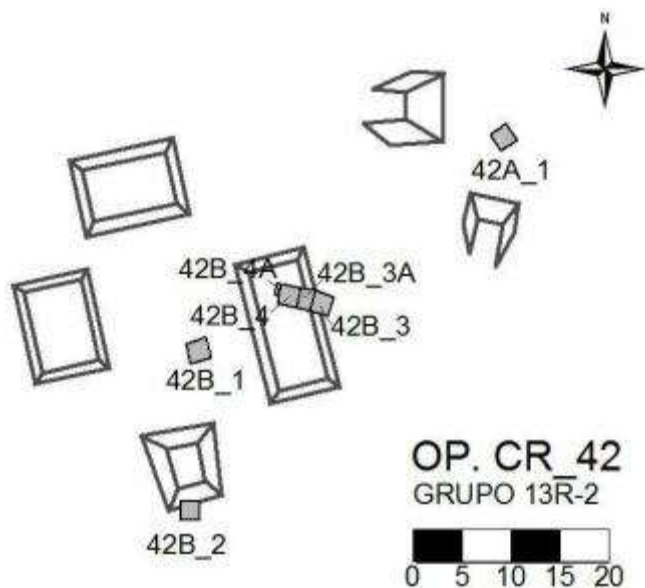


Figura 11.1 Ubicación de las excavaciones en la Operación CR 42
(Mapa realizado por Rodrigo Guzmán)

Descripción de excavaciones

Suboperación CR-42A

Esta suboperación comprendió la parte noroeste del Grupo 13R-2, conformado por las Estructuras 13R-41 y 13R-42, frente a una posible plataforma cerca del sibal. Como parte de esta suboperación solamente se excavó un pozo denominado 42A-1.

Unidad CR 42A-1

Este pozo fue de 2 x 2 m orientado al norte y ubicado en el centro un posible patio bajo las Estructuras 13R-41 y 13R-42. Se obtuvieron solamente 3 lotes, siendo el primero de humus café oscuro suelto con muchas raíces, el segundo de tierra café compacta mezclada con piedrín que comenzó a aproximadamente 20cm de la superficie y el tercero de arena blanca compacta con piedras de diferentes tamaños. Éste último comenzó aproximadamente a 60cm desde la superficie. En general no se obtuvo mucho material, pero se encontró mayor cantidad en los niveles 2 y 3. En este pozo se excavaron un total de cinco niveles y la profundidad máxima alcanzada fue de 1.65 metros (Figura 11.2).

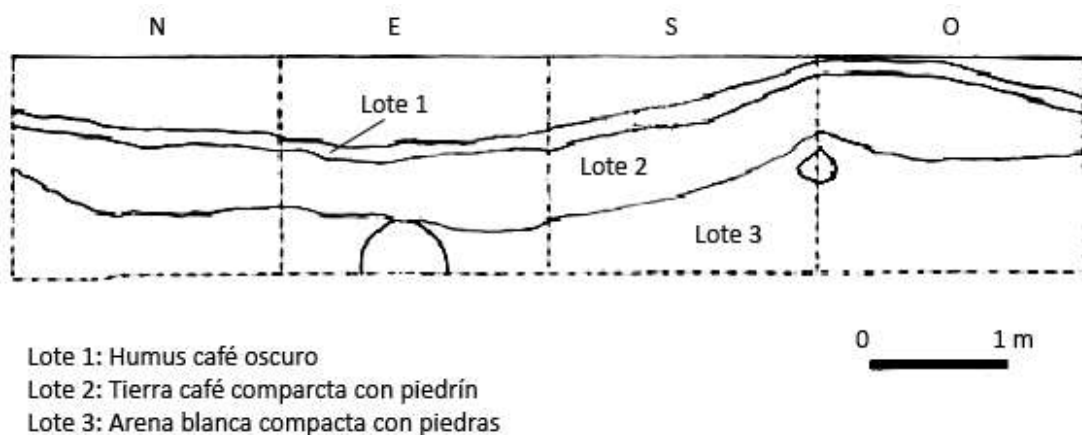


Figura 11.2 Perfiles norte, este, sur y oeste unidad 42A-1
(Dibujo y calco por Jocelyne Ponce)

Suboperación CR-42B

Esta suboperación abarcó el patio formal del Grupo 13R-2, conformado por las Estructuras 13R-40, 13R-43, 13R-44 y 13R-45 agrupadas alrededor de una pequeña plaza cuadrangular. Como parte de esta suboperación se excavaron los pozos 42B-1, 42B-2, 42B-3, 42B-3a, 42B-4 y 42B-4a.

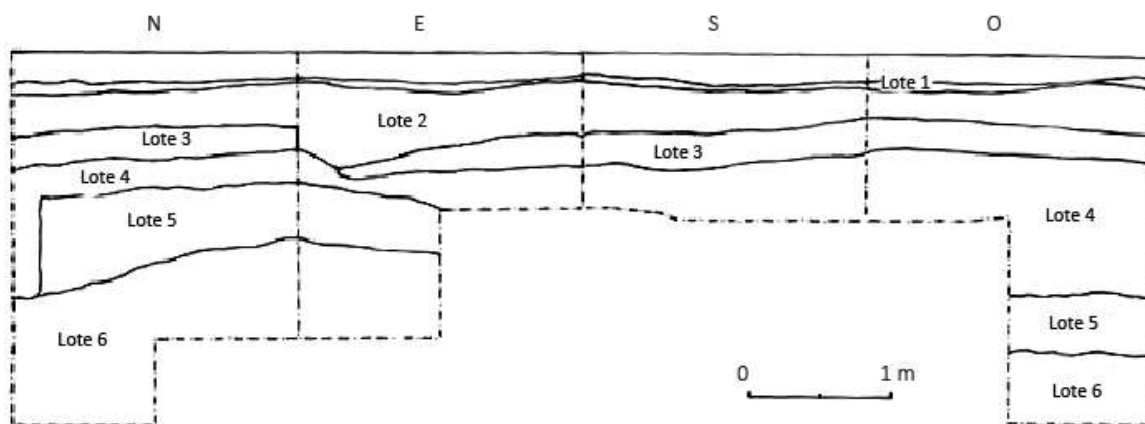
Unidad 42B-1

Este pozo fue de 2 x 2 m orientado al norte y ubicado originalmente en el centro del patio. Sin embargo, debido a la presencia de un panal de avispas, se movió 2.3 metros al este. Se obtuvieron un total de seis lotes, siendo el primero de humus café oscuro suelto con muchas raíces y el segundo de tierra café compacta mezclada con piedras de diferentes tamaños. El tercer lote comenzó a 60 cm de profundidad y fue tierra café mezclada con pedrín, seguido por otro estrato de barro café compacto que comenzó a 80 cm desde la superficie. Este estrato de barro continuó hacia abajo en la sección sur del pozo, mientras que en la mitad norte de la unidad se encontró un estrato de arena amarillenta muy compacta con piedras de diferentes tamaños, que bien pudiera ser parte de una plataforma antigua, ya que presentó indicios de una alineación de piedras medianas (Figura 11.3).



Figura 11.3 Perfil oeste de la unidad CR42B-1 (Fotografía por Jocelyne Ponce)

Por lo tanto se siguió excavando bajo el barro café, en la mitad este del pozo, encontrando un estrato de barro compacto amarillento y gris mezclado con piedras de diferentes tamaños, que comenzó como a 1 m de la superficie. Finalmente se llegó a niveles estériles, donde se concluyó la excavación. En los niveles 2 y 3 de la excavación se obtuvo la mayor cantidad de material cultural, seguido por el nivel 1 y el nivel 4. Del nivel 5 en adelante no se obtuvo ningún tipo de material. En este pozo se excavaron un total de doce niveles y la profundidad máxima alcanzada fue de 2.41 m (Figura 11.4).



- Lote 1: Humus café oscuro
- Lote 2: Tierra café compacta con piedras
- Lote 3: Arena blanca compacta con piedras
- Lote 4: Barro café compacto
- Lote 5: Arena amarillenta compacta con piedras
- Lote 6: Barro compacto amarillento y gris con piedras

Figura 11.4. Perfiles norte, este, sur y oeste de la unidad 42B-1
(Dibujo y calco por Jocelyne Ponce)

Unidad 42B-2

Este pozo fue de 2 x 2 m, orientado al norte y ubicado en la parte trasera de la Estructura 13R-44, procurando que medio metro abarcara parte de la estructura. Se obtuvieron cuatro lotes en total, siendo el primero de humus café oscuro suelto con muchas raíces, el segundo de tierra café compacta mezclada con piedras de diferentes tamaños y el tercero de tierra café compacta mezclada con piedrín. El cuarto nivel, definido a 80 cm de profundidad, fue de arena blanca y café clara mezclada con piedras de diferentes tamaños. En los niveles 2 y 3 se obtuvo la mayor cantidad de material cultural, seguido por el nivel 1 y 4. En este pozo se excavaron un total de seis niveles y la profundidad máxima alcanzada fue de 1.20 m (Figura 11.5).

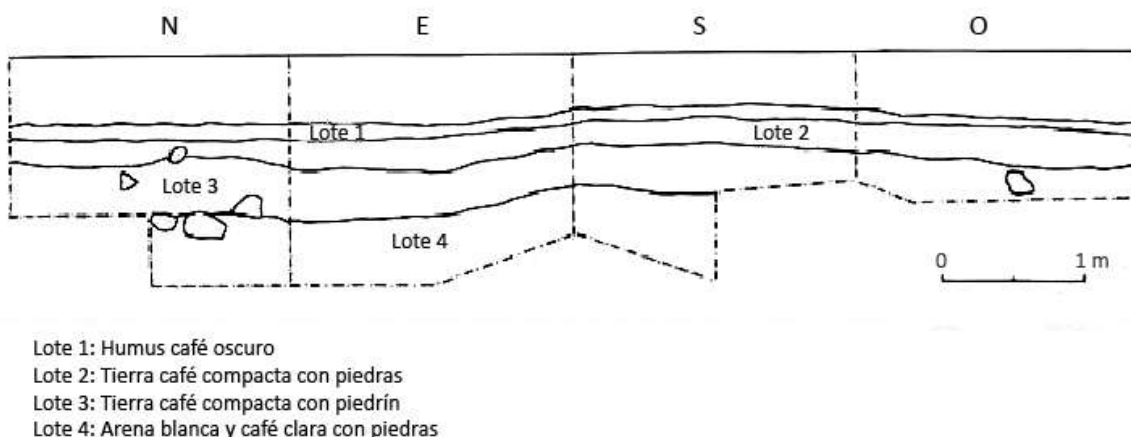


Figura 11.5 Perfiles norte, este, sur y oeste de la unidad 42B-2
(Dibujo y calco por Jocelyne Ponce)

Unidad 42B-3

Este pozo fue de 2 x 2 m orientado al norte y ubicado en la parte de trasera de la estructura 13R-40. En este pozo se obtuvieron solamente dos lotes, siendo el primero de humus café oscuro suelto con muchas raíces y el segundo de tierra café compacta mezclada con piedras de diferentes tamaños. En el nivel 2 se obtuvo la mayor cantidad de material cultural. En este pozo se excavaron un total de dos niveles y la profundidad máxima alcanzada fue de 70 cm (Figura 11.6).

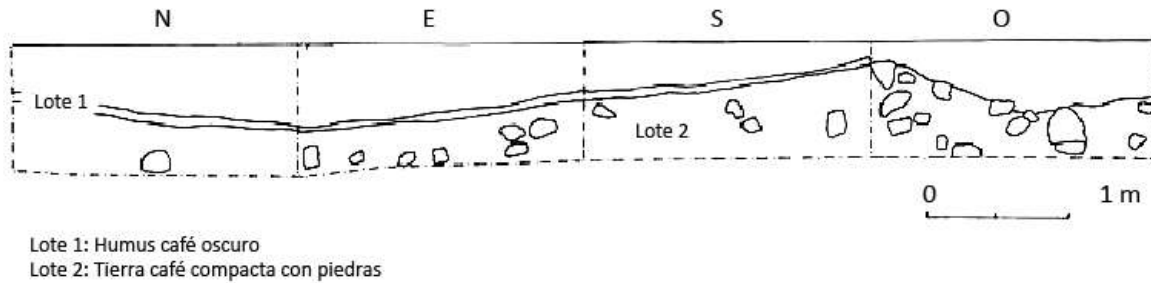


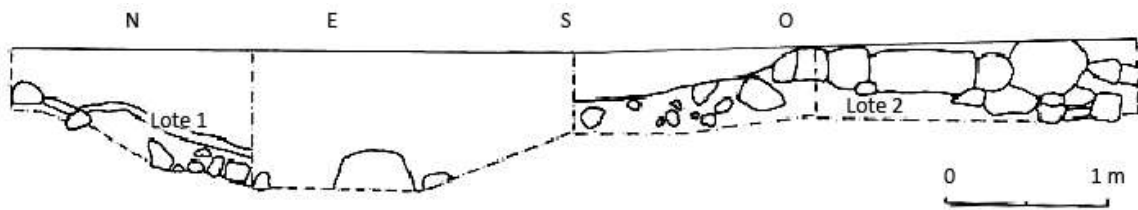
Figura 11.6 Perfiles norte, este, sur y oeste de la unidad 42B-3
(Dibujo y calco por Jocelyne Ponce)

Unidad 42B-3a

Este pozo fue una extensión de 2 x 1.50 m ubicada al oeste de la unidad 42B-3 para poder conocer más de la arquitectura de la Estructura 13R-40, buscando específicamente las piedras de muro de la misma. En este pozo solamente se excavaron dos lotes, siendo el primero de humus café oscuro suelto con muchas raíces y el segundo de tierra café compacta mezclada con piedras de diferentes tamaños. Se encontró una alineación de piedras de muro de norte a sur (Figura 11.7). Tres de estas piedras que se encontraban alineadas en el lado oeste del pozo poseían restos de estuco debajo de ellas. En total solo se excavó un nivel y la profundidad máxima alcanzada fue de 20cm (Figura 11.8).



Figura 11.7 Detalle del muro posterior de la Estructura 13R-40
(Fotografía por Jocelyne Ponce)

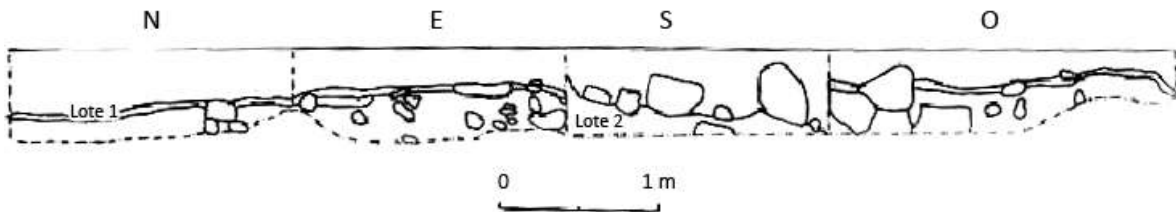


Lote 1: Humus café oscuro
 Lote 2: Tierra café compacta con piedras

Figura 11.8 Perfiles norte, este, sur y oeste de la unidad 42B-3^a
 (Dibujo y calco por Jocelyne Ponce)

Unidad 42B-4

Este pozo fue de 2 x 2 m, ubicado sobre la Estructura 13R-40 con el fin de poder conocer más de la arquitectura, buscando específicamente las piedras de muro. En este pozo solamente se excavaron dos lotes, siendo el primero de humus café oscuro suelto con muchas raíces y el segundo de tierra café compacta mezclada con piedras de diferentes tamaños. Se encontraron dos alineaciones de piedras de muro de este a oeste y un posible piso de estuco que se encontró junto a éstas. También se encontró un depósito especial de cerámica (Figuras 11.9 y 11.10) en el lado noroeste del pozo que constaba de tiestos de diferentes tamaños pertenecientes a un cántaro Tinaja Rojo y un cuenco Encanto Estriado. Como parte de este depósito también se encontró parte de un hacha de pedernal de aproximadamente 12cm de largo x 6cm de ancho. En total se excavaron dos niveles y la profundidad máxima alcanzada fue de 30cm (Figura 11.11).



Lote 1: Humus café oscuro
 Lote 2: Tierra café compacta con piedras

Figura 11.11. Perfiles norte, oeste, sur y este unidad 42B-4
 (Dibujo y calco por Jocelyne Ponce)



Figura 11.9 Depósito de cerámica y piso de estuco de la Estructura 13R-40 (Fotografía por Jocelyne Ponce)

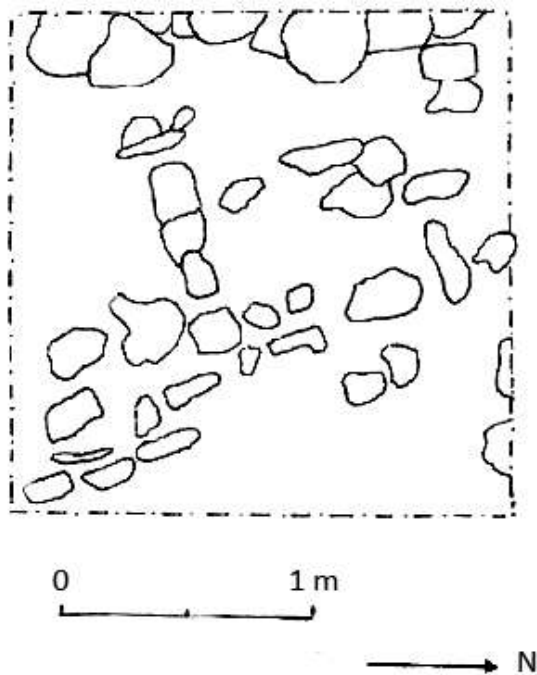


Figura 11.10 Planta mostrando alineación de piedras de muro unidad 42B-4 (Dibujo y calco por Jocelyne Ponce)

Unidad 42B-4a

Este pozo fue una extensión de 50 x 60cm ubicada al noroeste de la unidad 42B-4 con el fin de terminar de excavar el depósito especial de cerámica encontrado en el interior de la Estructura 13R-40. En este pozo solamente se excavaron dos lotes, siendo el primero de humus café oscuro suelto con muchas raíces y el segundo de tierra café compacta mezclada con piedras de diferentes tamaños. En total se excavaron dos niveles y la profundidad máxima alcanzada fue de 30cm (Figura 11.12).

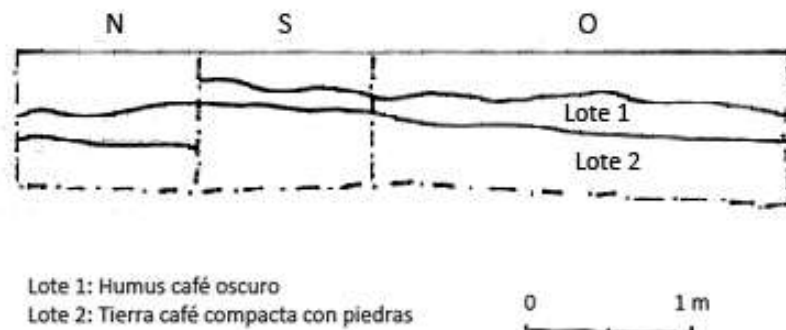


Figura 11.12 Perfiles norte, sur y oeste unidad 42B-4a (Dibujo y calco por Jocelyne Ponce)

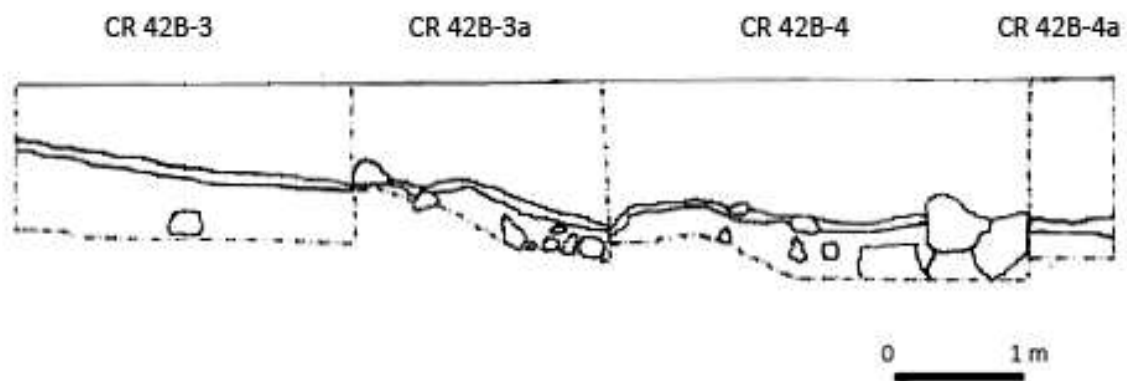


Figura 11.13. Perfil norte, Estructura 13R-40 (unidades 42B-3, 42B-3a, 42B-4 y 42B-4a) (Dibujo y calco por Jocelyne Ponce)

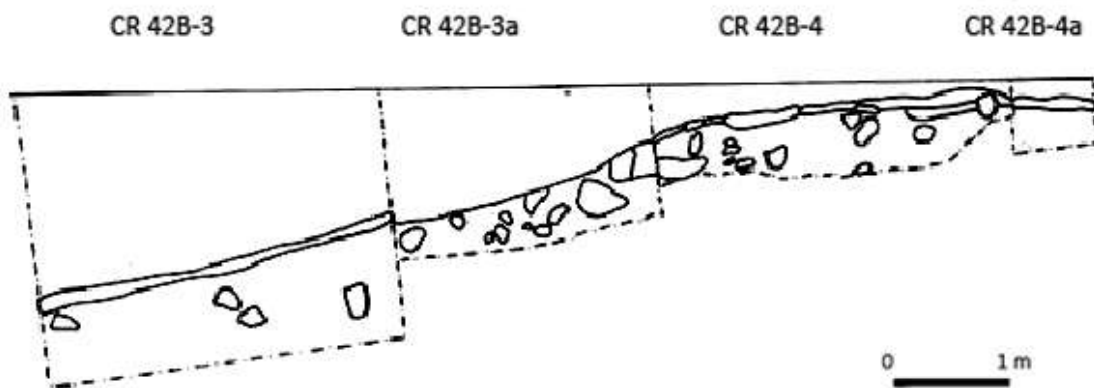


Figura 11.14. Perfil Sur, Estructura 13R-40 (unidades 42B-3, 42B-3a, 42B-4 y 42B-4a)
(Dibujo y calco por Jocelyne Ponce)

Interpretaciones

En base al poco material obtenido de la unidad CR-42A-1, se puede inferir que este espacio haya sido una cantera de donde obtenían material para relleno de construcción. Sin embargo, es posible que el área se inundara por su cercanía al sibal, por lo que las Estructuras 13R-41 y 13R-42 pudieron haber funcionado como plataformas para tener acceso más fácil al agua y otros recursos, ya que además estas estructuras son más grandes que las del resto del grupo.

Por otro lado, es posible que en la plaza del grupo habitacional 13R-2 haya existido una estructura más temprana, posiblemente perteneciente al período Preclásico. El relleno de ésta hubiera sido la arena amarillenta compacta con piedras de diferentes tamaños que comenzó a 80cm de la superficie en el nivel 5 de la unidad CR-42B-1. Esto es apoyado por el hecho que en las excavaciones de otras áreas habitacionales se encontró la roca madre a no más de un metro desde la superficie según el caso, mientras que acá sobrepasó los dos metros. Es posible que los rellenos encontrados en la unidad CR-42B-2 hayan sido producto de la última ocupación del sitio y que el relleno de arena blanca sea proveniente de alguna cantera cercana, posiblemente de la que fue encontrada en el complejo CR-42A.

De igual manera, es importante mencionar que en el todo el Grupo 13R-2, el relleno de barro café oscuro compacto fue utilizado para nivelar la plaza, aunque éste fue poco visible en la unidad 42B-2. La tierra café con piedrín fue un relleno utilizado durante la última ocupación y es posible que haya habido un piso de estuco sobre éste que haya cubierto la plaza. En general se encontró mayor cantidad de material en los niveles 2 y 3 de las excavaciones. La diversidad y densidad de material encontrado en el nivel 2 indica que esta temporalidad fue la de mayor actividad, probablemente perteneciente a la última ocupación del área en el Clásico Tardío. Aunque es poco probable que hayan utilizado el centro de la plaza como basurero, sí es posible que hayan utilizado la parte de atrás de las estructuras para este fin.

En cuanto a la Estructura 13R-40, las piedras alineadas encontradas en las unidades CR-42B-3a y CR-42B-4 fueron parte de los muros estucados de su parte posterior. De igual manera, es posible que el depósito especial de cerámica que fue encontrado en las unidades CR-42B-4 y CR-42B-4a haya sido una ofrenda, por lo que es posible que la Estructura 13R-40 haya tenido importancia especial dentro del grupo. Sin embargo, también es posible que haya sido parte de una vajilla dejada por los últimos habitantes del área en alguna habitación de la estructura.

Por último es importante mencionar que en base al tipo de material encontrado, los otros grupos donde se hicieron excavaciones de sondeo durante esta temporada son de carácter habitacional. Por su cercanía a los grupos principales del sitio, es posible que hayan sido de la élite, además que todos estaban asociados a alguna reserva de agua cercana. De igual manera, todos tenían el mismo ordenamiento de 3 o 4 estructuras alrededor de un patio central y una de las estructuras poseía mayor tamaño que las demás del grupo. Los rellenos observados variaron en todos los casos, por lo que es posible que rellenaran con el material más cercano que estuviera disponible. Sin embargo, en todos los complejos utilizaron el relleno de tierra café mezclado con piedrín en la última ocupación y es posible que hayan utilizado el relleno de barro para nivelar.

Tabla 11.1 Listado de Materiales por nivel, Operación CR 42

| Operación | Cerámica | Obsidiana | Pedernal | Figurillas | Otros |
|--------------|-------------|-----------|----------|------------|-------------------------|
| CR-42A-1-1 | 1 | | | | |
| CR-42A-1-2 | 9 | | | | |
| CR-42A-1-3 | 4 | 1 | | | |
| TOTAL | 14 | 1 | | | |
| CR-42B-1-1 | 132 | 2 | | | |
| CR-42B-1-2 | 597 | 4 | 4 | 1 | |
| CR-42B-1-3 | 324 | 4 | | | |
| CR-42B-1-4 | 46 | | | | |
| TOTAL | 1099 | 10 | 4 | 1 | |
| CR-42B-2-1 | 71 | | | | 1 barro quemado |
| CR-42B-2-2 | 652 | 8 | 3 | 1 | |
| CR-42B-2-3 | 115 | 1 | | | |
| CR-42B-2-4 | 3 | | | | |
| TOTAL | 841 | 9 | 3 | 1 | 1 |
| CR-42B-3-1 | 24 | | | | |
| CR-42B-3-2 | 352 | 5 | 2 | | 1 |
| TOTAL | 376 | 5 | 2 | | 1 |
| CR-42B-3a-1 | 28 | | 1 | | |
| TOTAL | 28 | | 1 | | |
| CR-42B-4-1 | 19 | | 1 | | |
| CR-42B-4-2 | 239 | 1 | 1 | | 15 fragmentos de estuco |
| TOTAL | 258 | 1 | 2 | | 15 |

OPERACIÓN CR43: EXCAVACIONES EN EL GRUPO HABITACIONAL 12Q-1

María Andrea Rojas

Introducción

El grupo residencial 12Q-1 del sitio La Corona se sitúa al noroeste, entre el sibal “El Pato” y otro más pequeño. Fue mapeado durante la temporada 2008, identificándose las Estructuras 12Q-1, 12Q-2 y 12Q-3 que conforman un patio abierto hacia el sur. Además, más al sur, se reconocieron las Estructuras 12Q-4 y 12Q-5 y éstas forman un patio informal (Marken, 2008: 54).

En las temporadas 2008 y 2009 únicamente se mapeó el Grupo 12Q-1 y no se tuvo ningún tipo de intervención arqueológica. Por esta razón, en la temporada de 2010 se decidió comenzar a excavar las áreas residenciales; para cumplir con esta meta se plantearon cuatro objetivos principales: 1) realizar pozos de sondeo en el centro de la plaza y detrás de las Estructuras 12Q-1, 12Q-2 y 12Q-3; 2) identificar los rellenos constructivos utilizados para la nivelación de la plaza; 3) localizar basureros; y 4) comparar el Grupo 12Q-1 con otros grupos residenciales de los sectores 13P, 13R y 13S.

La metodología utilizada consistió en trazar diez unidades de excavación que fueron orientadas hacia el norte. Los pozos localizados, detrás de las Estructuras 12Q-1 y 12Q-3 y el del centro de la plaza, tuvieron una dimensión de 2 x 2 m y el resto de 1 x 2 m. El procedimiento de excavación que se utilizó fue de niveles culturales combinado con el de arbitrarios de 0.20 m. Esto quiere decir que se excavó de veinte en veinte centímetros, pero la clasificación del material fue cultural –según la característica de la tierra-. Los niveles en la mayoría de las unidades fueron rellenos constructivos y en casi todos se llegó a suelo natural.

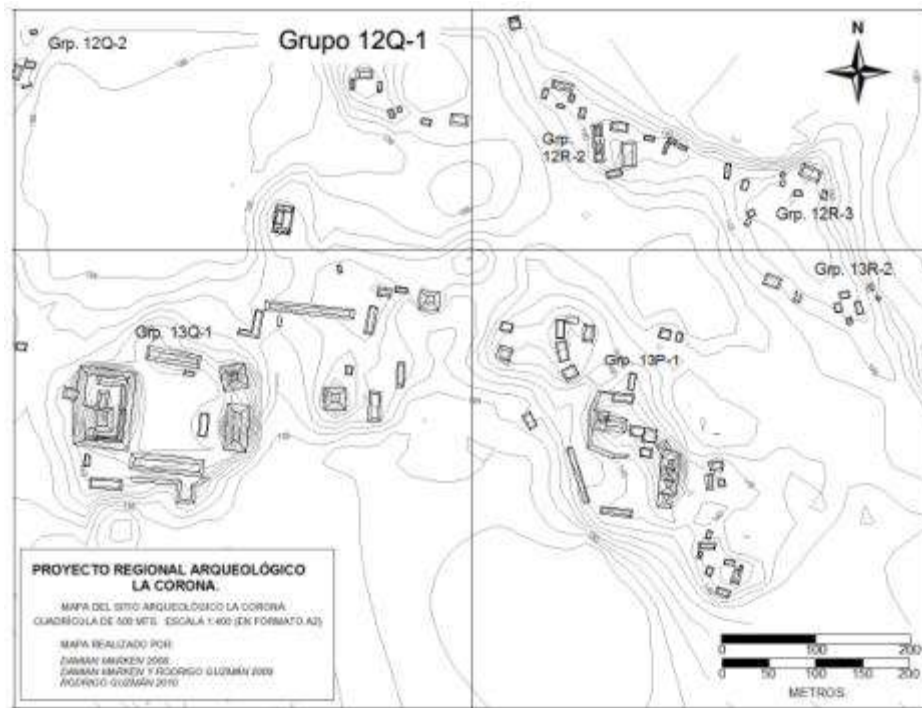


Figura 11.15 Ubicación del Grupo Residencial 12Q-1

Descripción de excavaciones

En esta sección se presentan los resultados de las excavaciones realizadas, en la temporada 2010, en el grupo residencial 12Q-1 (Figura 11.16). A continuación se describe, de una forma detallada, cada una de ellas:

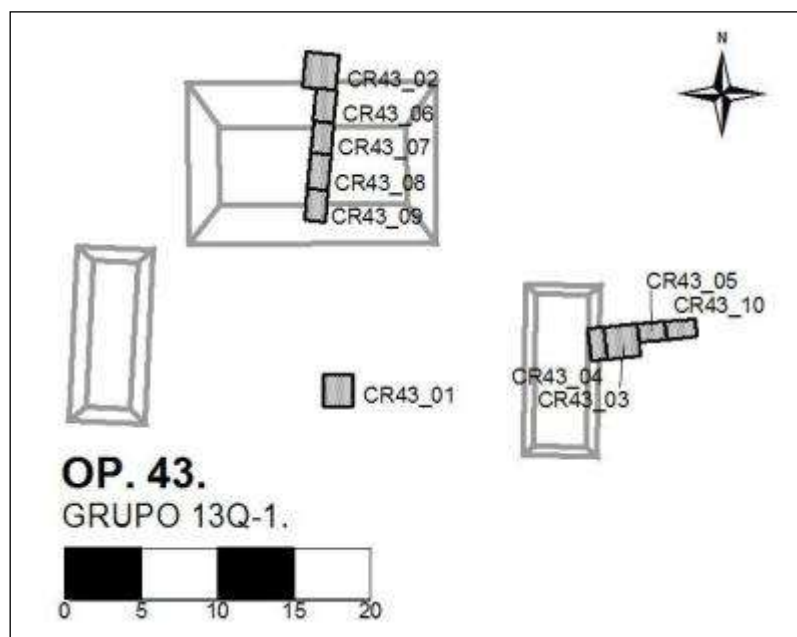


Figura 11.16 Ubicación de las excavaciones en el Grupo Residencial 12Q-1 (Mapa realizado por Rodrigo Guzmán)

Unidad CR 43-1

Con el objetivo de identificar rellenos constructivos utilizados para la nivelación de la plaza se trazó la unidad de excavación CR 43-1 (Figura 11.17) orientada hacia el norte; tuvo una dimensión de 2 x 2 m. En general se presentaron seis lotes, siendo el primero humus, el segundo tierra café claro de consistencia suelta y arenosa y el tercero tierra café oscura compacta con presencia de piedras pequeñas y grandes. El cuarto fue de tierra café-amarilla mezclada con piedrín, el quinto tierra café oscura de consistencia compacta y el sexto tierra café clara con grandes cantidades de piedrín y piedras de gran tamaño.

Interpretación:

En el área expuesta por la excavación se identificaron dos diferentes ocupaciones; en cada una de ellas se recolectó material cerámico y lítico. La primera de ellas consistía en un barro café oscuro colocado debajo de un piso de piedras (Lote 5), el cual representaba un relleno constructivo utilizado para la nivelación de la terraza. Dentro de este no se encontró tanto material cultural como se esperaba, la razón de ello puede estar en que se encuentra muy cerca del nivel natural. Y la segunda ocupación resulta ser también un barro café oscuro ubicado sobre el piso de piedras (Lote 3). Sobre éstas se hubiera esperado encontrar algún tipo de piso de estuco, pero lamentablemente no se pudo identificar este tipo de rasgo constructivo.

Retomando el segundo relleno constructivo, que claramente refleja la última ocupación, sobre y dentro del mismo se encontró suficiente material cerámico que podría estar haciendo referencia a un basurero, puesto que la cantidad recolectada ascendió a 790 tiestos. La mayoría de ellos son burdos y no poseen ningún tipo de decoración; a pesar de ello, dentro de la muestra se identificaron algunos tiestos con pintura y una decoración estriada. Llamó la atención que otra parte significativa de la muestra eran bordes. En lo que respecta al material lítico, la muestra fue muy pequeña pero se destacó por ser pedernal trabajado y algunas navajas prismáticas de obsidiana. El patrón constructivo observado en esta unidad de excavación coincide con las características del pozo CR 43-2.

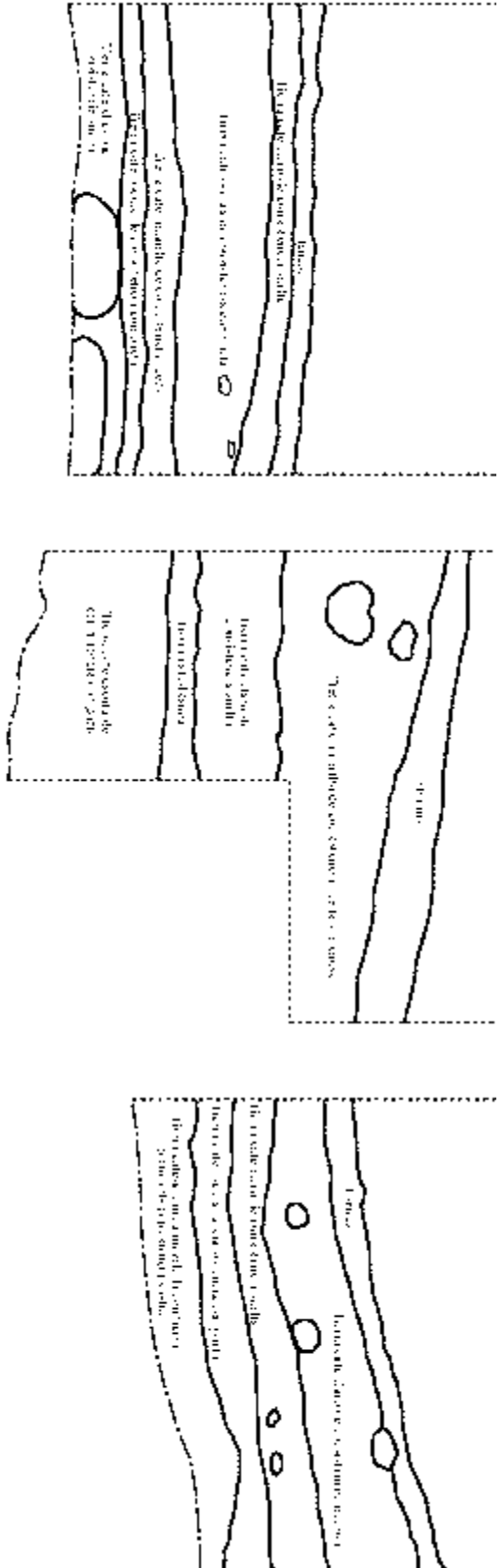


Figura 11.17 Perfil este de las operaciones CR 43-1, CR 43-2 y CR 43-9 (Dibujo y calco por Andrea Rojas)

Excavaciones en la Estructura 12Q-1

Unidad CR 43-2

Con el objetivo de localizar basureros e identificar rasgos arquitectónicos de la Estructura 12Q-1 se trazó la unidad de excavación CR 43-2 (Figura 11.18) orientada hacia el norte y con dimensión de 2 x 2 m. En general se presentaron cinco lotes, siendo el primero humus, el segundo tierra café claro de consistencia suelta y arenosa, seguido de tierra café-amarilla de consistencia suelta y arenosa. El cuarto lote fue de tierra café oscura de consistencia compacta, ubicado sobre tierra café-amarilla clara mezclado con tierra blanca.

Interpretación:

En el área expuesta por la excavación se identificaron dos diferentes ocupaciones diferentes. La primera ocupación consistió en un barro café oscuro (Lote 4), colocada sobre un relleno de tierra arenosa. Este primer relleno constructivo, fue utilizado para nivelar el terreno del área norte y poder ubicar sobre éste edificaciones. A diferencia de la unidad de excavación CR 43-1, en la primera ocupación de la terraza se encontró 222 tiestos, de los cuales la mayoría eran burdos y no poseían ningún tipo de motivo o alguna característica especial; seguido a esta cantidad se encontró 12 bordes. Lo que más llamó la atención fue el material lítico encontrado, ya que se halló un tipo de mortero de piedra trabajada.

El relleno que hace referencia a la segunda ocupación, consiste en tierra café con piedras (Lote 2) sobre un relleno café amarillento. Al igual que en la unidad CR 43-1 no se encontró ningún piso de estuco, por lo que esto está indicando que en esta área no se implementó ese patrón constructivo; y el tipo de piso utilizado consistió en ser piedras de tamaño mediano colocados una a la par de la otra. Dentro de este lote se encontró 362 tiestos, de los cuales la mayoría eran burdos y no poseían ningún tipo de diseño; seguido a esta cantidad se identificó 42 tiestos con diseños estriados y por último 38 bordes.

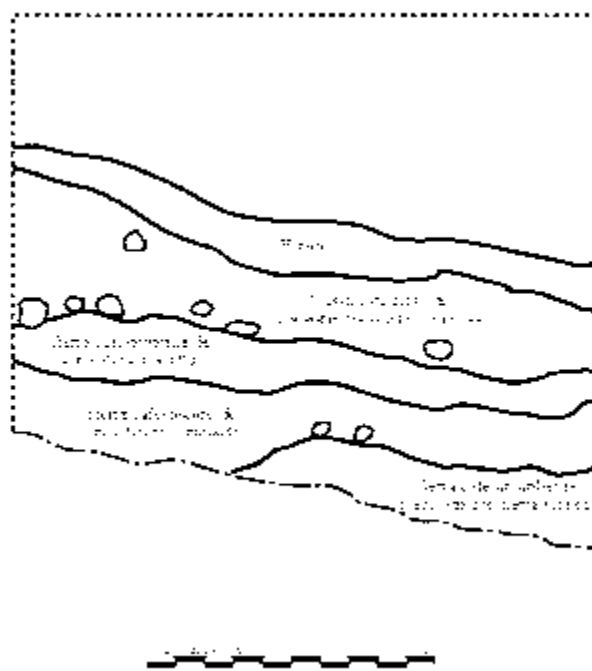


Figura 11.18 Perfil oeste de la operación CR 43-2 (Dibujo y calco por Andrea Rojas)

Unidades CR 43-6, CR 43-7 y CR-8

Con el objetivo de definir los rasgos arquitectónicos de la Estructura 12Q-1 se trazaron las unidades de excavación CR 43-6, CR 43-7 y CR-8 (Figura 11.21), cada una de ellas orientada hacia el norte; tuvieron una dimensión de 1.00 m x 2.00 m. En general se presentó sólo un lote porque sólo se excavó 0.20 m; siendo este el humus.

En la unidad CR 43-6 se localizó algunas piedras alineadas que pertenecían al muro de la sección trasera de la Estructura 12Q-1; había otras piedras que parecía que en un momento conformaron parte del muro, pero que con el tiempo se derrumbaron. En este pozo se pudo observar que para la edificación de la estructura se utilizó un muro exterior, la cual representó la base de ésta. Al sur de esta unidad se ubicó el pozo CR 43-7, en esta se volvió a encontrar un alineamiento de piedras, en la sección sur, que podría ser parte de un muro de la superestructura (Figura 11.19). Por último, en la unidad CR 43-8 se localizaron dos alineamientos de piedra; el que se ubica en la sección sur podría hacer referencia a un tipo de entrada (Figura 11.20) y el otro alineamiento podría estar haciendo referencia a un tipo de piso utilizado sobre la Estructura 12Q-1.



Figura 11.19 Parte de muro expuesto en la unidad CR 43-7 (Foto por Andrea Rojas)



Figura 11.20 Parte de muro expuesto en la unidad CR 43-8 (Foto por Andrea Rojas)

En todas las unidades se encontró material cerámico, teniendo un total de 208 tiestos, de los cuales la mayoría eran burdos y no poseían diseños; dentro de la muestra resaltó dos pequeños soportes y un fragmento de figurilla. En lo que respecta al material lítico resaltó un fragmento de pedernal con un trabajo de pulido magnífico y una mano de metate. El haber encontrado este tipo de cantidad, sobre la Estructura 12Q-1, comprueba que el Grupo 12Q-A, sí es un complejo residencial ya que todo este material hace referencia a las últimas actividades realizadas.

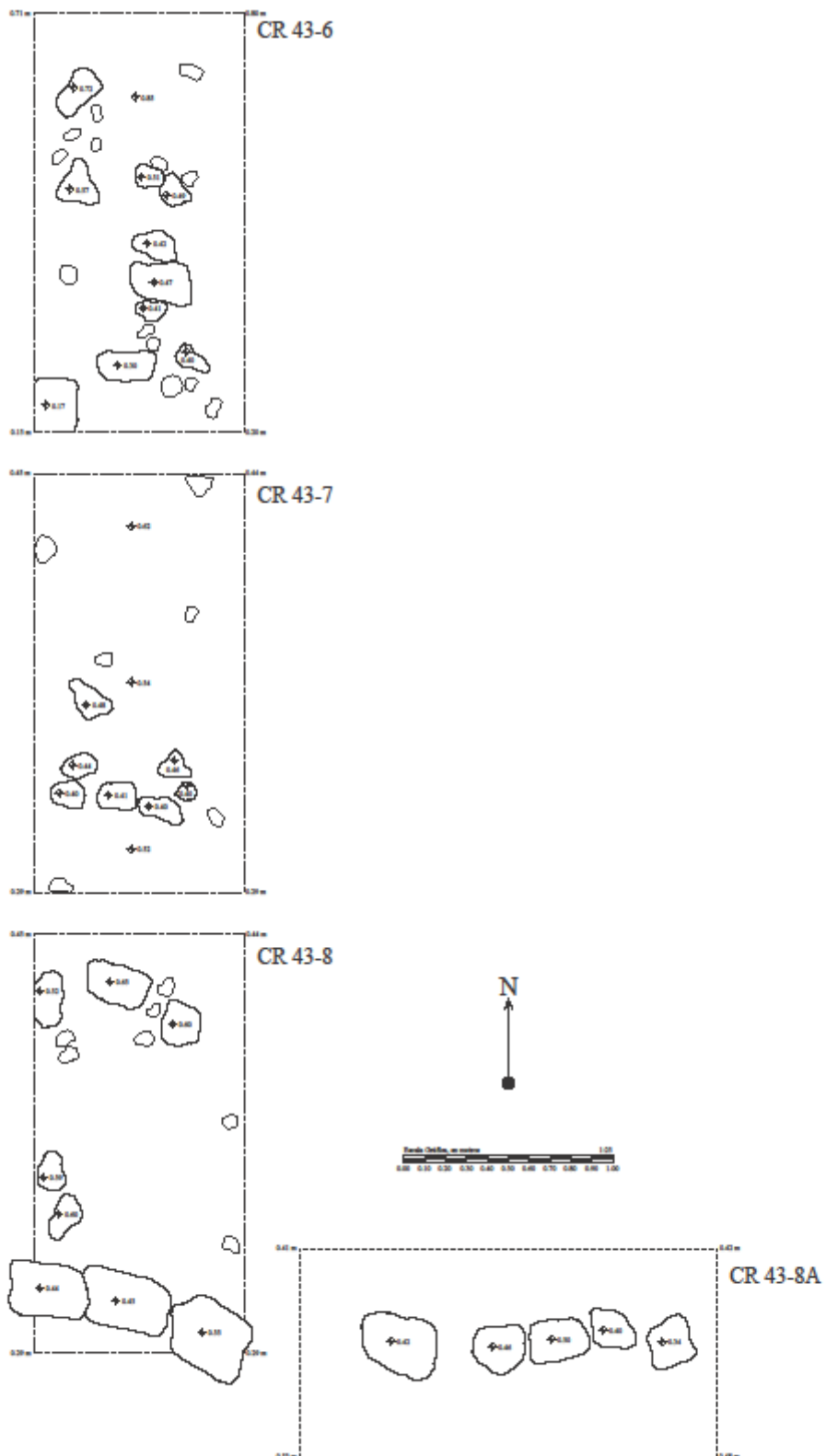


Figura 11.21 Planta de las unidades de excavación CR 43-6, CR 43-7 y CR 43-8 (Dibujo y calco por Andrea Rojas)

Unidad CR 43-9

Con el objetivo de definir rasgos arquitectónicos de la Estructura 12Q-1 se trazó la unidad de excavación CR 43-9 (Figura 11.22) orientada hacia el norte; tuvo una dimensión de 1 x 2 m. En general se presentaron cinco lotes, siendo el primero humus; el segundo tierra café-amarilla de consistencia suelta y arenosa; el tercero tierra café claro con una tonalidad muy clara y con presencia de rocas pequeñas; el cuarto tierra café y blanca de consistencia suelta y arenosa; y el quinto tierra café oscura de consistencia compacta.

Interpretación:

En el área expuesta por la excavación se identificó que para edificar la Estructura 12Q-1 los antiguos pobladores nivelaron por primera vez el terreno, implementando un barro de color café oscuro de consistencia compacta (Lote 5). Este tipo de relleno aparece en las unidades de excavación CR 43-1 y CR 43-2, por lo que se puede deducir que esta técnica constructiva fue aplicada de manera uniforme en la sección del centro y norte del Grupo Residencial 12Q-1. Después de esta nivelación, los antiguos pobladores edificaron la Estructura 12Q-1; para su realización utilizaron tres tipos de rellenos los cuales fueron: tierra café mezclada con tierra blanca, tierra café clara de consistencia suelta y tierra café amarillenta de consistencia suelta y arenosa. Lamentablemente del único relleno que se pudo extraer material cultural fue del relleno más superficial; dentro de este lote se obtuvo 35 tiestos, de los cuales la mayoría eran burdos y no poseían ningún tipo de decoración.

Por otra parte, en esta misma unidad en la sección sur se localizó un alineamiento de piedras (Figura 11.23) que hace referencia a ser las gradas de la Estructura 12Q-1. Las piedras que lo conforman son pequeñas y todas poseen forma circular, por lo que implica que a éstas no fueron trabajadas como otras piedras que se ubican en distintas unidades de excavación. Dentro de este nivel se encontró material cerámico, pero fue ya descrito previamente, porque estas gradas se ubican sobre el último relleno constructivo.

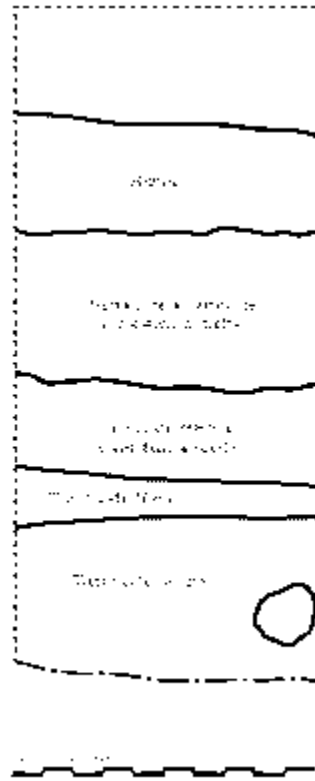


Figura 11.22 Perfil norte de la unidad de excavación CR 43-9 (Dibujo y calco por Andrea Rojas)

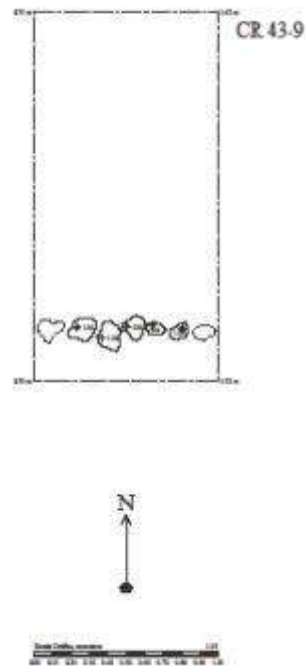


Figura 11.23 Alineamiento de piedras que pueden ser gradas de la Estructura 12Q-1 (Dibujo y calco por Andrea Rojas)

Excavaciones en la Estructura 12Q-3

Unidad CR 43-3

Con el objetivo de localizar basureros e identificar rasgos arquitectónicos de la Estructura 12Q-3, se trazó la unidad de excavación CR 43-3 (Figura 11.24) orientada hacia el norte y con una dimensión de 2 x 2 m. En general se presentaron tres lotes, siendo el primero el humus, el segundo tierra café amarilla de consistencia suelta y el tercero una tierra blanca de consistencia suelta con presencia de grandes piedras.

Interpretación:

En el área expuesta por la excavación se identificó un tipo de relleno constructivo utilizado en la Estructura 12Q-3, de color café amarillenta, que hace referencia a la última ocupación. Se logró determinar que esta tierra era un relleno constructivo porque se ubica debajo de uno de los muros (Figuras 11.25 y 11.26) de dicha estructura, el cual tiene una orientación norte-sur desviado 3° al noroeste. Las piedras que lo conforman poseen una forma rectangular y cuadrada y están talladas. Sobre este muro se identificaron 133 tiestos, de los cuales la mayoría eran burdos y no poseían ningún tipo de diseño decorativo; los pocos tiestos que tenían algún tipo de motivo consistían en ser estriado y también se encontraron bordes. Hacia el este se encontró otro lineamiento de piedra que podría estar haciendo referencia un muro, pero aún está en duda porque las piedras que lo forman no están trabajadas y parecieran que sólo fueron utilizadas para delimitar un área. En esta sección del pozo no se encontró material cerámico, esto podría deberse a que está próximo a un relleno constructivo que está cerca del suelo natural.

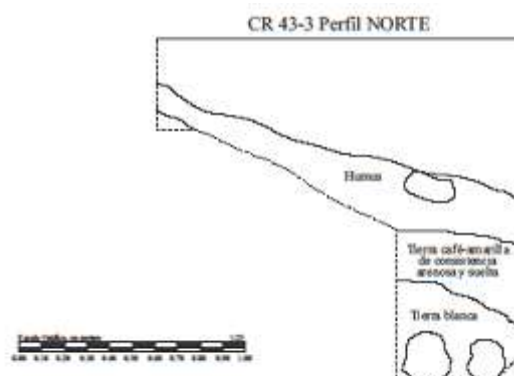


Figura 11.24 Perfil norte de la unidad de excavación CR 43-3
(Dibujo y calco por Andrea Rojas)



Figura 11.25 Muro expuesto en la unidad CR 43-3 (Fotografía por Andrea Rojas)

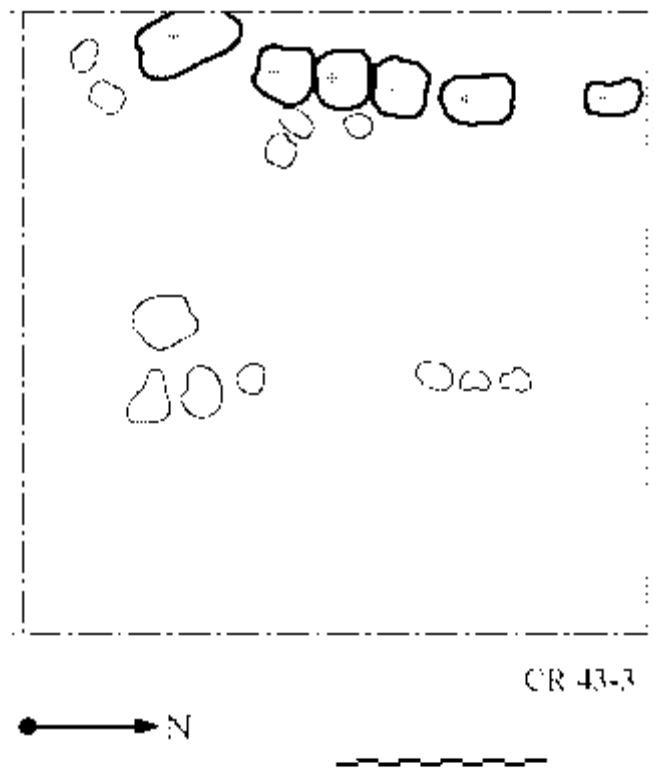


Figura 11.26 Planta del muro expuesto en las unidades CR 43-3 y CR 43-4 (Dibujo y calco por Andrea Rojas)

Unidad CR 43-4

Con el objetivo de definir algunos rasgos arquitectónicos de la Estructura 12Q-3 se trazó la unidad de excavación CR 43-4 directamente al oeste de CR 43-3 y con una dimensión de 1 x 2 m. En general se presentó sólo un lote porque sólo se excavó 0.20 m; siendo este el humus.

Interpretación:

Dentro de esta unidad se encontraron varias piedras (Figura 11.27) pero no poseían ningún tipo de alineación o forma, mayormente se encontraban agrupadas en la sección norte y oeste de la unidad. El no identificar algún alineamiento o forma de colocación de las piedras, dificultó establecer algún rasgo arquitectónico. Lo que sí se puede asegurar es que esas piedras representan la última ocupación sobre la Estructura 12Q-3. Sobre estas piedras se localizaron 130 tiestos, de los cuales la mayoría no poseían ningún tipo de diseño y la mayoría eran burdos. Al igual que en otras unidades de excavación se encontraron bordes y muy pocos tiestos con decoración estriada. En lo que respecta al material lítico se encontró un pedazo de navaja prismática. Toda esta evidencia cultural hace referencia a las últimas actividades realizadas sobre la Estructura 12Q-3.

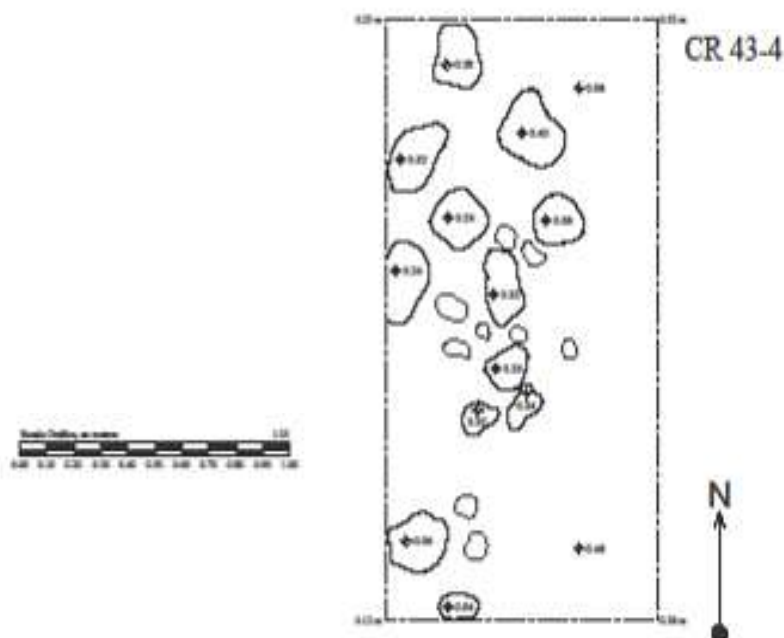


Figura 11.27 Planta de la unidad de excavación CR 43-4
(Dibujo y calco por Andrea Rojas)

Unidades CR 43-5 y CR 43-10

Se ubicaron al este de la unidad de excavación CR 43-3, detrás de la Estructura 12Q-3, con el objetivo de localizar basureros e identificar rellenos constructivos utilizados para la nivelación del terreno. Estas unidades estuvieron orientadas hacia el norte y tuvieron una dimensión de 1 x 2 m. En general se presentaron tres lotes, siendo el primero el humus, el segundo tierra café amarilla de consistencia suelta y el tercero una tierra blanca de consistencia suelta con presencia de grandes piedras.

Interpretación:

En el área expuesta por estas unidades se pudo observar que la nivelación del terreno se realizó con un tipo de relleno constructivo compuesto por tierra café-amarilla de consistencia suelta y arenosa (Lote 2) (Figuras 11.28 y 11.29). En ambas unidades se pudo percibir que el terreno natural poseía un desnivel considerable, por lo que los antiguos pobladores tuvieron que implementar una técnica de nivelación fácil para poder habitar esta terraza natural. Lo que llama la atención en estos pozos es que no utilizaron el barro café oscuro de consistencia compacta para la nivelación. Esto hace suponer que esa técnica constructiva únicamente fue utilizada en la sección centro y norte del Grupo Residencial 12Q-1.

En lo que respecta al material cultural encontrado en la unidad CR 43-5 únicamente se hallaron 23 tiestos de los cuales la mayoría eran burdos y no poseían ningún tipo de decoración. Por el contrario, en la unidad CR 43-10 se localizaron 170 tiestos, de los cuales conforme iba excavando la cantidad iba aumentando. La mayoría de ellos resultaron ser burdos y no poseer ningún tipo de diseño. Al igual que en otras unidades de excavación se encontraron algunos tiestos con diseños estriados y bordes. Al observar que la cantidad iba en aumento en la sección este del pozo, se consideró que se había encontrado el basurero que se estaba buscando en la parte inferior de la terraza, pero por cuestión de tiempo, no se llegó a finalizar la excavación, por lo que esto no se pudo comprobar.

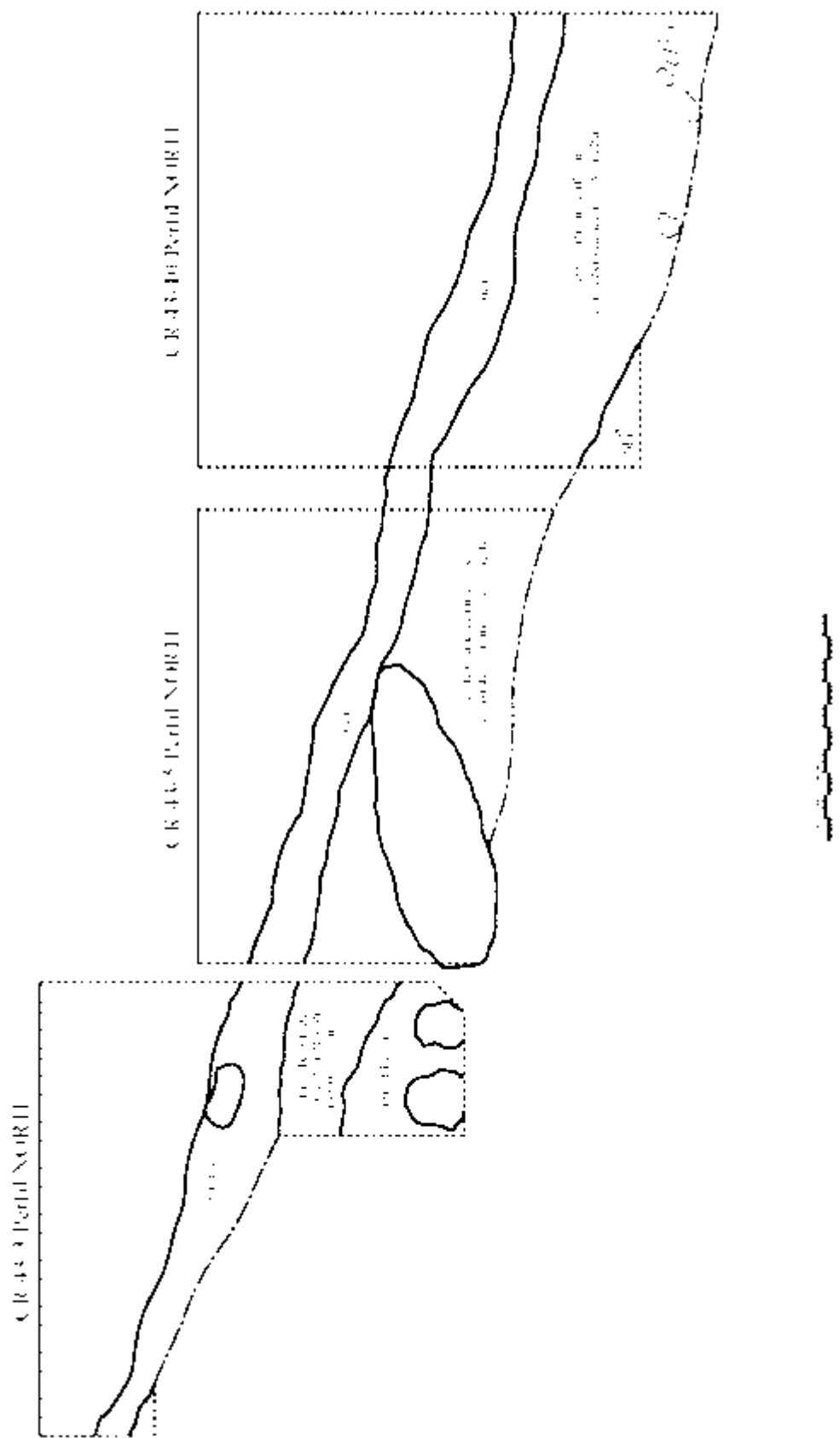


Figura 11.28 Perfil norte de las unidades de excavación en la Estructura 12Q-3 (Dibujo y calco por Andrea Rojas)



Figura 11.29 Perfil norte de las unidades CR 43-3 y CR43-5 (Foto por Andrea Rojas)

Consideraciones Finales

Algunas consideraciones finales sobre las excavaciones realizadas en el Grupo Residencial 12Q-1, en especial sobre las unidades CR 43-1, CR 43-2, CR 43-3, CR 43-5, CR 43-9 y CR 43-10, se detallan a continuación. En base a los resultados obtenidos se pudo conocer algunos de los rasgos de construcción utilizados para la nivelación de la terraza natural. También se pudo explorar sobre el patrón constructivo implementado en la Estructura 12Q-1.

En general se puede observar que los antiguos pobladores nivelaron el terreno para la edificación de tres estructuras. En lo que respecta a la sección centro y norte del Grupo 12Q-1, se pudo observar que el terreno se niveló con un barro café oscuro de consistencia compacta. Sobre este tipo de relleno se colocó un piso de piedras, que se conformaba de rocas pequeñas y circulares. En las unidades CR 43-1 y CR 43-2 no se encontró alguna evidencia sobre algún tipo de piso de estuco. Esto llamó la atención porque en los grupos residenciales 13S-2 y 13P-1, si existe evidencia de pisos de estuco. Entonces ¿Por qué en el Grupo 12Q-A no hay presencia de piso de estuco? Esto podría deberse a efectos de erosión, por lo que no se puede descartar la presencia de un piso original, el cual no se evidenció en estas excavaciones.

La cantidad de material recolectada en las unidades CR 43-1 y CR 43-2 asciende a 1,374 tiestos. La mayoría de la muestra era una cerámica burda y no poseía ningún tipo de diseño; lo que llamó mucho la atención fue que dentro de la muestra se identificaron varios bordes. Desde un análisis preliminar, se puede decir que la mayoría de la cerámica, resulta ser utilitaria y esto respalda la hipótesis sobre que el Grupo 12Q-1 posee una función residencial. Es importante mencionar que en ambas estructuras se identificaron pequeños basureros; con esto se logró cumplir con uno de los objetivos planteados en un inicio.

Aunque pareciera que el primer relleno constructivo –barro café oscuro de consistencia compacta- fue aplicado de una manera uniforme en toda el área que abarca el Grupo Residencial 12Q-1, esto no se corroboró por los hallazgos encontrados en la sección este (Estructura 12Q-3). Pareciera que en este espacio implementaron una nivelación diferente, ya que el tipo de relleno encontrado no corresponde al del centro de la plaza y detrás de la Estructura 12Q-1; y al contrario resulta ser una tierra café claro de consistencia arenosa y suelta colocada en forma de terrazas.

A diferencia de los pozos de sondeo realizados en el centro de la plaza y detrás de la Estructura 12Q-1, los de la sección este (CR 43-3, CR 43-5 y CR 43-10) no tuvieron una muestra grande de material cultural. Entre los tres pozos se recolectó 326 tiestos ubicados en el relleno implementado para la nivelación de la terraza natural¹. Esto está indicando que en el este del Grupo Residencial 12Q-A existió menos actividad que en el del centro de la plaza y detrás de la Estructura 12Q-1. En lo que sí coincidieron fue que la mayoría de la muestra era burda.

Es notorio que el relleno café claro de consistencia suelta y arenosa fue utilizado en el Grupo Residencial 13S-2. Esto está indicando que en ambos grupos se implementó este relleno como una forma de nivelar el terreno. También es interesante que este tipo de suelo únicamente aparece en estos dos grupos y en el resto de los grupos excavados no aparece. Esto podría estar haciendo referencia que en cada área se aplicó un patrón constructivo diferente definido por la función y forma del terreno.

¹ Se debe tomar en cuenta que la unidad CR 43-10 no se terminó de excavar, por lo que en este pozo podría haberse encontrado un basurero.

Por último, en lo que respecta a la Estructura 12Q-1 se conoce que la primera ocupación que experimentó fue cuando se niveló la sección norte del grupo, con un relleno que resulta ser barro café oscuro de consistencia compacta. Después de éste, se utilizaron tres rellenos diferentes hasta llegar al último que representa la última ocupación. Únicamente se recolectó material cultural del primer y último relleno constructivo.

Con observaciones preliminares del material se puede deducir que el Grupo 12Q-1 tuvo una función residencial, pero, desde mi perspectiva, tal vez su ubicación fue importante por haberse ubicado entre dos civales. Asimismo, por la calidad de la cerámica se puede inducir que las personas que habitaron en este grupo no eran de un estatus muy alto, sino que eran de un nivel normal. Esto se podrá respaldar con un análisis de cerámica más detallado.

CAPÍTULO XI-III

OPERACIÓN CR44: EXCAVACIONES EN EL GRUPO HABITACIONAL 13P-1

Jorge Pontaza

Los objetivos generales de esta investigación eran descubrir el uso de este complejo habitacional que se encuentra en el extremo oeste del sitio La Corona y que está conformado por tres estructuras en un arreglo en forma de U (Figura 11.30). Se pretendía compararlo con los otros grupos excavados en esta temporada e interpretar el nivel socio económico de las personas que habitaron y utilizaron el complejo. Los objetivos específicos eran hacer pozos de sondeo en el centro de la plaza para conocer la estratigrafía, el tipo de materiales y la profundidad de la roca madre. Las unidades colocadas detrás de cada estructura estaban destinadas a la búsqueda de basureros y a la exposición de rasgos arquitectónicos. Para realizar las excavaciones se trabajó con unidades de 2 x 2 m y extensiones de 2 x 1 m, así como una unidad de 3 x 2 m, todas orientadas al norte magnético. Se excavó por medio de lotes arbitrarios de 20 centímetros. Se realizaron pozos detrás del centro de cada uno de los cuatro montículos del Grupo 13P-1, o sea las Estructuras: 13P-1, 13P-2, 13P-3 y 13P-4. Además, se realizó de un pozo al centro del grupo, en el área de la plaza, y uno más (el de 3 x 2 m) en la parte alta de la Estructura 13P-2 para limpiar un alineamiento de piedras (Figura 11.31)

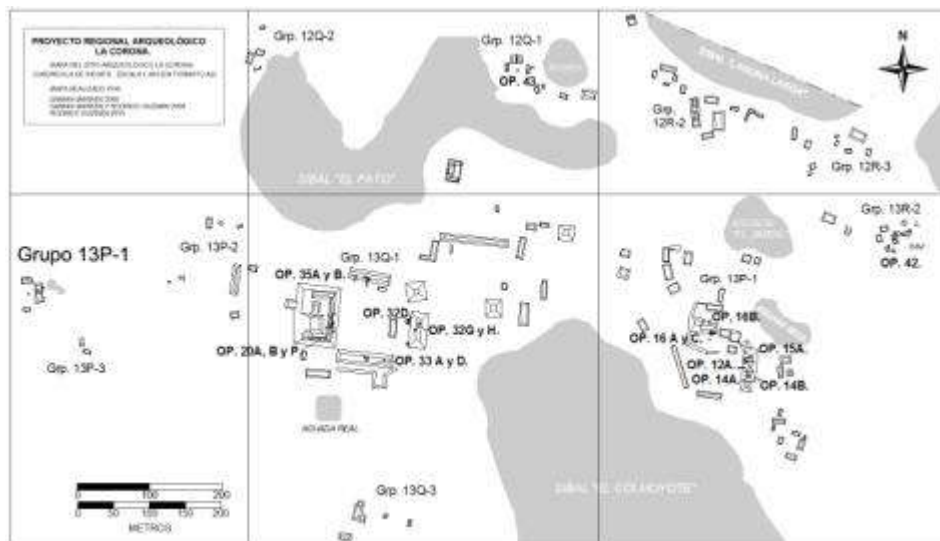


Figura 11.30 Ubicación del Grupo Residencial 13P-1

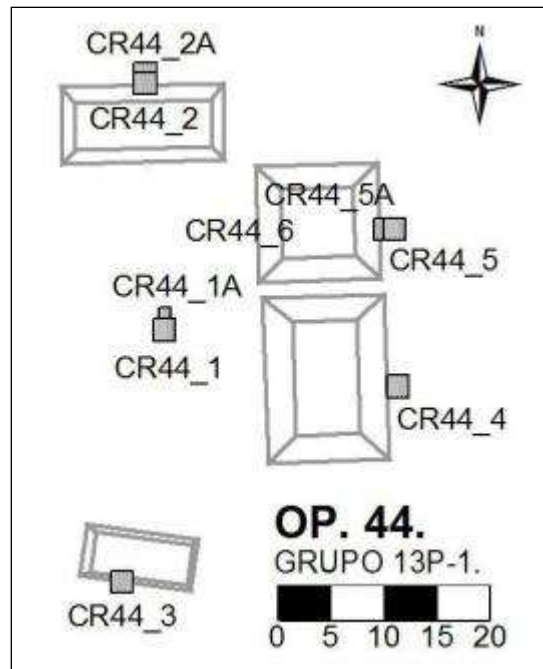


Figura 11.31 Excavaciones en el Grupo Residencial 13P-1 (Mapa por Rodrigo Guzmán)

Descripción de excavaciones

Unidad CR 44-1

Este fue el pozo realizado en el centro de la plaza, con el objetivo de conocer la estratigrafía del complejo y encontrar materiales culturales. Esta unidad de excavación estuvo formada por 4 niveles de 20 centímetros, el primero de humus café, compuesto de tierra fértil con muchas raíces delgadas. En los primeros 10 centímetros se expuso gran cantidad de carbón, puesto que según la comunicación de varias personas, hacía unos años se había quemado el terreno en un incendio. Más profundo la tierra cambió de color, siendo de color café más claro y combinado con piedras grandes como previas al nivel de plaza. Se hallaron 130 tiestos en este nivel. En el segundo nivel de 20 cm se encontraron tiestos de tamaño pequeño, todos utilitarios aunque algunos poseen acanaladuras. También a los 40 cm se encontró un empedrado, indicando la posibilidad de encontrar pisos debajo de éste. Se encontraron piedras grandes adheridas al perfil en el lado norte y más abajo, la tierra cambió a color café-rojizo, sin piedras y de consistencia arcillosa y dura. En este estrato se

encontró muy poco material y restos culturales, y nada entre 50 y 60cm. Para el cuarto y último nivel, la tierra cambió de color nuevamente a un tono amarillento. En otros contextos este tipo de tierra se ha definido como estéril, y no se encontró ningún material cultural, excavándose hasta 80 cm solo la mitad de pozo, donde continuaba la tierra dura amarilla con piedrín.



Figura 11.32 Unidad CR 44-1 (Fotografía por Jorge Pontaza)

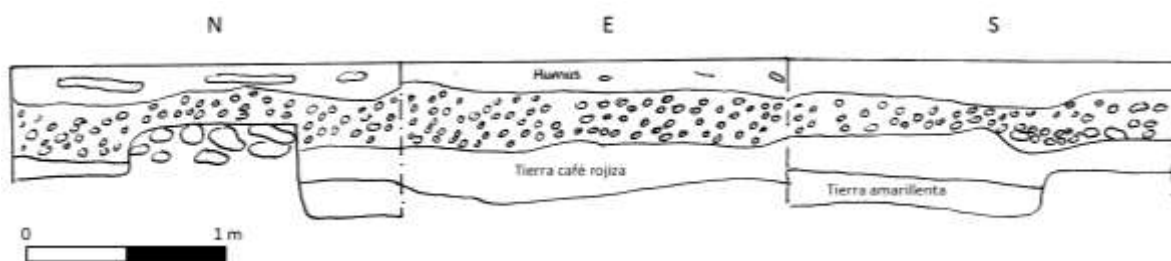


Figura 11.33 Perfiles norte, este y sur de la unidad CR 44-1
(Dibujo y calco por Jorge Pontaza)

Unidad CR 44-1A

Se creó esta unidad como extensión de 1 x 1 m al este de la unidad CR44-1, con el objeto de desenterrar las piedras encontradas en el lado norte del pozo, a aproximadamente 40 cm de profundidad. Estas piedras, por ser de gran tamaño y encontrarse casi al centro de la plaza, podrían constituir una ofrenda.

En el primer nivel apareció humus suelto con bastantes raíces donde se hallaron 21 tiestos. A los 30cms del lado este se llegó a las piedras, denotando una alineación bastante interesante, en forma diagonal de NE a SO. En el segundo nivel se llegó hasta desenterrar todas las piedras, las cuales se limpiaron hasta emparejar todo el nivel a 40 cm. Luego se levantaron las piedras y no se encontró nada, en este nivel se encontraron 44 tiestos.

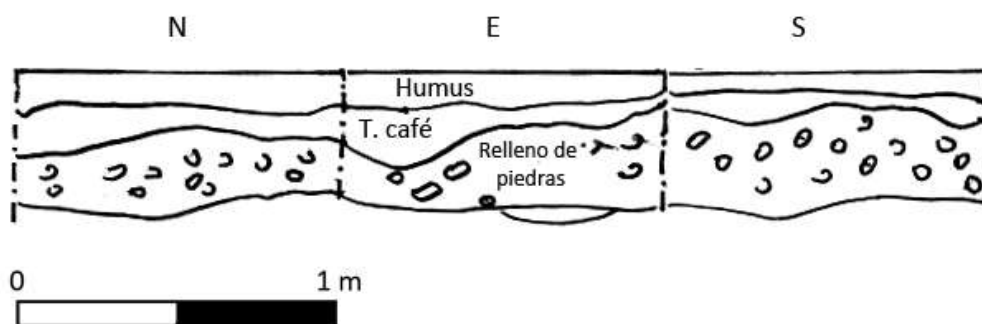


Figura 11.34 Perfiles norte y este de la unidad CR 44-1A
(Dibujo y calco por Jorge Pontaza)

Unidad CR 44-2

Ubicado en la parte trasera del montículo 13P-3, al noroeste de la plaza. Se realizó este pozo de 2 x 2 m teniendo como objetivo encontrar material cultural. En el primer nivel a aproximadamente 5 cm de profundidad se encontró el rostro de una figurilla posiblemente femenina de 5 x 2.5 c, con un tocado alto finalizando en rollo; así como un tiesto trabajado con canales y 88 tiestos que incluyeron decoración con acanaladuras, bordes de cuencos y vasos. También se recuperó una navaja prismática de obsidiana del Chayal seguramente, de 4 cm de largo y 1.5 cm de ancho. El terreno constaba inicialmente de humus suelto y tierra café oscura, bastante suave. Un poco más de la mitad del pozo (1.10 cm) tuvo piedras de la estructura (Figura 11.35). Luego a aproximadamente a los 25 cm se encontró un artefacto de concha beige y naranja, con 2 agujeros, de 6 x 4 cm.



Figura 11.35 Derrumbe de muro en la parte posterior de la Estructura 13P-3
(Fotografía por Jorge Pontaza)

Se encontraron 177 tiestos en el segundo nivel, varios estriados y unos con pintura policroma naranja y rojo. Al no retirarse las piedras que comprenden 1.30 m del pozo, se continuó la excavación en un área de 2 x 0.90 m, en un estrato de tierra café más dura con piedras, donde el material cultural disminuyó. El siguiente nivel (CR44-1-4) se dividió en dos partes, solo para corroborar que el nivel 3 era la última etapa cultural. Fue de tierra dura amarillenta con piedras y se definió como estéril, sin encontrarse ningún tiesto (Figura 11.36).

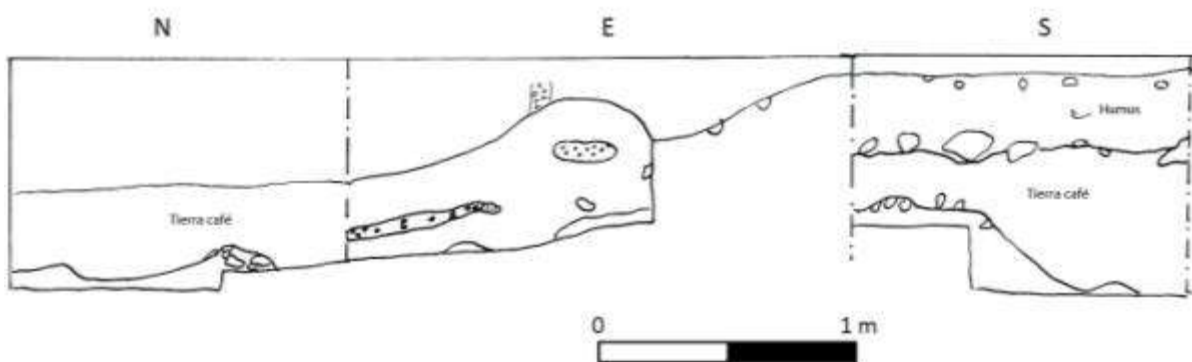


Figura 11.36 Perfiles norte, este y sur de la unidad CR 44-2
(Dibujo y calco por Jorge Pontaza)

Unidad CR 44-2A

La unidad de excavación CR44-2, se extendió 1 m al norte, fuera de la estructura. Esto se hizo ya que se encontraron artefactos interesantes. El primer nivel, como en los otros pozos, inició con humus suelto y pequeñas raíces, con 48 tiestos. Luego la tierra fue café más claro, un poco más suave y la cantidad de tiestos aumentó a 236. Se encontró una punta de proyectil de pedernal, de 5.5 cm de largo y 2 cm de ancho.

Unidad CR 44-3

Pozo de 2 x 2 m ubicado al lado posterior de la parte central de la estructura sur, la más pequeña del complejo. Al inicio se halló un borde de tiesto negro y naranja, y otros tiestos utilitarios así como caracoles en los primeros 20 cm. A 1.30 m al norte se encontraron piedras de la estructura. Al iniciar el descenso de 20 a 40 cm se encontraron 70 tiestos, algunos de 10cm pero todos burdos, así como dos conchas. Luego a los 40 cm apareció tierra dura, tipo barro café rojizo con terrones y se hallaron 75 tiestos. A los 60cm se siguió excavando en una tierra de color café con piedras y luego cambió a tierra amarillenta, dura y con piedras. Se encontró bastante cerámica elaborada, tiestos tanto utilitarios como finos, policromos y con decoraciones. También se encontró una pequeña navaja prismática de unos 2 cm de largo. El nivel final estuvo a 80 cm de profundidad (CR44-1-4) y fue denominado estéril. En los centímetros superiores se hallaron 2 tiestos dentro de una matriz de tierra amarillenta dura con piedras.



Figura 11.37 Unidad CR 44-3 (Fotografía por Jorge Pontaza)

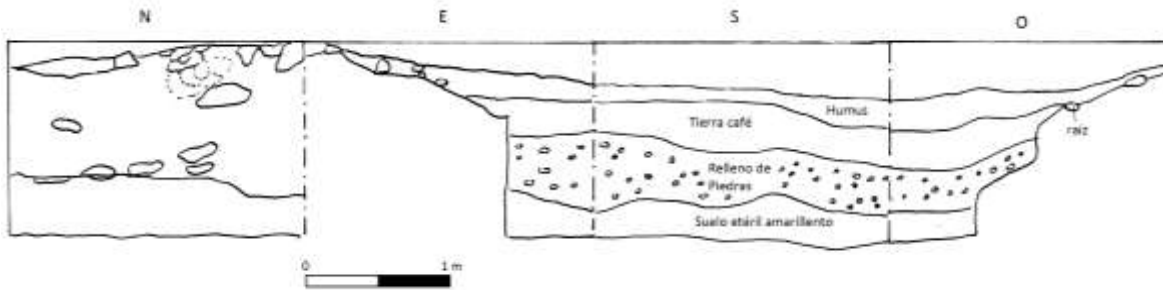


Figura 11.38 Perfiles norte, este, sur y oeste unidad CR 44-3
(Dibujo y calco por Jorge Pontaza)

Unidad CR 44-4

Se colocó este pozo de 2 x 2 m detrás de la estructura más grande 13P-1, ubicada al sureste del Grupo 13P-1. Su objetivo fue encontrar más material cultural para poder identificar quienes habitaron este complejo, por lo que se buscaron basureros y rasgos arquitectónicos. Se excavó humus suelto con bastantes raíces al inicio, y en los primeros centímetros no se encontró ningún material cultural. Luego la tierra cambió a café y aparecieron un total de 70 tiestos, dentro de un relleno de tierra café. A los 40 cm la tierra fue más dura y con piedras, iniciando lo que se llamaría el área de nivelación, donde aparecieron 286 tiestos utilitarios. Entre 40 y 50 cm se recuperó un total de 212 tiestos, una navaja de obsidiana y una concha. A los 60 cm el terreno cambió a tierra café rojiza, arcillosa y con terrones muy duros, donde se hallaron 11 tiestos. El siguiente nivel se dividió en dos, y se descendió hasta 1 m de profundidad en el lado este del pozo, donde apareció la tierra amarillenta dura y no se encontró material cultural (Figura 11.39).

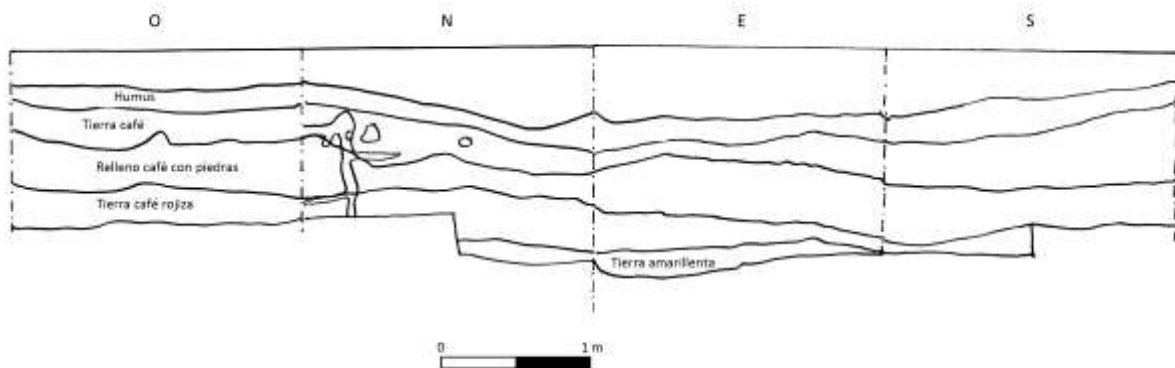


Figura 11.39 Perfiles norte, este, sur y oeste de la unidad CR 44-4
(Dibujo y calco por Jorge Pontaza)

Unidad CR 44-5

Pozo de 2 x 2 m ubicado al centro de la parte trasera de la Estructura 13P-2, la segunda más grande del Grupo 13P-1. Se inició con el humus suelto, con 105 tiestos y antes de llegar a los 20 cm apareció en el lado NO una cabeza de figurilla de 5 cm de largo por 3.5 de ancho. Posiblemente es masculina y lleva pectoral, orejeras y posiblemente un tocado de Tlaloc. Luego siguió tierra café de relleno con bastante material cerámico, incluyendo una cabeza de una posible figurilla animal y un soporte con sonajera, sin la sonaja. En el siguiente nivel a 40 cm de profundidad apareció tierra café arcillosa más dura, lo que se podría identificar como el relleno de nivelación. Se encontró material cerámico y fragmentos de concha, así como una pequeña navaja de obsidiana. A 60 cm aparecieron piedras grandes en la planta, que podrían ser parte del piso, y todas no tienen más de 20 cm. Debajo de ellas apareció la tierra amarillenta que se ha denominado estéril para otras unidades de excavación, con un poco de cerámica utilitaria. Finalmente en el área en la que fue posible se descendió hasta 1 m, pues se hallaba la roca madre, sin material cultural.

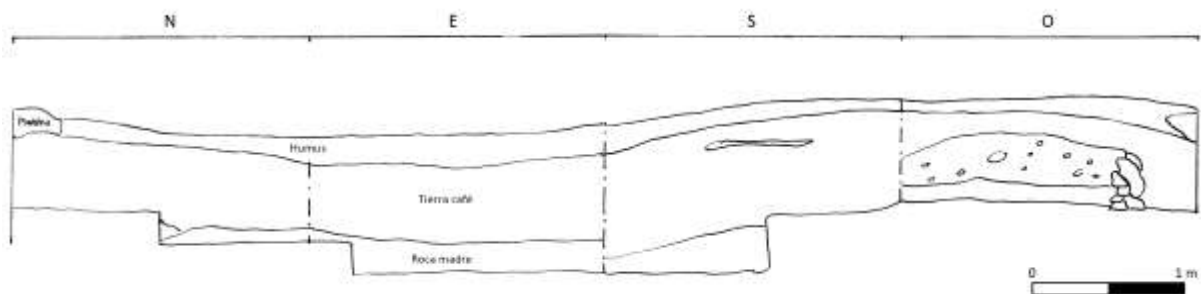


Figura 11.40 Perfiles norte, este, sur y oeste unidad 44-5
(Dibujo y calco por Jorge Pontaza)

Unidad CR 44-5A

Se hizo esta extensión de 2 x1 m al oeste del pozo CR44-5, con el objetivo de descubrir un poco de la arquitectura del montículo. Se descendió entre 10 y 15 cm, desenterrando piedras del montículo y retirando las más pequeñas. Se encontraron 13 tiestos grandes.

Unidad CR 44-6

Se abrió un nuevo pozo en la parte superior del edificio 13P-2, el ubicado en el área noreste de la estructura. Esta unidad está alineada con CR44-5, cubriendo 3 x 2 m con orientación al norte. Por estar exactamente sobre la estructura se excavo con el objetivo de exponer la arquitectura y observar la alineación de piedras, por lo que se descendió solamente 1 nivel. A los pocos centímetros se comenzaron a ver piedras como de una nivelación tipo empedrado, todas entre 5 y 10 cm de tamaño (Figura 11.41). A los 10 cm de excavar se detuvo el descenso pues las piedras se ubicaron sobre toda la estructura. La alineación de la superficie continuó pero mucho menos marcada; se hallaron 33 tiestos.



Figura 11.41 Empedrado en la superficie de la Estructura 13P-2
(Fotografía por Jorge Pontaza)

Interpretación

Tomando en cuenta las excavaciones de los pozos de sondeo y el poco material extraído se pueden hacer distintas interpretaciones del Grupo 13P-1, en cuanto al tipo de personas que habitaban el complejo, y el uso que tuvo este tipo de distribución de edificios en forma de U. En primer lugar, hay que destacar que el grupo se encuentra ubicado a pocos metros de un reservorio de agua, hoy en día seco. Posee 4 estructuras, y las dos más grandes están orientadas al este, en dirección a la parte central del sitio.

A una profundidad de 20-25 cm se halló un empedrado, que pudo cubrir toda la plaza, dado que no se encontró ningún piso formal. Además, el área de todo el grupo posee un relleno de nivelación a aproximadamente 40 y 60 cm de profundidad, puesto que en el 2do y 3er nivel de la excavación fue donde se hallaba más material cultural, y luego en el 4to nivel (entre 60-80 cm) se encontraba el estrato definido como estéril. Este último se encontraba a los 0.70 m de profundidad y constaba de tierra amarillenta dura con piedras, sin ningún resto cultural. Esta nivelación se apoya con el descubrimiento del grupo de piedras en el centro de la plaza, entre los 40 y 50 cm de profundidad, lo cual pudo haber sido un área para marcar la fundación de la plaza, sin embargo no contenía ningún resto, por lo que es puramente especulativo.

En cuanto a los materiales encontrados, se halló bastante cerámica, con lotes de hasta más de 200 tiestos, sin embargo ningún basurero como tal. El material principalmente consta de tiestos utilitarios, varios estriados, con bordes de vasos, cuencos y platos. Se hallaron algunos policromos y con decoraciones, aunque fueron la minoría. Sin embargo por la ubicación próxima al reservorio de agua, y la cercanía de la plaza central (a solo 375 metros oeste del palacio) se puede deducir era un complejo de élite. Ciertos materiales, como los policromos, las figurillas y las conchas podrían respaldar la afirmación, aunque nuevamente el material es muy poco para darse tal aseveración.

De las estructuras ubicadas en 13P-1, puede decirse que aunque los tamaños fueran diversos, poseían una construcción muy similar entre sí. Las piedras utilizadas en la construcción, que fueron descubiertas en los niveles más superficiales, tenían tamaños similares de entre 5 a 10 cm, siendo material de relleno para dar altura a cada montículo. La alineación de piedras en la Estructura 13P-2 puede denotar muros colapsados, siendo estructuras bien configuradas, sin embargo se requeriría excavación más profunda para analizar esta especulación

Por último, se puede hacer una comparación con todos los demás complejos habitacionales excavados en 2010, en los cuales se han denotado materiales, estructuras y profundidades similares.

Según las pocas excavaciones se puede deducir que estos complejos ubicados alrededor de plazas fueron habitacionales. Los materiales cerámicos principalmente utilitarios podrían mostrar que eran áreas de población, sin embargo encontrándose a solo metros del área central debieron ser propiedad de la élite además que todos estaban asociados a alguna reserva de agua cercana. De igual manera, todos tenían el mismo ordenamiento de 3 o 4 estructuras alrededor de un patio central y una de las estructuras poseía mayor tamaño que las demás del grupo. Los rellenos observados variaron en todos los casos, por lo que es posible que rellenaran con el material más cercano que estuviera disponible. Sin embargo, en todos los complejos utilizaron el relleno de tierra café mezclado con piedras en la última ocupación y es posible que hayan utilizado el relleno de barro café oscuro para nivelar.

OPERACIÓN CR41: EXCAVACIONES EN EL GRUPO HABITACIONAL 13S-2

Eduardo Bustamante

Introducción

El grupo residencial 13S-2 se encuentra al suroeste del sibal Jabirú. Durante La temporada 2009 las arqueólogas Erika Gómez y Liliana Padilla dirigieron las excavaciones realizadas en el Grupo 13S-1, unos 150 m al noreste del Grupo 13S-2 (Canuto, 2009). Más específicamente, el Grupo 13S-2 se encuentra en la esquina sureste del campamento permanente para arqueólogos.

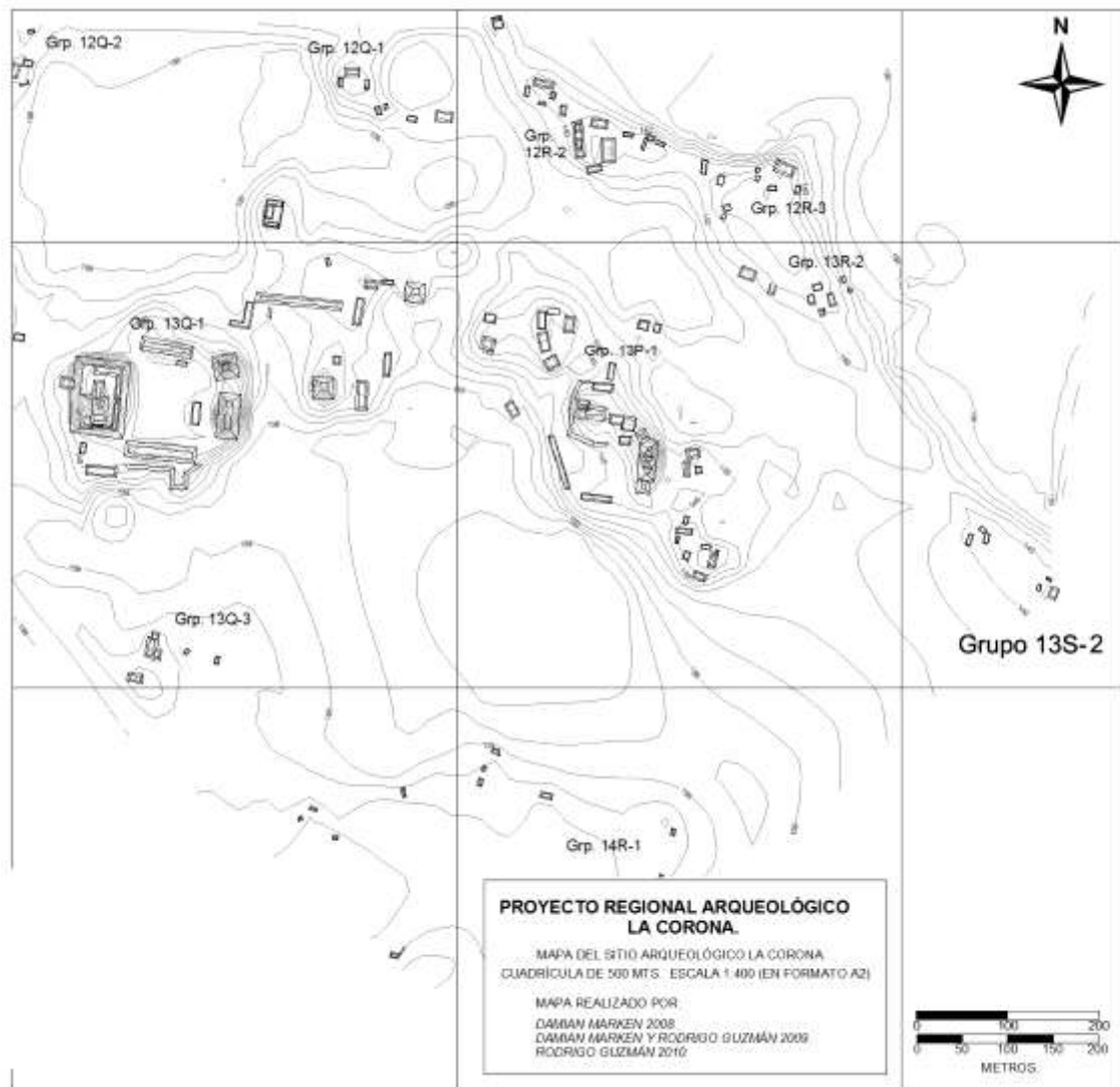


Figura 11.42 Ubicación del Grupo Residencial 13S-2

Ambos grupos se caracterizan por tratarse de patios cuadrangulares cerrados en tres de sus lados; formando de esta manera una plaza semiabierta. El Grupo 13S-2 posee tres estructuras definidas y posiblemente una cuarta estructura no definida. Las estructuras fueron nombradas empezando por la estructura norte y siguiendo el sentido de las agujas del reloj. De esta manera tenemos las Estructuras 13S-1, 13S-2 y 13S-3. Las Estructuras 13S-1 y 13S-3 son estructuras rectangulares alargadas y de muy baja estatura –entre 0.50 y 0.75 m. Ambas poseen una longitud de 6.8 m. Por el contrario, la Estructura 13S-2 –localizada al este- se trata de una estructura rectangular, casi cuadrada, de 15 m de largo y 1.80 m –aprox.- de altura. Tanto la Estructura 13S-2 como la 13S-3 poseen una orientación de 10° noreste. Mientras que la Estructura 13S-1 posee una orientación de 290° noroeste.

El Grupo 13S-1 no presentó una gran actividad de saqueo. Solamente se ha identificado un posible saqueo en la Estructura 13S-2. Éste se encuentra en la esquina noreste de dicha estructura. Se habla de un posible saqueo ya que se trata de un agujero de 75 cm de diámetro y 50 cm de profundidad. Sin embargo éste llega a tocar el muro de la estructura, el cual se encuentra en muy malas condiciones. Además, a 1 m arriba del agujero y sobre la estructura se encuentra un pequeño hundimiento. Ante esta situación los excavadores indicaron que posiblemente se trate de un túnel de saqueo que posteriormente fue sellado. De ser cierto el pequeño hundimiento tal vez se trate de un colapso en el túnel

Por su parte, la posible cuarta estructura se encuentra pegada al norte de la estructura oeste. Las excavaciones, como se verá más adelante, sugirieron la existencia de ésta. De existir esta estructura, se trata de una plataforma muy baja, de entre 20 y 30 cm de altura. Sin embargo se carece de un mapa que incluya la sección oeste del grupo.

Las excavaciones de este grupo solamente incluyeron una operación –CR41- sin sub-operaciones. En total se realizaron 6 pozos de 2 x 2 m, un pozo de 2 x 1 m y tres ampliaciones de 1 x 1 m. Todos los pozos siguieron una alineación norte-sur. El objetivo de las excavaciones fue identificar algunos rasgos arquitectónicos de la construcción residencial, así como hallar la mayor cantidad de cerámica posible y definir rasgos generales de la plaza interna del grupo.

De esta manera se realizó un pozo en el centro de la plaza, un pozo buscando un basurero al pie del muro norte de la Estructura 1; 2 pozos y una ampliación buscando basureros en el muro oeste de la Estructura 3; un pozo buscando basureros en el muro este de la Estructura 2 y 2 pozos y una ampliación sobre la Estructura 3 en búsqueda de definir rasgos arquitectónicos. Se trató que todos los pozos que tenían por objetivo la búsqueda de basureros, quedaran por lo menos medio metro sobre la estructura, esto con el objetivo de definir rasgos arquitectónicos al mismo tiempo.

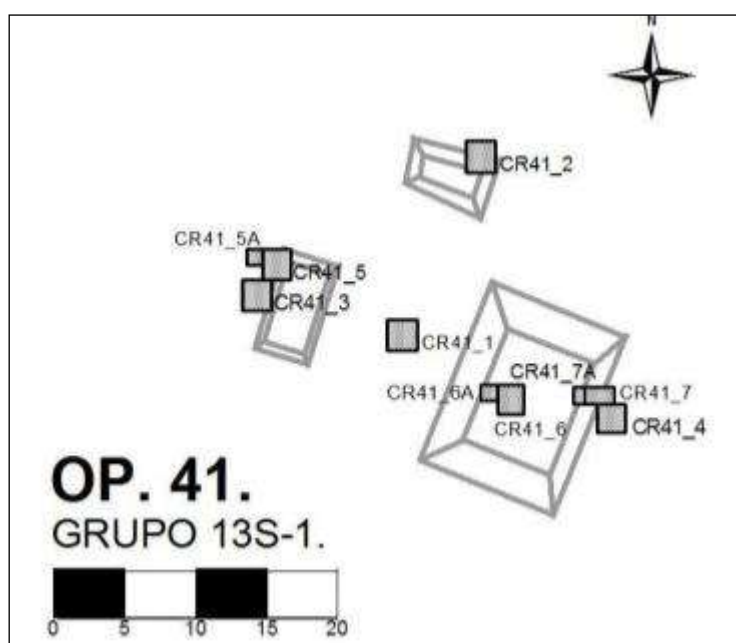


Figura 11.43 Ubicación de las excavaciones en el Grupo Residencial 13S-2 (Mapa por Rodrigo Guzmán)

Excavaciones en la Plaza

Unidad CR41-1

Se realizó un pozo en el centro de la plaza y al igual que en el Grupo 13S-1, se pudieron definir 3 diferentes estratos. El primero correspondió a una delgada capa de humus y el segundo a tierra café negra, con gran cantidad de piedras pequeñas llamadas por los trabajadores como “piedra de fuego”. A pesar de la gran cantidad de piedras, estas no se observaron en los perfiles. El tercer estrato fue una nivelación de piedras, de similar tamaño a las del estrato anterior, aunque se encontraban más apelmazadas unas con otras. Sobre esta nivelación se pudo encontrar un pequeño trozo de estuco *in situ* de 10 cm. de diámetro. Esta nivelación posee una altura de 40 cm y se encuentra situada directamente sobre la roca madre.

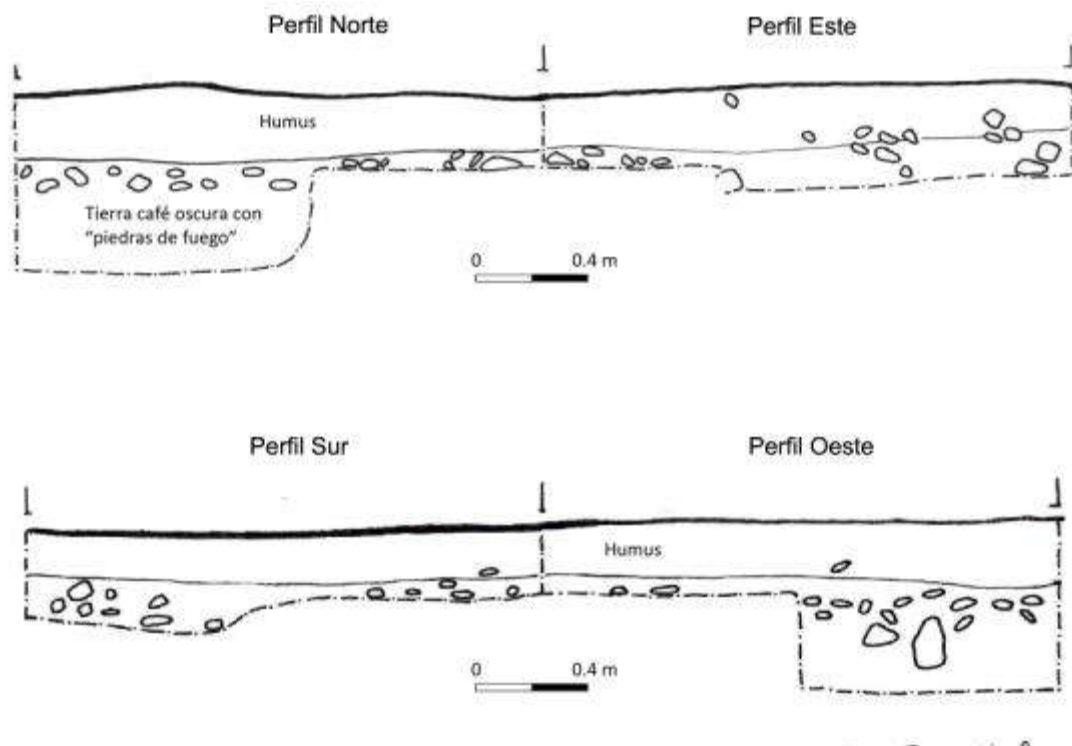


Figura 11.44. Perfiles de la unidad CR41-1 (Dibujo y calco por Eduardo Bustamante)

Excavaciones en la Estructura 13S-1

Unidad CR41-2

Se realizó este pozo en el muro norte de la Estructura 13S-1 y no se pudo realizar al centro debido a la presencia de dos árboles grandes. Por esto, el pozo se encontraba desplazado a 1 m al oeste del centro. Este pozo reveló tres cuerpos constructivos en el muro, todos muy mal conservados. La piedra utilizada para esta construcción fue piedra grande, de entre 20 y 30 cm. de largo, la cual no presentaba gran trabajo en la modelación, por lo que posiblemente esta estructura se encontraba estucada. Sin embargo no se encontró estuco en la excavación.

Uno de los hallazgos más interesantes fue la de tres huesos de ave en la contrahuella del cuerpo superior. Seguramente se trate de una pequeña ofrenda a la estructura, posiblemente colocada al momento de su construcción. De manera similar, en la contra huella del cuerpo del medio se encontró un fragmento de metate, este reutilizado como piedra para construcción. En lo referente a la búsqueda de basureros, no se encontró ninguno formal –botellones, etc.- sin embargo si se recolectó una gran cantidad de tiestos, principalmente en el segundo nivel.

Otro de los hallazgos más interesantes es que se encontró un tercer estrato similar al encontrado en el centro de la plaza. Este constaba de piedras pequeñas, de entre 10 y 15 cm. El estrato presentó una altura máxima de 5 a 10 cm y se encontraba directamente dispuesto sobre la roca madre. Al realizarse una nivelación entre los pozos CR41-1 y CR41-2 se encontró una diferencia de 40 cm, siendo esta última más baja que la unidad CR41-1. Este primer hallazgo hizo pensar en la posibilidad de una nivelación de plaza elevada, y puesto que el pozo CR 41-2 se encuentra fuera de la plaza, su nivelación fue más baja.



Figura 11.45 Muro posterior de la Estructura 13S-2 (Foto por Eduardo Bustamante)

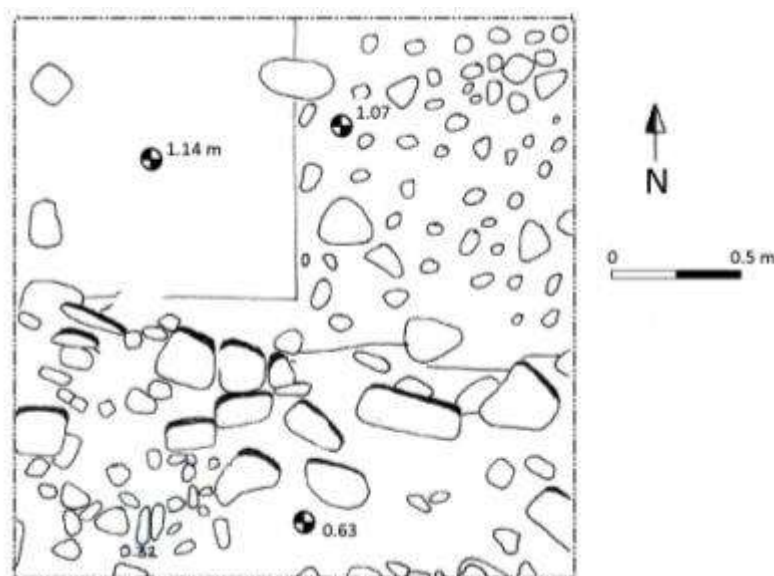


Figura 11.46 Planta de la unidad CR41-2 (Dibujo y calco por Eduardo Bustamante)

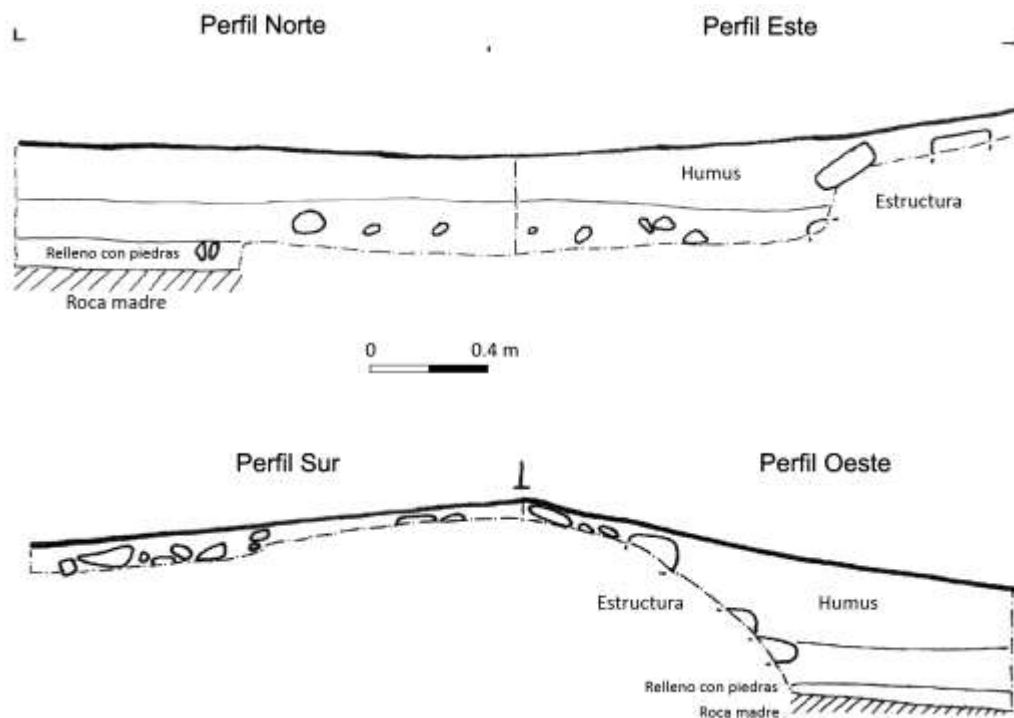


Figura 11.47. Perfiles de la unidad CR41-2 (Dibujo y calco por Eduardo Bustamante)

Excavaciones en la Estructura 13S-3

Unidades CR41-3, CR41-5 y CR41-5A

El pozo CR41-3 fue dispuesto en el muro oeste de la Estructura 13S-3 y en su centro. Tuvo el objetivo de la localización de basureros. Por su parte el pozo CR41-5 fue colocado directamente al norte del pozo anterior y desfasado 1 metro al este. Finalmente la ampliación CR41-5A fue colocada directamente al oeste de CR41-5 y en la esquina noroeste del mismo. Tanto CR41-5 como su ampliación tuvieron el objetivo de la definición de rasgos arquitectónicos y la búsqueda de la cuarta estructura.

La excavación de CR41-3 mostró tres cuerpos de la estructura. Estos fueron contruidos con piedra mediana, de entre 40 y 50 cm. A pesar de no mostrar tan malas condiciones como la piedra encontrada en la Estructura 13S-1, la piedra aquí tampoco mostró gran trabajo en la modelación de la misma. Una gran cantidad de piedra de derrumbe fue removida para definir los cuerpos constructivos. Esta piedra de colapso se encontraba amalgamada con estuco, seguramente lavado de la estructura. En esta piedra de derrumbe se encontró también un fragmento de metate, utilizado también como piedra constructiva.

En cuanto a la nivelación de plaza, se logró observar que la nivelación aquí fue muy diferente, puesto que se utilizaron grandes trozos –de entre 50 y 75 cm- de roca madre para nivelar. Otra inconcordancia es que esta nivelación presentó el mismo nivel que al centro de la plaza, aunque originalmente se pensó que por estar fuera de la plaza presentaría un nivel similar al encontrado en CR41-2.

Finalmente, en el cuadrante noreste del pozo se logró identificar una esquina que dobla al este, aunque el montículo seguía. Esto hizo pensar que se trataba de un cubo de gradas. Con el objetivo de definir este rasgo arquitectónico se trazó el pozo CR 41-5 y su ampliación al oeste CR 41-5A. Por lo tanto, la excavación de este pozo, así como su extensión, revelaron lo que posiblemente se trate de la cuarta estructura, que se encuentra unida a la Estructura 13S-3 por medio de una ampliación o “puente” entre ambas estructuras. Esta cuarta estructura parece ser más ancha –en dirección este-oeste- que la Estructura 13S-3, formando una especie de “T”.

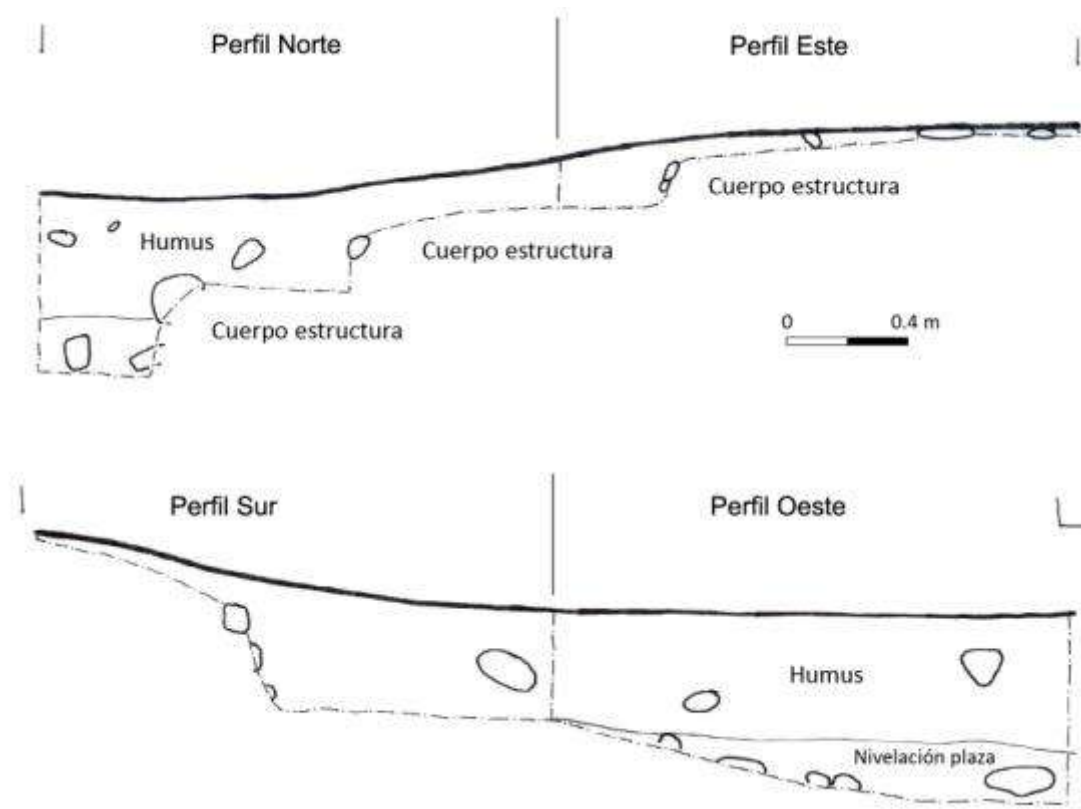


Figura 11.48 Perfiles de la unidad CR 41-3 (Dibujo y calco por Eduardo Bustamante)

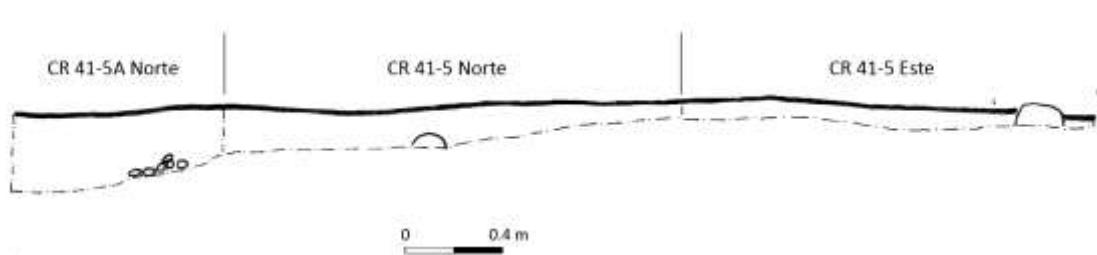


Figura 11.49 Perfiles norte y este de las unidades CR 41-5 y CR 41-5A
(Dibujo y calco por Eduardo Bustamante)

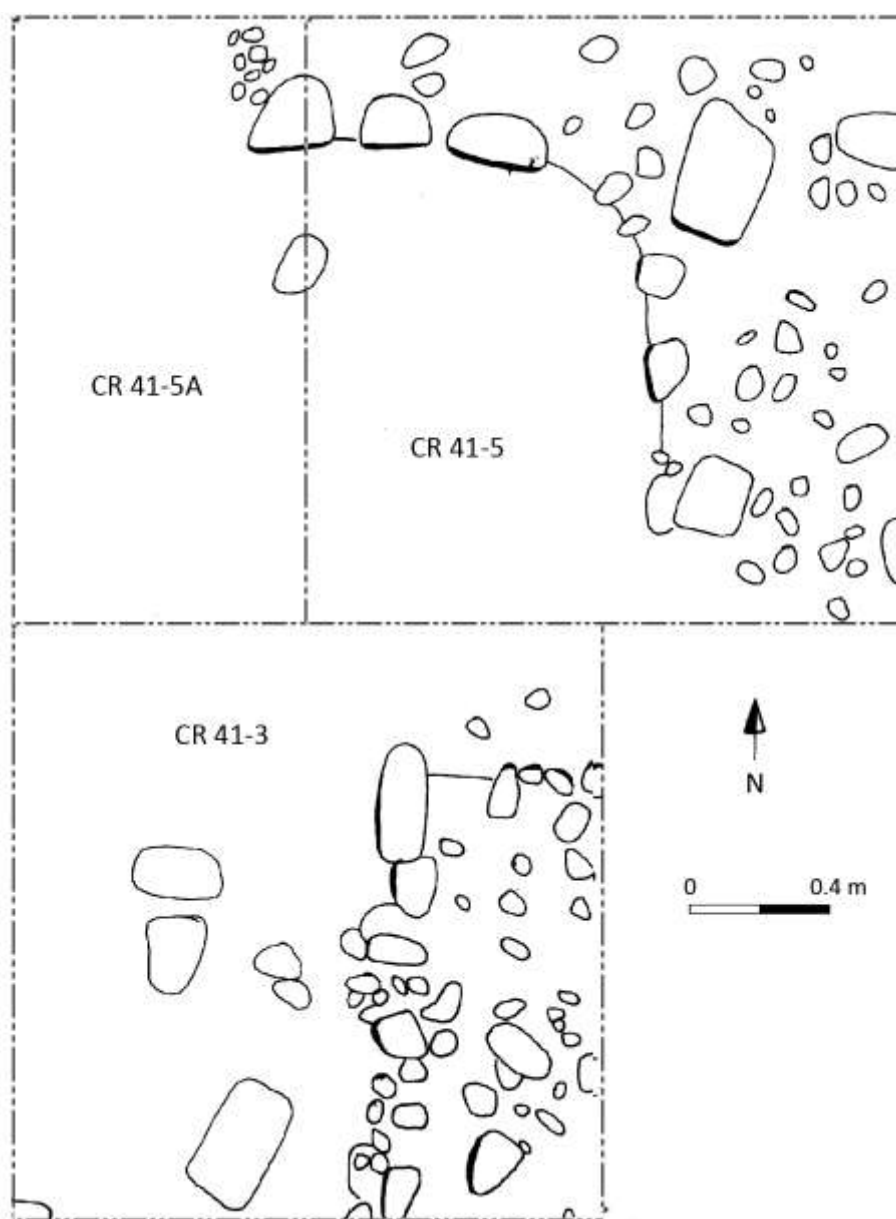


Figura 11.50 Planta de las unidades CR 41-3, CR 41-5 y CR 41-5^a
(Dibujo y calco por Eduardo Bustamante)

Excavaciones en la Estructura 13S-2

Unidades CR41-4, CR41-6, CR41-6A, CR41-7 y CR41-7A

El pozo CR 41-4 fue ubicado en el muro este de la Estructura 13S-2 y al centro de la misma, con el objetivo de encontrar basureros. Por su parte el pozo CR41-6 y la ampliación CR41-6A fueron colocados en la parte superior del montículo, con el objetivo de definir la superestructura del mismo. Finalmente el pozo CR41-7, de 2 m (e-o) x 1 m (n-s) y la ampliación CR-41-7A, fueron colocadas en el muro oeste de la estructura, pegado al norte del pozo CR41-4 y desfasado 1 metro al oeste. El objetivo del pozo y de la ampliación fue la de identificar rasgos arquitectónicos de la estructura.

El pozo CR41-4 reveló una banqueta perfectamente conservada, las piedras aún se encontraban *in situ* (Figura 11.51). Esta estaba conformada por piedras cuadradas de 20 cm de ancho por 30 cm de contrahuella. Estas piedras se encontraban muy bien talladas, a diferencia de las encontradas en las Estructuras 13S-1 y 13S-3. Sobre la banqueta se podía observar el muro del primer cuerpo constructivo de la estructura, el cual también se encontraba en muy buenas condiciones, puesto que algunas de las piedras aún se encontraban a plomo. Las piedras de la banqueta se encontraban directamente asentadas sobre la nivelación de piedras pequeñas (Figura 11.52). Esta nivelación fue similar a la encontrada en el los pozos CR41-1 y CR41-2. También, al igual que en la unidad CR41-2, esta nivelación de piedras solo alcanzó una altura máxima de 10 cm y se encontraba al mismo nivel.



Figura 11.51 Banqueta posterior de la Estructura 13S-2 (Foto por Eduardo Bustamante)



Figura 11.52 Banqueta posterior de la Estructura 13S-2 mostrando relleno (Foto por Eduardo Bustamante)

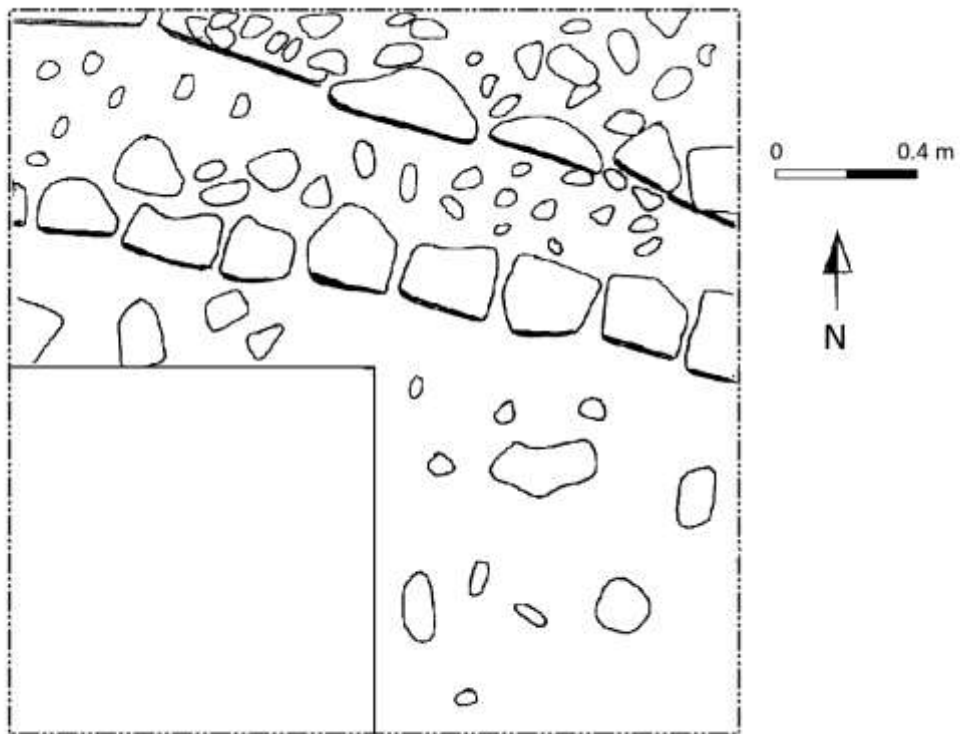


Figura 11.53 Planta del lote CR41-4-4 (Dibujo y calco por Eduardo Bustamante)

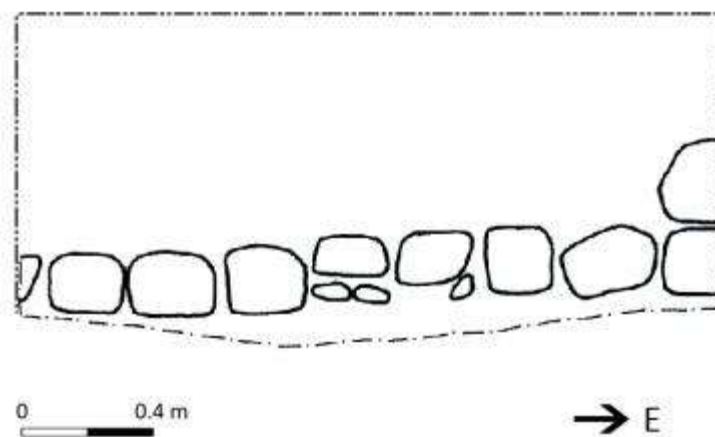


Figura 11.54 Elevación de las piedras de la banqueta posterior de la Estructura 13S-3 (Dibujo y calco por Eduardo Bustamante)

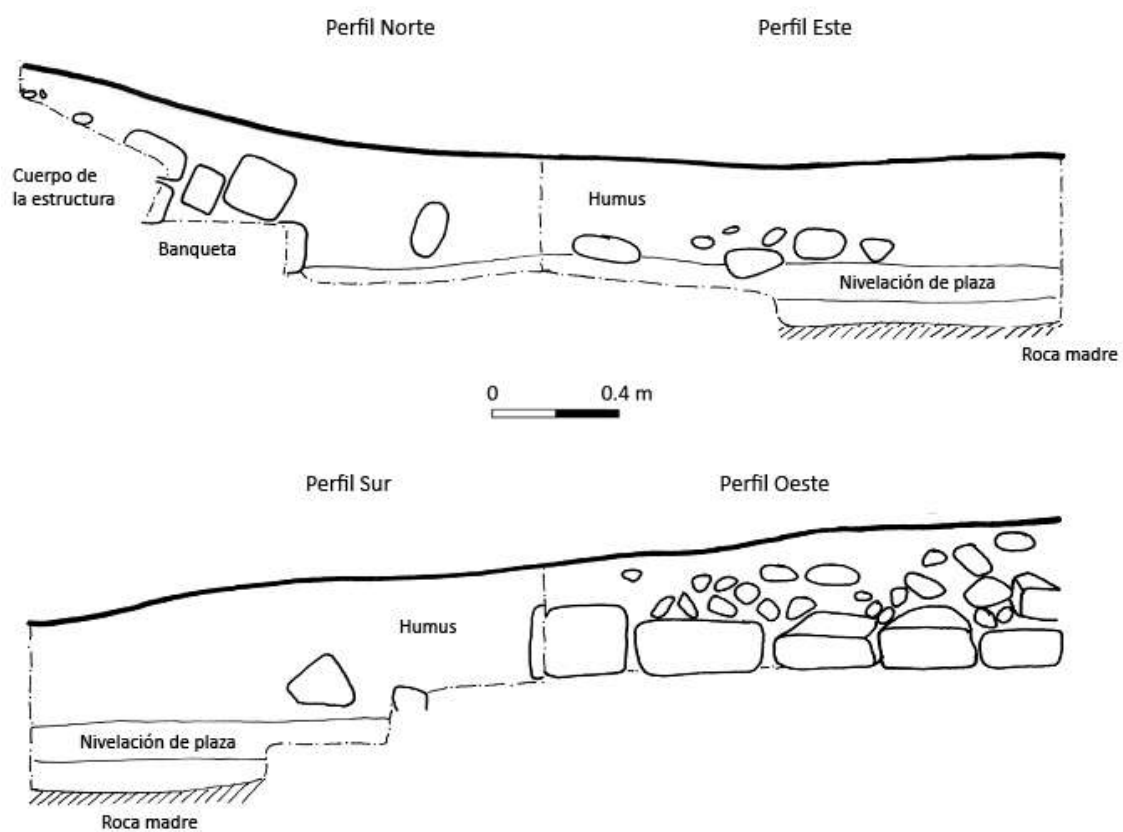


Figura 11.55 Perfiles de la unidad CR41-4 (Dibujo y calco por Eduardo Bustamante)

Estos hallazgos sugieren que en efecto las estructuras se encontraban sobre una plaza elevada de aproximadamente 40 cm de altura. Por lo tanto, los pozos CR41-2 y 4, por estar fuera de la plaza, encontraron un nivel más bajo. Sin embargo también se encuentra el planteamiento de porqué no pasa lo mismo en la parte posterior de la Estructura 13S-3. Posiblemente se deba a que la plaza se extendía al oeste ó que se encuentre con la plaza del Grupo 13S-1. Sin embargo no se tiene ninguna excavación situada entre estos dos grupos que permitan confirmar o negar la hipótesis.

Por su parte el pozo CR41-7 y su ampliación CR41-7A mostraron dos cuerpos de la estructura, los cuales se expusieron en muy malas condiciones, puesto que se encontraban seriamente desmoronados (Figura 11.56).



Figura 11.56 Cuerpos posteriores de la Estructura 13S-2, unidades CR41-7 y CR41-7A
(Foto por Eduardo Bustamante)

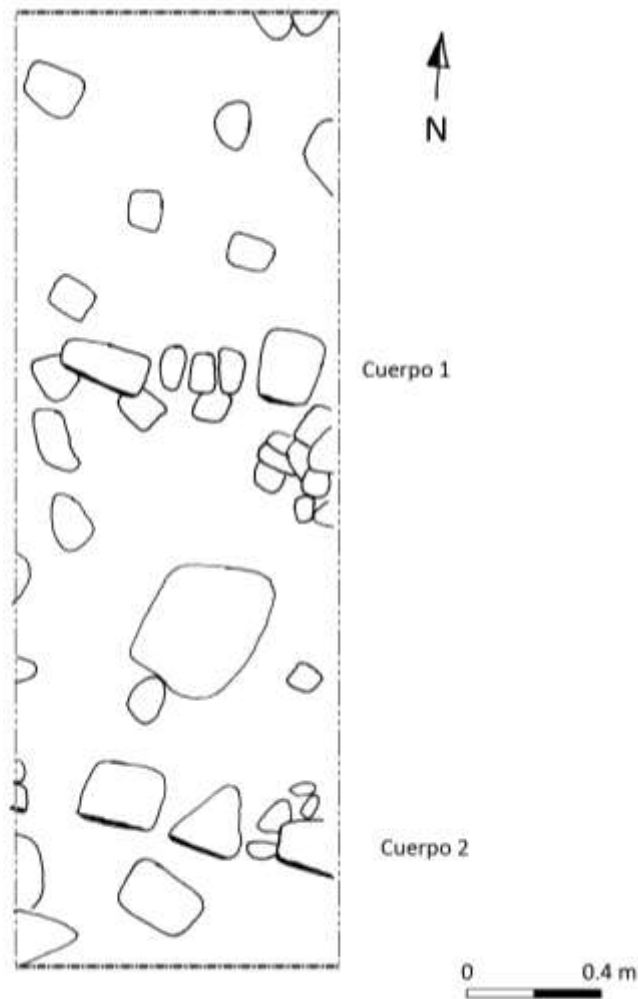


Figura 11.57 Planta de las unidades CR41-7 y CR41-7A
(Dibujo y calco por Eduardo Bustamante)

Finalmente, el pozo CR41-6 y su ampliación CR41-6A mostraron la existencia de una superestructura, la cual se había derrumbado. La superestructura estuvo construida en la parte superior por pequeñas piedras de 10 cm., similares a las encontradas en la nivelación de plaza. Esta teoría se encuentra basada en la gran cantidad de piedras de este tipo que fueron encontradas en el cuarto interno de la superestructura. A una profundidad de 60 cm, bajo estas piedras, se logró encontrar un piso de estuco, seriamente fragmentado pero aún visible. Bajo este estuco el relleno cambiaba totalmente, pasando a ser una tierra café clara. Estas evidencias confirmaron que las piedras pequeñas del estrato anterior se trataban de escombros de la superestructura (Figura 11.58).

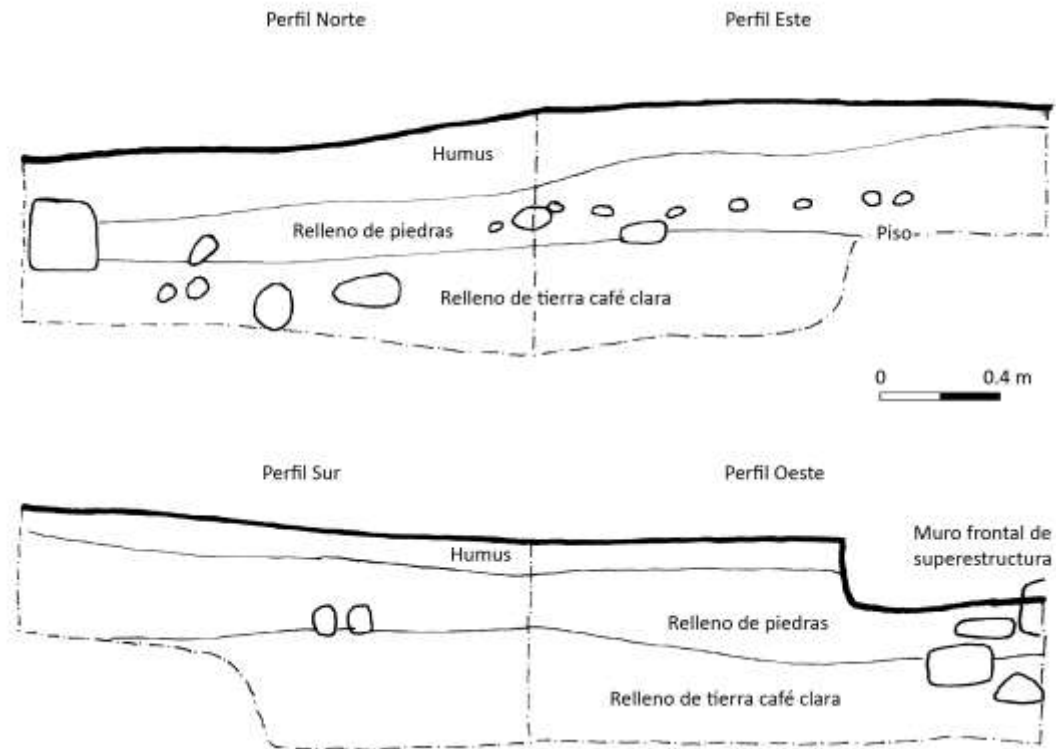


Figura 11.58 Perfiles de la unidad CR41-6 (Dibujo y calco por Eduardo Bustamante)

La ampliación CR41-6A fue colocada adyacente a la parte oeste del pozo CR41-6 y en la esquina noroeste del mismo. Con esta ampliación se buscó definir los rasgos del muro frontal de la superestructura. Puesto que se trataba de la base del mismo muro, se pudo constatar que este estaba formado por piedras cuadradas de gran tamaño –de 30 a 40 cm.-, teniendo el muro un espesor de 50 a 60 cm. En la parte oeste de la ampliación se pudieron observar lo que parecen ser gradas; sin embargo, por el tiempo, no se pudo constatar la existencia de estas (Figura 11.59).

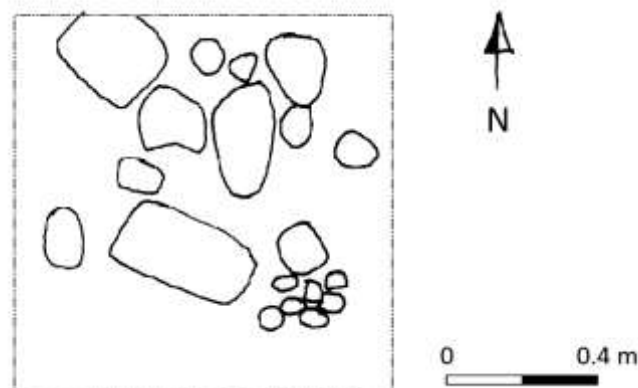


Figura 11.59 Planta de la unidad CR41-6A (Dibujo y calco por Eduardo Bustamante)

CAPÍTULO XII

ANÁLISIS E INVENTARIO PRELIMINAR DE LOS RESTOS DE FAUNA DE LA CORONA

Diana Fridberg

Este reporte comprende el inventario básico de los restos de fauna que se recuperaron en las diferentes unidades de excavación de las operaciones CR16 y CR35C en el sitio La Corona, durante la temporada 2010. El análisis llevado a cabo incluyó un conteo general de los fragmentos¹, su registro fotográfico y una identificación preliminar de su estado de conservación, modificación y diversidad taxonómica.

Estado de Conservación

En general todos los fragmentos presentaron buena preservación, especialmente los que pertenecían a lotes de excavación dentro del *chultun* de la Operación CR16. Además, hubo relativamente poca fragmentación de elementos.

Modificación

En algunos huesos se evidenciaron actividades de quemado, marcas de corte y pulido, tanto de forma independiente como en combinación. Sin embargo, en la muestra del *chultun* no hay evidencia de huesos roídos por animales, indicando que el depósito se selló relativamente rápido.

Diversidad taxonómica

Aunque la identificación de especies todavía es bastante preliminar, la lista tentativa de especies presentes es la siguiente:

- Venado cola blanca (*Odocoileus virginianus*)
- Cabrito (*Mazama* sp.)
- Perro doméstico (*Canis familiaris*)
- Aves gallináceas (Galliformes, cf. *Meleagris ocellata* [pavo ocelado])

¹ Se usa el término “fragmentos” en lugar de NISP (número de especímenes identificables) para que los conteos correspondan a lo que cualquiera vea en el contenido de cada bolsa. El NISP será más bajo que el número de fragmentos si algunos de ellos pueden definirse como del mismo individuo.

- Tacuazín o zarigüeya (Didelphidae)
- Pez gato, julín o jolote (Siluriformes)
- Tortugas (Testudíneos)
- Sapos (Anura)

Sin embargo hay algunos huesos que son cuestionables y hay que analizar con más detalle, por lo que todavía hay identificaciones alternativas o no identificadas para algunos casos:

- Perro domestico vs. zorro gris (*Urcyon cinereoargenteus*)
- Un húmero grande de pájaro (mayor que el de cualquier Galliforme)
- Identificación de especies de peces. La identificación hipotética de pez gato se basa en la textura y robustez, pero hay que revisar material comparativo para comprobarlo.
- Identificación de especies de tortugas. La textura de la superficie de algunos fragmentos de caparazón indica que esto puede ser posible, aunque no para todos los fragmentos
- Un molar grande de carnívoro, que bien puede ser de un felino o un cánido grande.

Operación CR 16

En total, se contabilizaron 1,958 fragmentos en los 25 lotes analizados. De la suboperación CR 16A se analizaron 3 lotes (3 fragmentos), y de CR 16B se analizaron 22 lotes (1,955 fragmentos). Los detalles de cada lote se presentan en la Tabla 12.1.

Descripción detallada de Fragmentos

En algunos casos el material se dividió en varias bolsas que se analizaron en momentos distintos, por lo que hay varias entradas bajo el mismo lote. Además, se usaron algunos códigos que son los siguientes:

- NI: no identificado, misceláneo
- MP: Mamífero pequeño
- MM: Mamífero mediano
- MG: Mamífero grande
- M-MP: Mamífero mediano- pequeño
- M-MG: Mamífero mediano-grande
- Diáfisis: fragmento de hueso largo, no identificado

Tabla 12.1 Inventario preliminar de fragmentos de huesos de fauna de La Corona

| Proveniencia | # Fragmentos | Fauna notable |
|------------------------------|--------------|---|
| CR16A-2-1 | 1 | Mamífero |
| CR16A-2-2 | 1 | Cérvido |
| CR16A-7-2 | 1 | Mamífero |
| CR16B-1-2-2 | 27 | Testudíneos, <i>Odocoileus virginianus</i> |
| CR16B-1-3-2 | 8 | <i>Odocoileus virginianus</i> |
| CR16B-1-4-3 | 1 | Artiodáctilo |
| CR16B-1-5-4 | 2 | Mamífero |
| CR16B-1A-3 | 6 | <i>Mazama</i> sp. |
| CR16B-1A-3A | 5 | Mamífero |
| CR16B-1A-3 Sur | 10 | Mamífero |
| CR16B-1A-3-7 | 9 | <i>Odocoileus virginianus</i> |
| CR16B-1A-3-12 | 30 | Didelphidae, cánido |
| CR16B-1A-5-2 | 17 | Mamífero |
| CR16B-1A-5-4 | 5 | <i>Odocoileus virginianus</i> |
| CR16B-1A-5-5 | 13 | Artiodáctilo |
| CR16B-1A-5-6 | 12 | <i>Odocoileus virginianus</i> , Ave grande |
| CR16B-1A-5-7 | 79 | Pez, Galliformes, <i>Odocoileus virginianus</i> |
| CR16B-1A-5-8 | 10 | Siluriformes, Mamífero |
| CR16B-1A-5-9 | 20 | Siluriformes, <i>Odocoileus virginianus</i> |
| CR16B-1A-5-11 | 469 | Anura (?), Testudíneos, <i>Odocoileus virginianus</i> , <i>Canis familiaris</i> |
| CR16B-1A-5-12 | 260 | <i>Canis familiaris</i> , Didelphidae |
| CR16B-1A-10 | 17 | Siluriformes, Testudíneos, <i>Odocoileus virginianus</i> |
| CR16B-2-3 | 13 | <i>Odocoileus virginianus</i> |
| CR16B-2-3A | 66 | Galliformes, <i>Odocoileus virginianus</i> |
| CR16B-2-4 | 22 | Testudíneos, Mamífero grande |
| CR16B-2-Depósito Primario | 702 | Galliformes, Didelphidae, <i>Mazama</i> sp., <i>Odocoileus virginianus</i> , Carnívoro grande |
| CR16B-2-Lote Ext. | 2 | Mamífero |
| CR16B-5-12 | 150 | Siluriformes, Mamífero |
| Total | 1958 | |

CR16A

CR16A-2-1 #1

Contexto: "Saqueo esquina SE de Estr. 13R10. Limpieza superficie"

Fauna: NI

CR16A-2-2 #1

Contexto: "Saqueo esq. SE Estr. 13R10. Tierra y mezcla entre piedras"

Fauna: Asta

CR16A-7-2 #1

Contexto: "20-36cm. Tierra sobre arq. Estr. 13R10. Lado sur. Se encontró piso."

Fauna: Diáfisis

CR16B

CR16B-1-2-2 #27, #18

Fecha de excavación: 6/5/2010

Contexto: "Patio Estr. 13R10 lado norte"

Fauna:

1- Caparazón/plastrón (Testudíneos)

17- NI

Fecha de excavación: 7/5/2010 #9

Contexto: "Patio norte Estr. 13R10"

Fauna:

1- Falange (proximal, Artiodáctilo)

1- Húmero (distal, M-MP)

1- Mandíbula (M-MP)

2- Dientes (*Odocoileus virginianus*)

3- Costillas

1- Diáfisis

1- NI

CR16B-1-3-2 #8

Fecha de excavación: 8/5/2010

Contexto: "Plataforma en patio norte Estr. 13R-10"

Fauna:

1- Astrágalo (quemado, *Odocoileus virginianus*)

7- Diáfisis

CR16B-1-4-3 #1

Fecha de excavación: 10/5/2010

Contexto: “Relleno de plataforma en patio norte Estr. 13R10. .52-1.19”

Fauna:

- 1- Falange (2nd) (Artiodáctilo)

CR16B-1-5-4 #2

Fecha de excavación: 13/5/2010

Contexto: “Relleno piso debajo de relleno plat. En patio norte 13R-10. 1.19-1.39”

Fauna:

- 2- Diáfisis (quemada)

CR16B-1A-3 #6

Fecha de excavación: 15/5/2010

Contexto: “Relleno de plat. en patio norte Estr. 13R-10 .38-1.38. Dentro de relleno.”

Fauna:

- 1- Mandíbula (Cérvido, probablemente *Mazama* sp.)
- 4- Diáfisis
- 1- NI

CR 16B-1A-3A #5

Fecha de excavación: 22/5/2010

Contexto: “Piso de prep. Estr. 13R-10 sobre relleno plataforma .68-1.26. Solo en parte sur unidad.”

Fauna:

- 1- Costilla
- 4- Diáfisis (1 quemada)

CR16B-1A-3 Sur #10

Fecha de excavación: 21/5/2010

Contexto: “Escombro sobre piso de ____ Estr. y relleno plat.”

Fauna:

- 10- NI (3 trabajados)

CR16B-1A-3-7 #9

Fecha de excavación: 23/5/2010

Contexto: “Basurero exc. en roca madre. Parte que ____ . 2.65-2.85”

Fauna:

- 1- Metatarso (proximal, *Odocoileus virginianus*)
- 1- Tibia (distal, *O.v.*)
- 7- NI

CR16B-1A-3-12 #30

Contexto: N/D

Fauna:

- 1- Falange (M-MP)
- 4- Costilla (M-MP)
- 1- Mandíbula (MM)
- 3- Cúbito (1 proximal, 2 casi completos MM)
- 1- Radio (MM)
- 3- Tibia (parcialmente fusionados MM)
- 9- Húmeros (3 de tacuazín, 1 cánido)
- 2- Peroné (MM)
- 1- Fémur (distal, MM)
- 5- NI

CR16B-1A-5-2 #17

Fecha de excavación: 17/5/2010

Contexto: “Basurero excavado en roca madre. Colmillo de serpiente. Relleno de desechos.”

Fauna:

- 5- Húmeros (quemados)
- 1- Vértebra
- 1- Diáfisis
- 10- NI (bastante fragmentados)

CR16B-1A-5-4 #5

Fecha de excavación: 18/5/2010

Contexto: “Basurero en roca madre (2.05-2.25). Relleno con desechos.”

Fauna: 3 vértebras (MG) y 2 molares (NISP=1, O.v.)

CR16B-1A-5-5 #13

Fecha de excavación: 18/5/2010

Contexto: “Basurero excavado en roca madre 2.25-2.45. Relleno con desechos.”

Fauna:

- 1- Falange (2do) (quemada, Artiodáctilo)
- 1- Diente (roto, posible canino humano)
- 1- Vertebra (no fusionada)
- 8- Diáfisis (6 contiguos)
- 2- NI

CR16B-1A-5-6 #12

Fecha de excavación: 19/5/2010

Contexto: “Basurero exc. en roca madre”

Fauna:

- 1- Astrágalo (O.v.)
- 1- Húmero (quemado, ave bastante grande)
- 1- Radio (distal, quemado, O.v.)
- 1- Diente (canino)
- 1- Mandíbula
- 2- Diáfisis (quemada)
- 5- NI (quemados, pequeños, pueden ir juntos)

CR16B-1A-5-7 #79

Fecha de excavación: 20/5/2010

Contexto: “Basurero exc. en roca madre 2.65-2.85. Relleno con desechos.”

Fauna:

- 71- Huesos de pescado (incluye 23 vértebras)
- 1- Fémur (distal, Galliformes)
- 4- Mandíbulas (MG, 2 *O.v.* con dentición)
- 3- NI (1 quemado)

CR16B-1A-5-8 #10

Fecha de excavación: 23/5/2010

Contexto: “Basurero exc. en roca madre. Parte que [faltaba?].

Fauna:

- 4- Vértebras (Siluriformes)
- 2- Trabajados
- 1- Diáfisis (quemada)
- 3- NI

CR16B-1A-5-9 #20

Fecha de excavación: 25/5/2010

Contexto: “Basurero exc. en roca madre. Relleno con desechos. 3.05-3.25”

Fauna:

- 1- Húmero (distal, *Odocoileus virginianus*)
- 1- Fémur (proximal, no fusionado, *Odocoileus virginianus*)
- 2- Caparazón/plastrón
- 1- Tibia (quemada, proximal, MM)
- 1- Vértebra (Siluriformes?)
- 3- Diáfisis trabajadas (1 definitivo, 2 posibles)
- 11- NI
- 1- Fémur (no fusionado, MM)
- 1- Tibia (no fusionado, MM)
- 1- Metapodial
- 1- NI
- 14- Diáfisis

CR16B-1A-5-11 #469, #60

Fecha de excavación: 28/5/2010

Contexto: N/D

Fauna:

- 12- Caparazón/plastrón
- 2- Pelvis (MG)
- 1- Omóplato (MM)
- 9- Vértebras (MM)
- 2- Cúbitos (1 quemado, MM)
- 1- Húmero (no fusionado, MM)

- 2- Tibia (no fusionado, MM)
- 31- NI

Fecha de excavación: 28/5/2010 #178

Contexto: N/D

Fauna:

- 22- “garras” (incluye 2 falanges distales)
- 16- Vértebras (incluye 3 Siluriformes? y 1 axis MM)
- 22- Costillas
- 2- Calcáneos (M-MP)
- 1- Astrágalos (M-MP)
- 1- Rótula (M-MP)
- 2- Pelvis (MM)
- 2- Omóplatos (MM)
- 1- Cúbito (proximal, MM)
- 1- Tibia (proximal, no fusionada, MM)
- 1- Fémur (reptil, probable Testudíneo)
- 17- Dientes
 - o 10- Carnívoro (probable cánido)
 - o 1- Canino (taxón no identificado)
 - o 3- Tacuazín (2 mandíbulas, 1 maxilar)
 - o 1- Fragmento maxilar. (Carnívoro)
 - o 2- NI
- 1- Húmero (MP)
- 89- NI (incluye 1 pulido)

Fecha de excavación: 27/5/2010 #1

Contexto: N/D

Fauna:

- 1- Diáfisis trabajada/pulida

Fecha de excavación: 28/5/10 #80

Contexto: [Paquete etiquetado “A CANI”]

Fauna:

- 4- Tibia
- 3- Fémur
- 2- Cúbito
- 4- Radio
- 4- Humeros
- 2- Omóplato (proximal)
- 1- Pelvis
- 2- Mandíbula
- 2- Dientes (aislados)
- 18- Vértebras (incluye axis)
- 13- Cráneo

- 16- Costillas
- 8- Metapodial
- 1- Falange

Fecha de excavación: 28/5/10 #21

Contexto: [Packet labeled "J CANI"]

Fauna:

- 3- Tibia (NISP=2)
- 2- Fémur (NISP=1)
- 2- Mandíbula
- 2- Pelvis
- 2- Metapodial
- 9- Vértebras (incluye sacro)
- 1- Cráneo (cóndilo occipital)

Fecha de excavación: 28/5/2010 #13

Contexto: [Paquete etiquetado "DEER"]

Fauna:

- 2- Radios (NISP=1)
- 4-Fémur (cortado, NISP=1)
- 1- Astrágalo
- 1- Costilla
- 4- Diáfisis
- 1- Cóndilo (no fusionado)

Fecha de excavación: 28/5/2010 #116

Contexto: [Paquetes variados]

Fauna:

- 3- Caparazón/plastrón
- 3- Omóplato
- 6- Vértebras
- 4- Pelvis (1 sapo?)
- 1- Metapodial (M-MP)
- 1- Calcáneo (M-MP)
- 2- Fémur (no fusionado MM)
- 1- Húmero (?)
- 3- Dientes (aislados)
- 1- Mandíbula
- 1- Maxilar (corresponde con el molar aislado)
- 28- Cráneo
- 15- Huesos de pescado (4 Vértebras)
- 49- NI

CR16B-1A-5-12 #260, #222

Fecha de excavación: 29 /5/2010

Contexto: "Basurero en roca madre. 3.65-3.85"

Fauna:

- Perro doméstico, tacuazín
- 36- "garras" (falanges, metapodiales)
- 51- Vértebras
- 3- Mandíbula
- 5- Dientes (incluye maxilar)
- 4- Pelvis
- 4- Fémur
- 4- Radio
- 4- Cúbito
- 4- Húmero
- 3- Omóplato
- 3- Tibias
- 24- Costillas
- 78- NI
-

Fecha de excavación: 29/5/2010

Contexto: N/D #33

Fauna:

- 2- huesos cortados/tallados
- 3- Omóplatos
- 1- Fragmento de cráneo con 4 dientes (Didelphimorphia)
- 3- Vértebras (1 atlas)
- 1- Pelvis (acetábulo)
- 3- Cráneo
- 2- Mandíbula (Cánido?), 1 Mandíbula (Didelphimorphia)

CR16B-1A-10 #17

Fecha de excavación: 26/5/2010

Contexto: N/D

Fauna:

- 3- Caparazón/Plastrón
- 1- trabajado (aguja/punta)
- 1- Falange (Primera) (O.v.)
- 4- Vértebras (3 Siluriformes, 1 MM)

CR16B-2-3 #13

Fecha de excavación: 21/5/2010

Contexto: “Escombros de muro fachada norte Estr. 13R-10. Siguiendo muro hacia abajo.”

Fauna:

- 2- Vértebra (NISP=1, no fusionado, MG)
- 1- Fémur (cabeza no fusionada, MG)
- 1- Falange (2^{do}) (Artiodáctilo)
- 1- Falange (3^{er}) (distal, Artiodáctilo)
- 2- Costilla (NISP=1)
- 2- Tibia (NISP=1, distal, *O.v.*)
- 1- Diáfisis (cortado, MG)
- 2- Diáfisis (1 M-MP)
- 1- NI

CR16B-2-3A #66

Fecha de excavación: 21/5/2010

Contexto: “Escombros sobre depósito primario_ unidad 2 y 2A. Escombros muro fachada norte”

Fauna:

- 1- Radio (proximal, cortado, *O.v.*)
- 1- Fémur (distal, Galliformes)
- 1- Caparazón/plastrón
- 1- Mandíbula (with 3 molars, *O.v.*)
- 1- Falange (1st) (*O.v.*)
- 1- Metapodial (proximal, cortado)
- 1- Calcáneo (no fusionado)
- 1- Vertebra (no fusionado, MG)
- 4- Cráneo (bóveda)
- 8- Costillas
- 10- Diáfisis
- 36- NI

CR16B-2-4 #2

Fecha de excavación: 30/5/2010

Contexto: “Bajo piso. Dep primario. En relleno.”

Fauna:

- 7- Vértebras (MG)
- 5- Caparazón/plastrón
- 4- Diáfisis (2 cortados)
- 6- NI

CR16-B-2-Dep. Primario #8

Fecha de excavación: 29/5/2010

Contexto: “Depósito primario al pie de muro fachada norte 13R-10. 1.30-1.48.”

Fauna:

- 1- Húmero (distal, cortado, *Odocoileus virginianus*)
- 1- Húmero (distal, *Meleagris* sp.)

- 1- Fémur (no fusionado, *Odocoileus virginianus*)
- 1- Fémur (Diáfisis media, MG)
- 2- Radio (*Odocoileus virginianus*)
- 2- Vértebra (MG)

Fecha de excavación: 29/5/2010 #1

Contexto: “Dep. Primario al pie de muro fachada norte 13R-10. 1.30-1.46”

Fauna:

- 1- Diáfisis

Fecha de excavación: 29/5/2010 #612

Contexto: “Deposito primario al pie de muro fachada norte 13R-10”

Fauna:

- 16- Asta
- 9- Caparazón/plastrón
- 5- Calcáneo
- 20- Falanges (fusionados y no fusionados, Artiodáctilo, MM)
- 4- Metapodial
- 8- Pelvis (1 M-MP)
- 4- Cúbito
- 1- Radio (distal, *O.v.*)
- 1- Fémur (distal, *O.v.*)
- 22- Vértebras (incluye 5 no fusionadas, 4 “tapas”)
- 5- Omóplato
- 31- Costillas
- 3- Tibio tarso
- 1- Carpo metacarpo
- 14- Dientes (incluye maxilar y mandíbula; maxilar de tacuazín, mandíbula de *O.v.*)
- 3- Trabajados (cortados, pulidos)
- 460- NI
- 1- Paquete de tierra con fragmentos pequeños de mamíferos y aves

Fecha de excavación: 29/5/2010 #69

Contexto: “Deposito primario al pie de muro fachada norte 13R-10. 1.30-1.48”

Fauna:

- 5- Astrágalos
- 3- Calcáneo
- 1- Asta
- 1- Rótula
- 4- Tibia (1 distal cortado, *Mazama* sp., 1 distal *O.v.*, 1 proximal *O.v.*, 1 distal MM)
- 11- Vértebras
- 4- Pelvis
- 3- Omóplato
- 3- Húmero (1 distal, 1 Diáfisis, 1 epífisis no fusionada)
- 6- Fémur (1 cabeza en 2 piezas, 1 cabeza no fusionada, 2 distal, 1 proximal no fusionado)
- 2- Costillas

- 7- Diáfisis (1 cortado)
- 1- Radio (distal, cortado)
- 14- NI

Fecha de excavación: 29/5/2010 #12

Contexto: [Sin etiqueta] “Dientes” en la bolsa

Fauna:

- 1- Molar (Carnívoro grande)
- 1- Premolar (Carnívoro grande)
- 5- Molar (*O.v.*)
- 6- Premolar (*O.v.*)

CR16B-2-Lote Ext. #2

Fecha de excavación: 24/5/2010

Contexto: “Al este de 2 ___ superficie hasta dep. primario 1.30. Único lote.”

Fauna:

- 2- Diáfisis (1 quemado)

CR16B-5-12 #150

Fecha de excavación: 29/5/2010

Contexto: “3.65-3.85. Relleno con desechos” (en tres bolsas pequeñas, información de etiqueta en la bolsa encontrada en la misma Ziploc)

Fauna:

- 35- Vértebras (incluye 2 atlas, 1 axis, 2 sacro, 3 Siluriformes)
- 7- Metapodial (M-MP)
- 3- Falanges (MP)
- 4- Pelvis (MM)
- 1- Calcáneo (MM)
- 8- Dientes (MM)
- 2- Fémur (no fusionado proximal, no fusionado distal, MM)
- 2- Tibia (distal, no fusionado proximal, MM)
- 2- Cúbito (1 M-MP, 1 MM)
- 3- Omóplato
- 11- Cráneo (bóveda incluye cresta sagital)
- 1- Húmero (proximal, MM)
- 40- Costillas
- 31- NI

Sub-operación CR 35B

El análisis del material de esta sub-operación se limitó a un conjunto de dientes perforados que seguramente formaron un collar u otro tipo de ornamento, los cuales se recuperaron de la excavación del lote CR 35C-6-3. La asignación taxonómica es bastante preliminar, ya que hace falta hacer un análisis comparativo muy detallado para identificar los rasgos específicos de dientes de felinos y cánidos, ya que ambos tienen similitudes en la estructura de sus dientes. No obstante el rasgo más útil es que los cánidos tienen algunos dientes que los felinos no presentan. En este caso, uno de los dientes analizados parece corresponder al primer molar maxilar de un cánido (Figura 13.1). Por otro lado, la presencia de muchos dientes “repetidos” hace pensar que el collar fue muy costoso, si se considera la cantidad de felinos que representan. Sin embargo, los cánidos pudieron ser más accesibles y por lo tanto el collar no implicó la dificultad de cazar varios felinos. Por lo tanto la conclusión tentativa es que no son dientes de jaguar u otro felino, sino de un cánido, posiblemente perro doméstico.



Figura 12.1 Dientes de posible cánido provenientes del lote CR 35C-6-3, Entierro 4 de la Estructura 13Q-5 (Foto por Yann Dessailly-Chanson)

CAPÍTULO XIII

ANÁLISIS PRELIMINAR DE LOS RESTOS ÓSEOS HUMANOS DE LA CORONA

Erin Patterson

El siguiente informe incluye un análisis de todos los restos humanos recuperados del sitio La Corona hasta la Temporada 2010, que corresponde a un total de cuatro entierros. La autora no estuvo presente durante la excavación de estos restos, por lo que no se presentan algunos detalles del contexto de los entierros.

Restos Óseos de la Temporada de 2006

Entierro 1 (Lote CR 1A-1-2-32)

Se encontró un individuo en este entierro, dado que no hubo elementos duplicados. La conservación del esqueleto es muy pobre, por lo que la mayoría de huesos están bastante fragmentados. Por lo tanto, la mala condición de los huesos no hizo posible determinar edad, sexo o estatura. Aún así, basado en la información disponible se puede decir que fue un adulto de edad no determinada. El inventario de estos huesos se presenta en la Tabla 13.1

Debe notarse que un fragmento de hueso de este entierro podría ser un indicador del sexo del individuo. Este consiste en un fragmento de margen supra orbital, que es una parte del hueso frontal, el cual tiene un borde bastante agudo, lo que sugiere que el individuo pudo ser femenino. Sin embargo, el fragmento es tan pequeño (~2x1 cm) que no es posible decir con certeza que se trata del hueso frontal. Alternativamente, el hueso puede ser parte del hueso coxal, específicamente el borde del acetábulo. Si ese fuera el caso, el fragmento no sería útil para determinar el sexo.

En este entierro se recuperaron 10 dientes, de los cuales ninguno tuvo lesiones de caries, aunque varios tienen depósitos muy pequeños de cálculos dentales. El desgaste varía entre mediano a moderado, por lo que en general la salud dental parece ser buena. Además un incisivo central superior presenta incisión en el patrón V-1 (Buikstra y Ubelaker 1994: Figura 30a), aunque no se recuperó la incrustación.

Finalmente, los huesos no presentan signos de cambios patológicos o degenerativos. La mayoría de articulaciones no se recuperaron, pero las que están presentes no exhiben artritis. La naturaleza tan fragmentaria de los fragmentos craneales no hizo posible determinar cualquier modificación craneana.

Lote CR-01A-1-1-29

Este lote contenía solamente tres huesos (ver Tabla 13.1). Dos son fragmentos de hueso largo, probablemente de un fémur o tibia. El tercer es un molar de adulto, el cual tiene una cantidad moderada de desgaste y cálculo, pero sin lesiones de caries.

Lote CR-01B-2-2-9

Consiste solamente en un molar adulto (ver Tabla 13.1), que exhibe desgaste mediano, una pequeña cantidad de cálculo y nada de caries.

Restos Óseos de la Temporada d2010

Entierro 2 (Lote CR-14A-1-21)

Este entierro contenía los restos de un individuo, ya que no hubo elementos duplicados. Los huesos están muy mal conservados y muy fragmentados, por lo que no fue posible determinar edad, sexo o estatura. Solamente se puede decir que fue adulto. Un fragmento proviene de un lote distinto (CR 14A-1-22) pero probablemente está asociado a este entierro (ver Tabla 13.2). No se recuperaron dientes de este entierro, por lo que no se puede determinar la salud dental del individuo, así como también no fue posible determinar cambios patológicos o degenerativos en los huesos. No obstante, la presencia de algunas superficies de articulaciones no indica ninguna señal de artritis. También, el poco material de la bóveda craneana no permite identificar ningún tipo de modificación.

Entierro 3 (Lote CR-33A-20-5)

Este entierro fue excavado dentro de la Estructura 13Q-3, y contenía un individuo adulto. Los huesos están muy fragmentados y mal conservados, por lo que no se pudo determinar edad, sexo o estatura (Figura 13.1, Tabla 13.3).



Figura 13.1 Huesos del Entierro 3, Estructura 13Q-3 (Fotos por Yann Dessailly-Chanson)

Se recuperaron cinco dientes, los cuales exhiben desgaste moderado y solo uno tiene una pequeña lesión de caries. En general no hay otras señales de patología, por lo que la salud dental del individuo fue buena. Un canino tiene incisión en patrón V-1 pero no se recuperó la incrustación (Buikstra y Ubelaker 1994: Figura 30a). No hay señales de patologías o cambios degenerativos en los huesos del individuo, y las pocas superficies de articulación indican que no hay artritis. Tampoco se recuperó algún hueso del cráneo para poder determinar posibles modificaciones.

Los siguientes dos lotes podrían estar asociados a este entierro, pero se analizaron por separado:

Lote CR-33A-5-4

Consiste solamente de dos fragmentos de una mandíbula humana (ver Tabla 13.3)

Lote CR-33A-6-6

Incluye fragmentos de costilla, un metatarso, una mandíbula parcial y varios dientes (Figura 13.2). Los dientes exhiben desgaste moderado pero nada de caries u otra patología.



Figura 13.2 Mandíbula y diente del lote CR 33A-6-6 (Foto por Yann Dessailly-Chanson)

Entierro 4 (Lote CR-35C-5-4)

Este entierro fue excavado dentro de la Estructura 13Q-5 y consiste de un individuo adulto, ya que la mala condición de los huesos no permitió determinar edad, sexo o estatura (Figura 13.3, Tabla 13.4). Se recuperó solamente un diente, que consiste un incisivo inferior que exhibe desgaste moderado y ninguna patología. En general se puede asumir que la salud dental fue buena, aunque esto se basa solamente en un diente. Tampoco se observaron patologías o cambios degenerativos en los huesos, especialmente porque no se recuperaron superficies de articulaciones. Tampoco se recuperaron huesos del cráneo para poder observar modificaciones.



Figura 13.3 Huesos del Entierro 4, Estructura 13Q-4 (Foto por Yann Dessailly-Chanson)

Inventario de huesos

Los huesos fueron analizados de acuerdo a los lineamientos definidos en los *Standards* de Buikstra y Ubelaker (1994), por lo que se usaron códigos de letras en idioma inglés:

| | |
|---------------------------------------|---|
| Lado | L (izquierdo) R (derecho) B (ambos) M (medio) ? (indeterminado) |
| Segmento | PE (epífisis proximal) P1/3 (tercio proximal de diáfisis) M1/3 (tercio medio de diáfisis) D1/3 (tercio distal de diáfisis) DE (epífisis distal) B (cuerpo vertebral o centrum) NA (arco neural) |
| Porcentaje del tamaño original | 1 (75-100% completo) 2 (25-75% completo) 3 (menos del 25% completo) |

Tabla 13.1 Restos óseos humanos recuperados en 2006 (Entierro 1 y otros lotes)

| Contexto | Hueso | Lado | Segmento | % | M NI | Conteo | Edad | Sexo | Notas |
|---------------|--|------|----------|---|---------|--------|------|-------------------------|--|
| CR-01A-1-2-32 | molar superior (M1 o M2) | L | | 2 | 1 | 1 | | | |
| CR-01A-1-2-32 | molar inferior (M1 o M2) | ? | | 2 | 1 | 1 | | | |
| CR-01A-1-2-32 | molar inferior (M1 o M2) | ? | | 2 | 1 | 1 | | | |
| CR-01A-1-2-32 | (tercer?) molar | ? | | 1 | 1 | 1 | | | capa de perla en la raíz |
| CR-01A-1-2-32 | (tecer?) molar | ? | | 1 | 1 | 1 | | | |
| CR-01A-1-2-32 | premolar inferior | ? | | 1 | 1 | 1 | | | |
| CR-01A-1-2-32 | premolar inferior | ? | | 2 | 1 | 1 | | | |
| CR-01A-1-2-32 | canino (superior?) | ? | | 2 | 1 | 1 | | | |
| CR-01A-1-2-32 | incisivo inferior | ? | | 2 | 1 | 1 | | | |
| CR-01A-1-2-32 | incisivo central superior | ? | | 1 | 1 | 1 | | | inciso, sin incrustación |
| CR-01A-1-2-32 | fragmentos no identificados | | | | 1 | muchos | | | |
| CR-01A-1-2-32 | fragmentos de cráneo | | | | 1 | 12 | | | |
| CR-01A-1-2-32 | frontal | M | | 3 | 1 | 1 | | 1 margen supra-orbital) | Fragmento pequeño, por lo que puede ser borde de acetábulo |
| CR-01A-1-2-32 | fragmentos vertebrales | M | | 3 | 1 | 2 | | | |
| CR-01A-1-2-32 | fragmentos de costilla (medios) | ? | | 3 | 1 | 10 | | | |
| CR-01A-1-2-32 | fragmentos de costilla (extremos esternales) | ? | | 3 | 1 | 1 | | | edad no determinada |
| CR-01A-1-2-32 | rótula | L? | | 2 | 1 | 1 | | | |
| CR-01A-1-2-32 | Fragmentos de huesos largos no identificados | | | | 1 | 16 | | | |
| CR-01A-1-2-32 | tibia | ? | D1/3, DE | 3 | 1 | 1 | | | |
| CR-01A-1-2-32 | radio | ? | PE | 3 | 1 | 1 | | | |
| CR-01A-1-2-32 | radio | ? | PE | 3 | 1 | 1 | | | |
| CR-01A-1-2-32 | radio | ? | M1/3 | 3 | 1 | 2 | | | |
| CR-01A-1-2-32 | radio | ? | D1/3 | 3 | 1 | 1 | | | |
| CR-01A-1-2-32 | cúbito | ? | D1/3 | 3 | 1 | 1 | | | |
| CR-01A-1-2-32 | cúbito | ? | M1/3 | 2 | 1 | 2 | | | |
| CR-01A-1-2-32 | cúbito | ? | P1/3 | 2 | 1 | 1 | | | |
| CR-01A-1-2-32 | astrágalo | L | | 1 | 1 | 1 | | | |
| CR-01A-1-2-32 | primer falange proximal del pié | ? | | 3 | 1 | 1 | | | |
| CR-01A-1-2-32 | falange proximal del pié | ? | | 3 | 1 | 1 | | | |
| CR-01A-1-2-32 | falange proximal del pié | ? | | 3 | 1 | 1 | | | |
| CR-01A-1-2-32 | primer metatarso | ? | | 3 | 1 | 1 | | | |
| CR-01A-1-2-32 | metatarso (dígitos 2-4) | ? | | 1 | 1 | 1 | | | |
| CR-01A-1-2-32 | metatarso (dígitos 2-5) | ? | | 2 | 1 | 1 | | | |
| CR-01A-1-2-32 | metatarso (dígitos 2-5) | ? | | 2 | 1 | 1 | | | |
| CR-01A-1-2-32 | metatarso (dígitos 2-5) | ? | | 3 | 1 | 1 | | | |
| CR-01A-1-2-32 | metatarso (dígitos 2-5) | ? | | 3 | 1 | 1 | | | |
| CR-01A-1-2-32 | metatarso (dígitos 2-5) | ? | | 2 | 1 | 1 | | | |
| CR-01A-1-2-32 | grande del carpo (capitatum) | L | | 1 | 1 | 1 | | | |
| CR-01A-1-2-32 | semilunar | L | | 1 | 1 | 1 | | | |
| CR-01A-1-2-32 | piramidal | R | | 2 | 1 | 1 | | | |
| CR-01A-1-2-32 | primer metacarpo | L? | | 3 | 1 | 1 | | | |
| CR-01A-1-2-32 | metacarpo (dígitos 2-5) | ? | | 2 | 1 | 1 | | | |
| CR-01A-1-2-32 | quinto metacarpo | ? | | 3 | 1 | 1 | | | |
| CR-01A-1-2-32 | falange proximal de mano | ? | | 2 | 1 | 1 | | | |

| | | | | | | | | | |
|---------------|--|---|--|---|---|----|--|--|------------------------------|
| CR-01A-1-2-32 | falange proximal de mano | ? | | 2 | 1 | 1 | | | |
| CR-01A-1-2-32 | falange intermedia de mano | ? | | 1 | 1 | 1 | | | |
| CR-01A-1-2-32 | falange intermedia de mano | ? | | 1 | 1 | 1 | | | |
| CR-01A-1-2-32 | falanges de mano | ? | | 2 | 1 | 4 | | | |
| CR-01A-1-2-32 | huesos de pie y mano no identificados | | | | 1 | 10 | | | |
| CR-01A-1-1-29 | fragmentos de huesos largos no identificados | | | | 1 | 2 | | | probablemente de fémur/tibia |
| CR-01A-1-1-29 | molar superior (M1 o M2) | R | | 1 | 1 | 1 | | | |
| CR-01B-2-2-9 | molar inferior (M1 o M2) | R | | 2 | 1 | 1 | | | |

Tabla 13.2 Restos óseos humanos recuperados en 2010 (Entierro 2, CR-14A)

| Lote | Bolsa | Ubicación en Tumba | Hueso | Lado | Segmento | % | M NI | Conteo | Notas |
|-------------|-------|--------------------|--|------|----------|---|------|--------|---|
| CR-14A-1-21 | 1 | lado oeste | tercer metacarpo | R | | 3 | 1 | 1 | |
| CR-14A-1-21 | 1 | lado oeste | costilla (medio) | ? | | 3 | 1 | 2 | |
| CR-14A-1-21 | 1 | lado oeste | fragmentos vertebrales | | | 3 | 1 | 2 | |
| CR-14A-1-21 | 1 | lado oeste | fragmentos vertebrales (lumbar?) | M | NA | 3 | 1 | 2 | |
| CR-14A-1-21 | 1 | lado oeste | fragmentos no identificados | | | | 1 | 10 | |
| CR-14A-1-21 | 1 | lado oeste | fragmento de hueso largo no identificado | | | | 1 | 1 | |
| CR-14A-1-21 | 1 | lado oeste | fémur (cuello femoral) | ? | P1/3 | 3 | 1 | 1 | |
| CR-14A-1-21 | 1 | lado oeste | sacro (extremo inferior) | M | | 3 | 1 | 1 | puede ser del esternón |
| CR-14A-1-21 | 2 | lado oeste | fragmento de hueso largo no identificado | | | | 1 | 9 | |
| CR-14A-1-21 | 2 | lado oeste | fragmento de hueso largo no identificado | | | 3 | 1 | 3 | posible radio o cúbito |
| CR-14A-1-21 | 3 | esquina sureste | fragmentos craneanos | | | | 1 | 13 | 11 fragmentos cubiertos con pigmento rojo |
| CR-14A-1-21 | 4 | lado oeste | fragmento no identificado | | | 3 | 1 | 1 | etiqueta indica que es del foramen magnum |
| CR-14A-1-21 | 5 | lado oeste | acetábulo | ? | | 3 | 1 | 1 | puede ser omóplato (fosa glenoidea) |
| CR-14A-1-21 | 5 | lado oeste | ilíaco o isquion | ? | | 3 | 1 | 1 | puede ser omóplato (proceso acromio) |
| CR-14A-1-21 | 6 | lado oeste | costilla (medio) | ? | | 3 | 1 | 3 | |
| CR-14A-1-21 | 6 | lado oeste | fragmento no identificado | | | | 1 | 1 | too cylindrical to be a rib; might not be human |
| CR-14A-1-21 | 8 | | fragmento de hueso largo no identificado | | | | 1 | 1 | |
| CR-14A-1-21 | 9 | lado oeste | falange intermedia de mano | ? | | 2 | 1 | 1 | |
| CR-14A-1-21 | 10 | esq. sureste | fragmento de hueso largo no identificado | | | | 1 | 3 | |
| CR-14A-1-21 | 10 | Esq. sureste | fragmento no identificados | | | | 1 | 6 | |

| | | | | | | | | | |
|-------------|----|-----------------|--|----|------|---|---|-----|--|
| CR-14A-1-21 | 10 | esquina sureste | fragmentos craneales | | | | 1 | 4 | 2 fragmentos cubiertos con pigmento rojo |
| CR-14A-1-21 | 10 | esquina sureste | radio | R | DE | 3 | 1 | 1 | puede ser omóplato (proceso acromion) |
| CR-14A-1-21 | 10 | esquina sureste | fragmento no identificado | | | | 1 | 1 | puede ser clavícula (extremo medial) |
| CR-14A-1-21 | 10 | esq. sureste | peroné | L? | DE | 3 | 1 | 1 | |
| CR-14A-1-21 | 11 | lado oeste | fragmento no identificados | | | | 1 | 134 | |
| CR-14A-1-21 | 11 | lado oeste | falange de mano | ? | | 2 | 1 | 1 | |
| CR-14A-1-21 | 12 | lado oeste | rótula | ? | | 2 | 1 | 1 | |
| CR-14A-1-21 | 13 | lado oeste | radio | ? | M1/3 | 3 | 1 | 1 | puede ser cúbito |
| CR-14A-1-21 | 13 | lado oeste | radio | ? | M1/3 | 3 | 1 | 1 | puede ser cúbito |
| CR-14A-1-21 | 14 | esq. sureste | primer falange distal de pié | ? | | 1 | 1 | 1 | |
| CR-14A-1-21 | 15 | esq. sureste | primer falange proximal de pié | ? | | 1 | 1 | 1 | |
| CR-14A-1-21 | 16 | esq. sureste | primer metatarso | ? | | 2 | 1 | 1 | |
| CR-14A-1-21 | 17 | lado oeste | falange intermedia de mano | ? | | 1 | 1 | 1 | |
| CR-14A-1-21 | 18 | lado oeste | ganchoso o unciforme | R | | 1 | 1 | 1 | |
| CR-14A-1-21 | 19 | lado oeste | falange proximal de mano | ? | | 2 | 1 | 1 | |
| CR-14A-1-21 | 21 | lado oeste | falange proximal de mano | ? | | 1 | 1 | 1 | pigmento rojo en superficie dorsal |
| CR-14A-1-21 | 22 | lado oeste | metacarpo (dígitos 2-5) | ? | | 3 | 1 | 1 | |
| CR-14A-1-21 | 23 | lado oeste | metacarpo (dígitos 2-5) | ? | | 2 | 1 | 1 | |
| CR-14A-1-21 | 24 | lado oeste | falange intermedia de mano | ? | | 1 | 1 | 1 | |
| CR-14A-1-21 | 25 | esq. sureste | metatarso (dígitos 4 or 5) | R? | | 2 | 1 | 1 | |
| CR-14A-1-21 | 26 | lado oeste | costilla (11 o 12) | L? | | 3 | 1 | 1 | |
| CR-14A-1-21 | 27 | lado oeste | cúbito | R | PE | 3 | 1 | 1 | |
| CR-14A-1-21 | 28 | lado oeste | costilla (medio) | ? | | 3 | 1 | 1 | |
| CR-14A-1-21 | 29 | lado oeste | primer metacarpo | R | | 1 | 1 | 1 | pigmento rojo en superficie dorsal |
| CR-14A-1-21 | 30 | lado oeste | falange proximal de mano | ? | | 1 | 1 | 1 | |
| CR-14A-1-21 | 31 | lado oeste | falange proximal de mano | ? | | 3 | 1 | 1 | puede ser el DE de un cúbito |
| CR-14A-1-21 | 32 | esq. sureste | falange proximal de pié | ? | | 1 | 1 | 1 | |
| CR-14A-1-21 | 33 | lado oeste | piramidal | R | | 1 | 1 | 1 | pigmento rojo en una superficie |
| CR-14A-1-21 | 34 | lado oeste | cuarto metacarpo | R | | 1 | 1 | 1 | |
| CR-14A-1-21 | 35 | lado oeste | fragmento de hueso largo no identificado | ? | | 3 | 1 | 1 | puede ser un peroné (M1/3) |
| CR-14A-1-21 | 36 | lado oeste | falange proximal de pié | ? | | 1 | 1 | 1 | |
| CR-14A-1-21 | 37 | esq. sureste | tercer metatarso | R | | 1 | 1 | 1 | |
| CR-14A-1-21 | 38 | esq. sureste | primer metatarso | L | | 1 | 1 | 1 | |
| CR-14A-1-22 | 7 | lado oeste | radio | ? | PE | 3 | 1 | 1 | |

Tabla 13.3 Restos óseos humanos recuperados en 2010 (Entierro 3, CR-33A)

| Lote | Bolsa | Hueso | Lado | Segmento | % | MNI | Conteo | Notas |
|-------------|-----------|---|------|----------------------|---|-----|--------|----------------------------------|
| CR-33A-20-5 | Diente 1 | incisivo superior | ? | | 1 | 1 | 1 | |
| CR-33A-20-5 | Diente 2 | (cuarto?) premolar superior | ? | | 1 | 1 | 1 | |
| CR-33A-20-5 | Diente 3 | canino (inferior?) | ? | | 1 | 1 | 1 | |
| CR-33A-20-5 | Diente 4 | canino (?) | ? | | 1 | 1 | 1 | |
| CR-33A-20-5 | Diente 5 | molar (inferior?) | R | | 1 | 1 | 1 | |
| CR-33A-20-5 | Huesos 1 | fragmento no identificado | | | | 1 | 13 | |
| CR-33A-20-5 | Huesos 1 | peroné | ? | | 3 | 1 | 1 | |
| CR-33A-20-5 | Huesos 1 | fragmento de hueso largo no identificados | ? | | 3 | 1 | 5 | fémur y/o húmero? |
| CR-33A-20-5 | Huesos 2 | fragmento no identificado | | | | 1 | 23 | |
| CR-33A-20-5 | Huesos 2 | metacarpo (dígitos 2-5) | ? | | 1 | 1 | 1 | |
| CR-33A-20-5 | Huesos 3 | fragmento no identificado | | | | 1 | 1 | |
| CR-33A-20-5 | Huesos 4 | metatarso | ? | | 2 | 1 | 2 | |
| CR-33A-20-5 | Huesos 5 | fragmentos no identificados | | | | 1 | 3 | |
| CR-33A-20-5 | Huesos 5 | húmero | R? | P1/3, M1/3 | 2 | 1 | 3 | |
| CR-33A-20-5 | Huesos 6 | fragmentos no identificados | | | | 1 | 3 | |
| CR-33A-20-5 | Huesos 6 | fragmentos mediales de costilla | ? | | 3 | 1 | 3 | |
| CR-33A-20-5 | Huesos 8 | fragmentos no identificados | | | | 1 | 8 | |
| CR-33A-20-5 | Huesos 9 | fragmentos mediales de costilla | ? | | 3 | 1 | 3 | |
| CR-33A-20-5 | Huesos 9 | coxal | ? | | 3 | 1 | 1 | |
| CR-33A-20-5 | Huesos 9 | coxal | ? | | 3 | 1 | 1 | |
| CR-33A-20-5 | Huesos 9 | fragmento no identificados | | | | 1 | 49 | |
| CR-33A-20-5 | Huesos 10 | radio | L | P1/3, M1/3, D1/3 | 1 | 1 | 2 | |
| CR-33A-20-5 | Huesos 11 | metacarpo | ? | | 2 | 1 | 1 | |
| CR-33A-20-5 | Huesos 11 | fragmentos mediales de costilla | ? | | 3 | 1 | 2 | |
| CR-33A-20-5 | Huesos 11 | costilla (cabeza) | L | | 3 | 1 | 1 | |
| CR-33A-20-5 | Huesos 11 | fragmentos no identificados | | | | 1 | 6 | |
| CR-33A-20-5 | Huesos 13 | fragmentos no identificados | | | | 1 | 10 | |
| CR-33A-20-5 | Huesos 13 | omóplato (acromion) | ? | | 3 | 1 | 1 | |
| CR-33A-20-5 | Huesos 14 | fragmentos no identificados | | | | 1 | 7 | |
| CR-33A-20-5 | Huesos 15 | fragmentos no identificados | | | | 1 | 20 | |
| CR-33A-20-5 | Huesos 15 | fragmentos mediales de costilla | ? | | 3 | 1 | 5 | |
| CR-33A-20-5 | Huesos 15 | costilla (cabeza) | R? | | 3 | 1 | 1 | |
| CR-33A-20-5 | Huesos 15 | falange de pie (proximal?) | ? | | 2 | 1 | 1 | |
| CR-33A-20-5 | Huesos 15 | primer falange proximal, mano | ? | | 1 | 1 | 1 | |
| CR-33A-20-5 | Huesos 15 | cúbito | L | PE, P1/3 | 2 | 1 | 2 | |
| CR-33A-20-5 | Huesos 15 | cúbito | R | PE, P1/3, M1/3, D1/3 | 1 | 1 | 3 | |
| CR-33A-20-5 | Huesos 15 | peroné | ? | M1/3 | 3 | 1 | 1 | cúbito? |
| CR-33A-5-4 | | mandíbula | M | | 3 | 1 | 2 | rama ascendente del lado derecho |
| CR-33A-6-6 | Bolsa 1 | fragmentos no identificados | | | | 1 | 5 | |
| CR-33A-6-6 | Bolsa 2 | mandíbula | M | | 3 | 1 | 1 | cuerpo; sin alvéolos |
| CR-33A-6-6 | Bolsa 2 | fragmentos no identificados | | | | 1 | 3 | |
| CR-33A-6-6 | Bolsa 2 | molar inferior (M1 o M2) | L | | 1 | 1 | 1 | |
| CR-33A-6-6 | Bolsa 3 | fragmento no identificados | | | | 1 | 3 | |
| CR-33A-6-6 | Bolsa 4 | tercer metatarso | R | | 1 | 1 | 1 | |
| CR-33A-6-6 | Bolsa 4 | fragmento no identificado | | | | 1 | 1 | |
| CR-33A-6-6 | Bolsa 5 | fragmentos mediales de costilla | ? | | 3 | 1 | 2 | |
| CR-33A-6-6 | Bolsa 6 | molar inferior (M1 o M2) | R | | 1 | 1 | 1 | |
| CR-33A-6-6 | Bolsa 7 | tercer molar | ? | | 1 | 1 | 1 | encontrado en flotación |

Tabla 13.4 Restos óseos humanos recuperados en 2010 (Entierro 4, CR-35C)

| Lote | Ubicación en tumba | Hueso | Lado | Segmento | % | MNI | Conteo | Notas |
|------------|--------------------|--|------|------------------|---|-----|--------|--|
| CR-35C-5-4 | Cuadro 3, Capa 2 | radio | ? | P1/3 | 3 | 1 | 1 | |
| CR-35C-5-4 | Cuadro 3, Capa 2 | costilla (cabeza) | ? | | 3 | 1 | 1 | |
| CR-35C-5-4 | Cuadro 3, Capa 2 | costilla (medio) | ? | | 3 | 1 | 1 | |
| CR-35C-5-4 | Cuadro 6, Capa 2 | fragmento no identificado | | | | 1 | 1 | |
| CR-35C-5-4 | Cuadro 8, Capa 2 | fragmento no identificado | | | | 1 | 1 | |
| CR-35C-5-4 | Cuadro 9, Capa 2 | fragmentos no identificados | | | | 1 | 3 | |
| CR-35C-5-4 | Cuadro 9, Capa 2 | cúbito | ? | P1/3, M1/3, D1/3 | 2 | 1 | 4 | |
| CR-35C-5-4 | Cuadro 11, Capa 2 | vértebra torácica | M | NA | 3 | 1 | 1 | |
| CR-35C-5-4 | Cuadro 11, Capa 2 | vértebra | M | | 3 | 1 | 1 | |
| CR-35C-5-4 | Cuadro 11, Capa 2 | falange proximal, mano | ? | | 1 | 1 | 2 | |
| CR-35C-5-4 | Cuadro 11, Capa 2 | fragmentos no identificados | | | | 1 | 7 | |
| CR-35C-5-4 | Cuadro 14 | falange intermedia de pié | ? | | 1 | 1 | 1 | |
| CR-35C-5-4 | Cuadro 15, Capa 2 | fragmentos no identificados | | | | 1 | 2 | |
| CR-35C-5-4 | Cuadro 16, Capa 2 | fragmentos no identificados | | | | 1 | 2 | |
| CR-35C-5-4 | Cuadro 16 | fragmentos de hueso largo no identificados | | | | 1 | 10 | |
| CR-35C-5-4 | Cuadro 16 | fragmento no identificado | | | | 1 | 1 | |
| CR-35C-5-4 | Cuadro 17 | falange intermedia de mano | ? | | 1 | 1 | 1 | |
| CR-35C-5-4 | Cuadro 17 | fragmentos no identificados | | | | 1 | 17 | |
| CR-35C-5-4 | Cuadro 17 | falange proximal de pié | ? | | 1 | 1 | 1 | |
| CR-35C-5-4 | Cuadro 18, Capa 2 | fragmentos no identificados | | | | 1 | 2 | |
| CR-35C-5-4 | Cuadro 18 | costilla (medio) | ? | | 3 | 1 | 1 | |
| CR-35C-5-4 | Cuadro 18 | falange de mano (proximal o intermedia) | ? | | 2 | 1 | 1 | |
| CR-35C-5-4 | Cuadro 19, Capa 2 | costilla (cabeza) | ? | | 3 | 1 | 1 | |
| CR-35C-5-4 | Cuadro 19 | fragmento de hueso largo no identificados | | | | 1 | 3 | |
| CR-35C-5-4 | Cuadro 19 | incisivo inferior | ? | | 1 | 1 | 1 | |
| CR-35C-5-4 | Cuadro 21, Capa 2 | fragmentos no identificados | | | | 1 | 9 | |
| CR-35C-5-4 | Cuadro 21, Capa 2 | segunda vértebra cervical (C2) | M | B | 2 | 1 | 1 | incluye dens y faceta articular superior izquierda |
| CR-35C-5-4 | Cuadro 21 | fragmento de hueso largo no identificado | | | | 1 | 1 | puede ser húmero |
| CR-35C-5-4 | Cuadro 23, Capa 2 | trapezoide | R | | 1 | 1 | 1 | |
| CR-35C-5-4 | Cuadro 23, Capa 2 | falange distal de mano | ? | | 1 | 1 | 1 | |
| CR-35C-5-4 | Cuadro 23 | fragmentos no identificados | | | | 1 | 3 | |
| CR-35C-5-4 | Cuadro 23 | costilla (medio) | ? | | 3 | 1 | 1 | |
| CR-35C-5-4 | Cuadro 24, Capa 2 | semilunar | L? | | 1 | 1 | 1 | |
| CR-35C-5-4 | Cuadro 24 | fragmentos no identificados | | | | 1 | 7 | |
| CR-35C-5-4 | Cuadro 24 | costilla (cabeza) | ? | | 3 | 1 | 1 | |

ANÁLISIS PRELIMINAR DE LOS RESTOS PALEOBOTÁNICOS DE LA CORONA

Clarissa Cagnato

Introducción

El campo de la paleoetnobotánica tiene como propósito estudiar las relaciones pasadas entre las personas y las plantas. Por lo tanto, el estudio de temas como la subsistencia, los sistemas económicos, las desigualdades sociales y las condiciones ambientales no solo se relacionan con el estudio del uso de las plantas, sino se enriquecen mediante la incorporación de técnicas de recuperación y análisis de restos botánicos como parte de las investigaciones arqueológicas. Por lo tanto la paleoetnobotánica se ha convertido en una línea de investigación muy importante en varias partes del mundo, aunque solo recientemente se ha reconocido su importancia en la arqueología Maya. En los últimos 20 años se han publicado estudios sobre restos botánicos en el área Maya (p.e. Lentz 1991; Miksicek 1983; Turner y Miksicek 1984), pero estos son casos excepcionales, ya que el análisis de restos orgánicos sigue siendo poco sistemático, donde algunas áreas como Belice y Copán han recibido más atención que otras (Goldstein y Hageman 2010; Lentz y Hockaday 2009; Morehart 2005).

Tal como se ha propuesto por Hageman y Goldstein (2009), las técnicas apropiadas para la recuperación de restos macrobotánicos en la región Maya no han sido sistemáticas por la mala noción que los materiales orgánicos nunca se conservan de buena forma. Además, hay que dejar a un lado el enfoque tradicional que define la dieta basada solamente en alimentos tradicionales como los frijoles, el maíz y las calabazas (Goldstein y Hageman 2010), para poder estudiar otros restos macrobotánicos — madera, semillas, nueces, y frutas — y considerar la paleoetnobotánica como una vía importante de investigación que merece ser incluida en las estrategias de investigación que busquen un mejor entendimiento de la dieta de los antiguos mayas.

En este capítulo se presentan los resultados preliminares de las investigaciones llevadas a cabo entre el 17 de Mayo y el 3 de Julio de 2010, tanto en campo como en laboratorio, así como algunas interpretaciones basadas en los datos recolectados.

Objetivos:

Desde las primeras excavaciones y recorridos llevados a cabo en La Corona, este es el primer esfuerzo dirigido a recolectar muestras de suelo para recuperar y analizar restos macrobotánicos del sitio. Este estudio tiene dos objetivos principales: desarrollar un conocimiento inicial de las plantas que se han preservado y establecer qué áreas específicas del sitio proveen cantidades considerables de datos y que pueden ser investigadas de manera más intensiva en el futuro.

Metodología:

Debido a limitantes de tiempo se decidió recolectar muestras de las unidades de excavación que ya estaban abiertas previamente al inicio de este estudio, así como recolectar muestras de excavaciones supervisadas por otros arqueólogos. Las muestras de suelo se tomaron de una variedad de contextos, incluyendo un basurero en un *chultun*, un depósito primario asociado a la Estructura 13R-10, tres entierros, superficies del piso del Palacio 13Q-4 y el contenido de una vasija. Se tomaron otras cuatro muestras del Sibal Jabirú y una del Sibal El Pato (Operación CR 45). También se tomaron dos muestras de la Aguada del Palacio (Operación CR 46), por medio de dos pozos de prueba, uno ubicado en el centro y el otro en la esquina noroeste.

Por un período de dos semanas se tomó un total de 39 muestras, las cuales se colocaron en bolsas de tela y cuyo volumen varió entre 0.5 y 8 litros. Se procesaron y analizaron 25 de estas muestras, cuyos resultados se presentan en este informe. Las otras 15 muestras (Tabla 14.1) se encuentran en el laboratorio del Proyecto La Corona en Guatemala, las cuales serán analizadas en 2011.

El procesamiento de las muestras no pudo realizarse en el sitio, debido a que hubo escasez de agua durante la temporada 2010. Esto impidió entonces poder aplicar cualquier método de flotación, ya que se requiere de grandes cantidades de agua. Por lo tanto las muestras se procesaron en la ciudad de Guatemala, mediante dos métodos de flotación: por cubeta y con asistencia de máquina. El primero se prefirió para muestras pequeñas y frágiles.

| Lote | Contexto |
|------------------|--------------------------------------|
| 16B-1A-5-9 | <i>Chultun</i> Nivel 9 |
| 32D-24 | Estructura 2 |
| 32H-3-2 | Estructura 2 |
| 33A-6-4 | Entierro 3, Estructura 13Q-3 |
| 33A-20-4 | Entierro 3, Estructura 13Q-3 |
| 33A-20-5 | Entierro 3, Estructura 13Q-3 |
| 33D-1-2 | Estructura 13Q-3 |
| 35C-5-4 | Entierro 4, Estructura 13Q-5 |
| 35C-5-4 Capa # 2 | Entierro 4, Estructura 13Q-5 |
| 41-2-2-1 | Grupo 13S-2 |
| 42B-4 | Depósito Especial, Estructura 13R-10 |
| 43-2-4/5 | Estructura 12Q-1 |
| 43-10-2 | Estructura 12Q-1 |
| 45-1-2 | Sibal Jabirú |
| 45-2-2 | Sibal Jabirú |
| 46-2-2 | Aguada Real |

Tabla 14.1 Muestras recolectadas pendientes de análisis

Flotación con máquina SMAP

Se ha definido que el cernido con agua permite recuperar más material que el cernido seco (Fritz 2005), y Hageman y Goldstein (2009) al analizar datos de Belice, han notado que las diferencias en la cantidad de restos botánicos recuperados dependen si se prefiere el cernido húmedo o seco. Sin embargo, independiente de si se usa cualquiera de estos dos, no hay duda que la “recuperación de restos de plantas con cedazos finos es usualmente la más efectiva y eficiente a menos que se encuentren en situaciones permanentes secas o húmedas” (Fritz 2005: 780).

Para este proyecto se usó el cernido con agua para procesar las muestras de suelo, usando una variante de la máquina SMAP (Watson 1976) para separar el suelo de los materiales botánicos. La máquina consiste de un barril plástico que se usa como reserva de agua donde se deposita inicialmente el suelo, el cual después se lava y separa de los restos botánicos y de fauna (Figura 14.1). El agua se introduce a la cámara principal por medio de una manguera, y después se dirige hacia un receptáculo interno con base de cedazo, que captura la “fracción pesada” de la muestra. En este caso, se usó un recipiente removible con un cedazo colocado en el fondo, que sirvió para “contener el suelo que se lava y capturar la fracción pesada flotante” (Pearsall 2000: 47). El tamaño del cedazo para capturar la fracción pesada fue de 1.60 mm. En ocasiones se necesitó agitar manualmente el agua dentro del contenedor, para disolver las muestras de suelo.

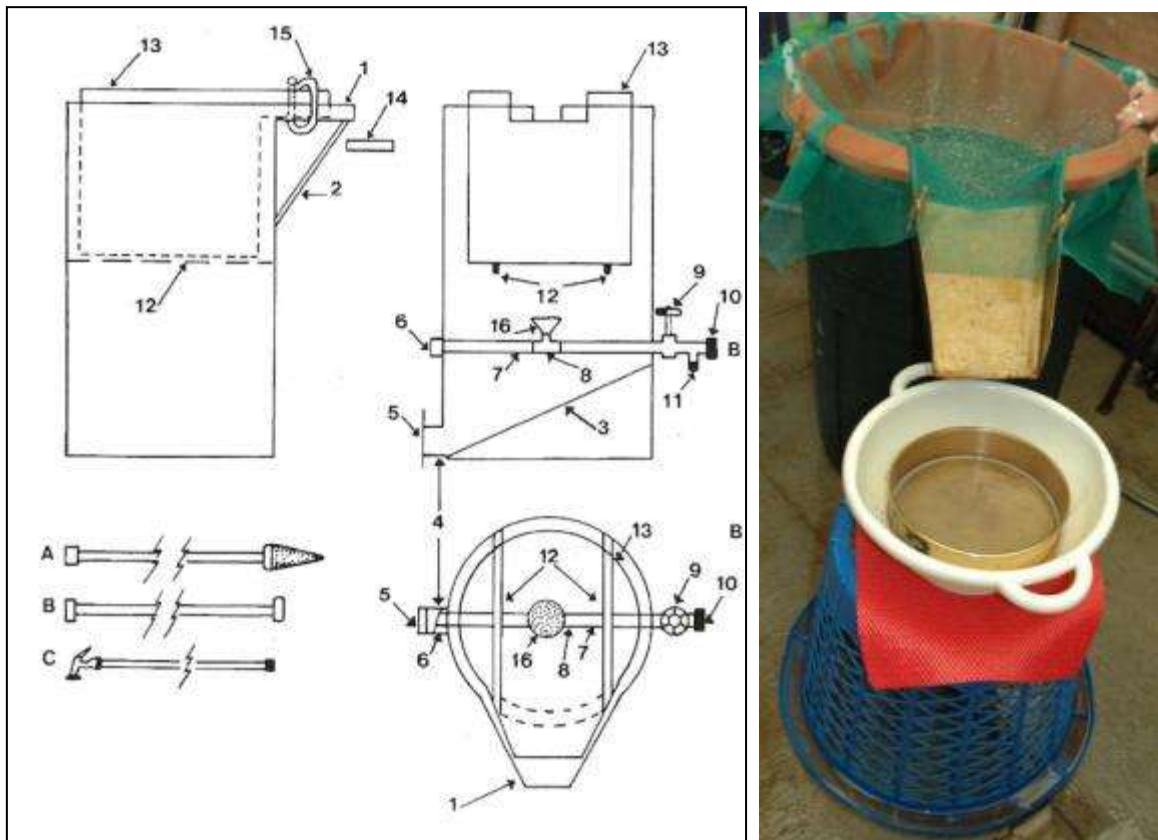


Figura 14.1 Tanque de Flotación según Pearsall (2000: 45) (izquierda) y tanque de flotación usado en este proyecto (derecha), el cual fue levemente modificado, pero manteniendo los mismos componentes principales: A, manguera; B Manguera de descarga. Otros componentes claves son: 1, salida; 5, drenaje; 13, barril; 14 y 15, cedazos geológicos

Una vez que el suelo se ha depositado en el contenedor rígido, el agua que cae hace que los objetos ligeros y flotantes suban a la superficie, lejos de la caja principal, y fluyan hacia un drenaje. Al final del drenaje se colocó un pequeño filtro con un cernidor de 0.355 mm, donde se recolectaron los restos botánicos que forman la llamada “fracción ligera”.

El material recolectado en el tanque fijo se transfirió a una bolsa hecha con cedazo plástico de ventana, mientras que el material recolectado en el filtro del drenaje se transfirió a una tela fina de nylon, para su secado (Figura 14.2).



Figura 14.2 Secado de muestras

No obstante, antes de realizar los pasos ya descritos se deben seguir los siguientes pasos: Todas las muestras de suelo se miden (en litros) y describen (p.e. tipo de suelo, color, textura) antes de colocar todo el contenido dentro del tanque rígido. Además, el barril y todas las partes de la máquina SMAP deben lavarse con una manguera, y ya limpio se llena con agua fresca, para evitar que las muestras se contaminen entre sí.

Método de cubeta

Este método es más simple pero más tardado que el de la máquina SMAP. Las muestras de suelo se colocan en una cubeta con agua, la cual se agita manualmente. Seguidamente se vierte el material flotante sobre una tela geológica o cedazo fino, cuidando de no verter aguas residuales o arena. El proceso se repite cuantas veces sea necesario (pero no menos de 5 a 6 veces) hasta que todos los componentes más ligeros se hayan recuperado en el cedazo (fracción ligera de la muestra). El material que se queda en la cubeta se coloca en un cedazo menos fino (1.6 mm) y se lava con una manguera para remover toda la arena fina, conformando así la fracción pesada de la muestra. Los restos recolectados en el cedazo fino se transfieren a su vez a una tela fina de nylon.



Figura 14.3 Método de cubeta

No importando que método se use, a medida que se lavan las muestras se dejan secar en la sombra y después se colocan en paquetes de papel cuidadosamente sellados, los cuales se guardan en bolsas plásticas re-sellables. Posteriormente se etiquetan individualmente, y ya están listas para el análisis de laboratorio.

Métodos de Laboratorio

Cada muestra individual se pesa en su totalidad. Después se selecciona el tamaño de los cedazos geológicos y se colocan en tamaño descendiente en el siguiente orden: 2.0 mm, 1.0 mm, 0.5 mm, 0.425 mm, 0.355 mm., terminando en la base del recipiente. Cada muestra se coloca en el cedazo superior y el recipiente se agita hasta que todo el material pasa por todos los diferentes cedazos, dividido de acuerdo a su tamaño. Los contenidos de cada cedazo se pesan y se transfieren a recipientes etiquetados individualmente. Además, se llena una forma por cada muestra (Figura 14.4).

Procedimiento de clasificación

Las muestras fueron examinadas bajo una magnificación de 10x a 40x, usando un microscopio estereoscópico. Como este fue un análisis preliminar, el procedimiento de clasificación consistió en revisar el material de los diferentes tamaños de cedazos para encontrar restos botánicos, que incluyeron madera carbonizada o no carbonizada, semillas, nueces y otros tipos de restos de plantas. Se separaron los huesos, caracoles, conchas y escamas de pez, pero no se cuantificaron, al igual que las pequeñas piedras. También es usual descartar el material carbonizado cuando se analizan sitios abiertos, debido a la contaminación y a la poca probabilidad de preservación en largos períodos de tiempo (Gremillion 2008). Sin embargo, en este caso también se cuantificó el material carbonizado, aunque se registró por separado. El proceso de identificación se facilitó al consultar textos como los de Martín y Barkley (1961), y Lentz y Dickau (2005), así como la colección de referencia del laboratorio de paleoetnobotánica de la Universidad Washington en San Luis. Las semillas se identificaron preliminarmente hasta el nivel de familia, y cuando fue posible, hasta el nivel de género. Cuando no se pudo identificar a ningún nivel, los fragmentos de semillas se colocaron en la categoría de “no identificado”. Los desconocidos se clasificaron solo cuando fueron mayores de 2 mm, y la madera carbonizada y no carbonizada se contó pero no se identificó su taxonomía. Los resultados preliminares que se discuten a continuación se presentan en las tablas 14.2 y 14.3

Hoja de Análisis de Restos Macrobotánicos
Proyecto Arqueológico La Corona

| | | | | |
|---------------------------|--------------|-----------------|------|-----------------------|
| Operación | Suboperación | Unidad | Lote | Nivel |
| Volúmen de suelo (litros) | | Tipo de muestra | | Peso inicial (gramos) |
| Analista | | Fecha | | |

| Mayor de 2.0 mm | Conteo | Peso | Tamaño de sedazo |
|-------------------------|--------|-------|--------------------|
| Madera (carbonizada) | _____ | _____ | _____ 2.00 mm |
| Madera (no carbonizada) | _____ | _____ | _____ 1.00 mm |
| Corteza | _____ | _____ | _____ 0.50 mm |
| Otro tallo | _____ | _____ | _____ 0.425 mm |
| Tallo de caña | _____ | _____ | _____ 0.335 mm |
| Cáscara de nuez | _____ | _____ | _____ Bandeja |
| Otras nueces | _____ | _____ | |
| Nuez (no bellota) | _____ | _____ | _____ TOTAL |
| Bellota | _____ | _____ | |

| Partículas < 2 mm, 0.7 mm | Conteo | Peso |
|-----------------------------|--------|-------|
| Cáscara de bellota | _____ | _____ |
| Corteza de <u>curcubita</u> | _____ | _____ |
| Corteza de <u>lagenaria</u> | _____ | _____ |
| Peso total de Maíz | _____ | _____ |
| Mazorca (completa) | _____ | _____ |
| Mazorca (fragmento) | _____ | _____ |
| Cúpula (completa) | _____ | _____ |
| Salvado | _____ | _____ |
| Embrión | _____ | _____ |

| Peso total de semillas > 2.0 mm | Semillas > 2.0 mm | conteo |
|---------------------------------|-------------------|--------|
| _____ | _____ | _____ |
| _____ | _____ | _____ |
| _____ | _____ | _____ |

| Almidonado desconocido | Peso Residual |
|--------------------------|---------------------------|
| Desconocido a _____ | (0.7-2.0 mm) _____ gramos |
| Desconocido b _____ | |
| Otros (describir): _____ | |
| Concha de caracol _____ | Huesos _____ |
| Otra concha _____ | Piedra/sedimento _____ |
| Tiestos _____ | No carbonizados _____ |

Figura 14.4 Forma de análisis de laboratorio

| Op Sub/Op/Flt | Content | Volume (L) | HF/FF | Seeds (Combined) | | Seed (Uncombined) | | Flower pods | | Pesticid | | Unknowns |
|-----------------|-------------------------------------|------------|-------|------------------|--------------|-------------------|--------------|-------------|---------|------------|---------|----------|
| | | | | Unidentified | Ident. Frug. | Unidentified | Ident. Frug. | Carbonized | Uncomb. | Carbonized | Uncomb. | |
| 12A-148 | RICE in TONS | 0.5 | HF | 0 | 0 | 0 | 0 | 0 | 0 | 0 | 0 | 0 |
| 12A-104 | INVERTED CONCRETS | 1 | HF | 0 | 0 | 0 | 0 | 0 | 0 | 0 | 0 | 0 |
| 14A-21 | Soil below gate in TONB | 0.5 | HF | 7 | 2 | 0 | 0 | 2 | 0 | 1 | 0 | 2 |
| 16B-1A-5-1 | Duckton Level 1 | 2 | HF | 4 | 0 | 0 | 0 | 0 | 0 | 0 | 0 | 0 |
| 16B-1A-5-6 | Duckton Level 6 | 5 | HF | 0 | 0 | 0 | 0 | 0 | 0 | 0 | 0 | 0 |
| 16B-1A-5-7 | Duckton Level 7 Bag 1 | 2 | HF | 2 | 0 | 0 | 0 | 0 | 0 | 0 | 0 | 0 |
| 16B-1A-5-7 | Duckton Level 7 Bag 2 | 2 | HF | 4 | 0 | 0 | 0 | 0 | 0 | 0 | 0 | 0 |
| 16B-1A-5-6 | Duckton Level 6 | 2 | HF | 15 | 7 | 0 | 0 | 0 | 0 | 0 | 0 | 0 |
| 16B-1A-5-10 | Burned soil Level 10 | 1 | HF | 0 | 2 | 0 | 0 | 1 | 0 | 0 | 0 | 0 |
| 16B-1A-5-10 | Duckton Level 10 | 4 | HF | 0 | 0 | 0 | 0 | 0 | 0 | 0 | 0 | 0 |
| 16B-1A-5-11 (P) | Duckton Level 11 (Pul. soil) | 0.5 | HF | 9 | 4 | 0 | 0 | 0 | 0 | 0 | 0 | 0 |
| 16B-1A-5-11 | Duckton Level 11 | 8 | HF | 0 | 0 | 0 | 0 | 0 | 0 | 0 | 0 | 0 |
| 16B-1A-5-11 (A) | Duckton Level 11 (Asoy soil) | 0.5 | HF | 1 | 0 | 0 | 0 | 0 | 0 | 0 | 0 | 0 |
| 16B-1A-5-12 | Duckton Level 12 | 5 | HF | 1 | 0 | 0 | 0 | 0 | 0 | 0 | 0 | 0 |
| 16B-2 | Deposite from soil (Asoy) | 4 | HF | 3 | 0 | 0 | 0 | 1 | 0 | 0 | 0 | 0 |
| 16B-2 | Deposito from soil (Belon) | 4 | HF | 0 | 0 | 0 | 0 | 0 | 0 | 0 | 0 | 0 |
| 16B-6 | Floor of P-3000 (top on interior W) | 2 | HF | 10 | 0 | 0 | 0 | 0 | 0 | 0 | 0 | 0 |
| 16B-10 | Floor of P-3000 | 4 | HF | 1 | 0 | 0 | 0 | 0 | 0 | 0 | 0 | 0 |
| 16B-3 | Floor of P-3000 (Bascon) | 2 | HF | 4 | 0 | 0 | 0 | 0 | 0 | 0 | 0 | 0 |
| 16B-1A-5-10 | Str. 3 Bascon | 2 | HF | 2 | 0 | 0 | 0 | 0 | 0 | 0 | 0 | 0 |
| 16B-1A-5-10 | Str. 5 Bascon NW Corner | 2 | HF | 0 | 0 | 0 | 0 | 0 | 0 | 0 | 0 | 0 |
| 16B-1A-5-10 | Soil | 2 | HF | 0 | 0 | 0 | 0 | 0 | 0 | 0 | 0 | 0 |
| 16B-1A-5-2 | Agosto Husk | 1 | HF | 0 | 0 | 0 | 0 | 0 | 0 | 0 | 0 | 0 |
| TOTAL | | | | 71 | 18 | 5 | 0 | 12 | 3 | 1 | 0 | 35 |

Tabla 14.2c Conteo de restos botánicos recuperados y analizados

Resultados

Antes de presentar los resultados se debe indicar que son de carácter preliminar y los datos pueden estar sesgados hacia ciertos contextos, como resultado del número de muestras recolectado de ciertas áreas, así como el volumen de suelo recuperado. Sin embargo, estos resultados indican que los restos botánicos si pueden ser recuperados y que proveen las bases para estudios futuros.

La evidencia más frecuente fue el de piezas de madera carbonizada, con una presencia del 72%, que corresponde al “porcentaje de ocurrencia de muestras de un taxón en particular” (Fritz 2005:793). La gran mayoría de la madera carbonizada provino del *chultun*, aunque algunos fragmentos de plantas también se recuperaron de los contextos funerarios y del interior del *incensario*. La madera no carbonizada no fue común (presencia del 24%), y de manera similar a la madera carbonizada, se encontró más en asociación con muestras de suelo del *chultun* y el *incensario*.

Se encontró maíz principalmente en la forma de cúpulas, tanto completas (n=14) como fragmentadas (n=6). Con la excepción de una cúpula entera encontrada en el piso del Palacio 13Q-4, todas fueron recuperadas del *chultun*. Un grano entero y nueve fragmentos de granos también se recuperaron mayormente del *chultun*, aunque un fragmento de grano se recuperó del relleno bajo el depósito primario. El material de mazorcas también fue numeroso, pero nuevamente solo estuvo presente en los suelos recolectados del interior del *chultun*.

Las semillas carbonizadas fueron numerosas, sumando un total de 120. En general, 50 de éstas fueron identificadas (42%), y los resultados indican que las plantas recuperadas conforman una variedad de familias. Se recuperaron 41 semillas no carbonizadas, identificándose un total de 35 (85%), así como 6 fragmentos de semilla sin identificar. También se recuperaron vainas de flores carbonizadas y no carbonizadas, así como un pedicelo carbonizado. Hubo varios elementos desconocidos en las muestras, los cuales estaban demasiado fragmentados o no mostraron suficientes rasgos para poder clasificarlos como semillas u otras partes botánicas. En cuanto a la madera, no pudo ser identificada y se puede decir poco sobre ella, por lo que se espera tener el apoyo de especialistas en ese tema.

Las muestras de suelo tomadas de los Entierros 3 y 4 de las Estructuras 13Q-3 y 13Q-5, respectivamente, indican diferentes composiciones botánicas para ambos contextos. En los dos entierros se encontraron semillas carbonizadas no identificadas, pero solamente en el Entierro 3 se encontraron seis vainas de flor. Estas fueron relativamente pequeñas, alrededor de 2 cm de ancho, y tienen entre 4 y 5 pétalos cada una. La mayoría de las flores todavía tenían los pedúnculos/pedicelos aferrados, midiendo entre 2 y 3 mm de largo. Fueron raros las vainas y pedicelos de flores, y solamente se encontraron limitadas a las muestras del *incensario* y *chultun*.

Además de las vainas de flores, las muestras del Entierro 4 incluyeron una semilla de la familia *Solanaceae*. La semilla en sí no estaba bien conservada, pero en base al tamaño y la morfología general parece difícil que se trate de tabaco (*Nicotiana* sp.), por lo que es más probable que sea del género *Solanum* o *Capsicum* (i.e. familiares del tomate y chile pimiento).

El número total de muestras del *chultun* fue el más numeroso. El *chultun* se localizó al norte de la Estructura 13R-10, y en la plaza del Grupo 13R-2 (Ver Capítulo 10 de este informe). La mayoría de los restos de maíz y todos los de frijol (representado por un frijol entero y ocho fragmentos) estuvieron asociados con los niveles más bajos del *chultun*, y como ya se ha mencionado, el *chultun* fue el más rico en cuanto a número de semillas recuperadas, tanto identificables como no identificados. Las semillas encontradas en el *chultun* incluyen dos tipos de semillas carbonizadas de la familia *Asteraceae*. (Figura 14.5) Las semillas del Tipo A son aquenios de dos lados, obovoides y comprimidos, midiendo 13 mm de largo por 0.4 mm de ancho. Aunque se parecen a las semillas *Baltimora recta*, son un poco más grandes en tamaño. Las semillas de *Baltimora recta* se han reportado en Cihuatlan (Lentz 1999). Aunque solamente se tiene una semilla de Tipo B, es muy pequeña (1.5 mm x 0.5 mm), tiene cuatro lados y no tiene vilano presente, por lo que no se ha podido identificar el género.

La semilla de la familia *Boraginaceae* es probablemente la drupa o hueso de la especie *Ehretia* sp., comúnmente conocida como *roble* (Lentz y Dickau 2005). El hueso es de 6.0 mm por 5.5 mm, con una superficie rugosa y un interior hueco que es suficiente para varias semillas pequeñas. De acuerdo con Lentz y Dickau (2005: 207), la planta suele usarse para construcción y medicina, y los frutos pueden ser consumidos también, aunque tienden a ser insípidos.



Figura 14.5 Foto de semilla de la familia *Asteraceae* (foto por Clarissa Cagnato)

En la muestra hubo dos tipos de semillas de la familia *Cyperaceae* (Figura 14.6). Dos semillas pertenecen al género *Scirpus* y una al género *Cyperus*. Ambas plantas se asocian a hábitats húmedos (Lentz and Dickau 2005). Los tallos de *Cyperus* sp. son usados para tejer petates, pero al igual que las especies de *Scirpus*, sus tubérculos, raíces y semillas pueden usarse como alimento (Couplan 1998). Aunque su consumo se ha documentado entre los grupos indígenas de Norteamérica, bien pudo ser utilizado por los antiguos Mayas (Fedick 2010). Dos de las semillas se encontraron en un sibal y otra en el *chultun*. La presencia de estas semillas en el sibal no es extraordinaria, dada su preferencia para ambientes húmedos; sin embargo, la presencia de una semilla carbonizada en el *chultun* es interesante. De hecho, en Copan, Lentz (1991) reporta haber encontrado una semilla carbonizada de *Cyperaceae* (*Scleria* sp.) en un contexto de basurero, aunque sugiere que su uso no fue económico.

Las semillas de la familia *Malvaceae* se parecen mucho a las de los géneros *Malva* y *Abutilon*. Goldstein y Hageman (2010) encontraron una semilla similar en un contexto de festejo, y hay referencias etnográficas y etnohistóricas en cuanto a su relación con festividades. Los dos géneros son comestibles como hierbas, y también son útiles para propósitos medicinales. Otras semillas de la familia *Malvaceae* han sido documentadas en el registro paleoetnobotánico (Lentz 1999; Miksicek 1983).



Figura 14.6 Foto de semilla de la familia *Cyperaceae* (foto por Clarissa Cagnato)

Las semillas de la familia *Papaveraceae* son probablemente pertenecientes al género *Argemone*, comúnmente conocido como “*prickly poppy*”. Estas plantas se usan para varias actividades, que incluyen la fabricación de jabón, purgantes y también como alivio para infecciones oculares (Lentz y Dickau 2005). La presencia de dos de estas semillas en el *chultun* es interesante, por lo que debiera profundizarse su estudio.

Se encontraron varias semillas que se etiquetaron como “tipo-maní”, ya que claramente se asemejan a manís con cubierta rugosa, aunque mucho más pequeñas en tamaño, variando de 1.5 a 5 mm de largo, y entre 1.4 a 1.6 mm de ancho. Dentro de este grupo las semillas son extremadamente variables, teniendo una o dos secciones. Típicamente hay dos apéndices puntiagudos en los extremos de las semillas, aunque otras carecen completamente de este rasgo. Su distribución en las muestras es interesante (44%), por lo que vale la pena continuar su estudio para poder identificar de qué especie se trata y sus posibles usos.

Finalmente, se recuperaron tres semillas *Solanaceae*, dos del *chultun*, y una del Entierro 4 de la Estructura 13Q-5. No fue posible identificarlas más allá de la familia por su mal estado de conservación; pero por su forma y su cubierta distintiva (alveolada), que es visible en varias partes de la semilla, fue posible relacionarlas dentro de esta familia. Al igual que la semilla encontrada en el entierro, estas otras no parecen pertenecer a plantas de tabaco. En cuanto a la comparación con otros sitios, en el Área Maya no se han reportado otras semillas de esta familia que no sean *Solanum sp.* y *Capsicum sp.*

Una semilla carbonizada no identificada es de tamaño grande, mide 5 mm x 5 mm, y tiene dos muescas en su lado ventral. Una identificación preliminar puede ser la familia *Apiaceae*, cuyas especies incluyen plantas aromáticas como el cilantro. Sin embargo, sigue desconocida hasta que se estudie más a fondo. Otras semillas no identificadas aparecieron en las muestras, pero son demasiado pequeñas y degradadas como para observar características útiles para su identificación.

Varias plantas no carbonizadas fueron recuperadas en las unidades excavadas en la Aguada Real, que es un reservorio de agua localizado 200 m al suroeste de la Plaza Principal. Dentro de estas muestras se encontraron varias semillas de la familia *Fabaceae*, que son de forma cilíndrica, de unos 2.3 mm por 1.5 mm, superficie rugosa y tienen una depresión o agujero en el centro. Sin embargo se necesita más análisis para identificarlas. Las semillas *Asteraceae* fueron de dos lados, relativamente planas pero levemente curvadas hacia un extremo, y midieron 1.5 mm de largo por 0.5 mm de ancho. Finalmente, se encontró un par de semillas de *Phytolacca* sp., las cuales han sido recuperadas arqueológicamente de Cuello y Pulltrouser Swamp (Lentz 1999). Las especies de *P. rivinoides* y *P. humilis* son conocidas en la región Maya, ya que sus hojas se usan como hierbas comestibles (Lentz y Dickau 2005).

Interpretación

Aunque no todas las muestras recolectadas en esa temporada fueron flotadas y analizadas, si se ha podido mostrar el potencial de recuperar restos botánicos en el sitio de La Corona y en toda la región.

En términos de función los restos de plantas recuperados en el *chultun* sugieren que esa área fue utilizada para colocar comida, en la forma de plantas y animales, tal como lo sugiere la gran cantidad de huesos (ver Capítulo 12 de este informe). Sin embargo todavía no está claro si esto fue el resultado de un uso y/o ocupación a largo plazo o si fue un solo evento grande. Además, hasta ahora no hay evidencia que este *chultun* haya sido usado para la fermentación de frutas, como ha sido propuesto por varios investigadores (Dahlin y Litzinger 1986).

El *incensario* contuvo varias semillas carbonizadas, las cuales no se han podido identificar todavía. Además, se recuperó un pedicelo y dos vainas de flores en la misma muestra. No obstante, hay que tomar en cuenta que la vasija se encontró muy cerca de la superficie y que ha habido varios incendios en el sitio, por lo que el contexto no puede ser un buen indicador del contenido original de la vasija.

El Entierro 3, ubicado en la Estructura 13Q-3, es interesante porque contuvo varias flores carbonizadas. Aunque no está claro cómo se pudieron distribuir las flores en la tumba, su sola presencia es muy sugestiva. Las investigaciones de polen llevadas a cabo en la Tumba Margarita de Copan sugieren que varias plantas rituales se encontraban adornando la plataforma (McNeil et al. 2006), así como otras plantas fueron usadas como decoración en toda la Acrópolis. Por lo tanto las flores bien pudieron estar presentes en las tumbas como formas de decoración, así como para alimentar al difunto “ya sea en la forma de incienso, flores o el aroma de comida cocinada” (Houston y Taube 2000: 271).

Varias de las plantas carbonizadas identificadas en estas muestras seguramente fueron consumidas, y como el maíz y el frijol representan dos de las tres comidas “tradicionales” (la tercera son las calabazas o ayotes), no constituyen elementos sorprendentes. Sin embargo otras plantas como las que pertenecen a las familias *Solanaceae* y *Boraginaceae* son comestibles, pero dado que no se han podido identificar los géneros, ha sido difícil interpretar más acerca de sus usos.

Además, aunque sus contextos sugieran que su función fue ritual o doméstica, todavía no hay una correlación directa entre la forma y los contextos en que aparecen las especies (ver Goldstein y Hageman 2010). Por esa razón, la presencia de las que han sido llamadas especies de hierbas (p.e. semillas de *Cyperaceae*), y otras plantas que no siempre se conocen por sus usos económicos (*Asteraceae*, *Papaveraceae*) bien pudo ser causada por la acción del viento u otras causas naturales.

Especies faltantes

Esta sección es totalmente preliminar, ya que es difícil establecer qué falta cuando no hay suficientes datos comparativos en relación a la región. Sin embargo, se puede notar que no se han identificado restos de la familia *Cucurbitaceae*, y es interesante la ausencia de numerosas especies de árboles frutales. Siempre está la posibilidad que estas anomalías sean causadas por la mala conservación, el tamaño de la muestra o por problemas de identificación. También, la ausencia de evidencia de tubérculos no debe sorprender, ya que no se utilizaron métodos adecuados para su recuperación, como lo es el análisis de almidones.

Conclusión

Todavía queda mucho trabajo por hacer para poder identificar todos los restos de plantas de La Corona, así como su uso, que no necesariamente debe restringirse a uno solo, ya que las plantas pueden proveer comida, refugio, medicina, ornamentos y rituales. Este estudio paleoetnobotánico preliminar de los suelos de La Corona ha mostrado que las antiguas semillas y plantas pueden sobrevivir, por lo que tienen el potencial de informarnos acerca del uso de las plantas y las condiciones ambientales del pasado. Aunque Hageman y Goldstein (2009) indican que las cantidades de restos botánicos no son muy grandes en la región de las Tierras Bajas Mayas, dichos restos si están presentes en La Corona y pueden ser significativos para mejorar nuestra comprensión de sus antiguos habitantes. Por lo tanto, esta primera etapa ha servido como un buen comienzo para continuar recuperando y procesando muestras de suelo. Trabajos futuros incluirán la flotación del resto de muestras de 2010, así como la recolección de más muestras de diferentes contextos.

RESULTADOS GENERALES Y CONCLUSIONES DE LA TEMPORADA DE CAMPO 2010

Marcello A. Canuto y Tomás Barrientos Q.

A continuación se presenta una síntesis de los principales resultados de las investigaciones realizadas en 2010 por parte del Proyecto Regional Arqueológico La Corona (PRALC), que fueron dirigidas por Marcello A. Canuto de MARI/Universidad de Tulane y Tomás Barrientos de la Universidad del Valle de Guatemala. En 2010, PRALC llevó a cabo su tercera temporada de campo con el patrocinio de la *Fundación Seaver*, el *Middle American Research Institute* y la *National Science Foundation*, entre otras instituciones. Se contó con la participación de estudiantes de la Universidad de Pennsylvania, Universidad de Yale, Universidad de Washington de St. Louis, Universidad de Calgary y la Universidad de Montreal. También hay que mencionar la valiosa ayuda de las concesiones AFISAP y GIBOR, ubicadas en San Andrés, Petén, así como la *Wildlife Conservation Society* (WCS). Finalmente, no podemos dejar de mencionar el apoyo recibido por distintas instituciones gubernamentales, en especial la Dirección General del Patrimonio Cultural y Natural y el Consejo Nacional de Áreas Protegidas.

Después de dos temporadas del proyecto PRALC (Canuto y Barrientos 2009, Barrientos y Canuto 2010a, 2010b), se sentaron las bases para continuar el trabajo de manera sistemática y largo plazo en la región, por lo que se inició con la fase final de construcción de infraestructura básica de un campamento permanente, el cual servirá como estación científica tanto para las investigaciones en el sitio de La Corona, sus alrededores y otros proyectos de carácter regional en la zona noroccidental de Petén.

Aquí se presentan resultados preliminares de las actividades científicas realizadas por el proyecto en cuanto al patrón de asentamiento regional, y datos de los sitios El Achiotal y La Corona. Por La Corona, se discutirá la función y desarrollo de las principales edificaciones del sitio, así como su relación con las inscripciones hasta ahora conocidas.

I. ASENTAMIENTO EN LA RBM OCCIDENTAL

La temporada 2010 tuvo como objetivo llevar a cabo un reconocimiento preliminar del área, con el resultado del registro de nuevos sitios (Figura 15.1), enfocándose en hacer un recorrido de la región para recopilar datos relacionados con la facilidad de transporte, logística y el refinamiento de la metodología necesaria para llevar a cabo un proyecto de esta magnitud. Paralelamente a esto se aprovechó para llevar a cabo reconocimientos iniciales en áreas de interés así como visita a sitios reportados anteriormente.

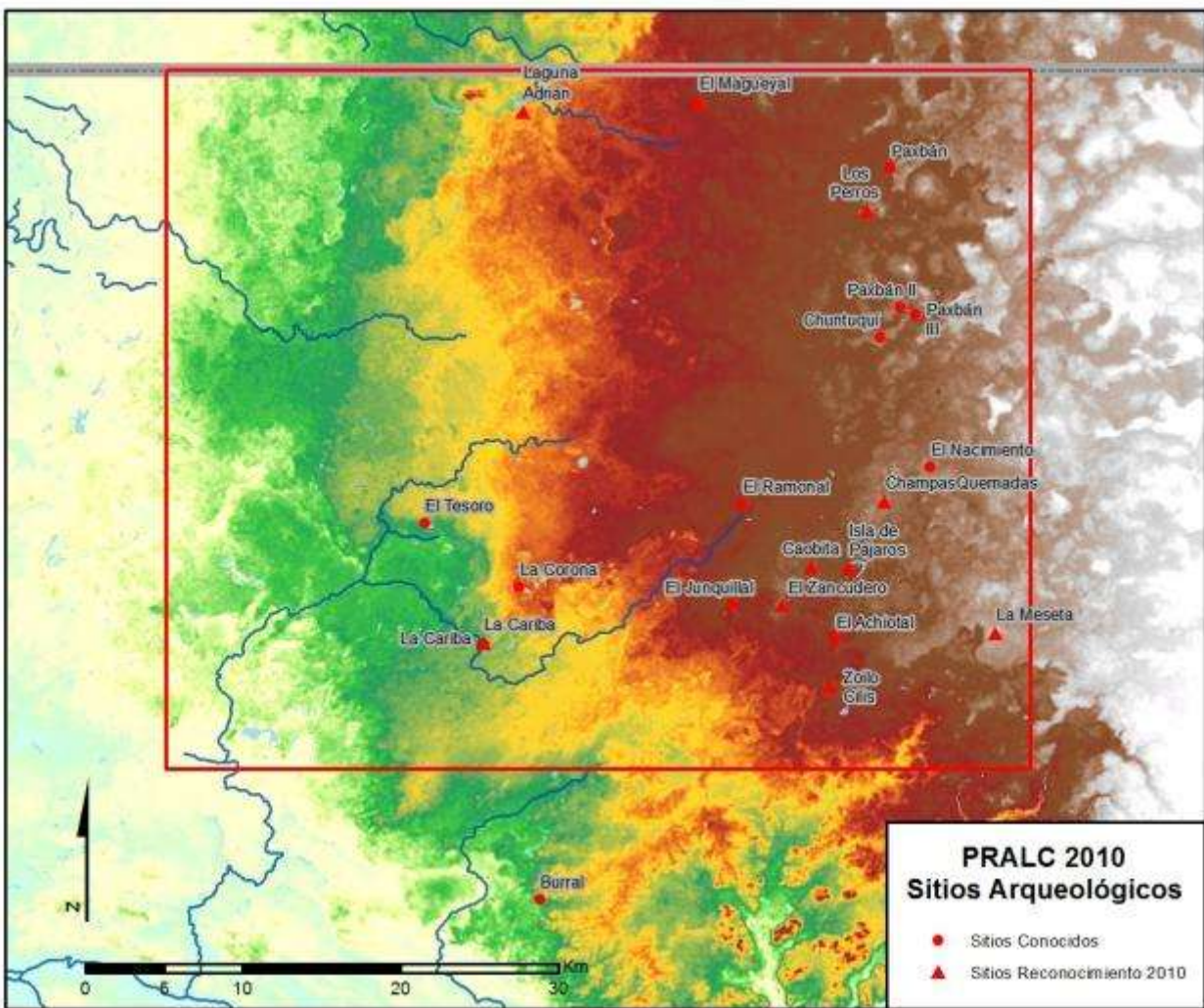


Figura 15.1 Sitios hallados en la zona de estudio PRALC
(Mapa realizado por Carlos Chiriboga)

Identificación de sitios

A pesar del aparente éxito en el uso de imágenes satelitales de alta resolución para identificar sitios en otras áreas de la RBM, la técnica de identificar sitios por medio de su incidencia directa sobre la vegetación actual no ha generado resultados positivos en la zona de estudio de PRALC. En respuesta, nos enfocamos en una clasificación morfológica de la región, concentrándonos en factores de drenaje de suelos con la esperanza que este sea otro factor que explique la predilección de un área prominente sobre otra. La topografía de la región es sumamente quebrada, dominada por topografía kárstica variada en el este y una topografía bastante plana al oeste. La pendiente va de este a oeste, formando un sistema de drenaje único.

Usando el Índice de Posición Topográfica (*Topographic Position Index* o TPI) de la Geomorfometría que compara la elevación de cada celda presente en un Modelo de Elevación Digital (*Digital Elevation Model*) al promedio de elevación de un área específica alrededor de esa célula (Jeness 2007; Weiss 2001), se logró definir las áreas relativamente bajas de la región, las cuales tienden a estar inundadas durante gran parte del año. Mediante la identificación de estas áreas, equivalente a 1270 km² del área de estudio, se pudo eliminar una gran parte del área que se tendría que reconocer en persona. También se identificaron las áreas que se encontraban a más de 5 m por encima del paisaje circundante. Esto definió un área de 302 km² los cuales se mantienen arriba de los niveles normales de inundaciones temporales. De hecho, todos los once sitios (Figura 15.2) identificados dentro de nuestra área de estudio se localizan en estas áreas de prominencia topográfica elevada. Es decir, se hallaron factores topográficos que inciden directamente en la viabilidad de asentamiento humano.

Aunque hace falta llevar a cabo una revisión estadística de la relación, concentrándose en un muestreo de las áreas bajas identificadas con menor probabilidad de asentamiento, esta línea de investigación parece ser prometedora. Además, los sitios identificados parecen ubicarse en puntos estratégicos en los cuales se encuentran extensiones importantes de áreas elevadas en cercanía a grandes extensiones de bajos.

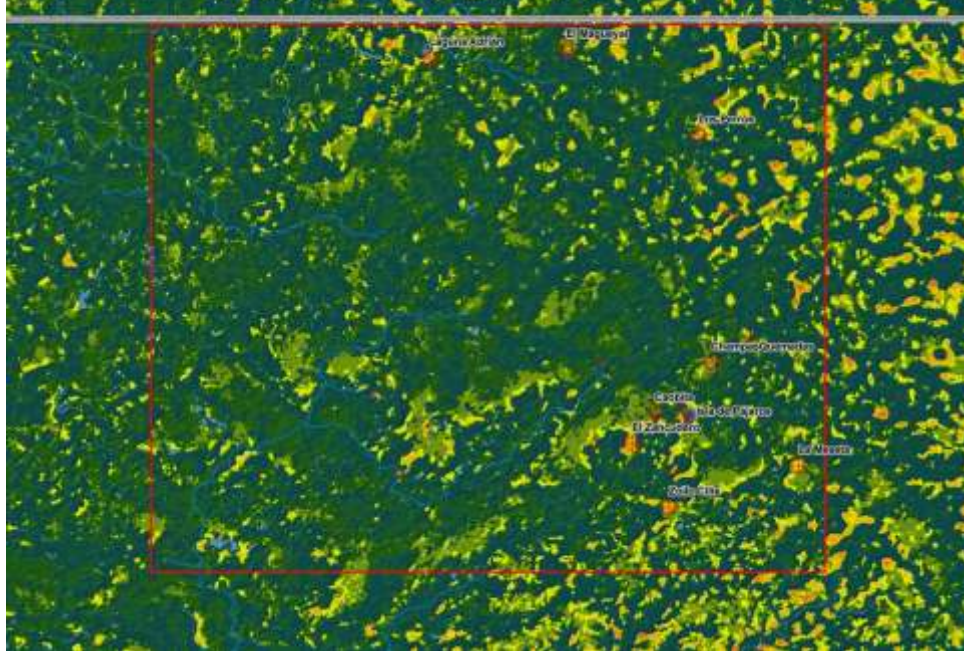


Figura 15.2 Áreas de altura relativa en la zona de estudio PRALC
(Mapa realizado por Carlos Chiriboga)

Cronología

De los nueve sitios identificados durante esta temporada preliminar de reconocimiento, únicamente uno no presentó material cerámico característico del periodo Preclásico. Esto sugiere una importante ocupación preclásica en la región de la RBM occidental con características distintas a las encontradas en la meseta central al este y posiblemente compartiendo muchas similitudes con las ocupaciones preclásicas del suroccidente de Petén.

II. EL ACHIOTAL

Arqueológicamente, las investigaciones preliminares en 2009 demostraron que El Achiotal presenta diferencias notables en cuanto a su patrón de asentamiento e iconografía que lo distingue de otros sitios contemporáneos al este (Figura 15.3). La evidencia cerámica recopilada hasta la fecha indica que el sitio estuvo ocupado desde al menos la faceta temprana del periodo Preclásico Tardío. Más generalmente, las investigaciones indican que desde el Preclásico, este sitio tuvo un linaje real, aludiendo a su importancia durante el periodo crítico del establecimiento y fortalecimiento de la organización política de los mayas. En 2010, los trabajos se enfocaron en las Estructuras 5C-01 y 4C-11 en el Grupo Norte.

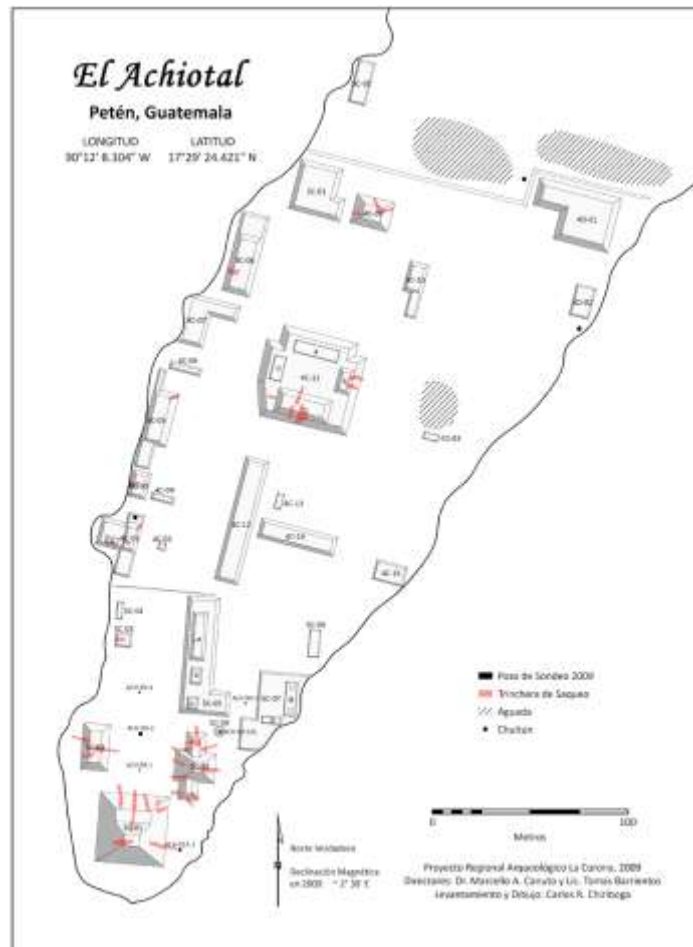


Figura 15.3 Plano de El Achiotal

Estructura 5C-10

La Estructura 5C-01, ubicada en el límite sur es la más grande del sitio y la que hasta ahora indica ser la más importante, tanto ceremonial como políticamente. Las investigaciones sugieren que esta estructura cuenta con una larga secuencia arquitectónica que inicia posiblemente desde el Preclásico Medio. Hasta el momento se han identificado siete etapas constructivas fechadas al Preclásico Tardío hasta la última en el Clásico Temprano. Aún no se tienen datos concretos de la secuencia más temprana. No obstante, esta larga secuencia permite monitorear los cambios en la organización política del sitio, incluyendo los inicios de un linaje.

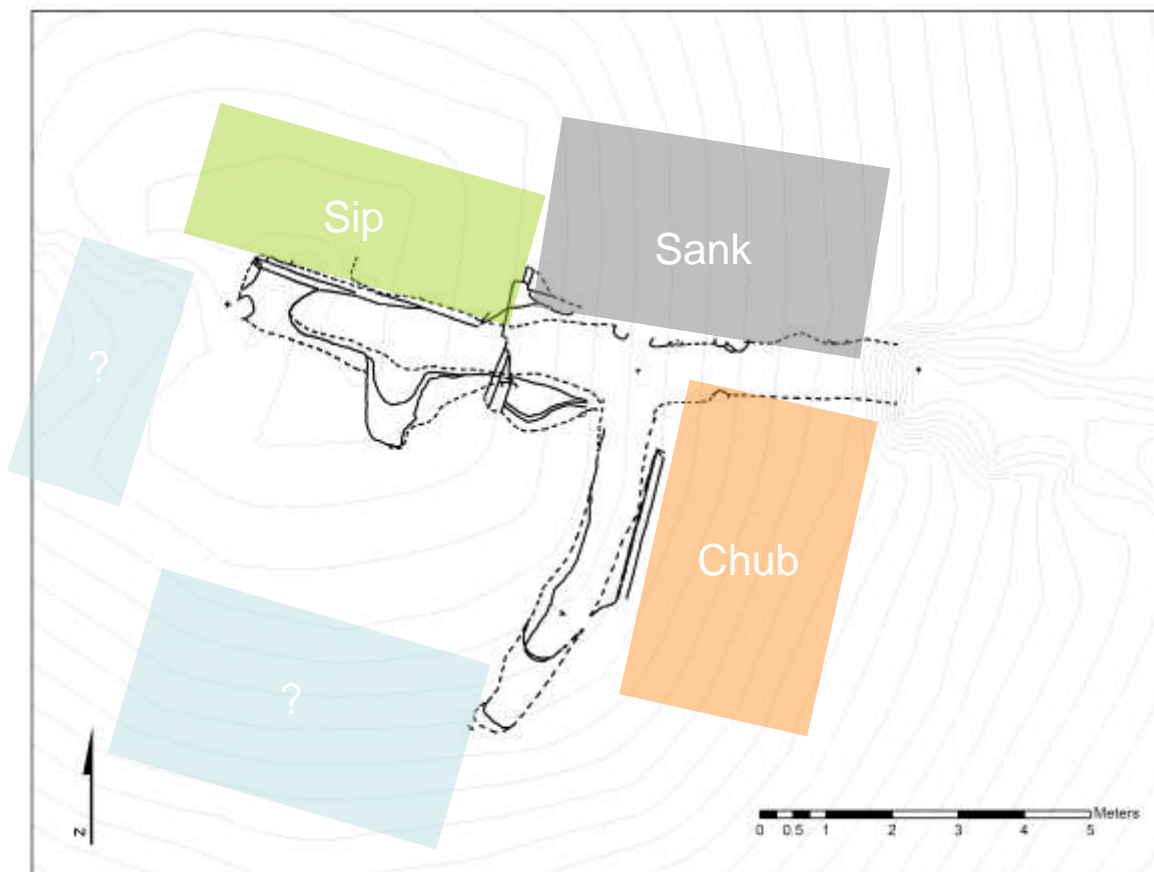


Figura 15.4 Arquitectura de mampostería temprana en El Achiotal
(Mapa realizado por Carlos Chiriboga y Mary Jane Acuña)

Las construcciones de mampostería más tempranas en la Estructura 5C-01, Chub, Sank y Sip, formaban un patio (Figura 15.4). La Estructura Chub tuvo al menos tres cuerpos mientras que la Estructura Sank fue una gran plataforma de un solo cuerpo. La Estructura Sip limitó al norte este patio dando acceso directo a la plaza del Grupo Sur, de manera que la estructura tenía dos puertas, una al norte y una al sur. Aunque sencilla, la estructura estuvo decorada con diseños pintados en rojo sobre las paredes y en las jambas. Esta es la evidencia más temprana, hasta el momento, de un edificio pintado y es una indicación de la importancia que fue adquiriendo el sitio. La Estructura Sip posteriormente fue remodelada y se convierte en la Estructura Jonon, un edificio más grande que cancela parcialmente el grupo de patio más temprano decorado por Mural 1 que representa una máscara portando una diadema real sobre un bulto, rodeada de volutas (Acuña *et al* 2010).

Las investigaciones en 2010 se enfocaron en la definición de la Estructura Jonon e indagar en su posible función. Se descubrieron seis murales más, que lamentablemente se encontraron incompletos debido a que los antiguos habitantes destruyeron los muros al momento de construir la siguiente etapa. Los murales se encuentran en todas las esquinas, la jamba oeste de la puerta norte, y en las partes medias de los muros este y oeste. Curiosamente, la mayor densidad de artefactos fue encontrada en el lado oeste, incluyendo dos fogones, uno asociado con la esquina noreste y otra cerca del mural central del muro oeste. Los murales están pintados en el mismo estilo que el estudio en 2009, y aunque incompletos hay suficiente evidencia que indica que cada mural tenía una representación distinta.

La Estructura Jonon tiene una escalinata de acceso en su fachada norte, de escalones grandes y muy bien estucados sobre los cuales está un mascarón de estuco tallado en el eje central. El mascarón es pequeño, midiendo únicamente 1.3 m de ancho por 0.7 m de alto, y se encuentra en estado de conservación regular.

Por ahora, no ofrecemos una interpretación detallada respecto a lo que simboliza y representa. Si vale la pena mencionar que se ha sugerido (David Freidel, comunicación personal, 2010) que algunos elementos iconográficos son comparables, particularmente rasgos en la boca y las volutas alrededor de ella, a imágenes en los murales de San Bartolo. Sin embargo, el mascarón tiene rasgos que son comparables con otros ejemplos contemporáneos, pero su composición general y tamaño hacen que este mascarón sea inusual, particularmente las partes sobre los ojos. Aunque es aún preliminar, es posible que estos símbolos sean ejemplos tempranos del signo *kab*.

Grupo. 4C-11

Las investigaciones en el norte de El Achiotal fueron enfocadas en el refinamiento de la cronología del sitio, así como la clarificación de la relación entre el Grupo Norte y el Grupo Sur. El Grupo Norte se distingue del grupo sur por su orientación que es 14.5 grados este de norte, mientras que el Grupo Sur presenta una orientación de 4.5 grados este de norte.

Excavaciones en la plaza central del Grupo Norte y en la plataforma del Grupo 4C-11 (Figura 15.5) apoyan las interpretaciones de la importancia del sitio durante el periodo Preclásico Tardío que vienen del parte sur del sitio. También, revelan una fase adicional de ocupación que no aparece en el Grupo Sur.

El Grupo 4C-11 es la construcción más grande del Grupo Norte. Consiste en una gran plataforma de 5 metros de altura con cuatro estructuras ubicadas de manera de grupo de patio en su cima. Un pozo de prueba excavado al centro de la plataforma identificó un gran evento de construcción. Dicha construcción, que abarca la mayoría de la altura de la plataforma, fue construida probablemente durante el periodo Preclásico Medio, identificado por cerámicas de los tipos Zapote Estriado (Sin Engobe), Guitarra Inciso, y Juventud Rojo. Una de las principales características de esta plataforma es su construcción utilizando únicamente tierra proveniente de los bajos que rodean el sitio. La adición de tres pisos sobre la plataforma durante los periodos Preclásico Tardío y Preclásico Terminal-Clásico Temprano sugiere una ocupación ininterrumpida y modificaciones continuas hasta el periodo Clásico Temprano.

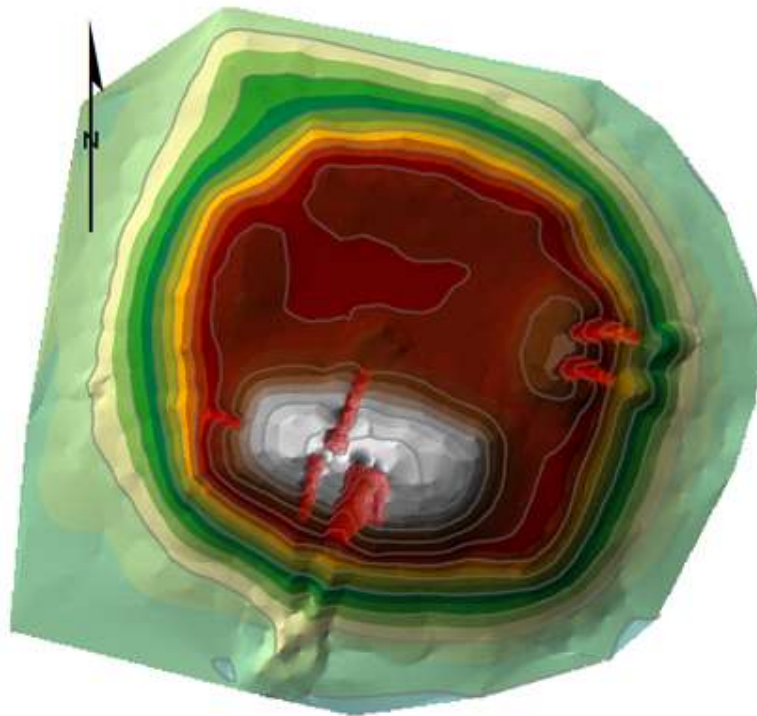


Figura 15.5 Estructura 4C-11, El Achiotal (Mapa realizado por Carlos Chiriboga)

Evidencia de actividad del Clásico Tardío en el Grupo 4C-11 se limita a depósitos sobre el piso final. Esto incluye la fase terminal de construcción de la Estructura 4C-11-C (estructura sur del Grupo Palaciego) la cual fue investigada por las trincheras de saqueadores.

Conclusiones preliminares

Los estudios indican que, efectivamente, El Achiotal fue un sitio en donde se asentó un linaje real durante el Preclásico Tardío. La ubicación, construcción y decoración de las estructuras Sip y Jonon son una indicación de este cambio sociopolítico en el sitio. Aunque falta mucho por investigar en El Achiotal, se considera que la ubicación del sitio fue estratégica en una ruta de comunicación con los sitios Preclásicos del centro-norte de Petén y regiones al oeste, en donde se asentó un linaje que monitoreaba dicho paso, posiblemente también con intereses económicos.

III. LA CORONA

La antigua ciudad *de Sak Nikte'*, ahora conocida como La Corona, se asentó en un terreno rodeado por varios sibales o lagunetas estacionales, que proporcionan un paisaje particular. Aunque no se sabe todavía cuál fue la razón principal para elegir este sitio, se puede especular que además de contar con un suministro considerable de agua, brindó ventajas en cuanto a la presencia de una zona pantanosa con suelos fértiles y que pudo proveer aspectos defensivos.

Generalidades del patrón de asentamiento de La Corona

El epicentro de La Corona está dominado por dos plazas o grupos arquitectónicos principales ubicados en un eje este-oeste (Figura 15.6). Estos grupos, denominados Plaza Principal y Grupo Coronitas, exhiben un patrón formal de arreglo de sus edificios, tomando como base alineaciones a los puntos cardinales. Entre ambos existe otra plaza abierta, la cual contiene varias estructuras sin un arreglo espacial formal, pero que parece incluir algunos templos piramidales de función ritual o funeraria.

Por la presencia de los sibales, el resto de estructuras que conforman el sitio fueron asentadas de acuerdo a la presencia irregular de partes elevadas, por lo que las zonas residenciales se encuentran dispersas por un área bastante extensa. Por consiguiente, el mapa del sitio refleja una densidad muy baja de estructuras residenciales, las cuales serán mapeadas a medida que se extienda el mapa hacia fuera del epicentro. En 2009 el mapa se extendió hacia el oeste y en esta temporada 2010, el trabajo de Rodrigo Guzmán continuó el mapa hacia el sur del sitio, donde se ubicaron algunos grupos y estructuras de regular tamaño en los alrededores del sibal “Colmoyote”. Cabe destacar que al suroeste se detectó la presencia de varios siguanes o hundimientos cársticos que asemejan cenotes.

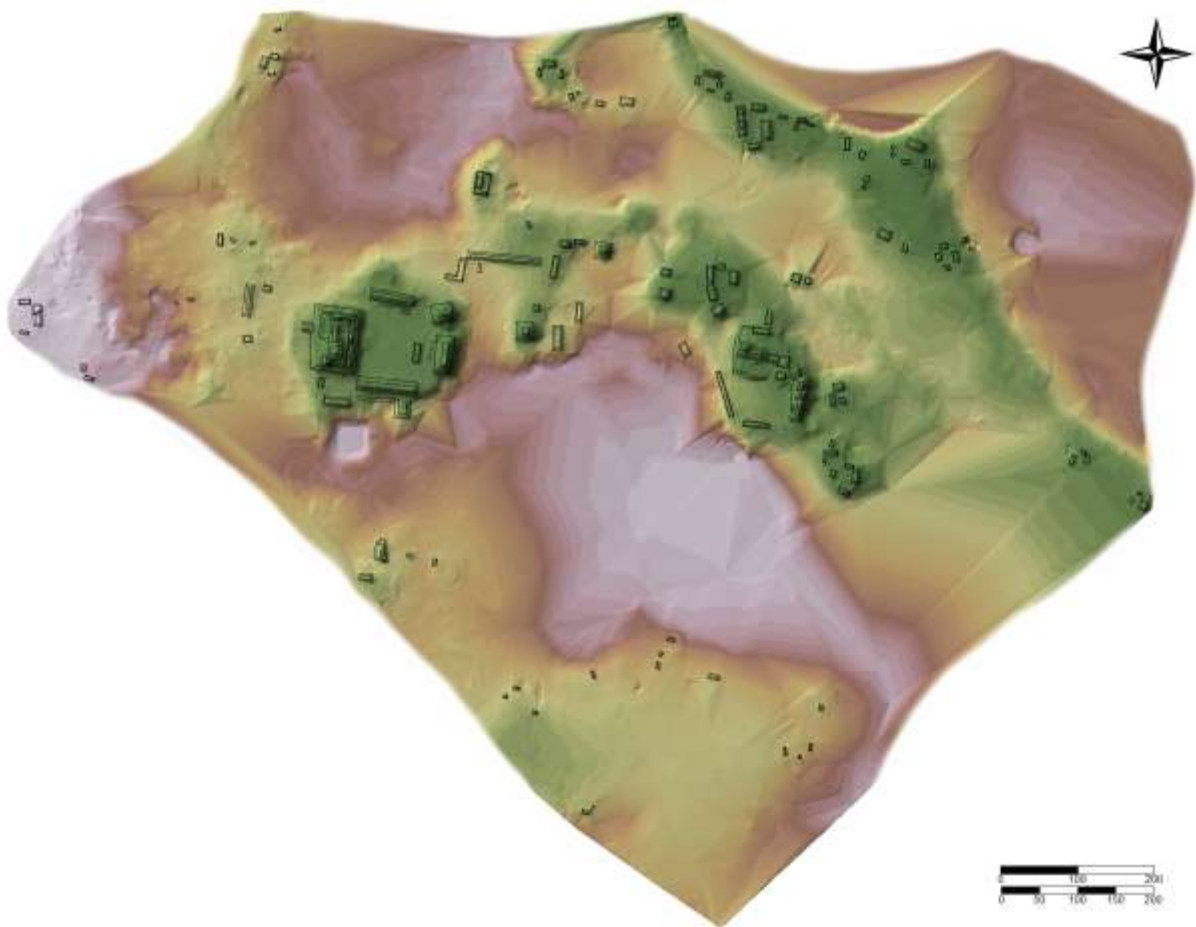


Figura 15.6 Mapa tridimensional de La Corona, 2010
(Mapa realizado por Rodrigo Guzmán, Marcello Canuto y Damien Marken)

La Corona tiene un patrón dual que conforman las dos principales plazas del sitio. La Plaza Principal, ubicada al oeste, presenta aspectos que son bastante comunes a la mayoría de ciudades mayas, como lo es la presencia de las estructuras alargadas 13Q-3 y 13Q-5, que delimitan la plaza al norte y sur. La estructura piramidal 13Q-1 posiblemente sea de tipo funerario y la Estructura 13Q-2 pudo también tener funciones administrativas, rituales y funerarias y su basamento fue extendido para crear un posible patio de Juego de Pelota. La estructura dominante en toda la plaza es el Palacio 13Q-4, tipo Acrópolis. Estos edificios conforman una plaza cuadrangular nivelada, que sirvió para colocar estelas y altares frente a las estructuras ya mencionadas. En el extremo suroeste se encuentra una aguada artificial que sirvió de reservorio para quienes residían en este conjunto (Figura 15.7).

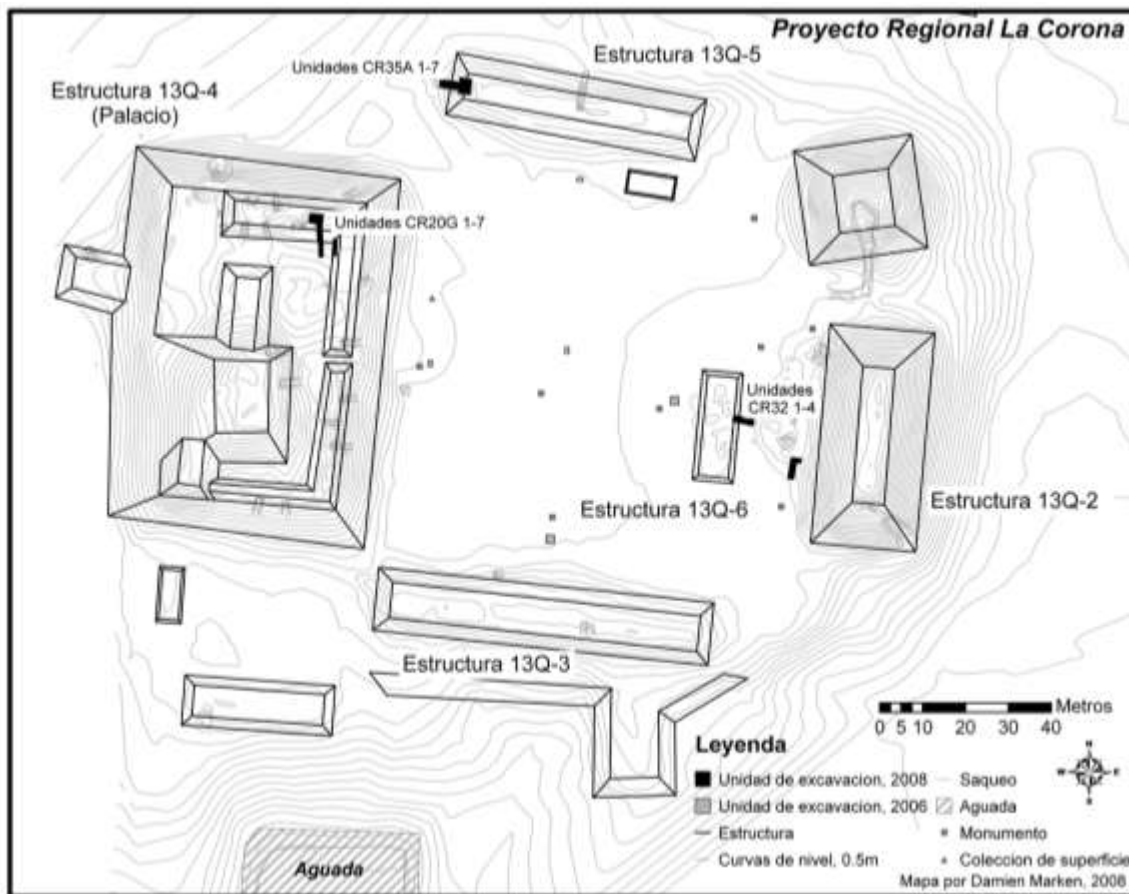


Figura 15.7 La Corona, Plaza principal (Mapa por Damien Marken, 2008)

Por su parte, el Grupo Coronitas presenta características menos convencionales, donde destaca el conjunto de cinco pequeños templos alineados en eje norte-sur y un grupo de templo y palacio en el límite norte del grupo. Hacia el sur y este, la plaza es casi abierta, ya que solamente presenta dos estructuras bajas y alargadas (Figura 15.8).

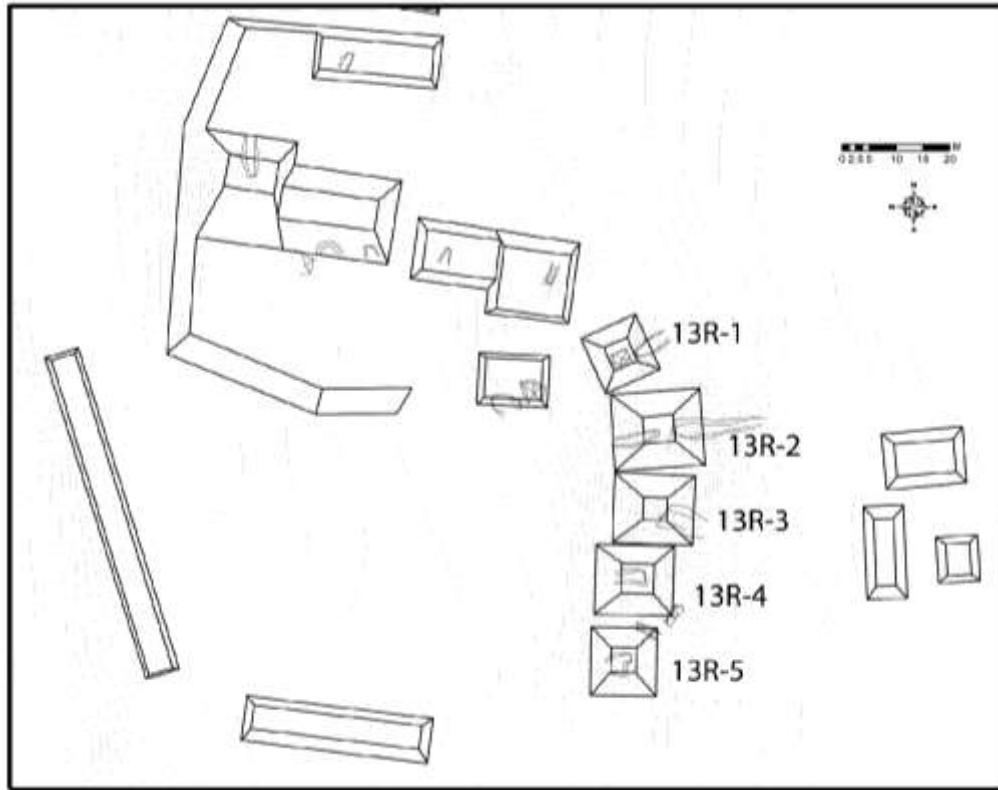


Figura 15.8 La Corona, Grupo Coronitas (Mapa por Damien Marken, 2008)

Al comparar ambas plazas, surge la interrogante en cuanto a su función y significado dentro del sitio, y si fueron construidas en la misma época o si corresponden a momentos cronológicos distintos. A este respecto se puede considerar que la Plaza Principal fue el escenario para actividades rituales y políticas de carácter público, ya que es allí donde se ha documentado la mayoría de monumentos con inscripciones. Actualmente hay una estela y cuatro altares, y se han identificado los restos de por lo menos 2 ó 3 escalinatas glíficas. También es posible que la mayoría de paneles saqueados pudieran ubicarse originalmente en las estructuras de esta plaza. Como estas inscripciones contienen información relacionada a los gobernantes de La Corona y Calakmul, las actividades rituales llevadas a cabo en la plaza se enfocaron en celebrar la Corte Real de La Corona y sus nexos con el reino de Calakmul.

Por otro lado, en el Grupo Coronitas solamente se han recuperado inscripciones en dos paneles, uno muy erosionado (Panel 7) y el texto del Panel. No obstante, no se puede descartar que de este grupo provengan algunos de los monumentos saqueados, como es el caso de la escalinata de la Estructura 13R-10, que al ser limpiada en esta temporada presentó un alto grado de saqueo.

Entonces, las diferencias en diseño arquitectónico y presencia de monumentos con inscripciones en ambos grupos pueden sugerir funciones distintas. Inicialmente se consideró la idea que la Plaza Principal tuvo un carácter más dinástico, relacionado con la conmemoración de eventos políticos, mientras que el Grupo Coronitas pudo haber sido concebido de manera distinta, posiblemente asociado a las deidades patronas o tutelares del sitio, lo que también pudo significar un énfasis más colectivo que dinástico. Esta hipótesis partió principalmente del contenido del texto del Panel 1, encontrado en la Estructura 13R-5, que incluye pasajes de carácter ritual y mitológico, especialmente la descripción de la fundación del templo como santuario para la efigie de un dios patrón. Se supone entonces que cada uno de los cinco templos de este conjunto pudo haber sido dedicado a deidades específicas y que fueron particulares al sitio de *Sak Nikte'*. Además de este evento, el panel incluye otros relatos muy antiguos de la historia del sitio, que incluye la llegada de un personaje en el año 314 d.C.

Por lo descrito anteriormente, los estudios arquitectónicos en estas dos plazas son de suma importancia, además que constituyen la principal fuente para reconstruir la cronología ocupacional del sitio. Ha sido entonces muy importante buscar evidencia de actividades rituales en el Grupo Coronitas, con el objeto de definir la naturaleza de este conjunto arquitectónico y las diferencias y similitudes con los contextos encontrados en la Plaza Principal.

En esta temporada 2010 también se iniciaron las excavaciones en sectores residenciales. Por el momento se pudo obtener muestras cerámicas de algunos basureros, así como algunos datos arquitectónicos de cuatro grupos habitacionales del sitio, los cuales están en proceso de análisis.

Estudios arquitectónicos en el epicentro de La Corona

Los estudios arquitectónicos realizados en La Corona entre 2008 y 2010 han empezado a despejar algunas interrogantes relacionadas a los patrones constructivos y funcionales de ambas plazas, por lo que acá se presentan algunos de los resultados preliminares que pueden explicar la cronología y algunas de las actividades realizadas en las principales estructuras del sitio.

Fase Ek: Orígenes en el Clásico Temprano

Los contextos tempranos encontrados hasta ahora en La Corona sugieren un escenario en cuanto a sus orígenes, que indican hasta el momento ningún contexto significativo fechado para el Preclásico. Por consiguiente, pareciera que el sitio se fundó en algún momento del Clásico Temprano, talvez inmediatamente después que se abandonó El Achiotal, el segundo sitio más grande de la zona y que tiene una ocupación mayormente Preclásica, con edificios monumentales decorados con pintura mural y mascarones policromos (Acuña *et al* 2010).

Otra de las interrogantes importantes relacionadas a los orígenes de La Corona es la relación con Dzibanché, capital del reino Kan durante el siglo VI d.C. (Grube 2004, Martin 2005, Nalda 2004). El Panel 6 de La Corona registró la llegada de la princesa *Ix Naah Ek* del reino Kan en el año de 514 d.C. (Martin 2008) (Figura 15.9), que coincide con los depósitos más antiguos registrados en el sitio. Sin embargo, todavía no se ha excavado en los niveles más profundos del Palacio y pudieran encontrarse contextos más antiguos, si se toma en cuenta que la información epigráfica del Panel 1 contiene una referencia a un personaje en el siglo IV d.C. Por lo tanto, todavía hay que establecer si La Corona fue un sitio que tuvo un desarrollo local muy antiguo, quizá con antecedentes en El Achiotal, o si las influencias del reino Kan datan de esa época.

Las investigaciones de Joanne Baron en el conjunto de cinco templos del Grupo Coronitas han incluido excavaciones extensivas en los tres templos centrales 13R-2, 13R-3 y 13R-4. Anteriormente, Marcello Canuto ya había realizado excavaciones en el templo 13R-5, ubicado en el extremo sur, en cuyo interior fue encontrado el Panel 1 y la cista vacía de una posible tumba, la cual fue saqueada.

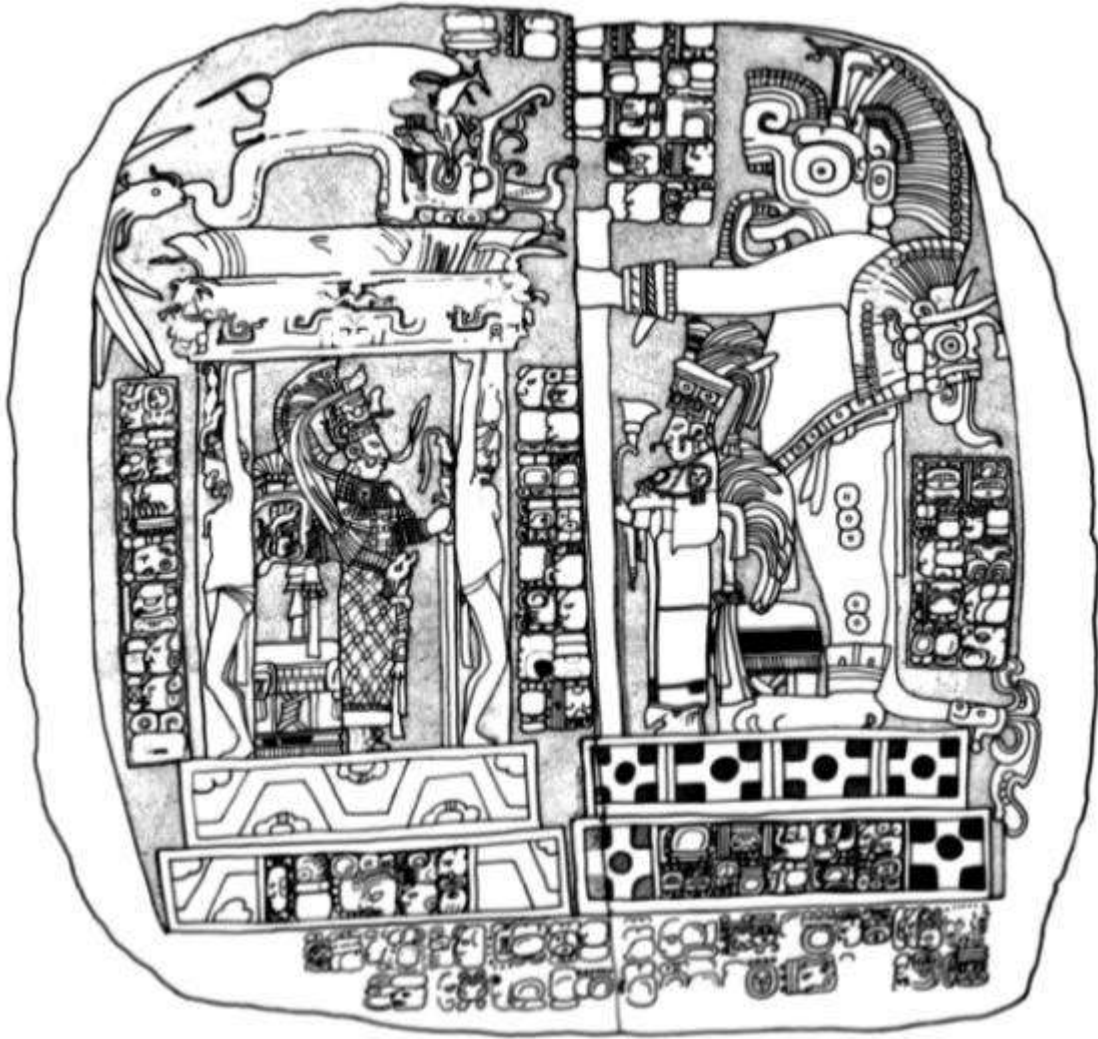


Figura 15.9 Panel 6, La Corona (dibujo por Linda Schele)

Hasta el momento, la Estructura 13R-4 es la que ha proporcionado mejor información con respecto a la historia constructiva de este grupo. Las excavaciones de Baron en 2009 ya habían definido que los tres templos centrales se asentaron sobre un basamento único de unos 5 m de altura (Baron 2009), el cual fue explorado de manera más intensiva en esta temporada 2010. La mayor parte de información cronológica se obtuvo mediante la limpieza y profundización de dos grandes excavaciones de saqueo que destruyeron casi totalmente las superestructuras de 13R-2 y 13R-4, pero que al mismo tiempo facilitaron la profundización dentro del relleno del basamento de los tres templos. La excavación en 13R-4 tuvo una profundidad total de 9 m desde la cima del templo, donde se llegó hasta la roca madre y se expuso el perfil completo de todo el basamento.

En la base del mismo se descubrió una tumba cortada en la roca madre y que presentó también muros en sus laterales. No obstante, el contenido de la cámara no fue lo que se esperaba, ya que incluyó solamente pocos huesos humanos fragmentados, una navaja prismática de obsidiana y un cuenco con engobe rojo-naranja. Se encontraron algunos fragmentos de cráneo estuvieron pintados con cinabrio, sugiriendo entonces que se trata de un entierro secundario o que hubo un evento de re-entrada a la tumba. Durante la excavación se recuperaron varios palos de madera bien conservados, lo que hizo dudar del contexto, por lo que se sometieron a fechas de radiocarbono. Finalmente, se demostró que los palos son recientes, indicando así que la tumba fue saqueada.

Ahora bien, tanto el estilo de la tumba, como la vasija encontrada en su interior, indican una fecha del Clásico Temprano, posiblemente entre los siglos V y VI d.C. Este pareciera ser hasta ahora el contexto arquitectónico más antiguo fechado en La Corona y apunta hacia un evento de fundación para el Grupo Coronitas, cuando se construyó la primera versión del basamento y los tres templos centrales.

Para esta misma época también se han encontrado contextos tempranos en el Grupo Principal, por lo que se puede afirmar que para el Clásico Temprano ya existía una primera versión de la Plaza Principal, la cual mantuvo su plan original a lo largo de toda su historia. Estos contextos tempranos fueron documentados en 2008 (Desailly-Chanson 2009) por medio de muros expuestos por actividades de saqueo en la Estructura 13Q-5, que es una estructura alargada que delimita la plaza en su lado norte. Durante las excavaciones en 2010, se encontraron varios pisos estucados que corresponden a la versión inicial del edificio.

De igual forma, las excavaciones de Liliana Padilla en el Palacio 13Q-4, han evidenciado que esta acrópolis también contiene una versión inicial del Clásico Temprano, que se encuentra bajo una serie de pisos del Clásico Tardío. En la temporada 2010 se descubrió una escalinata y una subestructura muy bien preservada, recubierta de estuco. Este edificio se encontró directamente debajo de la Estructura 13Q-4A, con la misma orientación norte-sur que su versión posterior.

Fase Yuknoom: Auge de La Corona en el Siglo VII d.C.

El período mejor documentado en la historia de La Corona es el principio del Clásico Tardío, al que corresponde la mayoría de paneles y escalinatas originalmente catalogados como del Sitio Q. Este momento representa la expansión de Calakmul como nueva capital del Reino Kan, por lo que existen numerosas referencias a los reinados de *Yuknoom Ch'een* y *Yuknoom Yick'ak K'ak* por parte de los gobernantes de La Corona, quienes forjaron alianzas políticas a través de sus matrimonios con princesas de Calakmul, tal como se documentó en el Panel 6 (Martin 2008).

Este momento de auge político también es representado mediante una expansión arquitectónica en La Corona. En la Plaza Principal, el Palacio 13Q-4 adquiere sus dimensiones monumentales en la fachada este de la acrópolis, donde se ubicaba una larga estructura con varias puertas de acceso y que cubría totalmente toda la visibilidad hacia los patios interiores.

En el lado opuesto de la plaza se erigió la Estructura 13Q-2. La parte superior de este edificio continuó siendo explorada en la temporada 2010 exponiendo el centro y límite norte de una larga cámara única que formaba la superestructura. La escalinata frontal se encontraba en muy mal estado, pero bajo ésta pudo ser documentada una escalinata de mucho mejor calidad constructiva.

Al sur y al norte se ampliaron las estructuras alargadas 13Q-3 y 13Q-5. Ambos edificios son muy similares, presentando escalinatas de gradas anchas en su parte frontal, y muros bajos en su parte superior que sostuvieron superestructuras perecederas. Las superestructuras presentan evidencias de bancas, lo que sugiere un posible uso de presentación durante actividades de tipo público y político. Los artefactos recuperados en la superficie de ambas estructuras incluyen objetos de materiales valiosos, como concha, jade y otros minerales, sugiriendo que sus ocupantes fueron de alto estatus. Destaca la presencia de una placa lisa de piedra verde muy oscura, con un agujero en su extremo, lo que indica que fue usado como ornamento de un cinturón, posiblemente como parte del atuendo de un gobernante. En el eje central de cada una de estas estructuras se colocó un entierro de un personaje noble, dada la calidad de sus ofrendas funerarias.

Aunque estos entierros no pudieron excavarse por completo en esta temporada 2010, las ofrendas recuperadas incluyen cuentas de jade, adornos de concha y un collar de dientes de felino proveniente del entierro de la Estructura 13Q-5. En cuanto al entierro de la Estructura 13Q-3, éste fue depositado de manera intrusiva, tal como se aprecia en el perfil sur de la excavación, por lo que puede ser de una fase posterior.

Si la Plaza Principal fue modificada en cuanto a la escala de sus edificios, el Grupo Coronitas también tuvo una actividad constructiva significativa, especialmente la construcción de los dos templos laterales 13R-1 y 13R-5. Estas excavaciones han determinado por lo menos dos grandes fases de la plataforma que sostiene a los templos centrales, y la versión mayor corresponde al siglo VII d.C., de acuerdo a la información epigráfica del Panel 1.

Sin embargo, la principal ampliación del Grupo Coronitas se dio al norte, cuando se construyó un nuevo complejo de edificios, conformado por la Estructura 13R-9 al oeste y la Estructura 13R-10 al este, ambos con un patio muy privado en su parte norte. En este conjunto al norte de Coronitas se descubrió un gran depósito de cerámica policroma (Acuña 2009). En la parte frontal de este edificio se descubrió una ofrenda dedicatoria que contenía un vaso policromo y varias navajas nuevas de obsidiana, así como una cantidad considerable de objetos realizados de materiales marinos como coral, conchas y espinas de pez raya (Gómez 2010).

En la temporada 2010 se iniciaron las exploraciones en la Estructura 13R-10, que es un pequeño palacio adosado a la pirámide 13R-9, con una limpieza de la parte frontal, cuya escalinata fue totalmente destruida por saqueadores, posiblemente por la presencia de bloques glíficos. A pesar de esta gran perturbación de contexto, se pudieron definir algunos rasgos arquitectónicos de sus terrazas y escalinata. Las excavaciones también incluyeron la parte posterior, donde se descubrió un enorme basurero colocado dentro de un chultun. El material depositado en este agujero dentro de la roca madre incluyó una gran cantidad de tientos de vasijas utilitarias, especialmente cántaros estriados, así como cerámica policromada, figurillas, huesos de animales, agujas, malacates y otros materiales propios de desechos domésticos.

Al comparar los contextos arqueológicos dentro del Grupo Coronitas, parece evidente que las dos estructuras al norte fueron usadas para rituales que involucraron grandes celebraciones, dada la gran cantidad de vasijas policromas de servicio, instrumentos musicales y otros objetos de elite. Además, también hay evidencia que indica una actividad residencial, seguramente para nobles o sacerdotes asociados a las actividades realizadas en honor a las imágenes de deidades ubicadas en los cinco templos. Al contrario, los contextos en y alrededor de los cinco templos son muy modestos, indicando que éstos se mantenían limpios y que posiblemente tuvieron un uso y acceso restringido.

Por otro lado, si se comparan ambas plazas para este período, resulta evidente que la calidad arquitectónica de los edificios de la Plaza Principal sobrepasa a los del Grupo Coronitas, tanto en calidad de material constructivo como en sus acabados. De esto surge nuevamente la interrogante sobre la función de cada grupo, especialmente si ambos estuvieron asociados a actividades realizadas por miembros de la Corte Real.

Por el momento, la presencia de un posible fundador enterrado en el interior del basamento de los tres templos y las referencias históricas y dinásticas del Panel 1 no puede descartar que el Grupo Coronitas haya sido un espacio utilizado por las personas de mayor jerarquía en el sitio. Lo que no se puede explicar por ahora es porqué los edificios de Coronitas son de menor calidad y quienes pudieron ser los ocupantes del palacio 13R-10

Fase Kantemo: Procesos de regionalización en el Siglo VIII d.C.

El debilitamiento del reino de Kan con su sede en Calakmul inició a finales del siglo VII d.C. con la derrota de *Yich'aak K'ak* a manos de *Jasaw Chan K'awiil* de Tikal. Sus aliados como Naranjo y Waka' fueron cayendo uno a uno, hasta que finalmente *Yuknoom T'ok K'awiil* fue vencido y capturado por *Yik'in Chan K'awiil* a mediados del siglo VIII d.C.

Hasta el momento no hay registro de que La Corona haya sufrido una derrota militar a manos de Tikal o sus aliados, pero la caída del reino de Calakmul tuvo grandes repercusiones. Estos han sido más notorios en La Corona por medio de la reducción en el número de

inscripciones en la primera mitad del siglo VIII d.C. y el cambio de pequeños paneles a estelas de mayor tamaño. Las modificaciones arquitectónicas en el sitio no son notables y es difícil poder fechar algún rasgo perteneciente a esta época debido a que no hay una cronología cerámica detallada.

Sin embargo se puede especular que la decoración de las fachadas del Palacio si fue modificada, ya que excavaciones recuperaron grandes fragmentos de estuco modelado, que formaron parte de retratos humanos que originalmente decoraron la cornisa de la Estructura 13Q-4A. Un fragmento de un torso que esta ricamente ataviado con un collar, pero del cual cuelga una cabeza trofeo. Por otro lado, la Estructura 13Q-3 también sufrió modificaciones importantes en su escalinata de acceso, ya que se le agregaron bloques glíficos de un estilo muy singular, ya que es un glifo por bloque. Se han registrados más de 60 bloques en 2009, aunque la mayoría habían sido movidos de su contexto original por los saqueadores. Se encontraron por lo menos 4 bloques *in situ* que confirmaron la existencia de la Escalinata Glífica 1. Los bloques se encontraron muy erosionados y pocos pueden ser legibles, pero si se pudo constatar que la temática de la escalinata se relaciona a la captura de prisioneros (Desailly-Chanson 2010).

En los períodos previos se carecía por completo de cualquier evidencia epigráfica de actividad bélica o militar y esto podría ser un indicio de que la región de La Corona experimentó un proceso de fragmentación política y rivalidad. Esto también lo sugiere la erección de uno o varios monumentos en el sitio cercano de La Cariba en el año 746 d.C., y que también pudo haber sucedido en otros sitios como El Tesoro.

Otra localidad que pudo haber sufrido cambios importantes en este momento es la Estructura 13Q-2, ya que su plataforma fue modificada de varias maneras. Uno de estos rasgos es la ubicación de la Estructura 13Q-6 al frente de la escalinata y basamento de 13Q-2, sugiriendo la presencia de una cancha de juego de pelota y de donde pudieron provenir los paneles que retratan a jugadores (Escalinata Glífica 2).

Fase Lo Veremos: Cambio de alianzas hacia Tikal, 790-830 d.C.

Seguramente uno de los principales descubrimientos realizados en 2010 fue la definición de una última fase de ocupación en La Corona, la cual pudo comprobarse tanto en las inscripciones como en contextos arqueológicos.

Este último período se relaciona directamente con la inscripción del Altar 4, que se localiza frente a la Estructura 13Q-3, en el lado sur de la Plaza Principal. Las lecturas iniciales de esta inscripción, registrada por David Stuart en 1997, hablan de la llegada de una cuarta mujer en la historia de La Corona en el año 791 d.C. Por las referencias anteriores, se supuso que esta mujer provenía de Calakmul, aún cuando esta ciudad ya no tenía ninguna presencia significativa en la región de Petén. En abril de 2010, mientras Bruce Love y Joane Baron realizaban un nuevo registro de éste y otros monumentos de la plaza, encontraron un pequeño fragmento de este altar, el cual sorprendentemente indicaba la identidad de este personaje. Al analizar el fragmento (Figura 15.10) se identificó con gran sorpresa el glifo emblema de Tikal acompañando al nombre de esta mujer, la cual también ostentaba el título de *kaloomte'*, indicando así que se trataba de una persona de alto rango.

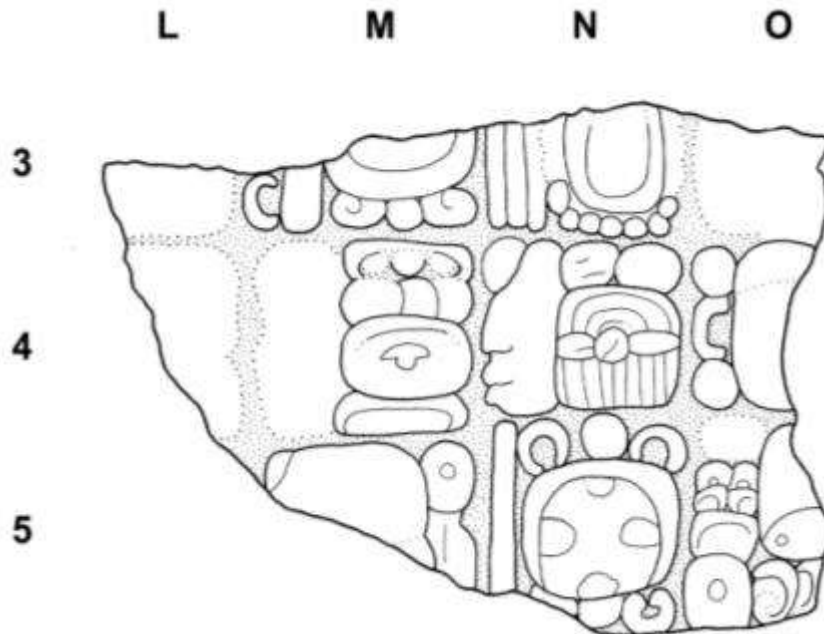


Figura 15.10 Fragmento de Altar 4, La Corona (dibujo por Joane Baron)

Arqueológicamente, la última fase constructiva en La Corona esa representada por una serie de modificaciones menores en casi todos los edificios de ambas plazas, las cuales fueron realizadas con piedra caliza porosa de mala calidad. Tal parece entonces que esta alianza tardía con su antigua ciudad enemiga conllevó a cubrir rápidamente los indicios de la época de gloria del Reino Kan, talvez como forma de afirmar los cambios políticos que se estaban suscitando ante el resurgimiento de Tikal.

Otro contexto tardío identificado en las excavaciones en la temporada 2010 fue encontrado en la superficie del basamento frontal de la Estructura 13Q-2, el cual fue documentado como parte de las excavaciones de Cristina Guirola. Este constituyó un depósito cerámico que cubrió el piso y plataforma frente a la escalinata frontal, y que posiblemente corresponda al inicio del siglo IX d.C., pero habrá que esperar un análisis detallado de los tipos diagnósticos para corroborar esta idea.

IV. CONSIDERACIONES GENERALES PARA FUTURAS TEMPORADAS

Esta temporada de investigación aportó una riqueza de datos prometedores. Se hace hincapié, que hasta la fecha no se puede permitir más que conclusiones preliminares y observaciones muy generalizadas. Sin embargo se puede plantear que:

- 1) El modelo de asentamiento predictivo para la RBM (lado oeste) en el cual se elaboró una buena base parece prometedor. Con este modelo, se pudo hallar varios sitios que nunca antes se habían encontrado. Se planea elaborar el modelo con precisión más exacta en las áreas más de mayor interés, y se seguirá poniéndolo a prueba el año entrante.
- 2) La RBM lado oeste agrupa cantidad de sitios de índole político secundarios. Hasta ahora, la gran mayoría de sitios visitados y reportados permanecen en la zona más elevada (la franja este) de la región. Sin embargo, se han reportado varios sitios más al oeste, cerca de los ríos que fluyen hacia el este.

- 3) En el Clásico, se está hallando una red de sitios orientados a lo largo de una ruta norte-sur conectando El Perú-Waka' con Calakmul. En cuanto al Preclásico, los datos revelan una presencia contundente por toda la región que se ha investigado. Los datos quedan demasiado preliminares para ofrecer conclusiones ahora; sin embargo, se ha mostrado que la ocupación Preclásica parece ser extensa y masiva en la RBM lado oeste.
- 4) El Achiotal parece ser una cabecera de la ocupación preclásica. La arquitectura, los murales, las decoraciones arquitectónicas y la iconografía sugieren que éste era la sede de un linaje dinástico que probablemente controlaba el trueque y rutas de intercambio entre la zona central petenera y el sudoeste donde está ubicado Ceibal.
- 5) El origen de La Corona, que de acuerdo a los datos preliminares, parece relacionarse directamente con el abandono de El Achiotal, principal centro preclásico de la zona. Para ahondar más en el tema, será fundamental la búsqueda de otros contextos tempranos en el interior del basamento de los tres templos centrales del Grupo Coronitas, así como la continuación de la exploración del Palacio temprano y cualquier contexto que se encuentre por debajo.
- 6) Parece que en la última etapa de ocupación de La Corona, el patrocinio político del sitio y sus gobernantes estaba en manos de Tikal. Con los varios cambios arquitectónicos tardíos en la plaza central, se supone que hubo un cambio notorio en el sitio durante la segunda parte del octavo siglo d.C.
- 7) La importancia estratégica de la zona para el manejo y conservación a largo plazo de la Reserva Biosfera Maya ha sido comprobada por el gran interés nacional e internacional en la RBM oeste contemporáneo. Este enfoque de hoy en día, resulta de la inherente importancia de esta zona durante toda la historia de asentamiento humano en el Petén.

Los datos presentados aquí de ninguna manera constituyen evidencia suficiente para contestar las principales interrogantes que se han planteado en este proyecto, por lo que es importante definir las líneas de investigación que necesitan seguirse en temporadas futuras.

En primer lugar, queda todavía mucho por hacer en cuanto al registro total del asentamiento en La Corona, por lo que el mapa debe ser ampliado en los sectores suroeste y norte del sitio. De esta manera se entenderá de mejor forma el tamaño de la población del sitio y si existe algún límite en el asentamiento o si es continuo por un área extensa hasta llegar a otros grupos o sitios satélites. A este respecto, también será necesario continuar con la elaboración del mapa de La Cariba, en especial su área residencial, así como otros sitios como El Tesoro. Las excavaciones de sondeo en éstos también será vital para poder incluirlos cronológicamente dentro de los procesos definidos en La Corona, y así definir cuál fue su papel político en la zona.

Por otro lado, se necesita continuar con los sondeos en áreas residenciales de La Corona, lo que permitirá crear un panorama más completo en cuanto a la cronología del sitio como un todo. Al mismo tiempo se podrá contar con una mejor visión en cuanto a las características culturales locales del sitio y sus jerarquías sociales, en la manera que se comparen datos con los palacios y áreas de ritual público. Como parte de los estudios que ayudarán al entendimiento de los patrones residenciales y rituales del sitio, será fundamental contar con datos botánicos. Ya se han recolectado muestras de suelo y de semillas, con el objeto de identificar evidencia de uso de plantas a nivel doméstico y ritual, que a su vez pueden proveer datos sobre patrones alimenticios. Además, se espera pronto tener los resultados del análisis de sedimentos tomados en algunos de los cuerpos de agua dentro del sitio, con el objeto de interpretar las condiciones climáticas, ecológicas y ambientales de la época de ocupación del sitio.

Para concluir, es necesario indicar que La Corona sigue siendo un punto estratégico en la selva petenera. Hoy en día la presencia de una estación científica y punto de vigilancia es clave para la conservación de la riqueza natural y cultural del Corredor Biológico de la Reserva de la Biósfera Maya. En los últimos seis meses se han notado avances notables en cuanto al retroceso de invasores y en la reducción de fuegos y otras amenazas, por lo que continuaremos apoyando la lucha por recuperar esta zona importante, de la mano de organizaciones gubernamentales, ONG's y concesiones forestales responsables, como lo es AFISAP y Paxban. Aprovechamos a exhortar el apoyo de cualquier tipo para la conservación del noroccidente de Petén, que para muchos está perdido, pero para nosotros sigue siendo una zona donde urge el papel de la arqueología como medio de conservación y desarrollo.

BIBLIOGRAFÍA

Acuña, Mary Jane

- 2007 "CR-ES: Excavaciones de Sondeo en los Grupos A, B, y C de La Corona". En *Proyecto Arqueológico El Perú-Waka': Informe No. 4, Temporada 2006*, editado por H. Escobedo y D. Freidel. Guatemala, pp. 457-478.
- 2009 "Operación CR 11A: Limpieza de Trinchera de Saqueo en la Estructura 13R-9". En *Proyecto Arqueológico La Corona. Informe Final, Temporada 2008*, editado por M. Canuto y T. Barrientos. Guatemala, pp. 109-128

Acuña, Mary Jane y Carlos Chiriboga

- 2010 "Investigación Arqueológica en el Sitio El Achiotal". En *Proyecto Arqueológico La Corona, Informe Final, Temporada 2009*, editado por M. Canuto y T. Barrientos. Manuscrito entregado al Instituto de Antropología e Historia (IDAEH), Guatemala.

Acuña, Mary Jane, Carlos Chiriboga, Marcello Canuto y Tomás Barrientos

- 2010 "El Período Preclásico en la Región Noroccidental de Petén: Datos Recientes y Modelos Interpretativos". En *XXIII Simposio de Investigaciones Arqueológicas en Guatemala, 2009*, editado por B. Arroyo, A. Linares y L. Paiz, pp. 39-52. vol. 1. Guatemala: Asociación Tikal.

Baron, Joanne

- 2009 "Operación 12: Excavaciones en la Estructura 13R-3". En *Proyecto La Corona: Informe Final, Temporada 2008*, editado por M. Canuto y T. Barrientos, pp. 129-138. Manuscrito entregado al Instituto de Antropología e Historia (IDAEH), Guatemala.
- 2010 "Operación 12A: Excavaciones en La Estructura 13R-3, Grupo Coronitas, La Corona". En *Proyecto La Corona: Informe Final, Temporada 2009*, editado por M. Canuto y T. Barrientos, pp. 135-158. Manuscrito entregado al Instituto de Antropología e Historia (IDAEH), Guatemala.

Barrientos, Tomás y Marcello Canuto

- 2009 "Proyecto Arqueológico La Corona, resultados de las investigaciones en 2009". Ponencia presentada en el XXIII Simposio de Investigaciones Arqueológicas en Guatemala, Museo Nacional de Arqueología y Etnología.

Barrientos, Tomás y Marcello Canuto

- 2010 "Proyecto Regional Arqueológico La Corona: Objetivos, Métodos y Antecedentes de la Temporada de Campo 2009". En *Proyecto Arqueológico La Corona, Informe Final, Temporada 2009*, editado por M. Canuto y T. Barrientos. Manuscrito entregado al Instituto de Antropología e Historia (IDAEH), Guatemala.

Buikstra, Jane y Douglas Ubelaker

1994 *Standards for Data Collection from Human Skeletal Remains*. Arkansas Archeological Survey Research Series No. 44. Fayetteville: Arkansas Archeological Survey.

Canuto, Marcello A.

2007 "CR-01: Excavaciones en la Estructura C-5 del Grupo C de La Corona". En *Proyecto Arqueológico El Perú-Waka': Informe No. 4, Temporada 2006*, editado por H. Escobedo y D. Freidel. Guatemala, pp. 431-456.

2008 *Working Booklet for the Inscriptions of La Corona*. Manuscrito no publicado, Yale University.

Canuto, Marcello y Tomás Barrientos Q (editores)

2009 *Proyecto Regional Arqueológico La Corona, Informe Final Temporada 2008*. Informe entregado a IDAEH, Guatemala.

Canuto, Marcello, Stanley Guenter, Evangelia Tsesmeli y Damien Marken

2005 *El Reconocimiento de La Corona, 2005*, Manuscrito entregado al Instituto de Antropología e Historia (IDAEH), Guatemala.

2006 "El Reconocimiento de La Corona, 2005". En *Proyecto Arqueológico El Perú-Waka': Informe No. 3, Temporada 2005*, editado por H. Escobedo y D. Freidel, pp. 455-468. Southern Methodist University.

Canuto, Marcello, Stanley Guenter, Mary J. Acuña, Ellen Bell y Damien Marken

2006 *El Reconocimiento de La Corona, 2006*, Manuscrito entregado al Instituto de Antropología e Historia (IDAEH), Guatemala.

Coe, William

1965 "Tikal: Ten Years of Study of a Maya Ruin in the Lowlands of Guatemala". *Expedition* 8(1).

Couplan, Francois

1998 *The Encyclopedia of Edible Plants of North America*. New Canaan : Keats Publishing

Dahlin, Bruce y William J. Litzinger

1986 "Old Bottle, New Wine: The Function of Chultuns in the Maya Lowlands". *American Antiquity*, 51(4):721-736.

Desailly-Chanson, Yann

2009 "Operación CR 35A: Excavaciones en la Estructura 13Q-5". En *Proyecto Arqueológico La Corona. Informe Final, Temporada 2008*, editado por M. Canuto y T. Barrientos. Guatemala, pp. 75-96

2010 "Operaciones CR 33 y CR35: Excavaciones en las estructuras 13Q-3 y 13Q-5". En *Proyecto Arqueológico La Corona: Informe Final Temporada 2009*, editado por M. Canuto y T. Barrientos, pp. 39-72. Manuscrito entregado al Instituto de Antropología e Historia (IDAEH), Guatemala.

Esparza Olguin, y V. E. Perez Gutierrez

2009 "Archaeological and epigraphic studies in Pol Box, Quintana Roo". *PARI Journal* 9 (3):1-16.

Fedick, Scott L

2010 The Maya Forest: Destroyed or cultivated by the ancient Maya? *PNAS* 107 (3): 953-954.

Fields, Virginia y Dorie Reents-Budet

2005a "Introduction: The First Sacred Kings of Mesoamerica". En *Lords of Creation: The Origins of Sacred Maya Kingship*, editado por V. Fields y D. Reents-Budet, pp. 21-26. Londres: Scala Publishers Limited.

2005b *Lords of Creation: The Origins of Sacred Maya Kingship*. Londres: Scala Publishers Limited.

Fritz, Gayle

2005 "Paleoethnobotanical Methods and Applications". En *Handbook of Archaeological Methods, Volume 2*, editado por D. Maschner y C. Chippindale, pp. 773-834. Lanham: Altamira Press

Garrison, Thomas, Stephen Houston, Charles Golden, Takeshi Inomata, Zachary Nelson y Jessica Munson

2008 "Evaluating the use of IKONOS satellite imagery in lowland Maya settlement archaeology". *Journal of Archaeological Science* 35(10):2770-2777.

Goldstein, David J., y Jon B. Hageman

2010 "Power Plants: Paleobotanical Evidence of Rural Feasting in Late Classic Belize". En *Pre-Columbian Foodways*, editado por J. Staller y M. Carrasco, pp.421-440. New York: Springer

Gómez, Erika

2010 "Operación CR 11 y CR13: Excavaciones en el Sector Oeste del Grupò 13R de La Corona". En *Proyecto Arqueológico La Corona: Informe Final Temporada 2009*, editado por M. Canuto y T. Barrientos, pp. 159-198. Manuscrito entregado al Instituto de Antropología e Historia (IDAEH), Guatemala.

Gremillion, Kristen J.

- 2008 "Archaeobotanical Methods and Results". En *Archaeological Investigations at St. Anthony's Garden (16OR443), New Orleans, Louisiana. Volume I: Fieldwork and Botanical Results of 2008 Season*, editado por S. Dawdy, K. Gremillion, S. Mulholland y J. Ramsey, pp. 56-82. Reporte entregado a la Cathedral of St. Louis King of France y la Getty Foundation.

Graham, Ian

- 1997 "Mission to La Corona". *Archaeology* 50(5):46.
- 2002 "Mission to La Corona: A New Maya Site May Fail to Qualify as Site Q". In *Secrets of the Maya*, editado por Peter A. Young, pp. 78-79. Hatherleigh Press, London.

Grube, Nikolai

- 2004 "El Origen de la Dinastía Kaan". En *Los Cautivos de Dzibanché*, editado por E. Nalda) pp. 117-131. México: Consejo Nacional para la Cultura y las Artes, Instituto Nacional de Antropología e Historia
- 2005 "Toponyms, Emblem Glyphs, and the Political Geography of Southern Campeche". En *Contributions to Maya Archaeology*, editado por I. Šprajc, pp. 87-100. Anthropological Notebooks. Ljubljana: Slovene Anthropological Society.
- 2007a Proyecto Arqueológico Uxul: Temporada de 2007, Solicitud Proyecto de investigación. Universidad de Bonn, Instituto VII: Departamento de Antropología Americana.
www.iae-bonn.de/iae/fileadmin/assest/pdf/solicitudINAH2007a
- 2007b Informe: Trabajos de exploración en Uxul (Campeche).
www.iae-onn.de/iae/fileadmin/assest/pdf/InformeINAH2007a.pdf

Grube, Nikolai y I. Paap

- 2006 Informe: Trabajos de exploración en Uxul (Campeche), 9-15 marzo de 2006. Institut für Altamerikanistik und Ethnologie der Universität Bonn, Bonn.
- 2007 Informe: Trabajos de levantamiento topográfico en Uxul (Campeche), 23 de marzo - 25 de abril de 2007. Institut für Altamerikanistik und Ethnologie der Universität Bonn, Bonn.

Grube, Nikolai, Ekkehardt-Wölke Haase y Mareike Sattler

- 1990 "Vier neue archäologische Fundorte im nordwestlichen Peten". *Mexicon* XII (3): 46-49

Gunter, Stanley

- 2005 "La Corona Find Sheds Light on Site Q Mystery". *The PARI Journal* 6(2):16-18.
<http://mesoweb.com/reports/SiteQ.html>
- 2009 "Operación 32: Investigaciones en las Estructuras 13Q-2 y 13Q-6". En *Proyecto Arqueológico La Corona. Informe Final, Temporada 2008*, editado por M. Canuto y T. Barrientos, pp. 97-107. Manuscrito entregado al Instituto de Antropología e Historia (IDAEH), Guatemala.

- 2010 “Operación CR32: Investigaciones en las Estructuras 13Q-2, 13Q-2A y 13Q-6”. En *Proyecto La Corona: Informe Final, Temporada 2009*, editado por M. Canuto y T. Barrientos, pp. 73-98. Manuscrito entregado al Instituto de Antropología e Historia (IDAEH), Guatemala.
- Guthrie, J., E. Benson y B. Gilchrist (editores)
1996 *The Olmec World: Ritual and Rulership*. The Art Museum, Princeton University
- Hageman, Jon B., y David J. Goldstein
2009 “An Integrated Assessment of Archaeobotanical Recovery Methods in the Neotropical Rainforest of Northern Belize: Flotation and Dry Screening. *Journal of Archaeological Science*, 36: 2841-2852.
- Hodell, D. A., Mark Brenner y J. H. Curtis
2007 “Climate and Cultural History of the Northeastern Yucatan Peninsula, Quintana Roo, Mexico”. *Climatic Change* 83:215-540.
- Hodell, D. A., J. H. Curtis y Mark Brenner
1995 “Possible role of climate in the collapse of Classic Maya civilization”. *Nature* 375:391-394.
- Houston, Stephen y Karl Taube
2000 “An Archaeology of the Senses: Perception and Cultural Expression in Ancient Mesoamerica”. *Cambridge Archaeological Journal* 10(2): 261-294.
- Inomata, Takeshi, Daniela Triadan y Otto Román
2009 “Desarrollo de las Comunidades Preclásicas e Interacciones entre las Tierras Bajas y el Área Olmeca”. En *XXIII Simposio de Investigaciones Arqueológicas en Guatemala*, pp. 53-66. vol. 1, Guatemala.
- Jenness, Jeff
2007 *Some Thoughts on Analyzing Topographic Habitat Characteristics*. Flagstaff: Jenness Enterprises
- Kaufman, F. y Marco A. Leal
1988 *Proyecto Arqueológico Peruano Guatemalteco al noroccidente de Petén*. Publicación de la Universidad de San Carlos de Guatemala, Guatemala.
- Leal, Marco A., Salvador López, Maria T. Chinchilla, José Paredes, José Benítez y Marco Zetina
1988 *Reconocimiento arqueológico en el noroccidente de Petén*. Instituto de Investigaciones Históricas, Antropológicas, y Arqueológicas, Vol. 1, Escuela de Historia, USAC, Guatemala.

Lentz, David

- 1991 "Maya Diets of the Rich and Poor: Paleoethnobotanical Evidence from Copan". *American Antiquity*, 2(3): 269-287.
- 1999 "Plant Resources of the Ancient Maya: The Paleoethnobotanical Evidence". En *Reconstructing Ancient Maya Diet*, editado por C. White, pp. 3-18. Salt Lake City: The University of Utah Press.

Lentz, David y Brian Hockaday

- 2009 "Tikal timbers and temples: Ancient Maya Agroforestry and the End of Time". *Journal of Archaeological Science* 36(7):1342-1353

Lentz, David, y Ruth Dickau

- 2005 *Seeds of Central America and Southern Mexico: The Economic Species*. New York: The New York Botanical Garden.

Marken, Damien

- 2007 "Levantando el Mapa de La Corona y sus Monumentos: Temporada del 2006". En *Proyecto Arqueológico El Perú-Waka': Informe No. 4, Temporada 2006*, editado por H. Escobedo y D. Freidel,. Southern Methodist University.
- 2009 "Expandiendo más allá del Centro: Reconocimientos y Mapeo en La Corona, 2008". En *Proyecto Arqueológico La Corona: Informe Final, Temporada 2008*, editado por M. Canuto y T. Barrientos, pp. 47-56. Yale University.
- 2010 "Programa de Mapeo PRALC 2009: Trabajos en la Zona Este y Oeste de La Corona y el sitio La Cariba" En *Proyecto Arqueológico La Corona: Informe Final Temporada 2009*, editado por M. Canuto y T. Barrientos, pp. 25-38. Manuscrito entregado al Instituto de Antropología e Historia (IDAEH), Guatemala.

Marken, Damien y Stanley Guenter

- 2007 "Monumentos y Reconocimiento en La Corona: 2006". En *Proyecto Arqueológico El Perú-Waka': Informe No. 4, Temporada 2006*, editado por H. Escobedo y D. Freidel, pp. 479-490. Southern Methodist University.

Martin, Alexander y William Barkley

- 1961 *Seed Identification Manual*. Berkeley: University of California Press

Martin, Simon

- 1996 "Calakmul y el enigma del glifo „Cabeza de Serpiente"" *Arqueología mexicana* 3(18):42-45.
- 2004 "Pregunta Epigráficas acerca de los Escalones de Dzibanché". En *Los Cautivos de Dzibanché*, editado por E. Nalda, pp. 105-115. México: Consejo Nacional para la Cultura y las Artes, Instituto Nacional de Antropología e Historia.
- 2005 Of Snakes and Bats: Shifting Identities at Calakmul. *The PARI Journal* 6(2):5-15. www.mesoweb.com/pari/publications/journal/602/SnakesBats_e.pdf.
- 2008 "Wives and Daughters on the Dallas Altar". *Mesoweb*. <http://www.mesoweb.com/articles/Martin/Wives&Daughters.pdf>.

Martin, Simon y Nikolai Grube

1995 “Maya Superstates”. *Archaeology* 48(6):41-46.

2008 *Chronicle of the Maya Kings and Queens*. 2a edición. Londres: Thames and Hudson.

Mathews, Peter

1988 *Notes on the Inscriptions of 'Site Q'*. Manuscrito, Departamento de Arqueología, Universidad de Calgary, Alberta, Canadá.

McNeil, Cameron , Jeffrey Hurst y Robert Sharer

2006 “The Use and Representation of Cacao During the Classic Period at Copan, Honduras”. En *Chocolate in Mesoamerica*, editado por C. McNeil, pp. 224- 253. Gainesville: University Press of Florida.

Ministerio de Cultura y Deportes

2009 Reglamento para Desarrollar Proyectos de Investigación Arqueológica. Consejo Técnico de Arqueología, IDEAH, Ministerio de Cultura y Deportes, Guatemala.

Morehart, Christopher

2005 “Plants and Caves in Ancient Maya Society”. En *Reconstructing Maya Ritual and Cosmology in the Cave Context*, editado por K. Prufer y J. Brady, 167-185. Boulder: University of Colorado Press.

Nalda, Enrique

2000 “Dzibanché: Un Primer Acercamiento a Su Complejidad”. En *Guardianes del Tiempo*, editado por A. Velasquez Morlet, pp. 37-71. Chetumal y México: Universidad de Quintana Roo e Instituto Nacional de Antropología e Historia.

2004 *Los Cautivos de Dzibanché*. México: Consejo Nacional para la Cultura y las Artes, Instituto Nacional de Antropología e Historia.

Padilla, Liliana

2010 “Operación CR 20 y CR21: Excavaciones en el Palacio de La Corona”. En *Proyecto Arqueológico La Corona: Informe Final Temporada 2009*, editado por M. Canuto y T. Barrientos, pp. 39-72. Manuscrito entregado al Instituto de Antropología e Historia (IDAEH), Guatemala.

Pearsall, Deborah M.

2000 *Paleoethnobotany: A Handbook of Procedures*, 2da. edición. New York: Academic Press

Pike, Richard, Ian Evans y Tomislav Hengl

2009 “Chapter 1 Geomorphometry: A Brief Guide”. En *Geomorphometry: Concepts, Software, Applications*, editado por H. Tomislav y R. Hannes, pp. 3-30. Developments in Soil Science, Volúmen 33. Amsterdam: Elsevier.

Ringle, William

1985 "Notes on Two Tablets of unknown Provenance". En *Fifth Palenque Round Table, 1983*, editado por V. Fields. San Francisco: Pre-Columbian Art Research Institute, pp. 151-158.

Robichaux, Hubert R., y Candace Pruett

2005 "Las inscripciones de Oxpemul". En *Los Investigadores de la Cultura Maya* 13 (1): 29-43. Campeche: Universidad Autónoma de Campeche.

Saturno, William

2009 "Centering the Kingdom, Centering the King: Maya Creation and Legitimization at San Bartolo". En *The Art of Urbanism: How Mesoamerican Kingdoms Represented Themselves in Architecture and Imagery*, editado por W. Fash y L. Lopez Lujan, pp. 111-134. Washington, D.C.: Dumbarton Oaks Library and Collection

Saturno, William., Thomas Sever, Daniel Irwin, Burgess Howell y Thomas Garrison

2007 "Putting Us on the Map: Remote Sensing Investigation of the Ancient Maya Landscape". En *Remote Sensing in Archaeology*, editado por J. Wiseman y F. El-Baz, pp. 137-160. Interdisciplinary Contributions to Archaeology. Nueva York: Springer.

Schuster, Angela

1997 "Search for Site Q". *Archaeology* 50(5):42-45.

Šprajc, I.

2002-2004 "Maya Sites and Monuments in SE Campeche, Mexico". *Journal of Field Archaeology* 29(3/4):385-407.

2008 *Reconocimiento arqueológico en el sureste del estado de Campeche, México: 1996-2005*. BAR International Series 1742, Oxford: ArchaeoPress.

Šprajc, Ivan, William J. Folan, y Raymundo González.

2005 "Las ruinas de Oxpemul, Campeche: su redescubrimiento después de 70 años de olvido". En *Los Investigadores de la Cultura Maya* 13 (1): 19-27. Campeche: Universidad Autónoma de Campeche.

Stuart, David

2001 La Ruinas de La Corona, Petén, y la Identificación del 'Sitio Q', Ponencia presentada en el XV Simposio de Investigaciones Arqueológicas en Guatemala, Guatemala.

Stuart, David, Simon Martin y Stephen Houston

2008 "Three Panels from La Corona?"

http://www.mayavase.com/corona/La_Corona.html

Taube, Karl

2010” Where earth and sky meet: The sea and the sky in ancient and contemporary Maya cosmology”. En *Fiery Pool: The Maya and the Mythic Sea*, editado por D. Finamore y S. Houston, pp. 202-219. New Haven: Peabody Essex Museum y Yale University Press.

Turner, B.L. II, y Charles Miksicek

1984 “Economic Plant Species Associated with Prehistoric Agriculture in the Maya Lowlands”. *Economic Botany* 38:179-193.

Velásquez, Erick

2004 “Los Escalones Jeroglíficos de Dzibanché”. En *Los Cautivos de Dzibanché*, editado por E. Nalda, pp. 79-103. México: Consejo Nacional para la Cultura y las Artes, Instituto Nacional de Antropología e Historia.

2005 The Captives of Dzibanche. *PARI Journal* 6(2):1-4.

2008 “Los Posibles Alcances Territoriales de la Influencia Política de Dzibanché durante el Clásico Temprano: Nuevas Alternativas para Interpretar las Menciones Históricas sobre la Entidad Política de Kan”. En *El Territorio Maya: Memoria de la Quinta Mesa Redonda de Palenque*, editado por R. Liendo, pp. 323-352. México: Instituto Nacional de Antropología e Historia.

Watson, Patty Jo

1976 “In Pursuit of Prehistoric Subsistence: A Comparative Account of Some Contemporary Flotation Techniques”. *Midcontinental Journal of Archaeology* 1: 77-100.

Weiss, Andrew

2001 *Topographic Position and Landform Analysis*. Poster académico presentado en la ESRI User Conference, San Diego, California.